

12864

**VOICU
DOLOCAN**

12864
UTILE DE FIBRE SINTETICE IASI
BIBLIOTECA TEHNICA
INV. 12864 83

**FIZICA
JONCTIUNILOR CU
SEMIȚONDUCTOARE**

EDITURA ACADEMIEI REPUBLICII SOCIALISTE ROMANIA

Fizica joncțiunilor
cu semiconductoare

FIZICA JONCTIUNILOR
CU SEMICONDUCTOARE

1974 200000

FIZICA JONCTIUNILOR CU SEMICONDUCTOARE

DE

VOICU DOLOCAN

Editura Academiei Republicii Socialiste România

București, 1982

PHYSICS OF SEMICONDUCTOR JUNCTIONS
ФИЗИКА ПОЛУПРОВОДНИКОВЫХ ПЕРЕХОДАХ

EDITURA ACADEMIEI REPUBLICII SOCIALISTE ROMÂNIA

R 79717, București, Calea Victoriei, nr. 125

PREFAȚĂ

Lucrarea de față este al doilea volum scris de Voicu Dolocan, dedicat fizicii dispozitivelor cu corp solid. Marile realizări din domeniul fizicii semiconducătorilor, ca tranzistoarele MOS, electrofotografia, memoriile, senzorii de imagine cu dispozitive cuplate prin sarcină, laserii, circuitele integrate etc., expuse în această lucrare, oferă soluții marilor probleme pe care le pune revoluția tehnico-științifică în domeniul energiei, electronicii, automaticii, tehnologiilor industriale, comunicațiilor și justifică eforturile umane și materiale care se fac pentru a dezvolta acest domeniu.

Orientarea aplicativă, stilul și accentuarea aspectelor cantitative, cu un foarte bogat material ilustrativ, recomandă această carte atât specialiștilor din producție cât și cercetătorilor, cadrelor didactice și studenților de la facultățile de fizică și de la facultățile institutelor de învățământ superior tehnic.

Cercetarea științifică și ingineria tehnologică în domeniul semiconducătorilor și aplicațiilor acestora a cunoscut o largă dezvoltare în țara noastră, fiind unul din domeniile cele mai eficiente ale științei și tehnologiei.

Pentru publicul larg de cititori editarea unei astfel de lucrări, scrisă de un specialist renumit, este binevenită.

Acad. prof. dr. doc.

Th. V. Ionescu

THE HISTORY OF THE
CITY OF BOSTON

The city of Boston, situated on a neck of land between the harbor and the bay, was first settled by a small number of Englishmen in 1630. The city grew rapidly, and by 1690 it had become one of the largest and most important cities in the New England colonies. The city was the center of the Puritan movement, and it was here that the first American Revolution began. The city was the site of the Boston Tea Party, the Boston Massacre, and the Battle of the Clouds. The city was the birthplace of the American Revolution, and it was here that the first American flag was raised. The city was the center of the American Revolution, and it was here that the first American government was established. The city was the site of the signing of the Declaration of Independence, and it was here that the first American Constitution was adopted. The city was the center of the American Revolution, and it was here that the first American government was established. The city was the site of the signing of the Declaration of Independence, and it was here that the first American Constitution was adopted.

THE HISTORY OF THE
CITY OF BOSTON

CUVÎNT ÎNAINTE

Prezentul volum este o continuare directă a lucrării „Fizica dispozitivelor cu corp solid”, apărut în 1978 la Editura Academiei Republicii Socialiste România, în dorința de a oferi cititorului un material complex și, credem, util asupra celor mai importante dispozitive cu semiconductoare ce se utilizează în electronica, automatica și energetica modernă.

Capitolul 1 este dedicat studiului detectorilor optici și de infraroșu. În capitolul 2 se studiază laserii cu semiconductoare iar în capitolul 3, stările de suprafață și metodele experimentale utilizate în acest scop. Capitolul 4 este dedicat contactului metal-semiconductor: dioda Schottky, structuri cu afinitate electronică negativă (fotocatozi, emitori de electroni secundari, emitori de electroni cu catod rece) utilizate în fotomultiplicatori și televiziune etc. În capitolul 5 se studiază structurile metal-izolator-semiconductor, pe care se bazează tehnologia electronicii actuale: capacitorul MOS, tranzistorul MOS etc. În cap. 6 se studiază dispozitivele de memorie, utilizate în mașinile de calcul electronic, xerografia—a cărei utilitate este binecunoscută în toate domeniile de activitate—și sensorii de imagine cu dispozitive cuplate prin sarcină. Circuite integrate este titlul capitolului 7: tehnologie și aplicații. Capitolul 8 este dedicat efectelor cuantice de dimensiune care apar la suprafața semiconductorilor masivi și în strate subțiri.

Ne-am străduit, nu știm în ce măsură am reușit, să prezentăm o tratare ușor accesibilă și în același timp să satisfacă exigențele mereu crescînde ale cititorului.

La elaborarea acestei lucrări ne-am bucurat de sprijinul și îndrumarea acad. prof. dr. docent Th. V. Ionescu și îi aducem respectuoase mulțumiri pe această cale. Mulțumim Editurii Academiei și redactorului cărții Eugen Marineanu pentru sprijinul acordat apariției acestui volum.

Autorul

C U P R I N S

Capitolul 1. DETECTORI DE RADIAȚIE	13
1.1. Considerații generale	13
1.2. Mărimi caracteristice	15
1.3. Zgomotul	17
1.4. Limitarea performanțelor detectorilor	19
1.5. Măsurarea caracteristicilor detectorilor	21
1.6. Fotorezistențele	24
1.7. Fotodiode	28
1.8. Fotodiode de avalanșă	31
1.9. Fototranzistorul	33
1.10. Termistorul	35
1.11. Detectorul piroelectric	36
Bibliografie	39
Capitolul 2. LASERI CU SEMICONDUCTOARE	41
2.1. Considerații generale	41
2.2. Emisia stimulată. Efectul laser	42
2.3. Metode de realizare a inversiei de populație în semiconductoare	46
2.4. Materiale utilizate în laserii cu semiconductoare	48
2.5. Metode de preparare	51
2.6. Laseri cu heterojuncțiuni	55
2.7. Timpul de întârziere și comutarea internă în laserii cu semiconductoare	72
2.8. Oscilații în laseri. Modularea	80
2.9. Laseri cu reacție distribuită	82
2.10. Principiul holografiei	83
Bibliografie	85
Capitolul 3. STĂRI DE SUPRAFAȚĂ	88
3.1. Considerații teoretice	88
3.2. Distribuția stărilor de suprafață	91
3.3. Suprafețe reale. Stări de suprafață extrinseci	96
3.4. Metode experimentale de studiu al stărilor de suprafață	97
3.5. Recombinarea de suprafață	103
Bibliografie	108
Capitolul 4. CONTACTUL METAL-SEMICONDUCTOR	109
4.1. Lucrul de ieșire a electronilor din materiale	109
4.2. Diagrama energetică a contactului metal-semiconductor	113
4.3. Curentul electric în dioda Schottky	119
4.4. Dioda Schottky cu inel de gardă	125
4.5. Determinarea experimentală a înălțimii barierei contactului metal-semiconductor	127
4.6. Structuri cu afinitate electronică negativă	130
4.7. Fotocatozi cu afinitate electronică negativă	134
4.8. Emitori de electroni secundari cu afinitate electronică negativă utilizați în fotomultiplicatori	138
4.9. Emitori de electroni cu catod rece	142
4.10. Contacte ohmice	143
Bibliografie	144

Capitolul 5, STRUCTURI METAL-IZOLATOR-SEMICONDUCTOR 145

5.1. Structura MIS (sau MOS) ideală	145
5.2. Efectul diferenței dintre lucrările de ieșire asupra caracteristicilor structurii MOS. Diagrama de benzi de energie a structurii metal-SiO ₂ -Si	151
5.3. Efectele capcanelor și sarcinilor fixe de la interfața siliciu-bioxid de siliciu	154
5.4. Efectele ionilor mobili, neuniformităților laterale și capcanelor ionizate asupra caracteristicilor structurii MOS	168
5.5. Stratul de inversiune. Efectele temperaturii și luminii asupra stratului de inversiune. Conductanța canalului	171
5.6. Efectele radiațiilor	174
5.7. Caracteristicile curent-tensiune ale tranzistorului MOS.	174
5.8. Regiunea de saturație	178
5.9. Circuitul echivalent al tranzistorului MOS. Amplificarea. Funcționarea la înaltă frecvență	182
5.10. Tipuri de tranzistoare MOS. Conectarea tranzistoarelor în circuit	186
5.11. Influența temperaturii asupra caracteristicilor tranzistorului MOS.	188
5.12. Alte tipuri de tranzistoare cu efect de cimp de suprafață	192
5.13. Structuri metal-izolator-metal	193
5.14. Efectul tunel în structuri metal-oxid-semiconductor	198
5.15. Tranzistoarele cu electroni fierbinți	200
Bibliografie	202

Capitolul 6, DISPOZITIVE DE MEMORIE ȘI DE IMAGINE. XEROGRAFIA 203

6.1. Dispozitive de memorie cu poartă plutitoare	204
6.2. Dispozitive de memorie cu captare de sarcină	209
6.3. Memorie cu poartă feroelectrică	214
6.4. Rețele de memorie	215
6.5. Metode de reproducere a imaginilor	218
6.6. Xerografia	220
6.7. Descrierea proceselor fizice care au loc în materialul electrofotografie.	221
6.8. Condiții de optimizare a procesului de xerografiere. Materiale utilizate	227
6.9. Sensori de imagine	230
6.10. Dispozitive cuplate prin sarcină	231
6.11. Zgomotul în dispozitivele cu cuplaj prin sarcină	238
6.12. Metode de baleiaj în sensorii de imagine	241
6.13. Caracteristicile sensorilor de imagine cu dispozitive cuplate prin sarcină	244
6.14. Sensori cu dispozitive cu injecție de sarcină	249
6.15. Sensori de imagine în infraroșu	253
Bibliografie	256

Capitolul 7, CIRCUITE INTEGRATE. 258

7.1. Tehnici utilizate în fabricarea circuitelor integrate	258
7.2. Izolarea, interconectarea, pasivarea	263
7.3. Circuite integrate monolitice din siliciu	267
7.4. Circuite integrate cu strate subțiri	270
7.5. Circuite integrate cu strate groase.	272
7.6. Circuite hibride	272
7.7. Aplicații	273
Bibliografie	280

Capitolul 8. EFECTE CUANTICE DE DIMENSIUNE	281
8.1. Considerații generale	282
8.2. Efecte cuantice de dimensiune în strate subțiri metalice	285
8.3. Fenomene de cuantificare în cîmp magnetic	292
8.4. Studiul efectelor cuantice de dimensiune în strate subțiri cu ajutorul efectului tunel	294
8.5. Efecte cuantice de dimensiune în structuri cu mai multe bariere. Trioda tunel	302
8.6. Efectele cuantice de dimensiune în stratul de acumulare sau de inversiune la suprafața unui semiconductor	307
Bibliografie	315
<i>Abstract</i>	317
<i>Contents</i>	318

THE HISTORY OF THE
CITY OF BOSTON
FROM THE FIRST SETTLEMENT
TO THE PRESENT TIME
BY
JOHN HUTCHINGS
OF THE BOSTON BAR
IN TWO VOLUMES
VOL. I.
BOSTON: PUBLISHED BY
J. B. ALLEN, 1825.
Pp. 400.

THE HISTORY OF THE
CITY OF BOSTON
FROM THE FIRST SETTLEMENT
TO THE PRESENT TIME
BY
JOHN HUTCHINGS
OF THE BOSTON BAR
IN TWO VOLUMES
VOL. II.
BOSTON: PUBLISHED BY
J. B. ALLEN, 1825.
Pp. 400.

Capitolul 1

DETECTORI DE RADIATIE

1.1. Considerații generale

În prezent există detectori pentru aproape tot spectrul electromagnetic [1 — 3] (fig. 1.1.). Evident, datorită complexității manifestării mișcării materiei și interacției acesteia cu radiația, un anumit tip de detec-

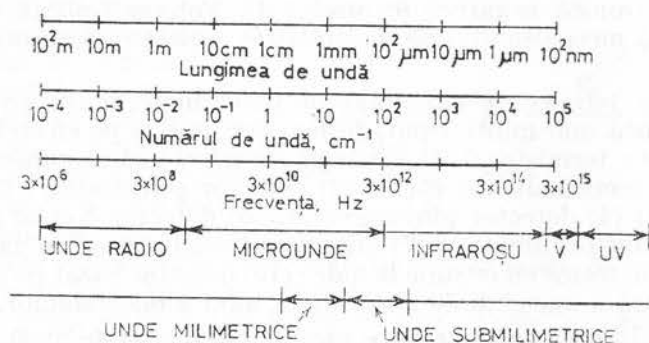


Fig. 1.1. — Spectrul electromagnetic.

tor poate funcționa numai într-un domeniu îngust al spectrului electromagnetic. Detectorii pot fi împărțiți în două clase mari: (1) cu răspuns incoerent și (2) cu răspuns coerent. În procesul de detecție incoerentă se pierde informația asupra fazei și frecvenței radiației recepționate. Detectorii cu răspuns coerent păstrează informația asupra fazei și frecvenței radiației recepționate.

Din punctul de vedere al mecanismului de interacție a radiației cu materia detectorii pot fi clasificați în: (1) detectori fotonici, (2) detectori termici, (3) detectori pe bază de interacție de undă. Primele două clase reprezintă în general detectorii cu răspuns incoerent iar a treia clasă reprezintă în general detectorii cu răspuns coerent. În detectorii fotonici fotonii interacționează direct cu electronii din material; în aproape toate cazurile materialul este un semiconductor. Efectele fotonice pot fi interne și externe. În primul caz electronii excitați rămân în interiorul materialului iar în al doilea caz electronii excitați sînt emiși de la suprafața acestuia. Efectele fotonice interne se împart la rîndul lor în trei subclase:

A. Efecte în care are loc generarea purtătorilor de neechilibru:

1) Fotoconductivitatea (radiația modifică conductivitatea electrică a materialului pe care cade). Poate fi de două feluri: (a) intrinsecă (în care

caz se generează perechi electron-gol); (b) extrinsecă (în care caz se generează purtători liberi de un singur semn).

2. Efecte fotovoltaiice [4] (apare o tensiune fotoelectrică datorată unui cîmp electric intern sau altă cauză care separă perechile electron-gol generate de către fotoni). Apare în următoarele situații: (a) joncțiune *p-n*, diodă cu avalanșă, dioda *p-i-n*, dioda Schottky, heterojoncțiune, fototranzistor; (b) efecte fotovoltaiice de volum (datorate unui gradient al concentrației de impurități, unui gradient al masei efective, unui gradient al benzii interzise); (c) efectul fotoelectromagnetic; (d) efectul Dember.

B. Efecte în care fotonii interacționează cu purtătorii liberi: efectul de antrenare fonică, detectorul Putley, bolometrul cu electroni fierbinți [3].

C. Efecte de interacții localizate (electronii sînt excitați de către radiația pe stări localizate de energie). Pe această bază funcționează lumino-forii, filmele fotografice și numărătorul cuantic în infraroșu.

Efectele fotonice externe sînt efecte de fotoemisie. Pe această bază funcționează fotocatozii care pot fi de două feluri: convenționali și cu afinitate electronică negativă (capitolul 4). Fotomultiplicatorii funcționează pe baza mecanismului de multiplicare a electronilor emiși de către fotocatozi.

Efectele termice se datorează încălzirii materialului sub acțiunea radiației. Există mai multe tipuri de detectori bazați pe efectele termice: (1) bolometre: termistorul, bolometrul metalic, supraconductor, supra-inductor, cu semiconductor răcit; (2) detector piroelectric; (3) detector termoelectric; (4) detector piromagnetic; (5) detector Nernst; (6) celula Golay (detector pneumatic); (7) microfonul condensator cu gaz; (8) evaporagraf; (9) detector cu cristale lichide; (10) detector bazat pe dependența de temperatură a marginii de absorbție a unui semiconductor.

Principalii detectori bazați pe efectul interacției de undă sînt detectorul heterodină și amplificatorul parametric.

În detectorul heterodină, folosind un oscilator local de referință, se convertește unda incidentă într-o undă de frecvență joasă, în domeniul undelor radio sau microundelor. Detectorii parametrice sînt constituiți din cristale în care are loc mixarea a două fascicule de radiație coerentă și rezultă, de exemplu, radiație cu frecvența sumă sau diferență.

Evident că această clasificare a detectorilor de radiație nu este strictă. Unele efecte fotonice pot fi considerate efecte termice sau efecte de interacție de undă. Structurile metal-oxid metal și dispozitivele Josephson [4] pot fi de asemenea considerate ca detectori bazați pe fenomenul de interacție de undă.

Detectorii mai pot fi clasificați ca detectori elementari și detectori (sensori) de imagine în funcție de faptul dacă semnalul de ieșire reprezintă o valoare medie peste întreaga arie sensibilă sau redă o dependență spațială pe suprafață. Detectorii de imagine se bazează pe aceleași mecanisme de detecție (în general fotoconducția sau efectul fotovoltaiic) în plus în detectorii de imagine variația spațială se citește cu un sistem de baleaj: un fascicol de electroni ca în tubul vidicon sau electric ca în circuitele cuplate prin sarcină. Sensorii de imagine cu circuite cuplate prin sarcină sînt prezentați în capitolul 6. După circuitul electric utilizat detectorii se împart în activi și pasivi. Detectorii activi produc o tensiune sau un curent

în circuit fără să fie necesară o sursă de alimentare deși uneori se utilizează și la aceștia o sursă de curent continuu. Detectorii activi sînt: detectorii fotovoltaici, diodele detectoare (cum sînt cele cu virf), detectorii piroelectrici, termocuplele și pilele termoelectrice. Detectorii pasivi sînt fotorezistorii și bolometrele și au nevoie de o sursă externă de curent continuu pentru funcționare.

1.2. Mărimi caracteristice

1.2.1. Răspunsul spectral

Răspunsul spectral descrie dependența semnalului de ieșire de la detector în funcție de lungimea de undă a radiației detectate. Pentru a face o comparație concludentă între diversele tipuri de detectori se raportează răspunsul spectral la unitatea de putere radiantă incidentă, pe interval unitate de lungime de undă, sau la rata unitate a fotonilor incidenti pe unitatea de lungime de undă. Prima variantă se folosește de obicei în cazul detectorilor în infraroșu iar cea de a doua variantă se folosește de obicei în cazul detectorilor optici. În cele mai multe cazuri răspunsul spectral se exprimă în unități relative. În figura 1.2 a este reprezentat răspunsul spectral, R [4], raportat la unitatea de putere incidentă pe interval unitate de lungime de undă pentru detectorii de fotoni și termici ideali. Se observă că pentru detectorul de fotoni răspunsul spectral crește liniar cu lungimea de undă pînă la o lungime de undă λ_0 de prag, unde scade brusc la zero. Peste această lungime de undă detectorul de fotoni nu mai este sensibil. Răspunsul spectral al detectorului termic este independent de lungimea de undă. În cazul cînd fenomenul de detecție se bazează pe generarea de perechi electron-gol în semiconductori (fotoconductor intrinsec, efect fotovoltaic) lungimea de undă de prag se determină din relația

$$\lambda_0 = \frac{hc}{E_g}$$

unde h este constanta lui Planck, c — viteza luminii în vid și E_g — lărgimea benzii interzise a semiconductorului iluminat. În cazul cînd fenomenul de detecție se bazează pe excitarea unui singur tip de purtători de sarcină (fotoconductor extrinseci), lungimea de undă de prag se determină din relația

$$\lambda_0 = \frac{hc}{E_i}$$

unde E_i este energia de activare a impurităților. Într-un sistem practic de unități, relațiile de mai sus se scriu

$$\lambda_0(\mu m) = \frac{1,24}{E(eV)} \quad (1.1)$$

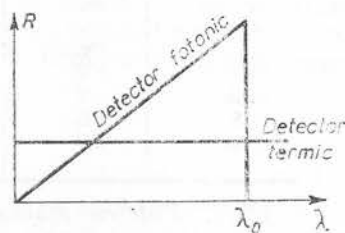


Fig. 1.2.a. — Răspunsul spectral în funcție de lungimea de undă.

În tabela 1.1 se dau lungimile de undă de prag pentru unii detectori fotoconductivi (FC) și fotovoltaici (FV) care funcționează în domeniul infraroșu.

Tabela 1.1

Caracteristici ale detectorilor de infraroșu

Materialul	Modul de funcționare	Temperatura, K	λ_0 , μm	D^{**} $\text{cmHz}^{1/2}\text{Sr}^{1/2}/\text{W}$	τ , s
Ge : B	FC	4,2	108	$4,6 \cdot 10^{10}$	10^{-8}
Ge : Ga	FC	4,2	104	$6,8 \cdot 10^{10}$	$4 \cdot 10^{-8}$
Ge : Cu	FC	4,3	23	$2 \cdot 10^{10}$	$3 \cdot 10^{-9}$
Ge : Cu					
(Sb)	FC	4,2	23	$2 \cdot 10^{10}$	$2 \cdot 10^{-9}$
Ge : Hg	FC	27	10,5	$4 \cdot 10^{10}$	—
Ge : Hg					
(Sb)	FC	4,2	11	$1,8 \cdot 10^{10}$	$3 \cdot 10^{-10}$
PbSnTe	FC, FV	77	10	$3 \cdot 10^8$	$1,5 \cdot 10^{-8}$
HgCdTe	FC	77	9,6	$3,1 \cdot 10^{10}$	$8 \cdot 10^{-7}$
Ge : Au	FC	77	6	$3 \cdot 10^9$	$3 \cdot 10^{-8}$
Ge : Au					
(Sb)	FC	77	6	$6 \cdot 10^9$	$1,6 \cdot 10^{-9}$
PbTe	FV	77	5	$8,7 \cdot 10^{10}$	$2,5 \cdot 10^{-8}$
InSb	FV	77	4,9	10^{11}	$2 \cdot 10^{-8}$
PbS	FC	77	3,8	$6 \cdot 10^{10}$	$3,2 \cdot 10^{-5}$
InAs	FV	77	2,8	$7 \cdot 10^{11}$	$5 \cdot 10^{-7}$

1.2.2. Puterea echivalentă de zgomot

Puterea echivalentă de zgomot P_z notată în literatura străină NEP (Noise Equivalent Power) sau P_N , este puterea incidentă pe detector necesară pentru a obține la ieșire un semnal (tensiune sau curent) egal cu semnalul de zgomot. P_z variază direct proporțional cu rădăcina pătrată din banda de frecvență și deci trebuie specificată și banda de frecvență. De obicei P_z se exprimă pentru banda de frecvență de 1 Hz și se măsoară în acest caz în $\text{W/Hz}^{1/2}$. Când se dă P_z trebuie specificată aria detectorului și cîmpul vizual. Pentru detectorii din domeniul infraroșu pînă în domeniul undelor milimetrice, ea este proporțională cu rădăcina pătrată din aria detectorului.

1.2.3. Responsivitatea

Responsivitatea este raportul dintre tensiunea sau curentul de ieșire și puterea radiantă incidentă. Se măsoară în V/W sau A/W . Se disting responsivitatea corpului negru $\mathfrak{R}(T, f)$ și spectrală $\mathfrak{R}(\lambda, f)$. $\mathfrak{R}(T, f)$ este responsivitatea detectorului la radiația de intrare emisă de un corp negru la temperatura absolută T , răspunsul fiind măsurat pe frecvența f cu care este modulată aceasta. Analog, $\mathfrak{R}(\lambda, f)$, este definită ca responsivitatea la o radiație monocromatică de lungime de undă λ modulată cu frecvența f . Dacă, de exemplu v_s este tensiunea semnalului măsurat și P este puterea radiantă incidentă, atunci responsivitatea de tensiune

$$\mathfrak{R} = \frac{v_s}{P} = \frac{v_s}{A \cdot I},$$

unde A este aria detectorului și I este iluminarea.

1.2.4. Detectivitatea D^*

Detectivitatea D^* este raportul semnal/zgomot într-o lărgime a benzii de 1 Hz, pe unitatea de putere radiantă incidentă pe rădăcina pătrată din aria detectorului

$$D^* = \frac{(AB)^{1/2}}{P} \left(\frac{v_s}{v_z} \right),$$

unde A este aria detectorului, B — lărgimea benzii de frecvență, P — puterea radiantă incidentă iar (v_s/v_z) — raportul dintre tensiunile semnal/zgomot (se măsoară în $\text{cmHz}^{1/2}/\text{W}$). Detectivitatea este legată de puterea echivalentă de zgomot prin relația

$$D^* = \frac{(A B)^{1/2}}{P_z}.$$

Se definește detectivitatea corpului negru și detectivitatea spectrală. Inițial prin detectivitate s-a înțeles numai raportul semnal/zgomot pe unitatea de putere radiantă ce are dimensiunile W^{-1} . Unii autori numesc acum detectivitate pe D^* .

1.2.5. D^{**}

Pentru caracterizarea detectorilor care sînt limitați de fond (mediul inconjurător) se introduce mărimea D^{**} care este legată de detectivitatea D prin relația $D^{**} = D \sin \theta$; θ este unghiul vizual sub care detectorul privește (vede) radiația. Cînd radiația pătrunde în detector prin întreaga emisferă din față, atunci $D^{**} = D$. Unitățile lui D^{**} sînt $\text{cmHz}^{1/2} \text{Sr}^{1/2}/\text{W}$. Valorile lui D^{**} pentru unii detectori sînt date în tabela 1.1.

1.2.6. Constanta de timp de răspuns.

Constanta de timp τ este definită pentru cei mai mulți detectori prin relația

$$v(f) = \frac{v_0}{\sqrt{1 + 2\pi f \tau}},$$

unde $v(f)$ este tensiunea de răspuns a detectorului la frecvența f de modulare a radiației și v_0 este tensiunea obținută pentru frecvența zero (τ se mai numește și timp de răspuns). Valoarea lui τ pentru unii detectori este dată în tabela 1.1. Timpul de răspuns limitează frecvența de modulare a radiației. Pentru a determina pe τ se măsoară frecvența f pentru care $v(f) = v_0/\sqrt{2}$ și se folosește relația $\tau = 1/2\pi f_0$. În cazul cînd radiația modulată are formă de pulsuri rectangulare, răspunsul este de forma $v = v_0 e^{-t/\tau}$ pe porțiunea de scădere unde τ este timpul după care $v = v_0/e$.

1.3. Zgomotul

Performanțele detectorilor sînt limitate de către zgomotul intern al acestora, de către zgomotul de fond și de către zgomotul amplificatorului utilizat în circuitul pentru măsurarea semnalului. Zgomotul intern are mai

multe componente: zgomotul Johnson, zgomotul de alicie, zgomotul de generare-recombinare, zgomotul de scinteiere etc. [5, 6]. Zgomotul Johnson se datorează fluctuațiilor vitezei purtătorilor de sarcină (fluctuațiilor energiei acestora). El există indiferent dacă sistemul este polarizat sau nu. O rezistență R dezvoltă o tensiune pătratică medie (media se face pe unitatea de timp) de zgomot Johnson dată de expresia

$$\langle v_z^2 \rangle = 4 k T R B, \quad (1.2)$$

unde k este constanta lui Boltzmann, T — temperatura în Kelvin și B — banda de frecvență a sistemului de măsură. Valoarea pătratică medie a curentului de zgomot este

$$\langle i_z^2 \rangle = \frac{4 k T B}{R}, \quad (1.3)$$

iar puterea de zgomot Johnson este $P = k T B$. De exemplu, pentru $R = 40 k\Omega$, $B = 100$ kHz la $T = 300$ K rezultă o tensiune de zgomot $\sqrt{\langle v_z^2 \rangle} = 8 \mu V$. Zgomotul de alicie se datorează fluctuațiilor sarcinii electrice, adică a concentrației purtătorilor de sarcină. El apare în fotodiode când acestea sînt polarizate și este dat de expresia

$$\langle i_z^2 \rangle = 2qIB = 2q[I_s + I_s e^{qV/kT} + I_L]B, \quad (1.4)$$

unde I_s este curentul de saturație, $I_s \exp(qV/kT)$ — curentul direct iar I_L — curentul indus de radiație, care se scrie

$$I_L = \frac{q \eta P_r}{h \nu}, \quad (1.5)$$

unde η este eficiența cuantică, iar P_r — puterea radiantă incidentă ce trebuie detectată. Zgomotul de fond se datorează mediului înconjurător. Notînd cu P_f puterea radiației de fond care cade pe detector, relația (1.5) se modifică și devine

$$I_L = \frac{q \eta (P_r + P_f)}{h \nu}. \quad (1.6)$$

Noțiunea de zgomot de alicie se utilizează în fotodiode iar în fotoconductori se folosește noțiunea de zgomot de generare-recombinare. Zgomotul de generare-recombinare se datorează fluctuațiilor ratelor de generare și recombinare termică a purtătorilor de sarcină ceea ce conduce la fluctuația concentrației medii a acestora. Media pătratică a curentului de zgomot este dată în acest caz de expresia

$$\langle i_z^2 \rangle = 4 q I B \alpha. \quad (1.7)$$

În această relație $\alpha = \mu S \tau / l = \mu V \tau / l^2$ este coeficientul de amplificare al fotocoductorului (V este tensiunea aplicată, l — distanța dintre electrozi, τ — timpul de viață și μ — mobilitatea purtătorilor de sarcină).

$I = I_i + I_L$, unde I_i este curentul de întineric prin fotoconductor iar I_L este dat de relația (1.6) multiplicată cu coeficientul α de amplificare al fotoconductorului. Zgomotul de scintiere sau zgomotul $1/f$ apare în mod uzual în detectorii de infraroșu la frecvențe joase. Puterea zgomotului de scintiere depinde aproximativ invers proporțional de frecvența de modulare a radiației.

Formula generală a mediei pătratice a curentului de zgomot este

$$\langle i_z^2 \rangle = \frac{K \cdot I^m \cdot B}{f^\beta}, \quad (1.8)$$

unde I este curentul de polarizare, K — o constantă de proporționalitate, m — o constantă aproximativ egală cu 2, iar β — o constantă aproximativ egală cu unitatea. Zgomotul $1/f$ se datorează stărilor de suprafață, barierelor de potențial etc. Media pătratică a curentului de zgomot dat de amplificatorul din circuitul de semnal este dată de expresia

$$\langle i_z^2 \rangle = \frac{4 k T_z \cdot B}{R},$$

unde R este rezistența echivalentă și T_z — o temperatură efectivă. În figura 1.2 b este reprezentat spectrul de zgomot al unui fotodetector.

1.4. Limitarea performanțelor detectorilor

Performanțele detectorilor sînt limitate de către zgomot. Pentru a găsi puterea minimă a radiației ce poate fi detectată trebuie să calculăm puterea echivalentă de zgomot P_z .

Notînd cu P_r puterea radiației detectate, curentul de semnal în detector este dat de relația (1.5). Puterea echivalentă de zgomot P_z se obține din relația

$$I_L^2 = \langle i_z^2 \rangle. \quad (1.9)$$

Vom exprima puterea echivalentă de zgomot în următoarele cazuri de limitare a puterii ce poate fi detectată: limitarea de către zgomotul semnalului, de către zgomotul de fond, de către zgomotul dat de curentul de întineric și de către zgomotul amplificatorului.

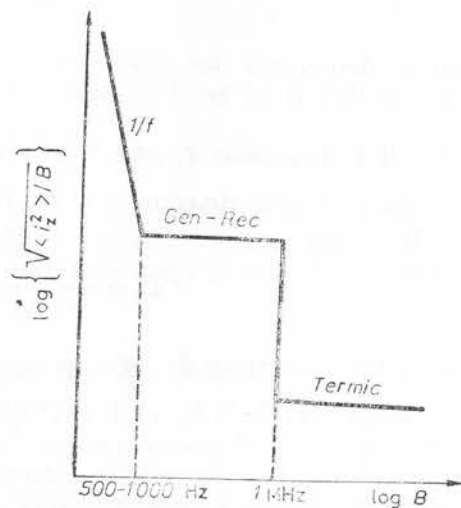


Fig. 1.2.b. — Spectrul de zgomot al unui fotodetector.

1.4.1. Limitarea de către zgomotul amplificatorului

În acest caz pentru un fotoconductor $\langle i_z^2 \rangle$ este dat de expresia (1.7) în care $I = I_L$ dat de expresia (1.5) multiplicată cu α . Se obține

$$P_z \equiv P_r = \frac{4h\nu B}{\eta} \quad (1.10)$$

1.4.2. Limitarea de către zgomotul de fond

În acest caz în ecuația (1.7) se introduce valoarea lui I obținută din (1.6) multiplicată cu α , pentru $P_r \ll P_f$

$$\langle i_z^2 \rangle = 4qB\alpha^2 \frac{q\eta P_f}{h\nu}$$

Înlocuind această valoare în ecuația (1.9) și pe I_L dat de ecuația (1.5) multiplicată cu α se obține

$$P_z = 2 \sqrt{\frac{h\nu P_f B}{\eta}} \quad (1.11)$$

unde P_f este puterea radiată de către mediul înconjurător (nu cea care trebuie detectată) care cade pe detector.

1.4.3. Limitarea de către curentul de întineric

În acest caz în relația (1.7) $I = I_i$ este curentul de întineric și din (1.9) se obține

$$P_z = \frac{h\nu}{\eta q} \sqrt{\frac{2q I_i B}{\alpha}} \quad (1.12)$$

Pentru detectorul fotovoltaic se deduc expresii analoge cu (1.10) — (1.12), utilizând în locul expresiei (1.7) relația (1.4).

1.4.4. Limitarea de către zgomotul amplificatorului

$\langle i_z^2 \rangle$ este dat de ecuația (1.8). Din (1.9) rezultă

$$P_z = \frac{2}{\alpha} \frac{h\nu}{\eta q} \sqrt{\frac{kT_z B}{R}} \quad (1.13)$$

1.4.5. Limitarea de către zgomotul Johnson

Din ecuațiile (1.9), (1.3) și (1.5) se obține

$$P_z = \frac{h\nu}{\alpha \eta q} \sqrt{\frac{4kTB}{R}} \quad (1.14)$$

unde R este rezistența detectorului.

1.4.6. Condiții de material impuse de zgomot

La detectorii de infraroșu se pune problema ca puterea minimă radiantă detectabilă să fie limitată de către zgomotul de fond. Aceasta înseamnă că atât puterea echivalentă de zgomot limitată de către semnal cît și cea limitată de către curentul de întineric sau de către zgomotul Johnson să aibă valori mult mai mici decît puterea echivalentă de zgomot limitată de radiația de fond. Avînd în vedere relațiile (1.10), (1.11), (1.12) și (1.14) se obțin în acest caz următoarele condiții de material pentru fotoconductori

$$\frac{4h \nu B}{\eta} \ll P_f. \quad (1.15)$$

Condiția (1.15) cere ca materialul să aibă o eficiență cuantică cît mai apropiată de unitate și banda de frecvență de măsură a semnalului cît mai îngustă.

$$\frac{h \nu I_i}{2\eta q \alpha} \ll P_f. \quad (1.16)$$

Această condiție prin I_i limitează temperatura maximă de funcționare a fotodetectorului

$$\frac{h \nu k T}{\eta q^2 R \alpha^2} \ll P_f. \quad (1.17)$$

Ea este poate condiția cea mai severă pentru ca performanțele fotoconductorului să fie limitate de către zgomotul de fond.

Notînd cu Φ_f fluxul de fotoni ai radiației de fond și cu A aria detectorului, atunci

$$\frac{P_f}{h \nu} = \Phi_f \cdot A, \quad (1.18)$$

astfel că expresia (1.17) devine

$$\alpha^2 \eta R A \gg k T / q^2 \Phi_f. \quad (1.19)$$

Pentru $\alpha = 1$ relațiile de mai sus se aplică și la fotodiode. Se observă că pentru ca performanțele detectorului să fie limitate de către zgomotul de fond, produsul dintre eficiența cuantică, rezistența și aria detectorului nu poate să scadă sub o valoare minimă.

1.5. Măsurarea caracteristicilor detectorilor

Răspunsul spectral al unui fotodetector se măsoară folosind montajul din figura 1.3. Radiația de la sursa S , trecînd prin sistemul alcătuit din două oglinzi sferice notate cu O , pătrunde în monocromator. Radiația monocromatică ce iese din monocromator este reflectată de către oglinda plană OP și trimisă pe oglinda sferică O care o concentrează pe detectorul D . Sem-

nalul cules este trecut printr-un preamplificator PA la instrumentul de măsură V sau (și) la inscriptor [7]. Circuitul electric al detectorului este reprezentat în figura 1.4. La temperaturi joase rezistența detectorului

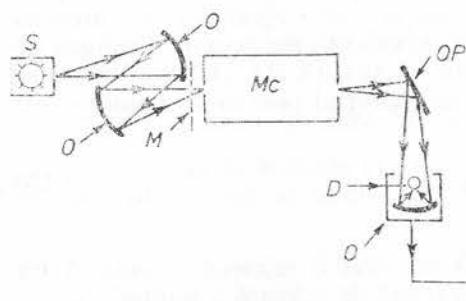


Fig. 1.3. — Schema instalației de măsură a răspunsului spectral.

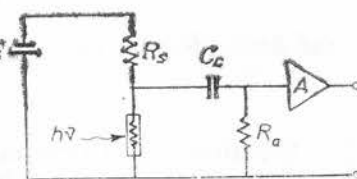


Fig. 1.4. — Circuitul electric al detectorului.

devine foarte mare și rezistența de sarcină R_s din circuit trebuie să aibă valori mari, în unele cazuri de zeci de $M\Omega$. Menționăm că în cazul când semnalul se culege de pe rezistența de sarcină, valoarea maximă a acestuia este atunci când rezistența de sarcină este egală cu rezistența detectorului. Când rezistența de pe care se culege semnalul depășește valoarea rezistenței de intrare a preamplificatorului, atunci se introduce în circuit un tranzistor cu efect de câmp care funcționează ca repetor pe sursă și face trecerea de la impedanță mare la impedanță mică (fig. 1.5).

Pentru a determina responsivitatea spectrală a detectorului se măsoară, de exemplu, tensiunea v_s în funcție de λ . Apoi se înlocuiește detectorul cu un altul de referință a cărui responsivitate spectrală relativă, $\varepsilon(\lambda)$, este cunoscută. Se măsoară tensiunea v_r dată de detectorul de referință în același domeniu spectral și astfel responsivitatea relativă a detectorului se găsește din relația $v(\lambda) = v_s \varepsilon(\lambda) / v_r$. În multe laboratoare neexistind un detector de referință cu responsivitatea spectrală cunoscută, becul folosit

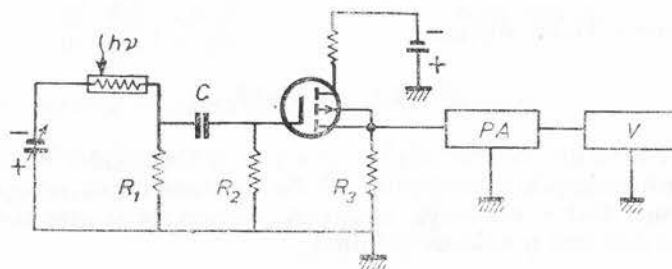


Fig. 1.5. — Circuitul electric al detectorului, cu adaptor de impedanță.

pentru ridicarea caracteristicilor spectrale trebuie etalonat la o unitate specializată. Aceasta înseamnă, printre altele, să se dea puterea radiantă relativă (normată la valoarea ei maximă), γ , în funcție de lungimea de undă, pentru prisma cu care lucrăm în laborator. De exemplu, caracteristica spectrală a unui bec cu filament de wolfram, trasată, folosind un monocromator cu prismă de cuarț, arată ca în figura 1.6.

Măsurînd răspunsul v_s al detectorului la acest bec, folosind un monocromator cu prismă de cuarț, valoarea reală $v(\lambda)$ a semnalului se determină din relația $v(\lambda) = v_s/\gamma$. Pentru comparație, în fig. 1.6 sînt reprezentate

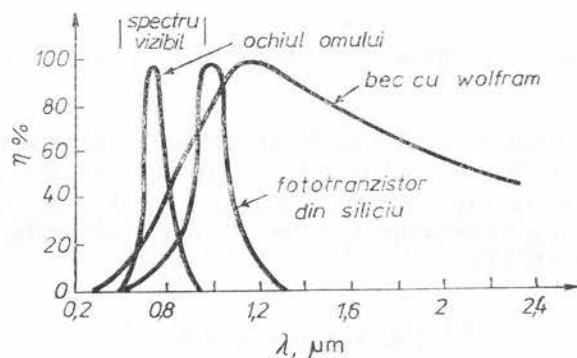


Fig. 1.6. — Spectrul radiației becului cu filament de wolfram, la 2870K, în comparație cu răspunsul spectral al ochiului omenesc și al unui fototranzistor din siliciu.

răspunsurile spectrale ale ochiului omenesc și ale unui fototranzistor din siliciu. Pentru a găsi $v(f)$, răspunsul detectorului în funcție de frecvența f de modulare a fascicolului radiant, se procedează astfel: se măsoară $v_s(f)$, adică răspunsul detectorului în funcție de frecvența f a modulatorului, se scoate detectorul din circuit și se măsoară cu același instrument de măsură tensiunea $v_o(f)$ obținută de la un generator de semnal a cărui frecvență poate fi variată pe domeniul frecvenței modulatorului. Răspunsul la frecvența f se calculează din relația $v(f) = v_s(f)v_o(f_0)/v_s(f_0)v_o(f)$, unde f_0 este frecvența pentru care $v(f_0) = 1$. Dacă răspunsul spectral al detectorului depinde de valoarea tensiunii de polarizare, ceea ce se întâmplă la unii detectori, atunci se ridică aceste caracteristici pentru mai multe tensiuni la care poate funcționa detectorul. Pentru măsurarea puterii de zgomot a detectorului el se polarizează, se înlătură toate sursele de radiație în afara radiației mediului ambiant (radiația de fond) și se măsoară tensiunea de zgomot, v_o , de ieșire, în aceste condiții, pe domeniul de frecvență considerat. Apoi se scot din circuit detectorul și rezistența de sarcină și se înlocuiesc, aceste două elemente, cu o rezistență bobinată care are aproximativ valoarea rezistenței elementelor înlocuite, conectate în paralel. Se măsoară în aceste condiții tensiunea de zgomot, v_a , de la ieșire, în domeniul de frecvență considerat. Se determină apoi coeficientul de amplificare G al amplificatorului din circuit. În acest scop se conectează la intrare un oscilator a cărui frecvență este variabilă și cuprinde domeniul de interes (al frecvenței de modulare a radiației care cade pe detector) și se măsoară tensiunea de la ieșire. G este egal cu raportul dintre tensiunea de la ieșire și tensiunea de la intrare pe care o primește circuitul de la generator. Tensiunea de zgomot, $\sqrt{\langle v_z^2 \rangle}$ normată la lărgimea benzii de frecvență de 1 Hz, se calculează din relația

$$\frac{\sqrt{\langle v_z^2 \rangle}}{\sqrt{B}} = Z(I, f) = \left[\frac{v_o^2(I, f) - v_a^2(f)}{G^2(f)} - Z_s^2 \left(\frac{R}{R_s} \right)^2 \right]^{1/2} B^{1/2}, \quad (1.20)$$

unde $Z_s^2 = 4kTR_sB$ este zgomotul dat de rezistența de sarcină R_s , R — rezistența detectorului, B — banda de frecvență a sistemului de măsură și I — curentul prin detector dat de tensiunea de polarizare.

Pentru a găsi pe B se utilizează relația

$$B = \frac{1}{G_m^2} \int_0^\infty |G(f)|^2 df, \quad (1.21)$$

unde G_m este valoarea maximă a coeficientului de amplificare al sistemului. Frecvența f_m a centrului benzii este frecvența la care $G = G_m$. În cele mai multe cazuri B se ia cuprins între frecvențele f_1 și f_2 la care $G = G_m/\sqrt{2}$. Zgomotul detectorului se reprezintă sub forma unor curbe $Z(I, f) = f(f)$ cu I ca parametru [7].

1.6. Fotorezistențele

Fotorezistența sau fotoconductorul este o rezistență a cărei valoare se modifică sub acțiunea radiației. Forma obișnuită a fotorezistenței este paralelipipedică (fig. 1.7). Circuitul de polarizare și de măsură este reprezentat în figura 1.4. Semnalul de răspuns la radiație se poate măsura fie ca o variație de tensiune pe detector (fig. 1.4), fie ca o variație a tensiunii pe rezistența de sarcină. Se poate, de asemenea, înregistra curentul de scurt-circuit care într-un fotoconductor este dat de relația [8]

$$I_{sc} = d h q (b \Delta n + \Delta p) \mu_p \mathcal{E}, \quad (1.22)$$

unde d și h sînt dimensiunile probei în direcțiile transversale pe direcția de iluminare (fig. 1.7), b este raportul dintre mobilitatea electronilor μ_n și a golurilor μ_p iar \mathcal{E} — cîmpul electric prin probă. Notînd cu V tensiunea aplicată pe probă, $\mathcal{E} = V/l$, unde l este lungimea probei.

Curentul de scurtcircuit se mai poate scrie

$$I_{sc} = A q \eta \Phi \alpha, \quad (1.23)$$

unde A este aria suprafeței pe care cade radiația, Φ — fluxul de fotoni, η — eficiența cuantică (numărul de purtători generați de un foton absorbit) iar α se numește coeficientul de amplificare al fotoconductorului și reprezintă raportul dintre numărul de electroni care trec prin circuitul extern și numărul de electroni generați de radiație. α este egal cu raportul dintre timpul de viață τ al purtătorilor de sarcină și timpul de tranzit al acestora între electroni. Se observă că dacă timpul de viață este mai mare decît timpul de tranzit, α este mai mare decît unitatea. Timpul de viață fotoconductor este determinat de timpul de viață a purtătorilor majoritari [8], astfel că într-un model simplificat

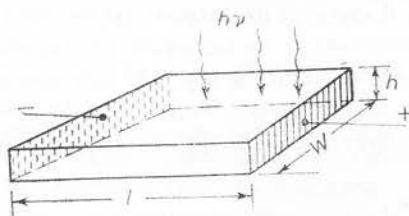


Fig. 1.7. — Circuitul electric al unei fotorezistențe.

se poate considera

$$t_r = \frac{l}{v} = \frac{l^2}{\mu V}, \quad (1.24)$$

unde μ este mobilitatea purtătorilor majoritari. Prin urmare, se poate scrie

$$\alpha = \frac{\tau}{t_r} = \frac{\tau \mu V}{l^2}, \quad (1.25)$$

unde τ este timpul de viață a purtătorilor majoritari.

O expresie mai generală a lui α rezultă din compararea relațiilor (1.22) și (1.23)

$$\alpha = d h \mu_p \mathcal{E}(b \Delta n + \Delta p) / \eta \Phi \quad (1.26)$$

unde Δn și Δp sînt concentrațiile purtătorilor de necchilibru generați de către radiația absorbită.

Fluxul de fotoni $\Phi = P_\lambda / A h \nu$, astfel că relația (1.23) poate fi rescrisă sub forma

$$I_{sc} = \frac{\eta q P_\lambda \mu_p \tau V \lambda}{h c l^2}, \quad (1.27)$$

unde c este viteza luminii. Deci curentul fotoelectric de scurtcircuit este proporțional cu puterea radiantă absorbită, cu tensiunea aplicată pe probă, cu timpul de viață a purtătorilor de sarcină și cu lungimea de undă a radiației, pînă la lungimea de undă de prag λ_0 unde acesta scade la zero (vezi paragraful 1.2).

Tensiunea fotoelectrică la circuit deschis este $v_0 = I_{sc} \cdot R$, unde rezistența R a probei este dată de relația $R = 1/\sigma d h$; σ fiind conductivitatea probei care este egală cu conductivitatea de întuneric dacă radiația aduce o modificare neglijabilă. Dacă R_s este rezistența de sarcină în serie cu fotorezistența, atunci, tensiunea v_s culeasă de pe rezistența de sarcină este dată de expresia

$$v_s = v_0 \frac{R}{R + R_s}.$$

Dacă se aplică asupra probei un puls de radiație (radiația este modulată), se obține

$$I_{sc}(f) = \frac{I_{sc}(0)}{(1 + \omega^2 \tau^2)^{1/2}}, \quad (1.18)$$

unde $f = \omega/2\pi$ este frecvența de modulare a radiației. Frecvența la care $I_{sc} = I_{sc0}/\sqrt{2}$ se numește frecvența de tăiere. Ea se obține pentru $\omega\tau = 1$ și are valoarea $f_c = 1/2\pi\tau$. Avînd în vedere expresia (1.25) a lui α se observă că produsul $\alpha \cdot f_c$ este o mărime constantă pentru o probă de o anumită lungime și la o anumită tensiune de polarizare. Astfel dacă prin variația lui τ crește coeficientul de amplificare atunci scade frecvența de tăiere.

Fotoconductorii pot fi extrinseci sau intrinseci. În cei intrinseci prin adsorbția fotonilor de energie $h\nu$, cel puțin egală cu lărgimea benzii interzise E_g a semiconductorului, se generează perechi electron-gol (fig. 1.8a);

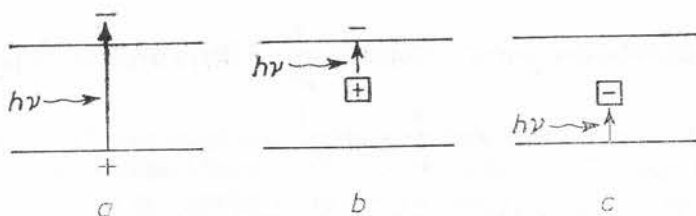


Fig. 1.8. — Procese de generare a purtătorilor liberi în semiconductori.

lungimea de undă de prag este dată de relația (1.1). Fotoconductorii extrinseci sînt cei în care energia fotonilor nu este suficientă pentru a genera perechi electron-gol libere, ci se generează fie numai electroni liberi, prin excitarea acestora de pe centrii de impuritate în banda de conducție (fig. 1.8 b), fie numai goluri libere, prin excitarea electronilor din banda de valență pe centrii de impurități (fig. 1.8c). Pentru fotoconductorul intrinsec coeficientul de amplificare este

$$\alpha = \frac{(\mu_n \tau_n + \mu_p \tau_p) V}{l^2},$$

unde τ_n este timpul de viață a electronilor și τ_p — timpul de viață a golurilor. În general fotoconductorul intrinsec se poate realiza atît din semiconductori intrinseci cît și din semiconductori extrinseci, ultimul caz fiind cel obișnuit. Contribuția purtătorilor minoritari la procesul de fotoconducție fiind în cele mai multe cazuri neglijabilă, α este de forma (1.25). Responsivitatea de curent poate fi scrisă

$$\mathfrak{R}_\lambda(I_{sc}) = \frac{I_{sc}}{P_\lambda} = \frac{q \eta \alpha \lambda}{hc} \quad (1.29)$$

și avînd în vedere relația (2.25), rezultă

$$\mathfrak{R}_\lambda(I_{sc}) = \frac{q \eta \lambda \tau \mu V}{l^2}. \quad (1.30)$$

Din relația (1.30) se observă că responsivitatea crește cu creșterea lui η , a lui τ și a rezistenței probei. Creșterea lui η se poate realiza folosind un strat antireflectant și mărind grosimea detectorului. Pentru fotorezistența din HgCdTe acoperită cu un strat antireflectant de ZnS se obțin valori ale lui η cuprinse în domeniul 70 ÷ 90% [9]. Pentru ca performanțele fotoconductorului să fie limitate de către zgomotul de fond trebuie îndeplinită relația (1.19). Aceasta implică valori mari ale lui α , η , R și A și tem-

peraturi joase de funcționare. Dintre fotoconductorii extrinseci cel mai mult se folosesc cei construiți din Si și Ge dopați cu impurități [7].

În tabela 1.2 sînt date energiile E_i de ionizare a unor impurități și lungi mîle de undă de prag în Si și Ge dopați. Acești detectori funcționează la temperaturi joase, astfel încît impuritățile să nu fie ionizate termic.

Fotoconductorii intrinseci pot funcționa la temperaturi mai înalte. În tabela 1.3 sînt reprezentați unii semiconductori care pot funcționa ca fotoconductori intrinseci. De mare interes se bucură în ultimul timp com-

Tabela 1.2

Energii de ionizare a impurităților și lungimea de undă λ_0 de prag în semiconductorii Si și Ge

Semiconductor : Impuritate	E_i , eV	λ_0 , μm
Si : In	0,155	8
Si : Ga	0,0723	17
Si : Bi	0,0706	18
Si : Al	0,0685	18
Si : As	0,0537	23
Si : P	0,045	28
Si : B	0,0439	28
Si : Sb	0,043	29

Tabela 1.3

Caracteristicile unor semiconductori utilizați ca fotoconductori intrinseci

Semiconductor	T , K	E_g , eV	λ_0 , μm
ZnS	295	3,70	0,34
CdS	295	2,4	0,52
GaP	295	2,24	0,56
CdSe	295	1,8	0,69
CdTe	295	1,50	0,83
GaAs	295	1,35	0,92
Si	295	1,12	1,1
Ge	295	0,67	1,8
PbS	295	0,42	2,9
PbSe	195	0,23	5,4
InAs	195	0,39	3,2
InSb	77	0,32	5,4
$\text{Pb}_{0,2}\text{Sn}_{0,8}\text{Te}$	77	0,1	12
$\text{Hg}_{0,8}\text{Cd}_{0,2}\text{Te}$	295	0,1	12

pușii ternari $\text{Hg}_{1-x}\text{Cd}_x\text{Te}$ și $\text{Pb}_{1-x}\text{Sn}_x\text{Te}$ care funcționează în regiunea spectrală $8 \div 14 \mu\text{m}$ ce corespunde fereastrei atmosferice.

În figura 1.9 este reprezentată structura unui detector fotoconduc-tiv din HgCdTe care funcționează nerăcit în domeniul $8 \div 14 \mu\text{m}$ [10]. Elementele structurii sale sînt : (1) capcană de căldură din cupru (radiator), (2) rășină pentru fixarea detectorului pe ra-diator, (3) strat de Au reflectant, (4) CdTe , (5) $\text{Hg}_{1-x}\text{Cd}_x\text{Te}$, (6) strat de Au, (7) strat de In, (8) conductor de cupru. În cele mai multe cazuri peste stratul de HgCdTe se depune un strat izolator antireflectant. Pentru un astfel de detector cu aria de $0,3 \times 0,3 \text{ mm}^2$ s-a obținut la lungimea de undă de $10,6 \mu\text{m}$ responsivitatea la tensiune de 1 V/W și detectivitatea $D^* = 10^5 \text{ cm}^2 \text{ s}^{-1/2} \text{ W}^{-1}$. Detectivitatea și responsivitatea acestui foto-detector sînt cu cîteva ordine de mărime mai mari decît a altor detectori care funcționea-ză, de asemenea, nerăciți, cum ar fi cel piroelectric sau cel cu antrenare fonică. La performanțe asemănătoare se ridică detectorul din HgCdTe pe bază de efect fotoelectromagnetic (compusul ternar HgCdTe poate aco-peri un domeniu mare de lungimi de undă, de la $< 1 \mu\text{m}$ la $30 \mu\text{m}$).

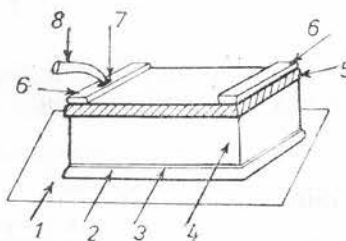


Fig. 1.9. — Structura unui foto-conduc-tor din HgCdTe .

1. 7. Fotodiode

În fotodiode apare o tensiune electromotoare ca urmare a separării electronilor și gurilor, generate de radiație, de către un câmp electric intern care există în joncțiunea $p-n$, în dioda Schottky, în dioda $p-i-n$, în heterojoncțiuni, etc [4]. Construcția diverselor fotodiode este reprezentată în figura 1.10: joncțiunea $p-n$ (fig. 1.10a), dioda $p-i-n$ (fig. 1.10b), dioda $p-i-n$ în care iluminarea se face paralel cu planul joncțiunii (fig. 1.10 c), dioda Schottky (fig. 1.10 d), dioda metal- $i-n$ (fig. 1.10 e), dioda cu contact punctiform (fig. 1.10 f).

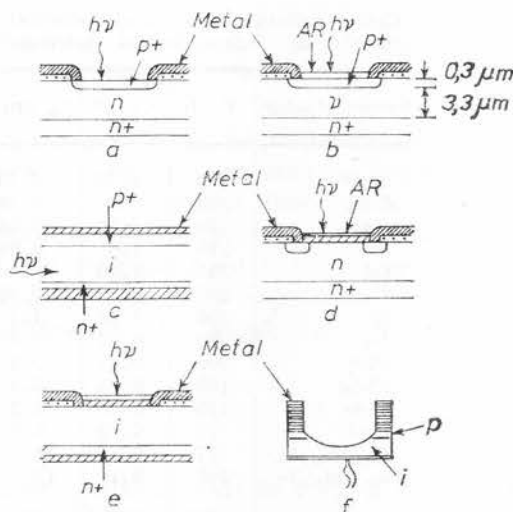


Fig. 1.10. — Diverse tipuri de fotodiode.

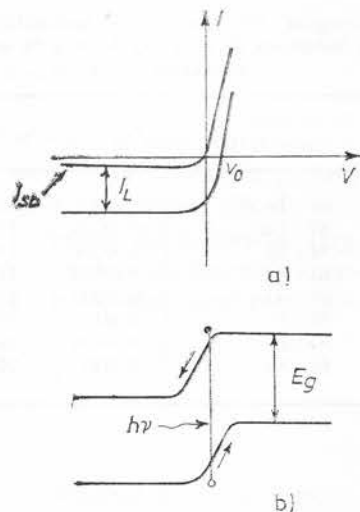


Fig. 1.11. — Caracteristica curent-tensiune a unei fotodiode.

Fotodiodea poate funcționa ca detector fără tensiune de polarizare sau la polarizare inversă. Caracteristica $I-V$ a fotodiodei cu joncțiune $p-n$ (fig. 1.11) este dată de expresia

$$I = I_s(e^{qV/kT} - 1) - I_L,$$

unde I_L este dat de ecuația (1.5). Tensiunea la circuit deschis, adică tensiunea fotoelectromotoare este dată de relația

$$V_0 = I_L \cdot R, \quad (1.31)$$

unde

$$\frac{1}{R} = \left. \frac{dI}{dV} \right|_{V=0} = \frac{q I_s}{kT}. \quad (1.32)$$

Produsul RA care caracterizează performanțele unui detector (paragraful 1.4) are pentru joncțiunea $p-n$ valoarea

$$RA = \frac{(kT)^{1/2}}{q^{3/2} n_i^2} \left[\frac{1}{p} \left(\frac{\mu_n}{\tau_n} \right)^{1/2} + \frac{1}{n} \left(\frac{\mu_p}{\tau_p} \right)^{1/2} \right]^{-1}, \quad (1.33)$$

unde n_i este concentrația purtătorilor de sarcină intrinseci, n și p sînt concentrațiile purtătorilor majoritari din cele două regiuni ale joncțiunii, μ_n și μ_p — mobilitățile electronilor și golurilor, τ_n și τ_p — timpii de viață ai electronilor și golurilor din regiunea p și, respectiv, n .

Pentru dioda Schottky produsul RA are valoarea

$$RA = \frac{kT^{-1}}{qA^*} e^{qV_b/kT}, \quad (1.34)$$

unde $A^* = (4\pi q k^2 m^*/h^3)$ este constanta lui Richardson și V_b — înălțimea barierei de potențial Schottky. În cazul semiconductorilor de tip p cu bandă îngustă, înălțimea barierei de potențial qV_b nu depășește semnificativ lărgimea benzii interzise și este independentă de lucrul de ieșire a electronilor din metal. Responsivitatea de tensiune este dată de expresia

$$\mathfrak{R} = \frac{v_0}{P_\lambda} = \frac{\eta q \lambda}{hc} R, \quad (1.35)$$

unde s-a ținut cont de relația (1.31), iar detectivitatea este dată de expresia

$$D^* = \frac{\eta q \lambda}{2 h c} \left(\frac{RA}{kT} \right)^{1/2}. \quad (1.36)$$

Detectivitatea fiind legată direct de puterea echivalentă de zgomot (ecuația (1.2)) este o mărime care caracterizează direct sensibilitatea detectorului. Relațiile de mai sus sînt valabile atît pentru joncțiunea $p-n$ cît și pentru dioda Schottky. Materialul cel mai util pentru detectori de infraroșu este Si (dopat) datorită posibilităților de realizare a sensorilor de imagine într-o tehnologie integrată. Însă, materialele cu cele mai bune performanțe, care pot funcționa ca detectori fie fotoductivi fie fotovoltaici, chiar la temperatura camerei, sînt compușii ternari HgCdTe și PbSnTe. În cele ce urmează vom prezenta comparativ pentru joncțiune $p-n$ și diode Schottky, realizate din aceste materiale și din PbSnSe, valorile lui D^* calculate folosind parametrii de material prezentați în tabela 1.4 la 77 K [11].

Tabela 1.4

Parametrii materialelor PbSnTe, PbSnSe și HgCdTe la 77 K

Materialul	E_g , eV	μ_n	μ_p	m_1/m_0	m_t/m_0	m_l/m_0	m_h/m_0	ε_∞	ε_s
		(cm ² /V · s)							
PbSnTe	0,1	2 · 10 ⁴	2 · 10 ⁴	0,145	0,012	0,017	0,069	53	428
PbSnSe	0,1	2 · 10 ⁴	2 · 10 ⁴	0,043	0,023	0,027	0,071	25	227
HgCdTe	0,1	1,6 · 10 ⁵	9 · 10 ²	0,007	0,007	0,007	0,007	12,6	18,1

În figura 1.2 sînt reprezentate valorile produsului RA , (1.33) și (1.34), în domeniul de temperatură 50 ÷ 200 K. Pentru calculul lui $E_g(T)$ la diverse temperaturi s-a utilizat relația $E_g = E_g(0) + \beta T$, unde $\beta = 4 \cdot 10^{-4}$; $4,5 \cdot 10^{-4}$ și $3 \cdot 10^{-4}$ eV/K pentru PbSnTe, PbSnSe și, respectiv,

HgCdTe. Timpul de viață s-a considerat că este determinat de recombinarea Auger bandă-bandă și pentru calculul la diverse temperaturi în compuşii PbSnTe și PbSnSe s-au utilizat relațiile [12]:

$$\tau_n = \frac{1}{r_n p^2}; \quad \tau_p = \frac{1}{r_p n^2}$$

în care s-a presupus $r_n = r_p = r_A$, unde r_A este coeficientul de recombinare Auger [13]. Pentru aceste două materiale variația cu temperatura

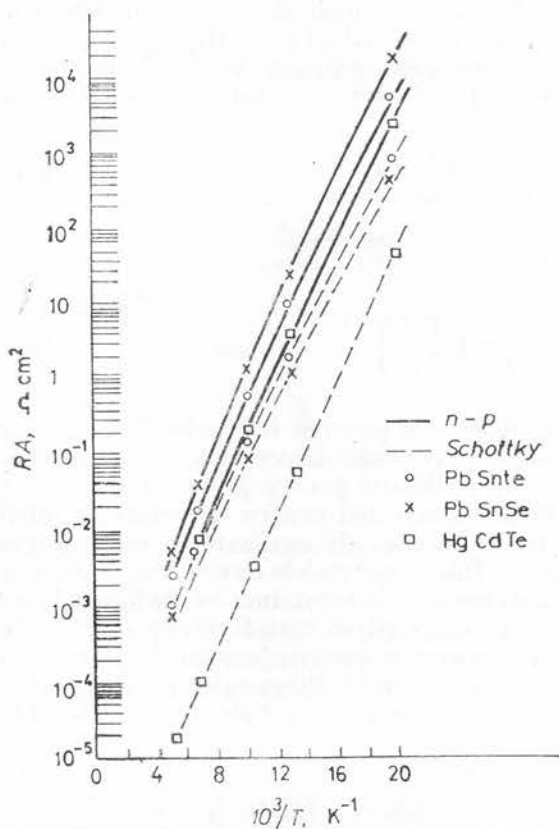


Fig. 1.12. — Produsul RA pentru fotodiode cu joncțiune p-n și cu barieră Schottky.

a masei efective este de forma $m^*(T) = M^*(0)E_g(T)/E_g(0)$, iar mobilitatea electronilor s-a luat identică cu a golurilor și s-a considerat proporțională cu $T^{-2,6}$. Pentru HgCdTe s-au folosit următoarele expresii ale timpului de viață

$$\tau_n = 2 \tau_{Ai}(n_i/p)^2; \quad \tau_p = 2 \tau_{Ai}(n_i/n)^2,$$

unde τ_{Ai} este timpul de viață Auger intrinsec [14]. Se observă că produsul RA este mai mare pentru joncțiunile p-n decât pentru diodele Schottky și, de asemenea, are valoarea cea mai mare pentru PbSnSe și valoarea cea mai mică pentru HgCdTe. În tabela 1.5 sînt prezentate valorile detectivității calculate pentru joncțiuni p-n și diode Schottky, la 77K, pentru lun-

gimea de undă de prag $\lambda_0 = 12,4 \mu\text{m}$ ($E_g \approx 0,1\text{eV}$). În același tabel este reprezentată și capacitatea stratului de baraj pe unitatea de arie, folosind concentrația purtătorilor de sarcină $N = np/(n + p) = 10^{16}\text{cm}^{-3}$, pentru

Tabela 1.5

Valorile lui RA , D^* și C/A pentru fotodiode

Material	Dilode Schottky		joncțiuni $p-n$		
	$RA, \Omega\text{cm}^2$	$D^*, \text{cmHz}^{1/2}/\text{W}$	$RA, \Omega\text{cm}^2$	$D^*, \text{cmHz}^{1/2}/\text{W}$	$C/A, \text{F}/\text{cm}^2$
PbSnTe	1,9	$2,1 \cdot 10^{11}$	9,8	$4,8 \cdot 10^{11}$	0,56
PbSnSe	1,2	$1,7 \cdot 10^{11}$	28,5	$8,2 \cdot 10^{11}$	0,4
HgCdTe	0,06	$3,7 \cdot 10^{10}$	4,1	$3,1 \cdot 10^{11}$	0,11

joncțiunea $p-n$ și concentrația purtătorilor în materialul de tip p de 10^{16}cm^{-3} în cazul barierelor Schottky. În comparație cu fotoconductorii, fotodiodele au avantajul că au timpul de răspuns mai mic și se folosesc în aplicațiile la înaltă frecvență, ca de exemplu în comunicațiile cu laseri în domeniul de lungimi de undă unde nu se pot folosi fotomultiplicatorii. Viteza de răspuns este determinată de constanta de timp RC , de timpul de tranzit și de timpul de viață a purtătorilor de sarcină. În detectorii foto-voltaici practici mecanismul de generare a purtătorilor de sarcină este efectul fotoelectric intrinsec.

1.8. Fotodiode cu avalanșă

În fotodiodele cu avalanșă, purtătorii generați prin efect fotoelectric generează la rândul lor perechi electron-gol când se deplasează prin regiunea de sarcină spațială a structurii. Aceste fotodiode funcționează în general la polarizare inversă. Generarea perechilor electron-gol are loc în câmpuri electrice intense, de ordinul $10^5 \text{V}/\text{cm}$, și se caracterizează prin coeficienții de ionizare α pentru electroni și β pentru goluri. Acești coeficienți variază puternic cu câmpul electric după o lege de forma $\exp(-\xi_0/\xi)$ [4] iar coeficientul M , de multiplicare a purtătorilor de sarcină, variază cu tensiunea aplicată după legea empirică

$$M = K \left(1 - \frac{V}{V_s} \right)^{-1},$$

unde K este o constantă și V_s — tensiunea de străpungere. La tensiuni mari $1/M$ este o funcție liniară de tensiunea aplicată, așa cum se observă în figura 1.13, pentru o fotodiodă, cu structură mesa, din siliciu [15]. La proiectarea fotodiodelelor cu avalanșă trebuie luate precauții speciale pentru a asigura uniformita-

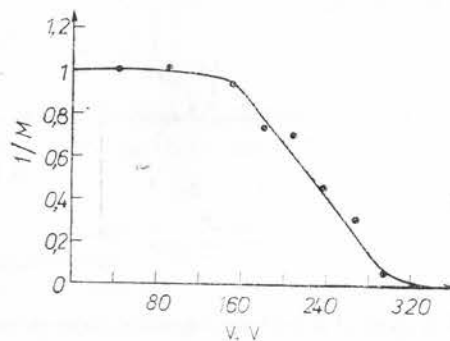


Fig. 1.13. — Dependența de tensiune aplicată a coeficientului de multiplicare a purtătorilor de sarcină.

tea spațială a multiplicării purtătorilor de sarcină pe întreaga arie sensibilă la radiație a diodei. Microplasmalele sînt regiuni mici care au tensiunea de străpungere mai mică decît restul joncțiunii, ceea ce limitează amplificarea dispozitivului. Selecția materialelor fără defecte și condițiile de puritate din timpul preparării poate conduce la diode fără regiuni de microplasmă. De asemenea, pot apare neuniformități spațiale ale coeficientului de multiplicare datorită neomogenităților de dopaj ale materialului inițial sau neomogenităților profilului de difuzie. Un alt neajuns este legat de faptul că în dispozitivele planare cîmpul electric la marginile joncțiunii este mai intens decît în interiorul său. Această deficiență poate fi înlăturată prin realizarea unei structuri cu inel de gardă (fig. 1.14 a). La prepararea acestei structuri se folosesc două procese de difuzie: o difuzie pentru a forma inelul de gardă de tip n și o difuzie pentru a forma joncțiunea activă n^+p . O structură analogă poate fi structura complementară p^+n precum și dioda Schottky cu inel de gardă (fig. 1.14 b). Primul strat, notat cu 1 este un strat antireflectant iar stratul metalic, 2, este un strat semitransparent. Cu toate că inelul de gardă conduce la creșterea tensiunii de străpungere a structurii, totuși acesta conduce la creșterea capacității și la micșorarea vitezei de răspuns.

Pentru a elimina și acest neajuns se utilizează o structură inversată numită și de adîncime, reprezentată în figura 1.14 c [16]. Se realizează întîi

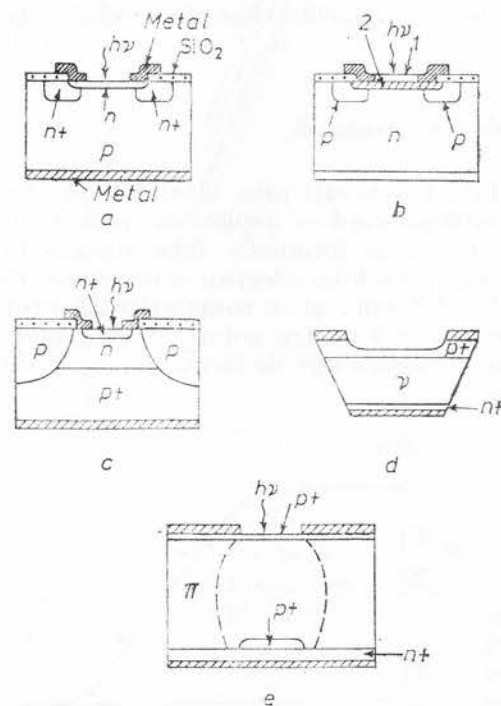


Fig. 1.14. — Tipuri de fotodiode cu avalanșă.

și cu regiunea π slab dopată. Grosimile și concentrațiile regiunilor n^+ și p se proiectează astfel încît stratul de baraj din regiunea p să vină în contact cu regiunea π atunci cînd coeficientul de amplificare atinge va-

epitaxial joncțiunea np^+ apoi se formează prin difuzie regiunea p și contactul n^+ care este îngust. Structura optimă se realizează prin ajustarea grosimii și concentrației de dopaj ale regiunii n . O altă metodă de a evita realizarea unui inel de gardă constă în a da structurii o astfel de formă încît cîmpul electric, în regiunea unde joncțiunea $p-n$ atinge suprafața, să fie mai mic decît în regiunea activă a detectorului. O asemenea structură, mesa înclinată, care se mai numește și structură cu suprafață conturată este reprezentată în figura 1.14 d. Întîi se formează joncțiunea p^+n , de exemplu, prin difuzia Ga în Si- n de rezistivitate mare. Apoi structura se taie la margini astfel ca acestea să fie înclinate sub un unghi de $6 \div 10^\circ$. O altă structură, reprezentată în figura 1.14 e, este $n^+p\pi p^+$. Regiunea n^+ este contact ohmic și în același timp inel de gardă pentru joncțiunea n^+p , deoarece ea vine în contact

loare $10 \div 20$. Cu creșterea în continuare a tensiunii de polarizare inversă, coeficientul de amplificare se modifică mai puțin deoarece stratul de baraj se extinde în regiunea π și deci valoarea maximă a cîmpului în regiunea n^+p se modifică mai puțin. Pe același principiu s-au realizat și fotodiode cu avalanșă metal-oxid-semiconductor [17,7]. Coeficientul de amplificare a fotocurentului în fotodiodele cu avalanșă este limitat de către efectul de saturație indus de curent precum și de către produsul amplificare \times bandă de frecvență. Efectul de saturație indus de curent constă în aceea că cu creșterea curentului electric (în procesul de multiplicare), crește căderea de tensiune pe rezistența serie a diodei și pe cea de sarcină ceea ce conduce la micșorarea cîmpului electric în joncțiune și deci a coeficientului de multiplicare. Efectul de saturație se manifestă la intensități mari ale luminii, în care caz curentul multiplicat crește cu rădăcina pătrată din fotocurent și nu liniar cu acesta, cum se întâmplă la intensități mici ale luminii [18]. La intensități mici de iluminare, valoarea maximă a coeficientului de multiplicare este limitată de către curentul de întuneric. Micșorarea curentului de întuneric duce la creșterea coeficientului de multiplicare. Produsul amplificare \times bandă depinde de raportul dintre ratele de ionizare a electronilor și golurilor și este invers proporțional cu valoarea medie a timpului de tranzit al purtătorilor prin regiunea de multiplicare. În cazul în care are loc generarea numai a unui singur tip de purtători de sarcină (raportul între cei doi coeficienți de ionizare este mult diferit de unitate) produsul amplificare \times bandă nu mai limitează coeficientul de multiplicare.

Zgomotul în fotodiodele cu avalanșă este determinat de fluctuațiile în procesul de multiplicare a purtătorilor de sarcină [19]. În cazul cînd coeficienții de ionizare a electronilor și golurilor sînt egali între ei se obține pentru valoarea pătratică medie a curentului de zgomot alb expresia

$$\langle i_z^2 \rangle = 2q M^3 I_0 B,$$

unde I_0 este suma dintre fotocurent și curentul de întuneric iar curentul total prin circuit este $I = M I_0$. În cazul în care rata de ionizare a electronilor este mult diferită de a golurilor și procesul de multiplicare este inițiat de către purtătorii cu rata de ionizare mai mare, zgomotul este mai mic și anume

$$\langle i_z^2 \rangle = 2q M^2 I_0 B \left(2 - \frac{1}{M} \right).$$

Zgomotul este mic în fotodiodele cu joncțiune din siliciu și în fotodiodele cu barieră Schottky din GaAs. Performanțele unor fotodiode cu avalanșă sînt prezentate în tabela 1.6.

1.9. Fototranzistorul

Fototranzistorul este un tranzistor $p-n-p$ sau $n-p-n$ sensibil la radiație [5, 21]. Se fabrică în același mod cu tranzistorul convențional cu deosebirea că în montura tranzistorului se aplică o lentilă sau o fereastră prin care să pătrundă radiația. Materialele ce se folosesc în mod curent sînt Ge și Si. Răspunsul spectral este cuprins în domeniul $1,8 \div 0,4 \mu\text{m}$ pentru

Tabela 1.6

Performanțele fotodiodelor cu avalansă

Material	Tip	$\lambda_q, \mu\text{m}$	τ, ns	M	V_{gs}, V
Si(IG)	n^+p	0,694	0,5	100	160—220
Si(MI)	p^+n	1,06	10	100—200	1 500—2 000
Si	n^+p^+p	1,06	2	100	300—475
InAs	pn	0,5—3,5	1	100	10
InSb	pn	0,5—5,5	—	10	7
GaAs	Pt-nGaAs	0,4—0,8	1	100	60

IG-inel de gardă, MI-mesa înclinat,

Ge și $1,1 \div 0,4 \mu\text{m}$ pentru Si. Timpul de răspuns poate atinge valoarea 10^{-7}s . Un fototranzistor $n-p-n$ este reprezentat în figura 1.15 [5] semnalul se culege pe rezistența de sarcină R_s și diagrama sa de benzi de energie în figura 1.16. În schema electrică din figura 1.15 electrodul bazei este lăsat în gol iar sursa de tensiune se conectează între colector și emitor cu polul pozitiv la colector. În aceste condiții joncțiunea colector-bază este polarizată invers iar joncțiunea emitor-bază este ușor polarizată direct sau practic nepolarizată. Prin iluminare se generează perechi electron-gol în vecinătatea joncțiunii colector-bază (fig. 1.16). Electronii generați se deplasează la colector iar golurile generate se deplasează în bază și încarcă baza cu sarcină pozitivă. Aceasta este similar cu o polarizare directă a joncțiunii emitor-bază și conduce la injecția electronilor din emitor în bază. Curentul

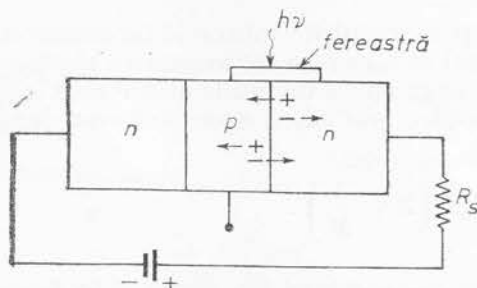


Fig. 1.15. — Fototranzistorul

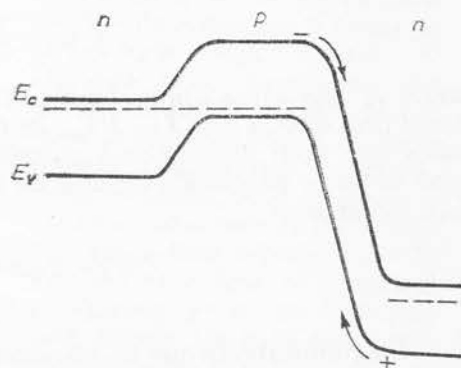


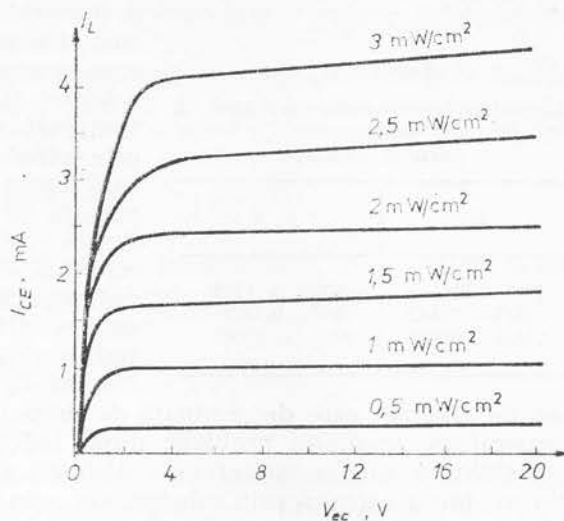
Fig. 1.16. — Diagrama de benzi de energie a fototranzistorului.

de injecție la emitor durează atât timp cât golurile generate în bază recombină sau difuzează în emitor prin joncțiunea emitor-bază. Coeficientul de amplificare al fototranzistorului este, ca și în cazul unui fotoconductor, dat de raportul dintre timpul de viață a electronilor în bază și timpul lor de tranzit prin bază. Coeficientul de amplificare G este dat de expresia

$$G = 1 + \sigma_e L_{pe} / (\sigma_b \cdot d),$$

unde σ_e este conductivitatea emitorului, σ_b — conductivitatea bazei, L_{pe} — lungimea de difuzie a golurilor în emitor iar d — grosimea bazei. Această relație este valabilă în condițiile în care golurile nu recombină în bază

Fig. 1.17. — Caracteristicile de colector ale unui fototranzistor pentru diverse valori ale intensității luminii incidente.



și timpul lor de viață este determinat de difuzia lor în regiunea emitor [18]. În general $\sigma_e > \sigma_b$ și $L_{pe} \gg d$ astfel că G poate atinge valoarea 100. Curentul prin tranzistor este dat de expresia

$$I_L = G \cdot I_\lambda,$$

unde $I_\lambda = \eta q \Phi A$ este curentul datorat iluminării care ar curge prin tranzistor dacă acesta ar avea numai joncțiunea colector-bază. Caracteristicile de colector ale unui fototranzistor sînt reprezentate în figura 1.17. Parametrul caracteristic fiecărei curbe este intensitatea luminii care cade pe unitatea de suprafață a fototranzistorului. Aceste curbe sînt analoge cu $I_c = f(V_{ec})$ în care parametrul caracteristic fiecăreia este curentul bazei I_b [4]. Iluminarea s-a făcut cu un bec de wolfram cu temperatura de funcționare 2 870 K (fig. 1.6).

1.10. Termistorul

Termistorul (thermally sensitive resistor) este un bolometru. Bolometrul este analogul termic al unui fotoconductor, adică rezistența sa variază sensibil cu temperatura. Coeficientului termic α al rezistenței este definit de expresia

$$\alpha = \frac{1}{R} \frac{dR}{dT}.$$

De exemplu, o valoare practică a lui α este $-3,4\%/^{\circ}\text{C}$. Bolometrul cu termistor este un detector sensibil în infraroșu și are responsivitate bună în domeniul $1 \div 15 \mu\text{m}$. El se prepară dintr-un material semiconduc-

tor sinterizat care este compus din oxizi de mangan, cobalt și nichel [22], sub formă de bară, disc, sferă, sondă etc. Domeniul de temperatură în care poate fi folosit depinde de rezistența sa R (tabela 1.7).

Deoarece variația temperaturii mediului ambiant modifică rezistența termistorului, pentru o mai corectă măsurătoare se utilizează doi termistori identici, conectați în punte, dintre

Tabela 1.7

Rezistența termistorului la 25°C și domeniul de temperatură în care poate fi utilizat

R	T, F
100Ω—2kΩ	—100F la 150F
2kΩ—75kΩ	150F—la 300F
75kΩ—500kΩ	300F la 600F

care numai pe unul cade radiația de măsurat (În cazul în care se măsoară o temperatură, numai unul din termistori este introdus în incinta a cărei temperatură dorim s-o măsurăm). Un circuit de măsură în punte este reprezentat în figura 1.18, unde termistorul T_1 este de referință iar T_2 este cel pe care cade radiația. Tensiunea V_0 este proporțională cu diferența de temperatură. Inițial se ajustează, prin intermediul rezistorului R_v , valoarea zero a lui V_0 . Viteza de răspuns este determinată de timpul în care termistorul revine la temperatura mediului ambiant după îndepărtarea radiației incidente.

Căldura din termistor este disipată (îndepărtată) prin radiație or prin conducție termică prin substrat sau prin firele de legătură. În general, disiparea căldurii se face prin substrat și în acest caz timpul de răspuns este controlat de către raportul dintre capacitatea calorică a termistorului și conductanța termică dintre termistor și substrat.

1.11. Detectorul piroelectric

Detectorul piroelectric are performanțe foarte bune la temperatura camerei în ceea ce privește sensibilitatea și răspunsul la frecvență. Materialele piroelectrice prezintă polarizare electrică spontană care se pune în evidență prin apariția unei tensiuni între doi electrozi atașați de o parte și de alta a probei. La temperatură constantă sarcina din interior este neutralizată de către sarcina de la suprafață, astfel că nu se poate detecta o tensiune. Această sarcină de la suprafață este relativ stabilă, astfel că dacă se modifică puțin temperatura probei se modifică distribuția sarcinii din interior și deci se modifică sarcina de la suprafață și se poate detecta o tensiune. Un detector piroelectric este un capacitor format dintr-un material feroelectric sensibil la temperatură care are doi electrozi atașați pe două fețe opuse. Dacă pe detector cade o radiație modulată atunci apare o variație alternativă ΔT a temperaturii acestuia și o sarcină alternativă

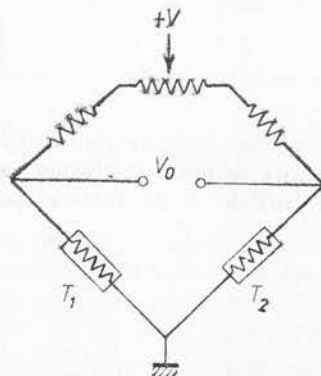


Fig. 1.18. — Circuit de măsură cu termistori.

o tensiune. Această sarcină de la suprafață este relativ stabilă, astfel că dacă se modifică puțin temperatura probei se modifică distribuția sarcinii din interior și deci se modifică sarcina de la suprafață și se poate detecta o tensiune. Un detector piroelectric este un capacitor format dintr-un material feroelectric sensibil la temperatură care are doi electrozi atașați pe două fețe opuse. Dacă pe detector cade o radiație modulată atunci apare o variație alternativă ΔT a temperaturii acestuia și o sarcină alternativă

$$\Delta Q = p A \Delta T,$$

unde p este coeficientul piroelectric și A — aria detectorului prin care se absoarbe radiația. Curentul dat detector este proporțional

cu rata de variație a temperaturii

$$i_s = pA \frac{d(\Delta T)}{dt},$$

iar tensiunea V ce se dezvoltă pe o rezistență R conectată în serie cu detectorul este $V = i_s R$. Dacă puterea radiată P este modulată cu frecvența $\omega/2\pi$

$$P(t) = P_0 \exp(j\omega t), \quad j = \sqrt{-1},$$

și din ea se convertește în căldură numai fracțiunea η , atunci variația de temperatură se găsește din ecuația diferențială

$$C \frac{d(\Delta T)}{dt} + G \Delta T = \eta P_0 e^{j\omega t},$$

unde $C = c\rho lA$ este capacitatea calorică a detectorului, G — conducția termică între detector și mediul înconjurător, c — căldura specifică, ρ — densitatea, l — lungimea și A — aria detectorului.

Din relația de mai sus se obține

$$\Delta T = \frac{\eta P_0 e^{j\omega t}}{G + j\omega C} \text{ și } i_s = \frac{\eta p A P_0 \omega \tau}{\sqrt{2} C \sqrt{1 + \omega^2 \tau^2}},$$

unde $\tau = C/G$.

În general $\omega\tau \gg 1$, astfel că

$$i_s = \eta p A \frac{P_0}{C}.$$

Tensiunea v_s măsurată pe detector este

$$v_s = \frac{i_s R_d}{(1 + \omega^2 R_d^2 C_d^2)^{1/2}},$$

unde R_d și C_d sînt rezistența echivalentă și capacitatea detectorului. În general $\omega^2 R_d^2 C_d^2 \gg 1$ și avînd în valoare că $C_d = \epsilon\epsilon_0/A$ se obține

$$v_s = \frac{\eta p P_0}{\sqrt{2} c \rho A \epsilon \epsilon_0}.$$

Dintre materialele feroelectrice utilizate în detectorii piroelectrici cităm [23]: TGS (sulfat de triglicină), LiTaO₃ (tantalat de litiu), Pb₅Ge₃O₁₁

(germanat de plumb), PL_zT (titanat zirconat de plumb dopat cu lanthan), PL_z (titanat zirconat de plumb), PVF_2 (diflorura de polivinil) și $NiBr$ boraxat. Caracteristicile acestor materiale sînt prezentate în tabela 1.8, unde ϵ este permitivitatea relativă și $\operatorname{tg} \delta$ este tangenta de pierderi dielectrice. Puterea echivalentă de zgomot limitată de fluctuațiile de temperatură este

$$P_z(\Delta T) = (1/\eta) (4k T^2 G)^{1/2},$$

Tabela 1.8

Caracteristicile materialelor piroelectrice

Material	$p, C \cdot cm^{-2} K^{-1}$	$c, J \cdot K^{-1} cm^{-3}$	ϵ	$\operatorname{tg} \delta$	Φ	$q(J_m)$
TGS	$3,5 \cdot 10^{-8}$	2,5	30	$5 \cdot 10^{-3}$	$4 \cdot 10^{-8}$	0,6
$LiTaO_3$	$2,3 \cdot 10^{-8}$	3,2	47	10^{-4}	$1,9 \cdot 10^{-7}$	0,14
$Pb_3Ge_3O_{11}$	$2 \cdot 10^{-8}$	2	65	10^{-3}	$5,5 \cdot 10^{-8}$	0,4
PL_zT	$1 \cdot 10^{-7}$	2,6	140	$5 \cdot 10^{-3}$	$2,3 \cdot 10^{-8}$	1
PZT	$3,5 \cdot 10^{-8}$	3	250	10^{-3}	$1,6 \cdot 10^{-8}$	1,5
PVF_2	$8 \cdot 10^{-9}$	2,4	10	10^{-2}	$1,8 \cdot 10^{-8}$	1,3
$NiBr$ boraxat	$1,4 \cdot 10^{-8}$	2	10	10^{-3}	$9,9 \cdot 10^{-8}$	0,25

iar puterea echivalentă de zgomot limitată de zgomotul Johnson este dată de expresia

$$P_z(J_m) = (1/\eta p) \{8kTGc \epsilon \epsilon_0 \operatorname{tg} \delta\}^{1/2}.$$

Cele mai bune performanțe le au detectorii pentru care raportul

$$q(J_m) = \frac{P_z(J_m)}{P_z(\Delta T)} = \frac{1}{p} \left\{ \frac{2c \epsilon \epsilon_0 \operatorname{tg} \delta}{\eta T} \right\}^{1/2}$$

are valoarea minimă, ceea ce se obține cînd

$$\Phi = p\{c \epsilon \operatorname{tg} \delta\}^{-1/2}$$

are valoarea maximă. Valorile acestor mărimi pentru diverse materiale sînt prezentate în tabela 1.8. Apare evident că pentru a obține performanțe bune trebuie ca pierderile dielectrice să fie cît mai mici. În fig. 1.19 se reprezintă comparativ detectivitatea în funcție de lungimea de undă a detectorilor în infraroșu. Se observă că detectorul piroelectric are detectivitatea independentă de lungimea de undă [24]. Ariile detectorilor măsurați au următoarele valori în mm^2 : (a) 1; (b) 2; (c) 10; (d) 6; (e) 6; (f) 4; (g) 20; (h) 10; (i) 10; (j) 3; (k) 7; (l) 7; (m) 20. Ultimii patru detectori reprezentați în figură funcționează la temperatura camerei.

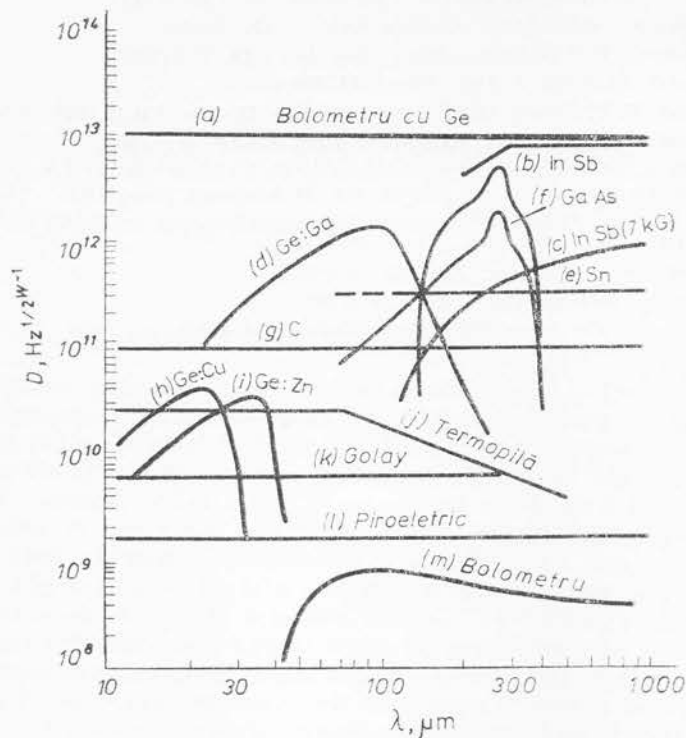


Fig. 1.19. — Dependența de temperatură a detectivității pentru diverși detectori.

BIBLIOGRAFIE

1. F. R. Arams, *Infrared-to-millimeter wavelength detectors*, Artech House Inc., Dedham, 1973.
2. R. H. Kingston, *Detection of optical and infrared radiation*, Springer-Verlag, 1978.
3. P. W. Kruse, *Optical and Infrared detectors*, in *Topics in Applied Physics*, vol. 19, Springer-Verlag, 1977.
4. V. Dolocan, *Fizica dispozitivelor cu corp solid*, Edit. Academiei, București 1978.
5. V. Dolocan, *Electronica stării solide*, Universitatea București, 1979.
6. A. van der Ziel, *Noise. Characterization and measurements*, Prentice Hall, 1970.
7. * * * *Infrared detectors*, II, in *Semiconductor and semimetals*, vol. 12, Academic Press, 1977.
8. V. Dolocan, Teză de doctorat, București, 1970.
9. M. A. Kinch, S. R. Borrello, A. Simmons, *Infrared Phys.*, **17**, 127 (1977).
10. Galus, T. Persak, J. Piotrovski, *Infrared. Phys.*, **19**, 649 (1979).
11. D. Genzov, M. Grudzien, J. Piotrovski, *Infrared. Phys.*, **20**, 133 (1980).
12. S. Gupta, B. Sharma, V. Agashe, *Infrared. Phys.*, **19**, 545 (1979).
13. H. Preir, *Infrared. Phys.*, **18**, 43 (1978).
14. P. R. Emtage, *J. Appl. Phys.*, **47**, 2565 (1976).

14. M. Kinch, M. Bran., A. Simmons, J. Appl. Phys., **44**, 1649 (1973).
15. K. M. Johnson, IEEE Trans. Electron Devices, **12**, 55(1965).
16. D. P. Kennedy, R.R.O. Brien, IBM J. Res. Dev., **10**, 213 (1966).
17. N.A. Foss, S. A. Ward, J. Appl. Phys., **44**, 728 (1973).
18. H. Melchior, W. T. Lynch, IEEE Trans. Electron Devices, **ED-13**, 829 (1966).
19. R. D. Boertsch, IEEE Trans. Electron Devices, **ED-13**, 987 (1966).
20. D. H. Seib, L. W. Aukerman, *Photodelectors for the 0,1 to 6m spectral region in Advances in electronics and electron physics*, vol. 34 Academic Press, 1973.
21. I. Dima, I. Licea, *Fenomene fotoelectrice in semiconductori și aplicații*, Edit. Academiei, București, 1980.
22. E. M. Wormser, J. Opt. Soc. Am., **43**, 15 (1953).
23. E. H. Putley, Infrared Phys., **20**, 149 (1980).
24. M. F. Kimmitt, *Far Infrared Techniques*, Pion Limited, London, 1970.

Capitolul 2

LASERI CU SEMICONDUCTOARE

2.1. Considerații generale

Realizarea primilor laseri cu semiconductoare a fost anunțată în anul 1962, aproape simultan de către trei grupuri de lucru conduse de Hall [1], Nathan [2] și Quist și Rediker [3]. Laserii erau constituiți din joncțiuni $p-n$, din GaAs și funcționau la polarizare directă la temperatura azotului lichid, radiația emisă avind lungimea de undă de 8 400 Å. Menționăm că laserul cu joncțiune $p-n$ a fost propus teoretic independent (între anii 1957—1961) de către Nishizawa și Watanabe [4], Basov și colaboratorii [5] și Aigrin [6], iar Dumke a arătat că efectul laser este posibil în semiconductoarele cu bandă interzisă directă [7]. Laserii cu joncțiuni au dezavantajul utilizării unui curent mare de prag ceea ce-i face impracticabil la temperatura camerei. Acest neajuns a fost înlăturat prin realizarea laserilor cu heterojoncțiuni, care pot funcționa continuu la temperatura camerei [8—10]. Ideea folosirii heterojoncțiunilor a fost propusă de Kroemer [11] iar realizarea a fost posibilă numai după prepararea structurilor de tipul GaAs-AlGaAs [12]. După introducerea laserilor cu heterojoncțiuni a apărut un alt neajuns: degradarea lor foarte rapidă [13]. După câțiva ani de cercetări s-a ajuns la concluzia că degradarea s-ar datora unor defecte cum ar fi dislocațiile [14—15]. Prin controlul și micșorarea concentrației acestor defecte, timpul de funcționare a laserilor poate fi mărit considerabil ($\sim 10^4$ ore) [16]. Datorită îmbunătățirii în ultimii ani a performanțelor fotodiodelor cu avalanșă și fibrelor optice, devine posibil să se folosească laserii cu semiconductoare în comunicații optice. Aceasta ar fi prima aplicație promițătoare a laserilor cu semiconductoare în afara aplicațiilor militare [17]. Timpul de funcționare de 10^4 ore ar fi suficient pentru cele mai multe aplicații uzuale cu condiția ca costul să fie mic și întreținerea ușoară sau ca noile sisteme (pe bază de laseri cu semiconductoare) să fie net superioare celor existente. Niciuna din aceste cerințe nu este îndeplinită până în prezent.

Pentru ca laserii cu semiconductoare să aibă aplicații reale pe scară largă trebuie să se rezolve următoarele probleme: cost mic, viață lungă garantată, cuplarea atât dimensională cât și spectrală cu fibrele optice, viteza de modulare, sensibilitatea la temperatură, distorsiunea etc. Înainte ca dispozitivul să fie utilizat el trebuie să fie proiectabil și reproductibil din punct de vedere tehnologic, ceea ce nu se poate face decât după o cunoaștere a fizicii dispozitivului. Avind în vedere progresele recente în controlul calității creșterii cristalelor se poate vorbi de o comparare între teorie și experiență. În ceea ce privește tehnologia fibrelor optice s-au realizat progrese în fabricarea fibrelor din cuarț care au o pierdere de transmisie minimă

și dispersie minimă în domeniul de lungime de undă $1,3 \div 1,6 \mu\text{m}$. De aceea sînt cercetate intens sursele și detectorii de lumină din acest domeniu de lungimi de undă.

2.2. Emisia stimulată. Efectul laser

Considerăm două nivele de energie E_1 și E_2 aparținînd unui atom sau molecule care se află în interacție cu un cîmp de radiație al unui corp negru aflat la temperatura T care are densitatea de fotoni dată de formula lui Planck

$$\rho(\nu) = \frac{8\pi h \nu^3}{c^3} \frac{1}{e^{h\nu/kT} - 1}, \quad (2.1)$$

unde c este viteza luminii în vid. Tranziția poate avea loc pe calea $1 \rightarrow 2$ și pe calea $2 \rightarrow 1$. Tranziția $2 \rightarrow 1$ este un proces de recombinare și $1 \rightarrow 2$ este un proces de generare (capitolul 1). În prima tranziție se emite iar în a doua tranziție se absoarbe un foton de energie $h\nu = E_2 - E_1$. Rata de tranziție a electronilor de pe nivelul 1 pe nivelul 2 (fig. 2.1 a) este dată de expresia

$$R_{12} = B_{12} \rho(\nu), \quad (2.2)$$

iar rata de tranziție de pe nivelul 2 pe nivelul 1 (fig. 2.1 b), este dată, conform teoriei lui Einstein, de expresia

$$R_{21} = B_{21} \rho(\nu) + \frac{1}{\tau_s}, \quad (2.3)$$

Fig. 2.1. — Tranzițiile electronului între două nivele de energie.

unde τ_s este timpul de emisie spontană iar B_{12} și B_{21} sînt niște constante ce trebuie determinate. Tranziția $2 \rightarrow 1$ se poate face spontan sau stimulat sub acțiunea cîmpului de radiație). Notăm cu n_1 și n_2 numărul de electroni de pe cele două nivele 1 și, respectiv, 2. La echilibru termic ratele de tranziție în cele două sensuri trebuie să fie egale

$$n_1 R_{12} = n_2 R_{21}. \quad (2.4)$$

Raportul

$$(n_2/n_1) = (g_2/g_1) \exp [-(E_2 - E_1)/kT],$$

unde g_1 și g_2 sînt degenerările celor două nivele. Din ecuațiile (2.2) — (2.4) se obține

$$\rho(\nu) = \frac{\frac{g_2}{g_1} \frac{1}{\tau_s} e^{-h\nu/kT}}{B_{12} - B_{21}(g_2/g_1)e^{-h\nu/kT}}. \quad (2.5)$$

Am notat $E_2 - E_1 = h\nu$. La echilibru termic $\rho(\nu)$ dat de relația (2.5) trebuie să fie egală cu cel dat de relația (2.1). Rezultă

$$B_{12} = B_{21} (g_2/g_1),$$

$$\frac{1}{B_{21}} = \frac{8\pi h \nu^3 \tau_s}{c^3} \quad (2.6)$$

și rata de tranziție de emisie stimulată este dată de expresia

$$(R_{21})_{\text{stim}} = \frac{e^3}{8\pi h \nu^3 \tau_s} \rho(\nu). \quad (2.7)$$

La emisia stimulată se generează un foton, care are aceeași frecvență, direcție de propagare și fază ca și fotonul stimulator. La emisia spontană se generează fotoni care se propagă în direcții întâmplătoare și au faze, de asemenea, întâmplătoare (aleatorii).

Atunci când mai mulți atomi din sistem se află în starea de excitație E_2 decât în starea fundamentală E_1 spunem că sistemul prezintă inversie de populație. În prezența unui cîmp de radiație cu $h\nu = E_2 - E_1$, într-un asemenea sistem emisia stimulată va depăși absorbția fotonilor și mai mulți fotoni de energie $h\nu$ vor părăsi sistemul în comparație cu numărul de fotoni care intră în sistem. Acest proces poartă numele de amplificare cuantică. Să considerăm un semiconductor (fig. 2.2) în care s-a realizat inversia de populație. Banda de conducție este ocupată cu electroni pînă

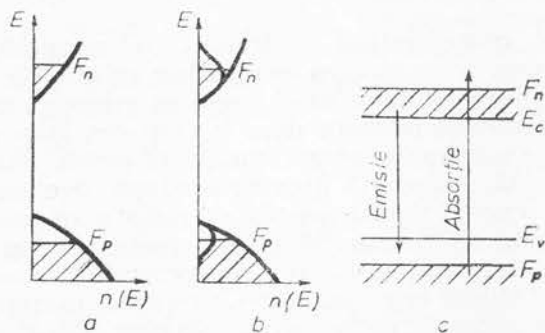


Fig. 2.2. — Energia în funcție de densitatea de stări în cazul inversiei de populație la $T = 0\text{K}$ (a) și $T > 0\text{K}$ (b).

la nivelul Fermi, F_n , iar banda de valență este liberă pînă la nivelul Fermi, F_p . Inversia de populație se poate realiza, de exemplu, prin excitarea cu fotoni de energie $h\nu > E_g$, unde E_g este lărgimea benzii interzise a semiconductorului. Tranziția electronilor din stări de energie E , din banda de conducție, în stări de energie $E - h\nu$, în banda de valență, se face cu emisie de fotoni de energie $h\nu$. Rata de emisie este egală cu produsul dintre densitatea de stări ocupate cu electroni, din banda de conducție, $\rho_c(E)f_c(E)$ și densitatea de stări neocupate din banda de valență, $\rho_v(E - h\nu)(1 - f_v(E - h\nu))$, unde $\rho(E)$ și $f(E)$ sînt densitatea de stări de energie și, respectiv, funcția de distribuție a electronilor în cele două benzi, de conducție, și, respectiv, de valență. Rata totală de emisie se obține integrînd pe toate energiile

$$R_e = B \int \rho_c(E)f_c(E)\rho_v(E - h\nu)[1 - f_v(E - h\nu)]dE.$$

În mod analog, rata de absorbție a fotonilor este

$$R_a = B \int \rho_v(E - h\nu)f_v(E - h\nu)\rho_c(E)[1 - f_c(E)]dE.$$

Constanta de proporționalitate în cele două relații este aceeași și conține pătratul elementului de matrice al tranziției $\langle M \rangle$

$$B = (4\bar{n}q^2h\nu/m^2h^2c^3)|\langle M \rangle|^2 \cdot \text{vol},$$

unde \bar{n} este indicele de refracție al semiconductorului și „vol” este volumul semiconductorului. Pentru amplificarea radiației este necesar ca $R_e > R_a$ și din relațiile de mai sus rezultă

$$F_n - F_p > h\nu, \quad (2.8)$$

unde F_n este cvasinivelul Fermi din banda de conducție și F_p este cvasinivelul Fermi din banda de valență. Dacă nu există reguli de selecție, integralele peste banda de conducție și peste banda de valență, în relațiile de mai sus, se pot face independent și se găsește pentru rata totală de emisie expresia

$$R_e = Bnp, \quad (2.9)$$

unde n și p sînt concentrațiile electronilor și, respectiv, golurilor. În semiconductor, prin recombinarea electronilor cu golurile are loc emisia de radiație. Densitatea fotonilor emiși crește cu creșterea ratei de recombinare. Creșterea densității fotonilor duce la creșterea ratei de recombinare, ș.a.m.d. Fotonii de o anumită energie stimulează emisia fotonilor de aceeași energie. Dacă există o anumită distribuție (după frecvență) a spectrului de radiație (care poate fi numai spectrul de radiație spontană), în acord cu cele de mai sus, datorită emisiei stimulate spectrul se îngustează în jurul frecvenței maximului distribuției radiației (pentru că la această frecvență numărul fotonilor inițiali este mai mare). Creșterea maximului distribuției radiației emise se numește câștig sau amplificare. Dacă această creștere este supraliniară cu excitarea, procesul se numește supraradiant. În cazul supraradiantei, deși spectrul se îngustează, radiația rămîne incoerentă deoarece se amplifică numărul de fotoni de toate fazele. Pentru a se obține efectul laser este necesar să fie satisfăcute următoarele condiții: (1) câștigul să fie cel puțin egal cu pierderile și (2) radiația să fie coerentă în fază. Relația generală a amplificării într-un sistem în care au loc tranziții spontane și tranziții induse se deduce folosind cazul clasic al corpului negru la care ne-am referit la începutul acestui paragraf. Luînd în considerare interacția dintre fotoni și electroni într-un semiconductor, rata de variație a densității fotonilor $\rho(\nu)$ este dată de ecuația

$$d(\rho\Delta\nu)/dt = \frac{n_2}{\tau_s} \Delta\nu + (B_{21}n_2 - B_{12}n_1)\rho\Delta\nu, \quad (2.10)$$

unde $\Delta\nu$ este lărgimea benzii de frecvență (a liniei) ceea ce presupune că radiația are frecvența cuprinsă între ν și $\nu + \Delta\nu$.

Soluția ecuației (2.10) este de forma $\exp(-\alpha L)$, unde s-a utilizat relația $t = L/c$, L fiind lungimea cavității iar α coeficientul de absorbție și are valoarea

$$\alpha = -2 \sqrt{\frac{\ln 2}{\pi}} \frac{c^2}{8\pi\nu^2\tau_s \Delta\nu\bar{n}} \left(n_2 - \frac{g_2}{g_1} n_1 \right). \quad (2.11)$$

Cind α are semn negativ, unda se amplifică ($-\alpha$ este factorul de amplificare sau câștigul și se notează cu g). Pentru $g_2 = g_1$, coeficientul de amplificare este proporțional cu $(n_2 - n_1)$. La echilibru termic $n_1 > n_2$ și pentru a obține amplificare trebuie să se realizeze inversia de populație, adică $n_2 > n_1$. După cum am observat, în semiconductoare realizarea inversiei de populație are loc atunci cind este îndeplinită condiția (2.8) [18], condiție care se obține din (2.11) dacă se înlocuiesc valorile lui n_2 și n_1 cu

$$n_2 = \int \rho_c(E) f_c(E) dE,$$

$$n_1 = \int \rho_v(E) f_v(E) dE.$$

Pînă aici s-a discutat numai condiția ca rata de emisie stimulată să depășească rata de absorbție indusă. Această condiție este satisfăcută atunci cind este îndeplinită relația (2.8). Într-adevăr, așa cum reiese din figura 2.2.c, un foton emis, de energie $h\nu = E_c - E_v$, nu poate fi reabsorbit și genera purtători liberi deoarece pentru aceasta este nevoie de o energie mai mare, $F_n - F_p > E_c - E_v$. Efectul laser începe atunci cind amplificarea, g , egalează toate pierderile din sistem.

Această condiție se scrie [19]

$$g \geq \alpha' + \frac{1}{L} \log \frac{1}{R} + \alpha_{\text{dif}}. \quad (2.12)$$

Cu α' s-au notat pierderile datorate absorbției luminii în regiunea activă (unde are loc amplificarea); $(1/L)\log(1/R)$ reprezintă pierderile prin transmisie iar α_{dif} reprezintă pierderile prin difracție. α' poate să reprezinte numai coeficientul de absorbție pe purtători liberi și se poate scrie [7]

$$\alpha' = \sigma_n n + \sigma_p p,$$

unde pentru σ_n și σ_p au fost deduse următoarele valori [20]: $\sigma_p(300\text{K}) = 0,6 \cdot 10^{-17} \text{cm}^2$; $\sigma_p(77\text{K}) = 0,17 \cdot 10^{-17} \text{cm}^2$; $\sigma_n(300\text{K}) = \sigma_n(77\text{K}) = 0,5 \cdot 10^{-17} \text{cm}^2$. Pentru a evalua termenul de pierdere prin transmisie se consideră cavitatea din figura 2.3 în care suprafețele 1 și 2 sînt parțial reflectante și au coeficienții de reflexie R_1 și, respectiv, R_2 . Suprafețele reflectante sînt plan-paralele și distanța dintre ele este L . Se consideră o sursă de lumină în centrul cavității care emite lumină de intensitate I_0 către suprafața 1. Dacă notăm cu g amplificarea pe unitatea de lungime și cu α pierderile pe unitatea de lungime, intensitatea luminii în centrul cavității după traversarea spațiului $2L$ este [1].

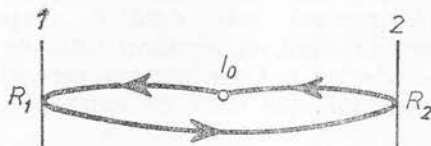


Fig. 2.3. — Cavitatea Fabry-Perot.

$$I = I_0 R_1 R_2 \exp(2g L - 2\alpha L). \quad (2.13)$$

Lumina se reîntoarce în punctul de unde a plecat după două reflexii la cele două suprafețe. Atunci când amplificarea este mai mare sau egală decât pierderile, lumină sosește în punctul de plecare cel puțin cu aceeași intensitate cu care a plecat, adică în relația (2.13), $I \geq I_0$ și rezultă

$$1 \leq R_1 R_2 \exp(2gL - 2\alpha L).$$

Considerînd $R_1 = R_2$ și logaritmînd se obține expresia (2.12), unde s-a notat $\alpha^1 + \alpha_{\text{dif}} = \alpha$. Coerența se obține prin amplificarea acelor unde electromagnetice care formează unde staționare în cavitate. Evident că dimensiunile cavității se aleg așa fel ca radiația emisă de sistemul respectiv să formeze unde staționare. Undele staționare se formează atunci cînd cavitătea conține un număr întreg de jumătăți de lungime de undă.

2.3. Metode de realizare a inversiei de populație în semiconductoare

Realizarea inversiei de populație se poate obține prin pompaj optic [22], prin pompaj cu fascicol de electroni [23] și electric. În cazul pom-pajului optic se generează în semiconductor perechi electron-gol prin iradierea cu lumină, provenită de exemplu de la un laser. Purtătorii generați recombină între ei și dau radiație laser. Cu un laser din GaAs cu joncțiune s-a iradiat o probă omogenă semiconductoare de InSb. Radiația laser emisă de GaAs are lungimea de undă, de $0,84 \mu\text{m}$ iar radiația laser emisă de InSb are lungimea de undă de $5,3 \mu\text{m}$ [24]. De asemenea, cu ajutorul unui laser cu GaAs cu joncțiune a fost excitat un laser din InAs (semiconductor omogen), cu ajutorul unui laser cu He-Ne (6328 \AA) a fost excitat un laser omogen din CdSe (6900 \AA) etc. Metoda de pompaj optic se utilizează în special în acele cazuri în care este dificil să se realizeze joncțiune $p-n$ cu semiconductorul respectiv.

O altă metodă de realizare a inversiei de populație constă în bombardarea semiconductorului cu fascicol de electroni de energie mare. Electronii pătrund în semiconductorul bombardat și generează perechi electron gol care, apoi, recombină și dau radiație laser. Avînd în vedere că se pot obține energii mari (aproximativ 200 keV) ale fascicolului de electroni, se poate realiza inversie de populație în materialele cu bandă interzisă mare. Prin această metodă s-a obținut radiație laser ultravioletă în ZnS [25]. Fascicolul de electroni pătrunde în material pe o adîncime de $5-10 \mu\text{m}$. Adîncimea, d , de pătrundere a electronului de energie E este dată de expresia [26] $d \approx aE^{3/2}$, unde a este o constantă. Energia E_p necesară pentru generarea unei perechi electron-gol este dată de expresia $E_p = (14/5)E_g + E'$, unde E' este proporțional cu numărul total de fononi optici implicat în proces ($0,5 < E' < 1 \text{ eV}$). Concentrația perechilor electron-gol generate cu fascicol de electroni este dată de expresia

$$n = \frac{I}{1,6 \cdot 10^{-19}} \cdot \frac{E}{E_0} \cdot \frac{\tau}{d},$$

unde I este densitatea de curent de electroni ($I/1,6 \cdot 10^{-19}$ este numărul de electroni care cad într-o secundă pe o suprafață de 1 cm^2 din semiconductor) și τ — timpul de viață a perechilor electron-gol. Un asemenea

laser comercial constă dintr-un tub de sticlă vidat care conține la un capăt un tun electronic iar la celălalt capăt un cristal de CdS sub forma unui pătrat cu latura de 2,54 cm și gros de 50 μm . Realizarea pe cale electrică a inversiei de populație se poate obține prin ionizare prin ciocnire în câmp electric intens sau prin injecție la contact. În câmp electric intens purtătorii de sarcină capătă energie suficientă pentru a genera perechi electron-gol prin ionizare prin ciocnire dând naștere unui proces de multiplicare în avalanșă și, prin urmare, de creștere a concentrației purtătorilor de sarcină care recombină radiant [27]. La întreruperea câmpului electric purtătorii se termalizează (energia lor scade la valorile de la marginile benzilor respective) și spectrul de recombinare se întinde pe un domeniu mai îngust de energie în comparație cu cazul când câmpul nu este întrerupt (caz în care energia purtătorilor de sarcină se întinde pe o plajă mare). Laseri cu stăpungere prin ionizare în avalanșă s-au obținut în structuri p^+pp^+ din GaAs [28]. Electronii generați prin ionizarea în avalanșă în regiunea p de rezistivitate mare trec în regiunea p^+ polarizată pozitiv, unde recombină cu golurile. Dacă se realizează o cavitate Fabry-Perot se obține radiație coerentă (laser). Un caz asemănător are loc într-un domeniu Gunn [12], în materialul GaAs de tip n slab dopat. În interiorul domeniului de câmp intens se generează, prin ionizare prin ciocnire și multiplicare în avalanșă, perechi electron-gol, care recombină radiant; apare o sursă de lumină care se deplasează cu domeniul Gunn [30]. Injecția la contact se poate obține în joncțiunea $p-n$ polarizată direct, la contactul metal-semiconductor și în structurile metal-oxid-semiconductor. În laserul cu joncțiune $p-n$, regiunile p și n sînt puternic dopate (fig. 2.4a). La polarizare directă în regiunea stratului de baraj apare inversie de populație (fig. 2.4b). Aceasta este regiunea activă, în care apare efectul laser dacă îndeplinește condițiile unei cavități Fabry-Perot. Regiunea activă este deplasată în regiunea p a joncțiunii. Aceasta se datorează la mai mulți factori ce vor fi analizați în cele ce urmează [31–32]. Întîi, deoarece masa efectivă a electronilor este mai mică decît a golurilor, pentru același nivel de dopaj în regiunile n și p , $F_n - E_c > E_v - F_p$, adică nivelul Fermi pătrunde mai adînc în regiunea n decît în regiunea p . La aplicarea unei tensiuni directe, astfel că $qV = E_g + (E_v - F_p)$, se injectează electroni din regiunea n în regiunea p iar trecerea golurilor din regiunea p în regiunea n este blocată de o barieră de înălțime egală cu diferența dintre pătrunderile nivelelor Fermi în cele două benzi: $(F_n - E_c) - (E_v - F_p)$. Dacă regiunea p este mai puternic dopată decît regiunea n , cum se întîmplă de obicei, datorită apariției cozilor de stări în regiunea p , banda interzisă efectivă este micșorată față de regiunea n și nivelul Fermi pentru goluri este mai apropiat de marginea benzii de valență față de cazul

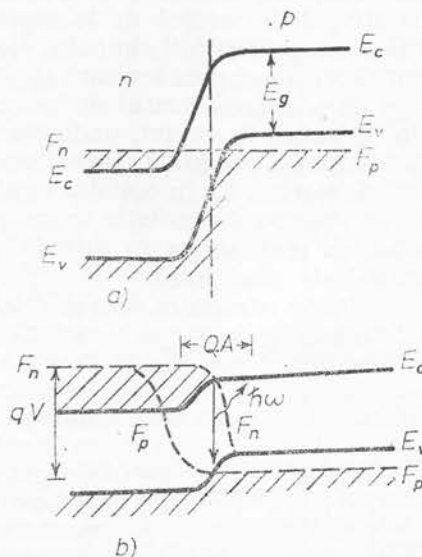


Fig. 2.4. — Diagrama de benzi de energie a joncțiunii $p-n$ la echilibru termic (a) și la polarizare directă (b); RA = regiunea activă.

absenței cozilor de stări. Apare o situație analogă cu cea de mai sus. În general regiunea p a joncțiunii $p-n$ este urmată de o regiune p^+ . La curent mai mare poate apărea emisie radiantă și în regiunea p^+ . Datorită efectului cîmpului electric în regiunea neutră, cu creșterea nivelului de injecție maximul intensității radiației se deplasează de la joncțiune către marginea regiunii $p(p^+)$ [32]. Energia fotonilor emiși în regiunea p este de 1,47 eV iar a celor emiși în regiunea p^+ este de 1,408 eV, în laserul din GaAs [33].

La suprafața unui semiconductor, datorită stărilor de suprafață poate apare un strat de inversie și deci o joncțiune $p-n$ (fig. 2.5a). La polarizare directă, cînd benzile se aplatizează se realizează inversia de populație și are loc recombinarea radiantă (fig. 2.5 b). S-a obținut în acest fel recombinare

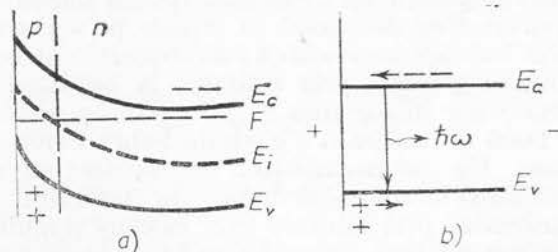


Fig. 2.5. — Apariția recombinării radiante în stratul de inversie de la suprafața unui semiconductor de tip n .

radiantă în GaAs [34] și în GaP [35]. Existența stratului de inversie nu este neapărat necesară. Pentru o anumită polaritate a tensiunii aplicată pe stratul de sarcină de la suprafață, acesta se lărgeste și la o anumită valoare a intensității cîmpului electric din strat poate apărea generarea de purtători liberi prin ionizare prin ciocnire și multiplicare în avalanșă (înainte de a apărea stratul de inversie). La schimbarea polarității purtătorii sînt injectați în volum, unde recombine radiant. Sistemul poate funcționa la tensiune alternativă. Într-o semiperioadă a tensiunii se generează purtători de sarcină iar în cealaltă semiperioadă apare radiația laser. Menționăm că un spectru de radiație apare și în timpul semiperioadei în care are loc avalanșa însă acesta se întinde pe un domeniu larg de frecvență și are intensitate mai mică.

Într-o structură metal-izolator-semiconductor la o anumită valoare a tensiunii aplicată pe structură electronii din banda de valență a semiconductorului pot tunela în metal (fig. 2.6), injectîndu-se astfel goluri în semiconductor și realizîndu-se inversia de populație. S-a obținut în acest fel recombinarea radiantă în CdS [36], semiconductor cu care nu s-a putut realiza joncțiune $p-n$. Stratul izolator trebuie să fie suficient de subțire pentru a fi posibil efectul tunel. Există pierderi datorate tunelării în metal a electronilor din banda de conducție a semiconductorului.

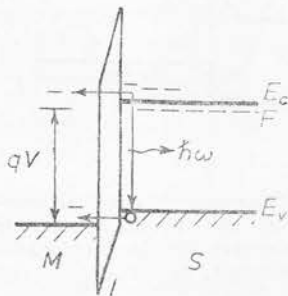


Fig. 2.6. — Recombinarea radiantă în structura MOS.

2.4. Materiale utilizate în laserii cu semiconductoare

Materialele utilizate cel mai mult pentru emisia de lumină sînt compușii semiconductori

de tipul $A^{III} B^V$ sau variantele lor ternare $A^{III} B_{1-x}^{III} C^V$ și $A^{III} B_x^V C_{1-x}^V$. S-au obținut laseri și din alte materiale semiconductoare. Important este ca acestea să aibă bandă interzisă directă deoarece în această situație tranziția optică este un proces de ordinul întâi și cîștigul este mare. Tranziția optică într-un semiconductor cu bandă interzisă indirectă este un proces de ordinul doi (pentru conservarea impulsului și energiei sînt necesari fononi sau alți agenți de împrăștiere) astfel că emisia de radiație este slabă și cîștigul este mai mic decît în semiconductoarele cu bandă interzisă directă. Această afirmație este adevărată la tranzițiile bandă-bandă sau excitonice în semiconductoarele pure. În cazul tranzițiilor pe impurități sau în semiconductoarele puternic dopate nu este necesar să fie îndeplinite regulile de selecție ale impulsului. Cu toate acestea, pînă în prezent, s-a obținut efectul laser numai în semiconductoarele cu bandă interzisă directă. În tabela 2.1 sînt prezentate unele materiale semiconductoare împreună cu lungimea de undă a radiației emise [37, 38].

Laserii obținuți din cele mai multe din aceste materiale nu funcționează la temperatura camerei ci numai la temperaturi joase. Excepție fac laserii din GaAs, ZnO și CdS care funcționează și la temperatura camerei. În laserii care funcționează pe lungimi de undă scurte, inversia de populație se realizează practic numai cu fasciculul de electroni, pe cînd în laserii care funcționează în infraroșu inversia de populație se poate realiza atît prin injecție cit și cu fascicol de electroni. Compușii ternari pot funcționa pe un domeniu mare de lungimi de undă, în funcție de compoziția fracționară a elementelor [12]. De exemplu, în compusul ternar $In_x Ga_{1-x}As$, x denotă fracțiunea de InAs. Pentru $x = 0$ compusul devine GaAs care emite radiație cu lungimea de undă de $0,84 \mu m$. Pentru $x = 1$ compusul devine InAs care emite radiație cu lungimea de undă de $3,1 \mu m$. Pentru $0 \leq x \leq 1$, radiația emisă are valoarea cuprinsă în intervalul $0,84 \div 3,1 \mu m$. Pentru o anumită valoare a lui x laserul funcționează pe o anumită lungime de undă cuprinsă în acest domeniu. Laserii realizați pînă în prezent emit radiații cu lungimea de undă cuprinsă în intervalul $0,32 \div 30 \mu m$, așa cum este reprezentat în figura 2.7. Laserii pot fi, de asemenea acordați pe o lungime de undă dintr-un anumit domeniu prin variația curentului în laserii cu injecție, a temperaturii, a cîmpului magnetic sau a presiunii. Acordarea pe o anumită lungime de undă prin variația curentului în laserii cu injecție este legată de variația ușoară a temperaturii structurii cu variația curentului electric. De exemplu, laserul $Pb_x Sn_{1-x} Te$ a fost acordat pe un domeniu de $0,07 \mu m$ în jurul valorii de $8,8 \mu m$, prin variația curentului electric [39]. Prin variația

Tabela 2.1
Materiale semiconductoare laser

Materialul	$\lambda, \mu m$	Modul de excitare
ZnS	0,33	E
ZnO	0,37	E
ZnSe	0,46	E
CdS	0,49	E
ZnTe	0,53	E
GaSe	0,59	E
CdSe	0,675	E
CdTe	0,785	E
GaAs	0,84—0,95	I, E
InP	0,91	I
GaSb	1,55	I, E
InAs	3,1	I, E
Te	3,72	E
PbS	4,3	I, E
InSb	5,2	I, E
PbTe	6,5	I, E
PbSe	8,5	I, E
$GaAs_{1-x}P_x$	0,63—0,9	I
$Ga_{1-x}Al_xAs$	0,59—0,89	I
$Ga_xIn_{1-x}P$	0,56—0,92	I
$Al_xIn_{1-x}P$	0,54—0,92	I

E = fascicol de electroni, I = injecție.

temperaturii între 20 și 90K un laser cu $(\text{PbSe})_{1-x}(\text{SnTe})_x$ a fost acordat pe un domeniu de lungimi de undă cuprins între 9 și 12 μm (datorită variației cu temperatura a lărgimii benzii interzise); prin variația curentului

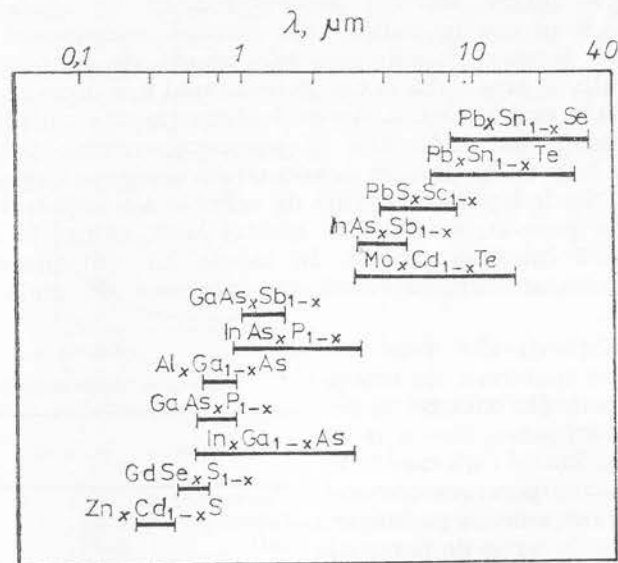


Fig. 2.7. — Domeniul de lungimi de undă în care emit laserele cu compoziții ternare.

prin structură lungimea de undă s-a variat pe un domeniu de 1 μm [40]. Sub influența unui câmp magnetic pînă la 10kG un laser cu $\text{Pb}_x\text{Sn}_{1-x}\text{Te}$ a fost acordat pe un domeniu de 22–25 μm . Câmpul magnetic produce o despicare Landau a nivelelor de energie. Stările cuantificate se deplasează mai adînc în benzile permise ceea ce face să crească energia de prag de emisie. Influența câmpului magnetic intens asupra distribuției stărilor de energie într-un semiconductor este reprezentată în figura 2.8. Sub influența câmpului magnetic transversal curentul de prag se micșorează [41]. Presiunea hidrostatică modifică lărgimea benzii interzise a semiconductorului și deci lungimea de undă a radiației emise. În GaAs lărgimea benzii interzise crește cu creșterea presiunii hidrostatice și deci lungimea radiației emise se micșorează. În PbS apare o situație inversă [42].

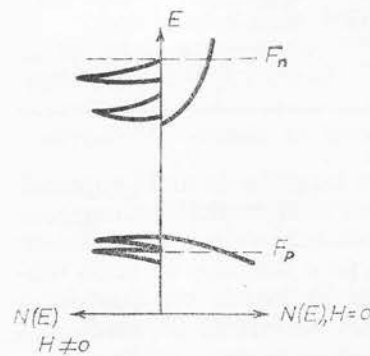
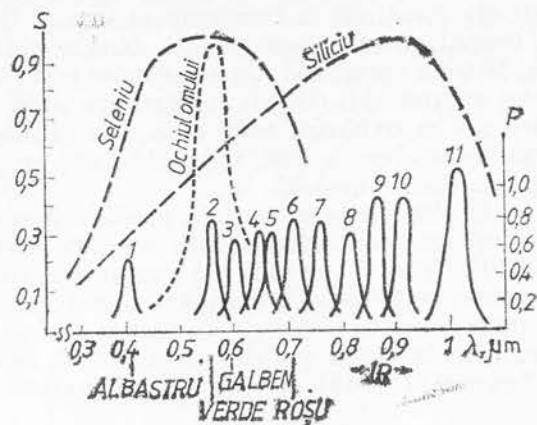


Fig. 2.8. — Influența câmpului magnetic intens asupra distribuției stărilor permise în semiconductoare (despicare Landau).

Concluzia acestui paragraf este că există materiale semiconductoare cunoscute pînă în prezent care emit radiație acoperind o plajă de lungime de undă între 0,3 și 30 μm . Extinderea pe un anumit domeniu de lungimi de undă se poate realiza în același compus prin variația fracțiunii de compoziție (în compoziții ternare și cuaternare), a curentului electric, a câmpului magnetic, a presiunii și

temperaturii. În figura 2.9 se reprezintă domeniul de emisie a diferiților laseri precum și sensibilitatea detectorilor din seleniu, siliciu, comparativ cu a ochiului omenesc.

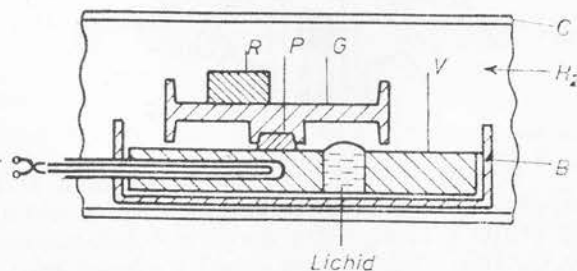
Fig. 2.9. — Puterea de emisie P a unor compoziți semiconductori (în unități relative) și sensibilitatea S (în unități relative) a detectorilor din seleniu, din siliciu și ochiul omului: 1 — GaN; 2 — GaP(:N); 3 — GaP(:Zn, O); 4 — GaInP; 5 — GaP; 6 — GaAs_{1-x}P_x; 7 — Ga_xAl_{1-x}As; 8 — GaAs_x; 9 — GaAs_xP_{1-x}; 10 — Ga_xAl_{1-x}As/GaAs; 11 — GaAs(:Si).



2.5. Metode de preparare

Pentru toate tipurile de structuri laser, scopul este creșterea unor cristale cât mai perfecte, uniforme și reproductibile. Există trei metode principale de creștere a cristalelor cu mai multe strate: epitaxia din fază lichidă (EFL), epitaxia din fază de vapori (EFV) și epitaxia cu fascicule moleculare (EFM). Pentru sistemul (GaAl)As se utilizează în general EFL [43—45]. Instalația tipică pentru EFL este reprezentată în figura 2.10 [46]. Într-o bărcuță din cărbune se află soluție de galiiu cu diverse

Fig. 2. 10. — Aparat pentru epitaxie din fază lichidă: C — tub de cuarț, B — bărcuță de grafit, V — vas de susținere (lin), G — glisiera (din grafit), P — plăcuța, T — greutate (rami), R — greutate (rami), T — termocuplu.



compoziții de aluminiu. Ea este adusă în contact cu substratul pe care se face depunerea, în timp ce temperatura cuptorului de încălzire se micșorează. Grosimea și compoziția fiecărui strat depus epitaxial sînt determinate de factori cum sînt compoziția de aluminiu, volumul și grosimea soluției de galiiu, timpul de contact și viteza de răcire. Stratele epitaxiale pot fi, de asemenea, influențate de orientarea cristalului (substrat), prepararea suprafeței substratului, presiunea de vapori de arseniu, diferențele ușoare de temperatură din soluție etc. Problema dificilă este cea a reproductibilității. Pentru obținerea de strate uniforme temperatura trebuie contro-

lată cu o precizie de 0,01 grade și în gazul (hidrogen) care curge prin incintă cantitatea de oxigen trebuie să fie redusă pînă la 0,03 ppm. Gradientul de temperatură poate fi controlat prin folosirea efectului Peltier. În timpul creșterii este necesar să se asigure protecția suprafeței atunci cînd substratul este menținut la temperatură înaltă. Deteriorarea suprafeței cristalului în timpul încălzirii este evitată dacă se realizează o presiune de vapori de As. Metoda epitaxială din stare de vapori [47] nu se utilizează pentru creșterea compusului (GaAl) As dar este utilă pentru creșterea altor compuși care nu se oxidează ușor cum sînt (InGa) (AlP). Totuși, folosind surse organo-metalice, a fost anunțată [48] creșterea de cristal de (GaAl) As prin această metodă.

O altă metodă, care dă posibilitatea să se facă un control precis al grosimii stratului depus este metoda epitaxiei cu fascicule moleculare [49,50]. Este o metodă de evaporare care diferă de metoda obișnuită deoarece se folosesc fascicule focalizate ale fiecărui element care intră în compus. Acestea cad pe ținta substrat unde se combină formînd compusul dorit. Se lucrează în vid ultraînalt. O instalație tipică este reprezentată în figura 2.11. Este o metodă mult utilizată în realizarea superrețelelor [12].

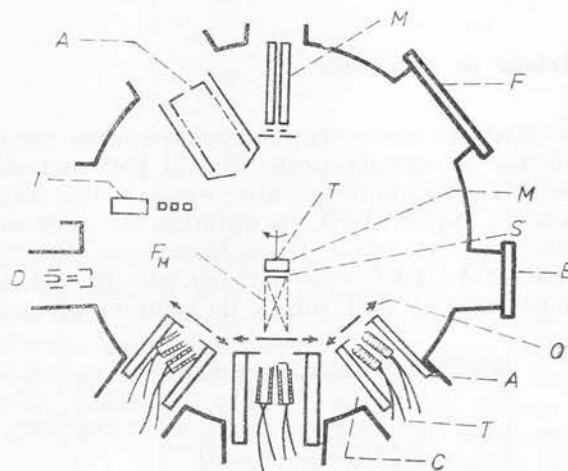


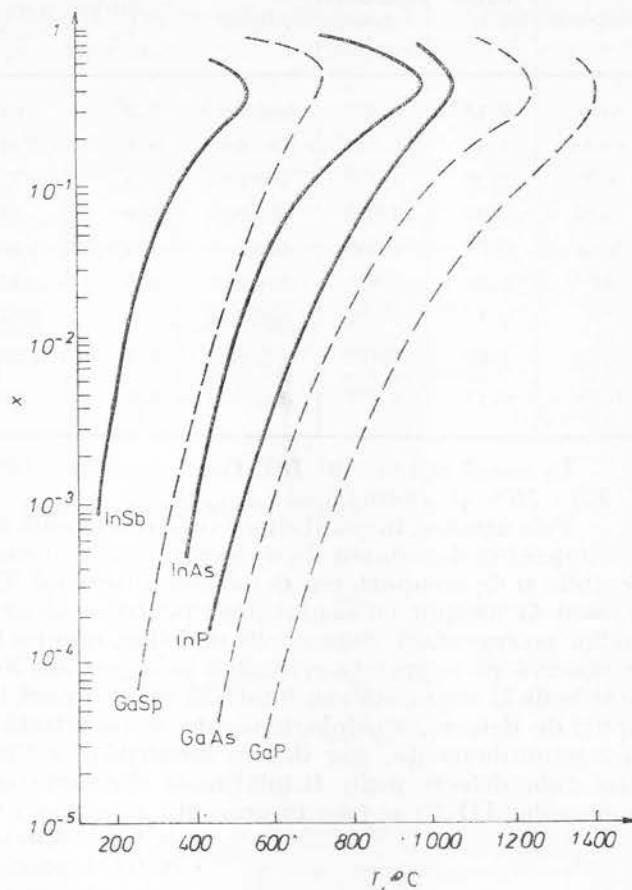
Fig. 2.11. — Instalația de epitaxie cu fascicule moleculare; M — spectrometru de masă EAI, F — fereastră, M — bloc de încălzire din molibden, S — substrat, E — ecran fluorescent, O — obturator mecanic, A — blindaj cu azot lichid, T — termocuplu, C — celulă de emisie cu încălzire individuală, T — tun electronic de 3keV, FM — fascicol molecular, I — tun de pulverizare (sputtering) de ioni, A — analizor Auger cilindric.

Pentru modificarea conductivității cristalelor există mai multe metode. Cea mai obișnuită este difuzia atomilor de Zn sau alt element din grupa a II-a pentru a crește conductivitatea de tip *p* a cristalului de GaAs. Impuritățile care aparțin elementelor din grupa a VI-a sînt mai puțin mobile și introducerea lor necesită un tratament la temperaturi înalte ceea ce nu este de dorit din cauza degradării termice. Impurificarea se poate face, de asemenea, folosind metoda implantării de ioni. Pentru realizarea regiunilor semiizolante se implantează O_2 [51] și protoni [52].

Contactele ohmice se fac în mod obișnuit prin folosirea de aliaje pe bază de aur. Realizarea heterojuncțiunilor depinde de parametrii de rețea ai substratului și stratului care se depune, de diferența între coeficienții de dilatare și de dislocațiile induse de tensiunile mecanice care acționează ca centre de recombinare neradiante. Pentru alegerea compuşilor ternari important este solubilitatea acestora într-una din componente. În figura 2.12 [53] x determină temperatura la care are loc saturația; de exemplu,

o fracțiune $x=10^{-2}$ atomi de fosfor va satura InP la 650°C. Cunoașterea acestor valori dă posibilitatea să se fixeze corect temperatura de creștere epitaxială dintr-o soluție saturată dată. Pentru realizarea compuşilor

Fig. 2.12. — Solubilitatea InSb, InAs, InP în indiu precum și a GaSb, GaAs și GaP în galiu.



ternari trebuie aleși compuşii binari care au o componentă comună și parametri și structura rețelei apropiate. Principalii compuşii III-V sînt reprezentați în tabela 2.2, împreună cu unii parametri caracteristici. Diferența dintre constantele de rețea (tabela 2.3) dă naștere la dislocații. Într-un model simplificat, densitatea medie liniară de dislocații, $\bar{\delta}$, este dată de expresia $\bar{\delta} = a_0/\eta$, unde $\eta = \Delta a/a_0$ este coeficientul de deplasare relativă între cele două constante de rețea.

Densitatea superficială de dislocații este

$$D(\text{cm}^{-2}) = \frac{1}{\bar{\delta}^2} \cdot 10^{16} = \frac{\eta^2}{a_0^2} \cdot 10^{16}; \quad \bar{\delta} \text{ în } \text{\AA}.$$

În cazul sistemului AlP-GaP, $\eta = 10^{-4}$, se obține $D(\text{cm}^{-2}) = 3,3 \cdot 10^6$ și densitatea de dislocații liniare $D(\text{cm}^{-1}) \simeq \frac{1}{\bar{\delta}} \cdot 10^8 = 1,8 \cdot 10^3$.

Tabela 2.2

Unele caracteristici ale compuşilor III—V

Compusul	Banda interzisă, eV	Constanta reţelei, Å	Benzi	Coefficient de dilatare, $\times 10^{-6}/^{\circ}\text{C}$	Temperatura de topire, $^{\circ}\text{C}$
AlAs	2,15	5,661	indirecte	5,2	2 013
GaAs	1,43	5,653	directe	5,8	1 511
GaP	2,26	5,451	indirecte	5,3	1 738
GaSb	0,73	6,095	directe	6,9	985
InAs	0,35	6,058	directe	4,5(5,3)	1 210
InP	1,34	5,87	directe	4,5	1 343
AlP	2,4	5,451	indirecte	—	2 823
AlSb	1,65	6,135	indirecte	3,7	1 323
InSb	0,17	6,479	directe	4,9	803

Tabela 2.3

Diferenţa dintre constantele de reţea (în procente) ale unor compuşii binari

Sistemul	$\eta, \%$
AlP—GaP	0,01
AlAs—GaAs	0,14
GaSb—AlSb	0,65
InAs—InP	3,2
GaAs—GaP	3,6
AlP—AlAs	3,8
InSb—AlSb	4,7
InSb—GaSb	6,1
InAs—InSb	6,6
InAs—GaAs	6,9
InP—AlP	7,1
InP—GaP	7,2

În cazul sistemului InP—GaP, $\eta = 7,2 \cdot 10^{-2}$ se obţine $D(\text{cm}^{-2}) = 1,5 \cdot 10^{12}$ şi $D(\text{cm}^{-1}) = 1,2 \cdot 10^6$.

Prin urmare, în cazul când există o diferenţă mai mare între constantele reţelei şi densitatea de dislocaţii este mai mare. Degradarea laserilor depinde şi de comportarea defectelor din cristal. Cristalele crescute se cercetează la început cu ochiul liber pentru a observa existenţa neregularităţilor pe suprafaţă. Structurile mai fine, numite în mod uzual morfologii, se observă pe suprafaţa cristalină prin metoda Nomarski [54]. Neregularităţile de la suprafaţă sau interfaţă se datorează în mod obişnuit la câteva tipuri de defecte. Morfologiile, care se manifestă ca regiuni de întuneric în fotoluminescenţă, s-ar datora impurităţilor [55]. S-a observat că apariţia unor defecte poate fi înlăturată dacă creşterea epitaxială lichidă (a compuşilor III—V) se face în prezenţa vaporilor unui element din grupa a

V-a [56]. Morfologia este afectată de controlul precis al saturaţiei şi temperaturii, de orientarea cristalină, de creşterea lentă şi de adăugarea de impurităţi. Defectele termice ale suprafeţei substratului precum şi variaţia bruscă a nivelului de dopaj pot declanşa generarea de defecte în stratul epitaxial. În tabela 2.4 sînt prezentate defectele simple care apar în GaAs şi energia lor de formare. Nu se cunoaşte încă sigur care din aceste defecte joacă rol în degradarea laserilor şi nici chiar care există în realitate. În figura 2.13 sînt reprezentate concentraţiile de vacanţe de As şi de Ga în GaAs în funcţie de temperatură. Ele au fost calculate presupunînd că în material există numai aceste forme simple [57]. Densitatea de defecte din cristal poate fi determinată

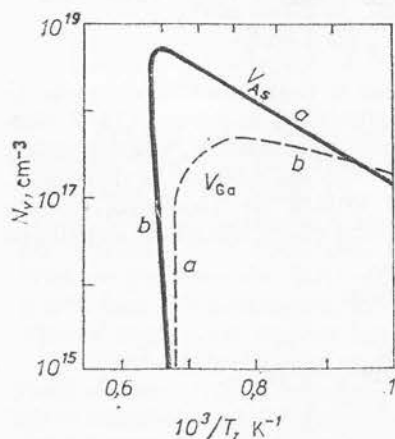


Fig. 2.13. — Concentraţii de vacanţe de Ga şi de As în GaAs în funcţie de temperatură: a — îmbogăţire în Ga; b — îmbogăţire în As.

din măsurarea mobilității și a timpului de viață. Este semnificativ faptul că viteza de recombinare la suprafață în GaAs este mare, $1 \div 10 \cdot 10^6$ cm/s, pe când în InP este mică, 10^3 /cms. Această diferență este probabil legată de degradarea rapidă a suprafeței GaAs. În sistemele cuaternare, de exemplu (GaIn) (AsP), se pare că rețeaua se armonizează automat.

Tabela 2.4

Defecte structurale simple în GaAs

Defecte	Energie de formare, eV
Dislocații de alunecare (α , β , spirală)	1—1,5 (depinde de tipul și concentrația impurităților)
Defecte de îngrămădire	probabil mică
Anti-rețea (Ga_{As} , As_{Ga})	0,7 pentru o pereche
Vacanțe (V_{Ga} , V_{As})	2,6 (depinde de nivelul Fermi)
Defecte interstițiale (Ga_i , As_i)	mare

2.6. Laseri cu heterojoncțiuni

A. Tipuri de structuri

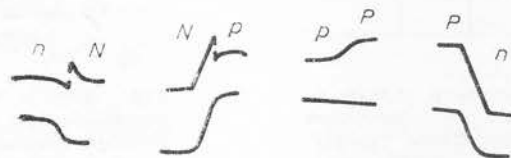


Fig. 2.14. — Diagrama de benzi de energie a heterojoncțiunilor.

În figura 2.14 sunt reprezentate diagramele de benzi de energie ale heterojoncțiunilor n - N , N - p , p - P și P - n între GaAs și AlGaAs [12]. În figura 2.15 sunt reprezentate structurile: joncțiunea p - n , o heterojoncțiune simplă, o heterojoncțiune dublă și o heterojoncțiune dublă cu cavități. Este reprezentat, de asemenea, indicele de refracție. În joncțiunea p - n , figura 2.15 *a*, regiunea p^+ are indice de refracție mai mic decât regiunea p , astfel că în regiunea joncțiunii indicele de refracție este mai mare, ceea ce duce la confinarea radiației în această regiune, deoarece unda se deplasează mai încet prin regiunea cu indice de refracție mai mare. Acesta este fenomenul de ghidaj al undelor electromagnetice. În joncțiunea p - n diferența dintre indicii de refracție ai celor două regiuni nu este așa de mare și confinarea radiației este slabă. De asemenea, este slabă și confinarea purtătorilor de sarcină. O confinare mai bună se obține în heterojoncțiunea simplă unde există o variație mai mare a indicelui de refracție (fig. 2.15 *b*). În această structură se obține o confinare bună și a purtătorilor de sarcină (fig. 2.16 *a*). O confinare și mai bună se obține în heterojoncțiunea dublă, unde există un salt mare în indicele de refracție de o

parte și de alta a joncțiunii (fig. 2.15 c); există, de asemenea, o confinare mai bună a purtătorilor de sarcină (fig. 2.16 b). Totuși, deoarece regiunea de ghidare este îngustă pot apărea două efecte nedorite: (1) la valori mari ale fluxului de radiație există o probabilitate mai mare de distrugere a

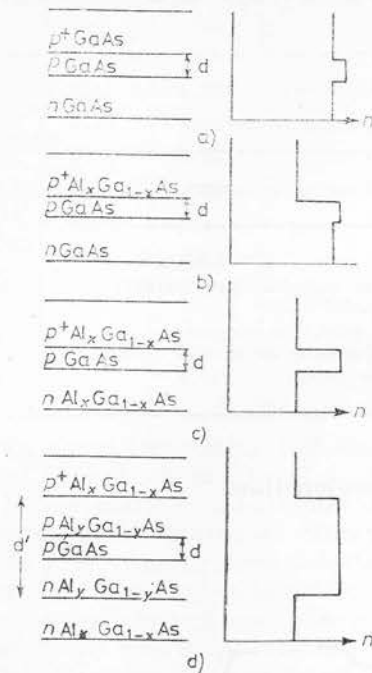


Fig. 2.15. — Structura și indicele de refracție pentru: a — joncțiunea $p-n$; b — heterojoncțiunea simplă; c — heterojoncțiunea dublă; d — heterojoncțiunea dublă cu cavitate largă.

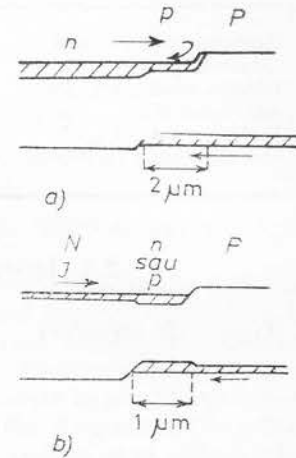


Fig. 2.16. — Confinarea purtătorilor de sarcină în heterojoncțiunea simplă (a) și în heterojoncțiunea dublă (b).

structurii și (2) divergența fluxului devine mare. Pentru a înlătura aceste dificultăți se folosesc structuri cu cavitate optică largă (fig. 2.15 d). O îmbunătățire a performanțelor laserului se obține atunci când confinarea purtătorilor este separată de confinarea radiației. Un asemenea laser se numește laser cu heterostructură cu confinare separată. Confinarea separată este posibilă deoarece pentru confinarea purtătorilor este suficientă o diferență mai mică între benzile interzise (și deci un salt de potențial mai mic) decât pentru confinarea radiației (rezultată din saltul în indicele de refracție). O asemenea structură este reprezentată în figura 2.15, unde regiunea cu bandă îngustă ($GaAs$) se află situată între două regiuni $Al_yGa_{1-y}As$ cu bandă interzisă puțin mai mare, care la rîndul lor sînt mărginite de două regiuni cu bandă interzisă mai mare, $Al_xGa_{1-x}As$. Asemenea structuri pot fi $N_x-N_y-p-P_y-P_x$ sau $N_x-N_y-n-P_y-P_x$, de exemplu: $p^+GaAs-p^+Al_{0.3}Ga_{0.7}As(0,5\ \mu m)-pAl_{0.6}Ga_{0.4}As(0,45\ \mu m)-p-(GaAs(0,15\ \mu m)-nAl_{0.1}Ga_{0.9}As(0,45\ \mu m)-nAl_{0.3}Ga_{0.7}As$. Menționăm că laserul cu cavitate optică largă construit inițial diferă puțin de aceasta, care este numit cu confinare separată (și are și cavitate optică largă), prin aceea că este o structură de tipul $N-n-p-P$ [58] în care confinarea nu este

separată. Laserul cu confinare separată are unele avantaje în comparație cu celelalte tipuri, printre care : curent mic de prag, o lărgime mai mică a fluxului (pentru un curent de prag dat) și o putere mai mare. O problemă dificilă care apare în laserii cu injecție este tendința de filamentare a fascicolului de radiație și apariția mai multor moduri de radiație. Un filament laser este o regiune relativ îngustă a laserului cu injecție care, din cauza neomogenităților structurii, începe să emită în timp ce regiunea ce o înconjoară se află încă sub condiția de prag. Aceste filamente tind să devină instabile și să dea naștere la zgomot. Într-o structură cu suprafață suficient de mare este posibil ca cu creșterea curentului peste valoarea de prag fascicolul laser să aibă structură filamentară. Problema se rezolvă prin trecerea curentului printr-o bandă de arie îngustă a laserului și nu printr-o suprafață mare. Aceasta se numește structură de bandă (stripe) (fig. 2.17). Stratul izolator de SiO_2 restrânge excitarea electrică la o bandă îngustă ceea ce duce la îmbunătățirea structurii spațiale a fascicolului laser reducând tendința lui de filamentare. De asemenea, fascicolul este mai rotund deoarece unghiurile de divergență datorate difracției în direcție paralelă și în direcție perpendiculară pe joncțiune sînt aproape egale între ele. Laserul reprezentat în figura 2.17 se numește laser cu structură de contact-bandă, deoarece electrodul face contact cu structura pe o bandă îngustă. O asemenea structură experimentală are următoarele caracteristici [59] (citite de sus în jos pe figura 2.17) : (1) contactul metalic Ti, Au ;

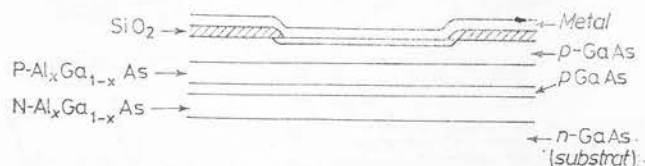


Fig. 2.17. — Structura cu geometrie de bandă-contact a laserului cu heterojuncțiuni.

(2) SiO_2 ; (3) $p\text{-GaAs}$, $3 \cdot 10^{17} \text{ cm}^{-3}$, grosimea $d = 1 \mu\text{m}$; (4) $p\text{-Ga}_{0.62}\text{Al}_{0.38}\text{As}$, $3 - 5 \cdot 10^{17} \text{ cm}^{-3}$, $d = 1 \mu\text{m}$; (5) $p\text{-Ga}_{0.95}\text{Al}_{0.05}\text{As}$, $4 \cdot 10^{17} \text{ cm}^{-3}$, $d = 0,25 \mu\text{m}$; (6) $n\text{-Ga}_{0.82}\text{Al}_{0.18}\text{As}$, $5 \cdot 10^{17} \text{ cm}^{-3}$, $d = 3 \mu\text{m}$; (7) $n\text{-GaAs}$ (substrat), $1 \cdot 10^{18} \text{ cm}^{-3}$, $d = 100 \mu\text{m}$. În afară de structura de bandă-contact mai există și alte tipuri de structuri de bandă. În figura 2.18 *a* este reprezentată structura de bandă, planară, convențională iar în figura 2.18 *b* este reprezentată structura de bandă planară îmbunătățită [60]. În structura convențională banda se realizează prin difuzia zincului la suprafață, în timp ce în structura îmbunătățită zincul se difuzează mai adânc. Noua structură (fig. 2.18 *a*) îmbunătățește caracteristica curent-

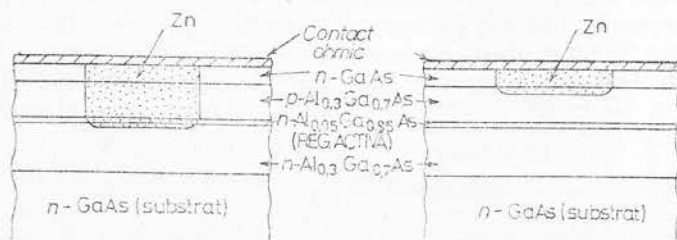


Fig. 2.18. — Structura de bandă planară îmbunătățită (*a*) și convențională (*b*).

radiație și stabilizează modul de oscilație orizontal, deoarece zincul este difuzat și în regiunea activă, realizându-se un anumit profil al indicelui de refracție: zincul difuzat formează o regiune p^+ . Alte structuri de bandă sint: structura mesa [61], reprezentată în figura 2.19 *a*, structura în care banda este realizată prin bombardare cu protoni [62], implantare de O_2 [63], difuzia sulfurii [64], reprezentată în figura 2.18 *b*, structura cu joncțiune transversală, [65], reprezentată în figura 2.19 *c*, etc. Introducerea protonilor, a O_2 sau a S , formează un strat semiizolator care separă o bandă pentru trecerea curentului electric. În structurile de bandă, ea are în mod obișnuit lărgimea de 13 μm .

B. Curentul de prag și eficiența

Funcționarea laserilor cu injecție este caracterizată de un curent de prag la care apare efectul laser. Curentul de prag se poate determina din dependența intensității radiației de ieșire în funcție de curentul electric din laser. Un exemplu este reprezentat în figura 2.20 pentru trei laseri cu

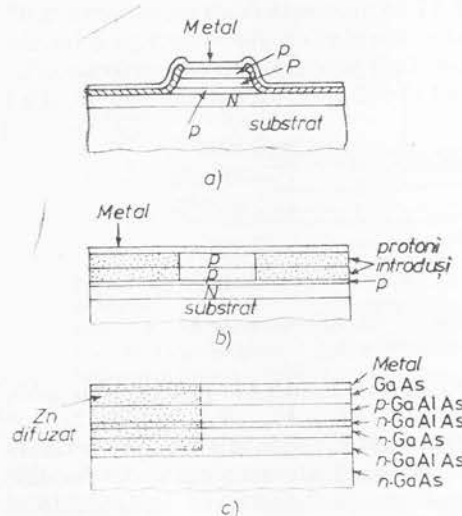


Fig. 2.19. — Structuri de bandă: *a* — mesa; *b* — prin bombardament cu protoni; *c* — cu joncțiune transversală.

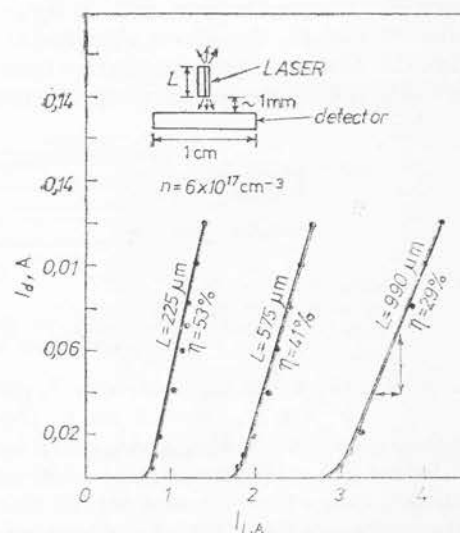


Fig. 2.20. — Intensitatea luminii emise în funcție de curentul electric din laser.

heterojoncțiune dublă de diferite lungimi [66]. Se observă că intensitatea luminii ieșite este funcție de curentul electric, pentru valori ale acestuia peste valoarea de prag. Radiația laser este detectată cu ajutorul unui detector din siliciu. Din panta curbelor din figură se determină eficiența cuantică diferențială a laserului.

$$\eta_d = 2 \frac{\Delta I_d}{\Delta I_l} \frac{1}{\eta'}, \quad (2.14)$$

unde η' este eficiența cuantică a detectorului, ΔI_d — variația curentului detectorului și ΔI_l — variația curentului din laser. S-a stabilit experi-

mental că în laserii cu joncțiune $p-n$ din GaAs câștigul este funcție liniară de curentul de prag [67]; se scrie $g = \beta j_p$, unde j_p este curentul de prag. Avînd în vedere că la prag câștigul devine egal cu pierderile, din ecuația (2.21) se obține relația

$$j_p = \frac{\alpha}{\beta} + \frac{1}{\beta L} \ln(1/R). \quad (2.15)$$

Graficul j_p în funcție de $1/L$ este o dreaptă (fig. 2.21), din a cărei pantă

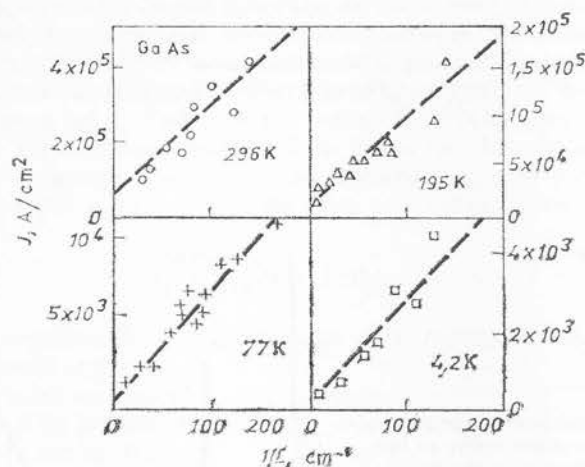


Fig. 2.21. — Rezultate experimentale asupra dependenței densității de curent de prag de lungimea cavității în diode laser din GaAs.

$(1/\beta) \ln(1/R)$ se determină β . Dreapta extrapolată intersectează axa j_p la α/β , de unde se poate determina α cunoscînd β . În laserii cu injecție s-a urmărit micșorarea curentului de prag și funcționarea la temperatura camerei, ceea ce se realizează prin creșterea lui β și micșorarea lui α . Primele valori obținute [68] sînt în domeniul $14 \div 92 \text{ cm}^{-1}$ pentru α și $5,7 \cdot 10^{-4} \div 3,94 \cdot 10^{-2} \text{ cm/A}$ pentru β . Creșterea lui β și micșorarea lui α și deci micșorarea considerabilă a curentului de prag s-a realizat în laserii cu heterojoncțiuni. În laserii cu heterojoncțiune dublă aceste valori sînt [58]: $\alpha = 8 \div 27 \text{ cm}^{-1}$, $\beta = 3,3 \cdot 10^{-3} \div 6 \cdot 10^{-2} \text{ cm/A}$ cu o creștere corespunzătoare în eficiență. Valori tipice ale curentului de prag sînt date în tabela 2.5.

Tabela 2.5

Valori tipice ale curentului de prag în laserii din GaAs la 300K

Homojoncțiune	40 000 A/cm²
Heterojoncțiune simplă	10 000
Heterojoncțiune dublă	1 300
Heterojoncțiune dublă cu cavitare optică largă	600

În general, în laserii cu heterojoncțiuni, g nu este funcție liniară de curentul de prag, ci se scrie $g \sim j_p^m$, unde $m = 1 \div 3$. În laserii cu heterojoncțiune dublă s-a obținut o bună concordanță pentru $m = 2,8$ [66].

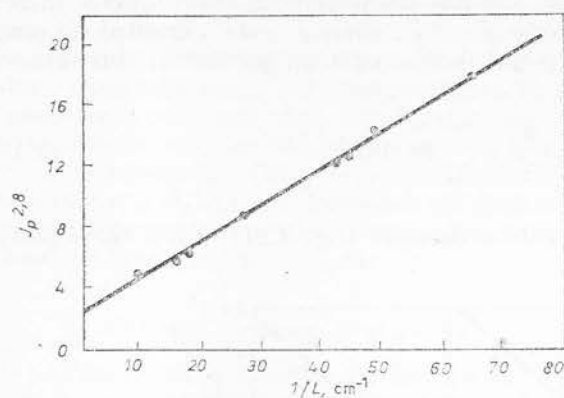
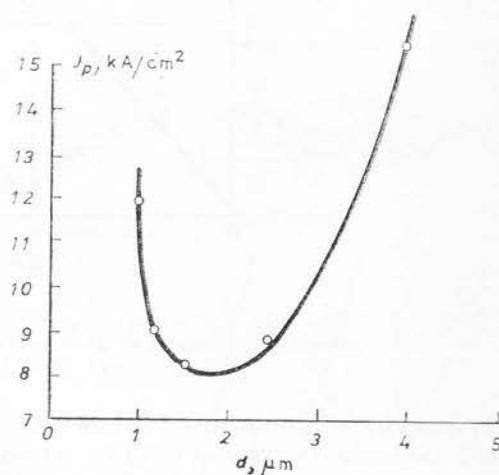


Fig. 2.22. — Dependența liniară a lui $j_p^{2,8}$ de $1/L$ în laserii cu heterojuncțiune dublă reprezentați în figura 2.20.

Fig. 2.23. — Dependența curentului de prag de grosimea regiunii active în laserul cu heterostructură simplă.



În figura 2.22 este reprezentat acest rezultat experimental unde se observă că $j_p^{2,8}$ este funcție liniară de $1/L$. Curentul de prag depinde de grosimea, d , a regiunii active. În figura 2.23 este reprezentată dependența curentului de prag de grosimea regiunii active în laserul cu heterostructură simplă iar în figura 2.24, în laserul cu heterostructură dublă. În general se poate scrie

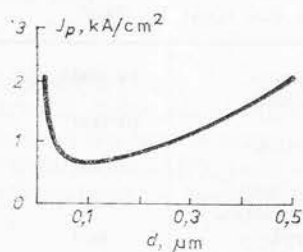


Fig. 2.24. — Dependența curentului de prag de grosimea regiunii active în laserul cu heterojuncțiune dublă.

$$j_p = \frac{d}{\eta_r \Gamma} \left(\frac{g_p}{\beta} \right)^{1/b} \quad (2.16)$$

unde Γ este fracțiunea din lumina stimulată care iese în fascicol din interiorul regiunii active, g_p — câștigul la prag și η_r — eficiența radiantă

$$\eta_r = \frac{1}{1 + \tau_r/\tau_n}$$

unde τ_r este timpul de viață pentru recombinarea radiantă iar τ_n — timpul de viață pentru recombinarea neradiantă; b este cuprins între 1 și 3. (Reamintim cititorului că efectul laser are loc într-o regiune a structurii în care este realizată inversia de populație, numită regiune activă). Așa cum se observă din figura 2.23 și 2.24, j_p nu are o dependență liniară de grosimea activă, ci sub o valoare critică a lui d , curentul de prag crește cu micșorarea grosimii regiunii active. Efectul se datorează în principal scăderii lui Γ cu scăderea lui d datorită pierderii proprietăților de ghidare a undelor cînd grosimea regiunii active devine comparabilă cu lungimea de undă (a se vedea paragraful următor). Densitatea de curent de prag crește cu creșterea temperaturii. Acest fenomen se datorează la mai multe cauze. Întîi, cu creșterea temperaturii crește concentrația purtătorilor liberi și deci și coeficientul de pierderi α prin absorbția pe purtători liberi. De asemenea, cu creșterea temperaturii crește grosimea regiunii active, ceea ce conduce la creșterea lui j_p . Indicele de refracție crește ușor cu temperatura și j_p crește cu creșterea indicelui de refracție. Lărgimea $\Delta\nu$ a liniei emisiei spontane crește cu creșterea temperaturii și j_p crește cu $\Delta\nu$. Dependența de temperatură a curentului de prag se exprimă prin formula empirică

$$j_p = j_{p0} \exp(T/T_0), \quad (2.17)$$

unde T_0 este o constantă. În figura 2.25 este reprezentată o asemenea dependență obținută experimental în structuri laser cu heterojuncțiune simplă și cu heterojuncțiune dublă [9]: curba 1 — $T_0 = 75\text{K}$; curba 2 — heterostructură simplă, $d = 2\mu\text{m}$, $T_0 = 88\text{K}$; curba 3 — heterostructură dublă, $d = 2\mu\text{m}$, $T_0 = 120\text{K}$; curba 4 — heterostructură dublă, $d = 1\mu\text{m}$, $T_0 = 125\text{K}$; curba 5 — heterostructură dublă, $d = 0,5\mu\text{m}$, $T_0 = 165\text{K}$. În continuare discutăm despre eficiența laserului, care se determină din relația (2.14). Notînd cu η_i eficiența internă a laserului, cu N numărul de fotoni produși în cavitate pe purtător injectat, cu N' numărul de fotoni pe purtător injectat care ies din cavitate și avînd în vedere că $\eta_i \sim N$ și $\eta_d \sim N'$ se poate scrie

$$\eta_d = \eta_i (N'/N). \quad (2.18)$$

Referindu-ne la unitatea de lungime, $N' \sim g = \alpha + (1/L)\ln(1/R)$, N se obține din ecuațiile lui Maxwell, pentru o cavitate Fabry-Perot proporțional cu [69]

$$\left| \frac{2\omega k}{c} \right| = \frac{1}{L} \ln(1/R), \quad (2.19)$$

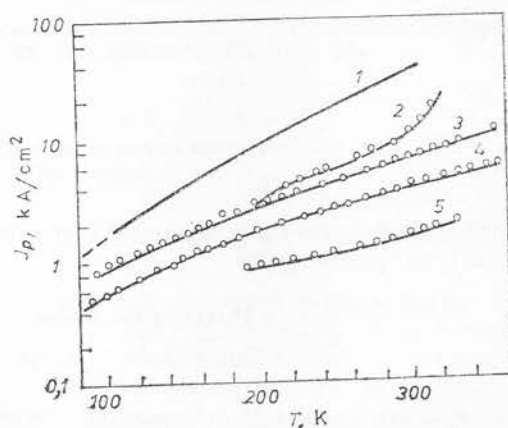


Fig. 2.25. — Dependența de temperatură a curentului de prag în heterostructuri.

unde ω este pulsația, c este viteza luminii și k este coeficientul de extincție. Se obține

$$\frac{1}{\eta_d} = \frac{1}{\eta_i} \left[1 + \frac{\alpha L}{\ln(1/R)} \right]. \quad (2.20)$$

Măsurind η_d dat de (2.14) se pot determina din ecuația (2.20), α și R . În figura 2.26a se reprezintă $1/\eta_d$ în funcție de L iar în figura 2.26b se repre-

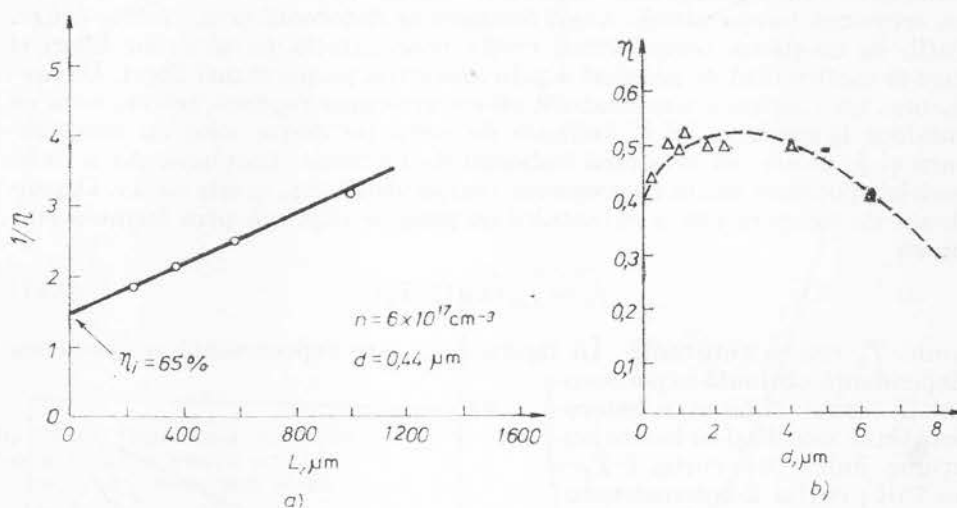


Fig. 2.26. — Eficiența diferențială în funcție de lungimea cavității (a) și în funcție de grosimea regiunii active (b).

zintă η_d în funcție de grosimea d a regiunii active. Eficiența cuantică (externă) se poate scrie

$$\eta = \frac{\text{Puterea de ieșire}}{\text{Puterea de intrare}} = \frac{P(W)}{IV(W)} = \frac{P/h\nu}{I/q}, \quad (2.21)$$

iar eficiența cuantică diferențială

$$\eta_d = \frac{P - P_0}{(I - I_0)V} = \frac{\Delta P}{V\Delta I}. \quad (2.22)$$

Măsurind puterea de ieșire, cu ajutorul unei sfere integratoare, și puterea de intrare, se poate determina η_d . Dacă se ia în considerare rezistența serie R a dispozitivului, relația (2.22) se modifică cu puterea pierdută I^2R .

C. Moduri de undă. Distribuția spectrală a radiației

În mod obișnuit laserul se construiește sub forma unei cavități rezonante Fabry-Perot care este un paralelipiped cu o pereche de fețe opuse

perfect plane și paralele. Radiația care se propagă perpendicular pe aceste fețe formează unde staționare ori de câte ori cavitatea conține un număr întreg de jumătăți de undă. Pentru o cavitate cu lungimea L această condiție se scrie

$$M \frac{\lambda}{2\bar{n}} = L, \quad (2.23)$$

unde M este un număr întreg, λ — lungimea de undă și \bar{n} — indicele de refracție: λ/\bar{n} este lungimea de undă a radiației în semiconductor. Indicele de refracție este funcție de λ astfel că distanța dintre moduri este dată de expresia

$$\Delta\lambda = \frac{\lambda^2}{2L \left(\bar{n} - \lambda \frac{d\bar{n}}{d\lambda} \right)}. \quad (2.24)$$

Există un set de moduri care au aceeași distribuție spațială a energiei, transversal pe axa rezonatorului, și care diferă între ele printr-un număr întreg de jumătăți de lungimi de undă (relația 2.23). Acestea se numesc moduri de undă longitudinale. Corespunzător, fiecărei valori a lui M (mod longitudinal), există un set de moduri care au distribuția diferită a energiei în planul transversal pe axa rezonatorului. Acestea se numesc moduri de undă transversale. Se scriu următoarele relații pentru diferența de lungime de undă între două moduri succesive [70]

$$\begin{aligned} (\Delta\lambda)_m &= \lambda_{m,n,q} - \lambda_{m+1,n,q} = \lambda^2/2\pi x_0 \bar{n}, \\ (\Delta\lambda)_n &= \lambda_{m,n,q} - \lambda_{m,n+1,q} = \lambda^2/2\pi \bar{n} y_0, \\ (\Delta\lambda)_q &= \lambda_{m,n,q} - \lambda_{m,n,q+1} = \lambda^2/2\pi \bar{n} L, \end{aligned} \quad (2.25)$$

unde m, n, p, q sînt numerele modurilor transversal perpendicular (pe joncțiune), transversal paralel (cu joncțiunea) și, respectiv, longitudinal. L este lungimea cavității, x_0 și y_0 sînt constante care depind de focalizarea radiației perpendiculară și paralel cu planul joncțiunii iar \bar{n} este indicele de refracție efectiv (care ia în considerare și dispersia). Cea mai bună separare (rezoluție) se obține pentru modurile transversale în laserul cu homojoncțiune cu bandă, unde x_0 este mic. Un exemplu pentru un laser homojoncțiune din GaAs este reprezentat în figura 2.29 a, care are $j_p = 150$ mA. Spectrul este ridicat la un curent de 215 mA și $T = 77$ K.

Regiunea activă, unde are loc emisia stimulată are, în virtutea relațiilor Kramers-Kronig, indicele de refracție mai mare decît regiunile adiacente. În laserul cu injecție regiunea activă este un strat subțire din regiunea p a joncțiunii $p-n$. În laserii cu heterojoncțiuni regiunea activă se află, de exemplu, în stratul de GaAs cuprins între două straturi de $\text{Al}_x\text{Ga}_{1-x}\text{As}$. Se cunoaște faptul că o rază de lumină, care cade pe suprafața de separare a două medii cu indici de refracție n_1 și n_2 diferiți, este reflectată total dacă unghiul θ pe care-l face cu planul este mai mic decît o valoare critică θ_i definită de expresia $\cos \theta_i = n_2/n_1$ (fig. 2.27). Pentru $\text{GaAs-Al}_{0.5}\text{Ga}_{0.5}\text{As}$ se obține $\Delta = (n_1 - n_2)/n_1 = 10\%$ și $\theta_i = 25^\circ$. Unda optică poate fi des-

erisă de unde plane care se propagă, aproximativ, în direcția axei ghidului și face cu ea unghiurile $\pm \theta$, în regiunea de indice de refracție mare, și de unde care descrește exponențial și se propagă în regiunea de indice de refracție mic (fig. 2.28 a). Undele plane suferă fenomenul de reflexie totală

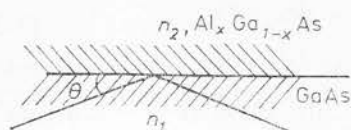


Fig. 2.27. — Reflexia totală a razei de lumină la interfața GaAs/ $\text{Al}_x\text{Ga}_{1-x}\text{As}$; $n_2 < n_1$.

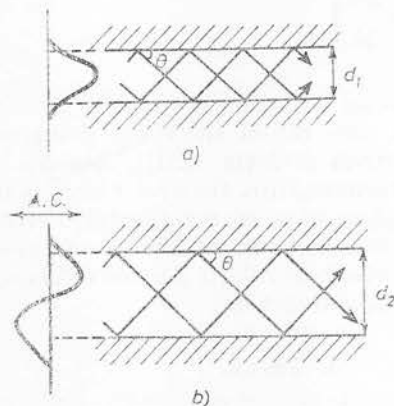


Fig. 2.28. — Propagarea undelor într-un ghid de unde: a — modul fundamental; b — modul de ordinul întâi; AC = amplitudinea cimpului.

la marginile ghidului (cu indice mic de refracție și formează unde staționare în direcția perpendiculară pe axa ghidului de undă. În figura 2.28 a este reprezentată o singură undă staționară cu un singur maxim al cimpului optic în ghidul de undă. Cu creșterea lui d , pentru același unghi θ , se poate obține o undă staționară a cărei intensitate are două maxime (fig. 2.28 b). Prin variația lui θ în interiorul limitelor permise, sau a lui d , se poate obține o succesiune de moduri transversale. În cazul când există un singur maxim, modul transversal se numește de ordinul zero sau fundamental, în cazul când există două maxime se numește de ordinul întâi, ș.a.m.d. În laserii cu heterojuncțiune dublă modurile perpendiculare pe planul joncțiunii sînt în general TE (transversal electric) și nu TM (transversal magnetic), deoarece modurile TE suferă o reflexie mai puternică la capetele cavității, au pierderi mai mici și deci densitate mai mică de curent de prag. Datorită limitărilor impuse de θ modurile de ordin mai mare sînt eliminate. Modurile TE de ordin mai mare au unghi de incidență mai mare și pierderi mai mici la capetele cavității în comparație cu modurile TE de ordin mai mic. Totuși ele avînd θ mai mare pătrund mai adînc în regiunile cu indice de refracție mai mic, inactive, și suferă pierderi mai mari în volumul dispozitivului. Cu alte cuvinte, coeficientul Γ scade cu creșterea ordinului modului de undă. Probabil din acest motiv în laserii cu heterojuncțiune dublă din GaAs- $\text{Al}_x\text{Ga}_{1-x}\text{As}$, cu grosimea regiunii active $d \leq 1 \mu\text{m}$, se obține numai modul fundamental. În dispozitivele practice este de dorit să se mențină modul de ordin cel mai mic, adică fundamental. Din fericire această dorință coincide cu cerința nivelului mic de injecție, din cauză că ambele condiții necesită o regiune activă subțire. În structurile cu regiunea activă suficient de groasă, pragul de curent pentru modurile de ordin mai mare devine comparabil cu cei pentru modul fundamental astfel că laserul funcționează pe mai multe moduri de undă. În aceste situații menținerea unui singur mod și eliminarea celorlalte moduri se face prin controlul profilului cîștigului astfel ca să fie favorizat modul dorit. Un asemenea control se poate realiza în laserul cu confinare separată, unde se selectează modul transversal fundamental. Menționăm că datorită confinării slabe în laserii cu homojuncțiuni și în laserii cu heterojuncțiune simplă se selectează numai modul transversal fundamental. S-a arătat [29] că într-o structură asimetrică pentru ca să

existe modul de lungime de undă λ trebuie îndeplinită următoarea condiție

$$(2\pi\bar{n}d/\lambda) (2\Delta_1)^{1/2} > \text{tg}^{-1}[(\Delta_1 - \Delta_2)/\Delta_2]^{1/2}, \quad (2.26)$$

unde Δ_1 și Δ_2 sînt diferențele relative dintre indicii de refracție la cele două margini ale ghidului (cînd $\Delta_1 = \Delta_2$ ghidul se numește simetric). În tabela 2.5 se dau valorile critice ale grosimii d_c a cavității în funcție de raportul $r = \Delta_1/\Delta_2$, pentru $\Delta_2 = 0,01$ pentru ca în cavitate să se stabilească un mod de undă staționar.

În încheierea acestui subparagraf notăm dependența de curentul de injecție și de temperatură a distribuției spectrale. Pentru curent sub valoarea de prag spectrul este destul de larg, datorită preponderenței emisiei spontane. Cînd curentul depășește valoarea de prag, spectrul de emisie se îngustează considerabil datorită dependenței exponențiale de câștig a intensității luminii emise. Un exemplu este reprezentat în figura 2.29 *b* [71]. Cu creșterea temperaturii spectrul se deplasează spre valori mai mari ale lungimii de undă, datorită scăderii lărgimii benzii interzise a semiconductorului.

Tabela 2.6

Valoarea critică a regiunii active, d_c în laserii cu heterojuncțiuni cu ghid asimetric

r	$d_c, \mu\text{m}$
1	0
1,5	0,245
2	0,313
5	0,441
10	0,497
∞	1,6

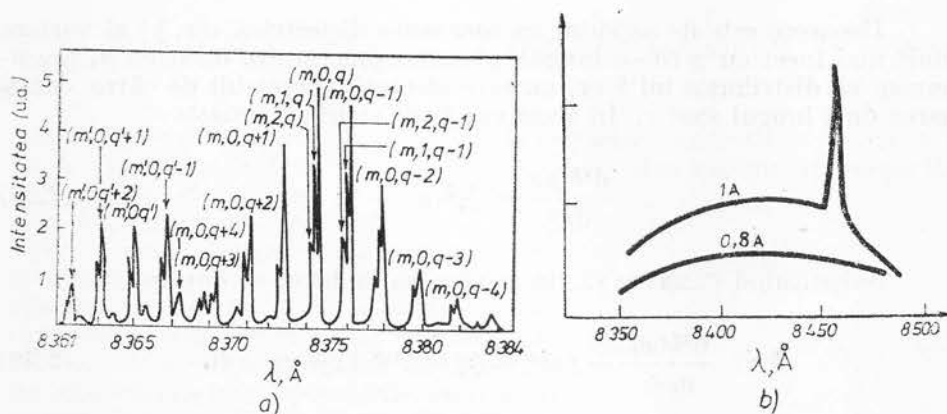


Fig. 2.29. — Un exemplu tipic de spectru de frecvență al unui laser din GaAs(a); spectrul de emisie al unui laser cu heterostructură dublă din GaAs-AlGaAs pentru două valori ale curentului de injecție (b).

D. Distribuția spațială

Se consideră un ghid de undă bidimensional într-un laser cu heterojuncțiune dublă cu geometrie de bandă. După cum s-a observat experimental, energia electromagnetică este confinată (focalizată) într-o regiune îngustă din apropierea planului joncțiunii. Această confinare se datorează în cea mai mare parte variației indicelui de refracție în planul transversal pe joncțiune, $z = \text{constant}$. Focalizarea radiației în două direcții transver-

sale se ia în considerare presupunându-se că constanta dielectrică $\varepsilon(x, y)$ are valoarea maximă de-a lungul liniei ce coincide cu axa oz și descrește cu depărtarea de această axă, cu creșterea lui x sau y . Constanta dielectrică $\varepsilon(x, y)$ arbitrară, independentă de direcția z de propagare, poate fi dezvoltată în serie în jurul axei z . Datorită simetriei, constanta dielectrică este funcție pară de x și y . În structura menționată s-a considerat următoarea dependență spațială a constantei dielectrice [72]

$$\varepsilon(x, y) \begin{cases} \varepsilon_0 - a^2 x^2, & \text{pentru } y \text{ în stratul activ.} \\ \varepsilon_1, & \text{pentru } y \text{ în afara stratului activ,} \end{cases}$$

unde x și y se măsoară de-a lungul și, respectiv, perpendicular pe planul joncțiunii. ε_0 nu este permitivitatea vidului ci constanta dielectrică la $x = 0$; a este în general o constantă complexă care caracterizează focalizarea în direcția x . Notînd cu \mathcal{E} o componentă dată a cîmpului electric corespunzător unui mod de undă, ea este soluție a ecuației scalare

$$\nabla^2 \mathcal{E} + \varepsilon k^2 \mathcal{E} = 0, \quad (2.27)$$

unde $k = 2\pi/\lambda$. Soluția se scrie

$$\mathcal{E} = \mathcal{E}(x)\mathcal{E}(y) \exp(-i\beta z). \quad (2.28)$$

Deoarece este de așteptat ca constanta dielectrică $\varepsilon(x, y)$ să varieze mult mai încet cu x (de-a lungul planului joncțiunii), decît cu y , presupunem că distribuția lui $\mathcal{E}(y)$ nu este afectată apreciabil de către confinarea de-a lungul axei x . În acest caz $\mathcal{E}(y)$ satisface ecuația

$$\frac{d^2 \mathcal{E}(y)}{dy^2} + \beta_y^2 \mathcal{E}(y) = 0. \quad (2.29)$$

Substituind (2.28) și (2.29) în ecuația undelor, se obține

$$\mathcal{E}(y) \frac{d^2 \mathcal{E}(x)}{dx^2} + (\varepsilon k^2 - \beta_y^2 - \beta^2) \mathcal{E}(x)\mathcal{E}(y) = 0. \quad (2.30)$$

Pentru a obține o ecuație numai pentru $\mathcal{E}(x)$ se multiplică ecuația de mai sus cu $\mathcal{E}^*(y)$ și se integrează pe y

$$\frac{d^2 \mathcal{E}(x)}{dx^2} + [(\varepsilon_0^2 - a^2 x^2) k^2 \Gamma + \varepsilon_1 k^2 (1 - \Gamma) - \beta_y^2 - \beta^2] \mathcal{E}(x) = 0, \quad (2.31)$$

unde factorul de focalizare (confinare) Γ este definit de relația

$$\Gamma = \int_{d/2}^{d/2} dy \mathcal{E}^*(y) \mathcal{E}(y), \quad (2.32)$$

unde d este grosimea regiunii active și integrala din $|\mathfrak{E}(y)|^2$ pe întregul spațiu este normalată la unitate. Distribuțiile modale de-a lungul planului joncțiunii sînt funcții Hermite-Gauss date de

$$\mathfrak{E}_m(x) = H_m[(ak)^{1/2}x] \exp\left(-\frac{\Gamma^{1/2}}{2} - kax^2\right), \quad (2.33)$$

unde H_m este polinomul Hermite de ordinul m . Pentru modul fundamental, $m = 0$, $H_0 = 1$ și semilărgimea în punctul $1/e^2$ al intensității este dată de

$$(w_e)^2 = \frac{2}{ka_r\Gamma^{1/2}},$$

unde a_r este partea reală a coeficientului complex a . În aproximația parabolică, pentru profilurile cîștigului și indicelui de refracție de forma

$$g(x) = g_m - \frac{4\Delta g}{S^2} x^2,$$

$$\bar{n}_r(x) = \bar{n}_m - \frac{4\Delta\bar{n}}{S^2} x^2,$$

parametrul a_r poate fi scris

$$a_r^2 = \frac{4\Delta\bar{n}\bar{n}_m}{S^2} + [(4\bar{n}_m\Delta\bar{n}/S^2)^2 + (\lambda\bar{n}_m\Delta g/\pi S^2)^2]^{1/2}, \quad (2.34)$$

unde \bar{n}_r este partea reală a indicelui de refracție; indicele m se referă la modul m , $\bar{n}_m \simeq [\varepsilon_0\Gamma + \varepsilon_1(1 - \Gamma)]^{1/2}$, g_m și \bar{n}_m sînt cîștigul și, respectiv, indicele de refracție la centrul benzii, S este lărgimea benzii (fig. 2.30) iar $g_m - g$ și $\bar{n}_m - \bar{n}$ sînt cîștigul și, respectiv, indicele de refracție la marginea benzii. Profilurile indicelui de refracție și cîștigului sînt reprezentate în figura 2.31. Profilul $g(x)$ reprezintă profilul cîștigului net în ghidul de undă incluzînd și pierderile, cum ar fi absorbția pe purtători liberi. Distribuția spațială a cîmpului optic al unui laser s-a măsurat cu o instalație a cărei schemă este reprezentată în figura 2.32. Baleiajul luminii emise de joncțiune (în lungul joncțiunii) se realizează cu o oglindă rotitoare iar profilul spațial al luminii emise, la o lungime de undă selectată, se măsoară prin detecția luminii cu un fotomultiplicator. Profilul intensității totale a fost detectat cu o fotodiodă $p-i-n$ folosită în locul spectrometrului și fotomultiplicatorului. Profilul intensității, detectat de către fotomultiplicator

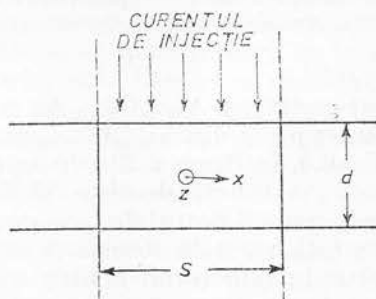


Fig. 2.30. — Sistemul de coordonate folosit pentru calculul parametrilor laserului; S este lărgimea benzii, xz este planul joncțiunii, d este grosimea regiunii active.

sau fotodiodă, este expus pe un osciloscop și în același timp pe un integrator de unde este trecut la un înregistrator X—Y. În [72] s-a măsurat în acest fel distribuția spațială a luminii în lungul joncțiunii într-un laser cu stra-

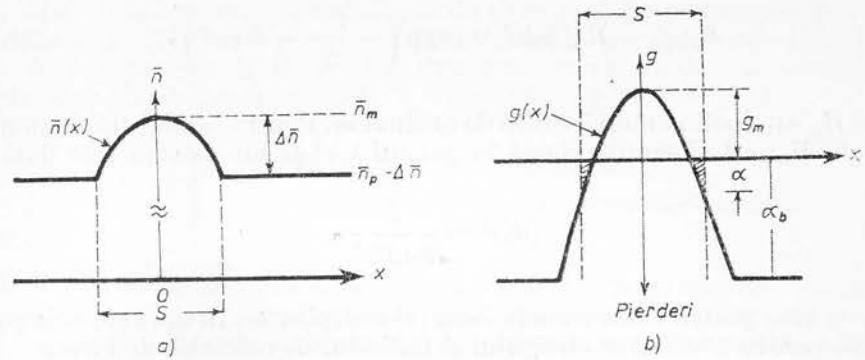


Fig. 2.31. — Profilul indicelui de refracția (a) și al câștigului (b).

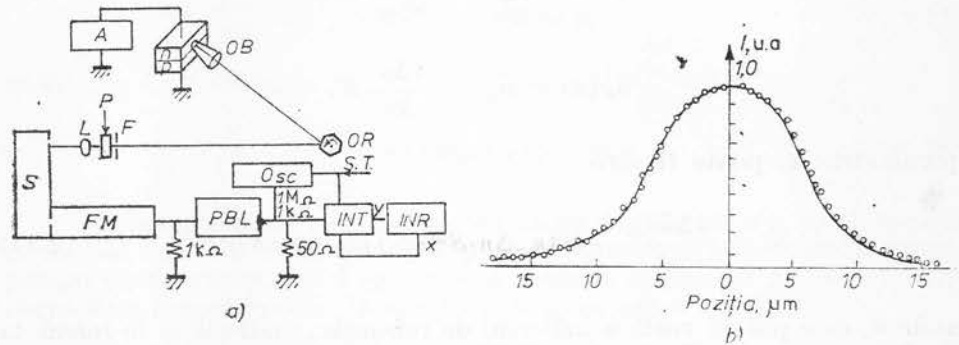


Fig. 2.32. — Schema instalației utilizate pentru măsurarea distribuției spațiale a intensității emise de un laser cu joncțiune, cu geometrie de bandă; a) — A — alimentator, OB — obiectiv, OR — oglindă rotitoare, F — fantă, P — polarizor, L — lentilă, S — spectrofotometru, FM — fotomultiplicator, PBL — preamplificator de bandă largă, OSC — oscilograf, INT — integrator, INR — înregistrator, S.T. — semnal triger.

tul activ, $p\text{-Al}_{0,08}\text{Ga}_{0,92}\text{As}$ cu grosimea de $0,12\mu m$, cuprins între două strate p și n din $\text{Al}_{0,36}\text{Ga}_{0,64}\text{As}$. Laserul considerat are factorul de focalizare $\Gamma=0,3$. În figura 2.32 este reprezentată intensitatea emisiei spontane măsurată, în funcție de distanță de-a lungul joncțiunii. Rezultatele experimentale coincid destul de bine cu cele teoretice [74]. În figura 2.33 este reprezentată variația observată în lărgimea distribuției intensității de-a lungul planului joncțiunii și pentru emisia totală TE polarizată paralel cu planul joncțiunii și pentru emisia corespunzătoare lungimilor de undă a două moduri Fabry-Perot ale cavității laserului. Pentru creșterea preciziei măsurărilor lărgimea totală s-a măsurat pentru jumătatea puterii emise. Pentru un mod de formă gaussiană, lărgimea totală în punctul $1/e^2$, $2w_e$ este de 1,7 ori mai mare decât lărgimea pentru puterea pe jumătate dată în figură. Menționăm că în figură cercurile goale și „X” reprezintă valorile măsurate ale intensității emise pentru lungimile de undă a două moduri longitudinale TE iar cercurile pline reprezintă valorile pentru intensitatea

totală TE polarizată, emisă. Rezultatele experimentale reprezentate în figura 2.33 arată că pentru valori ale curentului sub valoarea de prag, cu creșterea curentului, profilul spațial al intensității emise se îngustează considerabil. (Linia verticală din interiorul figurii 2.33 delimitează valoarea curentului de prag; a se vedea și scala de sus). O îngustare a profilului, dar mai slabă, cu creșterea curentului, se observă și la curenți peste valoarea de prag.

E. Degradarea laserilor cu diode semiconductoare

Degradarea dispozitivului se datorează degradării contactelor, a joncțiunii, a materialului însuși precum și efectelor termice care dau naștere la tensiuni mecanice. Vom considera mai întâi degradarea materialului însuși. Pentru îmbunătățirea stabilității performanțelor diodelor laser, calea cea mai realistă ar fi să se clarifice întâi mecanismul care conduce la degradarea acestora. S-a arătat că degradarea rapidă (aproximativ 10^2 h) s-ar datora creșterii concentrației așa-numitelor defecte liniare de întuneric (DLI) care se dezvoltă după direcțiile anumitor axe cristaline ($\langle 100 \rangle$ și $\langle 110 \rangle$) și care favorizează recombinarea neradiantă. Studii de catodoluminescență, microscopie electronică, etc. au arătat că aceste dislocații apar în special în regiunea activă. Unii autori au identificat DLI cu rețele de dipoli de dislocații de alunecare sau suprapunere; acești dipoli ar fi de tipul vacanțelor și interstițiilor [75] (de exemplu în GaAs atomi de Ga în interstiții și vacanțe de As). S-a găsit că densitatea dislocațiilor crește în timp și este afectată considerabil de recombinarea purtătorilor, de fotoexcitație, dopaj, prezența unui câmp electric, etc. Creșterea densității dislocațiilor și deci a degradării se manifestă printre altele prin creșterea curentului de prag. Densitatea dislocațiilor este influențată și de tensiunea mecanică aplicată pe structură. În [29] s-a studiat influența asupra îmbătrânirii laserului a unei tensiuni mecanice aplicată uniaxial, în timp ce prin structura laser trece un curent electric în sens direct. S-a utilizat un laser cu heterostructură dublă cu geometrie de bandă. Tensiunea mecanică s-a aplicat în direcție paralelă cu banda (fig. 2.34). Tensiunea mecanică se aplică prin intermediul unui cilindru de oțel și a două blocuri de diamant. În figura 2.35 c este reprezentată creșterea curentului de prag datorată degradării în funcție de tensiunea mecanică de degradare pentru două valori ale curentului folosit în timpul degradării. La o tensiune $\sigma = 3,1 \cdot 10^8$ dyn/cm² și densitate de curent de 2kA/cm², se observă o creștere considerabilă a degradării. În figura 2.36 este reprezentată dependența ratei de degradare (variația curentului de prag) în funcție de curentul electric folosit în timpul degradării la diverse tensiuni mecanice aplicate.

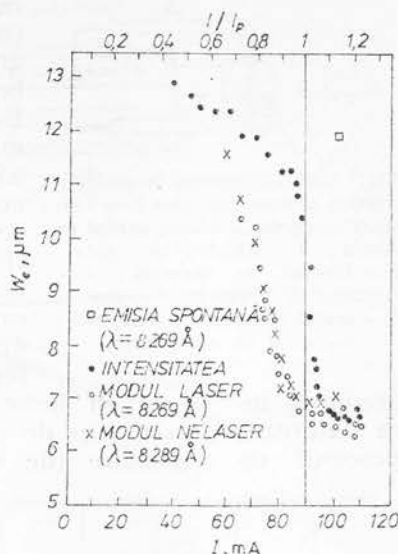


Fig. 2.33. — Variația semilărgimii distribuției intensității luminii emise de către un laser cu heterojuncțiune dublă din AlGaAs. Intensitatea emisei spontane măsurată în funcție de poziția de-a lungul joncțiunii într-un laser.

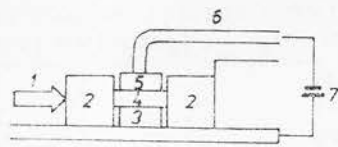


Fig. 2.34. — Schema aparatului utilizat pentru aplicarea unei tensiuni mecanice și a unui curent pe diodă: 1 — cilindru de oțel; 2 — blocuri de diamant; 3 — capcan de căldură; 4 — probă; 5 — metal adaptor; 6 — electrod; 7 — sursă de alimentare.

Se observă că degradarea crește cu creșterea curentului de injecție folosit în timpul degradării. În [76] s-au realizat defecte prin bombardarea cu electroni de energie 1 MeV. Defectele apărute prin iradiere sînt vacanțe, intersiții sau complexe. S-a observat că în compușii ternari sau cu mai multe componente rata de degradare a laserilor depinde de compoziție [77] și de lărgimea benzii interzise [78]. Defectele DLI, defecte ce se caracterizează printr-o viteză mare de creștere care depinde de nivelul de excitație și de o direcție de creștere preferențială, sînt caracteristice structurilor de tipul (GaAl)As. Degradarea în laserii cu heterojuncțiune dublă din (InGa) (AsP) nu se datorează acestui tip de defecte [79]. O altă observație este că procesul de degradare (de creștere a densității dislocațiilor) este

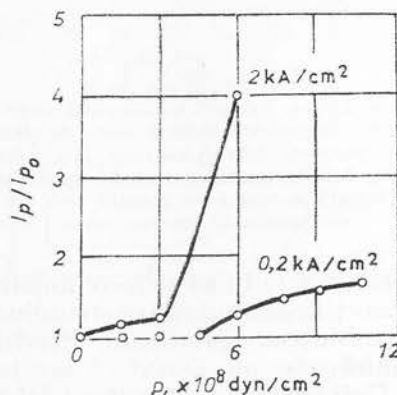


Fig. 2.35. — Dependența curentului de prag funcție de tensiunea mecanică.

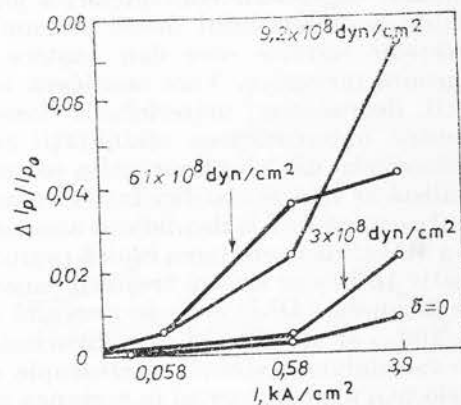


Fig. 2.36. — Dependența ratei de degradare de curentul de degradare.

activat termic cu o energie de activare (formare) în jur de 1 eV sau mai mică. Scăderea timpului de viață a diverselor dispozitive cu temperatura de lucru este reprezentată în figura 2.37. Energia de activare pentru laserii cu heterojuncțiune dublă din AlGaAs este de 0,7 eV. Pentru îmbunătățirea performanțelor și creșterea timpului de viață a laserului este important să se micșoreze densitatea de defecte din substrat și din stratul epitaxial. Apariția DLI poate fi evitată dacă procesele de creștere și de prelucrare se fac cu extrem de multă grijă. În figura 2.38 este reprezentată degradarea într-un laser cu heterojuncțiune simplă în funcție de rata de răcire din timpul preparării dispozitivului, în faza după realizarea epitaxiei. Răcirea foarte rapidă, pînă la 20°C/min, îmbunătățește timpul de viață a dispozitivului, aceea cu rata de 0,2°C/min. duce la degradarea cu 50 % a dispozitivului după 200 ore de funcționare, iar cu 0,8°C/min. duce la degradarea cu 50 % a dispozitivului după 500 ore în timp ce răcirea cu rata de 20°C/min. nu a dus la nici o degradare în timpul de funcționare de 1 000 ore. Explicația influenței ratei de răcire asupra degradării constă în formarea de centre neradiative. Răcirea rapidă micșorează concentrația de vacanțe

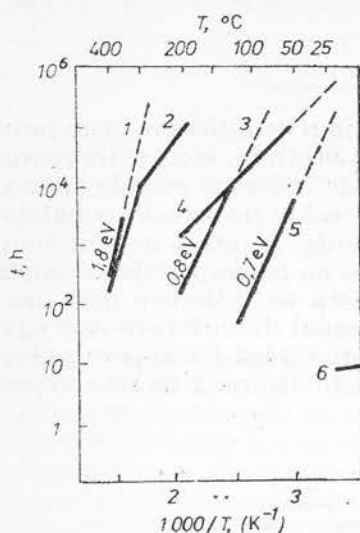


Fig. 2.37. — Dependența de temperatură a timpului de viață a diverselor dispozitive, exprimat în ore: 1—diode IMPATT din GaAs; 2—diode Gunn din GaAs; 3—diode luminescente din GaAsP; 4—diode luminescente din GaAs; 5—laseri cu heterojuncțiune dublă din GaAlAs; 6—diode tunel din GaAs.

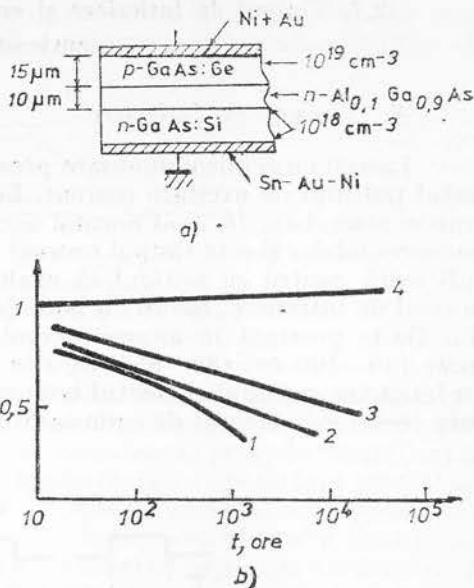


Fig. 2.38. — Laserul cu heterojuncțiune simplă (a) degradarea pentru diverse cicluri de răcire (intensitatea radiației în unități relative în funcție de timpul de funcționare (b): 1—0,2°C/min; 2—0,8°C/min; 3—2°C/min; 4—20°C/min.

și de atomi interstițiali. O altă măsură pentru evitarea degradării constă în eliminarea excesului de tensiuni mecanice reziduale. În acest scop cristallul se acoperă cu un strat protector eliminându-se posibilitatea oxidării suprafeței (fig. 2.39) [80]. Am amintit la începutul acestui paragraf că un rol însemnat îl joacă și degradarea contactului și a joncțiunii. S-a observat o degradare ușoară a contactelor când se folosesc conductori de legătură din aluminiu, în instalația ultrasonoră de realizare a contactelor, în special când aceste contacte se fac cu aur. De aceea este mai indicat să se realizeze contacte prin aliere, dar timpul de aliere nu trebuie să fie prea lung, pentru a nu pătrunde în adâncimea materialului semiconductor atomi metalici. Un contact bun trebuie să asigure și o conducție bună [80]. Defectele prezente în aria joncțiunii se dezvoltă sub influența unei tensiuni mecanice sau a căldurii rezultate la trecerea curentului electric.

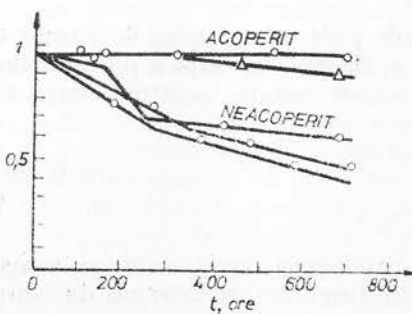


Fig. 2.39. — Intensitatea radiației în funcție de timpul de funcționare în cazul cristallului acoperit și neacoperit cu material protector.

2.7. Timpul de întârziere și comutarea internă în laserii cu semiconductoare

A. Timpul de întârziere

Laserii cu semiconductoare prezintă un timp de întârziere între începutul pulsului de excitare (curent, fascicul de electroni, etc.) și începutul emisiei stimulate. În mod normal acest timp de întârziere este de ordinul nanosecundelor și este timpul necesar pentru a realiza inversia de populație suficientă pentru ca câștigul să egaleze pierderile. În afara acestui timp normal de întârziere, laserii cu homojuncțiuni și cu heterojuncțiuni simple din GaAs prezintă în anumite condiții un timp de întârziere mult mai mare (50–100 ns) [82–85]. În alte cazuri timpul de întârziere este egal cu lungimea pulsului și efectul laser apare imediat după terminarea pulsului; acesta este efectul de comutare internă Q . În figura 2.40 este repre-

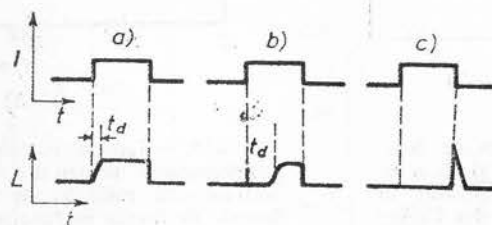


Fig. 2.40. — Întârzierea în laserii cu semiconductoare: a — timp de întârziere scurt; b — timp de întârziere lung; c — comutarea internă Q .

zentat schematic timpul de întârziere în laserii cu semiconductoare. Concentrația purtătorilor de sarcină în funcție de timp este determinată de ecuația

$$\frac{dn}{dt} = \frac{j}{qd} - \frac{n}{\tau},$$

unde j este densitatea de curent de injecție, d — lărgimea regiunii active, τ — timpul de viață a purtătorilor de sarcină. Cu condiția la limită $n = 0$ la $t = 0$, soluția acestei ecuații este

$$n(t) = \frac{j}{qd} \tau (1 - e^{-t/\tau}).$$

Concentrația purtătorilor și, în consecință, câștigul atinge valoarea sa de echilibru într-un interval de timp de câțiva τ . În această situație emisia laser are loc după un timp scurt de întârziere

$$t_d = \tau \ln \frac{j}{j - j_p},$$

unde j_p este curentul de prag. Timpul lung de întârziere apare peste o anumită temperatură, cuprinsă în domeniul 90—340 K, T_c , numită temperatură critică. Simultan se observă o creștere a curentului de prag. T_c

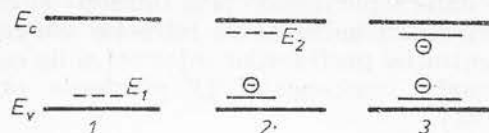


Fig. 2.41.—Modelul cu centre acceptoare cu două nivele : 1 și 3 sînt stări care nu absorb iar 2 este starea care absoarbe fotoni.

depinde de materialul din care este construit laserul, de procedeul de fabricare, de lungimea și de lărgimea regiunii active. Timpul de întârziere scade cu creșterea curentului de injecție peste valoarea de prag. În scopul explicării acestui fenomen s-au propus mai multe modele care de fapt reprezintă tot atîtea cauze ale apariției efectului. În cele ce urmează vom prezenta o sinteză asupra acestor probleme [86—87]. Întârzierea efectului laser poate fi produsă prin : (1) întârzierea atingerii inversiei de populație necesare și (2) întârzierea egalizării pierderilor de către câștig, datorită absorbției fotonilor, sau pierderii acestora prin difracție, or străpungerea ghidajului, cu toate că inversia de populație a fost realizată.

Întârzierea atingerii inversiei de populație se poate realiza prin captura purtătorilor injectați de către centre de captură [82] sau prin acțiunea câmpului electric și dependența spațială a timpului de viață asupra distribuției sarcinii, care este funcție de temperatură [88]. În primul caz, pentru a se obține timpii de întârziere observați experimental este necesară o concentrație mare (aproximativ 10^{19} cm^{-3}) de centre de captură ceea ce este puțin probabil să existe. De asemenea, în acest model nu se poate explica existența unei temperaturi de tranziție. În al doilea caz, cu creșterea temperaturii, maximul distribuției sarcinii se deplasează spre timpii de viață mai mari (în condițiile existenței unei dependențe spațiale corespunzătoare a timpului de viață, ceea ce apare natural în laserii realizați prin difuzie); contribuția acestui efect la timpul de întârziere nu este mare. Acest efect poate explica satisfăcător comutarea internă Q .

Întârzierea datorită absorbției fotonilor poate fi determinată de : (a) absorbția fotonilor de către centre de absorbție [85], (b) de către centrele acceptate cu două nivele [83], (c) de către benzile de impurități [89] și (d) de către nivele virtuale. Pierderile prin difracție și străpungerea ghidajului [90] se datorează perturbării indicelui de refracție de către purtătorii injectați în regiunea activă și de către căldura Joule degajată [91], precum și perturbării profilului indicelui de refracție de către redistribuirea purtătorilor în timpul pulsului datorită căldurii Joule degajate [86]. În figura 2.41 este reprezentat modelul cu centre de captură cu două nivele acceptoare pentru electroni. La temperaturi joase centrele sînt dublu ionizate. Prin captura unui electron din banda de valență centrul trece în starea 2 ; în materialul de tip p probabilitatea acestei tranziții crește cu creșterea temperaturii. Nivelul E_2 din starea 2 poate să treacă în starea 3 prin captura unui electron din banda de valență care se face cu absorbția unui foton cu energia emisiei laser. Starea 3 este o stare neutră, în care sis-

temul nu mai absoarbe fotoni. Astfel, câștigul rămâne mai mic decât pierderile până se saturează toate nivelele E_2 . Acesta este timpul lung de întârziere a apariției efectului laser. După cum am menționat [86], întârzierea efectului laser, chiar în condițiile în care este realizată inversia de populație, se mai poate datora pierderilor prin difracție și străpungerii ghidajului din cauza perturbării indicelui de refracție din regiunea activă, de către variația concentrației purtătorilor injectați și de către căldura Joule degajată. Pentru modul fundamental TE pierderile prin difracție sunt date de expresia [92]

$$\alpha_{\text{dif}} = \frac{\alpha_1 + F \alpha_3}{G},$$

unde α_1 este coeficientul de absorbție din regiunea 1, α_3 — coeficientul de absorbție din regiunea 3 (fig. 2.42) iar F și G sunt funcții care depind de parametrii ghidajului. În figura 2.43 este reprezentată dependența pierderilor prin difracție de diferența Δ_1 dintre indicii de refracție din regiunea 2 și regiunea 1 ($\Delta_1 = \bar{n}_2 - \bar{n}_1$). Din figură reiese că există o valoare minimă a lui Δ_1 sub care nu mai este posibilă ghidarea. Când Δ_1 se apropie de această valoare minimă, α_{dif} crește abrupt. În cele ce urmează vom discuta variația indicelui de refracție în regiunea activă. El variază în timpul curgerii curenților electric datorită purtătorilor injectați și căldurii Joule degajate, de asemenea, cu focalizarea luminii în ghid. Cu variația concentrației purtătorilor de sarcină, marginea de absorbție se deplasează spre energii mai mari sau mai mici. Deoarece indicele de refracție este dependent de coeficientul de absorbție (prin intermediul relațiilor Kramers-Kronig), orice variație a marginii benzii de absorbție este însoțită de o variație corespunzătoare a indicelui de refracție. S-a arătat [93] că variația indicelui de refracție depinde aproximativ liniar de concentrația purtătorilor liberi după expresia

$$\Delta \bar{n} \approx -k \Delta n. \quad (2.35)$$

Constanta k de proporționalitate poate fi cuprinsă în domeniul $10^{-20} - 10^{-21} \text{ cm}^{-3}$, depinzând de condițiile de funcționare (dopaj, temperatură, etc.). Trecerea curentului prin regiunea activă degajă căldură care duce la creșterea temperaturii acestei regiuni. Se poate presupune că încălzirea este

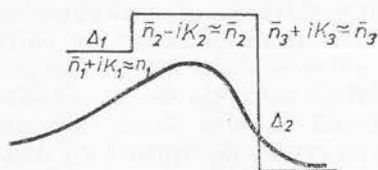


Fig. 2.42. — Schema unui ghid de unde; Δ_1 și Δ_2 sunt salturile în indicii de refracție la marginile sale: $\Delta_1 = n_2 - n_1$, $\Delta_2 = n_2 - n_3$. Este reprezentat și profilul modului de undă fundamental.

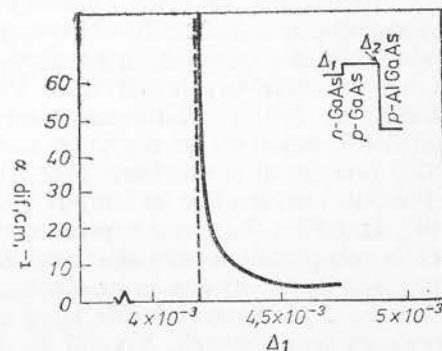


Fig. 2.43. — Pierderile prin difracție ale ghidului de undă în funcție de Δ_1 .

adiabatică, întrucât lărgimea pulsului de curent este mică, de ordinul a 100 ns, și aproape întreaga cantitate de căldură se degajă în regiunea activă. Astfel, lărgimea benzii interzise din regiunea activă descrește față de banda interzisă a regiunilor vecine și în consecință crește diferența dintre indicii de refracție al regiunii active și cel al regiunilor vecine. Creșterea indicelui de refracție datorată căldurii este dată de expresia

$$\Delta \bar{n} = \alpha \Delta T, \quad (2.36)$$

unde $\alpha = 4 \cdot 10^{-4} \text{K}^{-1}$. Creșterea, ΔT , a temperaturii cu densitatea, j , a curentului electric și cu timpul, t , este dată de expresia

$$\Delta T = \frac{Vj(1 - \eta)}{\gamma cd}, \quad (2.37)$$

unde V este tensiunea aplicată pe joncțiune, η — eficiența radiantă internă, γ densitatea materialului ($5,32 \text{ g/cm}^3$ pentru GaAs), c — căldura specifică a materialului ($0,067 \text{ J/g} \cdot ^\circ\text{C}$) și d — grosimea regiunii active. Apariția amplificării radiației în regiunea activă contribuie efectiv la confinarea luminii, care este echivalentă cu o creștere a indicelui de refracție în regiunea activă dată de

$$\Delta \bar{n} = \frac{\lambda}{8\pi} g, \quad (2.38)$$

unde λ este lungimea de undă a modului de radiație iar $g = \beta_0 j^s$, $s = 2 \div 3$ [94]. În [91] s-a folosit $s = 2,5$ și $\beta_0 = 1,5 \cdot 10^{-8} \text{ cm}^{-1}/(\text{A/cm}^2)^{2,5}$. Relația (2.38) este valabilă în realitate numai pentru o distribuție Gauss a modului de radiație. O contribuție la variația diferenței dintre indicii de refracție o aduce modificarea profilului distribuției purtătorilor liberi datorită căldurii Joule degajate în timpul pulsului de curent [86]. Se consideră un laser cu heterojoncțiune simplă, așa cum este reprezentat în figura 2.44. Cîmpul intern \mathcal{E}_r în regiune $p\text{-GaAs}$, care este regiunea activă, și cîmpul aplicat \mathcal{E}_a , din această regiunea, determină un anumit profil al distribuției purtătorilor de sarcină. Acest profil depinde, printre altele, de grosimea regiunii $p\text{-GaAs}$ și de temperatură. În figura 2.45 este reprezentată distribuția concentrației purtătorilor injectați în regiunea $p\text{-GaAs}$ în cazul $j_0 = \text{constant} = q \int R dx$, unde j_0

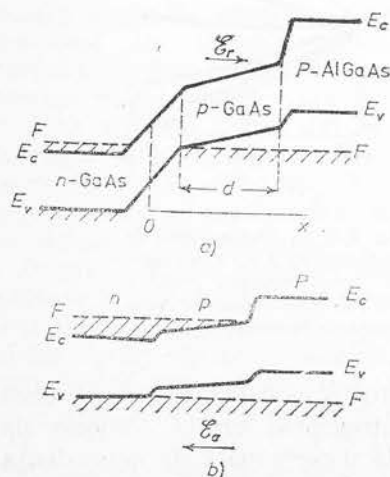


Fig. 2.44. — Reprezentarea schematică a benzilor de energie ale unui laser cu heterojoncțiune simplă la echilibru (a) și la polarizare directă (b).

este densitatea curentului electric iar R — rata recombinării radiante; se folosesc două valori ale parametrului

$r : r = 1/2$ (curba 1) și $r = 1/4$ (curba 2). Parametrul r este definit de relația

$$r = \frac{1}{2} \frac{\mu \mathcal{E} \tau}{L} = \frac{1}{2} \frac{\mu}{L} \tau \left(j_0 \rho - \frac{kT}{q} \alpha \right), \quad (2.39)$$

unde α este gradientul impurităților de dopaj, în regiunea p -GaAs, raportat la concentrația acestora (s-a presupus o dependență exponențială a concentrației impurităților cu distanța), μ — mobilitatea, τ — timpul de viață, L — lungimea de difuzie a electronilor iar ρ rezistivitatea regiunii p -GaAs; $\mathcal{E} = \mathcal{E}_a - \mathcal{E}_r$. În figura 2.46 este reprezentată dependența de

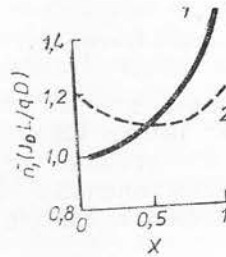


Fig. 2.45. — Distribuția concentrației purtătorilor de sarcină în regiunea p -GaAs.

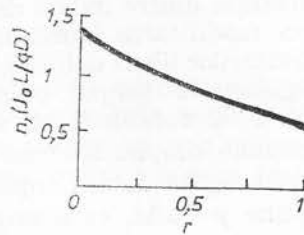


Fig. 2.46. — $n(0)$ în funcție de r pentru $j_0 = \text{constant}$.

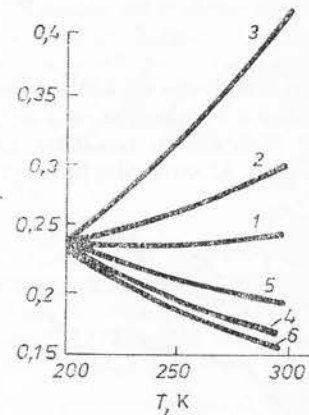


Fig. 2.47. — Dependența de temperatură a lui r în regim de curent constant (curbele 3, 5, 6) și în regim de cimp constant (curbele 1, 2, 4).

r a concentrației electronilor la $x = 0$ pentru $j_0 = \text{constant}$. Se observă că $n(0)$ descrește cu creșterea lui r și în consecință, crește indicele de refracție. Dependența lui r de temperatură este determinată de dependența de temperatură a mobilității și timpului de viață a purtătorilor de sarcină precum și a celorlalți parametri care intervin în relația (2.39). Citeva exemple sînt reprezentate în figura 2.47, curbele corespunzînd următoarelor situații: (1) $\mu \sim T^{1/2}$; $j_0 \rho = \text{constant}$; (2) $\mu \sim T^{3/2}$, $j_0 \rho = \text{constant}$;

(3) $\mu \sim T^{-1}$, $j_0 = \text{constant}$, $\rho \sim T^{2.1}$; (4) $j_0 \rho = \text{constant}$, $\mu \sim T^{-1}$; (5) $j_0 = \text{constant}$, $\mu, \mu_p \sim T^{1/2}$; (6) $j_0 = \text{constant}$, $\mu \sim T^{3/2}$, $\mu_p \sim T^{-3/2}$. S-a considerat $\alpha = 0$, adică absența unui gradient al concentrației impurităților ceea ce corespunde unei heterostructuri obținută prin epitaxie din fază lichidă. Așa cum reiese din figura 2.47, în funcție de diversele situații considerate, r crește sau scade cu creșterea temperaturii. Dacă la timpul $t = 0$ diferența dintre indicii de refracție din regiunea pasivă (n -GaAs) și regiunea activă (p -GaAs) este Δ_1 , atunci la un moment t din timpul pulsului de curent aplicat pe structură, această diferență devine Δ'_1 și are valoarea

$$\Delta'_1 = \Delta_1 - k\Delta n + \alpha\Delta T - k\Delta n_T(t) + \frac{\lambda}{8\pi} \beta j^s. \quad (2.40)$$

Termenul $-k\Delta n_T(t)$ constituie variația indicelui de refracție datorită variației concentrației $n(0)$ în timpul pulsului de curent ca rezultat al variației temperaturii. Astfel, variația indicelui de refracție datorită încălzirii structurii în timpul pulsului de curent conține doi termeni

$$\Delta \bar{n}(T) = \alpha\Delta T - k\Delta n_T(t), \quad (2.41)$$

$\Delta n_T(t)$ poate avea valoare pozitivă sau negativă, în funcție de parametrii materialului și de condițiile externe. În figura 2.48 se reprezintă variația cu ΔT a lui $n(0)$ raportată la n_0 ; n_0 este valoarea lui $n(0)$ la $t = 0$. Curbele 1–8, 19 și 20 s-au trasat pentru $\mu \sim T^{1/2}$, $\rho \sim T^{-1/2}$ și curbele 9–18 pentru $\mu \sim T^{-1}$, $\rho \sim T^{2.1}$. Numerele fără soț sînt pentru regim de curent constant ($j_0 = \text{constant}$ în timpul pulsului), iar numerele cu soț sînt pentru regim de cîmp constant ($\mathcal{E} = \text{constant}$ în timpul pulsului de curent). Pentru r s-au folosit următoarele valori de referință la $t = 0$: $r = 0,1$ (curbele 1, 2, 9, 10); $r = 0,25$ (curbele 3, 4, 11, 12, 17–20); $r = 2$ (curbele 7, 8, 15, 16); $T = 200\text{K}$ și concentrația purtătorilor injectați la această temperatură, $n_0 = 6,6 \cdot 10^{17} \text{cm}^{-3}$. Unele exemple sînt prezentate în tabela 2.6. Deoarece cele mai multe din structurile recente se obțin prin epitaxie lichidă, cele mai multe din curbele reprezentate (1–16) sînt pentru $\alpha = 0$ și curbele (17–20) sînt pentru $\alpha = 10^4 \text{cm}^{-1}$ (care corespunde în general regiunii active difuzate). Pentru $\alpha = 0$ curba 17 devine curba 15, curba 18 devine curba 16, curba 19 devine curba 7 și curba 20 devine curba 8.

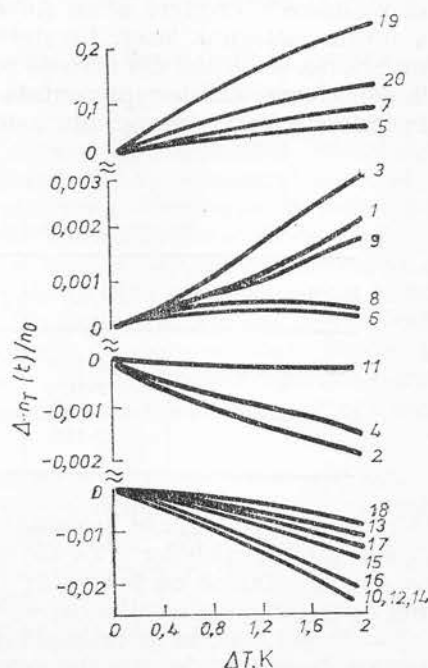


Fig. 2.48. — $\Delta n_T(t)$ în funcție de ΔT pentru regim de curent constant și regim de cîmp constant.

Tabela 2.6

Cățiva parametri și variația temperaturii datorită căldurii Joule

$J, \text{A/cm}^2$	$\rho, \Omega\text{m}$	r	$\Delta T, \text{K}$	$\mu, \text{m}^2/\text{V}\cdot\text{s}$	τ, s	L, m
$2,5 \cdot 10^8$	$1,6 \cdot 10^{-4}$	2	$1,4 \cdot 10^7 t$	10^{-1}	$2 \cdot 10^{-9}$	$2 \cdot 10^{-6}$
$2,5 \cdot 10^8$	$8 \cdot 10^{-5}$	1	$7 \cdot 10^6 t$	10^{-1}	$2 \cdot 10^{-9}$	$2 \cdot 10^{-6}$
$2 \cdot 10^8$	$8 \cdot 10^{-5}$	0.25	$7 \cdot 10^6 t$	$5 \cdot 10^{-2}$	10^{-9}	$2 \cdot 10^{-6}$
10^8	$8 \cdot 10^{-5}$	0.1	$1,1 \cdot 10^6 t$	$5 \cdot 10^{-2}$	10^{-9}	$2 \cdot 10^{-6}$

Efectul laser începe cînd este îndeplinită relația (2.12), adică cîștigul egalează pierderile. Pentru $R = 0,32$ și $L = 2 \cdot 10^{-2} \text{cm}$, pierderile prin transmisie se ridică la valoarea $(1/L) \ln(1/R) = 57,5 \text{ cm}^{-1}$. Pentru $\rho = 1,6 \cdot 10^{-4} \Omega\text{m}$ ($p_0 = 2,5 \cdot 10^{18} \text{cm}^{-3}$) se obține $\alpha' = 12,5 \text{ cm}^{-1}$ și pentru $\rho = 8 \cdot 10^{-5} \Omega\text{m}$ ($p_0 = 9 \cdot 10^{18} \text{cm}^{-3}$) se obține $\alpha' = 27 \text{ cm}^{-1}$. α_{dif} se determină din valoarea lui $\Delta \bar{n}(9 \cdot 40)$ la $x = 0$. Pentru $s = 2,25$, $\beta = 1,58 \cdot 10^{-8} \text{ cm}^{-1}/(\text{A/cm}^2)^{2,25}$ și $J = 2,5 \cdot 10^4 \text{ A/cm}^2$ se obține valoarea cîștigului $g = \beta J^{2,25} = 124 \text{ cm}^{-1}$. Pentru această valoare a lui g valoarea minimă a lui α_{dif} necesară ca să poată începe emisia laser este (din ecuația (2.12)), de 54 cm^{-1} cînd $\rho = 1,6 \cdot 10^{-4} \Omega\text{m}$ și $\alpha_{\text{dif}} = 37,5 \text{ cm}^{-1}$ pentru $\rho = 8 \cdot 10^{-5} \Omega\text{m}$. Din figura 2.43 rezultă că emisia laser începe cînd Δ_1' devine $42,1 \cdot 10^{-4}$ și, respectiv, $42,3 \cdot 10^{-4}$. Pentru $\lambda = 0,83 \mu\text{m}$, ultimul termen din relația (2.40) devine egal cu $4,1 \cdot 10^{-4}$; $\Delta_1 = 0,01$ și pentru $k = 10^{-20} \text{cm}^3$ și $\Delta n = n(0) = 6,6 \cdot 10^{17} \text{cm}^{-3}$ se obține $k\Delta n = 6,6 \cdot 10^{-3}$. Cu aceste date rezultă din (2.40) că în timpul pulsului de curent trebuie să se realizeze o creștere a lui $\Delta \bar{n}$ cu $4 \cdot 10^{-4}$ și respectiv, $4,2 \cdot 10^{-4}$ pentru a obține acțiunea laser. Creșterea lui $\Delta \bar{n}$ este dată de ecuația (2.41) și întîrzierea se obține din această relație folosind datele din tabela 2.6. Luînd în considerare datele reprezentate în figura 2.48 se obțin pentru timpul de întîrziere valorile reprezentate în tabela 2.7.

Tabela 2.7

Valorile timpului de întîrziere în cîteva cazuri

Regimul de lucru	ΔT	t_d, ns	t_d, ns
		$(\mu \sim T^{-1}, \mu_p \sim T^{-2,1})$	$(\mu \sim T^{1/2}, \mu_p \sim T^{1/2})$
$j = \text{constant}$	$1,4 \cdot 10^7 t$	63(66)	78(91)
	$7 \cdot 10^6 t$	135(140)	160(193)
$\mathcal{S} = \text{constant}$	$1,4 \cdot 10^7 t$	61(69)	70(82)
	$7 \cdot 10^6 t$	128(143)	150(171)

Datele prezentate în paranteză au fost evaluate pentru $\alpha = 10^4 \text{ cm}^{-1}$ (corespunzînd curbelor (17 ÷ 20) din fig. 2.48) iar celelalte sînt pentru $\alpha = 0$ (corespunzînd curbelor 15; 16 și 7; 8). Prima observație este că timpul de întîrziere în cazul $\mu, \mu_p \sim T^{1/2}$, este mai mare decît în cazul $\mu \sim T^{-1}$, $\mu_p \sim T^{-2,1}$. Aceasta se întîmplă deoarece în primul caz concentrația purtătorilor de sarcină la $x = 0$ crește cu creșterea temperaturii (curbele 7; 8) iar în celelalte cazuri descrește (curbele 15; 16). A doua observație este că în ambele cazuri prezența unui cîmp retardat (datele înscrise între paran-

teze) duce la creșterea timpului de întârziere (în comparație cu situația $\alpha = 0$) deoarece cîmpul retardat determină creșterea concentrației purtătorilor la $x = 0$ și, prin urmare, la o discontinuitate mai mare a indicelui de refracție.

B. Comutarea internă Q

Timpul de întârziere poate să fie egal cu lungimea pulsului de curent și să apară emisie laser imediat după terminarea pulsului de curent. Această este fenomenul de comutare Q internă. În figura 2.49 sînt reprezentate regiunile de timp lung de întârziere și comutare internă Q într-un laser cu heterojuncțiune simplă. Regiunea I este regiunea de emisie laser, regiunea II este regiunea de emisie spontană iar regiunea hașurată este regiunea de comutare Q internă. În modelul reprezentat în figura 2.41, comutarea internă se explică prin golirea foarte rapidă a nivelului E_1 la sfîrșitul pulsului de curent. În modelul cîmpului intern [88] comutarea Q se explică prin creșterea locală a concentrației purtătorilor de sarcină, la sfîrșitul pulsului de curent, peste valoarea de prag. În timpul pulsului de curent, efectul cîmpului intern \mathcal{E}_i (fig. 2.44) este micșorat datorită creșterii lungimii de difuzie pe de o parte iar pe de altă parte datorită cîmpului electric \mathcal{E}_a aplicat. La terminarea pulsului de curent aceste efecte sînt reduse și efectul cîmpului retardat devine mai mare decît în timpul său.

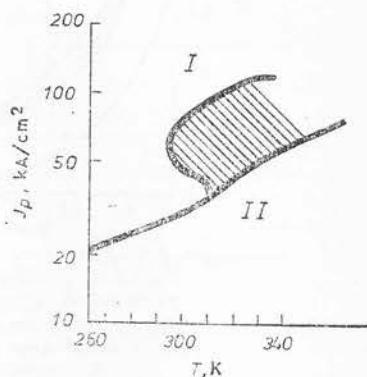


Fig. 2.49. — Dependenta de temperatură a curentului de prag într-un laser cu heterojuncțiune simplă.

În figura 2.50 [88] se reprezintă distribuția purtătorilor de sarcină la diverse momente de timp într-un laser cu joncțiune $p-n$. Curba 1 reprezintă distribuția purtătorilor de sarcină la momentul terminării pulsului de curent, curba 2 reprezintă distribuția la momentul $t = 0,04 \tau$ de la terminarea pulsului iar curba 3 reprezintă distribuția la momentul $t = 0,1 \tau$ de la terminarea pulsului și curba 4 reprezintă distribuția la $t = \tau$ de la terminarea pulsului (τ este timpul de viață a purtătorilor de sarcină). Se observă că pentru $t = 0,04 \tau$ și $t = 0,1 \tau$ de la terminarea pulsului, există o regiune spațială în care concentrația purtătorilor de sarcină are valoare mai mare decît în timpul pulsului de curent, valoare ce poate depăși pe aceea de prag și deci favoriza efectul laser. Condiția pentru apariția comutării Q interne este ca la sfîrșitul pulsului de curent să fie îndeplinită relația $\mu \mathcal{E}_i \tau > L$.

În modelul pierderilor prin difracție și străpungerea ghidajului, comutarea Q este consecința directă a diferenței dintre timpii de relaxare ai cîștigului și pierderilor [86]. Pentru simplitate presupunem că după terminarea pulsului de curent, curentul electric scade după relația $j \sim \exp(-t/\tau)$. În figura 2.51 se reprezintă cîștigul, g , și pierderile α , după terminarea pulsului de curent; α_1 corespunde lui $\rho = 8 \cdot 10^{-3} \Omega \text{cm}$ și α_2 lui $\rho = 1,2 \cdot 10^{-2} \Omega \text{cm}$. Se observă că există un interval de timp scurt în care cîștigul depășește pierderile; așa cum rezultă din figură, datorită

pierderilor prin absorbția pe purtători liberi, acest interval crește cu creșterea rezistivității substratului. De asemenea același efect îl are lungimea pulsului datorită reducerii pierderilor prin încălzire Joule.

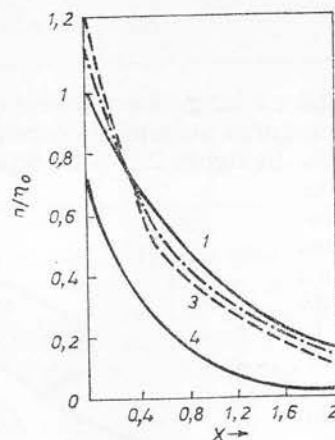


Fig. 2.50. — Concentrația purtătorilor de sarcină la diverse intervale de timp de la terminarea pulsului de curent.

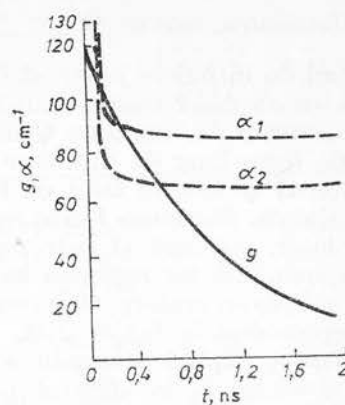


Fig. 2.51. — Relaxarea câștigului și pierderilor unui laser după terminarea pulsului de curent, indicind regiunea de comutare Q, unde câștigul depășește pierderile.

2.8. Oscilații în laseri. Modularea

În aplicațiile practice din domeniul comunicațiilor la distanță este necesară modularea luminii laser. Modularea la înaltă frecvență poate fi afectată de unele efecte de oscilație atât ale intensității luminii cât și ale intensității curentului electric care pot apărea datorită mai multor cauze [95]. La închiderea circuitului de alimentare a diodei laser apar oscilații ale intensității luminii, care se amortizează până se ajunge la starea staționară. În figura 2.52 este reprezentat un circuit simplu de alimentare a unei diode laser în serie cu un rezistor. La $t = 0$ se deschide comutatorul K și se alimentează dioda de la generatorul de curent. Curentul aplicat pe diodă arată ca o funcție treaptă la $t = 0$ (fig. 2.52b), iar intensitatea luminii emise este o funcție oscilantă, amortizată, în jurul valorii medii I_m . Efectul se datorează interdependenței concentrațiilor electronilor și fotonilor și existenței unui timp finit până se ajunge la starea staționară. Caracteristicile acestor oscilații depind de raportul dintre curentul care trece prin diodă și curentul de prag și de timpii de viață ai purtătorilor de sarcină, τ_s , și fotonilor τ_f [96]. Oscilațiile se întind pe o perioadă de timp egală cu aproximativ de două ori timpul de viață a purtătorilor de sarcină, τ_s (măsurată de la închiderea circuitului). În afara acestor oscilații, care se atenuează într-un timp foarte scurt, numite și oscilații tranzitorii, care apar la aplicarea curentului electric funcție treaptă, există și oscilații continue, autointreținute, care apar în laserii ce funcționează în unde continue (de exemplu în curent alternativ). Acestea sînt oscilații atât ale curentului electric cât și ale intensității radiației emise și se datorează efectului zgomo-

tului „alb”, cuantic. El apare ca urmare a fluctuației intrinseci a ratei de generare a fotonilor și deci a purtătorilor de sarcină. Amplitudinea zgomotului scade cu creșterea ratei de pompaj; ea este mare în apropierea curentului de prag și scade rapid cu creșterea curentului peste valoarea de prag. Frecvența oscilațiilor variază de la MHz la GHz în funcție de rata de pompaj și de temperatură. Generarea oscilațiilor autoîntreținute se poate obține într-o structură cu o regiune de emisie și una de absorbție adiacente (tandem), fiecare regiune fiind alimentată separat (fig. 2.53). Ambele regiuni se află situate în aceeași cavitate optică. Regiunea de absorbție are coeficientul de absorbție dependent de densitatea fotonilor adică acționează ca un absorbant saturabil. Să presupunem că aplicăm curent pe cele două regiuni astfel ca în regiunea 1 curentul I_1 să fie deasupra valorii curentului de prag I_p , iar în regiunea 2 curentul I_2 să fie sub valoarea lui I_p . Ca atare, în regiunea 1 apare emisia stimulată. Fotonii emiși în regiunea 1 pătrund în regiunea 2 unde sînt absorbiți și generează perechi electron-gol. La un moment dat purtătorii generați în regiunea 2 sînt în cantitate suficientă pentru a se realiza în această regiune inversia de populație și să apară emisia stimulată. Generarea fotonilor reduce concentrația purtătorilor sub valoarea necesară pentru inversia de populație, emisia luminii încetează și din nou fotonii emiși în regiunea 1 sînt absorbiți în regiunea 2 și ciclul se repetă. Prin urmare, o asemenea structură emite pulsuri de lumină laser. Printr-o distribuție neomogenă a inversiei de populație apar oscilații ale intensității luminii laser. Pentru transmiterea informației, lumina laser se modulează în acord cu informația ce trebuie transmisă. Se folosesc în general două scheme de modulare: modularea analogă și modularea digitală, sau în pulsuri. În modularea analogă lumina radiației transmise este proporțională cu semnalul de transmis. În acest scop trebuie să se obțină o relație liniară între intensitatea luminii emise și curentul de alimentare. Modularea în pulsuri, care se obține, de exemplu, prin alimentarea în pulsuri, se poate face în amplitudine, în lărgimea pulsului, în poziția pulsului sau codificată. În modularea în amplitudine, înălțimea fiecărui puls (de lumină) corespunde la o valoare dată a semnalului informației de transmis. În modularea în lărgime, lărgimea pulsului luminos corespunde la o valoare dată a semnalului informației de transmis.

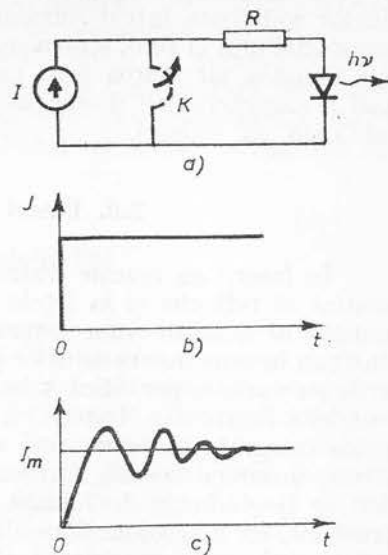


Fig. 2.52. Circuitul de alimentare a diodei laser (a), curentul de alimentare (b) și intensitatea luminii emise (c).

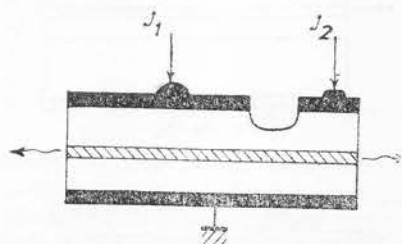


Fig. 2.53. — O diodă laser cu structură tandem.

În modularea poziției, deplasarea pulsului față de un timp de referință este proporțională cu semnalul informației. Modularea codificată în pulsuri se poate face: (a) prin eșantionarea semnalului de bază (de alimentare), (b) prin cuantificarea amplitudinii eșantioanelor (c) prin aranjarea eșantioanelor codificate într-o succesiune binară. În succesiunea binară se folosesc stările unu și zero, starea unu fiind reprezentată, de exemplu, printr-un puls luminos iar starea zero prin absența acestuia. Datorită neliniarității mari a caracteristicii diodei laser este de dorit să se utilizeze modularea codificată în pulsuri.

2.9. Laseri cu reacție distribuită

În laserii cu reacție distribuită amplificarea luminii nu se obține ca rezultat al reflexiei ei la fețele cavității ca în cavitatea Fabry-Perot ci ca rezultat al sumării unor împrăstieri Bragg care reflectă lumina în mod continuu în sens invers celui de propagare. Acest fenomen se obține în structurile cu variație periodică a indicelui de refracție în direcția de propagare a undelor luminoase. Laserii cu reacție distribuită se folosesc în circuitele optice integrate unde nu mai este posibil să se realizeze laseri cu fețele clivate deoarece aceștia formează un circuit monolitic cu alte elemente, cum ar fi ghidurile de lumină, modulatori, comutatori etc. O asemenea structură, cu heterojuncțiune dublă, este reprezentată în figura 2.54 [97] unde se observă structura ondulată a graniței $p\text{-GaAs}-p\text{-Ga}_{0.7}\text{Al}_{0.3}\text{As}$ ceea ce corespunde unei variații periodice a indicelui de refracție al cavității. Perioada de variație este de $0,3-0,4\ \mu\text{m}$. Dezavantajul structurii reprezentată în figura 2.54 este posibilitatea prezenței recombinării neradiante pe defectele introduse în timpul „săpării” șanțurilor de ondulare. Pentru înlăturarea acestui neajuns se utilizează o diodă mesa cu structură de bandă, în care regiunea ondulată este separată de regiunea activă. În această structură, reprezentată în figura 2.55, regiunea $p\text{-GaAs}$ (care are grosimea de $0,2\ \mu\text{m}$) constituie atât ghidul optic cât și stratul activ. Ondularea este construită între stratele $p\text{-Al}_{0.07}\text{Ga}_{0.93}\text{As}$ și $p\text{-Al}_{0.17}\text{Ga}_{0.83}\text{As}$, ultimul strat fiind destul de subțire (aproximativ $0,1\ \mu\text{m}$). Stratele $n\text{-Al}_{0.3}\text{Ga}_{0.7}\text{As}$ și $p\text{-GaAs}$

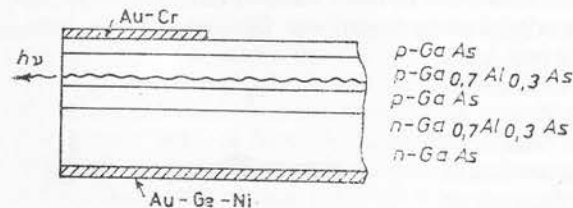


Fig. 2.54. — Secțiune într-un laser cu reacție distribuită cu heterojuncțiune dublă.

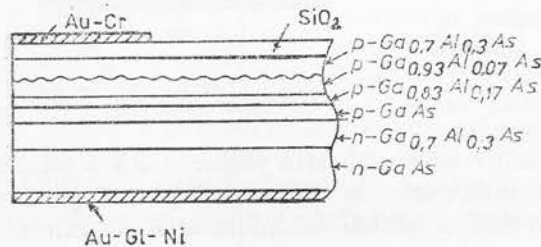


Fig. 2.55. — Secțiune într-un laser cu reacție distribuită cu geometrie de bandă mesa.

$\text{-Al}_{0.17}\text{Ga}_{0.83}\text{As}$ confinează lumina în stratul $p\text{-GaAs}$; stratul $p\text{-Al}_{0.17}\text{Ga}_{0.83}\text{As}$ acționează ca o barieră pentru purtătorii injectați și îi confinează pe aceștia, de asemenea, în regiunea activă. O parte din lumină pătrunde prin stratul subțire $p\text{-Al}_{0.17}\text{Ga}_{0.83}\text{As}$ în stratul ondulat $p\text{-Al}_{0.07}\text{Ga}_{0.93}\text{As}$ unde suferă fenomenul de reacție distribuită și în consecință de amplificare. Structura reprezentată funcționează cu două moduri de lumină transversale notate $m = 1$ și $m = 2$, însă în domeniul de temperatură 300–350K apare numai modul fundamental iar curentul de prag este de 1,2 ori mai mare decât în cazul unui dispozitiv Fabry-Perot de aceeași structură, însă fără ondulare [97].

2.10. Principiul holografiei

O hologramă se deosebește de o fotografie obișnuită prin aceea că ea înregistrează nu numai amplitudinea unei luminoase, ci și faza ei. Această înseamnă că holograma reprezintă imaginea obiectului în spațiul cu trei dimensiuni [98]. La înregistrarea unei holograme (figura 2.56), fascicolul de lumină coerentă provenit de la un laser trece printr-un colimator unde este extins, apoi este împărțit în două cu ajutorul unui divizor de fascicol. O parte cade pe placa fotografică, după ce este reflectată de către o oglindă, iar cealaltă parte cade pe obiect și este reflectată de către acesta pe placa fotografică. Prima parte a fascicolului, amintită mai sus, poartă numele de fascicol de referință iar cea de a doua parte se numește fascicol de la obiect. Fascicolul reflectat de obiect are o structură care este caracteristică obiectului și diferă de la un obiect la altul. Undele luminoase sosite

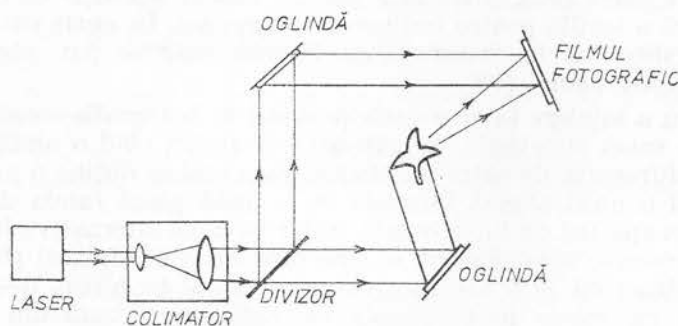


Fig. 2.56. — Sistem de înregistrare a unei holograme.

de la obiect se suprapun cu undele luminoase din fascicolul de referință pe placa fotografică, unde formează o structură complexă de interferență care constă dintr-o multitudine de franje a căror formă și intensitate depind de amplitudinile și fazele celor două fascicole. Apoi, filmul se dezvoltă după tehnica convențională și astfel reprezintă ceea ce se numește o hologramă. Privită cu ochiul liber nu se observă pe ea nimic asemănător cu obiectul. Pentru citire, holograma se reiluminează, însă numai cu fascicolul de referință (fig. 2.57). Dacă unghiul de iluminare a hologramei este același cu unghiul de iluminare cu fascicolul de referință din timpul când a fost înregistrată, lumina difractată de hologramă produce două imagini ale obiectului, una virtuală și alta reală. Imaginea virtuală se obține pri-

vind holograma; observatorul vede obiectul nedistorsionat, în spațiul cu trei dimensiuni. Această imagine se numește virtuală deoarece pentru formarea ei este necesară o lentilă, în cazul de față lentila ochiului observatorului. Imaginea reală se formează de către undele luminoase care se pro-

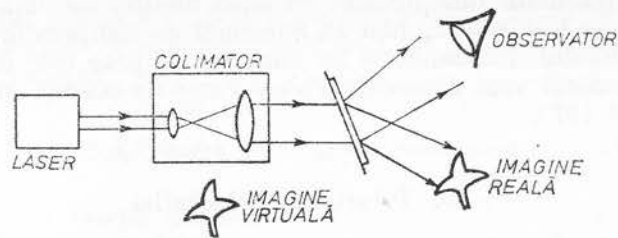


Fig. 2.57. — Sistemul pentru citirea hologramei.

pagă în diverse direcții; ea poate fi proiectată direct pe un ecran și nu este necesară o lentilă pentru formarea ei (Imaginea reală pentru a putea fi văzută trebuie proiectată pe un ecran). Menționăm că o parte din lumina proiectată pe hologramă se transmite direct, în direcția fascicolului de citire, fără să fie difractată. În procesul de înregistrare a hologramei există diverse posibilități de aranjare a elementelor schemei din figura 2.56, care poartă diverse denumiri [99]. De exemplu, geometria reprezentată în figura 2.56 se numește geometrie naxială deoarece cele două fascicule care produc holograma pe filmul fotografic formează între ele un unghi. În plus holograma realizată cu schema din figura 2.56 se numește hologramă Fresnel; în acest caz placa fotografică este plasată relativ aproape de obiect, fără a fi necesară o lentilă pentru obținerea hologramei. În unele cazuri se înregistrează holograme în transformate Fourier care se pot obține numai pentru obiecte plane [99].

Pentru a înțelege în ce constă procesul de holografie considerăm întâi ca obiect o sursă punctuală. Se cunoaște că atunci când o undă plană coerentă este difractată de către un orificiu punctual se obține o undă sferică. Atunci când o undă sferică interferă cu o undă plană (unda de referință) se obține un spectru de interferență inelar cu zone alternative luminoase și întunecate, care se aseamănă cu o structură de zone Fresnel (fig. 2.58). O asemenea structură se poate construi cu creionul pe hârtie, desenând inele concentrice cu razele proporționale cu rădăcina pătrată din a numerele întregi 1, 2, 3, ... și începând cu prima zonă inelară acestea se hașurează alternativ. Structura de zone Fresnel se comportă ca o rețea de difracție cu proprietăți de focalizare. Ea acționează ca o lentilă și focalizează o undă plană într-un punct, care reprezintă imaginea reală a obiectului punctual considerat. Această imagine se prinde pe un ecran șezat în focar (fig. 2.59). În afara acestui fascicol convergent, structura de zone Fresnel produce și al doilea fascicol de lumină, de unde sferice, care pare că diverge din orificiul punctual original. Aceasta este imaginea virtuală a obiectului punctual. Un obiect, mai complicat, poate fi considerat ca o sumă de asemenea obiecte punctuale. Fiecare punct va produce structura sa zonală prin interferența fascicolului difractat cu fascicolul de referință. Structurile zonale ale punctelor obiectului se suprapun, alcătuind o structură de interferență, complexă. Pentru citire se folosește același flux de referință pentru a reproduce toate punctele conținute de obiectul original. Apare astfel imaginea tridimensi-

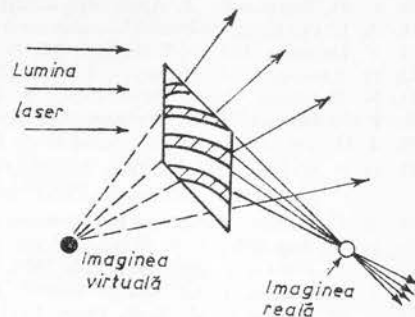
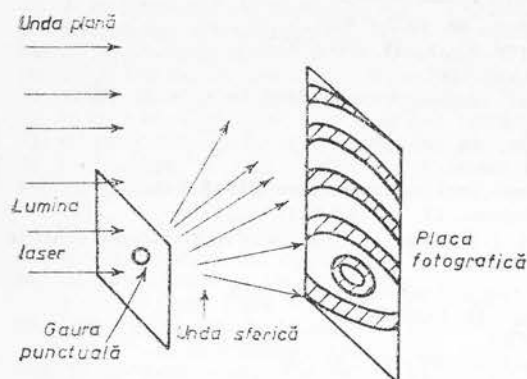


Fig. 2.58. — Formarea structurii de zone Fresnel. Fig. 2.59. — Redarea imaginii punctuale.

onală a obiectului holografiat [100]. Pentru cele mai importante aplicații ale holografiei în industrie se numără interferometria holografică care se utilizează pentru analiza tensiunilor mecanice și vibrațiilor și pentru detecția defectelor. Se utilizează, de asemenea, în microscopie, cinematografie și televiziune, mașini de calcul optice etc.

BIBLIOGRAFIE

1. R. N. Hall, G. E. Fenner, J. D. Kingsley, T. J. Soltys, R. O. Carlson, Phys. Rev Letters, **9**, 365 (1962).
2. M. I. Nathan, W. P. Dumke, G. Burns, F. H. Dill, G. J. Lasher, Appl. Phys. Lett., **1**, 62 (1962).
3. T. M. Quist, R. H. Rediker, R. J. Keyes, W-E. Krag, B. Lax, A. L. Mc Whorter, H. J. Zeiger, Appl. Phys. Lett., **1**, 91 (1962).
4. J. J. Nishizawa, Y. Watanabe, Japanese Patent, April, 1957.
5. N. G. Basov, O. N. Krokhin, Y. M. Popov, U. F. N. **3**, 7 (1961).
6. P. Aigrin, *International Conference on Solid State Physics in Electronics and Telecommunications*, Bruxelles, 1958.
7. W. P. Dumke, Phys. Rev., **127**, 1559 (1962).
8. Zh. I. Alferov, V. M. Andreev, V. I. Korol'kov, E. L. Portnoi, D. N. Tret'yakov, F.T.P., **2**, 1016 (1968).
9. Y. Hayashi, M. B. Panish, P. W. Foy IEEE J. Quantum Electron, **QE-5**, 211 (1969).
10. H. Kressel, H. Nelson, RCA Rev., **30**, 106 (1969).
11. H. Kroemer, Proc. IEEE, **51**, 1782 (1963).
12. V. Dolocan, *Fizica dispozitivelor cu corp solid*, Edit. Academiei, București, 1978.
13. K. Mettler, H. D. Wolf, K. H. Zschauer, IEEE J. of Quantum Electron., **QE-14**, 819 (1978).
14. P. Petroff, R. Hartman, Appl. Phys. Lett., **23**, 469 (1973).
15. P. Hutchinson, P. Dobson, Phil. Mag., **32**, 745 (1975).
16. H. Yonezu et al., Phys. Lett., **24**, 18 (1973).
17. Y. Nannichi, Jap. J. Appl. Phys., **16**, 2089 (1977).
18. M. G. A. Bernard, B. Duroffour, Phys. Stat. Sol., **1**, 699 (1961).
19. K. Konnerth, C. Lanza, Appl. Phys. Lett., **12**, 365 (1964).
20. H. Kressel et al., J. Appl. Phys., **41**, 2060 (1969).
21. M. H. Pilkuhn et al., Solid-State Electron., **7**, 905 (1964).
22. N. G. Basov, F. T. T., **8**, 2816 (1960).
23. C. B. a la Guillaume, J. M. Debever, Solid State Comm., **2**, 145 (1965).
24. R. J. Phelan, R. M. Rediker, Appl. Phys. Lett., **6**, 70 (1965).
25. C. E. Hurwitz, Appl. Phys. Lett., **9**, 116 (1966).
26. V. E. Cosslett, R. N. Thomas, British J. Appl. Phys., **15**, 1283 (1964).
27. H. Kressel, RCA Rev., **28**, 175 (1967).

28. K. Weiser, J. F. Wood, Appl. Phys. Lett., **7**, 225 (1965).
29. D. F. Nelson, J. Mc Kenna, J. Appl. Phys., **30**, 4057 (1967);
T. Kamejima et al, Jap. J. Appl. Phys., **16**, 233 (1977).
30. P. D. Southgate, J. Appl. Phys., **38**, 6589 (1967).
31. J. I. Pankove, *Optical Processes in Semiconductors*, Prentice Hall Inc., N. J., 1971.
32. V. Dolocan, Int. J. Electron., **35**, 421 (1973).
33. H. Kressel, F. Z. Hawrylo, J. Appl. Phys., **39**, 205 (1968).
34. N. Berglund, Appl. Phys. Lett., **9**, 441 (1966).
35. F. E. Harper, W. J. Bertram, IEEE Trans. on Electron Devices, **ED-16**, 641 (1969).
36. J. H. Yee, G. A. Condas, Solid State Electron., **11**, 419 (1968).
37. H. F. Mataré, *Light emitting devices*, Part. I, Methods, in *Advances in electronics and electron physics*, Academic Press, vol. 42, 1976.
38. J. F. Ready, *Industrial applications of lasers*, Academic Press, 1978.
39. G. A. Anteliffe, J. S. Wrobel, Appl. Opt., **11**, 1548 (1972).
40. E. D. Hinkley, Appl. Opt., **15**, 1653 (1976).
41. I. Melngailis, IEEE Trans. Geosci. Electron., **GE-10**, 7 (1972).
42. J. M. Besson et al, Appl. Phys. Lett., **7**, 206 (1965).
43. I. Petrescu-Prahova, Teză de doctorat, București, 1975.
44. P. Mihailovici, Teză de doctorat, București, 1979.
45. * * * J. Cryst. Growth, **27**, Dec., 1971.
46. M. B. Panish, I. Hayashi, Appl. Solid State Sci., **4**, 235 (1974).
47. A. Goldenblum, in *Probleme actuale ale fizicii semiconductorilor*, Edit. Academiei, 1970.
48. R. Dupuis et al., Appl. Phys. Lett., **31**, 466 (1977).
49. A. Cho et al., Appl. Phys. Lett., **28**, 501 (1976).
50. A. Gossard et al., Appl. Phys. Rev. Lett., **29**, 323 (1976).
51. B. Monemor, J. Blum, J. Appl. Phys., **48**, 1529 (1977).
52. J. Dymont et al., J. Appl. Phys., **44**, 207 (1973).
53. R. N. Hall, J. Electrochem. Soc., **110**, 385 (1963).
54. D. Rode et al., Appl. Phys. Lett., **30**, 75 (1977).
55. T. Kujimura et al., Appl. Phys. Lett., **30**, 526 (1977).
56. J. Nishizawa et al., J. Cryst. Growth., **31**, 215 (1975).
57. R. Logan, D. Hurie, J. Phys. Chem. Solids, **32**, 1739 (1971).
58. H. Kressel et al., Appl. Phys. Lett., **18**, 43 (1971).
59. P. A. Kirkby et al., IEEE J. of Quantum Electron., **QE-13**, 705 (1977).
60. K. Kobayashi et al., IEEE J. of Quantum Electron., **QE-13**, 659 (1977).
61. T. Tsukada et al., Proc. 4 th Conf. on Solid State Devices, Tokyo, Oyo Buturi, **42** (1973),
Suppl., p. 251;
F. C. Prince, N. B. Patel, D. J. Bull, IEEE J. of Quantum Electron., **QE-16**,
1034 (1980).
62. J. Dymont et al., Proc. IEEE, **60**, 726 (1972).
63. J. Blum et al., IEEE J. of Quantum Electron., **QE-11**, 413 (1975).
64. H. Nishi et al., Tech. Digest IOOC, 1977, p. 73.
65. T. Kobayashi et al., J. Appl. Phys., **16**, 601 (1977).
66. E. Pinkas et al., J. Appl. Phys., **43**, 2857 (1972).
67. M. Pilkuhn, H. Rupprecht, Trans. AIME, **230**, 282 (1964).
68. M. H. Pilkuhn, H. Rupprecht, J. Appl. Phys., **38**, 5 (1967).
69. J. B. Baird et al., Trans. AIME, **230**, 286 (1964).
70. T. L. Paoli et al., IEEE J. Quantum Electron., **QE-5**, 271 (1969).
71. N. Marsumoto, IEEE J. of Quantum. Electron., **QE-13**, 561 (1977).
72. T. L. Paoli, IEEE J. of Quantum Electron., **QE-13**, 663 (1977).
73. D. D. Cook, F. R. Nash, J. Appl. Phys., **46**, 1660 (1975).
74. B. N. Hakki, J. Appl. Phys., **44**, 5021 (1973).
75. P. Petroff, R. Hartman, Appl. Phys. Lett., **23**, 469 (1973).
76. D. V. Lang, L. C. Kimmerling, Phys. Rev. Lett., **33**, 489 (1974).
77. R. Polimadei et al., IEEE Trans. Nuclear Sci., **NS-21**, 96 (1974).
78. M. Ettenberg, C. Nuese, J. Appl. Phys., **46**, 2137 (1975).
79. C. Shen et al., Appl. Phys. Lett., **30**, 353 (1977);
M. Suyama et al., Jap. J. Appl. Phys., **20**, L365 (1981).
80. A. Ladany et al., Appl. Phys. Lett., **30**, 87 (1977).
81. K. Mettler et al., IEEE J. of Quantum Electron., **QE-14**, 819 (1978).
82. K. Konnerth, IEEE Trans. Electron Devices, **ED-12**, 506 (1965).
83. J. C. Dymont et al., J. Appl. Phys., **43**, 452 (1972).
84. R. O. Carlson, J. Appl. Phys., **38**, 661 (1967).
85. G. E. Fenner, Solid-State Electron., **10**, 753 (1967).

86. V. Dolocan, IEEE J. of Quantum Electron., **QE-14**, 872 (1978).
87. J. E. Ripper, J. A. Rossi, IEEEJ. of Quantum Electron., **QE-10**, 435 (1974).
88. V. Dolocan, Phys. Stat. Sol., (a) **12**, 81 (1972).
89. M. J. Adams et al., IEEE J of Quantum Electron., **QE-9**, 328 (1973).
90. M. J. Adams, M. Cross, Solid State Electron., **15**, 865 (1971).
91. F. D. Nunes et al., IEEE J. of Quantum Electron., **QE-13**, 675 (1977).
92. W.W. Anderson, IEEE J. of Quantum Electron., **QE-1**, 228 (1965).
93. G. H. B. Thompson, Optoelectron., **4**, 257 (1972).
94. F. R. Nash, J. Appl. Phys., **44**, 4696 (1973).
95. H. Kressel, J. K. Butler, *Semiconductor Lasers and Heterojunction LED's*, Academic Press, New York, 1977.
96. T. Ikegami, Y. Stematsu, IEEE J. of Quantum Electron., **QE-4**, 148 (1968).
97. M. Nakamura et al., Appl. Phys. Lett., **27**, 403 (1975).
98. D. Gabor, Nature, **161**, 777 (1948);
Appl. Phys. Lett., **15**, 45 (1969).
99. I. M. Popescu, A. M. Preda, Șt. Tudorache, C. P. Cristescu, G. F. Cone, P. E. Sterian, A. L. Lupășcu, *Aplicații ale laserilor*, Editura tehnică, 1979.
100. W. E. Kock et al., Proc. IEEE, **54**, 1599 (1966).

STĂRI DE SUPRAFAȚĂ

La suprafața unui cristal apar stări localizate în banda interzisă numite stări de suprafață. Există stări de suprafață intrinseci, datorate întreruperii periodicității rețelei cristaline la suprafața cristalului — a căror densitate este proporțională cu densitatea atomilor pe suprafață — și există stări de suprafață „extrinseci” datorate perturbării câmpului cristalin de către defecte și atomi adsorbiți. Densitatea de stări „intrinseci” este constantă pentru un cristal dat, însă densitatea de stări de suprafață determinată de atomii adsorbiți și de defectele rețelei depinde de tratamentul suprafeței (șlefuire decapare etc.) și de mediul ambiant (atmosferă gazoasă, umiditate, temperatură etc.). Stările de suprafață joacă un rol important în funcționarea dispozitivelor semiconductoare.

3.1. Considerații teoretice

Tamm a prevăzut pentru prima dată existența stărilor de suprafață, analizând modelul Kronig-Penney pentru un lanț de atomi de lungime finită. În [1] este reprezentat modelul Kronig-Penney pentru o rețea atomică infinită, în care este satisfăcută condiția de ciclicitate. Soluțiile ecuației Schrödinger în această situație au forma generală Bloch, $\psi(\mathbf{r}) = u(\mathbf{r}) \exp(i\mathbf{k}\mathbf{r})$, unde $u(\mathbf{r})$ este dependentă de \mathbf{k} și este periodică cu perioada rețelei cristaline. Spectrul de energie este compus din benzi permise (corespunzătoare lui k real) separate prin benzi interzise (corespunzătoare lui k complex). Tamm a arătat că spectrul energetic se modifică în prezența suprafețelor exterioare, în sensul că apar stări cuantice permise chiar pentru k complex. În figura 3.1a se reprezintă energia potențială a electronului într-o rețea unidimensională semiinfinită în aproximația potențialului rectangular [3], iar în figura 3.1b se reprezintă o situație mai realistă. Suprafața cristalului se află în planul $x = 0$. În vid, $x < 0$, energia potențială este constantă ($V = \varphi_0$); φ_0 este lucrul de ieșire din solid. Soluția ecuației Schrödinger

$$\frac{\hbar^2}{2m} \frac{d^2\psi}{dx^2} + [E - V(x)]\psi = 0$$

pentru $x < 0$ este de forma

$$\psi = Ce^{\gamma x}, \quad (3.1)$$

unde

$$\gamma = \frac{\sqrt{2m(\varphi_0 - E)}}{\hbar}, \quad (3.2)$$

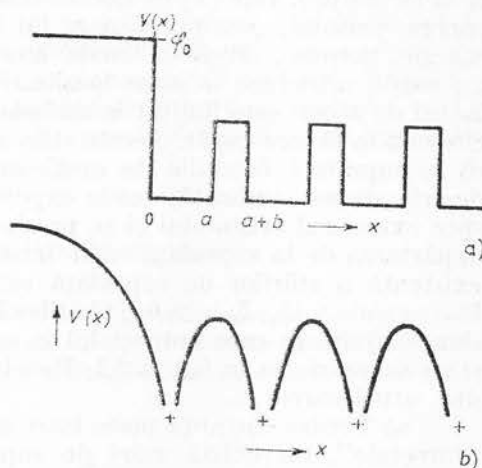
și energia electronului $E < \varphi_0$. Această soluție satisface condiția $\psi \rightarrow 0$ pentru $x \rightarrow -\infty$. Pentru $x > 0$ soluția ecuației Schrödinger este

$$\psi = Ae^{i\alpha x} + Be^{-i\alpha x}.$$

Din condițiile de continuitate pentru ψ și $d\psi/dx$ la $x = 0$ rezultă

$$\begin{aligned} A + B &= C, \\ i\alpha(A - B) &= \gamma C, \end{aligned} \quad (3.3)$$

Fig. 3.1. — Distribuția potențialului într-un cristal unidimensional semiinfinit: a — în modelul Kronig-Penney; b — în modelul mai realist.



Din relația (A.29) [1] se obține

$$B = -A \frac{\beta e^{i(\alpha-k)a} + \{i\alpha \operatorname{sh}(\beta b) - \beta \operatorname{ch}(\beta b)\} e^{ikb}}{\beta e^{-i(\alpha+k)a} - \{i\alpha \operatorname{sh}(\beta b) + \beta \operatorname{ch}(\beta b)\} e^{ikb}}. \quad (3.4)$$

În cazul simplificat $V_0 \rightarrow \infty$ și $b \rightarrow 0$ rezultă

$$B = -A \frac{e^{i(\alpha-k)a} - 1}{e^{-i(\alpha+k)a} - 1}. \quad (3.5)$$

Introducând această ultimă relație în (3.3) rezultă un sistem de două ecuații omogene în A și C care are soluție netrivială dacă determinantul sistemului se anulează condiție care dă

$$\gamma \frac{\sin \alpha a}{\alpha a} + \cos \alpha a = e^{ika}. \quad (3.6)$$

Rescriem ecuația (A.2.11) din [1]

$$\frac{P \sin \alpha a}{\alpha a} + \cos (\alpha a) = \cos (ka). \quad (3.7)$$

Eliminând k între aceste două ultime ecuații se obține

$$\alpha a \operatorname{ctg} \alpha a = \frac{\alpha^2 \eta^2}{2P} - \sqrt{\alpha^2 \eta^2 - a^2 \alpha^2}, \quad (3.8)$$

unde

$$\eta^2 = \alpha^2 + \gamma^2 = \frac{2m\varphi_0}{\hbar^2}. \quad (3.9)$$

Ecuația (3.8) are o singură soluție pentru energie în intervalul $(n\pi, (n+1)\pi)$, n fiind un număr întreg (Energia este legată de α prin relația $E = (\hbar^2/2m)\alpha^2$). Dar [1] în fiecare interval $(n\pi, (n+1)\pi)$ există o bandă de energie permisă, corespunzătoare lui k , real. Așadar, între două benzi de energie, permise, adică în banda interzisă, limitarea lanțului de atomi la un capăt introduce o stare localizată, numită stare de suprafață. Dacă, lanțul de atomi este limitat la ambele capete apar două stări de suprafață, câte una la fiecare capăt. Aceste stări se numesc stări Tamm. Se poate arăta că la suprafață funcțiile de undă sînt localizate. Funcția de undă (care descrie starea localizată) scade exponențial cu depărtarea de la suprafață spre exteriorul cristalului și se prezintă ca o undă oscilantă amortizată cu depărtarea de la suprafață către interiorul cristalului. Astfel, o condiție de existență a stărilor de suprafață este ca valoarea lui k să fie complexă, $k = n(\pi/a) + i\zeta$, $\zeta_{\text{real}} > 0$ [4]. Shockley a considerat o rețea unidimensională finită în care potențialul la suprafață se termină simetric (fig. 3.2) și nu asimetric ca în figura 3.1. Rezultatele teoretice obținute de Schockley sînt următoarele:

a) Pentru distanță mare între atomi, astfel că benzile permise nu se „întretaie”, nu există stări de suprafață.

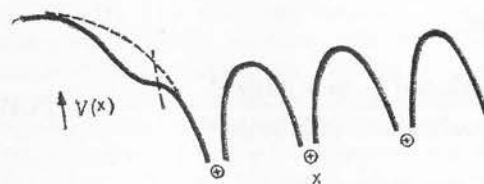


Fig. 3.2. — Energia potențială a electronului pentru o rețea unidimensională semiinfinită cu terminație simetrică la suprafață; linia întreruptă corespunde terminației asimetrice.

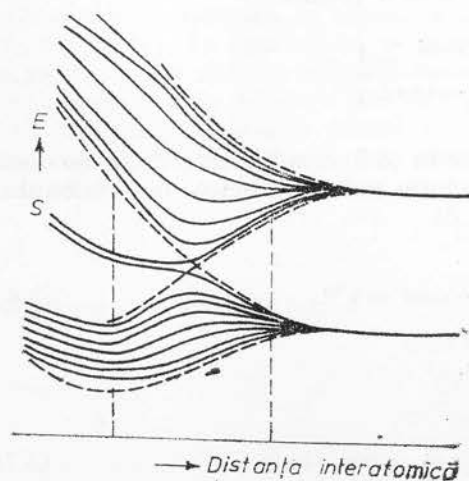


Fig. 3.3. — Benzile de energie și stările de suprafață (notate cu s) calculate pentru un cristal unidimensional care conține 8 atomi.

b) Pentru distanță mică între atomi (constantă mică a rețelei), astfel că benzile se întretaie, apar două stări de suprafață, una pentru fiecare atom de la suprafață, situate în interiorul fiecărei benzi interzise (fig. 3.3).

Dispare cîte o stare de volum (din banda permisă) în fiecare din benzile adiacente. Stările de suprafață apar ca o consecință a existenței suprafețelor cristaline. Cristalele ionice sau parțial ionice (compuși III—V, II—VI, I—VIII) par să aibă aceeași distribuție a stărilor de suprafață intrinseci. Aceste cristale fac parte din clasa AB , unde A este cationul metalic și B este anionul nemetalic. Stările de suprafață sînt distribuite „în pereche” și se numesc stări de suprafață ionice. O stare de suprafață de tip A (B) este situată în banda interzisă la cîteva zecimi de eV sub (deasupra) benzii de conducție (valență) cu condiția ca ambii ioni A și B să fie conținuți în planul suprafeței. În spațiul tridimensional este de așteptat ca fiecare atom de la suprafață să dea o stare de suprafață astfel că densitatea stărilor de suprafață este de ordinul densității atomilor de suprafață ($\sim 10^{15} \text{ cm}^{-2}$). Este acceptată ideea că stările de suprafață sînt date de legăturile nesatisfăcute ale atomilor de la suprafață.

3.2. Distribuția stărilor de suprafață

Stările de suprafață se consideră că sînt donoare sau acceptoare dacă donează sau, respectiv, acceptă electroni. O stare donoare neocupată este încărcată pozitiv și este neutră cînd este ocupată cu un electron. O stare acceptoare este neutră cînd este neocupată și este încărcată negativ cînd este ocupată cu un electron. În cristalele cu $E_g > 2\text{eV}$ (izolatoare) se utilizează altă terminologie: echivalentul stărilor acceptoare sînt capcanele (trapele) pentru electroni, care sînt neutre cînd nu au electroni pe ele și negative cînd sînt ocupate cu electroni, iar echivalentul stărilor donoare sînt capcanele pentru goluri, care sînt neutre cînd nu au goluri pe ele și încărcate pozitiv cînd au goluri pe ele. Este o caracteristică a stărilor de suprafață (intrinseci) că nivelele acceptoare (trapele pentru electroni) se află frecvent situate deasupra nivelelor donoare (trape pentru goluri). (Amintim cititorului că situația este inversă cazul nivelelor de impurități donoare sau acceptoare puțin adînci, unde nivelele donoare sînt situate deasupra celor acceptoare). Se poate întîmpla ca anumite stări de suprafață să fie situate în afara benzii interzise. Diverse modele pentru stările de suprafață intrinseci sînt prezentate în figura 3.4.

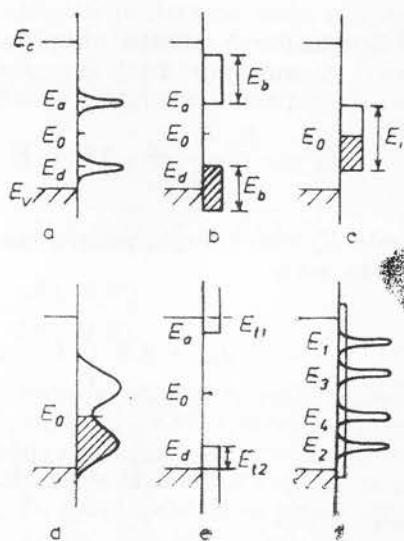


Fig. 3.4. — Cîteva modele pentru stările de suprafață intrinseci: a — două nivele discrete; b — două benzi; c — benzi unite; d — benzi „șă”; e — benzi ionice; f — o posibilă distribuție extrinsecă; E_0 este mijlocul benzii interzise

Funcțiile de distribuție a purtătorilor de sarcină, pe stările de suprafață sînt analoge cu cele pe nivelele de impurități:

$$f_{sa}(E_t) = 1 - \frac{1}{1 + \frac{1}{g} \exp\left(\frac{E_t - F}{kT}\right)} = \frac{1}{1 + g \exp\left(\frac{F - E_t}{kT}\right)}$$

pentru stările de suprafață donoare și

$$f_{sa}(E_t) = \frac{1}{1 + \frac{1}{g} \exp\left(\frac{E_t - F}{kT}\right)}$$

pentru stările acceptoare, unde E_t este energia stării de suprafață, F — nivelul Fermi și g — factorul de pondere statistică care în semiconductori ca Ge, Si, GaAs are valoare 2 pentru stările donoare și 4 pentru stările acceptoare. Densitatea de stări de suprafață se măsoară în stări/cm² · eV. Cel mai simplu model de distribuție a stărilor de suprafață este modelul cu două nivele discrete prezentat în figura 3.4 a. Notăm nivelul donor cu E_D , nivelul acceptor cu E_A , concentrația nivelelor donoare cu N_D și a celor acceptoare cu N_A . Sarcina localizată pe nivelele de suprafață este

$$Q_{ss} = Q_D + Q_A = \frac{qN_D}{1 + e^{(F - E_D)/kT}} - \frac{qN_A}{1 + e^{(E_A - F)/kT}}.$$

S-a considerat pentru simplitate $g = 1$.

Considerind $N_D = N_A = N$ și definind

$$E_0 = \frac{E_D + E_A}{2}, \Delta F = F - E_0, \frac{1}{2} E_{i0} = E_A - E_0 = E_0 - E_D,$$

unde E_0 este energia pentru care $Q_{ss} = 0$ și se numește energie neutră, se poate scrie

$$Q_{ss} = qN \left\{ \left[1 + \exp\left(\frac{1}{2} E_{i0} + \Delta F\right)/kT \right]^{-1} - \left[1 + \exp\left(\frac{1}{2} E_{i0} - \Delta F\right)/kT \right]^{-1} \right\},$$

sau

$$Q_{ss} = -qN \operatorname{sh}(\Delta F/kT) / [\operatorname{ch}(E_{i0}/2kT) + \operatorname{ch}(\Delta F/kT)], \quad (3.10)$$

N se măsoară în stări/cm². Se observă că Q_{ss} este o funcție sinusoidală hiperbolică de ΔF , pentru $\Delta F < (1/2)E_{i0}$, și se saturează pentru $\Delta F > (1/2)E_{i0}$. În figura 3.5 este reprezentat Q_{ss}/N în funcție de ΔF pentru trei temperaturi diferite: $T = 75\text{K}$ (curba punctată). $T = 300\text{K}$ (curba

plină), $T = 1\,200\text{ K}$ (curba întreruptă). S-a luat $E_{i0} = 0,25\text{ eV}$ și s-a presupus că este independentă de temperatură. Este interesant de observat că există sarcină de suprafață măsurabilă distribuită pe un domeniu de energie în afara nivelelor discrete, ceea ce se explică prin distribuția maxwelliană a sarcinii pe nivelele de suprafață.

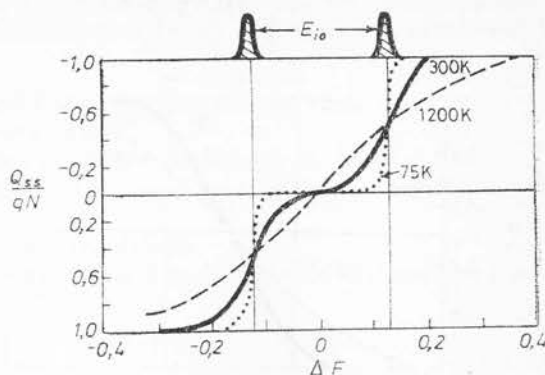


Fig. 3.5. — Sarcina pe nivelele de suprafață în modelul cu două nivele discrete în funcție de poziția nivelului Fermi la trei temperaturi diferite.

Din relația (3.10) se obține panta în E_0

$$(\partial Q_{ss} / \partial \Delta F)_{E_0} = - (qN/kT) / [1 + \text{ch}(E_{i0}/2kT)]$$

care crește cu creșterea temperaturii. După cum se va vedea în paragraful 3.4 această pantă este legată direct de mobilitatea de efect de câmp, mărime măsurabilă. Mai departe, se consideră distribuția stărilor de suprafață în cazul cind nivelele donoare și acceptoare formează două benzi care se unesc așa cum este reprezentat în figura 3.4c. Notînd lărgimea benzii cu E_1 , se obține

$$Q_{ss} = -qN \int_{-E_1/2}^{E_1/2} \left\{ \frac{1}{1 + \exp(E - \Delta F)/kT} - \frac{1}{1 + \exp(\Delta F - E)/kT} \right\} dE =$$

$$2qNkT \ln \frac{\text{ch}[(E_1/2 - \Delta F)/2kT]}{\text{ch}[(E_1/2 + \Delta F)/2kT]}.$$

S-a presupus că densitatea de stări de energie este constantă în ambele benzi și are valoarea N . În figura 3.6 este reprezentat Q_{ss}/qN la trei temperaturi diferite. Se observă că la $1\,200\text{ K}$ distribuția se aseamănă cu cea din figura 3.4. Prin urmare, pentru a discerne între diversele distribuții trebuie să se facă măsurători la temperaturi mai joase. În cazul general se poate scrie

$$Q_{ss} = -q \int_{-\infty}^{\infty} f(E - F) N_A(E) dE + q \int_{-\infty}^{\infty} f[F - E] N_D(E) dE =$$

$$= -q \int_{-\infty}^{\infty} f(E - F) [N_A(E) + N_D(E)] dE + \bar{N}_D,$$

unde

$$\bar{N}_D = \int_{-\infty}^{\infty} N_D(E) dE; f(\eta, T) = f_0(\eta, 0) + f_1(\eta, T);$$

$$f_0(\eta, 0) = \begin{cases} 1, & \eta < 0, \\ 0, & \eta > 0, \end{cases} \quad \eta \equiv \frac{E - F}{kT}.$$

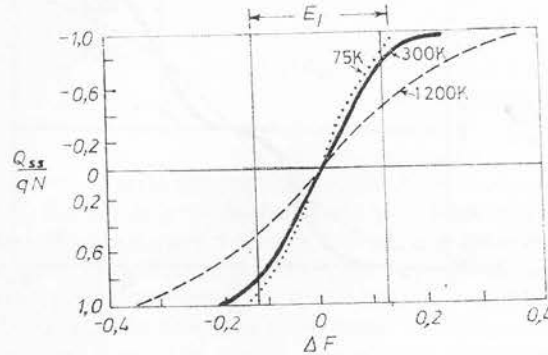


Fig. 3.6. — Sarcina pe nivelele de suprafață în modelul în care benzile se continuă la trei temperaturi diferite, în funcție de poziția nivelului Fermi.

Așadar,

$$Q_{ss} = -q \int_{-\infty}^{\infty} [N_A(E) + N_D(E)] dE - \int_{-\infty}^{\infty} f_1(E - F, T) [N_A(E) + N_D(E)] dE + \bar{N}_D$$

și

$$\frac{\partial(Q_{ss}/q)}{\partial F} = -[N_A(F) + N_D(F)] - \int_{-\infty}^{\infty} \frac{\partial f_1(E - F, T)}{\partial F} [N_A(E) + N_D(E)] dE. \quad (3.11)$$

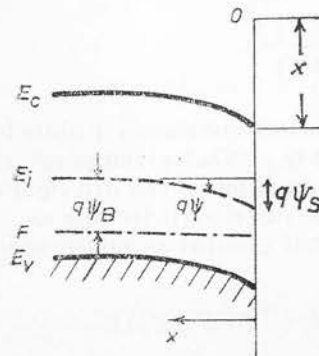


Fig. 3.7. — Diagrama de benzi de energie la suprafața unui semiconductor de tip *p*. $q\chi$ este afinitatea electronică a semiconductorului.

La zero absolut ultimul termen se anulează; el reprezintă de fapt contribuția cozii distribuției Maxwell. Primul termen din ecuația (3.11) reprezintă contribuția stărilor donoare și acceptoare situate la nivelul Fermi. În figura 3.7 este reprezentată diagrama de benzi de energie la suprafața unui semiconductor de tip *p*. Potențialul este astfel definit încât are valoarea zero în volumul semiconductorului și se măsoară față de nivelul Fermi intrinsec, E_i . La suprafață, $\psi = \psi_s$; ψ_s se numește potențial de suprafață. Astfel, concentrațiile electronilor și golurilor au valorile

$$n_p = n_{p0} \exp(\beta\psi), \quad (3.12)$$

$$p_p = p_{p0} \exp(-\beta\psi)$$

în volum, și

$$\begin{aligned} n_s &= n_{p0} \exp(\beta \psi_s), \\ p_s &= p_{p0} \exp(-\beta \psi_s) \end{aligned} \quad (3.12')$$

la suprafața semiconductorului. $\beta = q/kT$ iar n_{p0} și p_{p0} sînt concentrațiile de echilibru în volumul semiconductorului de tip p . Pot exista următoarele situații:

$\psi_s < 0$, acumulare de goluri (benzile deviate în sus),
 $\psi_s = 0$, condiția de bandă plată,
 $\psi_B > \psi_s > 0$, epuizare (benzile sînt înclinate în jos),
 $\psi_s = \psi_B$, mijlocul benzii interzise, $n_s = p_s = n_i$ (concentrația intrinsecă),
 $\psi_s > \psi_B$, inversia tipului de conducție.

Pentru a găsi valoarea potențialului ψ în funcție de distanță se rezolvă ecuația Poisson

$$\frac{\partial^2 \psi}{\partial x^2} = -\frac{\rho(x)}{\varepsilon}, \quad (3.13)$$

unde $\rho(x)$ este densitatea de sarcină spațială

$$\rho(x) = q(N_D^+ + p_p - N_A^- - n_p), \quad (3.14)$$

N_D și N_A sînt densitățile donozilor și, respectiv acceptozilor ionizați, iar ε este permitivitatea semiconductorului. În volumul semiconductorului, adică pentru $x \rightarrow \infty$, ψ și cîmpul electric au valoarea zero, adică

$$x \rightarrow \infty, \quad \psi = 0, \quad \frac{\partial \psi}{\partial x} = 0.$$

Avînd în vedere relația (3.3) se poate scrie

$$\frac{\partial^2 \psi}{\partial x^2} = -\frac{q}{\varepsilon} [p_{p0}(e^{-\beta \psi} - 1) - n_{p0}(e^{\beta \psi} - 1)]. \quad (3.15)$$

Pentru a rezolva această ecuație se înmulțesc ambele părți cu $\frac{d\psi}{dx}$ și se utilizează relația

$$2 \frac{d\psi}{dx} \frac{d^2 \psi}{dx^2} = \frac{d}{dx} \left(\frac{d\psi}{dx} \right)^2.$$

Se înmulțește partea stîngă și partea dreaptă cu dx și se integrează

$$\int_0^{\partial \psi / \partial x} \left(\frac{\partial \psi}{\partial x} \right) d \left(\frac{\partial \psi}{\partial x} \right) = -\frac{q}{\varepsilon} \int_0^F [p_{p0}(e^{-\beta \psi} - 1) - n_{p0}(e^{\beta \psi} - 1)] d\psi. \quad (3.16)$$

Rezultă pentru valoarea cîmpului electric

$$\varepsilon = -\frac{\partial \psi}{\partial x} = \pm \frac{2kT}{qL_D} F(\beta \psi, \gamma), \quad (3.17)$$

$$F(\beta \psi, \gamma) = [(e^{-\beta \psi} + \beta \psi - 1) + \gamma(e^{\beta \psi} - \beta \psi - 1)]^{1/2} \geq 0, \quad (3.18)$$

unde

$$L_D \equiv \sqrt{\frac{2kT\varepsilon}{p_{p0}q^2}}; \quad \gamma \equiv \frac{n_{p0}}{p_{p0}}. \quad (3.19)$$

(L_D este lungimea Debye pentru goluri). În relația (3.17) semnul plus este pentru $\psi > 0$ și semnul minus pentru $\psi < 0$. La suprafață $\psi = \psi_s$

$$\mathfrak{E}_s = \pm \frac{2kT}{qL_D} F(\beta \psi_s, \gamma), \quad (3.20)$$

iar din legea lui Gauss se obține sarcina spațială la suprafață pe unitatea de arie

$$Q_s = \varepsilon \mathfrak{E}_s = \mp \frac{2\varepsilon kT}{qL_D} F(\beta \psi_s, \gamma). \quad (3.21)$$

Pentru $\psi_s = 0$ rezultă $Q_s = 0$. Pentru $\psi_s < 0$, în funcția F domină primul termen și rezultă $Q_s \sim \exp(q|\psi_s|/kT)$. Q_s are valoare pozitivă și corespunde unui strat de acumulare. Când $\psi_s > 0$, Q_s are valoare negativă. Pentru $\psi_s > \psi_B > 0$, în funcția F domină al doilea termen și $Q_s \sim \sqrt{\psi_s}$ (strat de epuizare). Pentru $\psi_s \gg \psi_B$, în funcția F domină al patrulea termen, $Q_s \sim \exp(q\psi_s/2kT)$ (strat de inversiune). Inversiunea puternică apare pentru o valoare a potențialului de suprafață

$$\psi_s(\text{inv}) \simeq 2\psi_B = \frac{2kT}{q} \ln\left(\frac{N_A}{n_i}\right). \quad (3.22)$$

Pentru capacitatea diferențială a regiunii de sarcină spațială din semiconductor se obține expresia

$$C_D \equiv \frac{\partial Q_s}{\partial \psi_s} = \frac{\varepsilon}{L_D} \frac{1 - e^{-\beta \psi_s} + \gamma(e^{\beta \psi_s} - 1)}{F(\beta \psi_s, \gamma)}. \quad (3.23)$$

Pentru $\psi_s = 0$ (condiția de bandă plată), dezvoltînd termenii exponențiali în serie rezultă

$$C_D(\text{bandă plată}) = \sqrt{2} \varepsilon / L_D, \text{ farad/cm}^2. \quad (3.24)$$

3.3. Suprafețe reale. Stări de suprafață extrinseci

O suprafață curată este suprafața care nu conține alți atomi decît atomii care existau în planul respectiv, inițial în volum. O suprafață curată se poate obține prin clivare sau prin bombardare cu ioni și încălzi-

re. Cea mai bună metodă de a realiza suprafețe curate este clivarea în vid ultrainalt. Clivarea este „fracturarea” cristalului de-a lungul sau aproape de-a lungul unui singur plan cristalin. Unele cristale clivează ușor după anumite plane cristaline, de exemplu cristalele din grupa a IV-a de tipul diamantului (Ge, Si) clivează după planul (111), Compușii III—V și II—VI de tipul blendei de zinc (GaAs, CdTe) clivează după planul (110), compușii II—VI de tipul wurțitei (CdS, CdSe) clivează după planul (1120), compușii de tipul II—IV și I—VII (PbS, AgBr) clivează după planul (100). Clivarea după anumite plane este condiționată de următoarele cerințe : (a) numărul de legături rupte, pe unitatea de arie, să fie minim, (b) pentru cristalele ionice să se păstreze neutralitatea electrică a fețelor separate.

A doua metodă de obținere a suprafețelor curate este bombardarea cu ioni urmată de încălzire. În acest scop inițial cristalul se taie, se polizează, se decapează chimic și se introduce într-o incintă cu vid ultrainalt. Apoi suprafața este supusă unui bombardament cu ioni (de obicei, de argon) după care urmează o încălzire, acest ciclu bombardare-încălzire se repetă de mai multe ori. Stările de suprafață extrinseci se datorează altor factori decât întreruperii periodicității rețelei cristaline la suprafață. De cele mai multe ori se folosește noțiunea de suprafață extrinsecă. Aceasta este deosebită de suprafața curată (liberă) care conține numai stări de suprafață intrinseci. Stările de suprafață extrinseci sînt de mai multe categorii :

- Suprafețe cu atomi adsorbiți a căror natură nu se cunoaște. Un exemplu este suprafața CdS ținut în aer și care nu este supusă curățirii în vid ultrainalt prin bombardare cu argon și încălzire. Încălzirea în vid ultrainalt fără bombardare cu ioni rareori curăță suprafața.

- Suprafețe cu atomi adsorbiți a căror natură se cunoaște. Un exemplu este siliciu proaspăt clivat și expus în atmosferă de cesiu sau de oxigen (vezi paragraful 5.3).

- Suprafețe pe care s-au depus unul sau mai multe strate monoatomice ; de exemplu cupru cu mai multe straturi monoatomice de oxigen, siliciu cu straturi monoatomice de rubidiu și oxigen, depuse alternativ.

- Interfața între un solid și un lichid ; de exemplu ZnO în contact cu un electrolit.

- Interfața solid-solid cum ar fi interfața oxid-semiconductor, metal-semiconductor și dintre doi semiconductori cu benzi interzise diferite. Proprietățile suprafețelor extrinseci, spre deosebire de cele intrinseci, depind de următorii factori : temperatura, presiunea, timpul de expunere, natura atomilor adsorbiți, istoria procesului de preparare, creștere, mărimea și frecvența tensiunii electrice aplicate (există stări rapide și stări lente), tensiunea mecanică de la interfața solid-solid etc. Menționăm că în mod obișnuit, cînd suprafața cristalului este acoperită cu un strat de oxid, nu există nivelele de la suprafața liberă (Tamm), dar totdeauna există nivele legate de diverse impurități sau defecte.

3.4. Metode experimentale de studiu al stărilor de suprafață

În funcție de intervenția noastră din exterior, există mai multe metode de studiu al stărilor de suprafață. Se pot cita astfel metode de dopaj, de efect de cîmp, efect fotoelectric, etc. Din măsurători se pot determina parametrii de transport cum sînt conductanța de suprafață, mobilitatea

de efect de câmp și viteza de recombinare la suprafață. Pe suprafețe curate se fac măsurători asupra lucrului de ieșire și eficienței cuantice externe. Efectul de câmp constă în modificarea conductanței probei prin aplicarea „capacitivă” a unui câmp normal pe suprafață. Se cunoaște că pe suprafață poate fi adusă sarcină în exces dacă se folosește proba ca o armătură a unui condensator pe care se aplică o tensiune electrică. Cealaltă armătură este o placă metalică iar între armături se găsește un dielectric. Sarcina care apare în metal se localizează pe suprafața lui iar pe semiconductor sarcina se distribuie între nivelele de suprafață și stratul de lângă suprafață. Sarcina în acest strat se poate determina cunoscând caracteristicile de volum ale semiconductorului. Această sarcină, spre deosebire de sarcina imobilă de pe nivelele de suprafață, contribuie la conductibilitatea probei. Măsurând conductivitatea probei de-a lungul stratului pentru diverse tensiuni aplicate pe condensator se poate determina variația acesteia cu sarcina de lângă suprafață. Măsurătorile se fac pe probe suficient de subțiri pentru ca variația rezistenței să constituie o parte importantă din rezistența totală. Având în vedere relațiile (3.11) și (3.12), concentrațiile purtătorilor exces din strat sînt date de

$$\Delta n = n_{p0} \int_0^\infty (e^{\beta\psi} - 1) dx = \frac{q n_{p0} L_D}{2kT} \int_{\psi_s}^0 \frac{e^{\beta\psi} - 1}{F(\beta\psi, \gamma)} d\psi, \quad (\text{cm}^{-2}), \quad (3.25)$$

$$\Delta p = p_{p0} \int_0^\infty (e^{-\beta\psi} - 1) dx = \frac{q p_{p0} L_D}{2kT} \int_{\psi_s}^0 \frac{e^{-\beta\psi} - 1}{F(\beta\psi, \gamma)} d\psi, \quad (\text{cm}^{-2}),$$

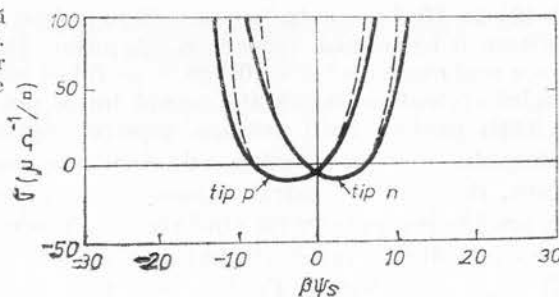
iar conductivitatea stratului de lângă suprafață este

$$\sigma = q \mu_n \Delta n + q \mu_p \Delta p_s \quad (3.26)$$

Dependența lui σ de înălțimea barierei, ψ , rezultă din dependența de înălțimea barierei a lui Δn și Δp , ecuația (3.25). Măsurînd σ se poate găsi din relațiile (3.26) și (3.25) potențialul de suprafață ψ_s și introducînd această valoare în (3.21) se găsește sarcina Q_s din stratul de lângă suprafață. Sarcina totală indusă, pe unitatea de arie, în semiconductor este $Q = \epsilon_0 \epsilon \mathcal{E} = CU$, unde U este tensiunea aplicată pe plăcile condensatorului și C este capacitatea condensatorului pe unitatea de arie, mărime ce se poate determina experimental. Scăzînd din Q pe Q_s se obține sarcina Q_{ss} de pe stările de suprafață (sarcină imobilă care nu aduce contribuție la σ). Din dependența lui Q_{ss} de ψ_s se poate găsi în principiu poziția nivelelor de suprafață și densitatea acestora. În figura 3.8 este reprezentat σ în funcție de $\beta\psi_s$ pentru două probe de germaniu de tip n și de tip p cu $N_D - N_A = 2 \cdot 10^{14} \text{ cm}^{-3}$ la 300K. Ramurile din partea stîngă a figurii sînt determinate în cea mai mare parte de conducția de electroni iar ramurile din partea dreaptă de conducția de goluri. Conductanța este mare la valori ale lui ψ_s pentru care apare strat de acumulare sau de inversiune și are valoare mică în cazul stratului de epuizare. Conductanța atinge valoarea maximă pentru ψ_m care se determină analitic din condiția

$$\frac{dG}{d\psi_m} = \mu_n n_0 (e^{\beta\psi_m} - 1) + \mu_p p_0 (e^{-\beta\psi_m} - 1) = 0, \quad (3.27)$$

Fig. 3.8. — Conductanța de suprafață în funcție de potențialul de la suprafață. Curbele pline corespund mobilităților de suprafață iar curbele punctate corespund mobilităților de volum.



unde p_0 și n_0 sunt concentrațiile de echilibru ale golurilor și, respectiv, electronilor.

Pentru a pune în evidență influența atmosferei asupra suprafeței semiconductoare, în figura 3.9 se reprezintă rezultatele măsurătorilor conductanței în funcție de tensiunea alternativă V_a pentru o probă de germaniu de tip p situată în diverse condiții [6]. Aceste curbe sînt de fapt porțiuni din curba de pe figura 3.8. Oxigenul produce un strat de conducție de tip n în timp ce vaporii de apă produc un strat de conducție de tip p ; la suprafața unui semiconductor moleculele de apă se comportă ca un dipol electric.

Experiențele făcute pe Ge, Si și alte materiale au arătat că aplicarea unui cîmp electric continuu nu modifică practic conductivitatea probei, ceea ce dovedește că aproape întreaga sarcină indusă este captată pe nivelele de suprafață iar volumul este ecranat. Ecranarea are loc atît pentru o polarizare cit și pentru cealaltă, ceea ce indică prezența unui mare număr ($10^{14} \div 10^{15} \text{ cm}^{-2}$) de stări de suprafață atît donoare cit și acceptoare. O simplă evaluare numerică poate conduce la justificarea acestei concluzii. În absența stărilor de suprafață sarcina indusă de cîmpul \mathcal{E} este

$$Q_s = \epsilon \epsilon_0 \mathcal{E}. \quad (3.28)$$

Pentru $\epsilon = 10$ și $\mathcal{E} = 10^5 \text{ V/cm}$ se obține $Q_s = 8,85 \cdot 10^{-8} \text{ C/cm}^2$ ceea ce corespunde unui număr de sarcini $Q_s/e = 5,6 \cdot 10^{11} \text{ cm}^{-2}$. Pentru o suprafață perfect curată separată de plăcuța metalică printr-un spațiu

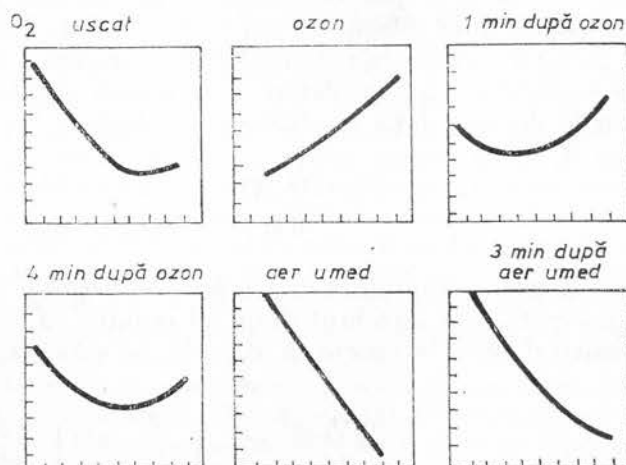


Fig. 3.9. — Conductanța de suprafață în funcție de sarcina indusă în Ge de tip n în diverse condiții atmosferice.

(vid) de 10^{-2} cm este necesar să se aplice o tensiune de 10^3 V pentru a se obține o asemenea valoare a cîmpului. Densitatea de stări de suprafață este mai mare de $5,5 \cdot 10^{11} \text{cm}^{-2}$, astfel că pînă la o asemenea valoare a cîmpului aplicat pe suprafața curată nu se poate sesiza o variație a conductivității probei. Prin urmare, pentru suprafețe curate de Ge, Si metoda cîmpului continuu nu poate da rezultate asupra studiului stărilor de suprafață, datorită ecranării volumului de către stările de suprafață. Pentru suprafețe reale, în cazul cînd stratul de separare de armătura metalică este de exemplu din mică, cîmpul maxim care se poate atinge este $2 \cdot 10^6 \text{V/cm}$ și $Q_{ss}/e = 10^{13} \text{cm}^{-2}$. Pentru cele mai multe solide această valoare este foarte apropiată de valoarea cîmpului de străpungere. În cîmp variabil gradul de ecranare se micșorează cu creșterea frecvenței pînă la frecvențe de $10^2 \div 10^3 \text{Hz}$, apoi ecranarea rămîne constantă pînă la 10^7Hz și peste această valoare a frecvenței nu mai există practic ecranare. De aceea pentru studiul suprafețelor de Si și Ge se folosește metoda cîmpului variabil. Această metodă constă în măsurarea variației diferențiale a conductivității superficiale în funcție de sarcina diferențială aplicată pe plăcile condensatorului.

Se definește mobilitatea de efect de cîmp

$$\mu_{FE} \equiv -d\Delta\sigma/dQ, \quad (3.29)$$

$\Delta\sigma = \sigma - \sigma_0$, unde σ_0 este conductivitatea în condiții de bandă plată ($\psi_s = 0$). Ecuația (3.29) nu dă valoarea adevărată a mobilității deoarece nu toată sarcina Q este mobilă; sarcina Q_{ss} de pe stările de suprafață se presupune imobilă. Semnul lui μ_{FE} arată dacă suprafața este de tip n sau de tip p iar din valoarea lui μ_{FE} se poate estima densitatea de stări de suprafață lingă nivelul Fermi. Se poate scrie

$$\mu_{FE} = - \frac{d\Delta\sigma/d\psi_s}{(dQ_s/d\psi_s) + (dQ_{ss}/d\psi_s)}, \quad (3.30)$$

unde μ_{FE} și ψ_s se pot determina experimental, $d(\Delta\sigma)/d\psi_s$ și $dQ_s/d\psi_s$ se pot calcula după relațiile (3.25), (3.26) și (3.21) și se poate evalua $dQ_{ss}/d\psi_s =$ = rata de variație cu potențialul de suprafață a sarcinii captate pe stările de suprafață. Să considerăm o suprafață curată. În cazul cînd domină stările de suprafață se obține din relația (3.30)

$$\frac{d(Q_{ss}/q)}{d\psi_s} \simeq - \frac{1}{q \mu_{FE}} \frac{d\Delta\sigma}{d\psi_s}. \quad (3.31)$$

Pentru o suprafață de tip p cu concentrație mare a golurilor, dar nu degenerată, din membrul drept al ecuației (3.17) rămîne numai ultimul termen și avînd în vedere că $|d\Delta n/d\psi_s| \ll |d\Delta p/d\psi_s|$ ecuația (3.30) se reduce la

$$\frac{d(Q_{ss}/q)}{d\psi_s} \simeq - \left(\frac{\mu_p}{\mu_{FE}} + 1 \right) \frac{d\Delta p}{d\psi_s}. \quad (3.32)$$

În cazul considerat rezultă din (3.16) și (3.10) că $\Delta p \sim \exp(-\beta\psi_s/2)$ astfel că $d\Delta p/d\psi_s \simeq -\beta\Delta p/2$ și prin urmare

$$\frac{d(Q_{ss}/q)}{d\psi_s} \simeq -\frac{1}{2} \beta \Delta \sigma \left(\frac{1}{\mu_{FE}} + \frac{1}{\mu_p} \right). \quad (3.33)$$

În general $\mu_p \gg \mu_{FE}$, astfel că ultimul termen din paranteza din membrul drept se neglijează. Sarcina de pe stările de suprafață Q_{ss} este legată direct de densitatea de stări de suprafață și determinarea densității de stări de suprafață din relația (3.33) se poate face numai dacă se cunoaște distribuția acesteia după energie. De exemplu, în cazul a două nivele discrete și cînd $\Delta E = 0$ (ecuația (3.4)) din relațiile (3.6) și (3.33) se obține

$$N = \frac{1}{2} \frac{\Delta \sigma}{q} \frac{1}{\mu_{FE}} \left[1 + \operatorname{ch} \left(\frac{1}{2} \frac{E_{i0}}{kT} \right) \right]. \quad (3.34)$$

Pentru $E_{i0} = 0,25\text{eV}$ și $kT = 0,025\text{eV}$ termenul din paranteză are valoarea 75 și considerînd pentru siliciu $\Delta \sigma = 0,59 \Omega^{-1}/\square$, $\mu_{FE} \simeq 1 \text{ cm}^2/\text{V} \cdot \text{s}$ se obține $N = 2 \cdot 10^{14}$ stări/cm², valoare de așteptat dacă se ia în considerare că fiecare atom de la suprafață dă o stare de suprafață. În cazul benzilor care se unesc se obține

$$\bar{N} = -\frac{1}{2} (\Delta \sigma / qkT) \frac{1}{\mu_{FE}}. \quad (3.35)$$

Această relație este dedusă în presupunerea că există o densitate de stări N constantă pe domeniul a cîteva kT în jurul lui E_0 , așa cum reiese din figura 3.7, astfel că $dQ_{ss}/d\psi_s = q\bar{N}$. Experimental se pot utiliza mai multe metode pentru măsurarea efectului de cîmp la semnal alternativ. O schemă electrică de măsură este reprezentată în figura 3.10. Se aplică o tensiune continuă pe proba de studiat care este conectată în circuit în serie cu un rezistor. O tensiune variabilă (sinusoidală sau în impulsuri), V_a , aplicată capacitiv pe probă produce un cîmp electric normal pe suprafața ei. Semnalul de pe rezistență, modulată prin modularea conductanței probei de către V_a , este amplificat și aplicat pe plăcile verticale ale oscilografului, O . Dintre problemele speciale care apar în asemenea experiențe menționăm pe următoarele două. Întîi, este evident că pentru a studia distribuția stărilor de suprafață pe un domeniu de energie cît mai mare este de dorit ca să se varieze intensitatea cîmpului electric aplicat pe un domeniu cît mai mare posibil. În acest scop pentru a nu aplica valori excesiv de mari ale lui V_a , este util să existe o capacitate cît mai mare pe unitatea de arie între electrodul de cîmp și probă. Aceasta se poate realiza pe de o parte prin micșorarea spațiului dintre electrodul de cîmp și probă iar pe de altă parte prin introducerea în acest spațiu a unui material cu permitivitatea dielectrică cît mai mare (mica, mylar, SrTiO_3). Datorită limitării grosimii acestui spațiu de către străpungerea dielectricului, în general nu se pot depăși capacități de ordinul a cîteva sute de pF/cm². În unele cazuri, cum ar fi în cazul tranzistorului cu efect de cîmp, unde se cere o sensibilitate mare a parametrilor cu tensiunea aplicată, stratul dielectric se depune direct sub forma unui strat subțire pe probă. Este necesar ca pe suprafața probei capacitatea să fie distribuită uniform.

A doua problemă de rezolvat este legată de curentul de deplasare dintre electrodul de cîmp și probă care apare în special la înaltă frecvență; influența acestui curent trebuie eliminată. O soluție pentru a minimaliza

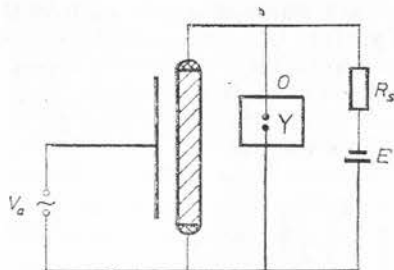


Fig. 3.10. — Circuitul de bază pentru studiul efectului de cîmp.

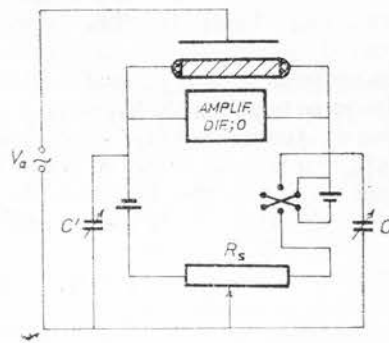


Fig. 3.11. — Circuitul în punte pentru studiul efectului de cîmp.

influența curentului de deplasare asupra semnalului de măsurat este folosirea unui circuit în punte, reprezentat în figura 3.11. Inițial puntea se echilibrează cu ajutorul rezistorului R și al capacităților, astfel ca semnalul pe oscilograf să fie minim. Aceasta înseamnă că curentul de deplasare se distribuie în mod egal pe cele două intrări ale amplificatorului diferențial. În timpul acestei operații nu trece curent continuu prin circuit. Se trece apoi curent continuu prin circuit și se măsoară pe oscilograf semnalul datorat efectului de cîmp. Ca să se evite încălzirea excesivă a probei cînd se lucrează la curenți mari, în locul bateriei de curent continuu se folosește un generator de pulsuri de curent. Mobilitatea de efect de cîmp se determină din relația

$$\mu_{FE} \approx \frac{1}{C} \frac{d\sigma}{dV_a},$$

unde C este capacitatea pe unitatea de arie între electrodul de cîmp și probă. Evaluarea conductanței de suprafață din măsurători se face după cum urmează. Referindu-ne la figura 3.10 notăm cu R rezistența probei, cu R_s rezistența restului circuitului probei, cu V_a tensiunea de cîmp, cu E tensiunea electromotoare a bateriei și cu v semnalul măsurat pe rezistența R ; $v = ER/(R + R_s)$, R și v sînt funcție de V_a . Notînd cu L lungimea și l lățimea probei, variația conductanței probei pe unitatea de arie în prezența față de absența cîmpului este

$$\Delta\sigma(V_a) = \frac{L}{l} \left\{ \frac{1}{R(V_a)} - \frac{1}{R(0)} \right\} = \frac{L}{l} \frac{E}{R_s} \left\{ \frac{1}{v(V_a)} - \frac{1}{v(0)} \right\}. \quad (3.36)$$

Dacă $R_s \gg R$, notînd $I_m \approx E/R_s$, rezultă din relația de mai sus

$$\Delta\sigma \approx - \frac{L}{l} \frac{\Delta v}{I_m R^2}, \quad (3.37)$$

unde $\Delta v = v(V_a) - v(0)$ este diferența dintre semnalul măsurat la V_a și semnalul măsurat la $V_a = 0$. Măsurătorile de efect de câmp în pulsuri se utilizează pentru studiul comportării tranzitorii a stărilor de suprafață. Măsurătorile de efect de câmp sinusoidal la diverse frecvențe se fac în scopul de a distinge stările de suprafață lente de cele rapide. Stările lente schimbă purtători de sarcină cu benzile de conducție și de valență într-un timp mult mai lung decît stările rapide. S-a găsit că nu există stări lente pe suprafața curată; astfel de stări apar pe suprafața oxidată sau altfel contaminată a unui semiconductor.

3.5. Recombinarea la suprafață

Recombinarea purtătorilor de sarcină poate avea loc și prin intermediul nivelelor de suprafață în mod analog cu recombinația în volumul semiconductorului. În straturi subțiri recombinația la suprafață poate să domine asupra recombinației în volum. Prezența recombinației la suprafață conduce la apariția unui flux de purtători îndreptat către suprafață. Dacă suprafața nu este în contact cu un conductor, atunci curentul net prin ea este egal cu zero. Notînd cu r_s numărul de purtători care recombină pe 1 cm^2 de suprafață în timp de o secundă, adică rata de recombinație la suprafață, cu j_n și j_p curenții de electroni și, respectiv, de goluri îndreptați perpendicular pe suprafață, se poate scrie

$$-\frac{1}{q} j_p = \frac{1}{q} j_n = r_s, \quad (3.38)$$

Prin analogie cu relația pentru volum, se poate scrie

$$r_s = \gamma_s(n_s p_s - n_{0s} p_{0s}), \quad (3.39)$$

unde γ_s este coeficientul de recombinație, n_s și p_s sînt concentrațiile la suprafață ale electronilor și golurilor iar n_{0s} și p_{0s} , valorile lor de echilibru. Se presupune că există un echilibru între electronii de la suprafață și cei din volum și, de asemenea, între golurile de la suprafață și cele din volum. În acord cu fig. 3.12 se poate scrie

$$n_s = n e^{\beta \psi_s}; \quad p_s = p e^{-\beta \psi_s}, \quad (3.40)$$

unde n și p sînt concentrațiile purtătorilor de sarcină din volumul semiconductorului. Ecuația (3.39) devine

$$r_s = \gamma_s(np - n_0 p_0). \quad (3.41)$$

Notînd $n = n_0 + \Delta n$, $p = p_0 + \Delta p$, se obține pentru $\Delta n = \Delta p$

$$r_s = \gamma_s(n_0 + p_0 + \Delta n) \Delta n = S \Delta n. \quad (3.42)$$

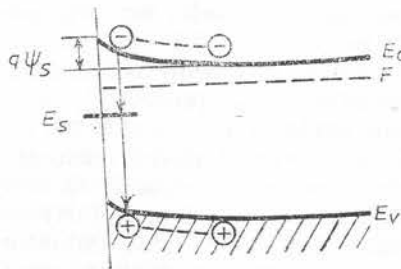


Fig. 3. 12. — Recombinarea pe nivele de suprafață.

$S = \gamma_s(n_0 + p_0 + \Delta n)$ are dimensiunile unei viteze și se numește viteză de recombinare la suprafață. Considerăm că la suprafață există o densitate, N , de nivele situate la distanța E_r de marginea inferioară a benzii de conducție. Ratele de captură ale electronilor și, respectiv, golurilor pe aceste nivele se scriu

$$\begin{aligned} r_n &= \gamma_n[n_s(N - n_r) - n_1 n_r], \\ r_p &= \gamma_p[p_s n_r - p_1(N - n_r)], \end{aligned} \quad (3.43)$$

unde γ_n și γ_p sînt coeficienții de captură a electronilor, și, respectiv, golurilor iar n_r este concentrația electronilor pe stările de suprafață

$$n_1 = N e^{-E_r/kT}, \quad p_1 = N e^{-(E_g - E_r)/kT}. \quad (3.44)$$

În condiții staționare, $r_n = r_p = r_s$, se obține

$$r_s = \frac{N \gamma_n \gamma_p (p n - p_0 n_0)}{\gamma_n (n_s + n_1) + \gamma_p (p_s + p_1)}, \quad (3.45)$$

unde n_s și p_s sînt date de relația (3.40). Comparînd (3.45) cu (3.42) se obține

$$S = N \gamma_n \gamma_p \frac{p_0 + n_0 + \Delta n}{\gamma_n n_1 + \gamma_p n_2 + \gamma_n n e^{\beta \psi_s} + \gamma_p p e^{-\beta \psi_s}}. \quad (3.46)$$

Se observă că viteza de recombinare la suprafață depinde de valoarea ψ_s a potențialului de suprafață și de concentrația purtătorilor exces, Δn , ecuația (3.25). Pentru concentrații mici ale purtătorilor exces, s nu depinde de Δn . Viteza de recombinare la suprafață atinge valoarea maximă, S_{\max} , pentru $\gamma_n n_s = \gamma_p p_s$. În figura 3.13 se reprezintă S/S_{\max} în funcție de $\beta \psi_s$ pentru o probă de Ge- n [6]. Cercul și punctele reprezintă rezultatele măsurărilor efectuate în vid și, respectiv, în atmosferă de oxigen uscat. În figura 3.13 *a* sînt reprezentate măsurătorile la 24 ore după decaparea probei iar în figura 3.13 *b* la două săptămîni după decapare cînd starea suprafeței s-a stabilizat. Curbele pline sînt calculate după relația (3.46) pentru $(E_t - E_i)/kT$ egal cu 6,1 (curba 1), 5,3 (curba 2) și 5,2 (curba 3). Rezultă că viteza de recombinare la suprafață este foarte sensibilă cu tratamentul suprafeței. S/S_{\max} este constantă în jurul valorii $\gamma_n n_s = \gamma_p p_s$ și scade rapid de o parte și de alta a acestei valori datorită creșterii unuia sau celuilalt din ultimii doi termeni de la numitorul relației (3.46). Explicația fizică este următoarea. Rata de recombinare este limitată de captura purtătorilor (electroni sau goluri) care au viteza de recombinare cea mai mică. Pentru $\psi_s < 0$, în semiconductorul de tip n benzile sînt înclinate în sus, la înclinare puternică apare strat de inversiune și captura electronilor este limitată de numărul mic de electroni din volum care pot să escaladeze bariera de potențial și să ajungă la suprafață. Pe de altă parte, pentru $\psi_s > 0$, benzile sînt înclinate în jos, apare astfel strat de acumulare de electroni și captura golurilor este limitată de numărul mic de goluri, p_s , care pot să ajungă din volum la suprafață. Datorită dependenței puternice de potențialul de suprafață, s este influențată de atomii adsorbiți la suprafață și variază cu variația mediului gazos înconjurător. În scopul determinării

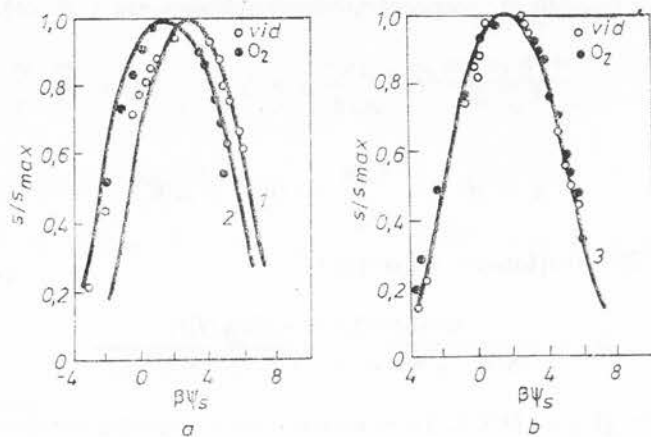


Fig. 3.13. — Viteza, s , de recombinare la suprafață raportată la valoarea ei maximă, s_{\max} , în funcție de potențialul ψ_s de suprafață.

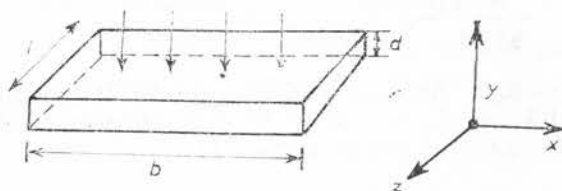


Fig. 3.14. — Proba semiconductoră, iluminată cu lumină puternic absorbită la suprafața $y = d$.

experimentale a unui grafic ca cel reprezentat în figura 3.13 este necesară măsurarea lui s și ψ_s în același timp. ψ_s se determină din măsurarea conductanței de suprafață și s se măsoară prin tehnica injectiei în pulsuri. Determinarea lui ψ_s din măsurarea conductanței de suprafață se face din graficul 3.8, așa cum s-a discutat în paragraful 3.4, valoarea minimă de referință a lui ψ_s determinându-se din punctul de minim al conductanței. Viteza de recombinare la suprafață se poate determina prin metoda fotoconducției, adică injectia purtătorilor de sarcină se face prin iluminare. Înainte de a descrie metoda experimentală expunem bazele ei teoretice. Se consideră că într-o probă semiconductoră de tip p (fig. 3.14) se injectează prin iluminare la suprafața $y = d$, Δn electroni și Δp goluri ($\Delta n = \Delta p$). Pentru câmp electric neglijabil, ecuația de continuitate se scrie

$$\frac{\partial \Delta n}{\partial t} = D \frac{\partial^2 \Delta n}{\partial y^2} - \frac{\Delta n}{\tau}, \quad (3.47)$$

unde τ este timpul de viață a purtătorilor de sarcină în volum și D este coeficientul de difuzie. Notînd cu G rata de generare prin iluminare a purtătorilor de sarcină la suprafața $y = d$, condițiile de margine (3.38) la

suprafața neiluminată și, respectiv, iluminată se scriu :

$$\begin{aligned} y = 0, \quad D \frac{\partial \Delta n}{\partial y} &= S \Delta n \\ y = d, \quad D \frac{\partial \Delta n}{\partial y} &= G - S \Delta n. \end{aligned} \quad (3.48)$$

În condiții staționare se obține

$$\Delta n = \frac{G[\text{sh}(y/L) + \gamma \text{ch}(y/L)]}{S[(1 + \gamma^2)\text{sh}(d/L) + 2\gamma \text{ch}(d/L)]}, \quad (3.49)$$

unde $L = \sqrt{D\tau}$ și $\gamma = D/LS$. În aceste condiții variația conductanței este dată de expresia

$$\begin{aligned} \Delta G &= \int_0^d \int_0^l \frac{q(\mu_n \Delta n + \mu_p \Delta p) dy dz}{b} = \\ &= \frac{AGL[\text{ch}(d/L) - 1 + \gamma \text{sh}(d/L)]}{bS[(1 + \gamma^2)\text{sh}(d/L) + 2\gamma \text{ch}(d/L)]}, \end{aligned} \quad (3.50)$$

unde $A = q(\mu_n + \mu_p)l$. Această expresie poate fi simplificată pentru două cazuri limită : $(d/L) > 1$ și $(d/L) < 1$. În primul caz, $\text{ch}(d/L) \simeq \text{sh}(d/L) \gg 1$ și ecuația (3.56) se reduce la

$$(\Delta G)_0 = \frac{AG}{b} \tau_{ef}, \quad (3.51)$$

unde timpul de viață efectiv este dat de expresia

$$\frac{1}{\tau_{ef}} = \frac{1}{\tau} + \frac{S}{L}. \quad (3.52)$$

În cazul $(d/L) < 1$, dezvoltând în serie funcțiile ch și sh din relația (3.50), se obține

$$(\Delta G)_0 = \frac{dAG(\gamma + d/2L)}{bS[(1 + \gamma^2)(d/L) + 2\gamma]}. \quad (3.53)$$

Această expresie poate fi simplificată în două cazuri :
Cînd $\gamma < 1$ ecuația (3.53) devine de forma (3.51) cu

$$\frac{1}{\tau_{ef}} = \frac{v_s}{d}. \quad (3.54)$$

Cînd $\gamma > 1$, adică $\gamma \gg d/2L$ și $\gamma^2 \gg 1$, ecuația (3.53) se reduce, de asemenea la (3.51) cu

$$\frac{1}{\tau_{ef}} = \frac{1}{\tau} + \frac{2S}{d}. \quad (3.55)$$

Soluția acestei ecuații este [9]

$$\Delta n(t) = \frac{2G}{d} \sum_{n=1}^{\infty} [\exp(-t/\tau_n)] \frac{\tau_n a_n (a_n \cos c_n y + \beta \sin c_n y)}{(a_n^2 - \beta^2 - 2\beta) \cos a_n + 2(\beta + 1) a_n \sin a_n}, \quad (3.56)$$

unde $a_n = c_n d$, $\beta = dS/D$ și

$$\frac{1}{\tau_n} = Dc_n^2 + \frac{1}{\tau}; \quad c_n = \pm \frac{(n-1)\pi}{d}, \quad n = 2, 3, 4, \dots \quad (3.57)$$

$$c_1 = \pm \left(\frac{2S}{Dd} \right)^{1/2}.$$

Se poate scrie

$$\Delta G = \sum_{n=1}^{\infty} \Delta G_n \exp(-t/\tau_n). \quad (3.58)$$

Pentru n mare

$$\frac{\Delta G_{n+1}}{\Delta G_n} \simeq \frac{a_n/\tau_n}{a_{n+1}/\tau_{n+1}} \simeq \frac{c_n^3}{c_{n+1}^3} \simeq \left(\frac{n-1}{n} \right)^3. \quad (3.59)$$

Această ultimă relație arată că seria din relația (3.56) converge rapid și prin urmare, cea mai mare contribuție la ΔG o dau termenii cu n mic. Din relația (3.57) rezultă

$$\frac{1}{\tau_1} = \frac{1}{\tau} + \frac{2S}{d}, \quad (3.60)$$

$$\frac{1}{\tau_n} = \frac{1}{\tau} + D(n-1)^2 \frac{\pi^2}{d^2}, \quad n = 2, 3, 4, \dots$$

Analiza constantelor de timp de mai sus arată că termenii $(\Delta G)_n$, cu n mare, nu numai că au valori inițiale mai mici ci au și constantă de timp mai mică și deci descrește mai rapid în comparație cu termenii cu n mic. Prin urmare expresia (3.58) se poate aproxima cu

$$\Delta G \simeq \Delta G_1 \exp(-t/\tau_1), \quad (3.61)$$

unde τ_1 este dat de expresia (3.60). ΔG_1 este conductivitatea în stare staționară, $(\Delta G)_0$, iar $\tau_1 \simeq \tau_{ef}$, astfel că dacă se iluminează proba cu lumină în pulsuri (fig. 3.15), atunci ecuația (3.61) descrie porțiunea de cădere a fotoconducției

$$\Delta G = (\Delta G)_0 \exp(-t/\tau_{ef}), \quad (3.62)$$

unde $1/\tau_{ef} = 1/\tau + 2S/d$. Pe porțiunea de creștere

$$\Delta G = (\Delta G)_0 (1 - e^{-t/\tau_{ef}}). \quad (3.63)$$

Montajul experimental este reprezentat în figura 3.15 b. Lumina modulată cade pe o porțiune din suprafața probei. Circuitul este constituit dintr-un rezistor în serie cu proba și cu o sursă de tensiune continuă. Tensiunea V_R

măsurată pe rezistența R se aplică pe plăcile verticale ale unui oscilograf. V_R este direct proporțional cu ΔG , astfel că din porțiunea de cădere a lui V_R se determină τ_{ef} . Întrucît în expresia lui τ_{ef} intervin ca necunoscute τ și s , se fac măsurători pe două probe din același material cu aceeași stare a suprafeței dar de grosimi diferite. Astfel vor rezulta două ecuații pentru τ_{ef} , de unde se determină τ și S . Trebuie avut în vedere că lungimea suprafeței iluminate să fie mult mai mare decît lungimea de difuzie a purtătorilor de sarcină pentru ca efectele de margine să fie neglijabile. De asemenea, trebuie ca lungimea probei (fig. 3.14) să fie suficient de mare astfel ca această lungime împărțită prin viteza de drift, $\mu_p \mathcal{E}$,

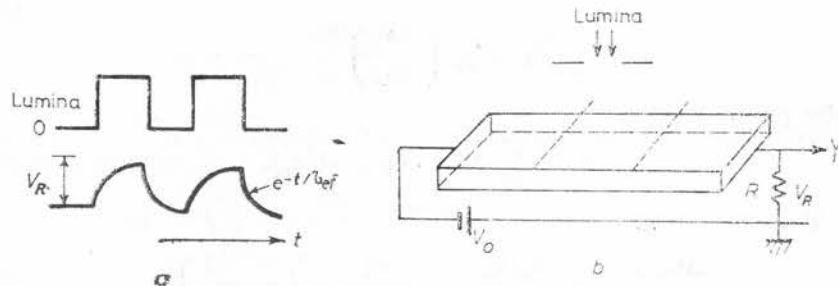


Fig. 3.15. — Pulsurile de lumină și tensiunea datorată variației conductanței cu iluminarea (a); montajul experimental (b).

să dea un timp mult mai mare decît timpul de viață. Această ultimă cerință se poate realiza aplicînd pe probă un cîmp cit mai mic, astfel ca purtătorii de sarcină să recombine înainte de a părăsi proba. Notăm, de asemenea, că în acord cu relația (3.51) conductanța în stare staționară $(\Delta G)_0$ și decît amplitudinea lui V_R este proporțională cu S . Tehnica pulsurilor poate fi utilizată atît în metoda fotoconducției cît și în metoda bombardării cu particule ori injecție la contact.

De o importanță deosebită este sensibilizarea fotoconducției prin activarea suprafeței în atmosferă gazoasă. Printr-o asemenea metodă s-a reușit o creștere a fotoconducției stratelor subțiri de sulfură de plumb de cîteva ori [10]. Cititorul găsește studii și rezultate recente asupra stărilor de suprafață în [11—14].

BIBLIOGRAFIE

1. V. Dolocan, *Fizica dispozitivelor cu corp solid*, Edit. Academiei, București, 1978.
2. I. Tamm, *Zeitschr., f. Physik*, **76**, 849 (1932).
3. I. Tamm, *J. E. T. F.*, **3**, 34 (1933);
M. A. Mehtiev, *Solid-State Comm.*, **28**, 299 (1978).
4. S. G. Davison, J. D. Levine, *Surface states*, in *Solid State Physics*, **25**, 1 (1970).
5. W. Shockley, *Phys. Rev.* **56**, 317 (1939).
6. A. Many, Y. Goldstein, N. B. Grover, *Semiconductor surfaces*, Amsterdam, North-Holland Publ., 1965.
7. D. Frankl, *Electrical properties of semiconductor surfaces*, Pergamon Press, New York, 1967;
K. I. Kirov., S. P. Alexandrova, *Phys. Stat. Sol. (a)*, **49**, 781 (1978).
8. Y. Margominski, *Phys. Rev.*, **132**, 1910 (1963).
9. S. Wang, *Solid State Electronics*, McGraw-Hill, New York, 1966.
10. V. Dolocan, T. Boțilă, I. Nazarenco, A. Vancu, *Colocviul național de fizică și tehnologia materialelor cristaline și amorse*, Iași, 1980, p. 271.
11. D. C. Tsui, M. D. Sturge, A. Kamgar, J. Allen, Jr. *Phys. Rev. Lett.*, **40**, 1667 (1978).
12. T. Marimoto, *J-Phys. Soc. Japan*, **44**, 332 (1978).
13. * * * Progress in surface and membrane science.
14. * * * Surface science (revistă lunară).

Capitolul 4

CONTACTUL METAL-SEMICONDUCTOR

4.1. Lucrul de ieșire a electronilor din materiale

Lucrul de ieșire este energia necesară pentru a scoate în vid un electron situat la nivelul energetic Fermi într-un solid. La metale lucrul de ieșire se notează cu $q\Phi_M$, iar la semiconductori cu $q\Phi_s$ (fig. 4.1). Energia

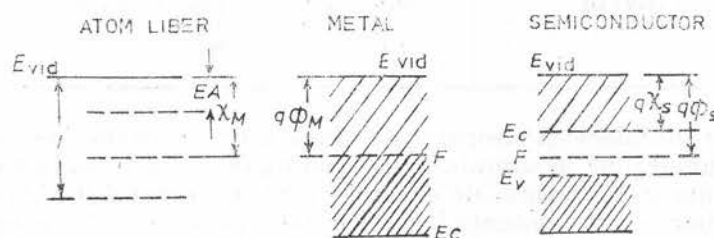


Fig. 4.1. — Diagrama nivelelor energetice cu notațiile folosite în text.

necesară pentru a scoate în vid un electron situat la minimul benzii de conducție se numește afinitate pentru electroni și se notează cu $q\chi_o$. O problemă interesantă este legătura dintre mărimile care caracterizează electronul în atomul liber (energia de ionizare I , afinitatea pentru electroni EA) și lucrul de ieșire din materialul solid. S-a găsit o relație între electronegativitate, χ , și $q\Phi$, lucrul de ieșire [1]. Electronegativitatea este capacitatea unui atom aflat într-o moleculă de a atrage electroni [2]. Definiția electronegativității în scara Pauling, notată χ_p , se bazează pe conceptul macroscopic al căldurii de formare a compuşilor ionici. O definiție bazată pe conceptul microscopic al spectrului atomic (fig. 4.1) a fost dată de Mulliken [3]. Electronegativitatea în scara Mulliken este definită prin relația

$$\chi_M = \frac{I + EA}{2}. \quad (4.1)$$

Între lucrul de ieșire $q\Phi$ și electronegativitatea χ_M există relația găsită empiric

$$q\Phi = \chi_M - P, \quad (4.2)$$

unde P este un parametru de periodicitate a cărui valoare este dată în tabela 4.1. În tabela 4.2 sint prezentate valorile lui Φ după relația (4.2) și valorile experimentale, Φ_{exp} , pentru diverse elemente. Cunoașterea valorii lucrului de ieșire este esențială [4] în realizarea și utilizarea structurilor metal-metal și metal-semiconductor.

Tabela 4.1

Valorile parametrului de periodicitate, P , pentru elementele chimice

Subgrupa	P , eV	Elemente
VIA	0,3	Se, Te
IB&IIB	0,2	Cu, Ag, Au, Zn, Cd, Hg
IA&VA	0,1	Li, Na, K, Rb, Cs, As, Sb, Bi
IIA	0	Be, Mg, Ca, Sr, Ba
IVA&IIB	-0,2	Si, Ge, Sn, Pb, Sc, Y, La
VB	-0,3	V, Nb, Ta
VIII	-0,4	Fe, Co, Ni, Ru, Rh, Pd, Os, Ir, Pt
IVB&VIB	-0,6	Ti, Zr, Hf, Cr, Mo, W
VIIB	-0,7	Mn, Te, Re
	-1,0	Al, Ga, In, Tl

În solid se consideră că electronii se mișcă liber în banda de conducție în întreg volumul pînă la suprafața acestuia unde există o barieră de potențial, așa cum se reprezintă de exemplu pentru un metal în figura 4.2. În realitate bariera de potențial la suprafață nu este rectangulară, ca în figura 4.2, ci se modifică datorită forței imagine și arată ca în figura 4.3. Un electron aflat la distanța x de suprafața unui metal induce o sarcină pozitivă în acesta. Apare o forță de atracție între electron și sarcina indusă a cărei valoare este egală cu forța de atracție dintre electron și o sarcină pozitivă, egală în valoare absolută cu sarcina electronului, situată la distanța- x

$$F = \frac{q^2}{4\pi\epsilon_0(2x)^2} = \frac{q^2}{16\pi\epsilon_0x^2}, \quad (4.3)$$

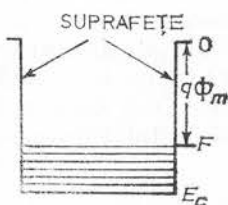


Fig. 4.2. — Electronii în metal se află într-o groapă de potențial.

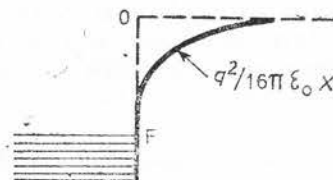


Fig. 4.3. — Barierea de potențial a electronului modificată de către forța imagine.

unde ϵ_0 este constanta dielectrică a spațiului liber (vidului), $8,85 \times 10^{-12}$ F/m. Energia potențială a unui electron aflat la distanța x de suprafața

Tabela 4.2

Unele date asupra caracteristicilor atomului liber și ale lucrului de ieșire din solid

Element	Subgrupa	I , eV	EA , eV	χ_M , eV	$q\Phi_{calc}$	$q\Phi_{exp}$
Ag	IB	7,576	1,3	4,5	4,3	4,26
Al	IIIA	5,986	0,46	3,2	4,2	4,28
As	VA	9,81	0,8	5,3	5,2	—
Au	IB	9,225	2,308	5,8	5,6	5,1
Ba	IIA	5,212	0	2,6	2,6	2,7
Be	IIA	9,322	0	4,7	4,7	4,98
Bi	VA	7,289	1,1	4,2	4,1	4,22
Ca	IIA	6,113	0	3,1	3,1	2,87
Cd	IIB	8,993	-0,333	4,3	4,1	4,22
Co	VIII	7,86	0,7	4,3	4,7	5
Cr	VIB	6,766	0,66	3,7	4,3	4,5
Cs	IA	3,894	0,47	2,2	2,1	2,14
Cu	IB	7,726	1,226	4,5	4,3	4,65
Fe	VIII	7,87	0,25	4,1	4,5	4,5
Ga	IIIA	5,999	0,3	3,2	4,2	4,2
Ge	IVA	7,899	1,2	4,6	4,8	5
Hf	IVB	7	0	3,5	4,1	3,9
Hg	IIB	10,437	-0,63	4,9	4,7	4,49
In	IIIA	5,786	0,3	3	4	4,12
Ir	VIII	9,1	1,6	5,4	5,8	5,27
K	IA	4,341	0,5	2,4	2,3	2,3
La	IIIB	5,571	0,5	3,1	3,3	3,5
Li	IA	5,392	0,62	3	2,9	2,9
Mg	IIA	7,646	-0,15	3,8	3,8	3,66
Mn	VIIB	7,435	0	3,7	4,4	4,1
Mo	VIB	7,099	1	4,1	4,7	4,6
Na	IA	5,139	0,546	2,9	2,8	2,75
Nb	VB	6,88	1	4	4,3	4,3
Ni	VIII	7,635	1,15	4,4	4,8	5,15
Os	VIII	8,7	1,1	4,9	5,3	4,83
Pb	IVA	7,416	1,1	4,3	4,5	4,25
Pd	VIII	8,34	0,6	4,5	4,9	5,12
Pt	VIII	9	2,128	5,6	6	5,65
Pb	IA	4,177	0,486	2,4	2,3	2,16
Re	VIIB	7,88	0,15	4	4,7	4,96
Rh	VIII	7,46	1,2	4,4	4,8	4,98
Ru	VIII	7,37	1,1	4,3	4,7	4,71
Sb	VA	8,641	1,05	4,9	4,8	4,55
Se	IIIB	6,54	0	3,3	3,5	3,5
Se	VIA	9,752	2,02	5,9	5,6	5,9
Si	IVA	8,151	1,385	4,8	5	4,85
Sn	IVA	7,344	1,25	4,3	4,5	4,42
Sr	IIA	5,695	0	2,9	2,9	2,59
Ta	VB	7,89	0,6	4,3	4,6	4,25
Tc	VIIB	7,28	0,7	4	4,7	—
Te	VIA	9,009	1,97	5,5	5,2	4,95
Ti	IVB	6,82	0,2	3,5	4,1	4,33
Tl	IIIA	6,108	0,3	3,2	4,2	3,84
V	VB	6,74	0,5	3,6	3,9	4,3
WW	VIB	7,98	0,6	4,3	4,9	4,55
Y	IIIB	6,38	0	3,2	4,4	3,1
Zn	IIB	9,394	-0,49	4,5	4,3	4,33
Zr	IVB	6,84	0,5	3,7	4,3	4,05

metalului este egală cu lucrul mecanic efectuat de electron prin deplasarea sa de la ∞ la distanța x .

$$q\Phi_i(x) = \int_{\infty}^x F dx = \frac{q^2}{16\pi\epsilon_0 x}, \quad (4.4)$$

astfel că barierea de potențial a electronului din metal arată ca în figura 4.3, unde $U(x)$ se măsoară de la nivelul vidului. Barierea de potențial se modifică, de asemenea, prin aplicarea unui cîmp electric în vecinătatea

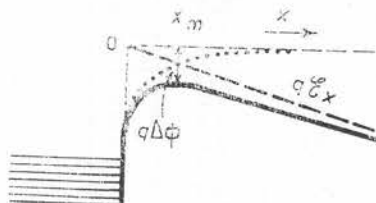


Fig. 4.4. — Micșorarea înălțimii barierei de potențial, cu $\Delta\Phi$, în prezența cîmpului electric, S , aplicat.

interfeței metal-vid, cu qSx (fig. 4.4), astfel că energia potențială totală a electronului măsurată de la nivelul vidului este

$$q\Phi_i(x) = \frac{q^2}{16\pi\epsilon_0 x} + qSx. \quad (4.5)$$

Aceasta are valoarea maximă

$$\Delta\Phi = \left(\frac{qS}{4\pi\epsilon_0} \right)^{1/2} = 2Sx_m, \quad (4.6)$$

la

$$x_m = \left(\frac{q}{16\pi\epsilon_0 S} \right)^{1/2}. \quad (4.7)$$

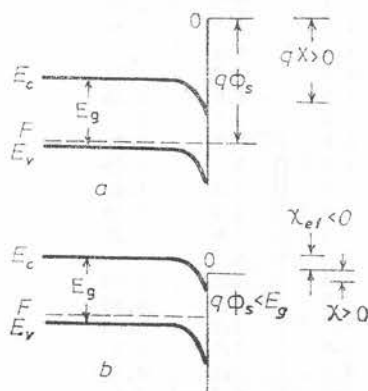


Fig. 4.5. — Diagrama de benzi de energie a unui semiconductor în condiția cu afinitate electronică pozitivă (a) și negativă (b).

Micșorarea barierei de potențial cu $\Delta\Phi$ în prezența cîmpului electric se numește efect Schottky. Pentru $S = 10^6 \text{ V/cm}$ se obține $q\Delta\Phi = 0,39 \text{ eV}$ și $x_m = 23,5 \text{ \AA}$. În figura 4.5 a este reprezentată diagrama de benzi de energie la suprafața unui semiconductor de tip *p*. După cum s-a arătat în capitolul 3 datorită stărilor de suprafață benzile în apropierea suprafeței sînt înclinate. Pe baza efectului Schottky, printr-o tratare adecvată a suprafeței semiconductorului nivelul vidului poate fi coborît sub marginea inferioară a benzii de conducție și afinitatea pentru electroni să devină negativă (fig. 4.5 b). Mai precis, devine negativă afinitatea efectivă

pentru electroni, $q\chi_s < 0$, adică diferența dintre nivelul vidului și marginea inferioară a benzii de conducție din volum, unde benzile nu sînt înclinate. În realitate, așa cum se observă pe figura 4.5 *b*, datorită înclinării benzilor la suprafață, afinitatea pentru electroni $q\chi$ se menține mai mare ca zero. Condiția de afinitate electronică negativă se scrie

$$E_c - F > q\Phi_s, \quad (4.8)$$

adică diferența dintre marginea inferioară a benzii de conducție din volum și nivelul Fermi să fie mai mare decît lucrul de ieșire. Pentru ca $(E_c - F)$ să fie cît mai mare se folosește semiconductor de tip *p* puternic dopat, astfel ca nivelul Fermi să fie foarte aproape de marginea superioară a benzii de valență, E_v , adică $E_c - F \simeq E_c - E_v = E_g$. Condiția (4.8) de afinitate electronică negativă devine $E_g > q\Phi_s$. Mărimea $E_g - q\Phi_s$ poartă numele de gradul de afinitate electronică negativă. Valoarea lui determină numărul de electroni care ies din solid. Electronii care se află în banda de conducție într-un material cu afinitate negativă pot să părăsească cu ușurință suprafața acestuia deoarece nu întîlnesc barieră de potențial. Acest efect a condus la îmbunătățirea performențelor dispozitivelor de emisie de electroni.

4.2. Diagrama energetică a contactului metal-semiconductor

A. Cazul ideal

În figura 4.6*a* sînt reprezentate diagramele energetice ale unui metal și ale unui semiconductor de tip *n* cînd nu sînt în contact, iar în figura 4.6*b* este reprezentată diagrama energetică a contactului metal-semiconductor situat la echilibru termic. E_i este nivelul Fermi intrinsec. Cînd metalul și semiconductorul sînt aduse în contact, deoarece $\Phi_s < \Phi_m$ vor trece mai mulți electroni din semiconductor în metal decît în sens invers pînă cînd nivelele Fermi din cele două materiale ajung la același nivel energetic; la echilibru termic nivelul Fermi este unic în întreg sistemul considerat. În procesul stabilirii echilibrului nivelul Fermi din semiconductor a coborît cu cantitatea $(\Phi_m - \Phi_s)$, egală cu diferența dintre lucrurile de ieșire

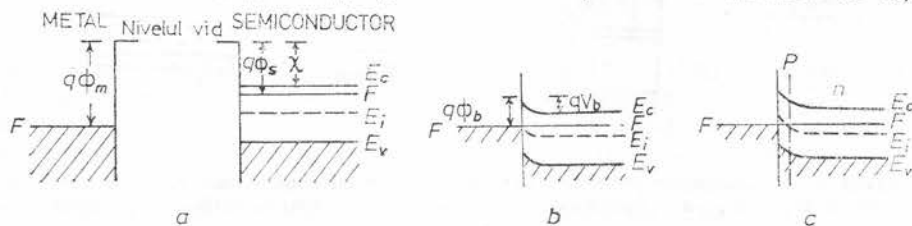


Fig. 4.6.— Diagrama de benzi de energie a contactului metal-semiconductor în cazul cînd $\Phi_m > \Phi_s$; *a*— materialele nu sînt în contact; *b*— strat de sărăcire; *c*— strat de inversie.

din cele două materiale. Ca rezultat al transferului de electroni din semiconductor în metal la suprafața metalului apare o sarcină negativă iar pe o porțiune din semiconductor de lîngă suprafața sa rămîne o sarcină pozitivă (fixă) dată de impuritățile donoare ionizate pozitiv. Această regiune de sarcină spațială din semiconductor este sărăcită în electroni și de aceea se numește strat de sărăcire (epuizare) sau strat de baraj. Pentru electronii care trec din metal în semiconductor există o barieră de potențial $qV_b = q\Phi_m - \chi$. În stratul de baraj benzile sînt înclinate în sus (fig. 4.6 *b*). Încli-

narea este cu atât mai puternică cu cât diferența dintre lucrurile de ieșire din cele două materiale este mai mare. Pentru o anumită înclinare a benzilor de energie din semiconductor pe o porțiune din vecinătatea contactului se obține $F - E_i < 0$ și ca atare în această regiune $p = n_i \exp[(E_i - F)/kT]$ devine mai mare decât $n = n_i \exp[(F - E_i)/kT]$ și semiconductorul devine de tip p . Apare astfel în vecinătatea contactului un strat de inversiune a tipului de conducție. În această situație stratul de baraj este format dintr-un strat de inversiune și un strat de epuizare (fig. 4.6c).

În figura 4.7a sînt reprezentate diagramele energetice ale unui metal și unui semiconductor cu $\Phi_s > \Phi_m$ nesituate în contact, iar în figura 4.7b

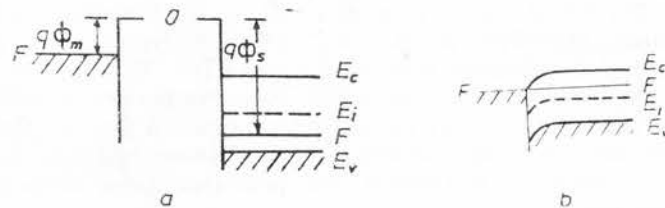


Fig. 4.7. — Diagrama energetică a contactului metal-semiconductor de tip n în cazul $\Phi_m < \Phi_s$.

este reprezentată diagrama energetică a contactului metal-semiconductor. În acest caz deoarece $\Phi_m < \Phi_s$, în procesul de stabilire a echilibrului vor trece mai mulți electroni din metal în semiconductor decât în sens invers și la echilibru termic în semiconductor va apare un strat de acumulare de electroni iar benzile de energie din semiconductor vor fi înclinate în jos (fig. 4.7b). Pentru contactul metal-semiconductor de tip p pot apare următoarele situații. Pentru $\Phi_m < \Phi_s$ apare strat de epuizare (fig. 4.8b) iar cînd $F - E_i > 0$ apare strat de inversiune a tipului de conducție (fig. 4.8c). Pentru $\Phi_m > \Phi_s$ apare strat de acumulare de goluri (fig. 4.9).

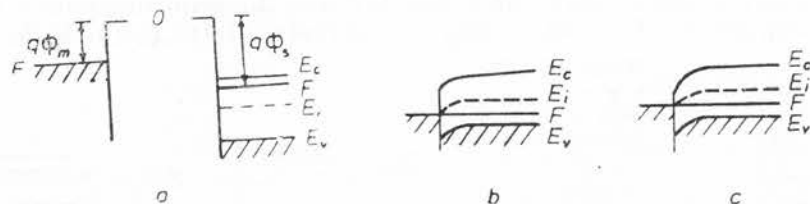


Fig. 4.8. — Diagrama energetică a contactului metal-semiconductor de tip p în cazul $\Phi_m < \Phi_s$: a — materialele sînt separate; b — strat de sărăcire; c — strat de inversiune.

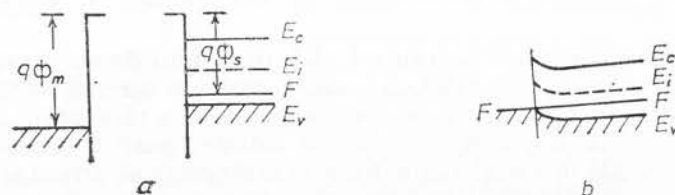


Fig. 4.9. — Contactul metal-semiconductor de tip p în cazul $\Phi_m > \Phi_s$: a — cele două materiale sînt separate; b — strat de acumulare de goluri

a găsi înălțimea barierei și lărgimea ei se rezolvă ecuația Poisson

$$-\frac{\partial^2 V}{\partial x^2} \equiv \frac{\partial \mathcal{E}}{\partial x} = \frac{\rho}{\varepsilon} = \begin{cases} \frac{q}{\varepsilon} N_a, & 0 < x \leq d, \\ 0, & x \leq 0, \end{cases} \quad (4.9)$$

cu următoarele condiții la limită

$$\begin{aligned} x = 0, \quad -\frac{\partial V}{\partial x} &= \mathcal{E}_m, \quad V(0) = V_b, \\ x = d, \quad \frac{\partial V}{\partial x} &= 0, \quad V(d) = 0, \end{aligned} \quad (4.10)$$

unde d este lărgimea stratului de baraj și N_a este concentrația donozilor din semiconductor. Se consideră contactul metal-semiconductor de tip n . Se obține :

$$|\mathcal{E}(x)| = \frac{qN_a}{\varepsilon} (d - x) = \mathcal{E}_m - \frac{qN_a}{\varepsilon} x, \quad (4.11)$$

$$V(x) = \frac{qN_a}{\varepsilon} \left(dx - \frac{x^2}{2} \right) - V_b, \quad (4.12)$$

$$d = (2\varepsilon V_b / qN_a)^{1/2}, \quad (4.13)$$

$$\mathcal{E}_M = \mathcal{E}(x = 0) = (2qN_a V_b / \varepsilon)^{1/2} \quad (4.14)$$

În condiții de polarizare V_b se înlocuiește cu $V_b - V$ unde V are semnul plus la polarizare directă și semnul minus la polarizare inversă în raport cu semiconductorul, care se consideră legat la masă. Diagrama de benzi de energie a contactului metal-semiconductor în diverse condiții de polarizare este reprezentată în figura 4.10. Sarcina spațială Q și capacitatea stratului de baraj pe unitatea de arie sînt date de expresiile

$$Q = q N_a d = [2\varepsilon N_a (V_b - V)]^{1/2}, \quad (4.15)$$

$$c = \partial Q / \partial V = \frac{\varepsilon}{d} \left(\frac{q\varepsilon N_a}{2(V_b - V)} \right)^{1/2}. \quad (4.16)$$

Din ultima expresie se obține

$$\frac{d(1/C^2)}{(-dV)} = \frac{2}{q\varepsilon N_a}, \quad (4.17)$$

de unde se determină

$$N_d = \frac{2}{q\varepsilon} \frac{(-dV)}{d(1/C^2)}. \quad (4.18)$$

B. Cazul real

În figurile 4.6—4.9 s-a prezentat cazul ideal al contactului metal-semiconductor. În realitate diagrama de benzi de energie a contactului metal-semiconductor se modifică atât datorită efectului Schottky cât și

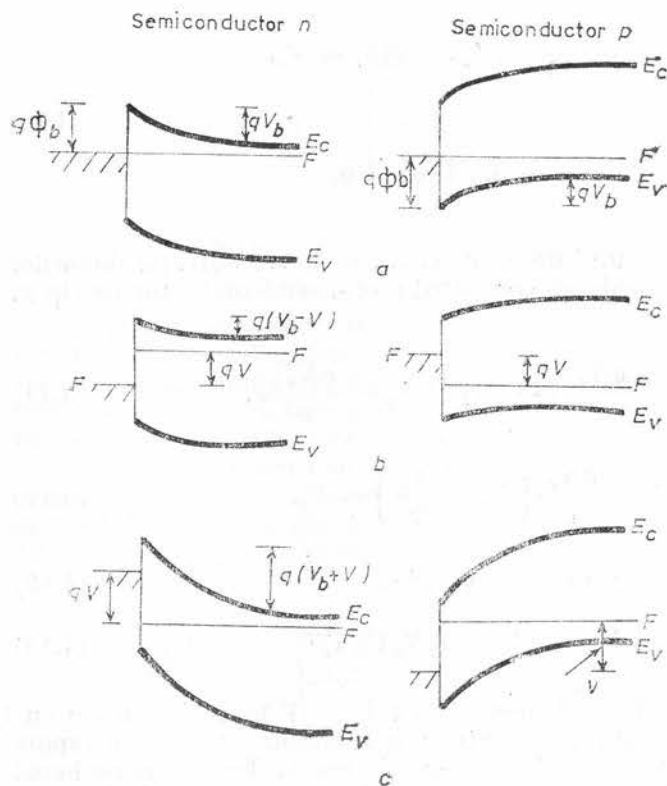


Fig. 4.10. — Diagrama de benzi de energie a contactului metal-semiconductor în prezența stărilor de suprafață.

datorită stărilor de la suprafața semiconductorului care vine în contact cu metalul. În cazul când există o densitate mare de stări de suprafață, înălțimea barierei de potențial qV_b poate să fie independentă de lucrul de ieșire din metal. În figura 4.11a sînt reprezentate benzile de energie ale metalului și semiconductorului cînd cele două materiale sînt separate. În această situație benzile de energie din semiconductorul de tip n sînt înclinate în sus, deoarece s-a stabilit un echilibru între stările de suprafață și volumul semiconductorului; toate stările de suprafață de sub nivelul Fermi sînt ocupate cu electroni. Cînd se realizează contactul metal-semiconductor are loc schimb de electroni între cele două materiale; la suprafața metalului va apare o sarcină negativă care crește pînă cînd nivelul Fermi se află la același nivel energetic în întreg sistemul, adică se atinge starea de echilibru termic. Dacă densitatea stări de suprafață este suficient de mare, astfel încît în procesul de stabilire a echilibrului trans-

ferul de electroni să aibă loc de pe stările de suprafață fără să fie afectată sensibil sarcina spațială din semiconductor, atunci înălțimea barierei de potențial nu va fi afectată de lucrul de ieșire din metal (fig. 4.11b).

Scăderea barierei de potențial datorită efectului Schottky este dată de expresia (4.6) și diagrama energetică a contactului metal-semiconductor arată ca în figura 4.12. Valoarea lui \mathcal{E} din expresia (4.6) se înlocuiește

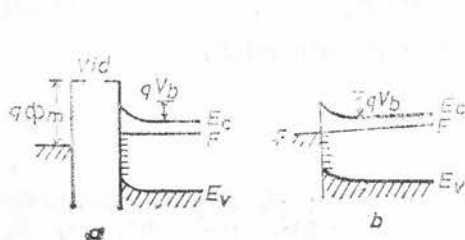


Fig. 4.11. — Diagrama de benzi de energie a contactului metal-semiconductor cînd se ia în considerare efectul forței imagine.

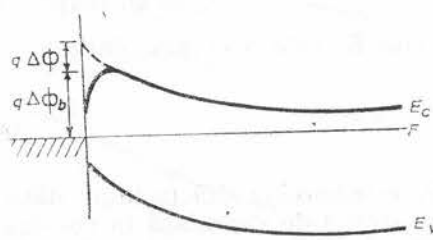


Fig. 4.12. — Diagrama de benzi de energie pentru bariera Schottky în cazul că are loc conversia tipului de conducție a semiconductorului lângă contactul metalic, (a); profilul de dopaj corespunzător, (b); distribuția câmpului electric (c).

cu câmpul maxim \mathcal{E}_m din stratul de baraj iar ϵ_0 cu $\epsilon_s \epsilon_0$, unde ϵ_s este permitivitatea relativă a semiconductorului. Micșorarea barierei datorită efectului Schottky la contactul metal-semiconductor este mică în comparație cu sistemul metal-vid, datorită valorii mari a lui ϵ_s . Astfel pentru Ge , $\epsilon_s = 16$ iar pentru un câmp de 10^5 V/cm se obține $\Delta\Phi = 0.03 \text{ eV}$.

O expresie a înălțimii barierei modificată de efectul Schottky și stările de suprafață a fost propusă de forma

$$\Phi = \Phi^* - \left[\frac{q\mathcal{E}_m}{4\pi\epsilon_s\epsilon_0} \right]^{1/2} - \alpha\mathcal{E}, \quad (4.19)$$

unde ultimul termen arată influența stărilor de suprafață; α este o constantă semiempirică cu valoarea de 15 \AA pentru sistemul $\text{ZrSi}_2/\text{Si-n}$. Φ^* este un parametru ajustabil, foarte apropiat ca valoare de Φ_b și se numește înălțimea barierei de bandă plată (cînd nu există sarcină spațială indusă în semiconductor și deci benzile sale de energie nu sînt înclinate). O expresie diferită a modificării barierei de către stările de suprafață se obține presupunînd o dependență exponențială sau parabolică de energie a densității stărilor de suprafață [4]. Se notează sarcina pe unitatea de arie localizată pe stările de la interfață cu Q_{ss} iar sarcina pe unitatea de arie din stratul de sarcină spațială din semiconductor cu Q_{sc} . Condiția de neutralitate cere ca

$$Q_{ss} = Q_{sc} = \epsilon_s \epsilon_0 \mathcal{E}_m \quad (4.20)$$

Densitatea efectivă de stări de suprafață N este dată de expresia

$$qN = \frac{dQ_{ss}}{dF}.$$

Presupunind că toate stările de suprafață sînt în echilibru și cu metalul se poate scrie $\delta F = -\delta\Phi$ și deci

$$qN = -\frac{dQ_{ss}}{q d\Phi}. \quad (4.21)$$

Se consideră o distribuție a stărilor de suprafață de forma

$$Q_{ss} = Q_f [\exp(-q(\Phi - \Phi^*)/E_0) - 1], \quad (4.22)$$

unde E_0 este o energie caracteristică definită prin relația

$$\mathcal{E}_m \frac{d\Phi}{d\mathcal{E}_m} = E_0/q, \quad (4.23)$$

Q_f este sarcina fixă (a impurităților ionizate) care echilibrează sarcina de pe stările de suprafață în configurația de bandă plată ($\Phi = \Phi^*$) și Q_f/E_0 este densitatea aparentă de stări de suprafață în această configurație. Prin urmare

$$qN = \frac{Q_f}{E_0} \exp[-q(\Phi - \Phi^*)/E_0] \quad (4.24)$$

(Φ nu este definit pentru $Q_{ss} < -Q_f$). Determinind Φ din relația (4.22) și notind $\mathcal{E}_f = Q_f/\varepsilon_s \varepsilon_0$ se obține

$$\Phi = \Phi^* + \frac{E_0}{q} \ln \left[\frac{\mathcal{E}_f}{\mathcal{E}_m + \varepsilon_f} \right]. \quad (4.25)$$

Această relație conține trei parametri Φ^* , E_0 și \mathcal{E}_f ajustabili, în comparația teoriei cu experiența pentru diodele Schottky. În deducerea ei s-a neglijat efectul forței imagine (Schottky). Un alt model propus ia în considerare modificarea profilului dopajului și conversia tipului semiconductorului lângă contactul cu metalul (fig. 4.13). Câmpul electric maxim \mathcal{E}_m în stratul de sarcină spațială este dat de expresia

$$\mathcal{E}_m = \int_{x_m}^{x_j} \frac{q(N_d - N_a) dx}{\varepsilon_s \varepsilon_0}, \quad (4.26)$$

unde N_a este concentrația impurităților acceptoare și N — concentrația impurităților donoare din semiconductor, aceasta din urmă fiind considerată constantă. x_m este localizarea maximului energiei potențiale și x_j este localizarea joncțiunii metalurgice (acolo unde concentrațiile celor două tipuri de impurități sînt egale). Înălțimea aparentă a barierei este dată de expresia

$$\Phi_a = \Phi_0 + \int_0^{x_m} \frac{xq(N_a - N_d) dx}{\varepsilon_s \varepsilon_0}, \quad (4.27)$$

și

$$\frac{d\Phi_a}{d\mathcal{E}_m} = \frac{x_m}{q}.$$

Atît stările de suprafață cît și modificarea profilului dopajului pot explica, după cum vom vedea în paragraful următor, anomalia T_0 a caracteristicii curent-tensiune din bariera Schottky.

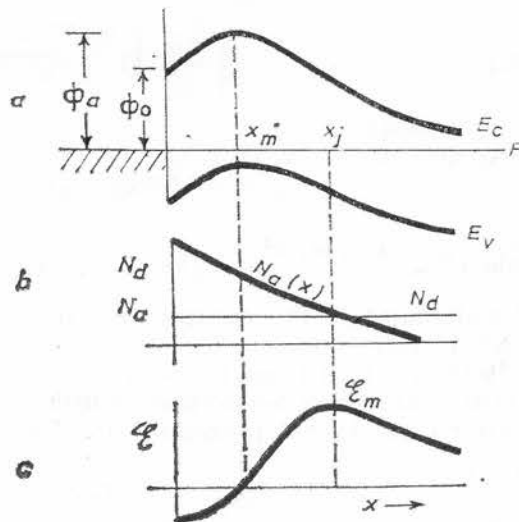


Fig. 4.13. — Diagrama de benzi de energie a contactului metal-semiconductor : *a* — la echilibru termic; *b* — la polarizare directă; *c* — la polarizare inversă.

4.3. Curentul electric în dioda Schottky

În structurile metal-semiconductor la transportul curentului electric participă în principal purtătorii majoritari, spre deosebire de joncțiunile *p-n* unde rolul esențial îl joacă purtătorii minoritari. Expresia analitică a curentului electric se deduce făcînd unele aproximații. Există astfel teoria emisiei termoelectrice izoterme [6], teoria difuziei izoterme [7] și o teorie mai generală a emisiei-difuziei care încearcă să cuprindă cele două teorii într-o teorie unitară [8, 9]. Se ia de asemenea în considerare tunelarea electronilor prin bariera de potențial și influența stărilor de suprafață. Ne vom referi în cele ce urmează la aceste teorii.

A. Teoria emisiei termoelectronice

Expresia curentului electric se deduce în următoarele presupuneri : (a) grosimea, *d*, a stratului de baraj este suficient de mică astfel ca să se poată neglija împrăștierea electronilor în interiorul său ; (b) înălțimea barierei de potențial este mult mai mare decît kT ; (c) se neglijează efectul forței imagine. Densitatea de curent de electroni care trec din semiconductor în metal este dată de [4]

$$j_{sm} = -q \int_{v_{0x}}^{\infty} \int_{-\infty}^{\infty} \int_{-\infty}^{\infty} v_x \, dn(v_x, v_y, v_z), \quad (4.28)$$

unde

$$\begin{aligned} dn(v_x, v_y, v_z) &= g_c(E) f(E) \, dE = \\ &= \frac{2m_n^3}{(2\pi\hbar)^3} \exp\left(\frac{-\frac{m_n}{2}(v_x^2 + v_y^2 + v_z^2) - (E_c - F)}{kT}\right) dv_x dv_y dv_z, \end{aligned} \quad (4.29)$$

unde $g_c(E)$ este densitatea de stări de energie în banda de conducție, v_{0x} — viteza minimă pe care trebuie s-o aibă electronii ce se deplasează în direcția x pentru a escalada bariera de potențial

$$v_{0x} = \left(\frac{2q(V_b - V)}{m_n} \right)^{1/2}. \quad (4.30)$$

Se obține

$$j_{sm} = A^* T^2 \exp(-q\Phi_b/kT) \exp(qV/kT), \quad (4.31)$$

unde $A^* = \frac{4\pi q m_n k^2}{h^3}$, m_n este masa efectivă a electronilor, k — constanta lui Boltzmann și T — temperatura în grade Kelvin. În cazul electronilor liberi A^* este constanta lui Richardson a emisiei electronice în vid, $A = 120 \text{ A/cm}^2/\text{K}$. În ecuația (4.31) A^* este constanta Richardson efectivă pentru o suprafață a semiconductorului cu o orientare dată. Valorile sale în câteva cazuri sînt prezentate în tabela 4.3.

Tabela 4.3

Valorile raportului A^*/A

Semiconductor	Ge	Si	GaAs
tip n , $\langle 111 \rangle$	1,11	2,2	0,068 (cîmp slab)
tip n , $\langle 100 \rangle$	1,19	2,1	1,2 (cîmp intens)
tip p	0,34	0,66	0,62

La echilibru termic curentul care curge din semiconductor în metal este egal cu curentul care curge din metal în semiconductor și are valoarea

$$j_{ST} = A^* T^2 \exp(-q\Phi_b/kT). \quad (4.32)$$

Aceasta este valoarea curentului care trece din metal în semiconductor și în prezența unei tensiuni aplicate, deoarece bariera pentru electronii care trec din metal în semiconductor nu se modifică. Prin urmare, densitatea curentului net de electroni în prezența tensiunii aplicate este

$$j = j_{sm} - j_{ms} = j_{ST} e^{qV/kT} - j_{ST} = j_{ST} (e^{qV/kT} - 1). \quad (4.33)$$

Relația (4.33) este analogă cu relația curent-tensiune în joncțiunea $p-n$ cu deosebirea că curentul de saturație, j_{ST} , are o expresie diferită.

B. Teoria difuziei

Teoria difuziei se bazează pe următoarele presupuneri : (a) înălțimea barierei este mult mai mare decât kT ; (b) se iau în considerare efectele

împrăstierii electronilor în stratul de baraj; (c) concentrațiile electronilor la $x = 0$ și $x = d$ sînt neafectate de trecerea curentului electric, adică au valorile lor de echilibru, (d) semiconductorul este nedegenerat. În acest caz expresia curentului electric este

$$j = q \left[n(x) \mu \mathcal{E} + D \frac{dn}{dx} \right]. \quad (4.34)$$

Substituind $\mathcal{E} = -dV(x)/dx$ și $\mu = (q/kT)D$ se obține ecuația

$$\frac{dn}{dx} - \frac{nq}{kT} \frac{dV}{dx} = \frac{j}{qD} \quad (4.35)$$

care se rezolvă cu următoarele condiții la limită:

$$\begin{aligned} n(0) &= n_0 e^{-qV_b/kT}; \quad qV(0) = -q(V_b - V_0), \\ n(d) &= n_0; \quad qV(d) = 0, \end{aligned} \quad (4.36)$$

unde n_0 este concentrația electronilor din volumul semiconductorului (regiunea neutră) iar V — tensiunea aplicată. Pentru rezolvarea ecuației (4.36) se utilizează metoda variației constantelor. Soluția ecuației omogene (pentru $j = 0$) se ia de forma

$$n(x) = C e^{qV(x)/kT}. \quad (4.37)$$

Se introduce această expresie în (4.35) și se obține

$$\frac{dC}{dx} = \frac{j}{qD} e^{-qV(x)/kT}$$

care integrată de la x la d dă

$$C(d) - C(x) = \frac{j}{qD} \int_x^d e^{-qV(x)/kT} dx.$$

Avînd în vedere condițiile la limită (4.36) rezultă pentru $x = 0$

$$n_0 e^{-qV_b/kT} = \left(n_0 - \frac{j}{qD} \int_0^d e^{-qV(x)/kT} dx \right) e^{q(V_b - V)/kT},$$

de unde

$$j = \frac{qDn_0(-1 + e^{qV/kT})}{\int_0^d e^{-qV/kT} dx}.$$

Utilizând expresia (4.12) pentru $V(x)$ și efectuând integrala de la numitorul expresiei de mai sus se obține

$$j \simeq \frac{q^2 D n_0}{kT} \left[\frac{q(V_b - V) 8\pi N_d}{\varepsilon} \right]^{1/2} \exp(-qV_b/kT) \frac{\exp(qV/kT) - 1}{1 - \exp\left[\frac{-2q(V_b - V)}{kT}\right]}.$$

Deoarece $qV_b \gg kT$, exponențiala de la numitorul expresiei de mai sus se neglijează la polarizare inversă și la tensiuni mici la polarizare directă. Rezultă

$$j = j_{SD}(e^{qV/kT} - 1), \quad (4.38)$$

$$j_{SD} = \frac{q^2 D N_c}{kT} \left[\frac{8\pi N_d q(V_b - V)}{\varepsilon} \right]^{1/2}.$$

Se observă că în teoria difuziei curentul electric (4.38) are în principiu o dependență de tensiunea aplicată ca și în cazul emisiei termoelectrice cu deosebirea că pe cînd în ultimul caz curentul invers de saturație, j_{ST} , este independent de tensiunea aplicată, în cazul teoriei difuziei j_{SD} variază cu tensiunea inversă după legea $V^{1/2}$. Este util să facem aici o comparație între domeniile de aplicabilitate ale teoriei difuziei și emisiei termoelectrice. Expresia (4.34) a curentului electric este valabilă la cîmpuri electrice slabe, cînd energia pe care o cîștigă electronul în cîmpul electric \mathcal{E} parcurgînd drumul liber mijlociu l , este mult mai mică decît kT adică $q\mathcal{E}l \ll kT$. Folosind pentru \mathcal{E} valoarea cîmpului maxim din stratul de baraj, $\mathcal{E}_m = 2V_b/l$, rezultă pentru aplicabilitatea teoriei difuziei condiția

$$d \gg \frac{2qV_b}{kT} l. \quad (4.39)$$

Cum $d \sim n_0^{1/2}$ rezultă că teoria difuziei este aplicabilă pentru semiconductorii cu concentrație mică a purtătorilor de sarcină și drum liber mijlociu al electronilor mici, adică mobilitate mică. De exemplu, teoria difuziei se aplică la redresorii cu oxid de cupru iar teoria emisiei termoelectrice la redresorii cu germaniu. Tot ceea ce s-a prezentat pînă aici este valabil și în cazul contactului metal-semiconductor de tip p cu deosebirea că U se înlocuiește cu $-U$ iar n cu p , iar în relația (4.36) se înlocuiește $n(0)$ cu $p(0) = p_0 e^{qV_b/kT}$ și $n(d)$ cu $p(d) = p_0$.

C. Alte puncte de vedere

Rezultatele experimentale arată că pentru multe structuri metal-semiconductor este valabilă relația emisiei termoelectronice modificată, și anume la temperatura T a joncțiunii se adaugă o temperatură T_0

$$j = A^* T^2 \exp[-q\Phi_b/k(T + T_0)] [\exp(qV/k(T + T_0)) - 1]. \quad (4.40)$$

Aceasta se numește anomalia T_0 [9]. În multe bariere Schottky, T_0 depinde de polarizare la o temperatură constantă și este independentă numai de temperatură la curent constant. S-a sugerat că anomalia T_0 se dato-

rează prezenței stărilor de interferență și s-a explicat forma caracteristicii $I-V$ pe baza dependenței exponențiale de energie a densității de stări de interfață [5]. Pentru $V \gg kT/q$ se poate scrie

$$\frac{d \ln T}{dV} = \frac{q}{k(T + T_0)} = \frac{q}{nkT}, \quad (4.41)$$

unde $n = 1 + T/T_0$. Notăm

$$\eta = \frac{q(\Phi - V)}{kT} - \ln(N_c/N_d). \quad (4.42)$$

$N_d = n_0$ este concentrația de dopaj din volumul semiconductorului. Notăm, de asemenea, viteza medie $v_m = A T^2/qN_c$, astfel că pentru $V \gg kT/q$ se obține

$$\ln(qv_m N_d/j) = \eta. \quad (4.43)$$

Derivind relațiile (4.42) și (4.43) în raport cu V și avînd în vedere (4.41) rezultă

$$\frac{kT_0}{q} = - \frac{d\Phi}{d\eta}. \quad (4.44)$$

S-a înlocuit Φ_b cu Φ , avînd în vedere că valoarea lui Φ este valoarea lui Φ_b modificată de stările de suprafață. Din relația (4.14) se obține înlocuind V_b cu $V_b - V$

$$\mathfrak{S} = \left[\frac{2N_d}{\varepsilon} (\eta - 1) kT \right]^{1/2}, \quad (4.45)$$

și ecuația (4.44) devine

$$\frac{kT_0}{q} = \frac{d\Phi}{d\mathfrak{S}} \frac{d\mathfrak{S}}{d\eta} = - \frac{1}{2(\eta - 1)} \frac{d\Phi}{d \ln \mathfrak{S}}. \quad (4.46)$$

În cazul dependenței exponențiale de energie a densității stărilor de suprafață barieră are valoarea dată de relația (4.25), de unde rezultă

$$\frac{q d\Phi}{d \ln \mathfrak{S}} = \frac{E_0}{1 + \mathfrak{S}_f/\mathfrak{S}_m}. \quad (4.47)$$

Deoarece pentru $\eta = \text{constant}$, \mathfrak{S} este funcție de T , pentru ca T_0 să fie independent de T este necesar ca $\mathfrak{S} \gg \mathfrak{S}_f$. Micșorarea barierei la $\mathfrak{S} = \mathfrak{S}_f$ este $E_0 \ln 2$ (ecuația (4.25)). Prin urmare, pentru a observa anomalia T_0 bariera de potențial trebuie să fie micșorată cu cel puțin E_0 . Din comparația teoriei cu experiența s-au obținut următoarele valori pentru E_0 : 19,5 meV pentru ZrSi₂/Si-n, 0,36 eV pentru Au/SrTiO₃, 0,58 eV pentru Ag/GaP, 0,72 eV pentru Pt/ZnS [10]. Prezența stărilor de interfață nu poate explica anomalia T_0 în cazul cînd $E_0 \ll kT$. Valori mici ale lui E_0 au fost observate pentru configurații în care $\mathfrak{S}_m \ll \mathfrak{S}_f$, ceea ce implică $(d\Phi/d \ln \mathfrak{S}_m) \ll \mathfrak{S}_0$

și deci valori mici ale lui T_0 la o temperatură dată, și

$$\frac{q d\Phi}{d\mathcal{E}} = - \frac{E_0}{\mathcal{E} + \mathcal{E}_f} \simeq - \frac{E_0}{\mathcal{E}_f},$$

ceea ce înseamnă curbare foarte mică a benzilor de energie; E_0 dat de ecuația (4.23) nu are în acest caz semnificație fizică. Un model propus care să fie aplicabil pentru explicarea anomaliilor T_0 în orice situație este modelul modificării profilului dopajului și conversiei tipului de conducție a semiconductorului în apropierea contactului cu metalul [9]. În această situație înălțimea barierei de potențial este dată de relația (4.27). Considerind

$$N_a(x) \simeq N_a \left(\frac{x_j}{x} \right)^2, \quad (4.48)$$

se poate scrie în domeniul $x_m < x < x_j$

$$- \mathcal{E}_m \frac{d\Phi_a}{d\mathcal{E}_m} = \frac{q N_a x_j^2}{\epsilon_s \epsilon_0} \left[1 - \frac{x_m}{x_j} \right]^2. \quad (4.49)$$

Având în vedere definiția (4.46) a lui T_0 rezultă că în acest caz condiția găsită experimental ca T_0 să fie independent de T , la curent constant, este îndeplinită de (4.49) când $x_m \ll x_j$. Energia caracteristică E_0 este dată de relația

$$E_0 \simeq \frac{q N_a x_j^2}{\epsilon_s \epsilon_0}. \quad (4.50)$$

Această relație a fost obținută presupunind profilul dopajului dat de ecuația (4.48); pentru alt profil, E_0 are altă expresie și este de așteptat ca valoarea lui să depindă de metoda de preparare a barierei Schottky. Când $E_0 > kT$ nu este posibil să se distingă numai din măsurarea caracteristicii $I-V$ dacă efectul profilului dopajului sau al stărilor de suprafață este preponderent în determinarea anomaliilor T_0 . În afară de efectele studiate, un rol important în barierele subțiri (când semiconductorul este puternic dopat) îl are tunelarea electronilor. Pot să tuneleze electroni de la nivelul Fermi și atunci curentul electric se numește curent tunel sau electroni excitați pe nivele energetice deasupra nivelului Fermi (fig. 4.14). În ultimul caz curentul se numește curent de emisie termoelectronică-tunelare.

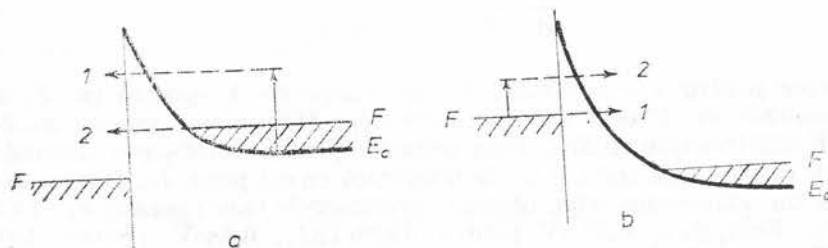


Fig. 4.14. — Curentul tunel (1) și curentul de emisie termoelectronică-tunelare (2) într-o joncțiune metal-semiconductor puternic dopat la polarizare directă (a) și la polarizare inversă (b).

D. Curentul de purtători minoritari

În general în diodele Schottky curentul este transportat de către purtătorii majoritari, contribuția purtătorilor minoritari fiind neglijabilă. Totuși, s-a arătat că la tensiuni directe mari, purtătorii minoritari pot aduce o contribuție de câteva procente la transportul curentului electric. Se definește fracțiunea γ a curentului de purtători minoritari care, de exemplu în cazul semiconductorului de tip n , se scrie

$$\gamma = \frac{j_p}{j_n + j_p} \quad (4.51)$$

Pentru ca γ să aibă o valoare cât mai mică trebuie ca contactul metal-semiconductor să îndeplinească următoarele condiții: (a) concentrația purtătorilor minoritari să fie mică; (b) înălțimea barierei de potențial să fie, de asemenea, mică. Pentru un semiconductor de tip n , valoarea mică a lui $p_n = n_i^2/N_D$ implică N_D mare (adică semiconductor cu rezistivitate mică) și n_i mic (adică semiconductor cu bandă interzisă mare). Înălțimea barierei de potențial trebuie să fie mică astfel ca să nu existe înclinare mare a benzilor de energie (fig. 4.15) ceea ce ar duce la creșterea concentrației golurilor și chiar la inversia tipului de conducție lângă contact. Se arată că la curent mare [12]

$$\gamma \approx \frac{n_i^2}{N_D^2} \frac{j}{b j_s} \quad (4.52)$$

unde b este raportul dintre mobilitatea electronilor și a golurilor. Pentru o diodă Au-Si- n cu $j_s = 5 \cdot 10^{-7}$ A/cm², $N_D = 10^{15}$ cm⁻³, $j = 350$ A/cm², se obține $\gamma = 5\%$. În structura cu strat epitaxial (fig. 4.15) la polarizare directă golurile se deplasează de la stînga la dreapta și întîlnesc bariera $n-n^+$ astfel că are loc stocarea golurilor în regiunea epitaxială cvasineutră. Timpul de stocare a purtătorilor minoritari este dat de relația

$$\tau_s = \frac{\int_{x_1}^{x_2} q p_n(x) dx}{j} \quad (4.53)$$

Pentru structuri Au-Si- n se obțin valori ale lui τ_s mai mici decît o nanosecundă.

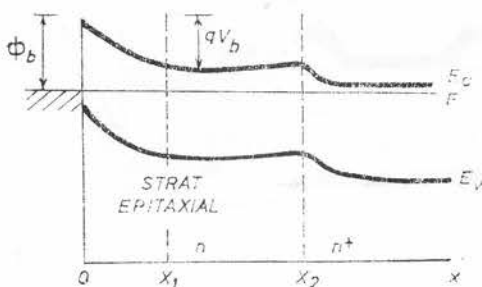


Fig. 4.15. — Diagrama de energie a diodei Schottky cu strat epitaxial.

4.4. Dioda Schottky cu inel de gardă

Pentru ca dioda Schottky să aibă caracteristica curent-tensiune cât mai apropiată de cea ideală (ecuația (4.33)), acesteia i se atașează un inel de gardă. Inelul de gardă constă dintr-o regiune de tip p , de formă inelară, difuzată în stratul epitaxial n . Se formează astfel o joncțiune $p-n$ și pro-

filul dopajului se realizează așa fel ca tensiunea de străpungere să fie mai mare decât cea a contactului meta-semiconductor [13]. Inelul de gardă se introduce pentru a elimina efectul de margine datorat marginilor ascuțite ale contactului metal-semiconductor (fig. 4.16a) unde câmpul electric devine foarte intens ceea ce ar duce la tensiuni de străpungere relativ mici pe caracteristica $I-V$ inversă. În figura 4.17 curbele concordă destul de bine cu cele teoretice: la polarizare directă $n = 1,01$ (ecuația (4.41)) iar la polarizare inversă panta curbei experimentale este $2,47 V^{1/4}$, foarte apropiată de valoarea teoretică $2,52 V^{1/4}$, pentru cazul când se ia în considerare micșorarea barierei datorată forței imagine. Circuitul echivalent al diodei Schottky cu inel de gardă este reprezentat în figura 4.18a în presupunerea că contactul între inelul p și metal este ohmic. Acesta este cazul când regiunea p este puternic dopată și mecanismul de curgere a curentului electric este efectul tunel. Totuși, la tensiuni directe mari joncțiunea p^+n injectează o cantitate mare de purtători minoritari în regiunea n ceea ce limitează în această situație viteza de comutare a structurii datorită efectului de stocare a purtătorilor minoritari. La tensiuni mici acest efect este neglijabil. Eliminarea efectului de stocare se obține prin realizarea unui contact redresor între metal și inelul de gardă. Acest lucru este posibil când regiunea p nu este puternic dopată. Circuitul echivalent este reprezentat în figura 4.18 b și constă din trei diode: dioda Schottky, principală, joncțiunea $p-n$ și dioda Schottky metal-semiconductor de tip p care are sensul de conducție inversat față de cel al diodei Schottky principale (metal-

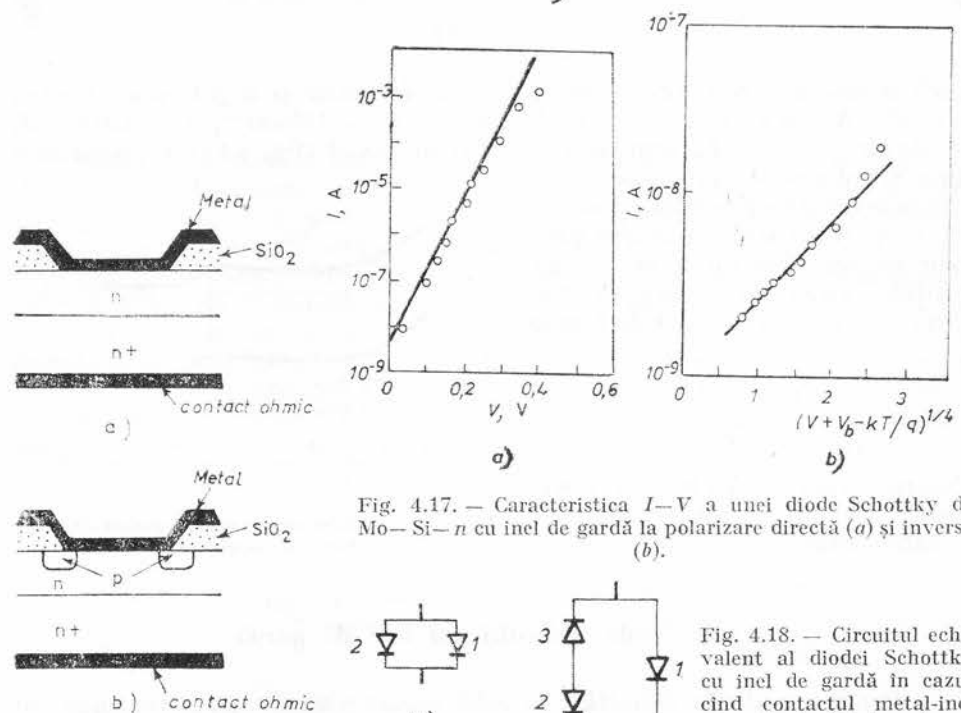


Fig. 4.17. — Caracteristica $I-V$ a unei diode Schottky de Mo—Si— n cu inel de gardă la polarizare directă (a) și inversă (b).

Fig. 4.16. — Dioda Schottky :
a — fără inel de gardă; b —
cu inel de gardă.

Fig. 4.18. — Circuitul echivalent al diodei Schottky cu inel de gardă în cazul când contactul metal-inel este ohmic (a) și redresor (b); 1 — dioda Schottky, 2 — joncțiunea $p-n$, 3 — dioda Schottky metal-inel.

semiconductor- n). La polarizare directă a diodei Schottky principale (și joncțiunii $p-n$) dioda Schottky metal-semiconductor p este polarizată invers astfel că cea mai mare parte de tensiune cade pe aceasta și nu pe joncțiunea $p-n$ (fig. 4.18b) și deci injecția purtătorilor minoritari este diminuată considerabil sau chiar complet.

4.5. Determinarea experimentală a înălțimii barierei contactului metal-semiconductor

A. Măsurarea capacității în funcție de tensiunea aplicată

Înălțimea barierei de potențial se determină din măsurarea capacității structurii metal-semiconductor la polarizare inversă în funcție de tensiunea aplicată. Pentru semiconductorul uniform dopat se obține din relația (4.16)

$$\frac{1}{C^2} = \frac{2}{q\epsilon N_d} (V_b - V),$$

de unde se observă că graficul $(1/C^2) = f(V)$ este o dreaptă care intersectează axa tensiunilor la $V = V_b$ (fig. 4.19), de unde se determină V_b , iar potențialul de contact Φ_b se deduce din relația

$$\Phi_b = V_b + \frac{1}{q} (E_c - F) - \Delta\Phi.$$

Capacitatea diodei se măsoară la diverse tensiuni de polarizare cu o punte RLC de curent alternativ [14].

B. Măsurarea rezistenței diferențiale a diodei

Rezistența diferențială a diodei este definită de relația $R_d \equiv dV/dI$ și având în vedere ecuațiile (4.33) și (4.32) se obține

$$\log R_d = \text{const} + \frac{0,43q}{kT} (\Phi_b - V).$$

Graficul $\log R_d = f(1/T)$ este o dreaptă din panta căreia se determină Φ_b . Pentru trasarea graficului se măsoară rezistența diferențială cu o punte RLC , dioda fiind polarizată la o tensiune directă $V_0 = 50 \text{ mV}$ (de fapt această valoare este determinată și de domeniul de măsură al punții utilizate) care se menține constantă pe tot domeniul de temperatură în care se fac măsurătorile [14]. Din panta dreptei obținute (fig. 4.20) se determină

$$\Phi_b = V_0 + \frac{k}{0,43q} \text{tg}\alpha.$$

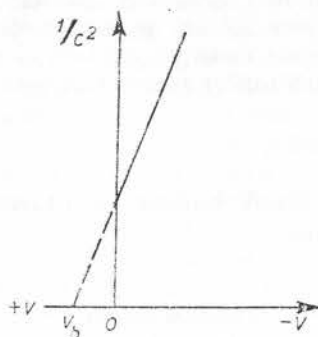


Fig. 4.19. — Graficul $(1/C^2) = f(V)$ la polarizare inversă.

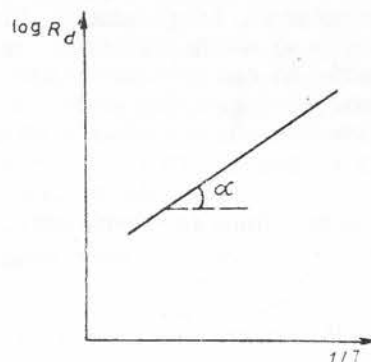


Fig. 4.20. — Rezistența diferențială a diodei în funcție de temperatură.

C. Determinarea curentului de saturație, j_s

Se trasează graficul $\ln j = f(V)$ la polarizare directă (fig. 4.21) și se obține o dreaptă care, extrapolată, intersectează axa curentului la $j = j_s$. Potențialul de contact se determină din relația

$$\Phi_o = \frac{kT}{q} \ln \left(\frac{A^* T^2}{j_s} \right)$$

D. Măsurarea caracteristicilor spectrale

Contactul metal-semiconductor poate fi iluminat din partea dinspre metal sau din partea dinspre semiconductor. În primul caz se zice că iluminarea se face din față iar în al doilea caz din spate. În cazul iluminării din față sînt excitați electroni din metal pe nivele energetice superioare și dacă $h\nu \geq \Phi_o$ aceștia trec în semiconductor (procesul 1 pe fig. 4.22). De asemenea, dacă metalul este suficient de subțire și $h\nu > E_g$ vor fi excitate perechi electron-gol în semiconductor (procesul 2 în fig. 4.22). Curentul de scurtcircuit sau fotocurentul trebuie să aibă o dependență de energia fotonilor $h\nu$ analogă cu aceea a fotocurentului din cazul emisiei din metal în vid. În cazul fotoemisiei electronilor din metale, curentul pe foton absorbit este dat de relația lui Fowler

$$R \begin{cases} \sim (h\nu - q\Phi)^2, & h\nu \geq q\Phi, \\ = 0, & h\nu < q\Phi. \end{cases} \quad (4.54)$$

De fapt această expresie este determinată la $T = 0K$ însă ea este valabilă cu bună aproximație pînă la temperatura camerei dacă lucrul de ieșire (sau înălțimea barierei) nu este mic ($\Phi \gtrsim 0,5eV$) și dacă $(h\nu - \Phi)$ depășește cîtiva kT . Pe de altă parte $h\nu$ nu trebuie să fie mult prea mare față de $q\Phi$ ($h\nu \leq 1,5q\Phi$). Relația parabolică dintre R și $(h\nu - q\Phi)$ se utilizează pentru determinarea lucrului de ieșire din metale și a potențialului de contact metal-semiconductor și metal-izolator [16]. Rădăcina pătrată din R

este reprezentată în funcție de $h\nu$ și porțiunea ei liniară este extrapolată la $R = 0$; intersecția dreptei cu axa $h\nu$ determină pe Φ . În figura 4.23 este reprezentat rezultatul pentru fotoemisia electronilor din crom, de unde

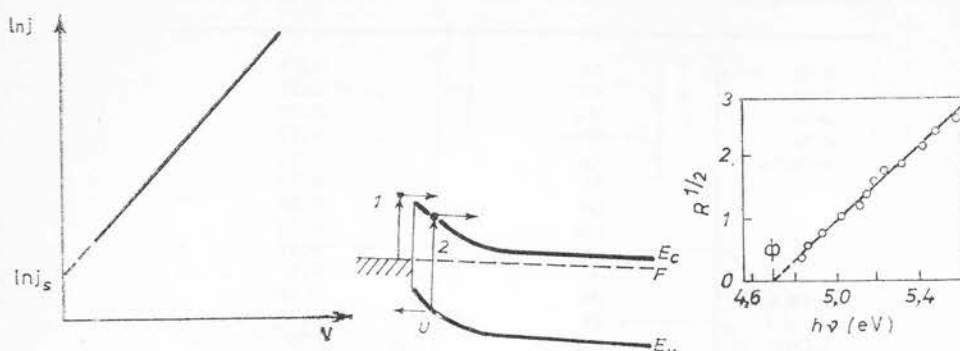


Fig. 4.21. — Caracteristica I - V a diodei Schottky la polarizare directă. Fig. 4.22. — Generarea fotoelectronilor la contactul metal-semiconductor. Fig. 4.23. — Caracteristica spectrală a fotoemisie electronilor din crom.

se determină valoarea lucrului de ieșire $q\Phi = 4,68$ eV. Figurile 4.24 *a* și *b* prezintă rezultatele experimentale pentru diodele Al-GaAs de tip *n* și, respectiv, de tip *p* de unde se determină înălțimile barierelor $q\Phi_{bn} = 0,785$ eV și $q\Phi_{bp} = 0,565$ eV. Se observă că $q\Phi_{bn} + q\Phi_{bp} = 1,35$ eV $\approx E_g(\text{GaAs})$ ceea ce coincide cu rezultatul teoretic că suma energiilor potențialelor de contact metal-semiconductor *n* și metal-semiconductor *p* este egală cu lărgimea benzii interzise a semiconductorului. Asemenea măsurători se utilizează pentru studiul variației potențialului de contact cu temperatura și cu câmpul electric și pentru determinarea lărgimii benzii interzise a semiconductorilor. Considerații teoretice au arătat că dependența spectrală a fotocurentului pentru sistemul semiconductor-vid este descrisă de legea $R \sim (h\nu - q\Phi)^n$, $n = 1,3/2,2$ [16]. În tabela 4.4 se prezintă valorile unor potențiale de contact măsurate la contactul metal-semiconductor.

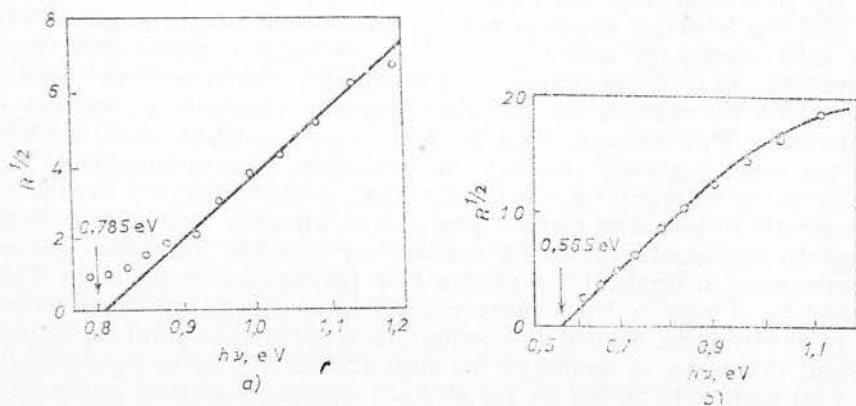


Fig. 4.24. — Caracteristica spectrală a curentului fotoelectric în structuri Al-GaAs-*n* (*a*) și Al-GaAs-*p* (*b*).

Tabelul 4.4

Valorile barierelor Schottky determinate experimental

Semiconductor	Metal	$q\Phi_b$, eV
<i>n</i> -Si	Au	0,79
<i>p</i> -Si	Au	0,25
<i>n</i> -Si	Mo	0,59
<i>n</i> -Si	W	0,67
<i>n</i> -GaAs	Au	0,95
	Pt	0,94
	Be	0,82
	Ag	0,93
	Cu	0,87
	Al	0,8
<i>p</i> -GaAs	Au	0,48
	Pt	0,48
<i>n</i> -CdS	Au	0,8
	Cu	0,35
	Ni	0,45
	Ag	0,58
<i>n</i> -GaP	Pt	0,86
	Cu	1,34
	Al	1,14
	Au	1,34
	Pt	1,52
<i>n</i> -Ge	Mg	1,09
	Ag	1,2
	W	0,48
	Au	0,45

4.6. Structuri cu afinitate electronică negativă

A. Diagrama benzilor de energie la suprafață

Este posibil să se obțină structuri cu afinitate negativă, pentru electroni la suprafață, prin depunerea pe suprafața curată a semiconductorului (de tip *p*) a unui strat dintr-un element electropozitiv sau strate alternative dintr-un element electropozitiv și un element electronegativ. Vom discuta întâi efectul pe care-l produce un element electropozitiv depus pe suprafața unui semiconductor. Elementele electropozitive cedează ușor electronii de valență iar materialele acestor elemente au energie de extracție mică. Prin urmare, dacă se depune pe suprafața unui semiconductor un strat dintr-un element electropozitiv, semiconductorul lângă suprafață se va îmbogăți în electroni. Dacă semiconductorul este de tip *n*, concentrația de electroni primită poate să nu afecteze structura de benzi la suprafața semiconductorului în contact cu metalul. Un asemenea caz este reprezentat în figura 4.25a pentru Si-*n* pe care s-a depus cesiu. Dacă semiconductorul este de tip *p*, concentrația de electroni primită afectează considerabil structura de benzi la suprafața semiconductorului în contact cu metalul și acestea se înclină în jos (fig. 4.25b). Afinitatea $q\chi$ a siliciului acoperit cu cesiu este în jur de 1,4 eV, atât pentru Si-*p* cât și pentru Si-*n*. Însă, așa cum reiese din figura 4.25b, afinitatea efectivă $q\chi_{ef}$ (măsurată față de minimul benzii de conducție din volumul semiconductorului) este

mai mică decât $q\chi$ în semiconductorul de tip p . În semiconductorul p puternic dopat, cu nivelul Fermi foarte apropiat de banda de valență, înclinarea benzilor poate deveni aproximativ egală cu E_g astfel că se poate

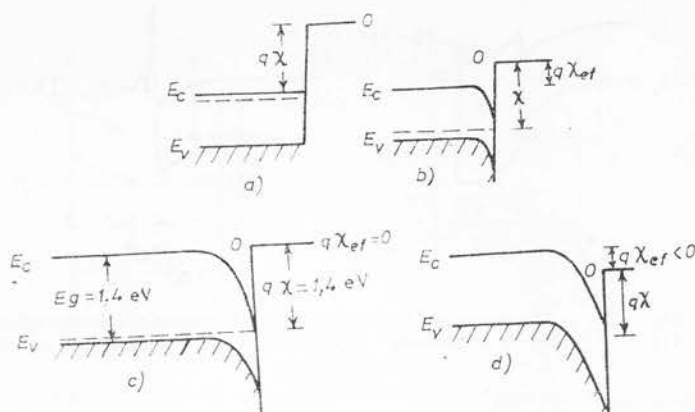


Fig. 4.25. — Diagrama energetică a unor materiale semiconductoare acoperite cu cesiu : a — Si-n ; b — Si-p ; c — GaAs-p ; d — GaP-p.

scrie $q\chi_{ef} \approx q\chi - E_g$. Pentru Si-p, $q\chi_{ef} = 1,4 - 1,1 = 0,3$ eV. GaAs acoperit cu Cs are $q\chi = 1,4$ eV, astfel că pentru GaAs-p puternic dopat, acoperit cu Cs, se obține $q\chi_{ef} = 1,4 - 1,4 = 0$, adică afinitatea efectivă pentru electroni este zero (fig. 4.25 b). Este de așteptat ca pentru semiconductoarele cu bandă interzisă mai mare decât GaAs acoperite cu cesiu să se obțină afinitate electronică efectivă negativă. Un asemenea caz este reprezentat în figura 4.25 c, pentru GaP de tip p (are $E_g = 2,24$ eV și $q\chi = 1,4$ eV la 300K) acoperit cu cesiu [17].

Cînd se depun strate monoatomice alternative de cesiu și oxigen se obține afinitate electronică negativă și pentru Si-p iar lucrul de ieșire se reduce la valoarea 0,9eV [18]. Nu există nici o evidență experimentală a existenței unei bariere la interfața Si : Cs-O. Se formează un strat de dipol Cs-O (prin depunerea unui strat monoatomic de cesiu și apoi a unui strat monoatomic de oxigen) de grosime $\sim 3\text{\AA}$ pe suprafața siliciului, prin care probabilitatea de tunelare a electronilor este aproximativ egală cu unitatea. Fenomenul se bazează pe curbarea benzilor și efectul Schottky, așa cum s-a discutat în paragraful 4.1. Se presupune că la suprafața (100) a siliciului atomii se aranjează în șiruri adiacente separate prin șanțuri. Atomii de cesiu adsorbiți se așează deasupra șirurilor iar atomii de oxigen se așează în șanțurile dintre ele, formîndu-se astfel un strat de dipol ordonat [16]. Pentru explicarea obținerii afinității electronice negative în cazul depunerii straturilor de Cs-O pe suprafața semiconductoarelor III-V există două modele reprezentate în figura 4.26 a și b. Primul este modelul heterojuncțiune în care stratul de Cs-O are caracteristicile semiconductorului Cs_2O de tip n . Apare astfel o barieră la interfața Cs_2O -semiconductor III-V. Electronii generați în semiconductorul III-V pot fie să o escaladeze fie să tuneleze prin această barieră și ajunși în Cs_2O pot să escaladeze barierea acestuia (de afinitate pozitivă egală cu 0,4—0,6eV) ca electroni „fierbînti”. Acest model care presupune existența unei bariere de potențial la interfață concordă cu datele experimentale, însă este îndo-

ielnic că un strat monoatomic de Cs-O poate avea o structură de benzi de energie ca volumul semiconductorului Cs_2O . Al doilea model, reprezentat în figura 4.26a, este cel al unui dipol dublu de Cs-O care se formează pe

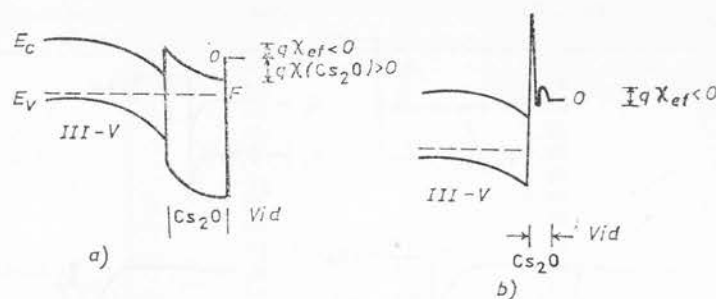


Fig. 4.26. — Diagrama de benzi de energie la suprafața semiconductor III-V Cs-O: a — modelul heterojuncțiune. b — modelul cu dipol dublu.

suprafața semiconductorului și care determină îngustarea și micșorarea barierei. Grosimea stratului de dipol este de aproximativ 8 Å astfel că probabilitatea de tunelare a electronilor este mai mică decât unitatea, existind o barieră efectivă deasupra nivelului vidului (fig. 4.26b). Prin urmare, în ambele modele există o barieră pentru electronii care ies din semiconductorul III-V ceea ce concordă cu rezultatele experimentale. Reamintim că acest al doilea model este aplicabil și în cazul structurilor din Si-p cu afinitate electronică negativă, însă de această dată, așa cum s-a arătat mai sus, datorită modulării în spațiul cu două dimensiuni a suprafeței (100) a siliciului, grosimea stratului de dipol este de aproximativ 3 Å, valoare destul de mică, astfel că probabilitatea de tunelare prin el este practic egală cu unitatea. Înainte de a depune Cs, O, sau alte elemente, suprafața semiconductorului trebuie să fie bine curățată. Suprafețele semiconductorilor III-V se curăță în mod obișnuit prin tratare termică în vid. Temperatura de tratament depinde de material; oricum aceasta trebuie să fie mai mică decât temperatura sa de descompunere. Pentru siliciu suprafețele curate se obțin prin bombardare cu ioni de argon și tratament în vid la temperatura de 1 000—1 100°C. Cs și O se depun în strate monoatomice în unele cazuri succesiv iar în altele în același timp. S-au mai depus strate de Rb-O sau Cs-F ori, cum am amintit la început, numai de Cs. Printre materialele cu afinitate electronică negativă obținute sînt și următoarele: GaAs:Cs, In(As, P):Cs-O, GaP:Cs, GaAs:Cs-O, (In, Ga)As:Cs-O, InP:Cs-O, Ga(As, P):Cs, GaAs:Cs-F, Ga(As, Sb):Cs-O, Si:Cs-O, In(As, P):Rb-O, (In, Ga, As, P):Cs-O, Si:Rb-O, (Ga, Al)As:Cs-O, GaN:Cs-O etc.

B. Probabilitatea de ieșire a electronilor din material

Materialele cu afinitate electronică negativă se utilizează în general ca emitori de electroni: fotocatozi, emitori de electroni secundari în fotomultiplicatori, catozi reci. Există trei procese de bază la fotoemisie: (1) excitarea internă; (2) deplasarea electronilor la suprafață, (3) ieșirea în vid. O comparație între fotocatodul obișnuit și cel cu afinitate electronică negativă este reprezentată în figura 4.27. În primul caz (fig. 4.27 a) elec-

tronii excitați trebuie să aibă energie egală sau mai mare decât $q\chi + E_g$ pentru a reuși să iasă din metal. Electronii excitați se deplasează spre suprafață și în acest proces pierd din energie aproximativ 50 meV pe un

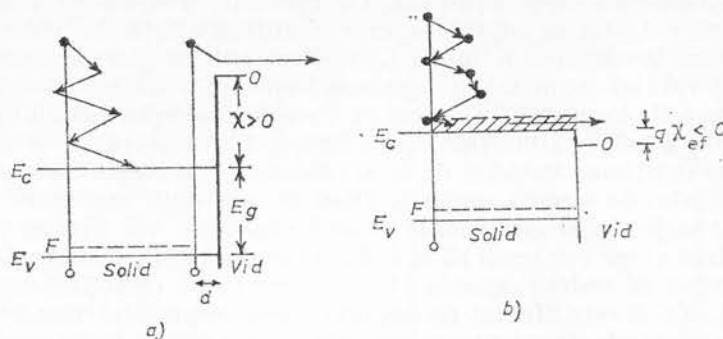


Fig. 4.27. — Diagrama de benzi de energie care ilustrează ieșirea electronilor excitați într-un material cu afinitate pozitivă (a) și într-unul cu afinitate negativă (b).

act de ciocnire, cu drumul liber mijlociu între două ciocniri de 25–50 Å. Electronii pierd energia de aproximativ 1 eV pe o adâncime de 100 Å în procesul a 20 ciocniri. În catozii convenționali s-a găsit empiric că distanța pe care o parcurg electronii excitați până se termalizează (adică ajung în minimul benzii de conducție) este de câteva sute de Å. Această distanță se numește adâncime de scăpare sau de ieșire. Evident că ea depinde de energia radiației, de natura procesului de interacție și de ciocnire. Electronii termalizați au o lungime de difuzie de câțiva μm , mult mai mare decât adâncimea de ieșire, astfel că au timp suficient să iasă afară din semiconductorul cu afinitate electronică negativă unde așa cum se observă în figura 4.27b nu întâmpină nici o barieră. Dimpotrivă, în cazul din figura 4.27a, electronii termalizați nu mai pot ieși afară. De aici rezultă avantajul materialelor cu afinitate electronică negativă. Deoarece pot să iasă venind la suprafață de la o adâncime mare, crește eficiența emisiei în domeniul spectral unde absorbția este slabă în comparație cu celelalte materiale. În realitate, diagrama de benzi de energie nu arată ca în figura 4.27b ci ca în figura 4.28. Lărgimea stratului de epuizare (unde benzile sînt înclinate) este dată de relația

$$W = \left(\frac{2\psi_s \epsilon}{N_a} \right)^{1/2}, \quad (4.55)$$

unde $q\psi_s$ este înclinarea benzilor, N_a — concentrația impurităților acceptoare și ϵ constanta dielectrică a semiconductorului. Pentru $N_a = 10^{18} - 10^{19} \text{ cm}^{-3}$ se obține în emitorii obișnuiți, $W = 0,01 \mu\text{m}$. Electronii excitați care ajung în regiunea de sarcină spațială în deplasarea lor spre suprafață sînt

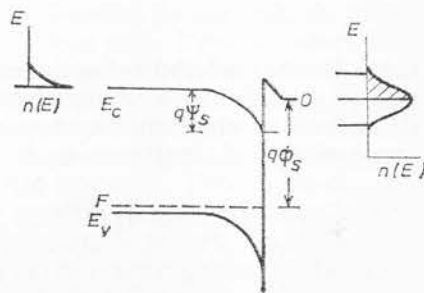


Fig. 4.28. — Diagrama de benzi de energie și distribuția electronilor înainte de a fi injectați în regiunea benzilor înclinate (stînga) și cînd se află în această regiune (dreapta).

accelerați de către câmpul electric intern din această regiune. Se definește ca probabilitate de ieșire, B , probabilitatea ca electronul ajuns în regiunea de sarcină spațială să o traverseze și să iasă din material. Electronii accelerați în regiunea de sarcină spațială își pierd energia prin ciocnire inelastică electron-fonon. Ca rezultat, distribuția energiei electronilor care ajung la suprafață este modificată față de volum și arată ca în partea din dreapta a figurii 4.28. Electronii cu energia deasupra nivelului 0 al vidului (cuprinși în regiunea hașurată a distribuției) vor tunela prin bariera de la suprafață iar cei cu energia deasupra valorii barierei vor trece peste aceasta. Din examinarea figurii 4.28 rezultă că B depinde de profilul și înălțimea barierei de la suprafață și descrește cu creșterea lărgimii stratului de sarcină spațială. Dacă W este mult mai mare decât drumul liber mijlociu al electronilor atunci electronii vor ajunge termalizați la suprafață și nu vor reuși să iasă din material; prin urmare B se micșorează. Având în vedere ecuația (4.55) B crește cu creșterea concentrației de dopaj, N_a . B este afectat de contaminarea suprafeței materialului. De asemenea, depinde de orientarea suprafeței cristalului. De exemplu, pentru Si cu suprafețele (110) și (111) acoperite cu Cs-O nu se realizează condițiile de afinitate electronică negativă și B este zero în timp ce pentru suprafața (100) tratată în aceleași condiții se obține $B = 0,2$. Pentru suprafața (111) a GaAs acoperită cu Cs-O s-a obținut $B = 0,58$ [20].

4.7. Fotocatozi cu afinitate electronică negativă

Funcționează în două moduri: (1) prin reflexie, când lumina este incidentă pe suprafața catod-vid și (2) prin transmisie, când lumina cade pe substratul sau spatele catodului. Primul mod de funcționare se utilizează în fotodiode și fotomultiplicatori iar cel de al doilea la tuburile de televiziune.

A. Modul de funcționare prin reflexie

Eficiența cuantică de emisie, numărul de electroni pe foton incident, care ies din material, este dată de expresia

$$\eta(\lambda) = \frac{B(1 - R)}{1 + 1/\alpha L}, \quad (4.56)$$

unde B este probabilitatea de ieșire a electronilor din material, R — coeficientul de reflexie, α — coeficientul de absorbție a luminii și L — lungimea de difuzie a electronilor. Această expresie se găsește înmulțind soluția ecuației de continuitate cu B

$$D \frac{\partial^2 n}{\partial x^2} - \frac{n}{\tau} + G(x) = \frac{\partial n}{\partial t}, \quad (4.57)$$

Pentru găsirea soluției ecuației (4.57) se presupune: $G(x) = \alpha e^{-\alpha x} \cdot (1 - R)$, catodul are grosimea infinită și se neglijează absorbția pe purtători liberi. Pentru $\alpha L \ll 1$, relația (4.56) se simplifică

$$\eta(\lambda) \simeq B(1 - R)\alpha L, \quad (4.58)$$

de unde se observă că pentru anumite caracteristici ale catodului, eficiența cuantică este proporțională cu produsul αL . În figura 4.29 este reprezentată $\eta(\lambda)$ [21]. Eficiența cuantică crește cu creșterea diferenței $(E_g - q\Phi)$, ceea ce rezultă și din figură, pentru compusul $\text{In}_x\text{Ga}_{1-x}\text{As}$ care are banda interzisă cu atât mai mare cu cât x este mai mic. În multe situații este util să se optimizeze eficiența cuantică pentru o anumită lungime de undă. De exemplu, prezintă interes lungimea de undă de $1,06 \mu\text{m}$ a laserului YAG : Nd ; materialele folosite pentru detecția acestei radiații sunt $\text{In}_x\text{Ga}_{1-x}\text{As}$, $\text{InAs}_x\text{P}_{1-x}$ și $\text{In}_x\text{Ga}_{1-x}\text{As}_y\text{P}_{1-y}$ cu eficiențele cuantice de 0,031, 0,055 și, respectiv, 0,042 [22]. Pentru ultimul material, notat mai sus, acoperit cu Cs-O s-a obținut la $1,06 \mu\text{m}$, η mai mare de 0,076. O altă mărime caracteristică a fotocatozilor este sensibilitatea spectrală care se măsoară în $\mu\text{A}/\text{lm}$. Cea mai mare sensibilitate raportată este de $2\,060 \mu\text{A}/\text{lm}$ pentru fotocatozi din GaAs. Curentul de întuneric pentru compuși III-V cu afinitate electronică negativă este foarte mic, de ordinul $10^{-16}\text{A}/\text{cm}^2$. În fotocatozii cu afinitate electronică negativă condițiile de stabilitate pentru funcționare îndelungată impun o valoare maximă a curentului de ieșire de $0,1 \mu\text{A}$, în timp ce în fotocatozii convenționali limita este mult mai mare, $100 \mu\text{A}$; această limitare este condiționată, printre altele, de pierderea cesiului de pe catod.

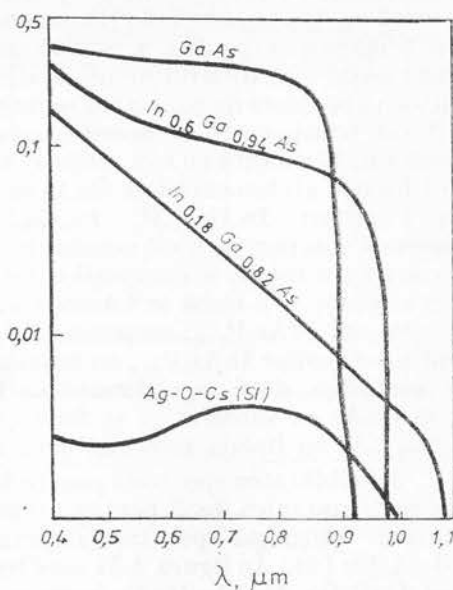


Fig. 4.29. — Eficiența cuantică în funcție de lungimea de undă.

B. Modul de funcționare prin transmisie

În acest caz eficiența cuantică are o expresie mai complicată [23]. Ea depinde de coeficientul de reflexie a luminii la interfața metal-vid, de viteza, s , de recombinare la suprafață a purtătorilor de sarcină, de grosimea fotocatodului precum și de L și α (notate mai sus). Pentru valori date ale lui L , s și α există o grosime, d_m , optimă a fotocatodului pentru care η are valoarea maximă. De exemplu, în GaAs, $d_m \approx 1 \mu\text{m}$. Pentru $d \leq d_m$, η crește pe cind pentru $d \gg d_m$, η scade cu creșterea coeficientului de absorbție, α . Pentru $d \leq d_m$, cu creșterea lui α crește numărul de fotoelectroni excitați dintre care cei mai mulți pot ieși din material. Pentru $d \gg d_m$, cu creșterea lui α tot mai puțini electroni sînt generați lângă suprafața cu afinitate electronică negativă (notăm de exemplu că pentru GaAs la $\lambda = 0,85 \mu\text{m}$, $1/\alpha$ este $1 \mu\text{m}$) și pot ieși afară. Pentru orice combinație de valori ale α , s și d , η crește cu creșterea lungimii L de difuzie. De asemenea, η scade cu creșterea vitezei, s , de recombinare la suprafață. Fabricarea catozilor care lucrează prin reflexie este relativ simplă deoarece grosimea catodului nu este critică. Fabricarea catozilor care lucrează prin transmisie este mai dificilă deoarece grosimea lor este în domeniul $1-2 \mu\text{m}$ și se obțin

prin creștere epitaxială pe suporti din monocristale transparente. Astfel de suporti sînt safirul (Al_2O_3) și spinelul MgAl_2O_4 . De asemenea, pentru lumina vizibilă se folosește ca substrat transparent GaP, care este transparent pentru $\lambda \geq 0,55 \mu\text{m}$, iar pentru domeniul infraroșu se poate folosi ca substrat GaAs care este transparent pentru $\lambda > 0,9 \mu\text{m}$ sau InP care este transparent pentru $\lambda > 0,95 \mu\text{m}$. În general constanta de rețea a substratului este diferită de cea a stratului activ al catodului și pentru a realiza o apropiere de constante se interpune între substrat și stratul catodic un strat transparent de acord care să aibă constanta rețelei egală cu a catodului. Structura cu trei straturi este reprezentată în figura 4.30. Dacă se utilizează un fotocatod de GaAs se poate folosi ca substrat unul din compuşii ternari $\text{In}_x\text{Ga}_{1-x}\text{P}$, $\text{In}_x\text{Ga}_{1-x}\text{As}_y\text{P}_{1-y}$, $\text{In}_x\text{Al}_{1-x}\text{As}_y\text{P}_y$ etc., cu asemenea compoziție încît constanta rețelei să coincidă cu a GaAs (Notăm că constanta rețelei a compuşilor ternari și cuaternari variază cu compoziția x (și y)) [4]. Dacă se folosește ca fotocatod pentru lungimea de undă de $1,06 \mu\text{m}$, $\text{InAs}_x\text{P}_{1-x}$, se pornește de la substratul InP și se folosește ca strat intermediar $\text{InAs}_x\text{P}_{1-x}$ cu banda interzisă ceva mai mare de $1,17\text{eV}$. De asemenea, dacă se utilizează ca fotocatod $\text{In}_x\text{Ga}_{1-x}\text{As}$ se poate porni de la GaAs ca substrat și se folosește ca strat intermediar un strat de $\text{In}_x\text{Ga}_{1-x}\text{As}$ cu banda interzisă ceva mai mare de $1,17\text{eV}$.

Sensibilitatea spectrală pentru fotocatozii care lucrează în transmisie este ceva mai mică decît pentru cei care lucrează în reflexie. Sensibilitatea maximă obținută pentru structura $\text{GaP}/\text{GaAs}_x\text{P}_{1-x}/\text{GaAs}$ este de $350 \mu\text{A}/\text{lm}$ [24]. În figura 4.31 este reprezentată eficiența cuantică a structurii $\text{GaP}/\text{Ga}_x\text{Al}_{1-x}\text{As}/\text{GaAs}$ funcționînd în transmisie în comparație cu cazul cînd funcționează în reflexie (stratul activ este GaAs); sensibilitatea structurii la lumină albă este $320 \mu\text{A}/\text{lm}$.

C. Aplicații în televiziune

Fotocatozii care lucrează în transmisie se folosesc în tuburile de imagine. Catodul detectează semnalul luminos de intrare și convertește imaginea optică într-o imagine fotoelectrică. În timpul conversiei semnalului luminos în semnal electronic se poate produce o degradare a imaginii în fotocatod. Legat de aceasta, o caracteristică importantă a fotocatodului utilizat în tuburile de imagine este rezoluția spațială. O măsură a rezoluției spațiale este funcția de modulare de transfer FMT definită prin relația

$$\text{FMT}(\nu_s) = \frac{I_{\max} - I_{\min}}{I_{\max} + I_{\min}},$$

unde I_{\max} și I_{\min} sînt valorile maximă și, respectiv, minimă ale semnalului măsurate în punctul dat. Rezoluția spațială limită este definită ca frecvența ν_l pentru care $\text{FMT}(\nu_l) = 0,03$. Funcția de modulare de transfer depinde de frecvența spațială ν_s și de caracteristicile catodului. Această dependență este determinată de difuzia laterală a fotoelectronilor. Cu creșterea ν_s crește gradientul concentrației electronilor în interiorul catodului și deci crește și curentul de difuzie laterală ceea ce duce la micșorarea FMT. O asemenea dependență este reprezentată în figura 4.32 pentru patru combinații ale lui α și L și $d = 1 \mu\text{m}$, $s = 0$. Sînt notate pe figură și valorile lui η pentru $B = 1$. În tuburile de imagine focalizarea electroni-

lor care merg de la catod la anod se face electrostatic. Există două sisteme de construcție a tubului : sistemul de inversiune și sistemul de focalizare de apropiere. În structura de inversiune catodul și anodul sînt sfere concen-

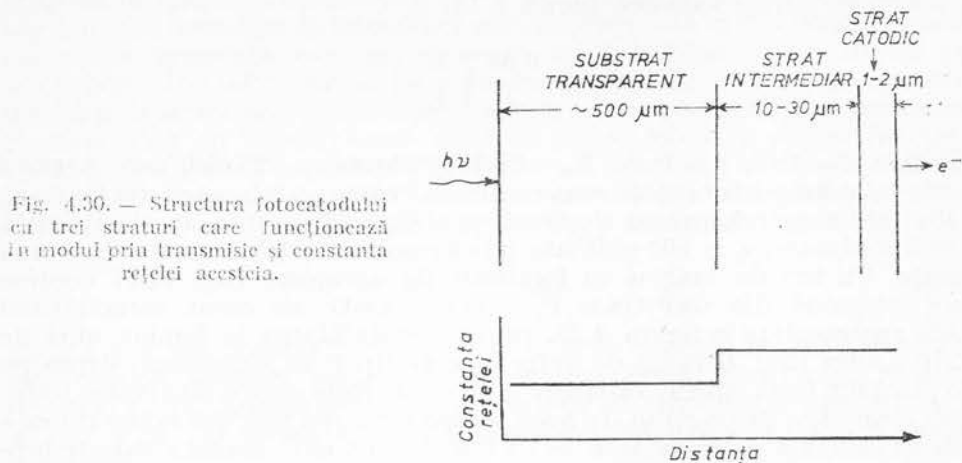


Fig. 4.30. — Structura fotocatodului cu trei straturi care funcționează în modul prin transmisie și constanta rețelei acestuia.

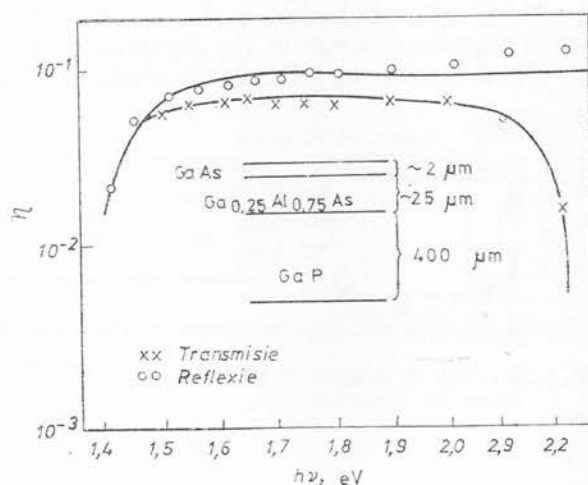


Fig. 4.31. — Eficiența cuantică a structurii GaP/Ga_xAl_{1-x}As/GaAs.

trice. Fotelectronii trec printr-un orificiu în anod și sînt focalizați pe o țintă plană. Imaginea fotoelectrică de la catod este inversată la anod. La acest tip de structură dificultatea apare la realizarea fotocatozilor III-V curbăți. Tubul de imagine cu focalizare de apropiere este simplu și compact, catodul și anodul sînt plăci plane separate între ele printr-o distanță d de cîtiva mm. Între catod și anod se aplică un potențial V de accelerare, astfel ca intensitatea maximă a cîmpului să fie de 40kV/cm. Anodul poate fi un multiplicator de electroni, un ecran de fosfor sau o țintă Vidicon din siliciu. În această structură, care are catodul plan, pot fi folosiți fotocatozi cu afinitate electronică negativă care lucrează prin transmisie [26]. Funcția de modulare de transfer, pentru structura cu focalizare de apropiere este dată de expresia [27]

$$\text{FMT}(\nu_s) = \exp[-12(E_m/V)(\nu_s d)^2],$$

unde E_m este energia maximă a electronilor emiși, ν_s se măsoară în cicluri pe unitate de lungime (de obicei ca unitate de lungime se folosește mm), FMT este o măsură a rezoluției sistemului. Pentru rezoluția limită $FMT = 0,03$ se obține valoarea limită a lui ν_s

$$\nu_l = \frac{0,54}{d} \left(\frac{V}{E_m} \right)^{1/2}.$$

Pentru $V = 4\text{ kV}$, $d = 1\text{ mm}$, $E_m = 2\text{ eV}$ se obține $\nu_l = 25\text{ cicluri/mm}$. Aceasta este valoarea pentru catodii convenționali. Pentru un fotocatod din GaAs cu afinitate negativă, pentru electroni, se obține o frecvență spațială limită mult mai mare, $\nu_l \approx 900\text{ cicluri/mm}$, adică rezoluția sistemului este mult mai mare. Un tub de imagine cu focalizare de apropiere (fig. 4.32) conține un fotocatod din $\text{GaP/GaAs}_x\text{P}_{1-x}/\text{GaAs}:\text{Cs-O}$ ale cărui caracteristici sînt reprezentate în figura 4.33, pentru sensibilitatea la lumină albă de $270\text{ }\mu\text{A/lm}$ [28]. Ecranul de fosfor este de tip P-20 aluminizat, depus pe o placă din fibră optică. Tubul are și un set de foale pentru eliminarea fosforului care iese de pe ecran. În acest sistem rezoluția maximă măsurată este de 45 cicluri/mm și are loc la $V = 7\text{ kV}$ și $d = 1,5\text{ mm}$. Această valoare este mult mai mică decît cea teoretică datorită următoarelor cauze: (a) lărgirea distribuției unghiulare a electronilor care ies din catod datorită rugozității suprafeței acestuia, (b) diminuarea fluxului luminos datorită reflexiei pe catod; (c) reflexia electronilor pe anod.

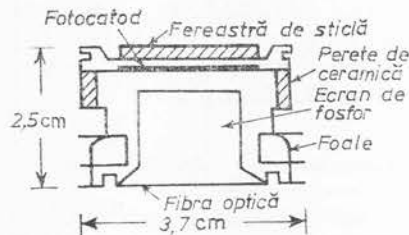


Fig. 4.32. — Tub de imagine cu focalizare de apropiere.

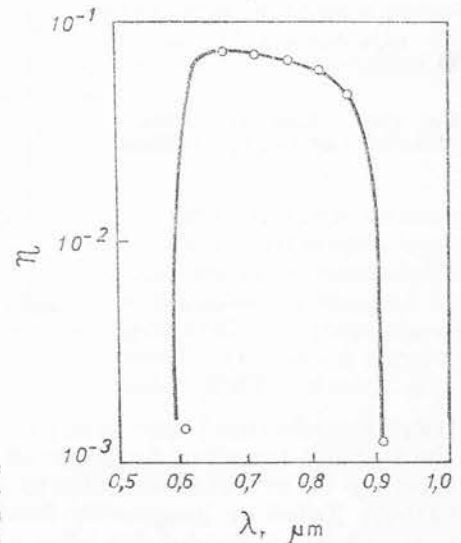


Fig. 4.33. — Eficiența cuantică în funcție de lungimea de undă pentru fotocatodul $\text{GaP/GaAs}_x\text{P}_{1-x}/\text{GaAs}:\text{Cs-O}$ folosit în tubul de imagine prezentat în figura 4.32.

4.8. Emitori de electroni secundari cu afinitate electronică negativă utilizați în fotomultiplificatori

Ei funcționează, ca și fotocatozii, în două moduri: prin reflexie și prin transmisie. În modul de funcționare prin reflexie, electronii primari pătrund prin suprafața cu afinitate electronică negativă, iar în celălalt caz prin suprafața opusă acesteia. În ambele cazuri electronii secundari

ies prin suprafața cu afinitate electronică negativă. Pentru emitorii care funcționează în reflexie nu există o limitare a grosimii, pe cînd pentru cei care funcționează în transmisie grosimea este limitată pînă la valoarea lungimii de difuzie a electronilor ($3 \div 5 \mu\text{m}$ pentru GaAs și $3 \div 10 \mu\text{m}$ pentru Si). Spre deosebire de fotocatozii care funcționează în transmisie, catozii de emisie secundară care funcționează în transmisie nu pot fi puși pe alți suporti. În GaP lungimea de difuzie a electronilor este de aproximativ $0,2 \mu\text{m}$ și deoarece este dificil să se realizeze un monocristal de o asemenea grosime (fără alt suport) acest material nu se folosește pentru funcționarea în transmisie. Catozii cu Si și GaAs pot funcționa în ambele moduri. Fascicolul primar de electroni poate pătrunde în material pînă la o adîncime R care depinde de energia inițială, E_i , a fascicolului astfel

$$R = aE_i^b(\mu\text{m}), \quad (4.59)$$

unde a și b sînt constante de material și E_i se măsoară în keV. Dacă E_p este energia necesară pentru generarea unei perechi electron-gol atunci, numărul n_s de electroni secundari generați de electronul cu energia primară E_i este E_i/E_p . În tabela 4.5 sînt date valorile lui a , b și E_p pentru unele materiale

Tabela 4.5

Parametrii a , b și E_p

Materialul	a , μm	b	E_p , eV/pereche
Si	0,02	1,65	3,6
GaP	0,009	2	6,55
GaAs	0,027	1,46	4,6

Funcția de generare a electronilor secundari pe unitatea de lungime se scrie

$$G(x) = \frac{E_i}{E_p R}. \quad (4.60)$$

Introducînd această expresie în relația (4.57) se găsește numărul de electroni secundari generați de electronul incident (primar) pe adîncimea de pătrundere, R , care înmulțit cu B (probabilitatea de ieșire din material) ne dă raportul de emisie secundară δ_R

$$\delta_R = \frac{BE_i L}{E_p R} [1 - \exp(-R/L)] \quad (4.61)$$

în cazul funcționării prin reflexie. În cazul funcționării prin transmisie, δ_T are o expresie mai complicată. Un exemplu este reprezentat în figura 4.34; curba teoretică este calculată pentru $B = 0,33$, $L = 0,2 \mu\text{m}$, $a = 0,0095 \mu\text{m}$, $b = 2$. Maximul lui δ_R la $E_i = 5 \text{ keV}$ se datorează valorii mici a lungimii de difuzie. Alt exemplu este reprezentat în figura 4.35, pentru GaAs prin reflexie și prin transmisie. Grosimea probei folosite

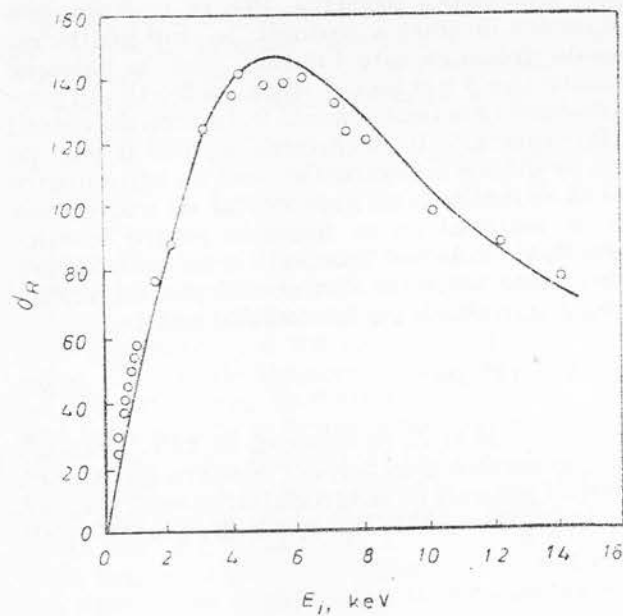


Fig. 4.34. — Raportul de emisie secundară pentru GaP acoperit cu cesiu în funcție de energia electronului primar.

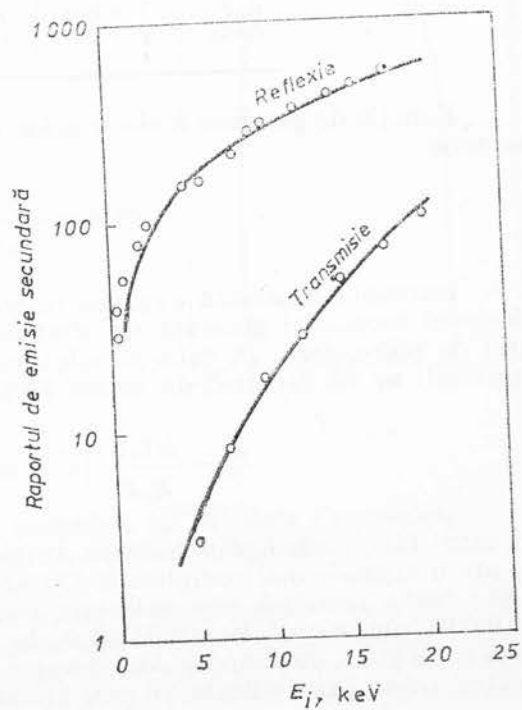


Fig. 4.35. — Raportul de emisie secundară a electronilor în GaAs.

pentru transmisie este $3,5 \mu\text{m}$. Alte date utilizate pentru trasarea curbelor teoretice, care coincid destul de bine cu cele experimentale, sînt: $B = 0,18$, $L = 3 \mu\text{m}$, $d = 3,5 \mu\text{m}$, $s = \infty$. Nu se observă maxim în δ_R deoarece lungimea de difuzie este mai mare decît adîncimea de pătrundere pentru energia maximă utilizată de 20keV , $R(20\text{keV}) = 2,1 \mu\text{m}$. Emitorii de electroni secundari se folosesc ca dinode în fotomultiplicatori. Printre caracteristicile importante sînt rezoluția spațială și rezoluția temporală. Rezoluția limită v_l este de aproximativ 100 cicli/mm iar timpul de răspuns (timpul în care numărul de electroni emiși atinge valoarea maximă) al catodilor cu afinitate electronică negativă este mai mic decît timpul de viață a purtătorilor de sarcină; $t_p = 10\text{ns}$ în Si și 150ps în GaAs. În fotomultiplicatorii comerciali se utilizează de obicei dinode din GaP, deoarece au următoarele avantaje: (1) raport mare de emisie și zgomot mic; (2) datorită raportului mare de emisie este necesar un număr mai mic de dinode decît în cazul altor materiale, pentru numărarea fotoelectronilor; (3) electronii emiși sînt distribuiți pe un interval îngust de energie ceea ce face ca fluctuațiile în timpul de zbor să fie mici [30]. Pentru a distinge semnalele de ieșire (pulsurile) corespunzătoare la doi electroni care vin unul după altul este necesar ca prima dinodă să aibă un raport de emisie secundară destul de mare; pentru a distinge între electronii n și $n + 1$, cu n mai mare decît unitatea, este necesar un raport de emisie mai mare decît 20. Folosind prima dinodă din GaP s-au putut obține pulsuri de ieșire distincte pentru pulsuri de fotoelectroni de intrare conținînd 1, 2, 3, 4 și 5 fotoelectroni (fig. 4.36). Interesant de observat este că rezoluția înălțimii pulsului exprimată prin raportul dintre lărgimea pulsului la jumătate din valoarea maximă și lărgimea sa totală este ceva mai mare decît în cazul unei distribuții Gauss; efectul se atribuie neomogenităților suprafeței dinodei. Cu toate acestea, fotomultiplicatorii cu toate dinodele din GaP au timpul de creștere și

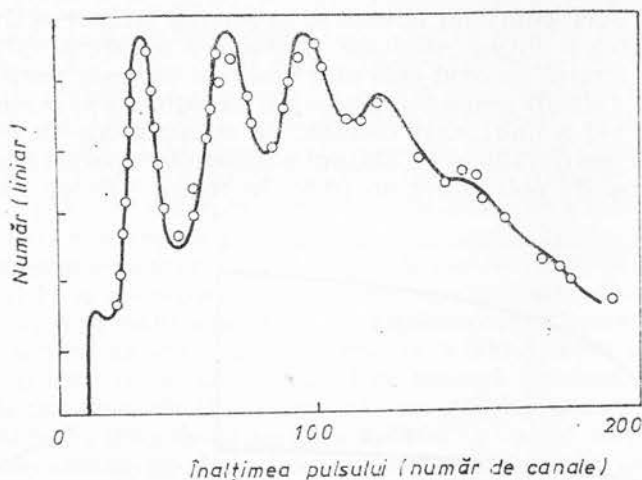


Fig. 4.36. — Spectrul înălțimii pulsului cu maxime corespunzătoare la 1,2 pînă la 5 fotoelectroni.

lărgimea pulsului excelente în comparație cu alte materiale. Fotomultiplicatorii cu 5 dinode din GaP au timpul de creștere de 800ps iar cei cu 3 dinode de 300ps . Totuși, în fotomultiplicatorul cu mai puține dinode, și

deci cu raportul total de emisie mai mic, nu se poate observa pulsul dat de un singur fotoelectron. Fotomultiplicatorii cu prima dinodă din GaP și următoarele 11 din Cu-Be-O au timpul de creștere de 1,8 ns. În concluzie, fotomultiplicatorii cu catodi cu afinitate electronică negativă se pot utiliza ca numărători de fotoni și au astfel mari aplicații în spectroscopie.

4.9. Emitori de electroni cu catod rece

Sînt joncțiuni $p-n$ în care suprafața regiunii p are afinitate electronică negativă. La polarizare directă electronii din regiunea n sînt injectați în regiunea p prin care difuzează și ies în afară. Este evident că pentru ca eficiența dispozitivului să fie mare este necesar ca grosimea regiunii p să fie mai mică decît lungimea de difuzie a electronilor. Se utilizează mai mult catodul rece din siliciu avînd în vedere printre alte avantaje și tehnologia dezvoltată a dispozitivelor din siliciu (fig. 4.37). Pe o plăcuță de

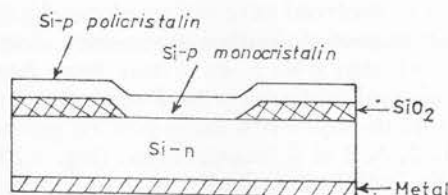


Fig. 4.37. — Structura catodului rece din siliciu cu afinitate electronică negativă.

siliciu de tip n cu suprafața orientată după (100) se crește un strat de SiO_2 . În stratul de bioxid de siliciu se decupează o fereastră, după metodele cunoscute [4], în care se crește epitaxial un strat de siliciu p monocristalin de grosime egală cu $2\mu\text{m}$. Diametrul ferestrei este în domeniul $25 : 250\mu\text{m}$. Pe suprafața p , cît cuprinde fereastra, se depune stratul activ (de exemplu Cs-O) pentru a obține afinitate electronică negativă. Siliciul care se depune peste stratul de oxid este policristalin și servește pentru contactul cu joncțiunea. Celălalt contact al joncțiunii (la regiunea n) se realizează prin depunerea în vid a unui strat metalic, de exemplu Au-Sb (cu 0,1 %Sb). Pentru catodii reci din siliciu s-a obținut o eficiență (raportul dintre curentul de emisie și cel de polarizare) de 10 %. În figura 4.38 este reprezentată

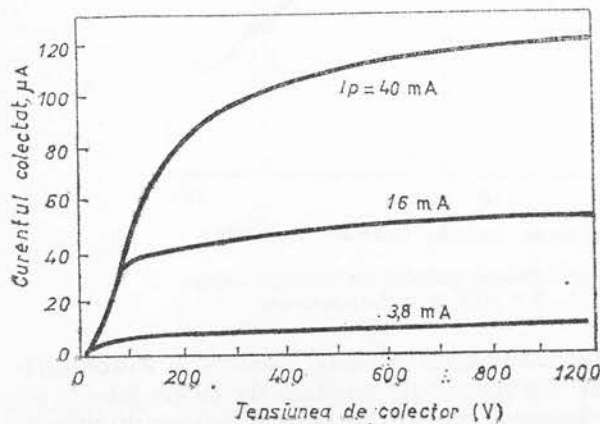


Fig. 4.38. — Curentul colectat în funcție de tensiunea de colector pentru catodul rece din Si cu afinitate electronică negativă.

caracteristica $I-V$ a unui catod rece din siliciu pentru trei valori ale curentului I de polarizare. La tensiuni mici de colector ($< 200V$) curentul este limitat de sarcina spațială. La tensiuni de colector mai mari curentul de emisie pare să atingă o valoare de saturație ceea ce determină o eficiență mică, 0,3 %. La tensiuni și mai mari de colector se observă efectul Schottky. Densitatea maximă de curent obținută în regim de impulsuri este de $225A/cm^2$ și în regim continuu de $2A/cm^2$. Catozii reci din siliciu se utilizează în tuburi Vidicon [31].

4.10. Contacte ohmice

Un contact ohmic este contactul dintre un metal și un semiconductor care nu modifică concentrația purtătorilor de echilibru din semiconductor, adică prezintă o caracteristică curent-tensiune liniară și simetrică. În realitate se consideră contact ohmic contactul pe care căderea de tensiune pentru ambele sensuri de polarizare este neglijabil de mică în raport cu căderea de tensiune de pe dispozitiv astfel că nu afectează caracteristicile dispozitivului. Un contact ohmic se poate realiza în trei moduri diferite: (1) prin alegerea unui metal astfel ca să nu existe barieră de potențial între metal și semiconductor, se realizează strat de acumulare; (2) prin doparea puternică a semiconductorului în vecinătatea metalului, astfel curentul trece prin efect tunel prin bariera destul de subțire; (3) prin introducerea la interfața metal-semiconductor de centre de recombinare în concentrație mare. Vom discuta pe rând posibilitatea de realizare a unui contact ohmic prin metodele enunțate mai sus. Strat de acumulare se realizează, așa cum am observat în paragraful 4.1, când $\Phi_m < \Phi_s$ în cazul semiconductorului de tip n și $\Phi_m > \Phi_s$ în cazul semiconductorului de tip p . În realitate diagrama de benzi de energie a contactului dintre unii semiconductori și metale nu depinde de natura metalului ci este determinată de stările de suprafață de la suprafața semiconductorului care dau în general bariere de potențial (paragraful 4.1).; din acest motiv, pentru cei mai mulți semiconductori este dificil de realizat un contact ohmic prin alegerea unui metal cu lucru de ieșire potrivit. Calea cea mai sigură, care se folosește în mod uzual pentru realizarea contactului ohmic, este doparea foarte puternică a semiconductorului în regiunea din apropierea contactului, obținându-se astfel structuri n^+n sau p^+p . De exemplu, pentru realizarea contactelor ohmice pe Si sau pe Ge de tip n se depune pe suprafața semiconductorului un aliaj Au-Sb (cu 0,1 %Sb) prin evaporare în vid și apoi se încălzește în atmosferă de gaz inert (argon) la temperatura eutectică corespunzătoare. Contactul ohmic pe GaAs de tip n se realizează astfel. Se depune prin evaporare pe suprafața semiconductorului un strat de indiu gros de 5 000 Å, apoi peste acesta se depune electrolitic un strat de nichel de aceeași grosime. Structura se încălzește la presiunea de 10^{-2} torr într-un gaz de formare care conține 15 %He și 85 % N_2 timp de 30 secunde la 3000°C. Se pot obține, de asemenea, contacte ohmice pe GaAs folosind combinația Ni-Sn sau In-Au.

Această metodă nu dă rezultate în semiconductorii cu bandă interzisă largă, deoarece în aceștia nu se poate realiza dopare puternică datorită formării unor defecte native care compensează sarcina introdusă de către atomii străini.

În acest caz metoda de realizare a contactelor ohmice constă în introducerea de centre de recombinare la interfața metal-semiconductor în scopul

de a realiza viteză de recombinare la suprafață infinită. La asemenea rezultat se poate ajunge și prin producerea de defecte pe suprafața semiconductorului prin tensionare mecanică sau alte metode care dă naștere la centre efective de recombinare; pe suprafața astfel tratată se depune metalul.

BIBLIOGRAFIE

1. H. B. Michaelson, IBM J. Res. Develop., **22**, 72 (1978).
2. J. Pauling, J. Am. Chem. Soc., **54**, 3570 (1932).
3. R. S. Mulliken, J. Chem. Phys., **3**, 573 (1935).
4. V. Dolocan, *Fizica dispozitivelor cu corp solid*, Edit. Academiei, București, 1978.
5. J. D. Levine, J. Appl. Phys., **42**, 3991 (1971).
6. H. A. Bethe, MIT Radiation Laboratory Report 43—12 (1942).
7. W. Schottky, Naturwiss., **26**, 843 (1938).
8. C. R. Crowell, S. M. Sze, Solid State Electron., **9**, 1035 (1966).
9. C. R. Crowell, Solid State Electron., **20**, 171 (1977).
10. J. D. Levine, Solid State Electron., **17**, 1083 (1974).
11. F. A. Padovani, R. Stratton, Solid State Electron., **9**, 695 (1966).
12. S. M. Sze, *Physics of Semiconductor Devices*, John Wiley & Sons, Inc., New York, 1969;
B. L. Sharma, S. C. Gupta, Solid State Technology, **23**, 5, 97 (1980).
13. M. Drăgănescu, *Electronica corpului solid*, Edit. tehnică, București, 1972.
14. V. Dolocan, și colab., Caiet de lucrări de laborator la cursul *Semiconductori și aplicații*, Universitatea din București, 1973.
15. R. H. Fowler, Phys. Rev., **38**, 45 (1931).
16. G. J. Lapeyre, K. A. Kress, Phys. Rev., **166**, 589 (1968).
17. D. L. Lile, Surface Sci., **34**, 337 (1973).
18. R. E. Simon, B. F. Williams, IEEE Trans. Nucl. Sci., **NS-15**, 167 (1968).
19. R. U. Martinelli, J. Appl. Phys., **44**, 2566 (1973).
20. G. D. Fisher, R. E. Eustrom, J. S. Escher, B. F. Willins, J. Appl. Phys., **43**, 3815 (1972).
21. L. W. James, G. A. Antipas, J. Appl. Phys., **42**, 4976 (1971).
22. A. H. Sommer, RCA Rev., **34**, 95 (1973).
23. L. W. James, G. A. Antipas, R. L. Moon, J. E. Edgecumbe, R. L. Bell, Appl. Phys. Lett., **24**, 270 (1973).
24. G. A. Allen, J. Phys. D, Appl. Phys., **4**, 308 (1971).
25. D. G. Fischer, R. E. Enstrom, J. S. Escher, H. F. Gossenberger, J. R. Appert, IEEE Trans. Electron Devices, **ED-21** (1974).
26. M. B. Allenson, P. G. R. King, M. C. Rowland, C. J. Steward, C. H. A. Symis, J. Phys. D, Appl. Phys., **5**, L188 (1972).
27. D. G. Fisher, R. U. Martinelli, Advances Image Pickup and Display, vol. 1B, Academic Press, New York, 1974.
28. I. P. Csorba, RCA Rev., **31**, 534 (1970).
29. H. R. Hughes, E. D. Savoye, D. L. Thoman, J. Electron. Mater., **3**, 9 (1974).
30. R. U. Martinelli, J. Appl. Phys., **45** (1974).
31. D. E. Persyk, D. D. Crawshaw, RCA Rev., **34**, 344 (1973).
32. A. D. Cope, E. Luldicke, J. P. Carroll, RCA Rev., **34**, 408 (1973).

Capitolul 5

STRUCTURI METAL-IZOLATOR-SEMICONDUCTOR

Structurile metal-izolator-semiconductor (MIS) sînt în cele mai multe cazuri practice structuri metal-oxid-semiconductor (MOS) adică structuri în care stratul izolator este oxidul semiconductorului respectiv (de exemplu pentru siliciu este SiO_2) sau al metalului (de exemplu dacă se folosește ca metal aluminiu, stratul izolator poate fi Al_2O_3). Principalele structuri MOS sînt dioda sau capacitorul MOS și tranzistorul cu efect de câmp de suprafață numit tranzistor MOS. Funcționarea structurii MOS se bazează pe fenomenul de inducție electrostatică.

5.1. Structura MIS (sau MOS) ideală

O structură MOS în secțiune este reprezentată în figura 5.1. Ea constă dintr-un substrat, de exemplu, din siliciu (de tip n sau p) acoperit cu un strat izolator de bioxid de siliciu peste care se depune un strat metalic numit electrod poartă. Structura cu două terminale, reprezentată în figură, este dioda MOS. În figura 5.2 este reprezentată structura de benzi de energie la echilibru termic a diodei MOS ideale cînd se utilizează semiconductor de tip p ; $q\Phi_m$ este lucrul de ieșire din metal, $q\Phi_s$ este lucrul de ieșire din semiconductor, $q\chi$ este afinitatea electronică din semiconductor și $q\chi_i$ este afinitatea electronică din izolator. În structura MOS ideală este îndeplinită așa-numita condiție de bandă plată, adică în absența unei tensiuni aplicate din exterior nu există diferență de potențial de contact între metal și semiconductor; $\Phi_m - \Phi_s = 0$. De asemenea, în structura MOS ideală se consideră că nu există stări de suprafață, sarcini fixe sau ioni mobili în izolator. În condiții de polarizare la tensiune continuă nu curge curent electric prin stratul izolator, adică acesta are rezistență infinită. La polarizarea structurii se pot întîmpla trei situații deosebite, reprezentate în figurile 5.3 — 5.5, pentru un semiconductor de tip p . Cînd se aplică pe metal o tensiune negativă, $V < 0$ (semiconductorul se consideră legat la masă), apare un strat de acumulare de goluri în regiunea semiconductorului din apropierea izolatorului (fig. 5.3) datorită inducției electrostatice. Deoarece crește concentrația golurilor datorită tensiunii aplicate, nivelul Fermi în vecinătatea suprafeței semiconductorului se deplasează către banda de valență. Dar, întrucît structura se află la echilibru termic (nu curge curent electric), nivelul Fermi rămîne constant iar benzile de energie se vor curba în sus (fig. 5.3 *b*). Dacă se aplică o tensiune pozitivă ($V > 0$) apare un strat de epuizare (deflexie) de goluri la suprafața semiconductorului și benzile se curbează în jos (fig. 5.4). Cu creșterea tensiunii pozitive aplicată pe probă, lărgimea stratului de deflexie se lărgeste pînă cînd apare un strat de inver-

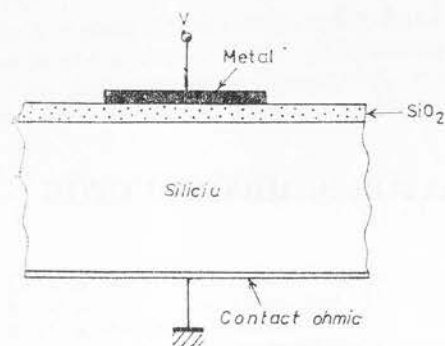


Fig. 5.1. — Structura metal-oxid-semiconductor.

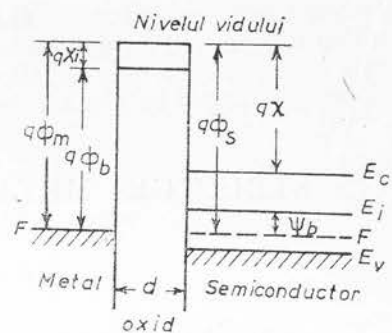


Fig. 5.2. — Diagrama de benzi de energie a structurii MOS la $V = 0$

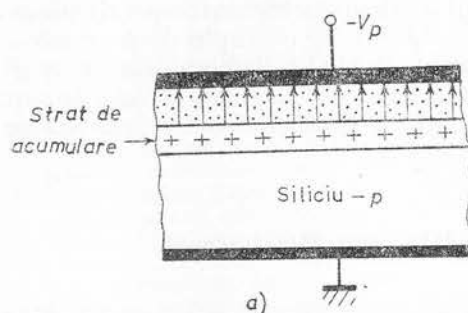


Fig. 5.3. — Apariția stratului de acumulare în structura MOS polarizată.

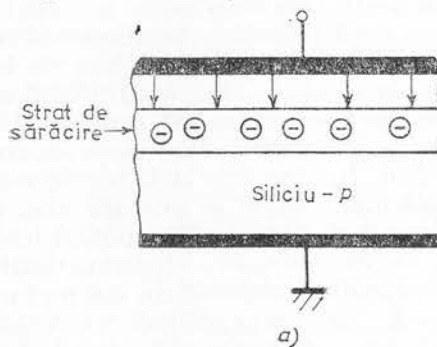


Fig. 5.4. — Apariția stratului de sărăcire în structura MOS polarizată.

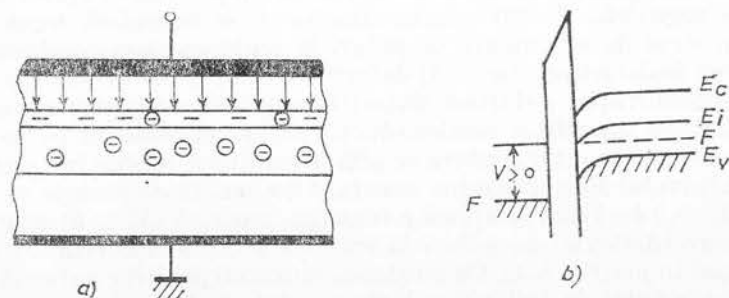


Fig. 5.5. — Apariția stratului de inversiune în structura MOS polarizată.

siune în vecinătatea oxidului unde concentrația electronilor devine mai mare decât a golurilor (fig. 5.5), Curbarea benzilor în jos este mai puternică și în stratul de inversiune, $F - E_i > 0$ (Notăm că $n = n_i \exp(F - E_i)/kT$; $p = n_i \exp(E_i - F)/kT$; astfel că în stratul de inversiune $n > p$). Pentru semiconductorul de tip n situația este analogă, cu deosebirea că polarizările sînt inversate. Vom discuta în cele ce urmează capacitatea structurii MOS ideale.

În absența unei diferențe dintre lucrurile de ieșire din metal și din semiconductor, tensiunea V aplicată structurii se distribuie pe oxid și pe semiconductor

$$V = V_0 + \psi_s, \quad (5.1)$$

unde V_0 reprezintă căderea de potențial pe oxid și ψ_s pe semiconductor. Capacitatea totală a structurii este dată de expresia

$$C = \frac{C_0 C_s}{C_0 + C_s}, \quad (5.2)$$

unde C_s este capacitatea regiunii de sarcină spațială din semiconductor și $C_0 = \epsilon_i/d$ — capacitatea stratului de oxid; ϵ_i este permitivitatea stratului de oxid de grosime d . Dependența lui C de tensiunea aplicată este reprezentată în figura 5.6, pentru semiconductorul de tip p (fig. 5.6a) și pentru semiconductorul de tip n (fig. 5.6 b). Această comportare este determinată de dependența lui C de V , deoarece C_0 este constantă. În cele

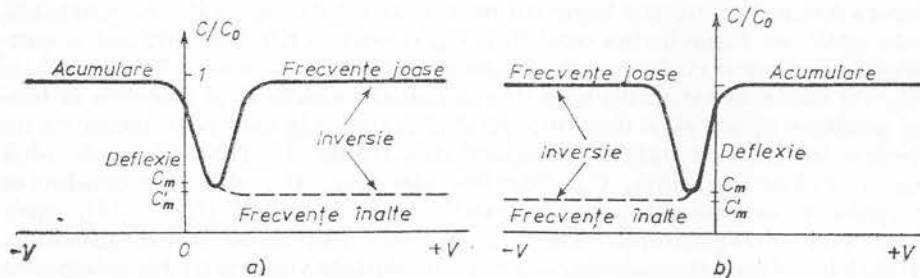


Fig. 5.6. — $C(V)$ în structura MOS cu semiconductor de tip $p(a)$ și de tip $n(b)$.

ce urmează ne vom referi la semiconductorul de tip p . În cazul stratului de acumulare, C_s reprezintă capacitatea diferențială C_D a stratului de sarcină spațială dată de ecuația (3.23) pe care o rescriem

$$C_D \equiv \frac{\partial Q_s}{\partial \psi_s} = \frac{\epsilon_1}{L_D} \frac{1 - e^{-\beta \psi_s} + \gamma(e^{\beta \psi_s} - 1)}{F(\beta \psi_s, \gamma)}, \quad (5.3)$$

$$F(\beta \psi_s, \gamma) \equiv [(e^{-\beta \psi_s} + \beta \psi_s - 1) + \gamma(e^{\beta \psi_s} - \beta \psi_s - 1)]^{1/2} \geq 0,$$

unde $\gamma \equiv n_{p0}/p_{p0}$ și $L_D \equiv \sqrt{2kT\epsilon_s/p_{p0}q^2}$ este lungimea de ecranare Debye; p_{p0} și n_{p0} sînt concentrațiile purtătorilor de echilibru în semiconductorul de

tip p . Pentru $\psi_s = 0$, bandă plată, dezvoltind în serie termenii exponențiali din relația (5.3) se obține C_D (bandă plată) = $\sqrt{2} \epsilon_s / L_D$ și

$$C_{RP} = \frac{\epsilon_i}{d + \frac{1}{\sqrt{2}} \left(\frac{\epsilon_i}{\epsilon_s} \right) L_D} \quad (5.4)$$

este capacitatea, pe unitatea de arie, a structurii în condiții de bandă plată. Q_s din relația (5.3) este sarcina spațială din semiconductor care este egală cu sarcina spațială din metal. Distribuția sarcinii spațiale în structura MOS ideală este reprezentată în figura 5.7. În cazul stratului de acumulare

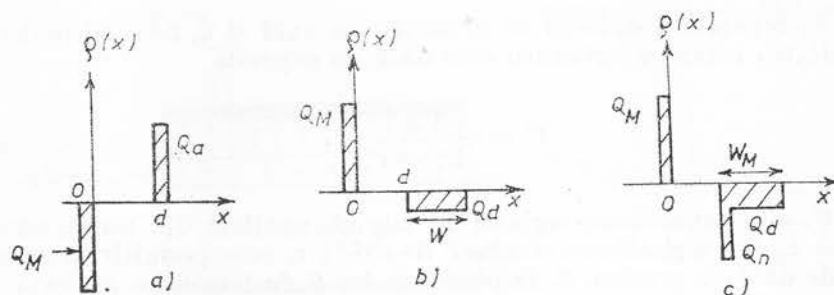


Fig. 5.7. — Distribuția sarcinii spațiale în structura MOS ideală în regim de acumulare (a), de reflexie (b) și de inversie (c).

$Q_s \equiv Q_a$, unde Q_a este sarcina acumulată în strat. Așa cum se observă în figura 5.6. a, la tensiune negativă mare capacitatea are valoare constantă și este egală cu capacitatea oxidului, C_0 , deoarece fiind acumulată o cantitate mare de goluri capacitatea diferențială C_D este mare în comparație cu C_0 . Cu scăderea tensiunii negative în valoare absolută și trecerea la tensiuni pozitive apare și se dezvoltă stratul de deflexie care acționează ca un dielectric în serie cu oxidul și capacitatea totală a structurii scade pînă atinge o valoare minimă, C_m . Sarcina spațială, Q_s , din semiconductor este egală cu sarcina din stratul de deflexie $Q_d = qN_A W$ (fig. 5.7b), unde N_A este concentrația impurităților acceptoare ionizate și W este grosimea stratului de deflexie (ne referim la sarcina pe unitatea de arie). Prin integrarea ecuației Poisson se obține distribuția potențialului în stratul de deflexie

$$\psi = \psi_s \left(1 - \frac{x}{W} \right)^2, \quad (5.5)$$

unde

$$\psi_s = \frac{qN_A W^2}{2\epsilon_s}$$

este potențialul la suprafață, care indică curbarea totală a benzilor de suprafață (fig. 5.7). În această situație, capacitatea pe unitatea de arie a stratului de sarcină spațială din semiconductor este dată de expresia

$$C_s = \frac{\epsilon_s}{W}. \quad (5.6)$$

Având în vedere legea conservării sarcinii $(\varepsilon_i V_0/d) = (\varepsilon_s \psi_s/W)$, din relațiile de mai sus se obține pentru capacitatea totală a structurii pe unitatea de arie, expresia

$$C/C_0 = \frac{1}{\sqrt{1 + \frac{2\varepsilon_i^2 V}{qN_a \varepsilon_s d^2}}} \quad (5.7)$$

care indică o scădere a capacității cu rădăcina pătrată a tensiunii aplicată pe structură, în cazul existenței stratului de deflexie. Însă, la o anumită valoare a tensiunii pozitive aplicate, apare între stratul de deflexie și oxid un strat de inversiune, de tip n , a cărui sarcină pe unitatea de arie am notat-o cu Q_n (fig. 5.7 c). În acest caz legea conservării sarcinii se scrie $Q_M = Q_n + + Q_D$. Sarcina Q_n crește rapid cu creșterea tensiunii aplicate și la o anumită valoare a lui ψ_s grosimea stratului de deflexie atinge valoarea maximă W_M . Această valoare a lui ψ_s se notează $\psi_{s(inv)}$ și este egală cu $2\psi_B$ (fig. 5.2). Ea reprezintă condiția de inversie puternică: cînd concentrația electronilor din stratul de inversie de la suprafață devine egală cu concentrația impurităților acceptoare. Cu creșterea în continuare a tensiunii aplicată pe structură, surplusul de tensiune cade pe stratul de oxid, datorită creșterii foarte rapid a sarcinii din stratul de inversie, sarcina din stratul de deflexie rămînînd neschimbată. Tensiunea aplicată pe structură la care apare inversia puternică se notează cu V_p și se numește tensiune de prag sau de deschidere

$$V_p = \frac{Q_s}{C_0} + 2\psi_B. \quad (5.8)$$

La această valoare a tensiunii capacitatea atinge o valoare limită

$$C'_{min} = \frac{\varepsilon_i}{d + \left(\frac{\varepsilon_i}{\varepsilon_s}\right) W_m} \quad (5.9)$$

care se observă la frecvențe înalte (fig. 5.6) Așa cum se observă pe figura 5.6, în regiunea de inversie dependența capacității de tensiune la înaltă frecvență este deosebită față de funcționarea la joasă frecvență (joasă frecvență în acest caz înseamnă o frecvență mai mică de 100 Hz). La înaltă frecvență sarcina din stratul de inversie nu poate urmări semnalul variabil, astfel că practic stratul de inversie nu contribuie la capacitatea totală a sistemului și aceasta are valoarea dată de expresia (5.9). Dimpotrivă, la joasă frecvență sarcina din stratul de inversie poate urmări semnalul variabil și de la o anumită valoare a tensiunii capacitatea totală a sistemului este dată de capacitatea stratului de oxid. Purtătorii minoritari pot apare și dispăre din stratul de inversiune printr-unul din următoarele mecanisme sau combinație de-a lor[1]: (a) generarea-recombinarea purtătorilor de sarcină în interiorul stratului de deflexie din imediata vecinătate a stratului de inversie; (b) generarea și recombinarea prin intermediul stărilor de suprafață localizate la interfața izolator-semiconductor; (c) difuzia purtătorilor minoritari din volum, prin stratul de deflexie în stratul de inversie. Curenții

de încărcare-descărcare a stratului de inversie asociați acestor mecanisme sînt destul de mici, astfel că timpul de realizare a încărcării sau descărcării, τ_{inv} , este mare, de ordinul miimilor și sutimilor de secundă. Prin urmare, stratul de inversie poate să urmărească un semnal variabil de frecvență f aplicat pe structură numai dacă $f \ll 1/\tau_{inv}$, condiție care este îndeplinită la frecvențe joase. În această situație o variație a tensiunii conduce la variația sarcinii din stratul de inversie și prin urmare capacitatea măsurată este cea a stratului de oxid, așa cum am amintit mai sus. Pentru $f \ll 1/\tau_{inv}$ sarcina din stratul de inversiune nu poate urmări semnalul de frecvență f , în schimb sarcina din stratul de deflexie poate urmări semnalul variabil și capacitatea măsurată este dată de ecuația (5.9). Menționăm că în cazul stratului de acumulare sau de deflexie încărcarea și descărcarea cu sarcină se face prin deplasarea purtătorilor majoritari într-un timp egal cu timpul τ_D de relaxare dielectrică care are valoare mult mai mică decât τ_{inv} . De exemplu, pentru siliciu cu rezistivitatea $\rho = 5 \Omega \text{ cm}$ se obține $\tau_D = 5 \cdot 10^{-12} \text{ s}$. Sarcina din stratul de acumulare sau de deflexie poate urmări semnalul variabil la o frecvență $f \ll 1/\tau_D$, frecvență care este de ordinul GHz și chiar mai mare. Un exemplu de dependență capacitate-tensiune pentru o structură MOS ideală cu siliciu de tip p cu concentrația acceptorilor $N_A = 10^{16} \text{ cm}^{-3}$ pentru diverse grosimi ale stratului de oxid îl constituie cel din figura 5.8 [2]. În figura 5.9 este reprezentat circuitul echivalent al structurii MOS ideale, unde R este rezistența de volum a semiconductorului. În încheierea acestui paragraf notăm că deși sarcina din stratul de inversie al structurii MOS nu poate urmări semnalul de înaltă frecvență aplicat pe poartă, în cazul tranzistorului cu efect de câmp de suprafață regiunea sursă, puternic dopată, este în contact direct cu stratul de inversie în condiții normale de lucru. Astfel, regiunea sursă poate să alimenteze rapid stratul de inversie cu purtători minoritari și tranzistorul MOS cu efect de câmp poate funcționa la înaltă frecvență. În realitate caracteristicile structurii MOS sînt diferite

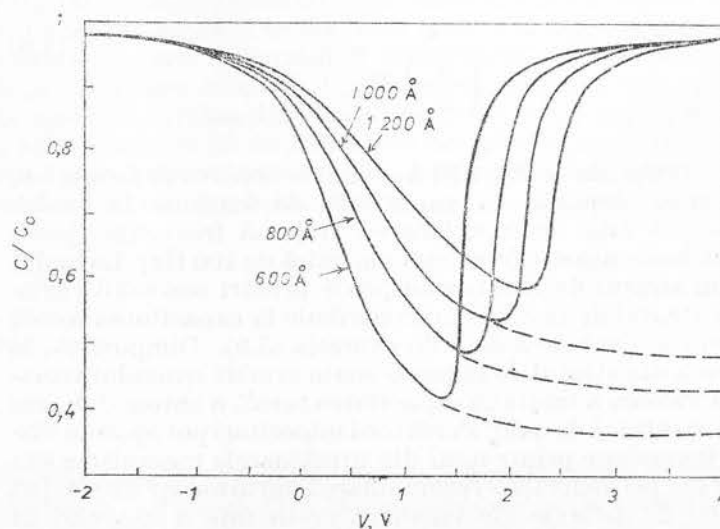


Fig. 5.8. — $C(V)$ pentru structura MOS ideală.

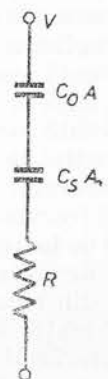
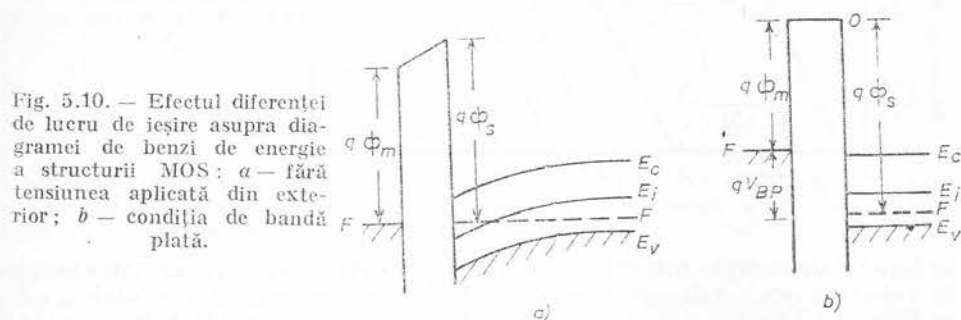


Fig. 5.9. — Schema echivalentă a structurii MOS ideale.

de cele ideale datorită unor factori cum ar fi diferența de lucru de ieșire, stări de sarcină de suprafață, sarcină de volum etc., al căror efect îl vom analiza în paragrafele următoare.

5.2. Efectul diferenței dintre lucrurile de ieșire asupra caracteristicilor structurii MOS. Diagrama de benzi de energie a structurii metal-SiO₂-Si

În multe cazuri diferența dintre lucrurile de ieșire din metal și din semiconductor este diferită de zero și diagrama de benzi de energie a structurii MOS (fără tensiune aplicată din exterior) nu arată ca în figura 5.2 ci ca în figura 5.10a. Pentru a aduce sistemul în condiția de bandă plată



trebuie să se aplice pe poartă o tensiune $V_{BP} = \Phi_m - \Phi_s$, numită tensiune de bandă plată (fig. 5.10b). Efectul lucrului de ieșire asupra structurilor MOS se poate studia din măsurători de capacitate în funcție de tensiune [3]. Așa cum se observă în figura 5.11, curbele $C = f(V)$ ale structurilor MOS pentru diverse metale sînt deplasate între ele cu diferența dintre lucrurile de ieșire, Φ_m , ale metalelor respective. Dacă se cunoaște valoarea

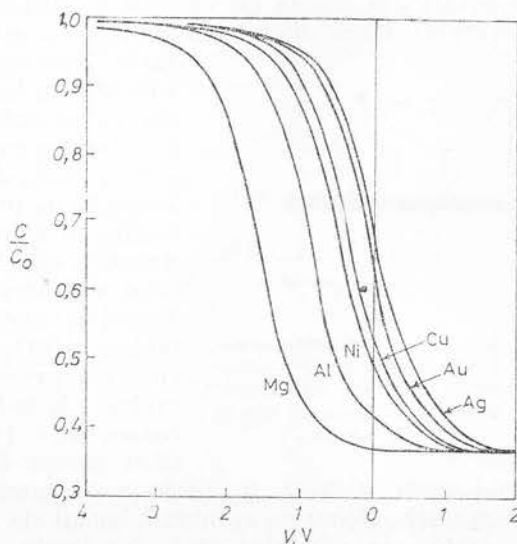


Fig. 5.11. — Capacitatea în funcție de tensiunea aplicată pentru structuri MOS cu diverse metale.

lucrului de ieșire pentru unul din metalele folosite, din aceste curbe se pot determina lucrurile de ieșire din celelalte metale. Bariera de potențial metal-oxid $q\Phi_b$ se poate determina din măsurători de efect fotoelectric. Așa cum se observă în figura 5.12, rădăcina cubică din curentul fotoelectric

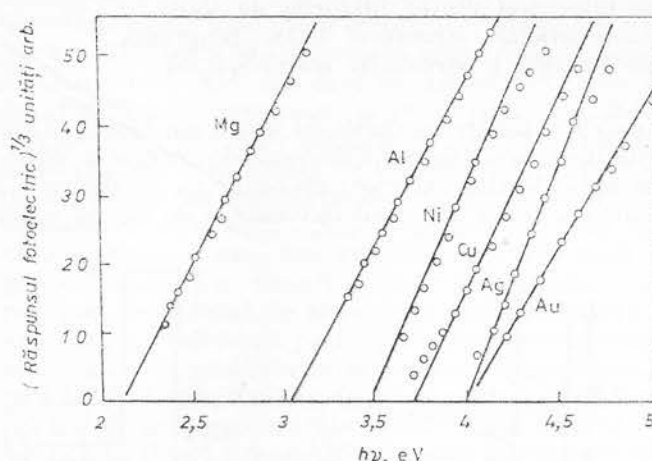


Fig. 5.12. — Rădăcina cubică a fotorăspunsului în funcție de energia fotonilor în structuri MOS cu diverse metale.

în funcție de energia fotonilor este o dreaptă care intersectează axa energiei la valoarea $q\Phi_b$. Adăugînd la $q\Phi_b$, afinitatea electronică a oxidului, $q\chi_i$, se găsește valoarea lucrului de ieșire din metal, $q\Phi_m$. Deplasările dreptelor din figura 5.12 coincid cu deplasările curbelor din figura 5.11. Pentru a găsi diagrama de benzi de energie la interfața siliciu-bioxid de siliciu s-au folosit, de asemenea, măsurători de efect fotoelectric intern [4]. Proba folosită este un capacitor MOS cu stratul de oxid intercalat între cristallul de siliciu și un electrod metalic, subțire, semitransparent (fig. 5.13).

Lumina ultravioletă trece prin electrodul metalic și prin stratul de bioxid de siliciu și este puternic absorbită în cristallul de siliciu. Fotelectronii excitați din banda de valență a siliciului trec în banda de conducție a oxidului. Dacă siliciul este de tip n și este degenerat, poate avea loc exci-

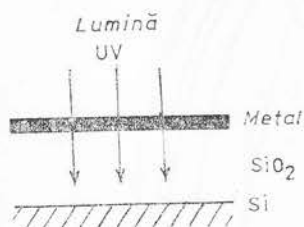


Fig. 5.13. — Geometria structurii utilizată pentru măsurarea efectului fotoelectric intern din siliciu în bioxid de siliciu.

tarea electronilor din banda de conducție a siliciului în banda de conducție a oxidului. Rădăcina pătrată a răspunsului fotoelectric R în funcție de $h\nu$ reprezintă o linie dreaptă care, extrapolată, dă energia de prag a fotoemisie. Energia de prag este egală cu diferența dintre banda de valență a siliciului și banda de conducție a bioxidului de siliciu care s-a găsit a avea valoarea în jur de 4,3 eV (fig. 5.14) [5]. Luînd în considerare și datele asupra benzii interzise a SiO_2 și pragului de fotoemisie în siliciu, s-a propus diagrama energetică a sistemului siliciu-bioxid de siliciu reprezentată în figura 5.15 [6]. Analizînd această figură ne dăm seama de ce sistemul $\text{Si}-\text{SiO}_2$ este cel

mai mult utilizat în realizarea tranzistoarelor cu efect de cîmp de suprafață. Deoarece minimul benzii de conducție și maximul benzii de valență ale siliciului sînt localizate în apropierea mijlocului benzii

interzise a bioxidului de siliciu există o înălțime mare a barierelor de tunelare atât a electronilor cât și a golurilor astfel că structura poate funcționa la cimpuri intense pentru ambele polarizări fără să treacă un curent semnificativ între electrodul poartă și semiconductor. Când se folosește siliciu

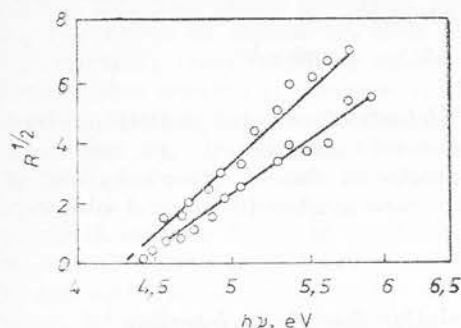


Fig. 5.14. — Determinarea înălțimii barierei la interfața Si-SiO₂ din măsurarea curentului fotoelectric în funcție de energia electronilor.

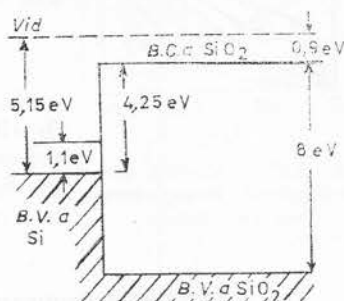


Fig. 5.15. — Diagrama de benzi de energie a structurii Si-SiO₂.

de tip n degenerat pot fi excitați fotoelectroni atât din banda de conducție cât și din banda de valență. Apar deci două pante distincte în spectrul fotoemisiei, fiecare cu pragul ei, așa cum se observă în figura 5.16 [7]. Așa cum este de așteptat diferența dintre cele două praguri este egală cu banda interzisă a siliciului. În cazul fotoemisiei din banda de conducție răspunsul spectral R este proporțional cu $h\nu$, iar în cazul fotoemisiei din banda de valență \sqrt{R} este proporțional cu $h\nu$. Aceasta se datorează faptului că în banda de conducție electronii sînt concentrați într-un domeniu îngust

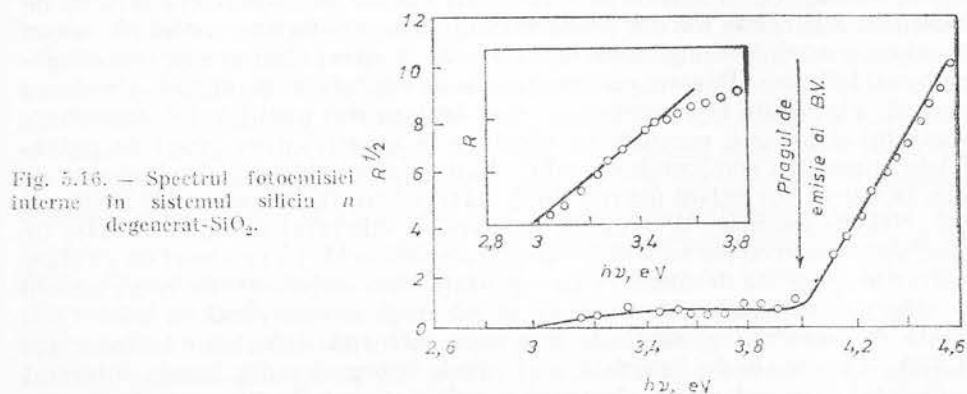


Fig. 5.16. — Spectrul fotoemisiei interne în sistemul siliciu n degenerat-SiO₂.

de energie, de cîtiva kT , la marginea inferioară a benzii, în timp ce în banda de valență sînt distribuiți pe un domeniu larg, de cîtiva eV. Aplicarea unui cîmp electric intens conduce la micșorarea barierei siliciu-bioxid de siliciu cu o valoare mai mare de 0,5 eV. Experimental aceasta se observă măsurînd

curentul fotoelectric R în funcție de tensiunea V aplicată, folosind pentru excitare lumină monocromatică. Forma curbelor diferă când energia fotonilor este mai mică în comparație cu cazul când aceasta este mai mare decât înălțimea barierei în absența unei tensiuni aplicate din exterior (fig. 5.17). Reamintim că scăderea înălțimii barierei este dată de relația cunoscută din capitolul anterior

$$\Delta\Phi = - (q\mathcal{E}/\varepsilon)^{1/2},$$

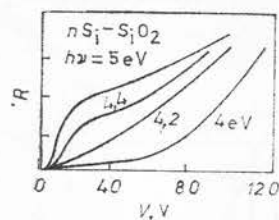


Fig. 5.17. — Efectul tensiunii aplicate asupra curentului fotoelectric.

unde constanta dielectrică relativă pentru bioxidul de siliciu se ia în acest caz egală cu 2,15, așa cum reiese din comparația cu datele experimentale, și nu cu 3,8, valoare care se găsește în mod obișnuit la frecvențe joase.

5.3. Efectele capcanelor și sarcinilor fixe de la interfața siliciu-bioxid de siliciu

A. Natura capcanelor și sarcinilor fixe de la interfață

Caracteristicile structurii MOS sînt afectate de către capcanele și sarcinile fixe de la interfață precum și de către ionii mobili și capcanele ionizate din stratul de oxid. În acest paragraf vom discuta efectele capcanelor și sarcinilor fixe de la interfață. Există două tipuri de centre active localizate la interfața Si-SiO₂ care pot afecta performanțele și stabilitatea structurilor MOS. Acestea sînt capcanele de la interfață și sarcinile fixe [8]. Deosebirea între ele constă în faptul că ocuparea cu electroni a capcanelor de la interfață se modifică cu modificarea tensiunii de poartă, în timp ce ocuparea sarcinilor fixe rămîne neschimbată. Pentru a vedea originea capcanelor de interfață și sarcinilor fixe să considerăm un cristal de siliciu clivat în vid de-a lungul unui plan cristalografic. Atomii de siliciu localizați în stratul de la interfață sînt legați numai de atomii din stratul de dedesubt, legăturile lor din afară rămînînd nesatisfăcute, astfel că acești atomi nu mai sînt supuși aceluiași forțe ca în cazul cînd aveau toate legăturile satisfăcute. Pentru ca energia de la suprafață să atingă o valoare minimă, atomii de la suprafață se vor deplasa din pozițiile lor anterioare clivajului și această perturbație conduce la apariția unor gropi de potențial la suprafața semiconductorului. Luînd în considerare degenerarea de spin, în siliciu vor exista maxim două stări pentru fiecare atom de la suprafață. Stările cuantice din banda interzisă a siliciului se numesc stări de interfață, deoarece ele se află la interfața siliciu-vid. În procesul de oxidare legăturile atomilor de siliciu de la suprafață sînt satisfăcute de către atomii de oxigen și densitatea de stări de la interfață devine egală cu zero. Capcanele de interfață și sarcinile fixe apar datorită defectelor la interfața Si-SiO₂. Capcanele de interfață sînt nivele energetice din banda interzisă a siliciului care pot capta electroni și goli. Sarcinile fixe pot fi capcane de la interfață care au nivele energetice situate în apropierea marginilor benzilor sau pot fi localizate adînc în oxid astfel că nu-și pot modifica starea de încărcare cu variația tensiunii aplicate. Regiunea de interfață este regiunea în care are loc trecerea de la siliciu cristalin, la bioxidul de siliciu amorf. Această regiune de tranziție are o grosime de două-trei strate ato-

mice, adică 10–15 Å. Stratul de oxid din regiunea de tranziție este nestoichiometric, fiind compus din SiO_x (x variază de la 1 la 2 de-a lungul stratului), având exces de siliciu. Există trei tipuri de defecte în acest strat care pot da naștere la capcane de interfață și sarcini fixe. Primul tip de defecte este legat de abaterea de la compoziția stoichiometrică a bioxidului de siliciu, sau a excesului de siliciu în stratul de tranziție. Al doilea tip sînt defectele structurale; punțile siliciu-oxigen pot fi tensionate, această tensionare influențînd rețelele siliciului și bioxidului de siliciu. Al treilea tip de defecte sînt atomii de impuritate. Stratul de tranziție acționează ca o capcană pentru atomii de impurități, cum ar fi cei ai metalelor, astfel că este de așteptat ca în el să se găsească o concentrație mai mare de impurități decît oriunde în bioxidul de siliciu. O altă cauză a apariției capcanelor de interfață sînt sarcinile din oxid de lîngă interfață. Aceste sarcini, indiferent de originea lor, datorită atracției coulombiene dau stări legate la suprafață, în mod analog cu situația din volum, situate la marginile benzii interzise a siliciului. Ilustrarea schematică a apariției acestor capcane este reprezentată în figura 5.18 [9]. O sarcină pozitivă lîngă interfață dă o stare donoare legată de energie

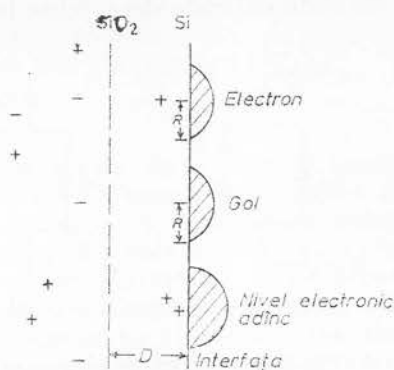


Fig. 5.18. — Diagrama schematică pentru corelația dintre capcanele de interfață și sarcinile fixe.

$$E_c = \left[\frac{2\epsilon_s}{\epsilon_i + \epsilon_s} \right]^2 \left(\frac{m^*}{m_0} \right) E_H = Z^2 E_D$$

unde E_D este energia de ionizare a donoului în volum și $Z^2 = [(2\epsilon_s/(\epsilon_i + \epsilon_s))]^2$ are valoarea 2,25 pentru sistemul Si-SiO₂. Relația de mai sus este scrisă în aproximația masei efective, folosind modelul hidrogenoid pentru impuritățile donoare puțin adînci. Un rezultat similar poate fi scris pentru stările acceptoare. O sarcină negativă lîngă interfață dă o stare acceptoare la interfață. Avînd în vedere masele efective ale electronilor și golumilor în siliciu, se obține $E_D = 0,025$ eV și $E_A = 0,05$ eV iar energiile corespunzătoare capcanelor de interfață sînt 0,06 eV pentru cele donoare și 0,12 eV pentru cele acceptoare. La asemenea energii corespunde în modelul hidrogenoid o rază a stării legate $R = 30$ Å, ceea ce înseamnă că o asemenea capcană de interfață ocupă o suprafață de aproximativ 900 Å pătrați. Prin urmare, densitatea maximă a capcanelor de interfață provenite din sarcini de lîngă interfață este de 10^{12}cm^{-2} , ceea ce corespunde cu valoarea densității de stări obținută experimental. Adîncimea maximă în oxid la care se poate găsi o sarcină pentru a da o stare (capcană) la interfață este $D \approx R$. Notăm că nivelele capcanelor de interfață situate în apropierea mijlocului benzii interzise se pot datora la un aglomerat de mai multe sarcini situate la distanță mai mică sau egală cu D de interfață. De exemplu, un aglomerat de două sarcini pozitive acționează ca un singur centru cu sarcină dublă care va da un nivel energetic de 0,24 eV.

B. Metode experimentale de determinare a densității capcanelor de interfață

Determinarea densității capcanelor de interfață se face prin măsurarea capacității și conductanței structurii MOS, a căror valoare în condiții date depinde de sarcina localizată pe capcane. În prezența capcanelor de interfață circuitul echivalent din figura 5.9 se modifică și capătă forma din figura 5.19 a, unde C_c și R_c sînt capacitatea și, respectiv, rezistența asociate capcanelor de interfață. Circuitul echivalent din figura 5.19 a se poate reprezenta ca în figura 5.19 b, unde

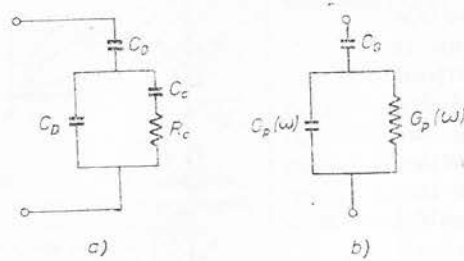


Fig. 5.19. - Circuitul echivalent al structurii MOS.

$$C_p = C_D + \frac{C_c}{1 + \omega^2 \tau^2}, \quad (5.10)$$

$$\frac{G_p}{\omega} = \frac{C_c \omega \tau}{1 + \omega^2 \tau^2}, \quad (5.10')$$

C_p și G_p depind de frecvența de lucru iar $\tau = C_c R_c$ se numește constanta de timp asociată capcanelor de interfață. Admitanța circuitului din figura 5.19 b este

$$Y = G + i\omega C; \quad G = \frac{\omega^2 C_c \tau C_0^2}{(C_0 + C_D + C_c)^2 + \omega^2 \tau^2 (C_0 + C_D)^2}, \quad (5.11)$$

$$C = \frac{C_0}{C_0 + C_D + C_c} \left[C_D + C_c \frac{(C_0 + C_D + C_c)^2 + \omega^2 \tau^2 C_D (C_0 + C_D)}{(C_0 + C_D + C_c)^2 + \omega^2 \tau^2 (C_0 + C_D)^2} \right].$$

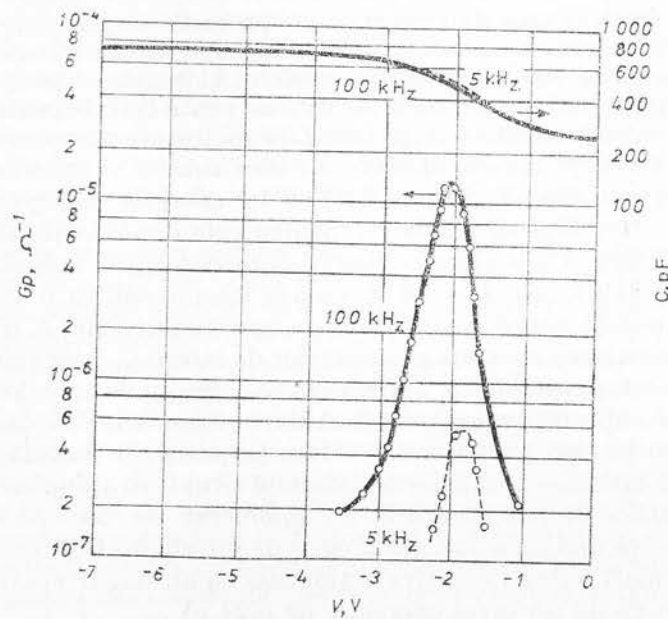


Fig. 5.20. - Capacitatea și conductanța paralelă măsurate la 5 kHz și 100 kHz pentru o probă de tip p cu concentrația impurităților acceptoare $2.08 \cdot 10^{16} \text{ cm}^{-3}$ și densitatea de capcane la interfață în jur de $10^{11} \text{ cm}^{-2} \text{ eV}^{-1}$.

Se observă că atât G cât și C conțin informații similare asupra capcanelor de interfață. Din măsurarea conductanței se pot obține rezultatele cele mai apropiate de realitate în special pentru densitate de stări de suprafață relativ mică. ($10^{10}\text{cm}^{-2}(\text{eV})^{-1}$). Acest lucru se observă pe figura 5.20 [10] unde sînt reprezentate capacitatea și conductanța, pentru o structură MOS, în funcție de tensiune la două frecvențe diferite, 5kHz și 100kHz. Variația maximă a conductanței între cele două frecvențe este de un ordin de mărime în timp ce variația capacității este de numai 14 %.

1. Metoda conductanței

Pentru măsurarea conductanței se procedează după cum urmează. Se măsoară admitanța structurii între cele două terminale cu o punte de măsură, și apoi capacitatea oxidului, C_0 , în regim de acumulare puternică. Admitanța se convertește într-o impedanță din care se scade reactanța capacitivă a oxidului și impedanța rezultată se convertește într-o admitanță. Aceasta este admitanța rețelei paralel din circuitul echivalent (C_D în paralel cu ramura C_c în serie cu R_c). Conductanța și capacitatea sînt date de ecuațiile (5.10') și (5.10). Conductanța G_p depinde numai de ramura capcanelor de interfață a circuitului echivalent. G_p/ω în funcție de $\omega\tau$ are maxim pentru $\omega\tau = 1$, de unde se determină τ . Valoarea maximă a lui G_p/ω este $C_c/2$, de unde se determină C_c . Astfel, din măsurarea conductanței se determină direct τ și C_c . Densitatea de capcane la interfață, N_i , se calculează din relația $N_i = C_c/qS$, unde S este suprafața electrodului metalic. Unele rezultate experimentale pentru τ și N_i sînt reprezentate în figura 5.21 și, respectiv, 5.22. Probele de siliciu folosite au suprafețele

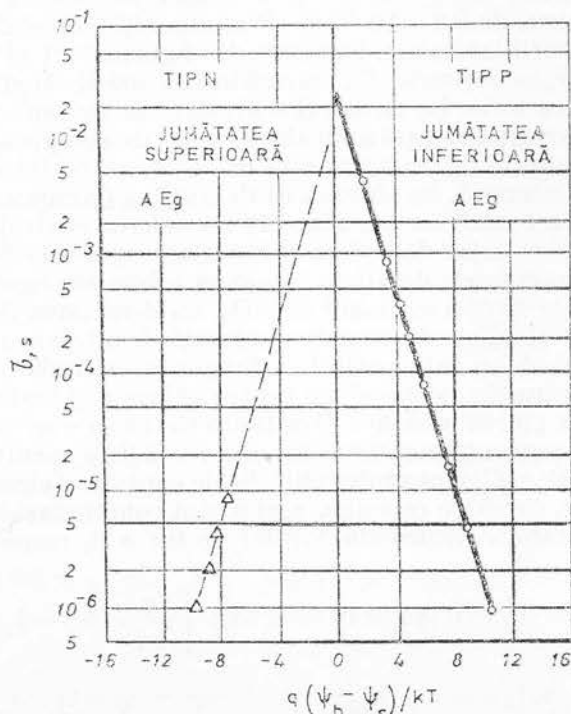


Fig. 5.21. — Dependența constantei de timp de potențialul de suprafață.

orientate după direcția (111). Punctele din jumătatea inferioară a benzii interzise snt rezultatele măsurărilor pe structura MOS cu Si de tip *p* cu $N_A = 2,08 \cdot 10^{16} \text{ cm}^{-3}$, $(E_i - F)/kT = 14,1$, $C_0 = 5,74 \cdot 10^{-8} \text{ F/cm}^2$ și au diametrul de $1,2 \cdot 10^{-1} \text{ cm}$. Punctele din jumătatea superioară a benzii

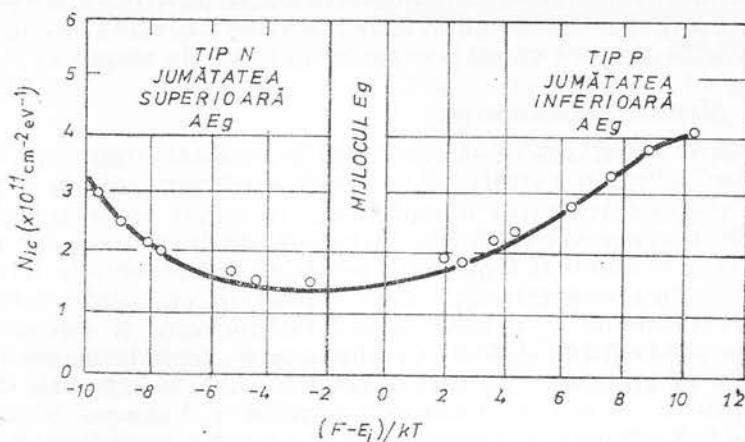


Fig. 5.22. $-N_i$ în funcție de $(F - E_i)/kT$ pentru aceleași probe, ca în figura 5.21.

interzise sînt rezultatele măsurărilor pe structura MOS cu siliciu de tip *n*, cu $N_D = 1,15 \cdot 10^{16} \text{ cm}^{-3}$, $(F - E_i)/kT = 13,5$, $C_0 = 5,08 \cdot 10^{-8} \text{ F/cm}^2$ și diametrul de $3,8 \cdot 10^{-2} \text{ cm}$ (F este poziția nivelului Fermi și E_i este mijlocul benzii interzise). Punctele din figurile 5.21 și 5.22 corespund maximelor lui G_p/ω obținute din măsurători la 300 K. Menționăm că relațiile (5.10) au fost scrise iar circuitul echivalent de mai sus a fost reprezentat în presupunerea existenței unui singur nivel de energie al capcanelor de interfață. În realitate figura 5.22 arată că aceste stări sînt distribuite continuu în banda interzisă. Se observă că densitatea de capcane de interfață, N_{ic} , variază foarte slab cu energia și în apropierea centrului benzii interzise a siliciului este în jur de $10^{11} \text{ cm}^{-2} \text{ eV}^{-1}$. Deși capcanele de interfață sînt apropiate energetic unele de altele (așa cum reiese din figura 5.22), totuși ele sînt distanțate spațial în planul Si-SiO₂. La densitatea de $10^{11} \text{ cm}^{-2} \text{ eV}^{-1}$ capcanele de interfață se află situate unele față de altele la o distanță medie de 300 Å, astfel că nu este posibil ca lungimea de undă a unui electron captat pe un centru să „acopere” un centru adiacent și tranzițiile de la un nivel la altul nu pot să aibă loc. Constanta de timp τ se poate scrie $\tau = 1/C_n n_s$ pentru semiconductorul de tip *n* și $\tau = 1/C_p p_s$ pentru semiconductorul de tip *p*. C_n și C_p sînt probabilitățile de captură a electronilor și, respectiv, golurilor, de către capcane. n_s și p_s sînt concentrațiile electronilor și golurilor la suprafața semiconductorului de tip *n* și, respectiv, *p*

$$n_s = N_a \exp(q\psi_s/kT) = n_i \exp\left[\frac{q}{kT}(\psi_s - \psi_B)\right]; \quad (5.12)$$

$$p_s = N_a \exp(-q\psi_s/kT) = n_i \exp\left[-\frac{q}{kT}(\psi_s - \psi_B)\right],$$

$q\psi_B/kT = \ln(n_i/N_D)$ pentru tip n și $q\psi_B/kT = \ln(N_A/n_i)$ pentru tip p . Din figura 5.21, extrapolând dreptele la $(\psi_s - \psi_B) = 0$, se obține $\tau_0 = 1/C_n n_i$ și, respectiv, $\tau_0 = 1/C_p n_i$. Pentru $n_i = 1,55 \cdot 10^{10} \text{ cm}^{-3}$ și $\bar{v} = 10^7 \text{ cm/s}$ se obțin valorile secțiunilor de captură a electronilor și golurilor, $\sigma_n = C_n/\bar{v} = 1,7 \cdot 10^{-15} \text{ cm}^2$ și $\sigma_p = C_p/\bar{v} = 2,2 \cdot 10^{-16} \text{ cm}^2$ (\bar{v} este viteza medie termică a purtătorilor de sarcină liberi). Din expresiile de mai sus rezultă că fluctuații mici ale lui ψ_s determină fluctuații mari ale lui σ . Dacă presupunem că sarcinile de la interfață sînt distribuite aleatoriu, neuniform, cîmpul electric la suprafața siliciului va fluctua în planul interfeței (fig. 5.23). Fluctuațiile cîmpului electric vor determina fluctuații corespunzătoare ale potențialului la suprafață. Pentru a exprima aceasta cantitativ divizăm planul interfeței într-un număr de pătrate de arie egală, astfel că fiecare pătrat reprezintă aria cea mai mare în care potențialul este uniform; aceasta se numește arie caracteristică. Circuitul echivalent se modifică, așa cum este reprezentat de exemplu în figura 5.24, pentru structura MOS cînd funcționează în regim de acumulare. Fiecare ramură C_c, R_c , corespunde unei arii caracteristice. Expresia analitică a admitanței totale se obține integrînd contribuția fiecărei arii caracteristice peste întreaga

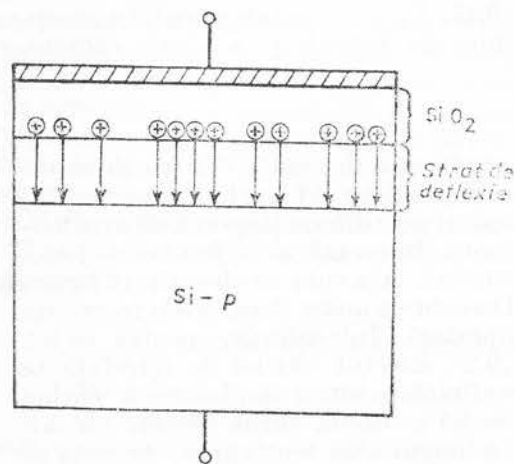


Fig. 5.23. — Distribuția statistică a sarcinilor în structura MOS.

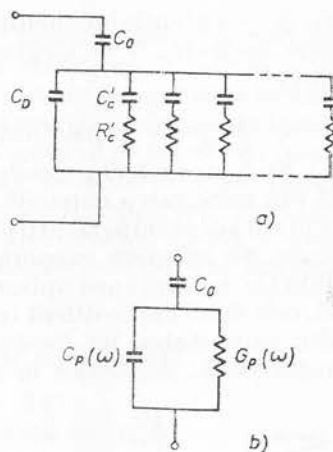


Fig. 5.24. — Circuitul echivalent, care arată dispersia constantei de timp determinată de fluctuațiile sarcinii de la interfață (a); reprezentarea sa simplificată (b).

arie a electrodului pentru fiecare tensiune și la fiecare frecvență de lucru. În cazul distribuției continue a stărilor de interfață și distribuției statistice (Poisson) a sarcinilor, se obține

$$G_p/\omega = \frac{1}{2} qN_c [2\pi(\sigma_s^2 + \sigma_b^2)]^{-1/2} \int_{-\infty}^{\infty} \exp[-(z+y)] \ln(1 + e^{2y}) d\left(\frac{q\psi_s}{kT}\right), \quad (5.13)$$

$$C_p = C_D(\psi_s) + qN_c [2\pi(\sigma_s^2 + \sigma_b^2)]^{-1/2} \int_{-\infty}^{\infty} \exp[-(z+y)] \operatorname{arctg}(e^y) d\left(\frac{q\psi_s}{kT}\right), \quad (5.14)$$

unde

$$y = \ln \omega \tau; \quad z \equiv \frac{q^2}{k^2 T^2} (\psi_s - \bar{\psi}_s)^2 / [2(\sigma_s^2 + \sigma_b^2)],$$

σ_s și σ_b sînt abaterile standard ale sarcinilor de suprafață și, respectiv, impurităților acceptoare, date de relațiile

$$\sigma_s \equiv \frac{qW}{kT(WC_0 + \epsilon_s)} \left(\frac{q\bar{Q}}{\alpha} \right)^{1/2}, \quad (5.15)$$

$$\sigma_b = \frac{q^2(\bar{N}_a/W)^{1/2}[1 - \exp(-q\psi_s/kT)]}{2kT(C_0W + \epsilon_s)}. \quad (5.16)$$

În relațiile de mai sus s-au luat în considerare fluctuațiile potențialului de suprafață datorită distribuției aleatorii atât a sarcinilor de la interfață cît și a impurităților acceptoare. \bar{Q} este densitatea medie a sarcinilor de la interfață, ψ_s — potențialul mediu la interfață, \bar{N}_a — densitatea medie a acceptorilor ionizați, W — lărgimea stratului de deflexie și α — aria caracteristică.

2. Metoda capacității

Se folosesc trei procedee de determinare a densității stărilor de interfață din măsurarea capacității: prin diferențiere [11], prin integrare [12] și prin variația temperaturii [13]. Procedul prin diferențiere constă în următoarele. Se măsoară capacitatea la înaltă frecvență și la frecvență joasă în funcție de tensiunea aplicată pe structură. Așa cum se observă, în figura 5.25, cele două curbe diferă între ele. Deosebirea apare deoarece la frecvențe înalte capacitatea nu depinde de suprafață. Într-adevăr, pentru $\omega\tau \gg 1$ ecuația (5.16) se reduce la ecuația (5.2). Efectul stărilor de interfață se

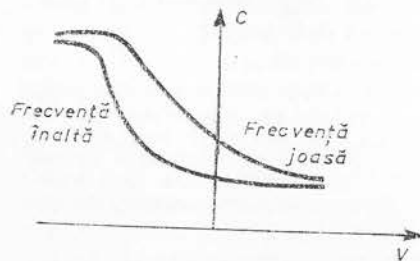


Fig. 5.25. — Dependența capacității de tensiune în structura MOS cu semiconductor de tip p , la frecvențe înalte și la frecvențe joase.

manifestă printr-o deplasare a curbei $C = f(V)$, de la curba ideală, cu ΔV de-a lungul axei tensiunilor. Aceasta se întâmplă pentru că prezența capcanelor de interfață determină un câmp electric în oxid mai mare decît la suprafața semiconductorului, ceea ce face să fie necesară o sarcină mai mare pe metal pentru a obține un câmp dat la suprafața semiconductorului. Cum starea de încărcare a capcanelor de interfață depinde de tensiunea V aplicată atunci și deplasarea ΔV va fi funcție de V . Din compararea curbei considerate cu curba MIS ideală se trasează graficul $\Delta V = f(V)$. Sarcina pe capcanele de interfață $Q_c = C_0 \Delta V$ și densitatea capcanelor de interfață se obține prin diferențiere grafică: $N_{ic} = (1/q)(\partial Q_c / \partial \psi_s)_V$ stări/cm² eV. Procedul de variație a temperaturii se bazează pe modificarea stării de încărcare a capcanelor cu variația temperaturii. În figura 5.26 în semiconductorul de tip p (unde stările de interfață sînt donoare) la o temperatură T_1 se presupune că stările sînt neutre adică sînt ocupate cu electroni (nive-

lul Fermi se află deasupra lor). La o temperatură $T_2 < T_1$, nivelul Fermi se apropie de banda de valență și o parte din stările donoare cedează electroni și devin încărcate pozitiv. Ca atare, curba $C = f(V)$ la T_2 se va deplasa față de curba la T_1 (fig. 5.27). Experimental se procedează astfel :

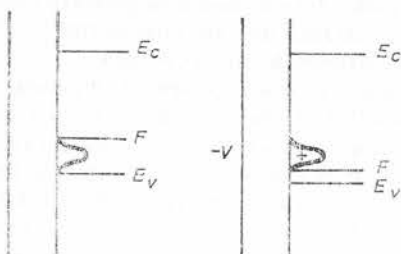


Fig. 5.26. — Variația stării de încărcare a capcanelor de interfață cu temperatura.

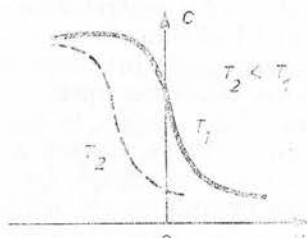


Fig. 5.27. — Variația cu temperatura a capacității structurii MOS.

se variază temperatura și se menține condiția de bandă plată prin variația tensiunii aplicate pe structură ; se înregistrează tensiunea de bandă plată în funcție de temperatură și se convertesc aceste date în dependența sarcinii de interfață Q_c de potențialul de suprafață ψ_s . Variația tensiunii de bandă plată cu variația temperaturii dă direct variația sarcinii pe stările de interfață, iar $\psi_s = (F - E_v)/q$. Densitatea capcanelor de interfață se obține dintr-o relație analogă cu cea de mai sus $N_{ic} = (1/q) (\partial Q_c / \partial \psi_s)$. Rezultatele sînt similare pentru structura MOS cu semiconductor de tip n unde stările de interfață sînt acceptoare, adică sînt negative cînd sînt ocupate cu electroni.

C. Proprietățile sarcinilor fixe și capcanelor de interfață

Sarcinile fixe au următoarele proprietăți [14] :

1) Ocuparea lor cu electroni este independentă de înclinarea benzilor din semiconductor și de tensiunea aplicată pe poartă :

2) Sarcinile fixe sînt imobile. Centrele responsabile pentru apariția sarcinilor fixe nu se deplasează sub influența temperaturii sau tensiunii de poartă.

3) Polaritatea sarcinilor fixe este totdeauna pozitivă, ceea ce face ca suprafața siliciului oxidat termic să fie de tip n .

4) Densitatea sarcinilor fixe depinde de orientarea suprafeței siliciului, avînd valoarea cea mai mare pentru suprafața (111) și valoarea cea mai mică pentru suprafața (100) [15] ; raportul dintre aceste două valori este egal cu ~ 3 . S-a găsit că sarcinile fixe sînt localizate foarte aproape de interfața Si-SiO₂ ; de fapt și dependența de orientarea suprafeței vine în sprijinul acestei supoziții.

5) Densitatea sarcinilor fixe poate fi reprodusă și modificată reversibil prin modificarea condițiilor de oxidare termică (oxigen uscat sau vapori de apă) și temperaturii de oxidare. În mod uzual pentru suprafața (111) densitatea de sarcină fixă obținută este în jur de 10^{11} cm^{-2} atît prin oxidarea în oxigen uscat cît și prin oxidarea în vapori de apă. Pentru condițiile optime de oxidare, 1200°C în oxigen uscat a suprafeței (111) a siliciului, se obține o densitate de sarcini fixe în jur de $1,5 \cdot 10^{11} \text{ cm}^{-2}$.

6) Densitatea sarcinilor fixe este practic independentă și tipul impurităților din siliciu.

7) Densitatea sarcinilor fixe este independentă de grosimea stratului de SiO_2 pentru anumite condiții de preparare, adică este independentă de timpul de oxidare.

8) Proprietățile și controlul sarcinilor fixe se bazează pe date empirice. Natura chimică a centrelor care dau sarcini fixe nu este cunoscută cu exactitate și nici legătura dintre acestea și capcanele de interfață.

Capcanele de interfață au următoarele două proprietăți, care determină influența lor asupra caracteristicilor dispozitivelor: densitatea lor este funcție de energie în domeniul benzii interzise a semiconductorului și probabilitățile de captură a electronilor și golurilor pe ele sînt funcție de lărgimea benzii interzise. În figura 5.28 este reprezentată dependența de orientarea cristalului a densității sarcinilor fixe și capcanelor de interfață. Curbele au fost obținute prin oxidarea unei probe de siliciu în formă de emisferă, fiind posibilă expunerea în același timp a unei varietăți de orientări cristalografice. Densitatea cea mai mare de sarcini fixe și de capcane de interfață s-a obținut pentru orientarea (111) iar densitatea cea mai mică s-a obținut pentru suprafața (100). Dependența de orientarea cristalină arată că aceste centre sînt localizate în regiunea interfeței. Localizarea la interfață este demonstrată și din experiențe de tăiere și îndepărtare a unor straturi de la suprafața oxidată precum și de experiențe de fotoemisie. Asemenea experiențe arată că aceste centre sînt localizate într-un strat de 20 Å lîngă interfață.

D. Metode de control a densității sarcinilor fixe și capcanelor de la interfață

1. Sarcinile fixe

Densitatea sarcinilor fixe depinde de condițiile de oxidare care sînt mediul ambiant (umed sau uscat) și temperatura de oxidare precum și de

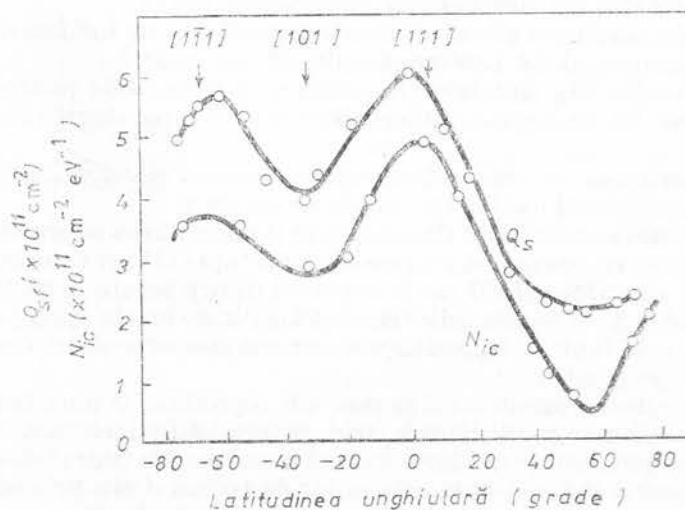


Fig. 5.28. — Densitatea sarcinilor de la interfață și a capcanelor de la interfață în funcție de orientarea suprafeței cristaline.

orientarea cristalului. Influența temperaturii de oxidare asupra densității sarcinilor fixe, Q_{sf} , este reprezentată în figura 5.29. Oxidarea suprafeței siliciului de tip n , cu $N_D = 1,4 \cdot 10^{16} \text{ cm}^{-3}$, orientată după (111) s-a făcut

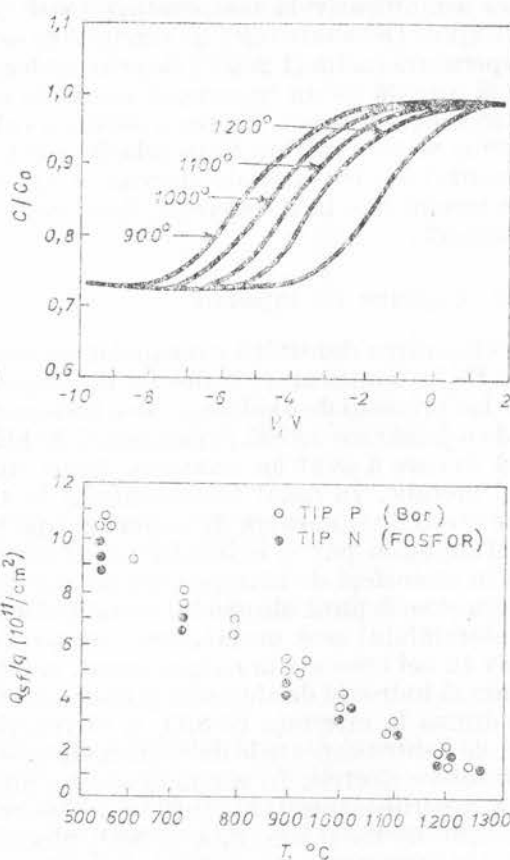


Fig. 5.29. — Curbele $C = f(V)$ măsurate pe structuri MOS cu stratul de oxid crescut la diverse temperaturi în oxigen uscat (a); densitatea de sarcini fixe în funcție de temperatură de oxidare (b).

în oxigen uscat. Figura 5.29 a prezintă o familie de curbe $C = f(V)$ pentru probe oxidate la diverse temperaturi, cu grosimea oxidului de 2 000 Å. Se observă că deplasarea acestor curbe de-a lungul axei tensiunilor, spre valori negative crește cu scăderea temperaturii de oxidare. Deplasarea curbelor spre valori negative ale tensiunii arată că sarcinile fixe sînt pozitive. Densitatea sarcinilor fixe se determină din tensiunea de bandă plată înmulțită cu capacitatea C_0 a stratului de oxid. În figura 5.29 b se redă densitatea sarcinilor fixe astfel obținută, în funcție de temperatura de oxidare atât pentru probe de tip n cît și pentru probe de tip p din siliciu. Valoarea cea mai mică a Q_{sf} se obține pentru cea mai mică temperatură de oxidare, în ambele cazuri. Rezultate similare se obțin în oxigen umed, numai că în acest caz Q_{sf} descrește mai încet cu creșterea temperaturii de oxidare decît în cazul oxigenului uscat. Oxidarea în oxigen umed la 1 200°C dă o densitate a sarcinilor fixe de $3 \cdot 10^{11} \text{ cm}^{-2}$ mai mare decît în cazul oxidării în oxigen uscat (fig. 5.29b). Prin urmare, este de preferat să se facă oxidarea în oxigen uscat.

Un alt parametru care determină densitatea de sarcini fixe este rata de răcire a probei de la temperatura de oxidare la temperatura mediului ambiant. Cu cât rata de răcire este mai mare cu atât Q_{sf} are o valoare mai mică. Rata de răcire rapidă nu dă posibilitatea ca să aibă loc un proces de oxidare semnificativ la temperaturi joase și densitatea de sarcină fixă rămâne mică. Densitate mică de sarcini fixe se poate obține fie prin oxidarea la temperatură înaltă (1 200°C) fie prin oxidare la temperatură joasă (<1000°C), însă urmată de un tratament termic la o temperatură de aproximativ 600°C în azot sau argon. Pentru a obține o valoare mică a lui Q_{sf} , tratamentul termic se face într-un timp relativ scurt (o oră sau mai puțin). Dacă tratamentul are loc timp de câteva ore, Q_{sf} crește. Prin urmare, densitatea de sarcini fixe întâi descrește apoi crește cu creșterea timpului de tratare termică.

2. Capcane de interfață

Micșorarea densității capcanelor de interfață se face prin tratament termic fie la temperaturi înalte fie la temperaturi joase. Imediat după ce a avut loc procesul de oxidare se face tratamentul la temperatura de 1 000°C timp de o jumătate de oră în atmosferă de hidrogen sau gaz inert în aceeași incintă în care a avut loc oxidarea. După tratament se depune peste oxid stratul metalic. În cazul tratamentului la temperaturi joase, stratul de oxid se crește în atmosferă de vapori de apă sau de oxigen, apoi se depune peste el aluminiu pur și se încălzește structura la 350°C timp de o jumătate de oră în atmosferă de hidrogen sau alt mediu neoxidant. Se îndepărtează aluminiu și se depune electrodul metalic dorit. Explicația necesității depunerii aluminiului este următoarea. Apa, care este prezentă în toți oxizii, inclusiv în cei crescuți în oxigen uscat, reacționează cu aluminiul metalic și formează hidroxid de aluminiu și hidrogen. O parte din hidrogenul rezultat poate difuza la interfața Si-SiO₂ și să reacționeze chimic cu centrele responsabile pentru capcanele de suprafață, în acest fel acestea din urmă devenind inactive electric. În sprijinul acestei presupuneri există o serie de rezultate experimentale [16]. Întâi, s-a observat că un strat de nitură de siliciu între metal și interfața Si-SiO₂ blochează migrarea hidrogenului și nu are loc micșorarea densității capcanelor de interfață. În al doilea rând s-a găsit că hidrogenul atomic este mai activ decât hidrogenul molecular în reducerea capcanelor de interfață. În al treilea rând s-a observat că metalele mai active, ca aluminiu și magneziu, reduc considerabil densitatea de capcane de interfață în comparație cu metalele mai puțin active cum ar fi platina și aurul. Înainte de tratamentul termic densitatea capcanelor de interfață situate în apropierea mijlocului lui E_g este de $10^{11} \text{cm}^{-2} \text{eV}^{-1}$ în cazul creșterii stratului de SiO₂ în atmosferă de vapori de apă și $10^{12} \text{cm}^{-2} \text{eV}^{-1}$ în cazul creșterii în atmosferă de oxigen. După tratamentul termic, densitatea capcanelor de interfață scade la $10^{10} \text{cm}^{-2} \text{eV}^{-1}$ în ambele cazuri. Pentru cele mai multe dispozitive, o asemenea densitate mică nu are efecte asupra performanțelor lor. În figura 5.30 se reprezintă densitatea de capcane de interfață măsurată prin metoda conductanței, într-o structură MOS cu semiconductor de tip *p* supusă tratamentului termic la temperatură joasă, cu poartă din aluminiu. Comparînd această curbă cu cea din figura 5.29 se observă că tratamentul termic reduce considerabil densitatea de capcane de interfață.

E. Degradarea în timp a performanțelor structurii MOS

Performanțele structurii MOS se modifică în timp datorită modificării densității capcanelor de interfață și sarcinilor fixe. Există patru cauze care pot conduce la creșterea densității capcanelor de interfață și sarcinilor

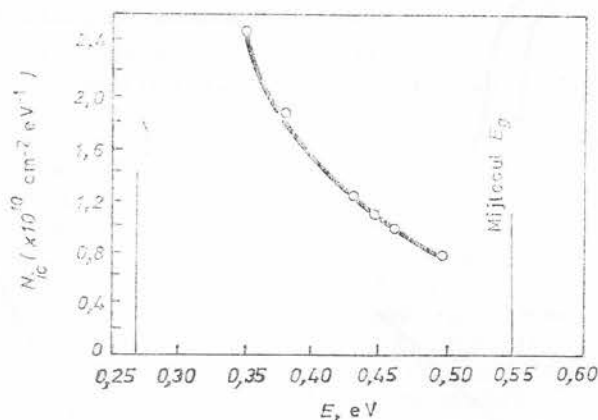


Fig. 5.30. — Densitatea capcanelor de interfață în funcție de energie, în urma tratamentului termic.

fixe : (1) captura lentă, (2) tratamentul termic, (3) încărcarea pe cale electrochimică, (4) radiația de ionizare.

1. Captura lentă

Apare o îmbătrânire rapidă a structurii datorită încălzirii în prezența unei tensiuni aplicate pe poartă. Aceasta se manifestă prin creșterea densității capcanelor de interfață și sarcinilor fixe. Rezultatul unui asemenea efect este prezentat în figura 5.31, unde curba *A* este teoretică, curba *B* este curba $C = f(V)$ măsurată inițial, înainte de „îmbătrânire” iar curba *C* este rezultatul măsurărilor efectuate după încălzirea la 400°C timp de două minute cu o tensiune negativă aplicată pe poartă de $2 \cdot 10^6 \text{ V/cm}$. În structura MOS utilizată semiconductorul este de tip *p* cu $N_A = 1,4 \cdot 10^{16} \text{ cm}^{-3}$ și grosimea stratului de oxid de 2 000 Å. Deplasarea curbei *C* de-a lungul axei tensiunilor se datorează creșterii densității sarcinilor fixe, iar distorsiunea formei acesteia se datorează creșterii densității capcanelor de interfață. În figura 5.31b este prezentată suma dintre densitatea sarcinilor fixe Q_{sf}/q și capcanelor de interfață N_{it} în funcție de cîmpul electric aplicat pentru probe cu diferite orientări cristaline. Se observă că $(Q_{sf}/q) + N_{it}$ crește liniar cu creșterea cîmpului electric și panta precum și punctul de intersecție la cîmp zero depind de valoarea inițială a lui $(Q_{sf}/q) + N_{it}$. Evaluarea lui $(Q_{sf}/q) + N_{it}$ s-a făcut măsurînd deplasarea punctului din mijloc al curbei $C = f(V)$ de-a lungul axei tensiunilor și multiplicînd această valoare cu capacitatea stratului de oxid. În figura 5.32 este reprezentată dependența variației tensiunii de bandă plată ΔV_{BP} de timpul de îmbătrânire, la 330°C cu -10V tensiune aplicată pe poartă, pentru o structură MOS cu grosimea stratului de oxid de 1 000 Å crescut pe suprafața (111) a siliciului. Se observă că ΔV_{BP} se saturează în timp. Nu există un model teoretic

satisfăcător care să explice efectul de „îmbătrânire lentă”. Însăși denumirea nu corespunde fenomenului care are loc, ci se utilizează pur și simplu deoarece așa a intrat în limbajul obișnuit. Acest efect este caracteristic bioxidului

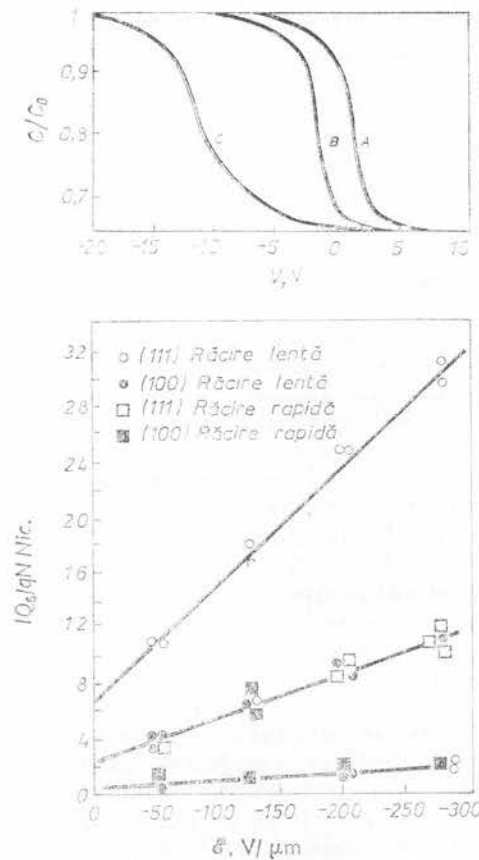


Fig. 5.31. — C/C_0 în funcție de tensiune înainte și după îmbătrânire (a), densitatea de sarcini fixe și de capcane de interfață în funcție de cimpul electric aplicat în timpul îmbătrânirii (b).

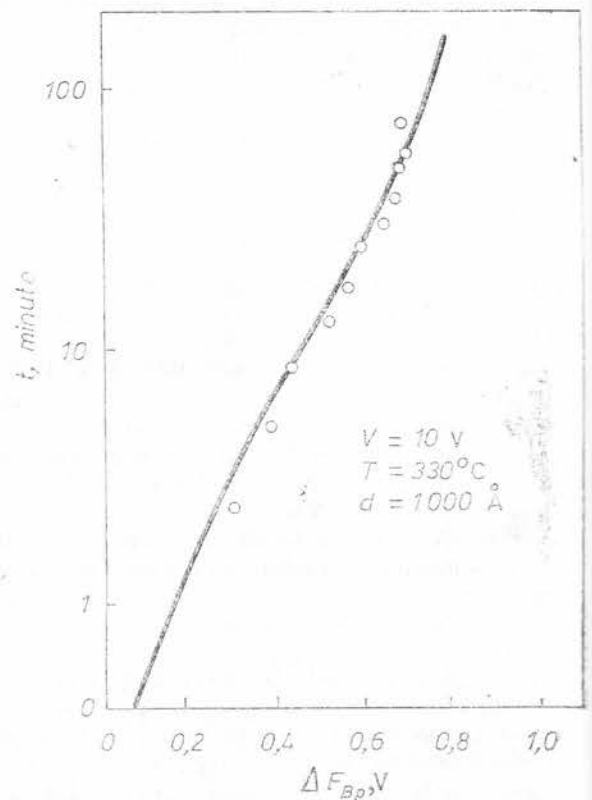


Fig. 5.32. — Dependența de timp a variației tensiunii de bandă plată.

de siliciu crescut termic. Când polaritatea aplicată pe poartă este negativă (în raport cu substratul de siliciu) crește atât densitatea capcanelor de interfață cât și densitatea de sarcini fixe. Când polaritatea pe poartă este pozitivă se observă o creștere numai a densității sarcinilor fixe. Prin urmare efectul de îmbătrânire cel mai mare se obține pentru dispozitivele cu canal p deoarece polaritatea aplicată electrodului în acest caz este negativă.

2. Tratamentul termic

Tratamentul termic la temperaturi înalte (peste 600°C), fără să se aplice și tensiune pe poartă, conduce de asemenea la modificarea densității sarcinilor fixe. Modificarea densității sarcinilor fixe la temperatura mediului ambiant este neglijabilă. Densitatea capcanelor de interfață se schimbă

apreciabil, cu un ordin de mărime, cu tratamentul la temperaturi joase ($22 \div 600^\circ\text{C}$), fără tensiune aplicată din exterior. Agentul responsabil pentru modificarea densității capcanelor la temperaturi joase este hidrogenul provenit din vapori de apă, care intră sau iese din oxid. Stabilitatea densității capcanelor de interfață se realizează prin acoperirea oxidului cu un strat impermeabil la apă și hidrogen, cum ar fi nitrura de siliciu sau un metal.

3. Încărcarea pe cale electrochimică

Difuzia apei în stratul de oxid duce la apariția unor centre de captură care captează electronii injectați; secțiunea de captură a fost estimată la valoarea de $1,5 \cdot 10^{-17} \text{cm}^2$. Electronul captat de un asemenea centru inițiază o reacție chimică care produce hidrogen, centre încărcate negativ și capcane de interfață. Din această cauză crește densitatea sarcinilor fixe și capcanelor de interfață. Încărcarea pe cale electrochimică joacă rol important în tranzistorii MOS cu canal îngust, în care caz cimpul electric în vecinătatea joncțiunii de drenă este destul de mare, astfel că electronii fierbinți care intră în regiunea acestei joncțiuni au suficientă energie pentru a escalada bariera, de $3,2 \text{eV}$, dintre banda de conducție a siliciului și banda de conducție a SiO_2 . De asemenea, încărcarea pe cale electrochimică joacă rol important în diodele planare de înaltă tensiune unde valoarea tensiunii de străpungere a siliciului este modificată de crearea sarcinilor fixe și capcanelor de interfață. S-a observat că tratamentul termic la 200°C timp de 15 minute în atmosferă de vapori de apă conduce la descărcarea completă a oxidului. Se pare că în acest caz vaporii de apă difuzează în oxid către centrele încărcate negativ, reacționează chimic cu acestea și le redă neutralitatea electrică. Pentru a evita încărcarea pe cale electrochimică este recomandabil ca oxidarea să se facă în oxigen uscat sau să se utilizeze un captator (getter) de apă cum ar fi un strat de sticlă fosfosilicată depus peste SiO_2 și o barieră de apă, cum ar fi nitrura de siliciu depusă peste sticlă, pentru a împiedica vaporii de apă din mediul ambiant să satureze captatorul de sticlă.

4. Radiația de ionizare

Densitatea capcanelor de interfață și a sarcinilor fixe crește prin expunerea oxidului la radiații de ionizare, cum ar fi razele X. O asemenea expunere apare inevitabil în procesul de fabricare a circuitelor integrate unde aluminiul se depune folosind un tun electronic, la implantarea de ioni, în litografia cu raze X, la depunerea materialelor pe suprafața oxidului prin descărcare în plasmă precum și la tăierea materialelor folosind fascicule de ioni. Radiația de ionizare generează perechi electron-gol în SiO_2 . Golurile sunt captate lângă sau la interfața Si-SiO_2 , determinând creșterea densității de sarcini fixe și de capcane de interfață. Densitatea de sarcini fixe și de capcane de interfață poate fi micșorată dacă înainte de expunerea la radiații se face un tratament termic la câteva sute de grade celsius, pentru perioade mai mici de o jumătate de oră, în atmosferă de gaz inert. Problemele care se pun sînt legate întîi de micșorarea densității capcanelor de interfață și a sarcinilor fixe și în al doilea rînd de menținerea acestor densități invariabile, pe perioada de viață a dispozitivelor, pentru a asigura stabilitatea în funcționare. La prima problemă ne-am referit aproape pe tot cuprinsul acestui paragraf. Problema stabilității se rezolvă pe de o parte izolînd dispozitivul de mediul exterior prin încapsulare și pe de altă parte prin asigurarea funcționării acestuia la temperaturi joase.

5.4. Efectele ionilor mobili, neuniformităților laterale și capcanelor ionizate asupra caracteristicilor structurii MOS

În bioxidul de siliciu există în general ioni de sodiu și, mai puțin, de potasiu și hidrogen [17—19]. La o temperatură mai mare de 150°C ionii de sodiu se deplasează prin stratul de oxid într-un timp de ordinul secundelor. La aplicarea unui câmp electric intens pe stratul de oxid, deși mobilitatea ionilor este destul de mică aceștia se deplasează ușor chiar la temperatura camerei. (Când se aplică pe poartă o tensiune de 10V pentru grosime stratului de oxid de $1\,000\text{ \AA}$ valoarea câmpului este de 10^6V/cm). Ionii mobili (cu sarcină pozitivă) distribuiți inițial ca în figura 5.33a se vor deplasa sub influența câmpului electric, către interfața siliciu-bioxid de siliciu, dacă poarta este polarizată pozitiv. Deplasarea ionilor mobili la interfața siliciu-bioxid de siliciu va induce o sarcină negativă mai mare la suprafața siliciului. Dacă siliciul este de tip p și există inițial un strat de inversie, sarcina din acest strat va crește (fig. 5.33b). În mod analog, dacă semiconductorul este de tip n , tensiunea pozitivă aplicată pe poartă va

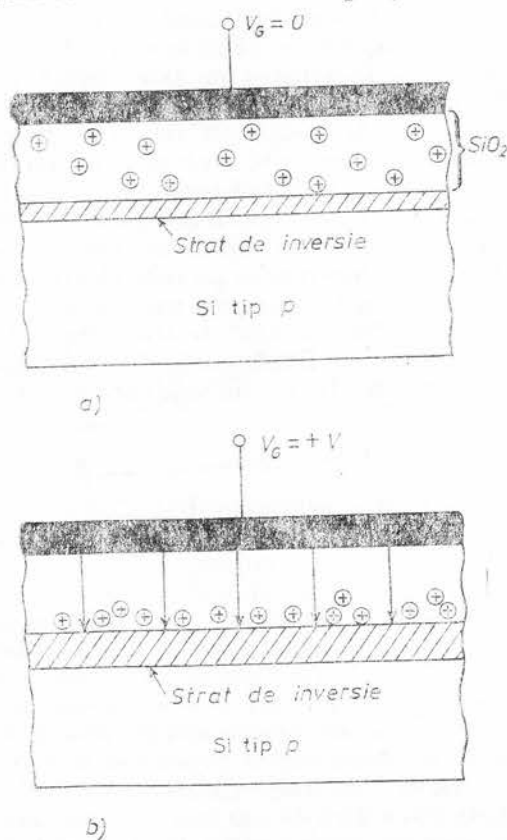


Fig. 5.33. — Deplasarea ionilor mobili în bioxidul de siliciu sub influența câmpului electric: a — distribuția înainte de aplicarea unei tensiuni pe poartă; b — distribuția finală după aplicarea unei tensiuni pozitive pe poartă.

conduce la creșterea sarcinii din stratul de acumulare [20]. În general dacă stratul de oxid al structurii MOS este contaminat cu ioni de sodiu, ori alți ioni pozitivi, aplicarea unei tensiuni pozitive pe poartă va conduce la deplasarea tensiunii de bandă plată spre valori negative, pe cînd aplicarea unei tensiuni negative pe poartă va conduce la o deplasare a tensiunii de bandă plată spre valori pozitive.

Dacă se măsoară conductanța de suprafață pentru un puls de tensiune aplicat pe poartă, ca în figura 5.34a, aceasta variază în timp ca în figura 5.34b. Creșterea conductanței de suprafață se datorează creșterii numărului purtătorilor de sarcină liberi la suprafața semiconductorului ca urmare a deplasării ionilor mobili în stratul de oxid, așa cum am observat mai sus. Conductanța atinge o valoare de saturație care se păstrează și după ce tensiunea aplicată pe poartă se aduce la valoarea zero. Numai aplicarea unei tensiuni negative pe poartă ar putea readuce conductanța de suprafață la valoarea inițială, prin deplasarea ionilor mobili de la interfața siliciu-bioxid de siliciu înapoi în volumul stratului de oxid. În condiții date ionii se mișcă liber prin stratul de oxid, dar nu pot pătrunde în siliciu. Siliciul se comportă ca un electrod polarizat într-o soluție electrochimică. În final (fig. 5.33b) ionii sînt distribuiți într-un strat de cîtiva Å lîngă interfața Si—SiO₂. Cîmpul intens de dipol, dintre electronii din stratul de inversie din siliciu și ionii pozitivi din oxid micșorează bariera Si—SiO₂, și deci pragul fotoemisiei [21]. Interesant este faptul că electronii din siliciu nu tunelează pentru a recombină cu ionii de natriu aflați în vecinătate. Așa cum se observă în figura 5.35 nivelul energetic al stării libere a Na⁺ pe care s-ar putea fixa un electron se află cu cîtiva eV deasupra unui electron din banda de conducție a siliciului. Această diferență mare dintre nivelele energetice permite electronilor și ionilor să coexiste foarte aproape unii față de alții fără să recombine. De fapt s-a observat că chiar dacă se injectează electroni în SiO₂ aceștia nu sînt captați de către ionii de natriu, la temperatura camerei [22]. Studii detaliate asupra ionilor mobili din SiO₂ s-au făcut în ultimul timp pe baza curenților ionici termostimulați [23—24]. În multe cazuri distribuția ionilor pe suprafață nu este uniformă. Există regiuni cu concentrație mare separate de regiuni cu concentrație mică. Aceasta s-a observat din măsurători de caracteristici C—V, precum și din măsurători de fotoemisie folosind un spot de lumină mobil [24]. Efectul distribuției neuniforme a ionilor asupra caracteristicii C—V a structurii MOS este ilustrată în figura 5.36. Se trasează inițial caracteristica C—V a structurii. Apoi se aplică o tensiune la o anumită temperatură care cauzează deplasarea ionilor mobili în stratul de oxid către interfață. Se măsoară din nou caracteristica C—V. Dacă distribuția laterală a ionilor este uniformă, curba C—V este deplasată față de cea inițială de-a lungul axei tensiunilor cu o cantitate ΔV proporțională cu concentrația ionilor. Dacă distribuția ionilor este neuniformă curba C—V finală nu numai că este deplasată față de cea inițială, dar are

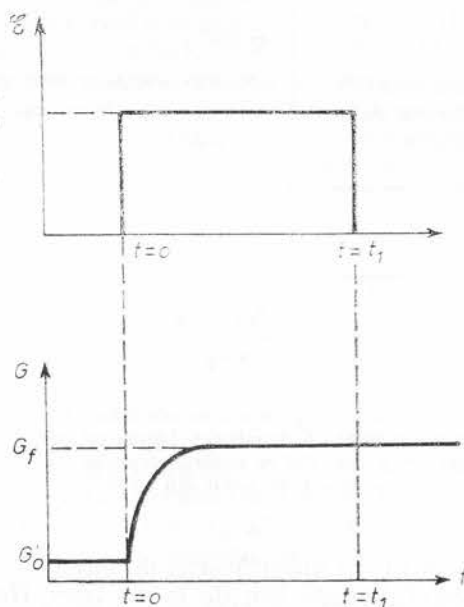


Fig. 5.34. — Conductanța superficială indusă de către deplasarea ionilor sub influența cîmpului electric în stratul de oxid.

și altă formă. Panta curbei finale în regiunea de tranziție este mai mică decât a curbei inițiale. Ea poate fi considerată ca o superpoziție de capacități ale unor elemente mici, tensiunea de bandă plată variind de la un element

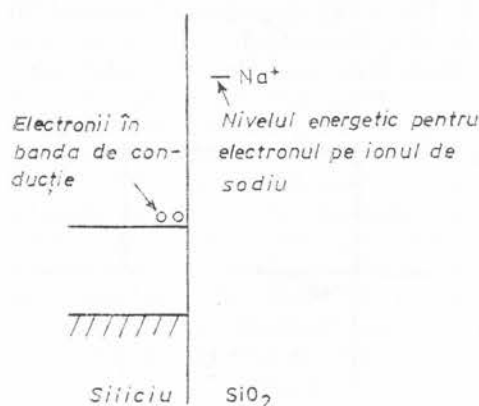


Fig. 5.35. — Reprezentarea nivelurilor energetice pentru electronii din banda de conducție a siliciului și pentru electronul de pe ionul de sodiu din oxid.

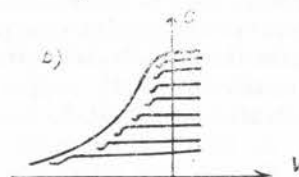
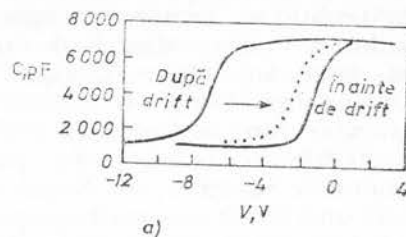


Fig. 5.36. — Curba $C = f(V)$: a — înainte și după tratamentul termic în prezența unei tensiuni aplicate; b — ilustrarea deformării curbei $C - V$ datorată neuniformităților laterale.

la altul. În măsurătorile de fotoemisie cu spot mobil, lumina de la o sursă convențională sau de la un laser He-Ne este focalizată într-un spot mic și se folosește pentru excitarea fotoemisie interne a electronilor din siliciu în SiO_2 . Deplasînd spotul pe probă s-a găsit că fotocurentul este funcție de poziție.

Bioxidul de siliciu conține, de asemenea, capcane atât pentru electroni cît și pentru goluri a căror efecte se suprapun peste efectele date de ioni mobili și stările (capcanele) de suprafață.

Efectele cîmpului electric induse de deplasarea ionilor mobili pot fi micșorate pe mai multe căi, pe care le vom expune în cele ce urmează. Întîi, trebuie luate toate măsurile de curățenie pentru eliminarea contaminării cu ioni de sodiu în timpul procesului de preparare a structurii. Tubul de cuarț în care se face oxidarea trebuie curățit în prealabil folosind un amestec de oxigen uscat și hydrogen chloride [25]. S-a observat, de asemenea, că se micșorează concentrația de ioni de sodiu dacă în timpul procesului de oxidare se introduce în atmosfera de oxigen uscat o cantitate mică de hydrogen chloride. În plus, acest proces conduce la pasivarea stratului de oxid față de instabilitatea ionilor, care ar putea fi determinată de depunerea ulterioară a metalelor pentru poartă și contacte ohmice. După creșterea stratului de oxid acesta poate fi contaminat cu ioni de sodiu în timpul depunerii stratului de fotorezist care conține în mod uzual ioni de sodiu. De aceea, după ce are loc operația de fotolitografie și se îndepărtează stratul de fotorezist oxidul trebuie curățat chimic și să se îndepărteze din el un strat de $50 \div 150 \text{ \AA}$ din porțiunea care a venit în contact cu fotorezistul și care ar fi contaminată cu sodiu. Acest procedeu este necesar în cazul cînd oxidul de poartă vine în contact cu fotorezistul în timpul procesului de fabricare a structurii, deoarece sînt cazuri cînd se folosește drept mască metalul de poartă (de exemplu, molibdenul). O altă cale de a micșora efec-

tele ionilor este micșorarea mobilității acestora în izolatorul porții. Aceasta se poate realiza prin depunerea unui strat de sticlă dopată cu fosfor peste stratul de oxid al porții, crescut termic, sau prin folosirea de strate dielectrice duble de tipul $\text{SiO}_2\text{-Si}_3\text{N}_4$ și $\text{SiO}_2\text{-Al}_2\text{O}_3$ ca izolator al porții. Ionii de sodiu sînt mai solubili în sticla dopată cu fosfor decît în stratul de oxid și sînt „captați” de către stratul de sticlă împiedicîndu-se deplasarea lor sub influența cîmpului electric. Același rol îl joacă stratele de Si_3N_4 sau Al_2O_3 . În plus, aceste din urmă au constantă dielectrică mai mare decît a bioxidului de siliciu, ceea ce înseamnă că stratul dublu de $\text{SiO}_2\text{-Si}_3\text{N}_4$ sau $\text{SiO}_2\text{-Al}_2\text{O}_3$ este echivalent din punct de vedere electric cu un strat mai subțire de oxid. Aceasta are avantaje în tranzistorul cu efect de cîmp: reducerea tensiunii de prag, reducerea variației tensiunii de prag cu tensiunea substrat-sursă (efectul sursă-volum) și creșterea factorului de amplificare, β . În circuitele MOS integrate stratul de SiO_2 este de 600Å iar cel de Si_3N_4 de 400Å.

5.5. Stratul de inversiune. Efectele temperaturii și luminii asupra stratului de inversiune. Conducțanța canalului

A. Efectele temperaturii și iluminării

La inversie puternică circuitul echivalent al structurii MOS arată ca în figura 5.36, unde C_i este capacitatea izolatorului, C_n — capacitatea stratului de deflexie, R_d — rezistența asociată purtătorilor minoritari care difuzează în volum prin regiunea de deflexie către suprafața semiconductorului în contact cu izolatorul, R_{gn} — rezistența asociată cu recombinarea și generarea purtătorilor în stratul de deflexie, R_s — rezistența asociată purtătorilor majoritari care se deplasează din volum către suprafață, adică cu golurile care trec din banda de valență și electronii care trec din banda de conducție pe stările de suprafață. Se cunoaște din teoria fenomenelor de transport că $(1/R_d) \sim n_i^2 \sim \exp(-E_g/kT)$ iar, cînd domină procesele de combinare, $1/R_{gn} \sim n_i \sim \exp(-E_g/2kT)$. Conducțanța G a structurii MOS se saturează în regiunea de inversie puternică (la tensiuni negative) unde are valoarea $(1/R_d) + (1/R_{gn}) + (1/R_s)$ (fig. 5.37 a) [26]. Variația cu temperatura a conducțanței în regiunea de inversie puternică este reprezentată în figura 5.37 b, pe baza rezultatelor din figura 5.37 a. Se observă că G prezintă două pante distincte: o pantă cu energia de activare de 0,56eV pînă la 140°C ceea ce arată că în acest domeniu, $G \simeq 1/R_{gn}$, adică domină procesele de recombinare; peste 140°C, panta corespunde unei energii de activare de 1,17eV, ceea ce arată că în acest domeniu domină procesele de difuzie, $G \simeq 1/R_d$. Această pantă se obține din dreapta (c) determinată prin scăderea contribuției generării sarcinii din conducțanța totală. În prezența luminii, cu creșterea intensității acesteia, capacitanța în regiunea de inversie puternică se apropie de valoarea sa la frecvențe joase, așa cum se observă în figura 5.38, unde se reprezintă capacitatea normală măsurată la 100kHz în funcție de tensiunea aplicată pentru diverse intensități ale luminii. Iluminarea determină creșterea concentrației purtătorilor de sarcină în stratul de inversie ceea ce conduce pe de o parte la micșorarea constantei de timp a generării purtătorilor minoritari în strat iar pe de altă parte la micșorarea potențialului de suprafață și creșterea corespunzătoare a capacității [27].

și altă formă. Panta curbei finale în regiunea de tranziție este mai mică decât a curbei inițiale. Ea poate fi considerată ca o superpoziție de capacități ale unor elemente mici, tensiunea de bandă plată variind de la un element

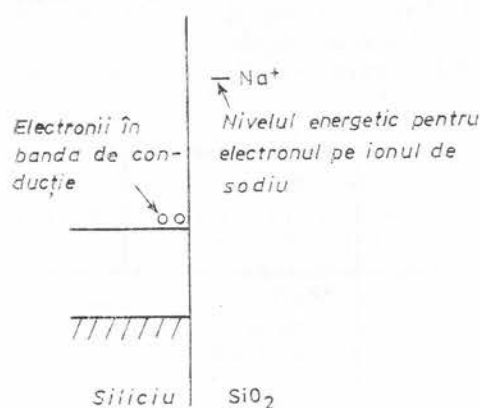


Fig. 5.35. — Reprezentarea nivelelor energetice pentru electronii din banda de conducție a siliciului și pentru electronul de pe ionul de sodiu din oxid.

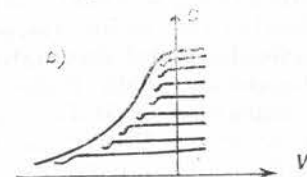
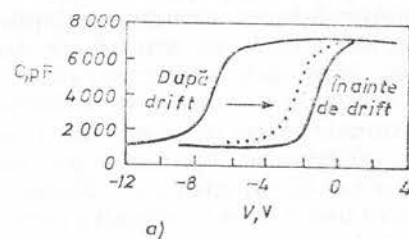


Fig. 5.36. — Curba $C = f(V)$: a — înainte și după tratamentul termic în prezența unei tensiuni aplicate; b — ilustrarea deformării curbei $C - V$ datorată neuniformităților laterale.

la altul. În măsurătorile de fotoemisie cu spot mobil, lumina de la o sursă convențională sau de la un laser He-Ne este focalizată într-un spot mic și se folosește pentru excitarea fotoemisiei interne a electronilor din siliciu în SiO_2 . Deplasind spotul pe probă s-a găsit că fotocurentul este funcție de poziție.

Bioxidul de siliciu conține, de asemenea, capcane atât pentru electroni cîi și pentru goluri a căror efecte se suprapun peste efectele date de ioni mobili și stările (capcanele) de suprafață.

Efectele cîmpului electric induse de deplasarea ionilor mobili pot fi micșorate pe mai multe căi, pe care le vom expune în cele ce urmează. Întîi, trebuie luate toate măsurile de curățenie pentru eliminarea contaminării cu ioni de sodiu în timpul procesului de preparare a structurii. Tubul de cuarț în care se face oxidarea trebuie curățit în prealabil folosind un amestec de oxigen uscat și hydrogen chloride [25]. S-a observat, de asemenea, că se micșorează concentrația de ioni de sodiu dacă în timpul procesului de oxidare se introduce în atmosfera de oxigen uscat o cantitate mică de hydrogen chloride. În plus, acest proces conduce la pasivarea stratului de oxid față de instabilitatea ionilor, care ar putea fi determinată de depunerea ulterioară a metalelor pentru poartă și contacte ohmice. După creșterea stratului de oxid acesta poate fi contaminat cu ioni de sodiu în timpul depunerii stratului de fotorezist care conține în mod uzual ioni de sodiu. De aceea, după ce are loc operația de fotolitografie și se îndepărtează stratul de fotorezist oxidul trebuie curățat chimic și să se îndepărteze din el un strat de $50 \div 150 \text{ \AA}$ din porțiunea care a venit în contact cu fotorezistul și care ar fi contaminată cu sodiu. Acest procedeu este necesar în cazul cînd oxidul de poartă vine în contact cu fotorezistul în timpul procesului de fabricare a structurii, deoarece sînt cazuri cînd se folosește drept mască metalul de poartă (de exemplu, molibdenul). O altă cale de a micșora efec-

tele ionilor este micșorarea mobilității acestora în izolatorul porții. Aceasta se poate realiza prin depunerea unui strat de sticlă dopată cu fosfor peste stratul de oxid al porții, crescut termic, sau prin folosirea de strate dielectrice duble de tipul $\text{SiO}_2\text{-Si}_3\text{N}_4$ și $\text{SiO}_2\text{-Al}_2\text{O}_3$ ca izolator al porții. Ionii de sodiu sînt mai solubili în sticla dopată cu fosfor decît în stratul de oxid și sînt „captați” de către stratul de sticlă împiedicîndu-se deplasarea lor sub influența cîmpului electric. Același rol îl joacă stratele de Si_3N_4 sau Al_2O_3 . În plus, aceste din urmă au constantă dielectrică mai mare decît a bioxidului de siliciu, ceea ce înseamnă că stratul dublu de $\text{SiO}_2\text{-Si}_3\text{N}_4$ sau $\text{SiO}_2\text{-Al}_2\text{O}_3$ este echivalent din punct de vedere electric cu un strat mai subțire de oxid. Aceasta are avantaje în tranzistorul cu efect de cîmp: reducerea tensiunii de prag, reducerea variației tensiunii de prag cu tensiunea substrat-sursă (efectul sursă-volum) și creșterea factorului de amplificare, β . În circuitele MOS integrate stratul de SiO_2 este de 600Å iar cel de Si_3N_4 de 400Å.

5.5. Stratul de inversiune. Efectele temperaturii și luminii asupra stratului de inversiune. Conductanța canalului

A. Efectele temperaturii și iluminării

La inversie puternică circuitul echivalent al structurii MOS arată ca în figura 5.36, unde C_i este capacitatea izolatorului, C_D — capacitatea stratului de deflexie, R_d — rezistența asociată purtătorilor minoritari care difuzează în volum prin regiunea de deflexie către suprafața semiconductorului în contact cu izolatorul, R_{gp} — rezistența asociată cu recombinarea și generarea purtătorilor în stratul de deflexie, R_s — rezistența asociată purtătorilor majoritari care se deplasează din volum către suprafață, adică cu golurile care trec din banda de valență și electronii care trec din banda de conducție pe stările de suprafață. Se cunoaște din teoria fenomenelor de transport că $(1/R_d) \sim n_i^2 \sim \exp(-E_g/kT)$ iar, cînd domină procesele de combinare, $1/R_{gp} \sim n_i \sim \exp(-E_g/2kT)$. Conductanța G a structurii MOS se saturează în regiunea de inversie puternică (la tensiuni negative) unde are valoarea $(1/R_d) + (1/R_{gp}) + (1/R_s)$ (fig. 5.37 a) [26]. Variația cu temperatura a conductanței în regiunea de inversie puternică este reprezentată în figura 5.37 b, pe baza rezultatelor din figura 5.37 a. Se observă că G prezintă două pante distincte: o pantă cu energia de activare de 0,56eV pînă la 140°C ceea ce arată că în acest domeniu, $G \simeq 1/R_{gp}$, adică domină procesele de recombinare; peste 140°C, panta corespunde unei energii de activare de 1,17eV, ceea ce arată că în acest domeniu domină procesele de difuzie, $G \simeq 1/R_d$. Această pantă se obține din dreapta (c) determinată prin scăderea contribuției generării sarcinii din conductanța totală. În prezența luminii, cu creșterea intensității acesteia, capacitanța în regiunea de inversie puternică se apropie de valoarea sa la frecvențe joase, așa cum se observă în figura 5.38, unde se reprezintă capacitatea normată măsurată la 100kHz în funcție de tensiunea aplicată pentru diverse intensități ale luminii. Iluminarea determină creșterea concentrației purtătorilor de sarcină în stratul de inversie ceea ce conduce pe de o parte la micșorarea constantei de timp a generării purtătorilor minoritari în strat iar pe de altă parte la micșorarea potențialului de suprafață și creșterea corespunzătoare a capacității [27].

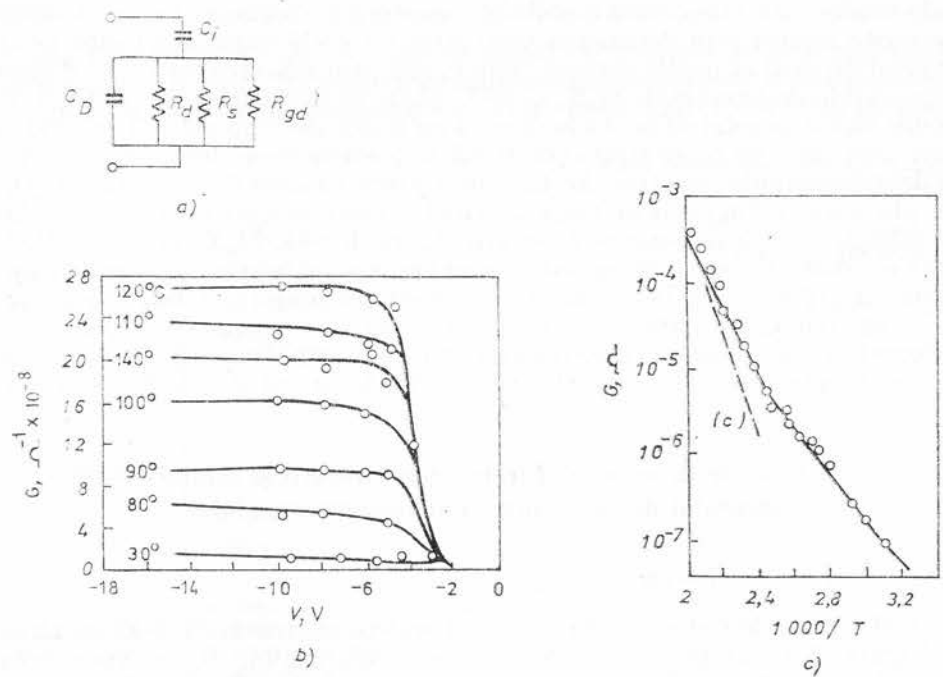


Fig. 5.37. — Circuitul echivalent al structurii MOS la inversie puternică (a), conductanța în funcție de tensiune la diverse temperaturi (b), conductanța în funcție de $1000/T$ (c).

B. Conductanța canalului

Stratul de inversie constituie un canal la suprafața semiconductorului care vine în contact cu poarta. Prin efect canal are loc procesul de conducție în tranzistorul cu efect de câmp de suprafață, așa cum vom vedea în paragraful care urmează. Tranzistorul cu efect de câmp de suprafață cu canal de tip n (fig. 5.39) este alcătuit dintr-un substrat de siliciu de tip p în care s-au realizat prin difuzie sau implantare de ioni, două regiuni n^+ numite sursă și drenă. Pentru o anumită valoare a tensiunii pozitive aplicată pe poartă, în semiconductorul de tip p apare un strat de inversiune între cele două regiuni n^+ , numit canal. Notînd cu L lungimea și cu Z lărgimea canalului, conductanța acestuia se scrie

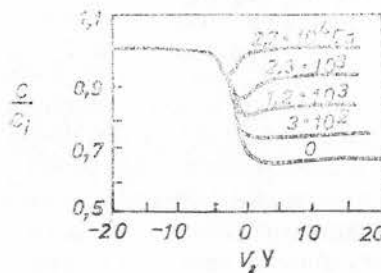


Fig. 5.38. — Efectul iluminării asupra caracteristicii $C-V$.

$$g = \frac{Z}{L} \int_0^{x_i} \sigma(x) dx, \quad (5.17)$$

unde x_i este adîncimea canalului, adică grosimea stratului de inversiune; la $x = x_i$ semiconductorul este intrinsec (are loc trecerea de la conducția de tip n la conducția de tip p). În canalul de tip n , concentrația electro-

nilor, $n(x)$, este mult mai mare decît concentrația golurilor, $p(x)$, astfel că

$$\sigma(x) \simeq qn(x) \mu_n(x), \quad (5.18)$$

unde $\mu_n(x)$ este mobilitatea electronilor. Conductanța canalului se scrie

$$g = \frac{Z}{L} \mu_{ef} |Q_n|, \quad (5.19)$$

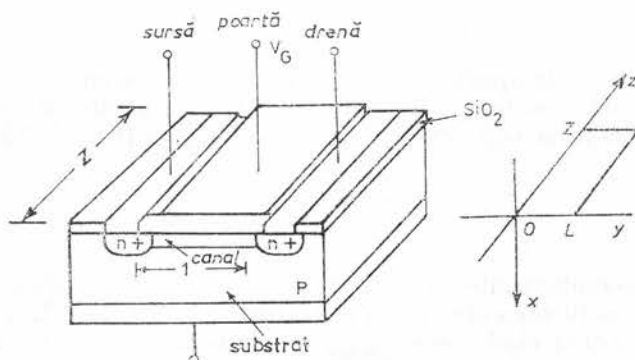


Fig. 5.39. — Tranzistorul cu efect de cîmp de suprafață cu canal de tip n .

unde Q_n este sarcina din stratul de inversiune, pe unitatea de arie, iar μ_{ef} — mobilitatea efectivă

$$\mu_{ef} = \frac{q \int_0^{x_i} \mu_n(x) n(x) dx}{|Q_n|}, \quad (5.20)$$

μ_{ef} este diferită de mobilitatea din volum, datorită împrăstierii purtătorilor la suprafață și diferenței dintre concentrația impurităților în volum și lângă suprafață, apărută ca urmare a tratamentului termic

$$\frac{1}{\mu_{ef}} = \frac{1}{\mu_r} + \frac{1}{\mu_i} + \frac{1}{\mu_s}, \quad (5.21)$$

unde μ_r este mobilitatea datorată împrăstierii pe rețea, μ_i — mobilitatea datorată împrăstierii pe impurități iar μ_s — mobilitatea datorată împrăstierii difuze pe suprafață. Aceasta din urmă a fost studiată de Schrieffer [28] și alți autori [29]. Experiența arată că mobilitatea purtătorilor de sarcină se păstrează constantă pentru un interval de variație a tensiunii pe poartă pînă la un cîmp de aproximativ 10^5 V/cm , iar peste această valoare începe să scadă cu creșterea tensiunii de poartă datorită creșterii influenței împrăstierii pe suprafață. $\mathcal{E}_s = Q_s/\epsilon_s$ și Q_s este sarcina totală pe unitatea de arie indusă în semiconductor. Se poate scrie $Q_n = Q_s - Q_B$, unde Q_B este sarcina din stratul de deflexie a cărui grosime are valoarea W_m la inversie puternică. Tensiunea de poartă $V_G = V_0 + \phi_s$ unde V_0 este căderea de

tensiune pe stratul de oxid. Se mai poate scrie $V_0 = -Q_s/C_0$ și prin urmare [30]

$$V_G = -\frac{Q_s}{C_0} + \psi_s. \quad (5.22)$$

Valoarea tensiunii de poartă la care apare inversia puternică se numește tensiune de prag sau de deschidere și se notează cu V_P . Ea are valoarea

$$V_P = -\frac{Q_B}{C_0} + \psi_{s(\text{inv})} \quad (5.23)$$

(Se înțelege că pînă la apariția stratului de inversie sarcina indusă în semiconductor de către tensiunea de poartă este cea din stratul de deflexie care are valoarea maximă Q_B). Prin urmare, ecuația (5.19) se poate scrie

$$g = -\frac{Z}{L} \mu_n C_0 (V_G - V_P). \quad (5.24)$$

Din măsurarea conductanței, a capacității și a tensiunilor aplicate pe poartă se determină mobilitatea efectivă a purtătorilor de sarcină. Expresia (5.24) este valabilă atunci cînd căderea de tensiune între cele două regiuni n^+ este mică în comparație cu $V_G - V_P$.

5.6. Efectele radiațiilor

În structura MIS iradiată cu electroni, raze X sau raze γ s-a observat formarea în stratul de bioxid de siliciu a unei sarcini spațiale pozitive [31]. Radiația generează în izolator perechi electron-gol. În absența unui câmp electric electronii și golurile recombine și nu se obține nici o sarcină netă în oxid ca urmare a iradierii. Dacă se aplică o tensiune pozitivă pe poartă în timpul iradierii, electronii și golurile se separă. Electronii se deplasează spre electrodul porții iar golurile se deplasează spre interfața siliciu-bioxid de siliciu. Datorită barierei de potențial electronii din siliciu nu pot trece în SiO_2 pentru a compensa sarcina golurilor sosite la interfață astfel că acestea din urmă sînt captate pe capcane la interfață și rezultă o sarcină pozitivă care crește (fig. 5.40) pînă cînd tensiunea totală aplicată cade pe această regiune de sarcină spațială, în restul stratului de oxid câmpul electric devenind egal cu zero. Aceasta este situația finală de stare staționară [32]. S-a arătat că sarcina acumulată depinde de doza Δ de radiație după o relație de forma $1 - \exp(\text{const. } \Delta)$. S-a arătat, de asemenea, că sarcina acumulată crește liniar cu tensiunea aplicată și depinde de doza totală absorbită și nu de rata cu care este administrată această doză. Iradierea are ca efect deplasarea caracteristicilor $C-V$ pe axa tensiunilor (fig. 5.41).

5.7. Caracteristicile curent-tensiune ale tranzistorului MOS

În figura 5.42 se arată polarizarea tranzistorului MOS cu canal de tip n în condiții normale de lucru. V_D și V_G sînt tensiunile aplicate la electrozii drenă și, respectiv, poartă. Diferența de potențial dintre electrodul

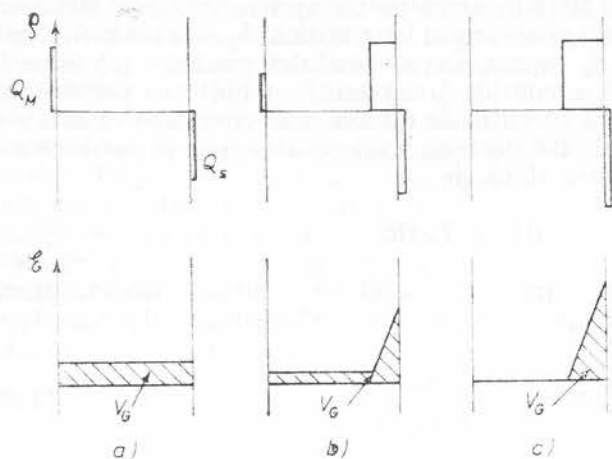


Fig. 5.40. — Creșterea sarcinii pozitive ca urmare a iradierii la interfața Si-SiO₂.

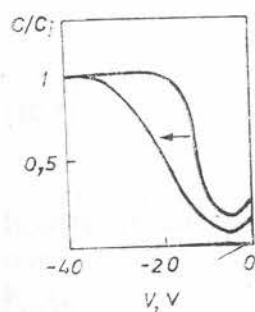


Fig. 5.41. — Deplasarea caracteristicii C-V în urma iradierii.

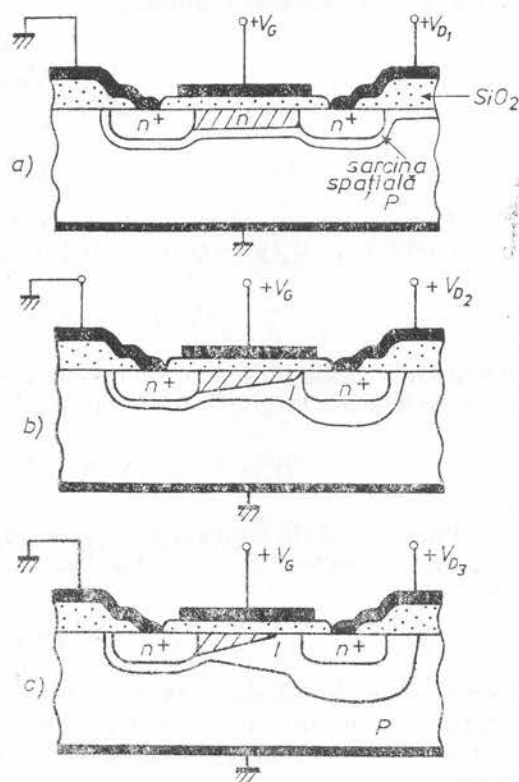


Fig. 5.42. — Variația dimensiunilor canalului cu creșterea tensiunii de drenă: a — regiunea liniară, b — apariția saturației; c — tranzistorul în regim de saturație.

drenă și electrodul poartă este ceva mai mică decât diferența de potențial dintre electrodul poartă și electrodul sursă. Ca urmare, intensitatea câmpului electric în direcția x în izolatorul porții va descrește cu creșterea lui y de la O (sursă) la L (drenă), iar conductanța canalului în apropierea sursei este mai mare decât în apropierea drenei. Vom deduce caracteristicile curent-

tensiune ale tranzistorului MOS în următoarele aproximații : (a) structura MOS este considerată ideală ; (b) câmpul longitudinal \mathcal{E}_y este mult mai mic decât câmpul transversal \mathcal{E}_x (aproximația canalului gradat) ; (c) se neglijează curentul invers ; (d) se consideră constantă mobilitatea purtătorilor de sarcină ; (e) se neglijează curentul de difuzie și se consideră că este respectată condiția de neutralitate electrică. Căderea de tensiune pe o secțiune elementară a canalului este dată de

$$dV = I_D dR, \quad (5.25)$$

unde I_D este curentul care curge prin canal între sursă și drenă, numit curent de drenă, iar rezistența diferențială a elementului dy considerat este dată de expresia

$$dR = - \frac{dy}{Q_n(y) \mu_n L}. \quad (5.26)$$

Substituind relația (5.26) în (5.25) valoarea curentului de drenă se obține integrând această expresie pe lungimea canalului de la $y=0$ (unde $V=0$) la $y=L$ (unde $V=V_D$).

$$I_D = \frac{\int_{V=0}^{V=V_D} Q_n(y) \mu_n L dV}{\int_{y=0}^{y=L} dy}. \quad (5.27)$$

După cum s-a observat în paragraful anterior, sarcina din stratul de inversiune, $Q_n(y) = Q_s(y) - Q_B(y)$ unde

$$Q_s(y) = [-V_G + \psi_s(y)] C_0 \quad (5.28)$$

este sarcina totală indusă în semiconductor. Sarcina Q_B din stratul de deflexie, care a atins lărgimea maximă W_m , este dată de expresia

$$Q_B(y) = -qN_a W_m = -\sqrt{2\epsilon_s q N_a \psi_s(y)}. \quad (5.29)$$

Potențialul de suprafață $\psi_s(y) = 2\psi_B + V(y)$, unde $V(y)$ este tensiunea dintre electrodul sursă (legat la masă) și punctul y . Ca atare

$$Q_n(y) = -[V_G - V(y) - 2\psi_B] C_0 + \sqrt{2\epsilon_s q N_a [V(y) + 2\psi_B]}. \quad (5.30)$$

Trebuie observat că dacă există o tensiune de bandă plată, V_{BP} , atunci în expresiile de mai sus V_G se înlocuiește cu $V_G - V_{BP}$. Substituind relația (5.30) în (5.27) și efectuând integrala se obține relația curent-tensiune de drenă.

$$I_D = \frac{Z}{L} \mu_n C_0 \left\{ \left[V_G - 2\psi_B - \frac{V_D}{2} \right] V_D - \frac{2}{3} \frac{\sqrt{2\epsilon_s q N_a}}{C_0} [(V_D + 2\psi_B)^{3/2} - (2\psi_B)^{3/2}] \right\}. \quad (5.31)$$

Caracteristicile $I_D = f(V_D)$ cu V_G ca parametru sînt reprezentate în figura 5.43. Linia întreruptă indică locul geometric al tensiunii de drenă ($V_{D \text{ sat}}$) la care curentul se saturează. Se observă pe caracteristicile curent-tensiune la început o regiune liniară și apoi o regiune de saturație. În regiunea liniară canalul se comportă ca o rezistență și curentul de drenă I_D este direct proporțional cu tensiunea de drenă V_D . Situația este valabilă în cazul cînd V_D are valoare mică ($V_D \ll 2\psi_B$) și ecuația (5.31) se reduce la

$$I_D \simeq \frac{Z}{L} \mu_n C_0 \left[(V_G - V_P) V_D - \frac{V_D^2}{2} \right]. \quad (5.32)$$

Pentru $V_D \ll V_G - V_P$ se obține

$$I_D \simeq \frac{Z}{L} \mu_n C_0 (V_G - V_P) V_D, \quad (5.33)$$

unde

$$V_P = 2\psi_B + \frac{\sqrt{2\varepsilon_s q N_a (2\psi_B)}}{C_0} \quad (5.34)$$

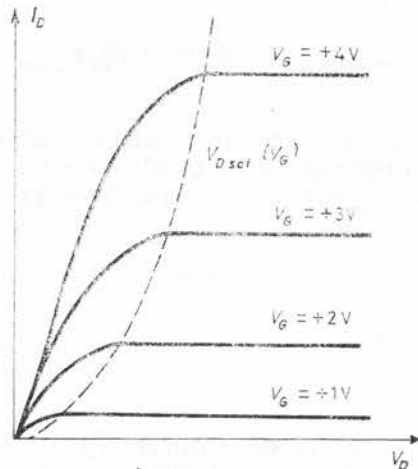


Fig. 5.43. — Caracteristicile de drenă ale tranzistorului MOS.

se numește tensiune de prag sau de deschidere a canalului. Cu creșterea tensiunii de drenă se atinge o valoare a lui V_D la care adîncimea x_i a canalului la $y = L$ se reduce la zero și canalul se închide. În figura 5.42b punctul de închidere s-a notat cu I . Tensiunea de închidere se notează $V_{D \text{ sat}}$ (se numește tensiune de saturație) și pentru $V_D > V_{D \text{ sat}}$ curentul de drenă rămîne constant. Cu creșterea lui V_D peste valoarea de saturație punctul I se deplasează de la sursă către drenă, lungimea canalului se micșorează (fig. 5.42c) și crește lărgimea regiunii de sarcină spațială (deflexie) în jurul drenei. În acest caz purtătorii majoritari din canalul n vor fi injectați în regiunea de sarcină spațială unde sînt colectați de către drenă în același fel în care sînt colectați de către colectorul tranzistorului cu joncțiuni purtătorii injectați de la emitor. Tensiunea în punctul I păstrează valoarea $V_{D \text{ sat}}$ (surplusul de tensiune, $V_D - V_{D \text{ sat}}$, cade pe regiunea de sarcină spațială), astfel că în punctul I ajung de la sursă același număr de purtători și curentul I_D păstrează o valoare constantă pentru $V_D > V_{D \text{ sat}}$. Pentru a găsi relația curent-tensiune în regiunea de saturație evaluăm valoarea tensiunii de saturație $V_{D \text{ sat}}$ din relația (5.30) punînd condiția $Q_n(L) = 0$. Se obține

$$V_{D \text{ sat}} + \frac{1}{C_0} \sqrt{2\varepsilon_s q N_a (V_{D \text{ sat}} + 2\psi_B)} + 2\psi_B - V_G = 0$$

și rezolvînd ecuația

$$V_{D \text{ sat}} = V_G - 2\psi_B + \frac{\varepsilon_s q N_a}{C_0^2} \left[1 - \sqrt{1 + \frac{2C_0^2 V_G}{\varepsilon_s q N_a}} \right]. \quad (5.35)$$

Introducind relația (5.35) în (5.31) se obține valoarea curentului de saturație

$$I_{D \text{ sat}} = \frac{Z \mu_n C_0}{6L} V_r^2, \quad (5.36)$$

$$V_r^2 \equiv (V_{D \text{ sat}} + 2\psi_B)^2 + V_G(V_{D \text{ sat}} + 2\psi_B) - 12\psi_B \left(V_G - \psi_B - \frac{4\sqrt{\varepsilon_s q N_a \psi_B}}{3C_i} \right).$$

Pentru valori mici ale grosimii, d , a stratului de oxid ($C_0 = \varepsilon_t/d$) în comparație cu grosimea regiunii sarcinii spațiale (substratul slab dopat) $V_{D \text{ sat}}$ capătă o expresie simplă

$$V_{D \text{ sat}} \simeq V_G - V_P'; \quad V_P' = 2\psi_B + \frac{\sqrt{2q\varepsilon_s N_a V_G}}{C_0}$$

și

$$I_{D \text{ sat}} \simeq \frac{Z}{2L} \mu_n C_0 V_{D \text{ sat}}^2. \quad (5.36')$$

Se observă din ecuația (5.36) că $I_{D \text{ sat}}$ depinde de pătratul tensiunii de poartă, V_G . Se definește conductanța canalului

$$g = \left. \frac{\partial I_D}{\partial V_D} \right|_{V_G = \text{const.}} \quad (5.37)$$

și conductanța mutuală sau de transfer

$$g_m = \left. \frac{\partial I_D}{\partial V_G} \right|_{V_D = \text{const.}} \quad (5.38)$$

În regiunea liniară acestea sînt date de următoarele expresii:

$$g = \frac{Z}{L} \mu_n C_0 (V_G - V_T),$$

$$g_m = \frac{Z}{L} \mu_n C_0 V_D. \quad (5.39)$$

În regiunea de saturație conductanța mutuală este dată de expresia

$$g_{m \text{ sat}} = \frac{Z}{L} \mu_n C_0 (V_G - V_P'). \quad (5.40)$$

5.8. Regiunea de saturație

În general la tensiuni de drenă mai mari decît valoarea de închidere $V_{D \text{ sat}}$ curentul I_D nu se saturează așa cum arată teoria simplificată prezentată în paragraful anterior. Aceasta se poate datora la trei cauze: (1) modu-

larea lungimii canalului de către întinderea regiunii de sarcină spațială de la drenă; (2) reacția electrostatică a cîmpului de drenă asupra canalului; (3) curgerea unui curent limitat de sarcină spațială între sursă și drenă după ce a avut loc expansiunea regiunii spațiale de la drenă și închiderea canalului. Vom discuta pe rînd aceste cauze.

1. Efectul expansiunii regiunii de sarcină spațială de la drenă

Am amintit că cu creșterea tensiunii de drenă peste valoarea $V_{D \text{ sat}}$, de închidere a canalului, crește lărgimea regiunii de sarcină spațială a drenei și se îngustează lungimea canalului. Notăm cu ΔL micșorarea lungimii canalului. Curentul de drenă va fi independent de tensiunea de drenă atîta timp cît $\Delta L \ll L$. Îndată ce ΔL devine comparabil cu L rezistența canalului, scăzînd cu scăderea lungimii sale, va conduce la creșterea curentului de drenă cu creșterea tensiunii de drenă. Se poate scrie [13]

$$I'_{D \text{ sat}} \simeq \frac{I_{D \text{ sat}}}{1 - (\Delta L/L)}, \quad (5.41)$$

unde $I_{D \text{ sat}}$ este curentul de drenă în condiții de saturație, ΔL este lărgimea regiunii de sarcină spațială a drenei și poate fi scrisă

$$\Delta L \simeq \left[\frac{2\epsilon_s(V_D - V_{D \text{ sat}})}{qN_a} \right]^{1/2}. \quad (5.42)$$

Se neglijează dependența lui ΔL de sarcina de la interfața oxid-semiconductor și de tensiunea aplicată pe poartă. Conductanța canalului se scrie

$$g_{D \text{ sat}} \equiv \left(\frac{\partial I_{D \text{ sat}}}{\partial V_D} \right) = I_{D \text{ sat}} \frac{\partial}{\partial V_D} \left(1 - \frac{\Delta L}{L} \right)^{-1} = I_{D \text{ sat}} \frac{\partial}{\partial V_D} \left(\frac{L}{L - \Delta L} \right). \quad (5.43)$$

Substituind expresia (5.42) în (5.43) se obține

$$g_{D \text{ sat}} = \frac{I_{D \text{ sat}} KL}{2[L - K(V_D - V_{D \text{ sat}})^{1/2}]^2 (V_D - V_{D \text{ sat}})^{1/2}}, \quad (5.44)$$

unde s-a notat $K = (2\epsilon_s/qN_a)^{1/2}$ iar $V_{D \text{ sat}}$ este dat de expresia (5.35). Relația de mai sus poate fi rescrisă

$$g_{D \text{ sat}} = \frac{I_{D \text{ sat}} K}{2L[1 - (\Delta L/L)]^2 (V_D - V_{D \text{ sat}})^{1/2}} = \frac{1}{r_{D \text{ sat}}}, \quad (5.45)$$

unde $I_{D \text{ sat}}$ este dat de expresia (5.36) și $r_{D \text{ sat}}$ este rezistența canalului. Se observă din (5.45) că atunci cînd ΔL devine comparabil cu L , rezistența canalului scade foarte rapid cu creșterea lui ΔL . Un rezultat experimental care pune în evidență absența saturației caracteristicilor $I_D = f(V_D)$ este reprezentat în figura 5.44. Notăm că efectul modulării lungimii cana-

lului de către lărgimea stratului de sarcină spațială al drenăi este dominant în cazul când rezistivitatea substratului semiconductor este mare, adică ΔL se poate modifica semnificativ cu variația V_D .

2. Reacția electrostatică a cîmpului de drenă asupra canalului

Acest efect este dominant în structurile cu substratul semiconductor de rezistivitate de valoare medie. La o tensiune de drenă mai mare decît valoarea de închidere a canalului se realizează un cuplaj capacitiv între canal și drenă prin intermediul stratului de sarcină spațială al drenăi. Liniile de cîmp electric (fig. 5.45) merg de la drenă la canalul de conducție. Cu creșterea tensiunii de drenă crește intensitatea cîmpului electric între drenă și canal ceea ce conduce la creșterea numărului electronilor din stratul de inversiune (canal) și deci la micșorarea rezistenței acestuia; cu micșorarea lungimii canalului, o porțiune tot mai mare din canal cade sub influența cîmpului de drenă. În acest fel drenă funcționează ca un al doilea electrod poartă care controlează conductanța între sursă și drenă. Variația densității de sarcină pe unitatea de arie din canal este dată de expresia

$$\bar{Q} = - \frac{C_{ca} \Delta V_D}{ZL}, \quad (5.46)$$

unde C_{ca} este capacitatea efectivă de cuplaj dintre canal și drenă iar ΔV_D este variația tensiunii de drenă. Pentru $\Delta L \ll L$ se poate considera că cîmpul electric în direcția y a canalului este

$$\bar{E} = \frac{V_G - V_P}{L} \quad (5.47)$$

și viteza medie de drift al electronilor în canalul de conducție are valoarea

$$\bar{v}_d = \frac{\mu_n (V_G - V_P)}{L}. \quad (5.48)$$

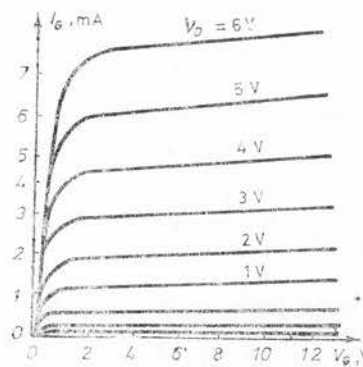


Fig. 5.44. — Caracteristicile reale ale unui tranzistor MOS.

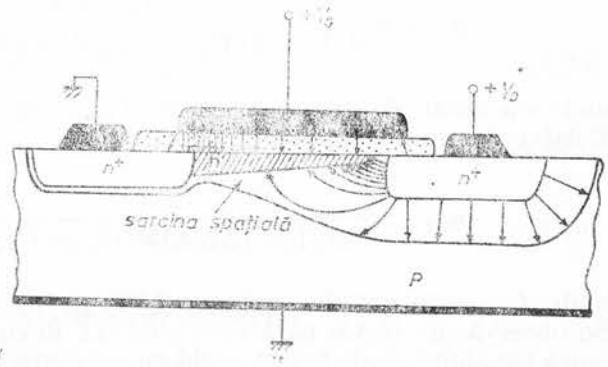


Fig. 5.45. — Reacția electrostatică a drenăi asupra canalului.

Pentru o variație ΔV_D a tensiunii de drenă variația curentului total de drenă, $\Delta I_{D \text{ sat}}$ datorată reacției electrostatice este

$$\Delta I_{D \text{ sat}} \simeq \frac{\mu_n C_{cd} \Delta V_D (V_G - V_P)}{L^2} \quad (5.49)$$

Conductanța canalului în regiunea de saturație, în aceste condiții este dată de expresia

$$g_{D \text{ sat}} \equiv \frac{\partial I_{D \text{ sat}}}{\partial V_D} \simeq \frac{\mu_n C_{cd} (V_G - V_P)}{L^2} \quad (5.50)$$

Avind în vedere relația (5.40) pentru conductanța mutuală $g_{m \text{ sat}}$ se obține valoarea

$$\frac{g_{D \text{ sat}}}{g_{m \text{ sat}}} \simeq \frac{C_{cd}}{C_0 ZL} \quad (5.51)$$

unde C_0 este capacitatea oxidului pe unitatea de arie iar $C_0 ZL$ este capacitatea totală a oxidului. Se observă că raportul celor două conductanțe este egal cu raportul dintre capacitatea de cuplaj și capacitatea oxidului. În general capacitatea de cuplaj drenă-canal este mult mai mică decât capacitatea oxidului, astfel că $g_{D \text{ sat}}$ va fi în mod uzual mult mai mică decât $g_{m \text{ sat}}$.

3. Curentul electric limitat de sarcina spațială

Dacă rezistivitatea substratului este mare și distanța dintre sursă și drenă este mică atunci, cu creșterea tensiunii de drenă regiunea sarcinii spațiale a drenei se poate extinde pînă la sursă și astfel să dispară canalul de conducție. Aceasta este starea de „perforare” ilustrată în figura 5.46. Presupunînd că joncțiunea p - n drenă-substrat este abruptă tensiunea de drenă la care apare perforarea se obține din (5.42) pentru $\Delta L = L$

$$V_{pf} = V_D - V_{D \text{ sat}} = \frac{L^2 q N_a}{2 \epsilon_s} \quad (5.52)$$

Concentrația purtătorilor de sarcină liberi în stratul de sarcină spațială este extrem de mică. În această regiune sînt injectați electroni de la sursă și dacă distanța L este suficient de mică ajung la drenă. Cînd timpul, t , de tranzit al electronilor injectați este mai mare decît timpul, τ_D , de relaxare dielectrică, între sursă și drenă curge un curent apreciabil. (Dacă L este foarte mic este posibil ca să aibă loc tunelarea electronilor între sursă și drenă). Electronii injectați crează o sarcină spațială negativă și curentul electric care curge între sursă și drenă este limitat de sarcina spațială. Se obține pentru

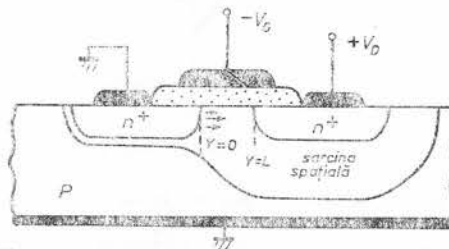


Fig. 5.46. — Tranzistorul MOS în care a avut loc perforarea canalului.

densitatea de curent electric limitat de sarcina spațială expresia

$$I_{ls} \approx \frac{9\epsilon_s \mu_n V_D^2}{8L^3} \quad (5.53)$$

Diagrama de benzi de energie a structurii în condițiile curgerii curentului electric limitat de sarcina spațială este reprezentată în figura 5.47 (două regiuni n^+ separate printr-o regiune p de rezistivitate mare). Curentul electric limitat de sarcina spațială apare în cazul când substratul are rezistivitate mare și lungimea canalului este mică. Pentru tranzistorii MOS cu substratul de rezistivitate mică și lungime mare a canalului, tensiunea de perforare este foarte mare, astfel că înaintea fenomenului de perforare apare la drenă fenomenul de străpungere în avalanșă.

5.9. Circuitul echivalent al tranzistorului MOS. Amplificarea. Funcționarea la înaltă frecvență

În figura 5.48 este prezentat tranzistorul MOS cu elementele discrete de circuit care pot fi asociate fiecărei porțiuni a structurii. Acestea sînt: D_{sb} — dioda formată între sursă și substrat (juncțiune p-n), D_{db} — dioda dintre drenă și substrat, C_{gb} — capacitatea poartă-sursă, C_{gc} — capacitatea poartă-canal, C_{gd} — capacitatea poartă-drenă, C_{sb} — capacitatea sursă-bază (substrat), C_{db} — capacitatea drenă-substrat. Circuitul echivalent este reprezentat în figura 5.49. Diodele D_{sb} și D_{db} sînt eliminate din

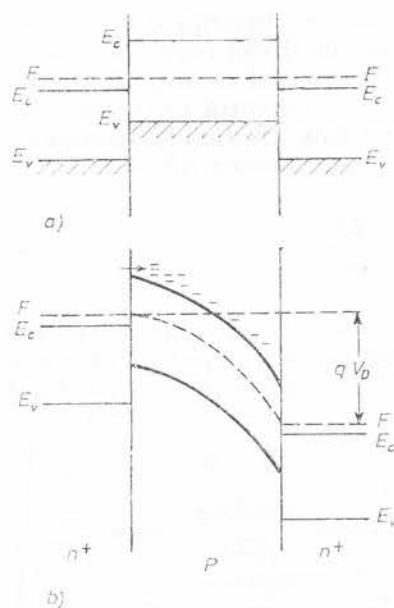


Fig. 5.47. — Diagrama de benzi a structurii n^+p-n^+ la echilibru (a) și în condițiile curgerii curentului electric limitat de sarcina spațială (b).

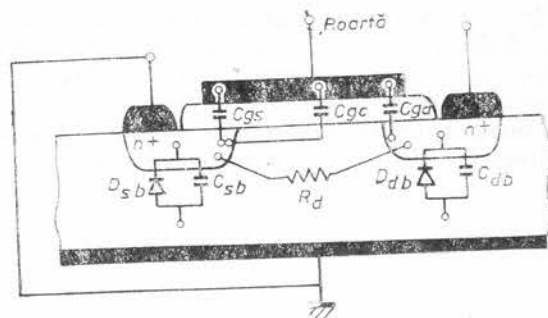


Fig. 5.48. — Tranzistorul MOS cu elementele discrete ce se asociază circuitului echivalent.

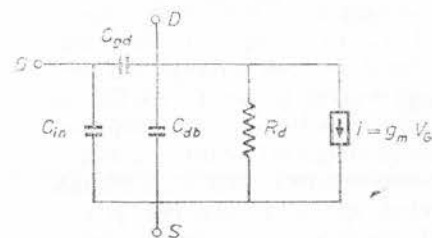


Fig. 5.49. — Circuitul echivalent al tranzistorului MOS la semnal mic.

circuitul echivalent : D_{sb} se elimină deoarece sursa și substratul se conectează în comun și sînt scurtcircuitate de capacitatea C_{sb} . D_{db} se elimină deoarece pentru o tensiune pozitivă aplicată pe drenă (MOS cu canal de tip n), această diodă se află la circuit deschis. C_{in} este capacitatea de intrare poartă-sursă și este egală cu suma capacităților C_{gs} și C_{gc} , legate în paralel. Circuitul echivalent mai conține la ieșire generatorul de curent $i = g_m v_g$. Semnificația sa poate fi înțeleasă din cele ce urmează. Notăm cu V_G o variație mică a tensiunii de poartă peste valoarea staționară V_{G0} , astfel că $V_G = V_{G0} + v_g$. Corespunzător, curentul de drenă este dat de expresia $I_D = I_{D0} + i$, unde I_{D0} este valoarea staționară pentru punctul de funcționare fixat la polarizare continuă, iar i este variația curentului de drenă datorată variației tensiunii de poartă. Avînd în vedere definiția lui g_m se poate scrie

$$i = dI_d = \left(\frac{\partial I_d}{\partial V_G} \right)_{V_D} dV_G = \left(\frac{\partial I_d}{\partial V_G} \right)_{V_D} \cdot v_g = g_m v_g. \quad (5.54)$$

Pentru a găsi factorul de amplificare se analizează amplificatorul liniar simplu reprezentat în figura 5.50, unde este prezentat un tranzistor MOS cu canal de tip n cu o rezistență de sarcină R_s . Cu ajutorul rezistențelor R_1 și R_2 se fixează punctul de funcționare în regiunea de saturație astfel că $V_G = V_0 R_2 / (R_1 + R_2)$, V_0 fiind tensiunea continuă aplicată circuitului. C este capacitatea de blocaj. Introducerea în circuit (la intrare) a unui generator de semnal variabil v și de rezistență internă r conduce la modificarea circuitului echivalent din figura 5.49 cu circuitul echivalent din figura 5.51 *a*. Acest circuit poate fi reprezentat ca în figura 5.51 *b* folosind teorema lui Norton și următoarele notații :

$$\begin{aligned} Y_1 &= \frac{1}{r} + i\omega C_{in}, \\ Y_2 &= i\omega C_{gd}, \\ Y_3 &= \frac{1}{R_s} + i\omega C_{db}. \end{aligned} \quad (5.55)$$

Aplicînd legile lui Kirkehoff pentru curenți în nodurile A și B se obține :

$$\begin{aligned} Y_1 v_1 + Y_2 (v_1 - v_2) &= \frac{v}{r}, \\ Y_2 (v_2 - v_1) + g_m v_1 + \left(Y_3 + \frac{1}{R_s} \right) v_2 &= 0. \end{aligned} \quad (5.56)$$

Aceste ecuații pot fi scrise sub formă matriceală

$$\begin{bmatrix} Y_1 + Y_2 & -Y_2 \\ -Y_2 + g_m & Y_2 + Y_3 + \frac{1}{R_s} \end{bmatrix} \cdot \begin{bmatrix} v_1 \\ v_2 \end{bmatrix} = \begin{bmatrix} \frac{v}{r} \\ 0 \end{bmatrix}. \quad (5.57)$$

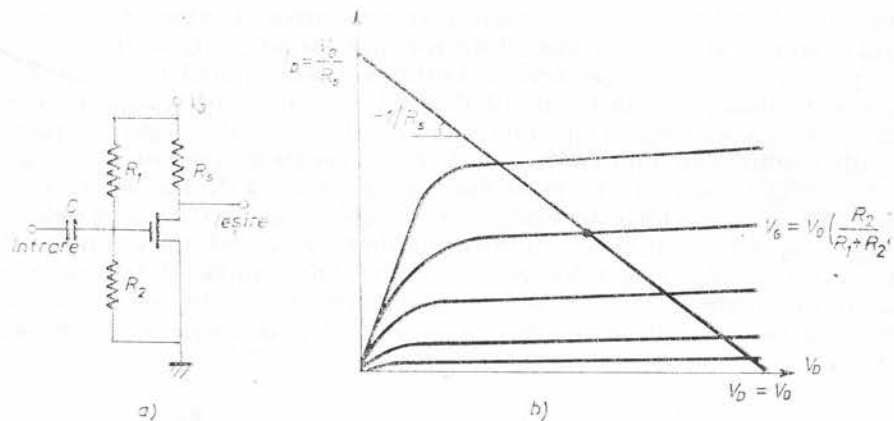


Fig. 5.50. — Circuit de amplificare cu tranzistor MOS (a) și caracteristicile $I_D = f(V_D)$ și dreapta de sarcină (b).

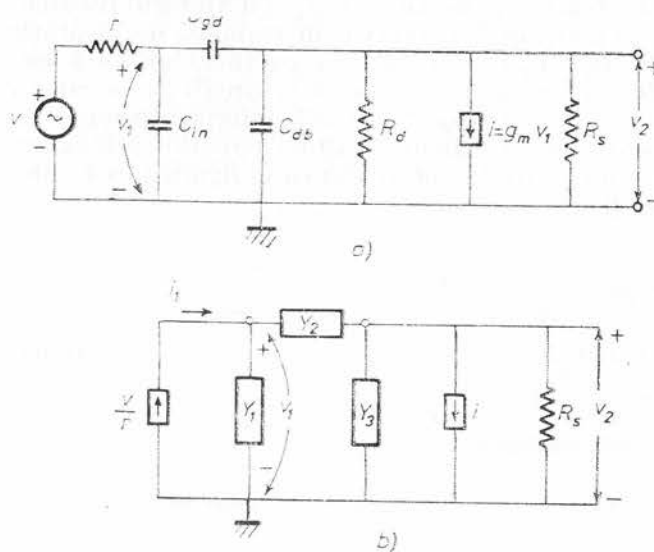


Fig. 5.51. — Circuitul echivalent al amplificatorului MOS.

Definim matricea

$$M \equiv \begin{vmatrix} Y_1 + Y_2 & -Y_2 \\ -Y_2 + g_m & Y_2 + Y_3 + \frac{1}{R_s} \end{vmatrix} \quad (5.58)$$

al cărei determinant este dat de expresia

$$\Delta = (Y_1 + Y_2) \left(Y_2 + Y_3 + \frac{1}{R_s} \right) + Y_2(-Y_2 + g_m). \quad (5.59)$$

Avind în vedere că matricea unitate $I = MM^{-1}$ unde matricea inversă

$$M^{-1} = \frac{1}{\Delta} \begin{vmatrix} Y_1 + Y_2 + \frac{1}{R_s} & Y_2 \\ Y_2 - g_m & Y_1 + Y_2 \end{vmatrix}, \quad (5.60)$$

multiplicând relația (5.57) cu M^{-1} se obține

$$M^{-1}M \begin{vmatrix} v_1 \\ v_2 \end{vmatrix} = \begin{vmatrix} v_1 \\ v_2 \end{vmatrix} = M^{-1} \begin{vmatrix} v \\ r \\ 0 \end{vmatrix}. \quad (5.61)$$

Avind în vedere relația (5.60), se obține

$$\begin{vmatrix} v_1 \\ v_2 \end{vmatrix} = \frac{1}{\Delta} \begin{vmatrix} \left(Y_2 + Y_3 + \frac{1}{R_s} \right) \frac{v}{r} \\ (Y_2 - g_m) \frac{v}{r} \end{vmatrix}. \quad (5.62)$$

Prin urmare, tensiunea v_2 , de ieșire, este dată de expresia

$$v_2 = \frac{v}{\Delta} \left(\frac{Y_2 - g_m}{r} \right) \quad (5.63)$$

și amplificarea de tensiune

$$A_v \equiv \frac{v_2}{v} = \frac{1}{\Delta} \left(\frac{Y_2 - g_m}{r} \right). \quad (5.64)$$

La frecvențe joase neglijând termenii capacitivi din (5.55) se obține

$$Y_1 \simeq \frac{1}{r}, \quad Y_2 \simeq 0, \quad Y_3 \simeq \frac{1}{R_d}, \quad (5.65)$$

și

$$A_v \simeq \frac{-g_m R_s R_d}{R_s + R_d}. \quad (5.66)$$

Considerind un tranzistor MOS în care substratul are rezistivitate mare și C_{gs} , C_{gs} , C_{ds} sînt neglijabil de mici, astfel că

$$Y_1 \simeq \frac{1}{r} + i \omega C_{gs},$$

$$Y_2 = 0,$$

$$Y_3 \simeq 1/R_d,$$

se obține

$$A_v = \frac{-g_m R_s R_d}{(R_s + R_d)(1 + i\omega r C_{ge})} = A_{oc} \frac{1}{1 + i\omega r C_{ge}} \quad (5.67)$$

Aceasta este valoarea amplificării la frecvențe înalte [13]. În presupunerea de mai sus, neglijarea capacităților parazite C_{gs} , C_{gs} și C_{db} , frecvența maximă de funcționare a dispozitivului este limitată de timpul, t , de tranzit al purtătorilor de la sursă la drenă

$$t = \frac{L}{\mu |\mathcal{E}|} = \frac{L^2}{\mu |V|}, \quad (5.68)$$

unde μ este mobilitatea purtătorilor de sarcină. Peste tensiunea de închidere, $V = V_G - V_P$ și

$$\omega_{\max} = 2\pi f_{\max} = \frac{1}{t} \simeq \frac{\mu(V_G - V_P)}{L^2} = \frac{g_m}{C_{ge}} \quad (5.69)$$

Pentru ca frecvența de funcționare să fie cât mai mare trebuie să se folosească materiale (ca substrat) cu mobilitate mare a purtătorilor de sarcină, să se realizeze o lungime, L , mică a canalului, aceasta din urmă asigurând o conductanță mutuală mare și o capacitate mică a canalului și, de asemenea să se elimine capacitățile parazite poartă-drenă și sursă-drenă prin asigurarea în procesul de preparare a nesuprapunerii electrodului poartă peste porțiunile adiacente ale sursei și drenei.

5.10. Tipuri de tranzistoare MOS. Conectarea tranzistoarelor în circuit

Există două tipuri de tranzistoare MOS: cu canal indus și cu canal inițial. Canalul poate fi de tip n sau de tip p . În tranzistorul cu canal indus, canalul este stratul de inversie indus prin aplicarea unei tensiuni pe poartă, pozitivă, când substratul este de tip p și negativă când substratul este de tip n . Stratul de inversie apare de la o tensiune de prag V_P și deci la o valoare a tensiunii de poartă egală sau mai mare decât V_P va curge un curent prin canal. Pentru $V_G < V_P$ curentul de drenă este practic egal cu zero. În tranzistorul cu canal inițial există un canal realizat în procesul de fabricare astfel că chiar la polarizare zero pe poartă curge un curent între sursă și drenă. Conductivitatea canalului crește când se aplică pe poartă o tensiune de semn contrar tipului de conducție a canalului și scade în cazul invers. În figurile 5.52 sînt reprezentate structurile cu canal inițial sau indus de tip p și de tip n , la polarizare zero precum și simbolurile folosite în circuit. În figurile 5.53 și 5.54 sînt prezentate caracteristicile $I_D = f(V_D)$ și $I_D = f(V_G)$ precum și circuitele de măsură pentru tranzistorul MOS cu canal de tip n indus. Figurile 5.55 și 5.56 redau caracteristicile $I_D = f(V_D)$ și $I_D = f(V_G)$ pentru tranzistorul MOS cu canal n inițial. Situația este analogă pentru tranzistorul cu canal de tip p cu deosebirea că polaritățile tensiunilor sînt inversate și la conducție participă în principal

golurile. O altă mențiune care trebuie făcută este că în figurile 5.53—5.56 tranzistorul a fost legat în circuit în conexiunea cu sursa comună, adică sursa este electrodul comun porții și drenei. De aceea este util practic să

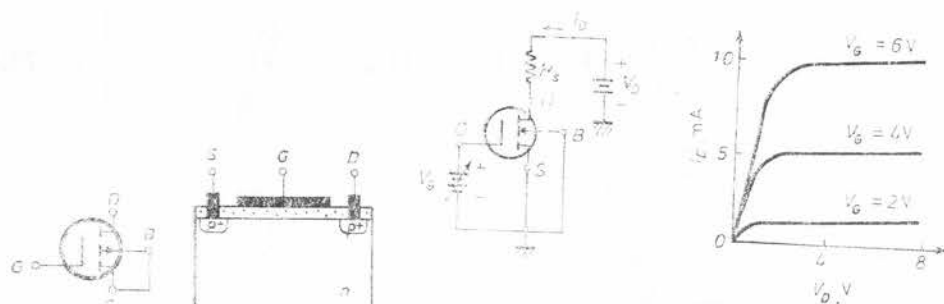


Fig. 5.53. — Caracteristicile de drenă ale tranzistorului MOS cu canal de tip n indus.

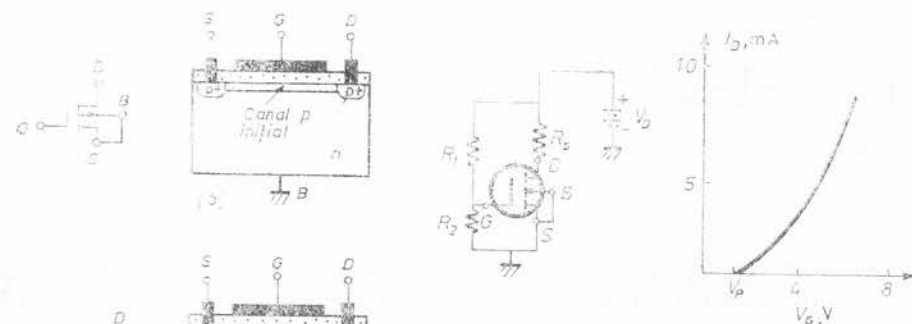


Fig. 5.54. — Caracteristica curent de drenă-tensiune de poartă a tranzistorului MOS cu canal n indus.

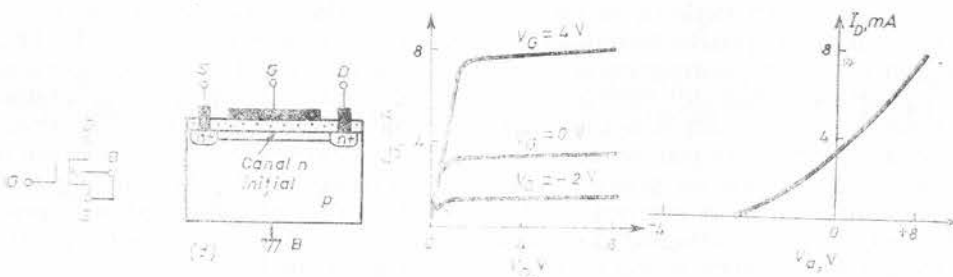


Fig. 5.52. — Tipuri de tranzistoare MOS: cu canal indus (a și c) și canal inițial (b și d), de tip p (a și b) și de tip n (c și d).

Fig. 5.55. — Caracteristicile de drenă ale tranzistorului MOS cu canal n inițial.

Fig. 5.56. — Caracteristica curent de drenă-tensiune de poartă a tranzistorului MOS cu canal inițial.

se utilizeze pentru tensiuni indici din două litere. Astfel în graficele reprezentate mai înainte trebuie scris V_{GS} în loc de V_G și V_{DS} în loc de V_D . Tranzistorul poate fi legat în circuit și în conexiunea cu poartă comună (fig. 5.57b). Din această figură se observă că $V_{DS} = V_{DG} + V_{GS}$. Făcând notația

$\bar{V}_{GS} = V_{GS} - V_P$, ecuația (5.32) poate fi rescrisă

$$I_D = \frac{Z\mu_n C_0}{L} \left[\bar{V}_{GS}(V_{DS} + \bar{V}_{GS} + V_P) - \frac{(V_{DG} + \bar{V}_{GS} + V_P)^2}{2} \right] =$$

$$= \frac{Z\mu_n C_0}{2L} [(\bar{V}_{GS} - V_P)^2 - (V_{DG} + V_P)^2]. \quad (5.70)$$

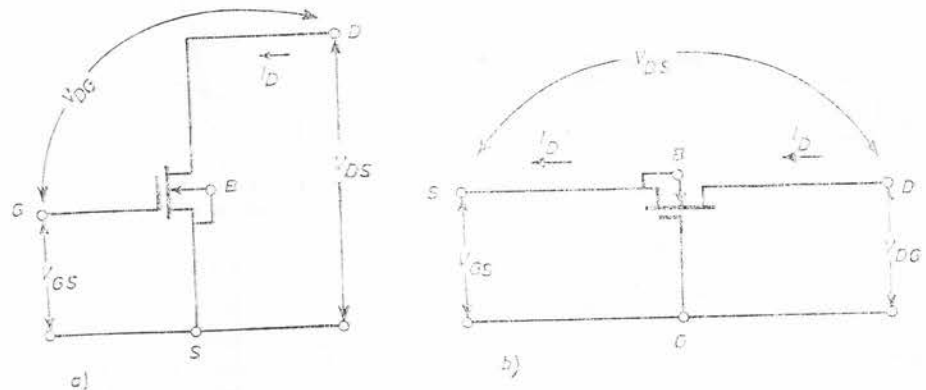


Fig. 5. 37. — Configurația cu sursa comună (a) și cu poarta comună (b) a tranzistorului MOS.

Această relație este valabilă înainte de saturare (închiderea canalului). Condiția de închidere a canalului în conexiunea cu poarta comună se scrie

$$\bar{V}_{DG} = \bar{V}_{DS} - V_{GS} = (V_{GS} - V_P) - V_{GS} = V_P.$$

Substituind această relație în (5.70) se obține o relație identică cu (5.36). Caracteristicile de intrare și de ieșire ale tranzistorului MOS în conexiunea cu poarta comună sînt redată în figurile 5.58 a și b [33]. Din punct de vedere teoretic caracteristicile tranzistorului MOS în configurația cu poarta comună sînt simetrice dacă se schimbă între ele sursa și drenă. (Practic nu se întîmplă așa deoarece electrodul poartă în general în tranzistorii cu canal inițial acoperă o porțiune din electrodul sursă). Despre o asemenea simetrie nu poate fi vorba în tranzistorul cu joncțiuni legat în conexiunea cu baza comună. În figura 5.59 se prezintă două circuite pentru ridicarea la oscilograf a caracteristicilor $I_D = f(V_{DS})$ și $I_D = f(V_{GS})$ ale tranzistorului MOS în configurația cu sursa comună.

5.11. Influența temperaturii asupra caracteristicilor tranzistorului MOS

Din expresiile (5.32) și (5.36) ale curentului de drenă rezultă că mărimile a căror variație cu temperatura conduc la o modificare sensibilă a curentului sînt tensiunea de poartă V_P și mobilitatea μ a purtătorilor de sarcină din canal. S-a observat experimental că mobilitatea purtătorilor de

sarcină din interiorul canalului scade cu creșterea temperaturii [33–35]. În domeniul de temperatură $-55 \rightarrow 125^\circ\text{C}$ mobilitatea scade cu T^{-1} . La temperaturi mai înalte mobilitatea scade după legea $T^{-1.5}$. Scăderea mobili-

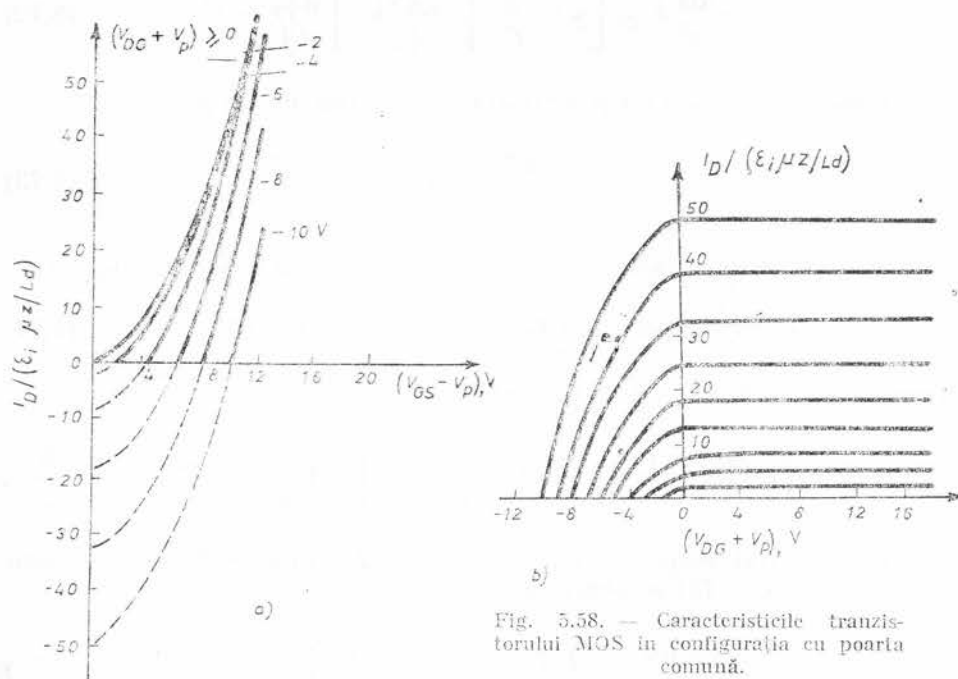


Fig. 5.58. — Caracteristicile tranzistorului MOS în configurația cu poarta comună.

tății determină scăderea curentului de drenă cu creșterea temperaturii. Tensiunea de prag, V_P , pentru obținerea inversiei puternice este dată de expresia

$$V_P \approx \Phi_{ms} + \frac{Q_{sf}}{C_0} + \frac{\sqrt{4 \epsilon_s q N_a \psi_B}}{C_0} + 2 \psi_B. \quad (5.71)$$

S-a arătat experimental că sarcina fixă de la interfață, Q_{sf} , este aproximativ independentă de temperatură pe un palier larg în domeniul tempera-

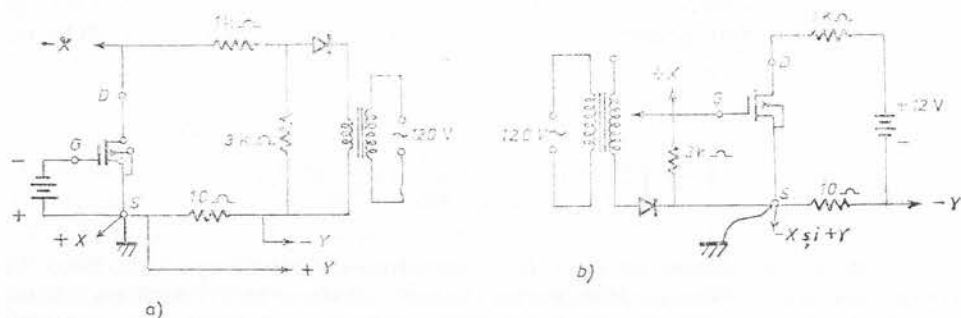


Fig. 5.59. — Montaje pentru trasarea la oscilograf a caracteristicilor $I_D = f(V_{DS})$ (a) și $I_D = f(V_{GS})$ (b).

tarilor de lucru și dacă se presupune că și Φ_{ms} este independent de temperatură, diferențiind ecuația de mai sus în raport cu temperatura rezultă

$$\frac{dV_p}{dT} \approx \left[2 - \frac{1}{C_0} \sqrt{\frac{\varepsilon_s q N_a}{\psi_B}} \right] \frac{d\psi_B}{dT}. \quad (5.72)$$

Pentru un canal de tip n realizat în substrat de tip p

$$\psi_B = \frac{kT}{q} \ln[N_a/n_i], \quad (5.73)$$

unde n_i este concentrația purtătorilor intrinseci din semiconductor,

$$n_i = 3,86 \cdot 10^{16} T^{3/2} \exp[-E_g(T=0)/2kT] \quad (5.74)$$

pentru siliciu; $E_g(T=0) = 1,21$ eV și

$$\frac{d\psi_B}{dT} = \frac{k}{q} \ln\left(\frac{N_a}{n_i}\right) + \frac{kT}{q} \frac{d}{dT} \left[\ln\left(\frac{N_a}{n_i}\right) \right] = \frac{k}{q} \left[\ln\left(\frac{N_a}{n_i}\right) - \frac{E_g(T=0)}{2kT} - \frac{3}{2} \right].$$

În domeniul temperaturilor de lucru, $E_g(T=0) \gg 3kT$ și prin urmare avînd în vedere (5.73) se poate scrie

$$\frac{d\psi_B}{dT} = \frac{1}{T} \left[\psi_B - \frac{E_g(T=0)}{2q} \right]. \quad (5.75)$$

Astfel

$$\frac{dV_p}{dT} = \frac{1}{T} \left[\psi_B - \frac{E_g(T=0)}{2q} \right] \left[2 - \frac{1}{C_0} \sqrt{\frac{\varepsilon_s q N_a}{\psi_B}} \right]. \quad (5.76)$$

Derivata tensiunii de prag în raport cu temperatura va avea totdeauna semnul negativ pentru tranzistorul MOS cu canal de tip n și semnul pozitiv pentru tranzistorul MOS cu canal de tip p . S-a găsit experimental că V_p este aproximativ o funcție liniară de temperatură în domeniul $-55 - 125^\circ\text{C}$ atât pentru dispozitivele cu canal de tip n cît și pentru cele cu canal de tip p . Un exemplu este prezentat în figura 5.60 pentru tranzistorul MOS cu canal de tip p .

În figura 5.61 este reprezentată conductanța canalului

$$g_D \equiv \left(\frac{\partial I_D}{\partial V_D} \right)_{V_D=0} = \frac{\varepsilon_i \mu W}{Ld} (V_G - V_P)$$

în funcție de tensiunea de poartă, la tensiune de drenă egală cu zero, la trei temperaturi diferite. Micșorarea mobilității duce la micșorarea pantei dreptelor (din figură) cu creșterea temperaturii iar creșterea tensiunii de prag cu creșterea temperaturii se observă prin deplasarea punctului de intersecție a dreptelor cu axa tensiunilor. O modificare asemănătoare se

observă și în regiunea de saturație a caracteristicilor de drenă [13]. Dacă se aplică o tensiune V_s între sursă și substrat, expresia (5.72) se modifică și capătă forma

$$\frac{dV_P}{dT} = \left[2 - \frac{1}{C_0} \frac{\sqrt{2\epsilon_s q N_a}}{[\psi_B(1 - V_s/2\psi_B)]^{1/2}} \right] \frac{d\psi_B}{dT}. \quad (5.77)$$

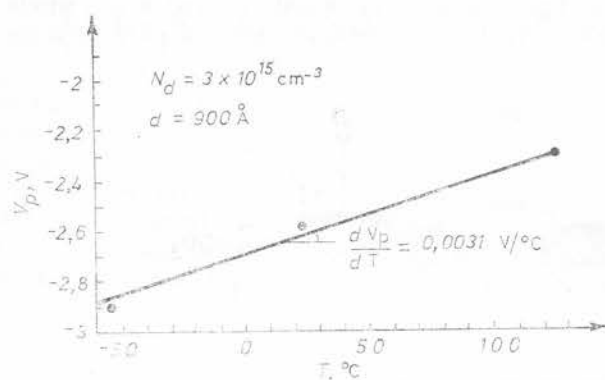
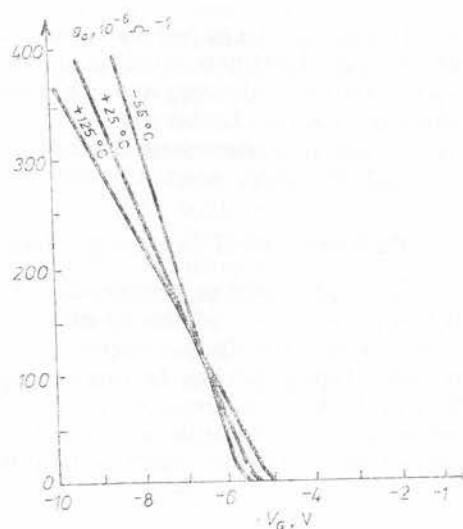


Fig. 5.60. — Variația tensiunii de poartă cu temperatura pentru un tranzistor MOS cu canal de tip p .

Fig. 5.61. — Variația conductanței canalului la tensiune de drenă, zero, cu tensiunea de poartă, pentru un tranzistor MOS cu canal p , la trei temperaturi diferite.



Această expresie se reduce la expresia (5.72) pentru $V_s = 0$. Din ecuația (5.77) se observă că rata de variație cu temperatura a tensiunii de prag scade cu creșterea tensiunii aplicate între sursă și substrat. O asemenea tensiune se aplică în mod obișnuit în circuitele MOS integrate digitale unde se folosesc structuri MOS cu canal n inițial, iar substratul este de tip p de rezistivitate mare și pentru creșterea conductivității canalului este necesară aplicarea unei tensiuni sursă-substrat.

5.12. Alte tipuri de tranzistoare cu efect de câmp de suprafață

A. Tranzistorul în care contactele sursei și drenăi sînt bariere Schottky

În locul regiunilor difuzate p^+ și n^+ ale sursei și drenăi se depune peste siliciu un strat subțire de PtSi prin sinterizare în vid la 650°C . Contactul PtSi-Si este o barieră Schottky care are înălțimea de $0,85\text{eV}$ cînd siliciul este de tip n și $0,24\text{eV}$ cînd siliciul este de tip p. O secțiune într-un asemenea tranzistor este dată în figură 5.62 [13]. Acest tranzistor are unele avantaje: (a) el poate fi realizat și din semiconductoare din care încă nu

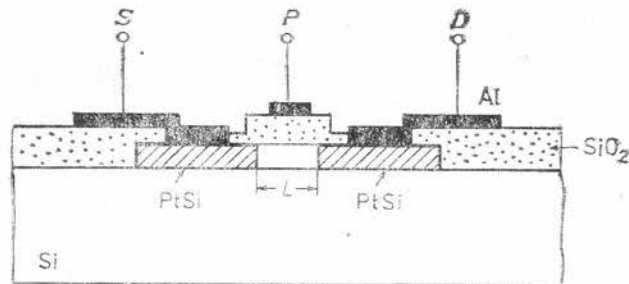


Fig. 5.62. — Tranzistorul MOS cu sursa și drenă bariere Schottky.

s-au obținut joncțiuni $p-n$ (de exemplu, CdS); (b) se poate controla ușor geometria canalului dintre sursă și drenă; (c) eliminarea difuziei la temperaturi înalte (pentru realizarea sursei și drenăi) determină o calitate mai bună a stratului de oxid. La temperaturi obișnuite caracteristicile de ieșire $I_D = f(V_D)$ ale unui asemenea tranzistor sînt similare cu cele ale tranzistorului cu efect de câmp, convențional

B. Tranzistorul cu efect de câmp de suprafață cu straturi subțiri

În mod uzual se realizează astfel. Pe un substrat de sticlă sau de safir se depun în vid doi electrozi metalici (din aur sau aluminiu), care constituie sursa și drenă, separați la o distanță egală cu lărgimea canalului dorit, figura 5.63 a. Se depune apoi un strat semiconductor (CdSe sau CdS) peste care se depune un strat izolator (SiO_2 sau Al_2O_3) și în final electrodul poții (aluminiu sau aur). Se poate proceda și invers cu ordinea depunerilor și anume: electrodul poții, stratul izolator, semiconductorul,

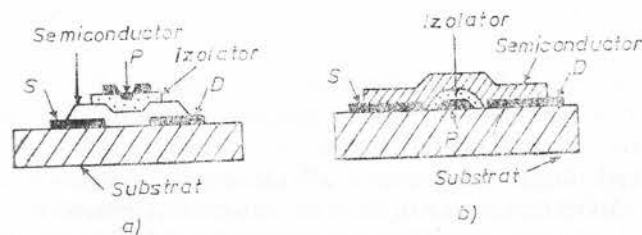


Fig. 5.63. — Tranzistorul cu efect de câmp cu straturi subțiri.

electrozii sursă și drenă [13]. Se pot depune cei trei electrozi în același timp în același plan caz în care tranzistorul se numește tranzistor cu electrozi coplanari (fig. 5.63b). Caracteristicile curent-tensiune sînt similare cu cele ale tranzistorului cu efect de cîmp de suprafață convențional, studiat în paragrafele anterioare.

5.13. Structuri metal-izolator-metal

Înainte de a studia structura metal-izolator-metal este util să studiem structura metal-izolator deoarece conductanța sistemului metal-izolator-metal este determinată în afară de proprietățile intrinseci ale izolatorului de către contactul izolatorului cu electrodul metalic. Contactul metal-izolator poate fi ohmic, neutru și de blocare. Diagramele energetice ale acestor contacte sînt reprezentate în figura 5.64 [36]. În stînga sînt reprezentate metalul și izolatorul separate iar în dreapta este reprezentat contactul. Contactul ohmic se obține în cazul cînd lucrul de ieșire, $q\Phi_m$, din metal este mai mic decît lucrul de ieșire $q\Phi_i$ din izolator (fig. 5.64a). La echilibru termic în izolator apare un strat de acumulare a cărui lărgime λ este dată de expresia

$$\lambda = \frac{\pi}{2} \left(\frac{2kT\varepsilon_i}{q^2N_i} \right)^{1/2} \exp \left(\frac{q\Phi_i - q\chi - E_t}{2kT} \right), \quad (5.78)$$

unde $q\chi$ este afinitatea electronică a izolatorului, ε_i — constanta dielectrică a izolatorului, N_i — concentrația capcanelor puțin adînci pentru electroni care au nivelul energetic situat la distanța E_t de marginea inferioară a benzii de conducție a izolatorului. Contactul ohmic acționează ca un rezervor de electroni pentru izolator și conducția este limitată de procesele care au loc în volumul izolatorului. Contactul neutru este contactul care apare atunci cînd $\Phi_m = \Phi_i$ (se neglijează sarcinile de suprafață). În asemenea caz nu există transfer de sarcină între cele două materiale și este satisfăcută condiția de bandă plată (fig. 5.64 b). La tensiuni mici aplicate pe contact, cîmpul electric în izolator fiind constant, procesul de conducție este ohmic. La o tensiune la care curentul ohmic din izolator atinge valoarea de saturație a curentului termoelectronic din metal în izolator, curentul se saturează. Contactul de blocare (bariera Schottky) se stabilește atunci cînd $\Phi_m > \Phi_i$ (fig. 5.64 c). Apare o regiune de sarcină spațială pozitivă

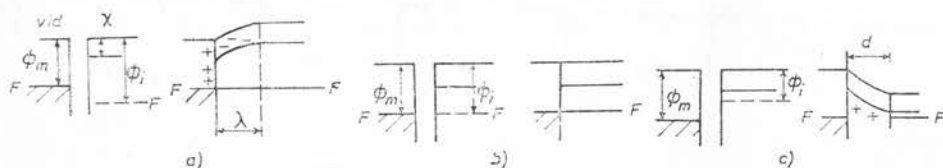


Fig. 5.64. Diagrama de benzi de energie a contactului metal-izolator: a — ohmic; b — neutru; c — de blocare.

în izolator lingă contact dată de donorii ionizați datorită procesului de trecere a electronilor din izolator în metal în timpul stabilirii echilibrului termic. Lărgimea stratului de baraj este dată de o formulă asemănătoare cu cea

din cazul contactului metal-semiconductor

$$L = \left[\frac{2(\Phi_m - \Phi_i)\epsilon_i}{qN_a} \right]^{1/2}, \quad (5.7)$$

unde N_a este concentrația impurităților donoare din izolator. La acest contact procesul de conducție este limitat de electrod; tensiunea aplicată cade aproape în întregime pe stratul de baraj. Menționăm că un izolator intrinsec are o concentrație neglijabil de mică de electroni încît ar trebui să aibă un volum destul de mare pentru a suplini sarcina spațială necesară stabilirii echilibrului. Cu alte cuvinte, într-un asemenea caz benzile de energie se înclină imperceptibil astfel că contactul se reprezintă practic ca un contact neutru. Contactele metal-izolator-metal sînt prezentate în figura 5.65. În figura 5.65a (din stînga) stratele de acumulare se întrepătrund deoarece lărgimea izolatorului $d < 2\lambda$ și prin urmare benzile de energie ale izolatorului sînt curbate pe toată lărgimea sa. (Deoarece sarcina este negativă, curbura benzilor este convexă). De asemenea, sarcina spațială se întinde în întregul izolator. Procesul de conducție este limitat de sarcina spațială. În figura 5.65a (partea dreaptă) se reprezintă cazul contactelor ohmice cînd $d > 2\lambda$. În acest caz regiunile de acumulare de la contacte ecranează interiorul izolatorului, unde nu există sarcină spațială și benzile sînt plate iar procesul de conducție este determinat de proprietățile intrinseci ale izolatorului. În figura 5.65b contactele sînt de blocare. În stînga este reprezentat cazul $d < 2L$ iar în dreapta cazul $d > 2L$. Cînd $d < 2L$ există sarcină spațială pozitivă în întreg izolatorul și benzile de energie sînt curbate (concave). Cînd $d > 2L$, regiunile de sarcină spațială de la contacte ecranează interiorul izolatorului. O observație trebuie menționată. Datorită curbării benzilor, în figura 5.65b (stînga), distanța de la nivelul Fermi la marginea inferioară a benzii de conducție în izolator este mai mică decît diferența $q(\Phi_i - \chi)$ pe cînd în figura 5.65a (stînga) situația este inversă. În figura 5.65c sînt reprezentate contactele neutre. Cînd cei doi electrozi sînt din același material (similari) condiția de bandă plată este realizată în întreg izolatorul (figura din stînga). Cînd cei doi electrozi sînt din materiale diferite și au lucrurile de ieșire diferite, $q\Phi_{m1} \neq q\Phi_{m2}$ benzile de energie în izolator sînt înclinate (figura din partea dreaptă). Conducția

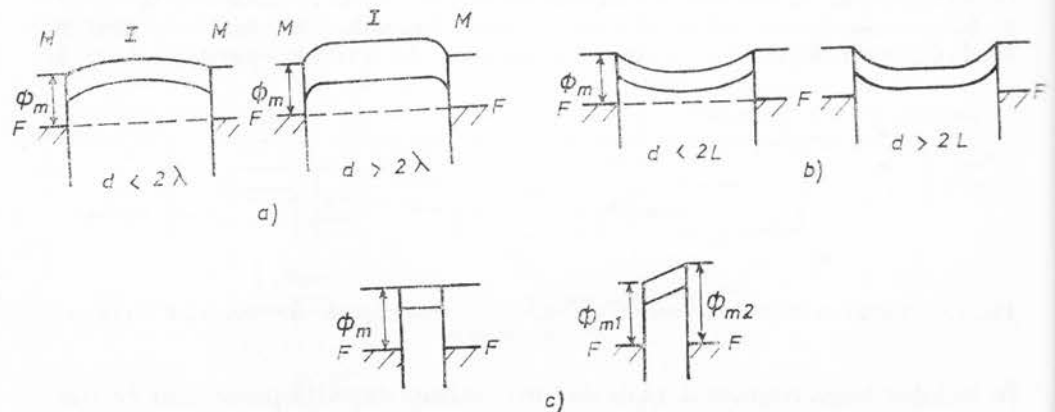


Fig. 5.65. — Contactele metal-izolator-metal: a — ohmic; b — de blocare; c — neutre.

electrică poate fi limitată de electrozi (efectul tunel sau emisie termoelectronică) ori poate fi limitată de către volumul izolatorului (curentul electric limitat de sarcina spațială, efectul Poole-Frenkel). Curentul electric tunel care curge între doi electrozi metalici separați de un izolator este dat de expresia

$$j = 4\pi \frac{qm}{h^3} \int_0^\infty dE [f_c(E) - f_a(E)] \int_0^E P(E_x) dE_x, \quad (5.80)$$

unde

$$f_c(E) = \frac{1}{1 + e^{(E-F)/kT}}; \quad f_a(E) = \frac{1}{1 + e^{(E+qV-F)/kT}}$$

sînt funcțiile de distribuție a electronilor la catod și, respectiv, la anod, V este tensiunea aplicată pe structură, E — energia electronilor, E_x — energia acestora în direcție x , $P(E_x)$ — probabilitatea de tunelare prin izolator [37—38]. În expresia de mai sus s-a considerat că masa electronului este egală cu cea a electronului liber și că relația dintre energie și vectorul de undă este parabolică. Cînd izolatorul este suficient de subțire, contribuția esențială la curent o aduc electronii din catod cu energia apropiată de nivelul Fermi, care tunelează prin izolator la anod. Probabilitatea de tunelare este dată în aproximația WKB de expresia [39]

$$P(E_x) \simeq \exp \left\{ -\frac{4\pi}{h} \int_{x_1}^{x_2} \sqrt{2m(qV - E_x)} dx \right\}, \quad (5.81)$$

unde x_1 și x_2 sînt punctele de întoarcere clasice. S-a găsit că relația între curentul tunel, $J(V, T)$ la temperatura TK și curentul tunel la $T = 0 K$ este dată de expresia [40]

$$\frac{j(V, T)}{j(V, 0)} = \frac{(\pi AkT/2(q\bar{\Phi})^{1/2})}{\sin(\pi AkT/2(q\bar{\Phi})^{1/2})}, \quad (5.82)$$

unde

$$j(V, 0) = \frac{q}{2\pi} h(\Delta x)^2 \{q\bar{\Phi} \exp(-A(q\bar{\Phi})^{1/2}) - q(\bar{\Phi} + V) \exp[-A(q(\bar{\Phi} + V))^{1/2}]\}, \quad (5.83)$$

și $A = 4\pi\Delta x(2m)^{1/2}/h$; Δx este lărgimea barierei de potențial la nivelul Fermi al catodului iar $q\bar{\Phi}$ este înălțimea medie a barierei măsurată de la nivelul Fermi (fig. 5.66). Dacă $q\bar{\Phi}$ se exprimă în eV și Δx în Angstromi, se poate scrie

$$\frac{j(V, T)}{j(V, 0)} \simeq 1 + \frac{3 \cdot 10^{-9} (T\Delta x)^2}{q\bar{\Phi}} \quad (5.84)$$

și considerînd valorile tipice $\Delta x = 20 \text{ \AA}$ și $q\bar{\Phi} = 2 \text{ eV}$, se obține

$$j(V, T) = j(V, 0)[1 + 6 \cdot 10^{-7} T^2].$$

Se observă că curentul tunel depinde de pătratul temperaturii, însă variază destul

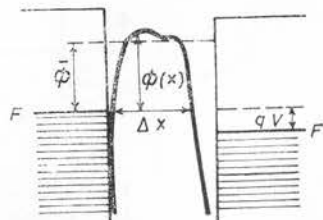


Fig. 5.66. — Diagrama energetică a structurii MIM cu o barieră arbitrară, unde sînt definite $\bar{\Phi}$ și Δx .

de slab. Ecuația (5.84) se poate scrie în forma

$$I = 100 \frac{j(V, T) - j(V, 0)}{j(V, 0)} = 3 \cdot 10^{-7} \frac{(T \Delta x)^2}{q \Phi}, \quad (5.85)$$

unde I este variația procentuală a curentului în intervalul de temperatură $0 - TK$ la tensiune constantă. În cazul barierei de formă trapezoidală reprezentată în figura 5.65c (dreapta) se obține :

$$\text{pentru } qV \leq q\Phi_2 \text{ (fig. 5.67 a)} \quad I_2 = 6 \cdot 10^{-7} \frac{(T \cdot d)^2}{q(\Phi_1 + \Phi_2 - V)}, \quad (5.86)$$

$$\text{și pentru } qV \geq q\Phi_2 \text{ (fig. 5.67 b)} \quad I_2 = 6 \cdot 10^{-7} q\Phi_1 \left[\frac{T \cdot d}{q(V - \Delta\Phi)} \right]^2 \quad (5.86')$$

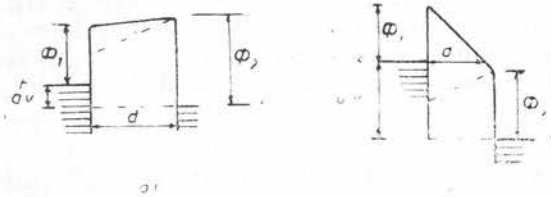


Fig. 5.67. — Diagrama energetică a barierei nesimetrice la polarizare inversă : (a) $0 \leq qV \leq \Phi_1$; (b) $qV > \Phi_2$.

la polarizare inversă. La polarizare directă se obține

$$\text{pentru } qV \leq q\Phi_1 \text{ (fig. 5.68a)} \quad I_1 = 6 \cdot 10^{-7} \frac{(T \cdot d)^2}{q(\Phi_1 + \Phi_2 - V)}, \quad (5.87)$$

$$\text{iar pentru } qV \geq q\Phi_1, \quad I_1 = 6 \cdot 10^{-7} q\Phi_2 \left[\frac{T \cdot d}{q(V + \Delta\Phi)} \right]^2. \quad (5.87')$$

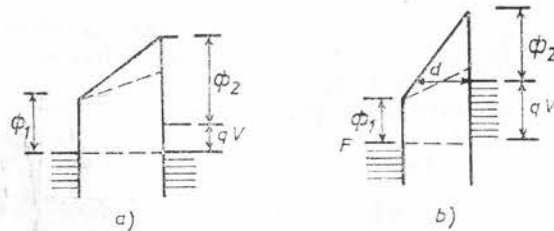
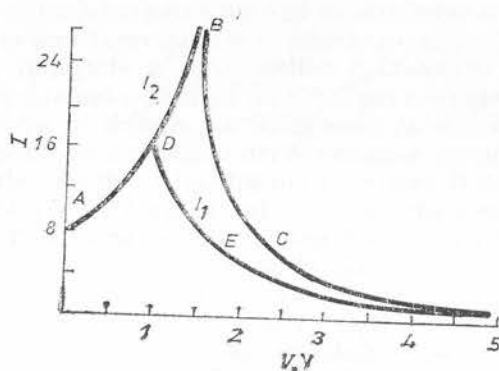


Fig. 5.68. — Diagrama energetică a barierei nesimetrice la polarizare directă : (a) $qV < \Phi_1$; (b) $qV > \Phi_2$.

(Un exemplu este reprezentat în figura 5.69). Se observă că atât I_1 cât și I_2 cresc inițial, trec printr-un maxim și apoi descrește cu creșterea tensiunii aplicate. Maximul lui I_1 (polarizare directă) are loc pentru $qV = q\Phi_1$, iar

maximul lui I_2 (polarizare inversă) pentru $qV = q\Phi_2$. Prin urmare, din asemenea măsurători se poate găsi înălțimea barierei metal-izolator. Rezultate experimentale care confirmă cele de mai sus s-au obținut în structuri Al-

Fig. 5.69. — Curentul procentual, I , în funcție de tensiunea aplicată; ABC este caracteristica inversă iar ADE este caracteristica directă.



$\text{Al}_2\text{O}_3\text{-Al}$ și $\text{Al-Al}_2\text{O}_3\text{-Au}$. S-au observat în unele cazuri deviații de la caracteristica tunel obișnuită. De exemplu conductanța tunel variază foarte rapid pentru tensiuni mici, până la valoarea de 0,1 eV. Asemenea fenomene au fost numite anomalii ale efectului tunel. Ele pot fi împărțite în două categorii: (1) anomalii la tensiune zero și (2) anomalii la tensiune finită. Anomalia la tensiune zero se manifestă prin apariția unui maxim al conductanței în jurul tensiunii zero. Aceasta se poate datora excitării electronilor prin împrăștierea pe impurități magnetice localizate care pot exista la interfața metal-oxid când electrodul este alcătuit dintr-un metal de tranziție [41]. Anomalia la tensiune finită se poate datora schimbului de energie între electronii care tunelează și fononi sau vibrațiile moleculelor captate în izolator [42—43]. Când stratul izolator este suficient de gros astfel că probabilitatea de tunelare prin el este neglijabil de mică și la temperaturi înalte, curentul electric care curge prin structura MOM este curentul de excitare termică (de emisie termoelectronică). În multe structuri MIM apar fenomene de comutare și de memorie [44]. Caracteristicile acestor structuri se împart în două categorii: (1) cu rezistență negativă controlată de curent; (2) cu rezistență negativă controlată de tensiune [39]. Primul tip de caracteristici a fost observat în oxizi de titan, tantal, niobiu, bismut [45—47]. Al doilea tip de caracteristici a fost observat în oxizi, sulfuri, fluoruri [36]. În acest paragraf vom face unele observații asupra caracteristicilor $I-V$ cu rezistență negativă controlată de curent (tip S). Inițial probele prezintă pentru curenți mai mici decât $1\text{mA}/\text{cm}^2$ o caracteristică tip redresor, ca cea reprezentată în figura 5.70a. Crescând tensiunea până când curentul invers depășește $100\text{mA}/\text{cm}^2$, caracteristica $I-V$ se transformă

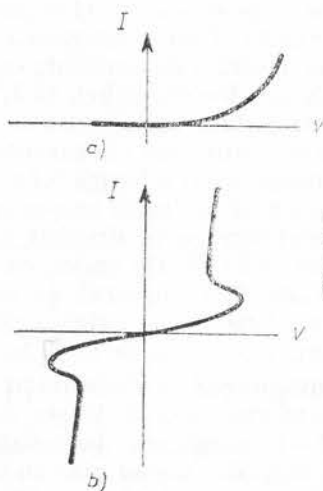


Fig. 5.70. — Caracteristica $I-V$ tipică a structurii MOM înainte (a) și după formare (b).

ireversibil într-o caracteristică simetrică cu rezistență negativă, de tip S (fig. 5.70b). Procesul de formare poate avea loc în aer sau în vid. În regiunea prenegativă, caracteristica $I-V$ are inițial o comportare ohmică urmată de o comportare $i \sim V^n$ ($n > 1$). Această din urmă observație ne duce la concluzia că în oxid curentul electric este limitat de sarcina spațială [45, 48]. La o anumită tensiune, creșterea sarcinii spațiale injectate în izolator cauzează o redistribuție a cîmpului electric, creșterea intensității acestuia pe o regiune mai îngustă a izolatorului pînă atinge valoarea critică de inițiere și menținere a ionizării în avalanșă care determină apariția rezistenței negative. Prin urmare, o explicație a apariției rezistenței negative ar fi existența curentului electric limitat de sarcina spațială și străpungerea prin ionizare în avalanșă. O explicație alternativă ar fi legată de structura posibilă prezentată în figura 5.71 [45], unde stratul de oxid din sistemul $\text{Al-Bi}_2\text{O}_3\text{-Al}$ poate să prezinte discontinuități în care să existe punți de Al ori Bi separate de electrodul de Al de dedesubt printr-un strat (nedorit) de Al_2O_3 . Poate să existe, de asemenea, un gradient al nestoichiometriei oxidului de bismut. La tensiuni mici curentul curge prin aceste punți și tunelează prin oxidul de aluminiu care este suficient de subțire. Cu creșterea tensiunii punțile se încălzesc și prin structură trece un curent mare de emisie termoelectronică. Acest proces termic produce rezistență negativă în unele cazuri, cînd se observă rezistență negativă multiplă, și este însoțit în mod uzual de un efect de histerezis.

5.14. Efectul tunel în structuri metal-oxid-semiconductor

Semiconductoarele SnTe și GeTe [49] au o conducție apropiată de cea a metalelor. Ambele materiale au compoziție nestoichiometrică și datorită concentrației mari de vacanțe de Sn sau de Ge sînt semiconductoare de tip p cu concentrația gurilor de ordinul $8 \cdot 10^{20} \text{ cm}^{-3}$ și, respectiv, $2 \cdot 10^{20} \text{ cm}^{-3}$. Structurile tunel s-au realizat prin evaporarea SnTe sau GeTe pe o fișie de Al depusă în prealabil pe un suport de cuarț sau safir și oxidată. Toate materialele din aceste structuri sînt policristaline, cu excepția oxidului de aluminiu care este posibil să fie amorf. Caracteristicile $I-V$ ale acestor structuri, la 4,2 K sînt prezentate în figura 5.72. În figura 5.73 este redată caracteristica $I-V$ pentru SnTe la 4,2 ; 77 și 300 K. Proprietățile calitative ale caracteristicii $I-V$ pot fi explicate folosind diagramele energetice din figura 5.74 [49]. Ca și în cazul diodei tunel [39] cu creșterea tensiunii aplicate crește curentul tunel pînă cînd nivelul Fermi al metalului ajunge în dreptul maximului benzii de valență din semiconductor (fig. 5.74 b). Cu creșterea mai departe a tensiunii aplicate, curentul tunel scade deși numărul de stări libere disponibile în semiconductor pentru tunelare nu se modifică (fig. 5.74 c). Explicația este că înălțimea barierei de tunelare crește de la E_1 la E_2 , așa cum se observă în figură, ceea ce duce la micșorarea probabilității de tunelare ($\mathcal{Q} \sim e^{-\lambda}$, $\lambda \sim 2d\sqrt{2mE}/\hbar$, unde d este grosimea și E este înălțimea barierei. Astfel, apare pe caracteristica $I-V$ porțiunea de rezistență negativă. De la tensiunea la care nivelul Fermi din metal vine în dreptul marginii inferioare a benzii de conducție din semiconductor, se deschide o nouă cale de tunelare din metal în banda de conducție a semiconductorului și curentul crește din nou cu creșterea tensiunii aplicate. S-a considerat că factorul exponențial depinde de diferența de energie dintre nivelul Fermi din metal și marginea inferioară a

benzii de conducție din oxid. Această presupunere trebuie să fie justă întrucât diferența de energie amintită așa după cum se observă, este mult mai mică decât diferența de energie dintre marginea benzii de valență din oxid și nivelul Fermi din metal.

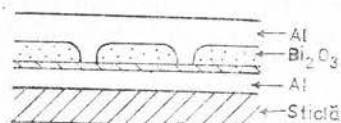


Fig. 5.71. — O structură posibilă în care stratul de aluminiu, „perforează” în anumite locuri stratul de oxid de bismut.

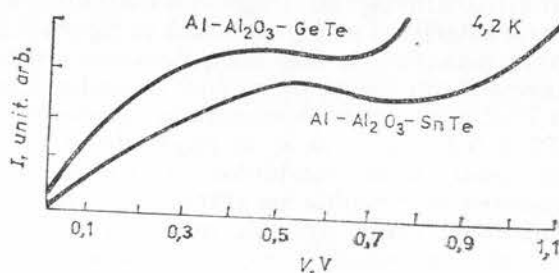


Fig. 5.72. — Caracteristica $I-V$ în structurile tunel SnTe și GeTe.

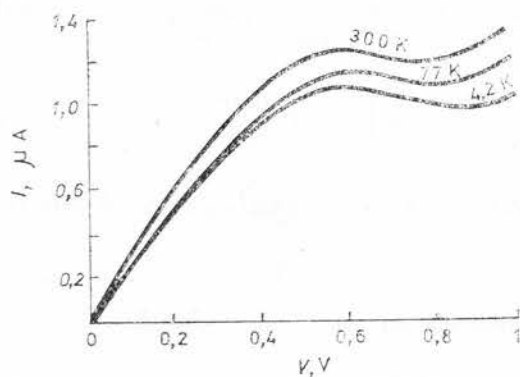


Fig. 5.73. — Caracteristica $I-V$ a structurii tunel SnTe.

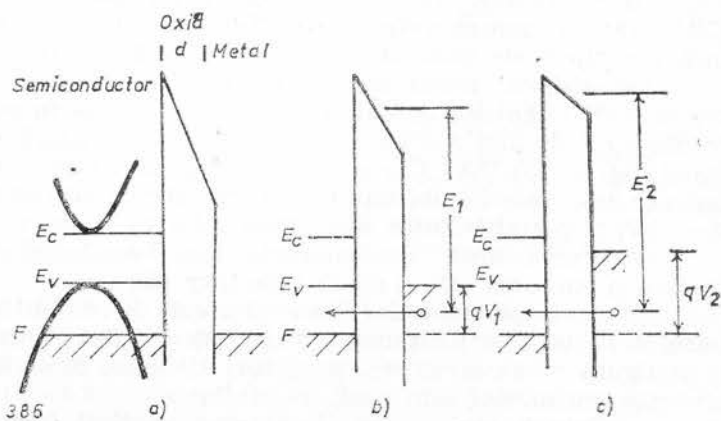


Fig. 5.74. — Diagramele energetice pentru diverse tensiuni de polarizare în structuri tunel Al- Al_2O_3 -GeTe.

1. Efectul tunel în structuri Si-SiO₂-metal

În figura 5.75 este reprezentată conductanța tunel în curent continuu pentru trei probe Si-SiO₂-(AuCr) în care stratul de oxid a fost crescut în condiții diferite [50]; pe axa tensiunilor este trecută polaritatea corespunzătoare metalului. Diagrama energetică folosită pentru explicarea acestor caracteristici este prezentată în figura 5.76. Pentru $V > 0$, conductanța crește monoton cu tensiunea deoarece crește cantitatea de electroni care tunează din banda de valență a semiconductorului în metal (fig. 5.76 b). La $V < 0$ nu apare domeniul de rezistență negativă caracteristic figurilor 5.72 și 5.73. Aceasta se întâmplă deoarece (fig. 5.76 c) la curentul tunel din metal în semiconductor contribuie și o componentă determinată de tunelarea electronilor pe stări de interfață situate în banda interzisă a semiconductorului și recombinația acestora cu golurile din banda de valență. Această componentă face ca rezistența negativă să nu fie sesizabilă.

2. Efectul tunel Fowler-Nordheim

S-a studiat efectul tunel în structuri siliciu-bioxid de siliciu-aluminiu/magneziu în care stratul de oxid este relativ gros (600–5000 Å) [51]. La tensiune mare, $qV \gg q\Phi$, (metalul este polarizat negativ), grosimea barierei este redusă sub 50 Å și este posibil efectul tunel; acesta este efectul tunel Fowler-Nordheim. $q\Phi$ este înălțimea barierei de potențial metal-izolator. Expresia curentului tunel Fowler-Nordheim este

$$j = \frac{3,38 \cdot 10^{10} \text{ s}^2}{q\Phi} \exp \left[- \frac{0,69(q\Phi)^{3/2}}{\text{s}} \right]. \quad (5.88)$$

Ea se obține din ecuațiile (5.82) și (5.83) cu condiția $q \gg q\Phi$; s este intensitatea cimpului electric.

5.15. Tranzistoarele cu electroni fierbinți

Sînt constituite din strate subțiri alternative de metal, și izolator sau semiconductor. În tranzistorul metal-izolator-metal-izolator-metal [52] curentul curge prin efect tunel (fig. 5.77a). În afara acestuia mai există încă trei tipuri de tranzistoare cu electroni fierbinți.

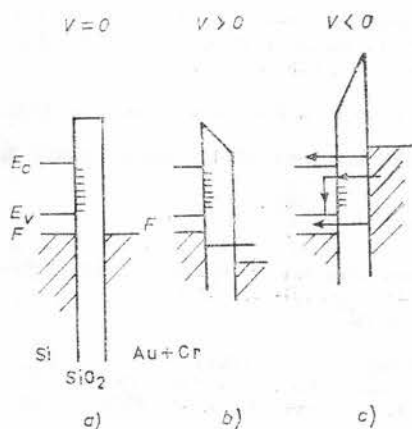
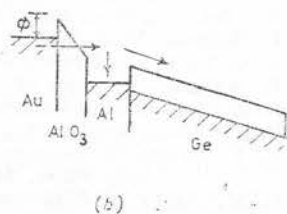
Tranzistorul metal-izolator-metal-semiconductor în care colectorul este o diodă Schottky se mai numește și tranzistor tunel deoarece ca și în tranzistorul de mai sus emitorul injectează purtători în bază prin efect tunel (fig. 5.77b) [53]. Curentul care curge satisface relația Fowler-Nordheim (5.88). Valorile obișnuite ale parametrilor structurii sînt $d_e = 20 \text{ Å}$, $\Phi = 1 \text{ V}$, și permitivitatea dielectrică relativă a emitorului $\epsilon_r = 4$.

— Tranzistorul semiconductor-metal-semiconductor (fig. 5.77c) în care și emitorul este o diodă Schottky [54].

Concentrația donatorilor din emitor este de ordinul 10^{16} cm^{-3} , grosimea bazei $d = 100 \text{ Å}$ iar înălțimea barierei $q\Phi = 0,8 \text{ eV}$. După cum se observă și pe figură nu se injectează purtători din bază în emitor și prin urmare eficiența emitorului este egală cu unitatea.

— Tranzistorul limitat de sarcina spațială (fig. 5.77d) în care în emitor curentul electric este limitat de sarcina spațială [55]. Un asemenea

(c)



Aceste tranzistoare se numesc tranzistoare cu purtători fierbinți deoarece prin bază (care este un metal) electronii sosiți din emitor au energie mult mai mare decât energia medie termică a electronilor din metalul respectiv. Frecvența cea mai mare de funcționare o are tranzistorul semiconductor-metal-semiconductor, care are performanțe mai bune decât tranzistorul cu joncțiuni.

BIBLIOGRAFIE

1. S. R. Hofstein, G. Warfield, *Solid State Electron.*, **8**, 321 (1965).
2. A. Goetzberger, *Bell Syst. Tech. J.*, **45**, 1097 (1966).
3. B. E. Deal, E. H. Snow, C. A. Mead, *J. Phys. Chem. Solids*, **27**, 1873 (1966).
4. R. Williams, *J. Vac. Sci. Technol.*, **14**, 1106 (1977).
5. R. Williams, *Phys. Rev.*, **A140**, 569 (1965).
6. R. Williams, *Semiconductor and Semimetals*, Academic Press, New York, vol. 6, p. 97, 1970.
7. A. M. Goodman, *Phys. Rev.*, **152**, 785 (1966).
8. E. H. Nicollian, *J. Vac. Sci. Technol.*, **14**, 1112 (1977).
9. A. Goetzberger, V. Heine, E. H. Nicollian, *Appl. Phys. Lett.*, **12**, 95 (1968).
10. E. H. Nicollian, A. Goetzberger, *Bell. Syst. Tech. J.*, **46**, 1055 (1967).
11. L. M. Terman, *Solid State Electron.*, **5**, 285 (1962);
P. D. Tonner, J. G. Simmons, *Rev. Sci. Instruments*, **51**, 1378 (1980).
12. C. N. Berglund, *IEEE Trans. on Electron Devices*, **ED-13**, 701 (1966).
13. S. M. Sze, *Physics of Semiconductor Devices*, John Wiley & Sons, 1969. P. Richman, *MOS Field Effect Transistors and Integrated Circuits*, John Wiley & Sons, New York 1973.
14. B. E. Deal, M. Sklar, A. S. Grove, E. H. Snow, *J. Electrochem. Soc.*, **114**, 266 (1966).
15. E. Arnold, J. Ladell, G. Abowitz, *Appl. Phys. Lett.*, **13**, 413 (1968).
16. B. E. Deal, F. L. Mackenna, P. L. Castro, *J. Electrochem. Soc.*, **116**, 997 (1969).
17. G. F. Derbenwick, *J. Appl. Phys.*, **48**, 1127 (1977).
18. W. Hickmott, *Phys. Rev. Lett.*, **32**, 65 (1974).
19. R. Williams, M. H. Woods, *J. Appl. Phys.*, **46**, 695 (1975).
20. A. G. Tangen, J. Middelholk, N. T. de Rooij, *J. Appl. Phys.*, **49**, 2876 (1978).
21. R. Williams, *J. Appl. Phys.*, **37**, 1491 (1966).
22. D. J. DiMaria, J. M. Aitken, D. R. Young, *J. Appl. Phys.*, **47**, 2740 (1976).
23. P. K. Nanta, M. W. Hillen, *J. Appl. Phys.*, **49**, 2863 (1978).
24. K. Yamashita, M. Iwamoto, T. Hino, *J. Appl. Phys.*, **49**, 2866 (1978). T. H. Di Stefano, *J. Appl. Phys.*, **44**, 527 (1973).
25. R. J. Krieger, Y. C. Cheng, D. R. Colton, *J. Electrochem. Soc.*, **119**, 388 (1972).
26. A. Goetzberger, E. H. Niccollian, *Bell Syst. Tech. J.*, **46**, 513 (1967).
27. J. Grosvalet, C. Tund, *IEEE Trans. on Electron Devices*, **ED-14**, 777 (1967).
28. J. R. Schrieffer, *Phys. Rev.*, **97**, 641 (1955).
29. D. R. Frankl, *Electrical Properties of Semiconductor Surfaces*, Pergamon Press, New York, 1967.
30. A. S. Grove, *Fizica și tehnologia dispozitivelor semiconductoare*, Edit. tehnică, București, 1973.
31. J. P. Mitchell, D. K. Wolsen, *Bell. Syst. Tech. J.*, **46**, 1 (1967).
32. A. S. Grove, E. H. Snow, *Proc. IEEE*, **54**, 894 (1966).
33. Z. Lukes, *Solid State Electron.*, **9**, 21 (1966).
34. O. Leistiko, Jr, A. S. Grove, C. T. Sah, *IEEE Trans. Electron Devices*, **ED-12**, 248 (1965).
35. L. Vadasz, A. S. Grove, *IEEE Trans. on Electron Devices*, **ED-13**, 863 (1966).
36. J. G. Simmons, *J. Phys. D. Appl. Phys.*, **4**, 613 (1971).
37. P. Hesto, *Thin Solid Films*, **51**, 23 (1978);
E. Schakawska, J. Szeklil, *Thin Solid Films*, **75**, 177 (1981).
38. C. B. Duke, in *Tunneling Phenomena in Solids*, Plenum Press, New York, 1969.
39. V. Dolocan, *Fizica dispozitivelor cu corp solid*, Edit. Academiei, București, 1978.
40. R. Stratton, *Phys. Rev.*, **136**, A837 (1964).
41. J. Appelbaum, *Phys. Rev.*, **154**, 633 (1967).
42. J. M. Rowell, in *Tunneling Phenomena in Solids*, Plenum Press, 1969.
43. P. K. Hansma, *Physics Reports*, **30C**, 2 (1977).
44. V. Dolocan, Simpozionul național de fizica solidului, Cluj-Napoca, 1978, p. 22.
45. V. Dolocan, *Phys. Stat. Sol.*, (a) **45**, K155 (1978).
46. G. Taylor, B. Lalevic, *Solid State Electron.*, **19**, 669 (1976).
47. K. L. Chopra, *J. Appl. Phys.*, **36**, 184 (1963).
48. D. Dascălu, *Injectia unipolară în dispozitive electronice semiconductoare*, Edit. Academiei, București, 1972.
49. L. Esaki, P. J. Stiles, *Phys. Rev. Lett.*, **16**, 1108 (1966); L. Esaki, *Uspehi, Fiziceskih Nauk*, **116**, 569 (1975).
50. W. E. Dalke, S. M. Sze, *Solid State Electron.*, **10**, 865 (1967).
51. M. Lenzlinger, E. H. Snow, *J. Appl. Phys.*, **40**, 278 (1969).
52. C. A. Mead, *Proc. IRE*, **48**, 359 (1960).
53. J. P. Spratt, R. F. Schwartz, W. M. Kane, *Phys. Rev. Lett.*, **6**, 341 (1961).
54. D. V. Geppert, *Proc. IRE*, **50**, 1527 (1962).
55. G. T. Wright, *Solid State Electron.*, **5**, 117 (1962).

Capitolul 6

DISPOZITIVE DE MEMORIE ȘI DE IMAGINE. XEROGRAFIA

A. DISPOZITIVE DE MEMORIE, NEVOLATILE, CU SEMICONDUCTOARE

Datorită dezvoltării rapide a tehnologiei siliciului, memoriile cu semiconductoare vor înlocui destul de curând memoriile magnetice în sistemele electronice de calcul deoarece memoriile cu semiconductoare au avantaje incontestabile : viteză mare de răspuns, densitate mare pe suprafață, cost scăzut și putere mare.

Un dezavantaj al memoriilor cu semiconductoare realizate inițial era volatilitatea lor, adică pierderea datelor stocate în memorie în momentul întreruperii sursei de alimentare. S-au propus diverse metode pentru a se înlătura acest neajuns. Printre acestea se poate cita folosirea unei baterii sau a unui capacitor de susținere a memoriei [1]. De exemplu, energia stocată în capacitor se utilizează în timpul întreruperii sursei de alimentare pentru a transfera informația stocată din memoria semiconductoare într-o memorie permanentă (magnetică sau semiconductoare nevolatilă). Aceasta necesită folosirea în plus a unei memorii permanente. Nici metoda folosirii unei baterii de susținere nu este avantajoasă, datorită consumului de energie. Cea mai bună metodă este folosirea memoriilor nevolatile cu semiconductoare. Nevolatilitatea memoriei se poate realiza prin stocarea de sarcină în poarta unui tranzistor cu efect de câmp cu poartă izolatoare sau prin polarizarea unui material feroelectric situat în poarta unui tranzistor cu efect de câmp. Stocarea de sarcină se poate face în două moduri : (1) într-un strat subțire conductor sau semiconductor ori particule conductoare situate între două straturi izolatoare : asemenea dispozitive se numesc dispozitive cu poartă plutitoare ; (2) prin captarea sarcinii pe capcane situate la interfață într-o structură cu poartă izolatoare cu mai multe straturi și/sau în volumul izolatorului ; acestea se numesc dispozitive cu captare de sarcină. În paragraful 6.1 vom prezenta dispozitivele cu poartă plutitoare, în 6.2 dispozitivele cu captare de sarcină, în 6.3 dispozitivele cu materiale feroelectrice iar în 6.4 vom prezenta celulele de memorie.

6.1. Dispozitive de memorie cu poartă plutitoare

Au fost propuse și realizate mai multe modele. Primul model, reprezentat în figura 6.1, este un tranzistor cu efect de câmp cu poartă izolatoare de tipul metal-izolator-metal-izolator-semiconductor (MIMIS). Poarta plutitoare este metalul M_1 iar poarta exterioară este metalul M_2 . Sarcina se înmagazinează (stociază) în banda de conducție a metalului M_1 . Prin aplicarea unei tensiuni pozitive pe M_2 electronii tunelează prin izolatorul I_1 , care este destul de subțire ($< 50\text{\AA}$), în banda de conducție a metalului M_1 unde rămân stocați după ce se îndepărtează tensiunea pozitivă aplicată pe poartă. La descărcare se aplică pe poartă tensiune negativă ($V_G < 0$). Acest dispozitiv de memorie nu este practic deoarece stra-

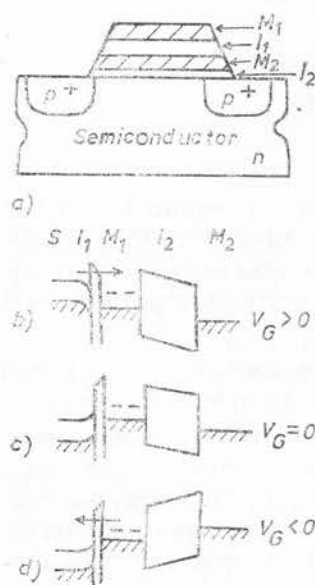


Fig. 6.1. — Memoria cu poartă plutitoare: a — structura; b — încărcarea; c — starea de încărcare; d — descărcarea.

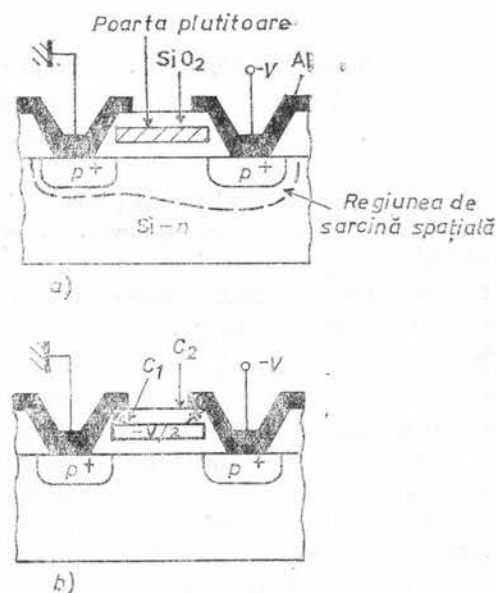
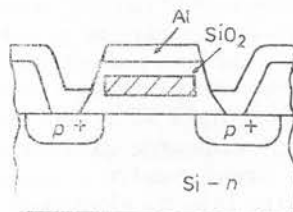


Fig. 6.2. — Memoria cu injecție în avalanșă a electronilor în poarta plutitoare.

tul izolator I_1 fiind foarte subțire este dificil de a-l realiza uniform; există în el insule metalice prin care se scurge (se pierde) sarcina stocată. Într-o altă variantă [3], metalul de stocare M_1 se înlocuiește cu particule metalice separate între ele la distanțe mai mici decât lungimea de ecranare Debye. De exemplu, s-au folosit particule de platină de grosime aproximativ 35\AA puse între cele două strate de oxid, I_1 (bioxidul de siliciu cu grosimea 25\AA) și I_2 (oxid de aluminiu cu grosimea 350\AA). În figura 6.2 este reprezentat un alt tip de structură. Dezavantajul memoriei MIMIM cu I_1 subțire care o face impracticabilă datorită efectului de pierdere a fost înlăturat prin înlocuirea stratului izolator I_1 subțire cu un strat izolator gros (SiO_2 de grosimea $\sim 1000\text{\AA}$) iar încărcarea porții plutitoare, care de astă dată este din siliciu policristalin, se face prin injecția prin ionizare în avalanșă [4]. Joncțiunea drenei este polarizată invers pînă la tensiunea de declan-

șare a străpungerii în avalanșă, electronii sînt accelerați de cîmpul din regiunea sarcinii spațiale a drenei și sînt injectați din substratul de siliciu în stratul de bioxid de siliciu (fig. 6.2a). Electronii sînt antrenați de cîmpul din oxid și ajung la poarta plutitoare; tensiunea aplicată se divide în două așa cum este reprezentat în figura 6.2b astfel că se stabilește un cîmp și în stratul de oxid. Pentru a „șterge” memoria, adică a înlătura sarcina stocată în poarta plutitoare trebuie fie să se înlătore sarcina de electroni injectată, fie să se injecteze goluri pentru a neutraliza această sarcină. Injecția golurilor este un proces care se desfășoară mult mai încet decît injectia electronilor [5]. Mai mult, pentru aceasta este necesar și electrodul poartă superior. Înlăturarea sarcinii electronilor se poate face pe mai multe căi. O cale constă în realizarea condiției pentru tunelarea electronilor din poarta plutitoare prin stratul gros de oxid pe baza procesului Fowler-Nordheim, ceea ce necesită o tensiune destul de mare. O altă cale este extragerea electronilor din poarta plutitoare cu ajutorul razelor X sau luminii ultraviolete. O cale mai avantajoasă este folosirea unei structuri metal-izolator-semiconductor-izolator semiconductor (MISIS) prezentată în figura 6.3 [6]. Regiunea hașurată constituie poarta plutitoare care este alcătuită din siliciu policristalin de rezistivitate mare. Această structură dă posibilitatea să se stabilească ușor un cîmp electric în poarta plutitoare prin aplicarea unei tensiuni electrice între poarta exterioară și substrat. Electronii stocați în poarta plutitoare sînt accelerați de acest cîmp și capătă suficientă energie pentru a trece prin stratul de oxid și a pătrunde în substratul semiconductor ori în electrodul metalic al porții, depinzînd de polaritatea

Fig. 6.3. — Dispozitivul de memorie metal-izolator-semiconductor-izolator semiconductor.



tensiunii aplicate. Stratul de oxid este suficient de gros (300—500Å) pentru a se evita pierderile prin eventualele insule. Un alt tip de memorie este memoria cu poartă plutitoare care folosește injectia din canal. Ca și în cazul anterior poarta plutitoare este izolată cu un strat gros de oxid pentru a împiedica scurgerile de sarcină [7]. Poarta plutitoare poate fi semiconductoră sau metalică. Structura are și poartă superioară (fig. 6.4a) care folosește la încărcarea sau descărcarea porții plutitoare. Poarta superioară se polarizează la o tensiune pozitivă mare (aproximativ 60 V) pentru a se realiza canalul (strat de inversie) iar drenea se polarizează pozitiv

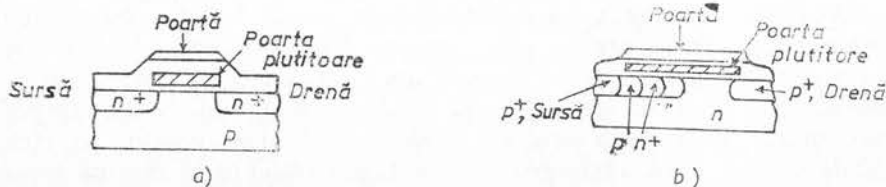


Fig. 6.4. — Memoria cu poartă plutitoare cu injectie din canal (a) și memoria cu poartă plutitoare cu două joncțiuni (b).

pentru a obține o valoare dorită a curentului de drenă. Electronii care participă la conducția curentului în canal, în regiunea de sarcină spațială a drenei capătă energie suficientă pentru a putea ajunge la poarta plutitoare pe care o încarcă cu sarcină. Pentru descărcarea porții plutitoare joncțiunea drenei se polarizează invers la o tensiune corespunzătoare apariției străpungerii prin ionizare în avalanșă care conduce la generarea electronilor și golurilor, de energie mare, iar poarta superioară este legată la masă ori polarizată negativ pentru a favoriza injecția golurilor în stratul de oxid, ajungerea acestora la poartă unde neutralizează sarcina de electroni stocată. Atât injecția electronilor din canal cât și injecția golurilor provenite din avalanșă sînt procese care decurg încet și viteza de lucru a unor asemenea memorii este mică. Pentru a realiza un bit de memorie, acest dispozitiv se folosește în serie cu un tranzistor cu efect de cîmp. Altă metodă de realizare a încărcării și descărcării porții plutitoare se folosește în structura prezentată în figura 6.4b, care conține două joncțiuni. Structura porții este aceeași cu a dispozitivului cu injecție din canal. Această structură are canal de tip p și i se adaugă în regiunea canalului o joncțiune n^+p ; regiunea p este în contact cu regiunea p^+ a sursei iar regiunea n^+ este în contact cu stratul bazei. Joncțiunea n^+p adăugată este necesară pentru injecția golurilor în procesul de descărcare a porții plutitoare. Procesul de încărcare are loc ca și mai înainte. Joncțiunea p^+n a drenei se polarizează la o tensiune inversă pentru a se realiza străpungerea în avalanșă iar electronii rezultați se injectează în poarta plutitoare prin legarea porții (superioare) la masă ori polarizarea ei pozitivă. Procesul de descărcare se obține astfel. Sursa se leagă la masă iar substratul se polarizează pozitiv pînă la o tensiune la care se realizează străpungerea în avalanșă a joncțiunii n^+p , proces în care se generează electroni și goluri de energie mare. Poarta superioară se polarizează negativ astfel că se favorizează injecția golurilor în poarta plutitoare unde neutralizează sarcina stocată. În figura 5,6a este prezentată structura numită cu injecție plană. Injecția golurilor se obține prin aplicarea unei tensiuni negative pe poartă și a unei tensiuni pozitive pe drenă pentru a cauza străpungerea în avalanșă la joncțiunea drenei. Pentru injecția electronilor trebuie să se formeze sub poartă o regiune groasă de sarcină spațială în care să se realizeze străpungerea în avalanșă. Pentru a obține sub poartă o regiune de sarcină spațială (strat de deflexie) într-un tranzistor cu efect de cîmp cu canal de tip n prin polarizarea pozitivă a porții este necesar ca sursa și drena să fie la circuit deschis ori să fie polarizate pozitiv. În figura 6.5b este reprezentată o structură cu poartă plutitoare care poate fi comutată optic [9]. Se polarizează sursa, drena și poarta astfel ca să apară sub poartă un strat de deflexie de lărgime mare, se generează în acest strat perechi electron-gol prin iluminare și se încarcă) sau se descarcă poarta plutitoare după polaritatea tensiunii aplicată pe poartă (prin metodele descrise mai sus. În figura 6.6 este reprezentată diagrama energetică a memoriei cu poartă izolatoare semiconductoare în care injecția are loc prin tunelare. Structura este alcătuită astfel. Pe un substrat de siliciu s-a crescut un strat subțire de oxid ($20-40\text{\AA}$) peste care s-a depus un strat ($200-1\ 000\text{\AA}$) de siliciu policristalin de rezistivitate mare. Acest ultim strat s-a oxidat termic și s-a obținut un strat de oxid de $800-1\ 500\text{\AA}$. Oxidarea se face rapid astfel ca să rămînă insule de siliciu care joacă rol de poartă plutitoare; poartă plutitoare este alcătuită prin urmare din particule semiconductoare. O asemenea structură are un

timp mic de comutare de aproximativ 20 ns. Diagrama de benzi de energie cînd poarta este neutră este reprezentată în figura 6.6a.

Aplicarea unei tensiuni pozitive pe poartă determină tunelarea electronilor din substrat în insulele de siliciu care se încarcă (fig. 6.6b). După îndepărtarea tensiunii pozitive de pe poartă starea energetică a structurii

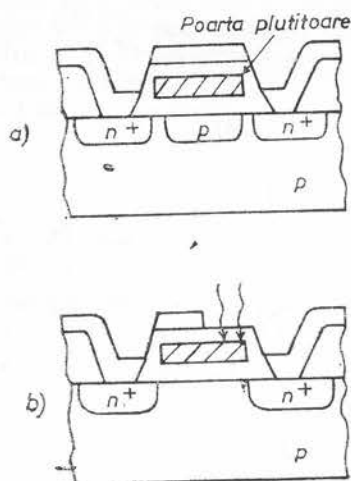


Fig. 6.5. — Dispozitivul cu injecție plană (a) și dispozitivul cu comutare optică (b).

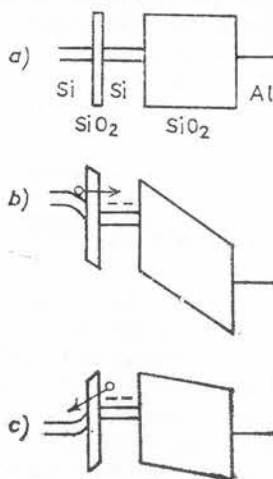


Fig. 6.6. — Diagrama de benzi de energie a structurii Si-SiO₂-Si-SiO₂-Al : a — poarta plutitoare este neutră ; b — încărcarea porții plutitoare prin aplicarea unei tensiuni pozitive pe poartă ; c — starea după ce s-a înlăturat tensiunea pe poartă.

arată ca în figura 6.6.c. Descărcarea se face astfel : prin polarizarea negativă a porții sarcina tunelează înapoi [10]. S-au realizat, de asemenea, structuri în care poarta plutitoare este alcătuită din atomi cu proprietăți corespunzătoare, situați între două strate dielectrice. Densitatea atomilor este $10^{14} - 10^{15} \text{ cm}^{-3}$ [11]. S-au folosit în general atomi de wolfram. Un nou tip de structură cu poartă plutitoare a fost propus recent [12]. Structura, reprezentată în figura 6.7a, are două porți, din siliciu policristalin. Poarta de jos, p.p., este poarta plutitoare, iar poarta de sus, p.c., este poarta de control. Poarta de jos slab dopată iar poarta de sus este puternic dopată, avînd o comportare electrică cvasimetalică. Etapele procesului de fabricare sînt următoarele : (1) creșterea primului strat de oxid al porții ; (2) depunerea primului strat de siliciu policristalin și creșterea celui de al doilea strat de oxid al porții ; (3) depunerea celui de al doilea strat de siliciu policristalin, decuparea ferestrelor pentru difuzia sursei și drenei care se face simultan cu doparea stratului al doilea de siliciu policristalin ; (4) depunerea oxidului final și a contactului metalic al porții de control. Principiul de lucru al dispozitivului este următorul. Pentru a înscrie o informație în memorie joncțiunea p^+n a drenei se polarizează la o tensiune corespun-

zătoare declanșării străpunerii prin ionizare în avalanșă. Electronii fierbinți din regiunea de avalanșă sint injectați în stratul de SiO_2 și încarcă poarta plutitoare (p.p). Sarcina negativă din poarta plutitoare induce un strat de inversie de tip p între sursă și drenă așa cum se reprezintă în diagrama de benzi de energie din figura 6.7b. În timpul acestui proces, de

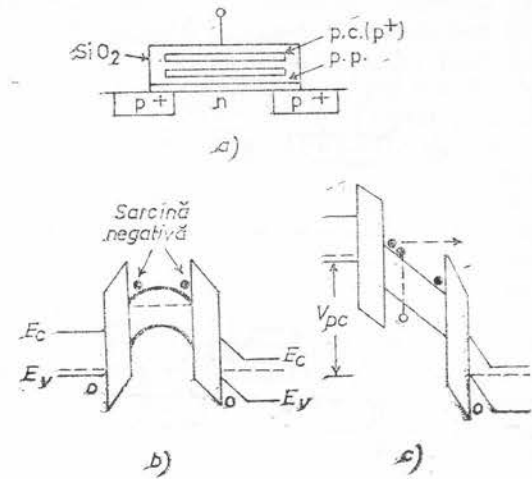


Fig. 6.7. — Structura cu poartă plutitoare (a) : diagrama energetică după înscriere (b) și în timpul ștergerii (c).

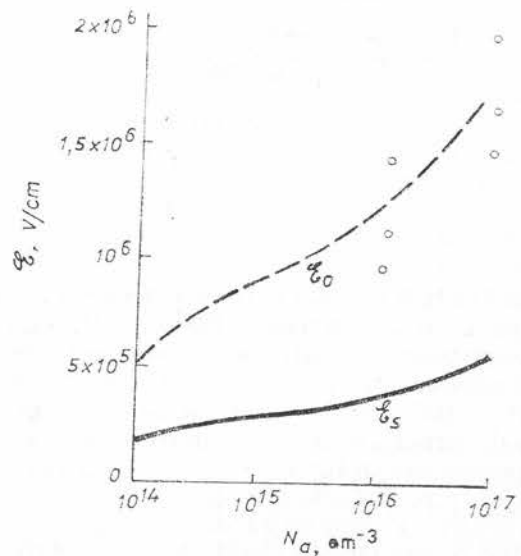


Fig. 6.8. — Câmpul critic pentru multiplicare în avalanșă, în stratul de siliciu E_s și în cel de oxid E_o .

avalanșă la drenă, poarta de control se poate polariza pozitiv. Pentru a șterge sarcina negativă din poarta plutitoare se aplică pe poarta de control un puls de tensiune negativă suficient de mare astfel ca să se inițieze multiplicare prin ionizare în avalanșă în poarta plutitoare (fig. 6.7c). Este de așteptat ca acest proces să aibă loc în poarta plutitoare (de tip p) cu $N_a \leq 10^{17} \text{cm}^{-3}$, însă trebuie observat că injecția în avalanșă a electronilor în stratul de SiO_2 de jos (pentru un câmp dat în oxid) este mult mai eficientă la concentrații de dopaj mai mici în poarta plutitoare. În figura 6.8 este

reprezentată dependența cimpului critic pentru ionizarea în avalanșă în siliciu (\mathcal{E}_s) și în stratul de oxid (\mathcal{E}_o) în funcție de concentrația N_a a acceptorilor. Sarcina din stratul de oxid, în figura 6.7 b, corespunzătoare unei variații de 10V a tensiunii de prag, pentru o grosime de 1 000Å a oxidului de deasupra porții plutitoare este $-3,5 \cdot 10^{-7} \text{C/cm}^2$. Din figura 6.8 se deduce că această sarcină poate fi ștearsă cu $10^4 - 10^5$ pulsuri pe poarta de control de o asemenea amplitudine încât să producă un cimp electric în oxidul de sub p.p. de $1 - 2 \cdot 10^6 \text{V/cm}$, depinzind de concentrația de dopaj din p. p. Dacă timpul de repetiție și durata pulsului sînt de ordinul 10^{-6} , atunci pentru ștergerea informației din memorie este necesar un timp de 10–100 ms. La începerea procesului de ștergere sarcina în p. p. are valoarea $\simeq -3,5 \cdot 10^{-7} \text{C/cm}^2$.

6.2. Dispozitive de memorie cu captare de sarcină

Cele mai importante sînt structurile de tipul metal-nitrură-oxid-semiconductor (MNOS) dintre care cele mai obișnuite sînt aluminiu-nitrură de siliciu-bioxid de siliciu-siliciu [13]. O memorie MNOS cu tranzistor cu efect de cîmp cu canal de tip n este reprezentată în figura 6.9. Pentru a comuta structura într-o stare cu tensiune mare de prag (conducție slabă) se aplică pe poartă un puls de tensiune mare pozitivă (fig. 6.9b) care antrenează electronii din substratul de siliciu către electrodul porții.

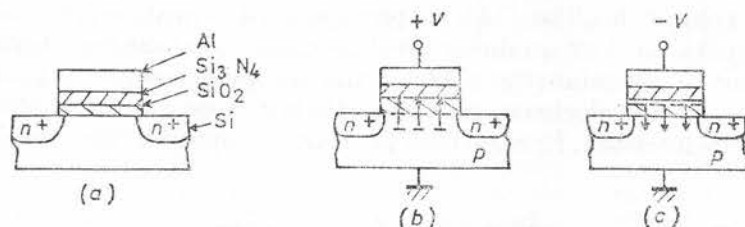


Fig. 6.9. — Memoria MNOS (a); comutarea în starea de prag de tensiune mare (b); comutarea în starea de prag de tensiune mică (c).

Pentru a comuta structura într-o stare de tensiune mică de prag (conducție bună) se aplică pe poartă un puls de tensiune negativă, care antrenează electronii din stratul porții înapoi în substrat. Cele două praguri de tensiune diferite între ele reprezintă cele două stări ale memoriei „0” și „1”, care pot fi desemnate arbitrar. Pentru a studia încărcarea și descărcarea dispozitivului MNOS se pornește de la ecuația de continuitate

$$\frac{\partial j_x}{\partial x} + \frac{\partial \rho}{\partial t} = 0, \quad (6.1)$$

j_x este curentul de conducție în direcția x perpendiculară pe poartă iar ρ este densitatea de sarcină captată la interfața oxid-nitrură; se presupune că nu se captează sarcină în volumul izolatoarelor. În această presupunere

curentul electric este constant într-un izolator dat și are valoarea j_0 în oxidul de siliciu și j_n în nitrura de siliciu. Notăm sarcina de interfață cu Q_i . După aplicarea tensiunii V (fig. 6.10), ecuația (6.1) devine

$$\frac{dQ_i(V, t)}{dt} = j_0(V, t) - j_n(V, t). \quad (6.2)$$

Pe baza acestei ecuații s-a calculat numeric timpul de comutare și cel de memorare. Mecanismele de injecție a sarcinii depind de grosimea oxidului și de tensiunea aplicată. Pot avea loc următoarele mecanisme: (a) tunelarea directă (fig. 6.11a) care implică strat subțire de oxid și câmp intens; (b) tunelarea Fowler-Nordheim (fig. 6.11b) care implică strat gros de oxid și câmp foarte intens; (c) tunelarea Fowler-Nordheim modificată care implică strat subțire de oxid și câmp electric de intensitate medie (fig. 6.11c); (d) injecția, cu participarea capcanelor (fig. 6.11d); (e) injecția purtătorilor fierbinți care are loc la orice grosime a oxidului și orice intensitate a câmpului electric. Unul din aceste mecanisme poate fi dominant, fără a fi unicul responsabil pentru injecție. Dacă stratul de oxid este subțire ($< 50\text{\AA}$) are loc tunelarea electronilor prin stratul de oxid unde curentul de conducție este mult mai mare decât curentul prin nitrură astfel încât acesta din urmă poate fi neglijat [13]. Se presupune că capcanele sînt distribuite uniform spațial și că au un singur nivel energetic, localizat lângă nivelul Fermi intrinsec al siliciului (fig. 6.12a). Cînd se aplică o tensiune pozitivă pe poartă (fig. 12.6 b) electronii tunelează din banda de valență a siliciului pe capcanele de interfață. În cazul cînd pe poartă se aplică o tensiune negativă

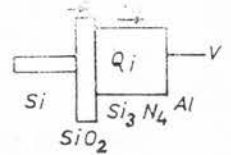


Fig. 6.10 — Structura MNOS în care se reprezintă curentii și sarcina stocată.

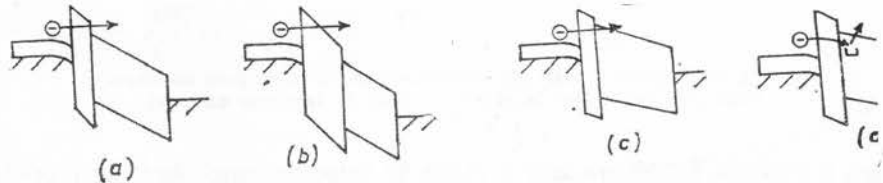


Fig. 6.11. — Mecanismele de injecție: a — tunelare directă; b — tunelare Fowler-Nordheim; c — tunelare Fowler-Nordheim modificată; d — tunelare cu participarea capcanelor.

(fig. 6.12c), electronii tunelează de pe capcane în banda de conducție a siliciului. Dependența deplasării tensiunii de bandă plată ΔV_{BP} depinde de lărgimea t a pulsului de tensiune de comutare după relația

$$\Delta V_{BP} \sim 0,577 + \ln(t/t_0). \quad (6.3)$$

Această relație este valabilă pentru $t > t_0$, unde t_0 este timpul de tranziție a electronilor între banda de valență (sau de conducție) a siliciu-

lui și capcane. Dacă se ia în considerare și dependența de amplitudinea V a pulsului de tensiune, atunci se poate scrie

$$\Delta V_{BP} \sim \ln[Ct \exp(-C_2/(V - \psi_s))], \quad (6.4)$$

unde ψ_s este potențialul de suprafață la suprafața siliciului iar C_1 și C_2 sînt constante pozitive care depind de natura dispozitivului și de proprietățile materialelor. Relațiile de mai sus se modifică în funcție de distribuția capcanelor [14]. Tunelarea Fowler-Nordheim modificată constă în următoarele [15]: electronii (golurile) tunelază prin stratul subțire de oxid și printr-o porțiune din nitrura de siliciu în banda de conducție (valență) a nitrurii de siliciu, atunci cînd se aplică pe poartă o tensiune pozitivă (negativă) (fig. 6.11c). Injecția cu participarea capcanelor decurge astfel [16]. Electronul (golul) trece din banda de conducție (de valență) a siliciului, în banda de conducție (valență) a nitrurii de siliciu trecînd printr-o stare intermediară (capcană). Tranziția poate avea loc prin tunelare sau tunelare cu activare termică. Injecția purtătorilor fierbinți are loc atunci cînd electronii în semiconductor sînt excitați cu fotoni sau alte particule [17], ori în cîmp electric [18] astfel încît ei capătă suficientă energie pentru a escalada bariera de la interfața semiconductor-izolator și a fi injectați în izolator. S-au propus mai multe tehnici de măsură a proprietăților materialelor și a comportării structurii MNOS în condiții de comutare [19]. Caracteristicile importante ale structurii sînt viteza de comutare și timpul de stocare. Aceste caracteristici depind de proprietățile oxidului și ale nitrurii. Viteza de comutare crește cu scăderea grosimii oxidului și cu creșterea densității capcanelor din nitrura de siliciu; această ultimă afirmație implică presupunerea că conductivitatea nitrurii crește cu creșterea densității capcanelor. S-a arătat că distribuția densității, $N(x, t)$ a sarcinii captate în nitrura de siliciu este de forma

$$N(x, t) = \frac{N_t}{1 + \{\exp(x/x_0)[\exp(\gamma Q(t)) - 1]\}},$$

unde N_t este densitatea efectivă de centre de captură, presupusă constantă, egală cu densitatea maximă a purtătorilor captați; x poziția capcanei în nitrură $x = 0$ fiind situat la interfața oxid-nitrură; $x_0 = 1/(N_t \sigma)$ este numită distanța de captură; σ secțiunea efectivă de captură pe capcane; $Q(t)$ sarcina totală injectată în nitrură la timpul t . Menționăm că creșterea vitezei de comutare determină micșorarea timpului de memorare, de reținere a sarcinii stocate. După necesități, se optimizează

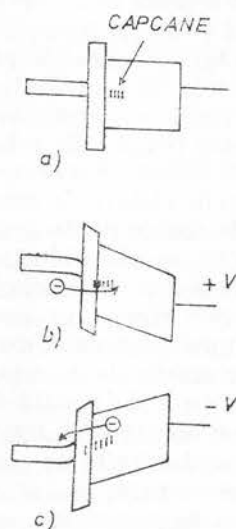


Fig. 6.12. — Diagrama de benzi de energie a structurii MNOS: a — la echilibru; b — comutarea în starea cu tensiune mare de prag; c — comutarea în starea cu tensiune mică de prag.

dispozitivul de memorie pentru un scop sau altul. De exemplu, s-au realizat dispozitive cu timp de comutare de ordinul nanosecundelor iar altele, care mențin memorată informația timp de zeci de ani. Având în vedere că sarcina este stocată în cea mai mare parte în volumul nitrurii structurii MNOS s-a dedus următoarea expresie a tensiunii de bandă plată în funcție de timp

$$V_{BP}(t) \approx [V_{BP}^2(0) - \eta \ln(1 + Ct)]^2, \quad (6.5)$$

unde η este o constantă direct proporțională cu indicele de refracție al nitrurii, C o constantă determinată de $V_{BP}(0)$, nivelul energetic al capcanelor în nitrură etc. Această relație a fost verificată pe o perioadă de luni de zile; ea poate fi folosită pentru determinarea indicelui de refracție al nitrurii și nivelelor energetice ale centrelor de captură din nitrură. Viteza de comutare depinde de asemenea așa cum reiese din relația (6.4), de tensiunea de comutare. S-a observat că cu creșterea numărului de cicluri de comutare între cele două stări ale tensiunii de prag (mare și mică) diferența între aceste valori extreme de prag, numită și fereastră a tensiunii de prag, scade (fig. 6.13). Acest efect s-ar datora pierderilor din sarcina stocată datorită tunelării înapoi de pe capcane pe stările de la interfața siliciu-oxid de siliciu precum și datorită degradării nitrurii de siliciu. S-a observat că nitrura de siliciu se străpunge (conductivitatea ei crește foarte mult) când sarcina cumulată care trece prin ea atinge densitatea 10^{13}cm^{-2} . În general, într-un proces de comutare, sarcina care intră sau iese din nitrură este de 10^{13}cm^{-2} iar degradarea performanțelor memoriei are loc după 10^6 cicluri, ceea ce înseamnă că numărul total de purtători transportați prin nitrură este $10^{13} \cdot 10^6 = 10^{19} \text{cm}^{-2}$. S-a observat experimental că densitatea efectivă de capcane a unei structuri MNOS crește de aproape 6 ori (și la fel crește și conductanța în curent continuu) după o funcționare de $2,4 \cdot 10^7$ cicluri. Proprietățile oxidului și nitrurii și deci și ale structurii MNOS depind de proiectarea dispozitivului și de condițiile de funcționare. Un efect nedorit care apare în asemenea structuri (MNOS) este așa-numitul efect „de trotuar”

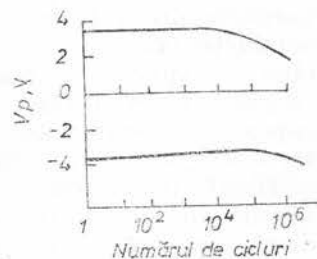


Fig. 6.13. — Tensiunile de prag, mare și mică, în funcție de numărul de cicluri de comutare.

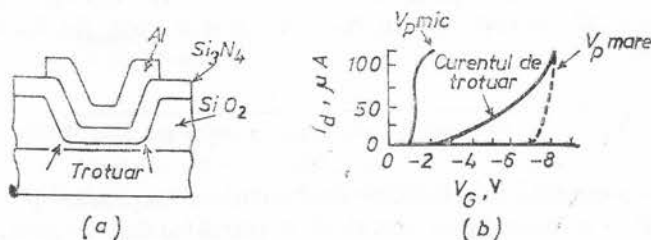


Fig. 6.14. — Efectul de „trotuar”.

„trotuar” sau de margine. Așa cum se observă din figura 6.14 [între regiunea de cîmp, în care stratul de oxid este gros, și regiunea de memorie, în care oxidul este subțire există o regiune de tranziție în care grosimea oxidului

crește gradat și care ia de asemenea parte la procesul de memorie. Când regiunea de memorie a structurii MNOS este comutată între cele două valori de prag ale tensiunii, regiunea de tranziție va fi comutată la valori ale tensiunii de prag situate între valorile extreme de mai sus. Astfel când canalul principal este în condiția de tensiune mare de prag, regiunea de

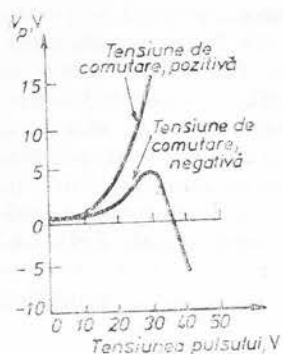


Fig. 6.15. — Tensiunile de prag ale structurii MAOS în funcție de amplitudinea pulsului de comutare.

tensiunea de bandă plată (sau tensiunea de prag) către valori negative, cu creșterea duratei sau amplitudinii pulsului aplicat tensiunea de bandă plată nu se deplasează monoton în direcția negativă ca în cazul structurilor MNOS. Așa cum se observă în figura 6.15, tensiunea de bandă plată se deplasează întâi în direcția pozitivă apoi se întoarce și se deplasează spre tensiuni negative. Această comportare s-ar putea datora captării pe centre cu mai multe nivele, ori injectiei electronilor din electrodul de aluminiu [22]. Injectia electronilor în structura MAOS din electrodul de aluminiu polarizat negativ ar putea fi evitată prin folosirea altui metal, cum ar fi aurul. O a doua caracteristică interesantă a structurilor MAOS este că ele din construcție conțin o sarcină negativă stabilă și deci au o tensiune pozitivă de bandă plată. S-a presupus că această sarcină ar fi localizată la interfața alumină-bioxid de siliciu și apare la stabilirea echilibrului

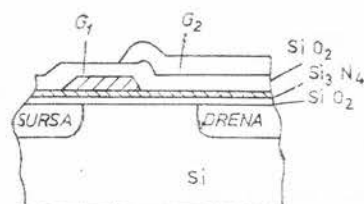


Fig. 6.16. — Structura MNOS cu poartă în piramidă.

termic al sistemului în timpul depunerii aluminei. Menționăm că structura MAOS are cîmpul critic de străpungere de $7 \cdot 10^6 \text{ V/cm}$, mai mic decît al structurii MNOS ($1,1 \cdot 10^7 \text{ V/cm}$); acestea sînt valorile critice de străpungere a izolatorilor în timp de secunde. Memoriile MAOS au o durată de funcționare mai mică decît memoriile MNOS.

Un alt tip de memorie este structura (tetroda) MNOS cu poartă în piramidă (fig. 6.16). Poarta de control G_1 controlează curentul din canal. În dispozitivul cu canal de tip n electronii sînt accelerați pînă devin fierbinți (capătă energie mare) și sînt antrenați către drenă. Poarta G_2 se pola-

risează la o tensiune pozitivă mai mare decât dreana, astfel că este favorizată injecția electronilor către poartă și sînt captați în stratul de nitruură ca informație stocată. Pentru ștergerea informației se aplică pe poartă G_2 o tensiune pozitivă mult mai mare decât cea folosită pentru scrierea informației, pentru a îndepărta sau a neutraliza electronii stocați în nitruură. Deoarece funcționează cu electroni fierbinți, aceste memorii au viteză de comutare mare și cîmpul electric de comutare este mai mic decît în structura MNOS convențională. Un alt avantaj al acestei memorii este că se poate construi pentru selecția bitului în trei dimensiuni. În afară de metoda electrică, pentru comutare se pot folosi și metode optice [23]. Cînd sursa și dreana unei structuri de memorie cu canal de tip p se află la circuit deschis, aplicarea unei tensiuni negative pe poartă va determina apariția sub ea a unui strat de sarcină spațială (de deflexie). Cea mai mare parte din tensiunea aplicată cade pe această regiune de deflexie și nu pe izolatorul porții, astfel că nu are loc comutarea. Dacă în această situație se iluminează structura și prin poartă (transparentă) lumina ajunge în regiunea de deflexie, aici se generează perechi electron-gol și golurile sînt accelerate către izolatorul porții. Are loc astfel comutarea și tensiunea de prag se modifică în concordanță cu intensitatea luminii.

6.3. Memorie cu poartă feroelectrică

Structura este reprezentată în figura 6.17 *a*. Ca izolator al porții se folosește un strat subțire feroelectric, cum ar fi titanatul de bismut, care are ciclul de histerezis de formă pătrată [24]. Asemenea memorii se mai numesc FETEC (feroelectric tranzistor cu efect de cîmp). Polarizînd materialul feroelectric așa cum se reprezintă în figura 6.17, dispozitivul se

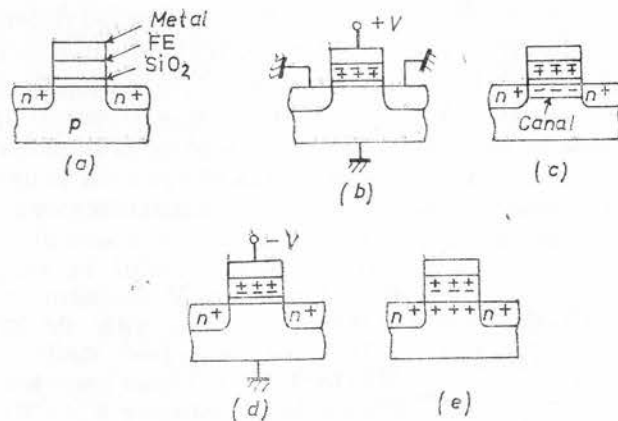


Fig. 6.17. — Un tranzistor feroelectric cu efect de cîmp: *a* — structura; *b* — comutarea în starea „da”; *c* — stare „da”; *d* — comutarea în starea „nu”; *e* — starea „nu”.

poate comuta din starea „da” (de prag jos) în starea „nu” (prag sus). Deoarece se utilizează efectul de polarizare, în FETEC o tensiune pozitivă pe poartă deplasează pragul de tensiune în direcția negativă și viceversa.

În dispozitivele cu stocare de sarcină, MNOS sau cu poartă plutitoare, în care sarcina este extrasă sau se întoarce în substratul semiconductor, o tensiune pozitivă pe poartă deplasează tensiunea de prag în direcția pozitivă și viceversa, contrar efectului de comutare în FETEC. Avantajele FETEC față de celelalte dispozitive sînt următoarele : (a) datorită constantei dielectrice mari a materialelor feroelectrice, lucrează la tensiuni mici ; (b) au viteză mare de comutare ; (c) nu există fenomenul de reducere a fereștrei (diferența dintre cele două tensiuni de prag) ; în FETEC comutarea implică mișcarea domeniilor, fenomen care nu duce la o degradare în timp a izolatorului după multe cicluri de funcționare. Are și unele dezavantaje : (a) datorită depolarizării spontane, timpul de reținere a memoriei în stare perfectă nu este mare ; (b) în timpul depunerii materialului feroelectric apare o densitate mare de stări la interfața semiconductor-izolator ; (c) există pierderi mari prin poartă datorită conductivității relativ mari a izolatorului, care are constantă dielectrică mare ; (d) citirea este perturbată de devierea de la valoarea de prag.

6.4. Rețele de memorie

O structură a unei rețele de memorie MNOS este reprezentată în figura 6.18. Se poate crește densitatea de elemente pe suprafață dacă stratele nitrură-oxid subțire se depun în fișii continue (nu pătrate separate) [25]. Primul set de linii de cuvînt este constituit din siliciu policristalin. După oxidare se depune aluminiu, care constituie al doilea set de linii de cuvînt. Această structură are unele dezavantaje : (a) liniile de cuvînt din siliciu policristalin au rezistență mare, (b) proprietățile dispozitivului MNOS sînt afectate de temperatura mare la care are loc oxidarea siliciului policristalin,

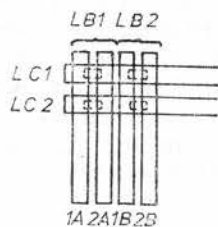


Fig. 6.18. — O rețea de memorie MNOS cu patru biți.

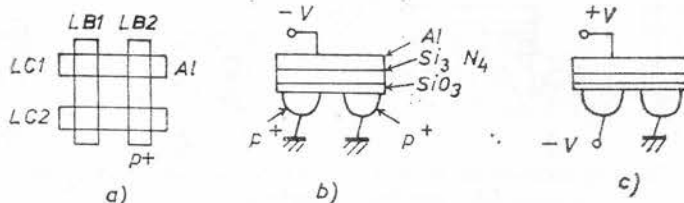


Fig. 6.19. — Rețea de memorie doi pe doi (a); operația de ștergere (b); scrierea selectivă (c).

(c) dificultatea construirii „driver”-elor de cuvînt între liniile de cuvînt. În figura 6.19 se arată o structură mai simplă atît în ceea ce privește fabricarea cît și în ceea ce privește funcționarea ei. Ea constă din linii de cuvînt

și linii de bit ortogonale între ele; o intersecție între o linie de cuvânt și o linie de bit este o celulă de memorie. Vederea în secțiune a unei linii de cuvânt este reprezentată în figura 6.19b. Să presupunem că trebuie ștersă linia de cuvânt „1”. În acest scop se aplică un puls de tensiune negativă pe linia de cuvânt „1” iar celelalte linii de cuvânt și toate liniile de bit sînt legate la masă (fig. 6.19b). (Menționăm că liniile de cuvânt sînt fișile de aluminiu iar liniile de bit sînt fișile p^+ difuzate). Acest puls de tensiune negativă trebuie să fie destul de lung pentru a se atinge starea de saturație*. Starea de saturație depinde de amplitudinea pulsului de tensiune și de grosimea și proprietățile stratului izolator. Să presupunem, de exemplu, că condiția de saturație reprezintă starea de sarcină zero. În continuare să presupunem că trebuie să înscrîm linia 1, în bitul A să înscrîm „0” și în bitul B să înscrîm „1” (0 și 1 sînt definite arbitrar). Amintim că bitul este cea mai mică unitate de informație care poate fi stocată în sistemul binar; el are valorile „0” sau „1”. Pe linia de cuvînt 1 se aplică un puls de tensiune pozitivă iar pe linia 1 de bit se aplică un puls de tensiune negativă, iar celelalte linii de cuvînt și linii de bit se leagă la masă. Cele două pulsuri de tensiune determină străpungerea joncțiunii p^+n în bitul A și electronii fierbînti sînt injectați în izolatorul de lîngă joncțiunea p^+n (fig. 6.19c). Cu injecția electronilor crește tensiunea de străpungere a joncțiunii p^+n în bitul localizat în A. Prin urmare, tensiunea aplicată trebuie să fie destul de mare pentru a susține străpungerea pînă se injectează cantitatea de sarcină dorită. Citirea se face astfel. Să presupunem că vrem să citim informația din biturile de pe linia de cuvînt 1. În acest scop se aplică un puls de tensiune pozitivă pe această linie și un puls de tensiune negativă pe toate liniile de bit astfel că joncțiunea p^+n localizată în bitul B (înscrîs „1”) se va străpunge, pe cînd cea localizată în bitul A (înscrîs „0”) nu se va străpunge. Citirea se face prin detectarea curentului de străpungere. Pulsurile de tensiune folosite la citire au amplitudinea mai mică și durata mai scurtă decît pulsurile de tensiune folosite la înscrîere. Biturile în care era înscrîs „1” după citire rămîn parțial înscrise „0”. După un număr de citiri datele înscrise trebuie reimprospătate. Rețeaua (matricea) de memorie în care liniile de bit sînt strate n^+ difuzate în substratul p funcționează în mod analog, însă în acest caz nu este eficientă folosirea injecției golurilor provenite din ionizare în avalanșă a joncțiunii n^+p ci trebuie să se utilizeze tunelarea directă sau Fowler-Nordheim. Injec-

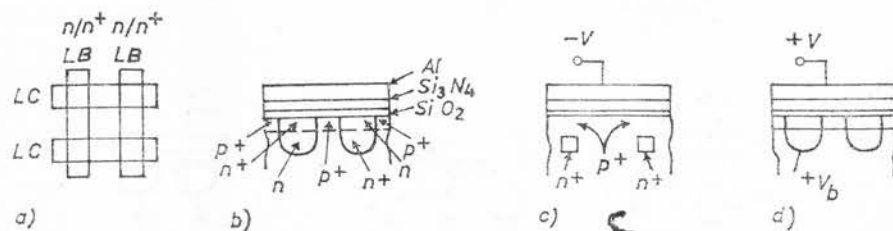


Fig. 6.20. — Rețea de memorie doi pe doi (a); vedere în secțiune (b); ștergerea informației (c); înscrîerea selectivă (d).

ția în avalanșă a golurilor este un proces lent; ea poate fi folosită la citire. Nici rețelele de memorie cu liniile de bit n^+ nu elimină ștergerea parțială a înscrîerii în timpul citirii. O structură cu citire nedestructivă este reprezentată în figura 6.20. În figura 6.20 a este reprezentată vederea de sus iar în

*) Adică întregul izolator de sub linia de cuvînt „1” să capete aceeași stare de sarcină.

figura 6.20b este reprezentată vederea în secțiune. Este reprezentat un dispozitiv MNOS însă pot fi folosite și dispozitive de tip MAOS, cu poartă plutitoare sau cu material feroelectric. Pentru a șterge un cuvânt se aplică un puls de tensiune negativă pe linia de cuvânt selectată iar celelalte linii sînt legate la masă. Tensiunea negativă inversează tipul de conducție al regiunii n al liniei de bit n/n^+ și astfel întreaga regiune de sub linia de cuvânt selectată este la potențialul substratului, care poate fi legat la masă (fig. 6.20c). Să presupunem că starea ștearsă este starea stratului izolator fără sarcini libere. Această poate fi definită arbitrar starea „1”. Înserierea se face prin injecția în avalanșă a electronilor din joncțiunea p^+n în bitul selectat. Polarizarea este astfel aleasă că străpungerea este împiedicată să aibă loc în celelalte bituri localizate pe aceeași linie și în toate biturile localizate pe celelalte linii. Pentru înseriere se aplică o tensiune V pe linia de cuvânt selectată iar toate celelalte linii sînt legate la masă. Apoi, se aplică o tensiune pozitivă V_b (fig. 6.20d) pe linia de bit pe care este localizat bitul în care trebuie să înseriem starea zero. Substratul și toate celelalte linii de bit se leagă la masă. Cele două tensiuni pozitive determină apariția străpungerii în avalanșă în joncțiunea p^+n selectată și injecția electronilor în izolator. Sarcina negativă din izolator, care reprezintă starea „0” cauzează inversia tipului de conducție a regiunii n de sub el și astfel, linia de bit n^+ este izolată de linia de cuvânt chiar cînd se aplică o tensiune pozitivă de valoare medie pe linia de cuvânt pentru citire. Cînd bitul selectat se află în starea „1” izolatorul are sarcină pozitivă sau este neutru și are sub el un strat de tip n de acumulare sau neutru și prin urmare, în acel loc, linia de cuvânt este cuplată cu linia de bit. Pentru citire se aplică pe linia de cuvânt selectată un tren de pulsuri pozitive scurte și această linie va cupla semnalul la liniile de bit acolo unde bitul localizat se află în starea „1” și este decuplată acolo unde bitul se află în starea „0”. Citirea se poate face și aplicînd tensiunea pe liniile de bit și făcînd detecția pe liniile de cuvânt. Etapele în realizarea tehnologiei a unei astfel de rețele sînt reprezentate în figura 6.21. Întîi se crește un strat subțire de oxid, apoi se depun pirolitic un strat de oxid dopat cu

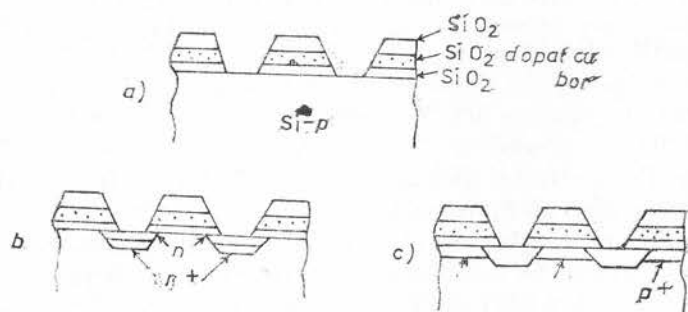


Fig. 6.21. — Treptele de fabricare a rețelei de memorie din figura 6.20 : a — structura este pregătită pentru implantare de ioni ; b — după implantarea de ioni ; c — tratamentul termic și difuzia borului din SiO_2 dopat.

bor și un strat de oxid pur. Prin fotolitografie se trasează locurile pentru liniile de bit (fig. 6.21a). Peste oxid se depune apoi fotorezist și se plantează în locurile neacoperite ioni de arseniu sau de fosfor pentru realizarea liniilor

de bit n/n^+ (fig. 6.21b). Stratul p^+ se formează prin difuzia borului din oxidul dopat în timpul tratamentului termic folosit la implantarea ionilor. Se curăță apoi stratul de oxid și se formează structura MNOS convențională reprezentată în figura 6.20.

B. ELECTROFOTOGRAFIA XEROGRAFIA

6.5. Metode de reproducere a imaginilor

Prin reproducere se înțelege realizarea unei copii a unei imagini originale. Reproducerea se poate face prin una din următoarele trei metode: mecanică (prin tipografiere), fotografică și electrofotografică. Natural că trebuie să ne amintim că cea mai veche a fost reproducerea în lemn de către om prin tăiere. Reproducerea mecanică prin tipografiere a fost inventată în anul 1440 de către Guttenberg. El a realizat caractere mobile care se aranjează după necesitate pentru a reda cuvinte ori desene peste care se așează foaia de hirtie (pagina) pe care se imprimă prin contact aceste caractere; pe suprafața de contact a caracterelor se pune cerneală de tipografie. Fotografierea constă în „captarea” unei imagini optice pe hirtie. Se bazează pe reacții fotochimice, care determină înnegrirea unor substanțe chimice, fenomen cunoscut încă din anul 1800. Tehnica de a face ca această înnegrire să rămână permanentă și regiunile care n-au fost iluminate să rămână după aceea insensibile la iluminare, a fost descoperită în anul 1839 de către Daguerre [26], care a realizat imagini fotografice pe plăci metalice. Aproape simultan, Talbot (Anglia) [27] a realizat fotografia pe hirtie acoperită cu AgCl care poate fi făcută remanentă prin tratare chimică după expunere și dezvoltare. Acesta a rămas procedeul practic de fotografiere. Deoarece la realizarea fotografiei se folosesc substanțe în stare lichidă, acest procedeu se numește fotografiere „umedă”. Un alt procedeu de fotografiere umedă a fost inventat în anul 1842 de Sir J. Herschel, care nu folosește halogenuri de argint ci reducerea sărurilor ferice la săruri feroase. Fotografia se face pe hirtie albastră și locurile expuse capătă culoarea albă. Acest procedeu s-a folosit până în anul 1920 când a apărut procedeul diazo pentru reproducerea desenelor. Producerea copiilor unor documente prin fotografiere uscată a început să se dezvolte din anul 1940 [28]; procedeul se bazează pe transferul halogenurilor de argint prin difuzie. Fotografierea uscată se realizează și prin alte metode. Termografierea se bazează pe folosirea unor coloranți sensibili la căldură. În alte cazuri s-a utilizat variația constantei dielectrice a unor materiale care absorb lumina [30]. Stratul se încălzește prin absorbție de energie de radiofrecvență. În porțiunile unde cade lumina această energie va fi absorbită selectiv. Coloranții sensibili la căldură cu care este îmbibat stratul vor da o imagine vizibilă acolo unde a fost absorbită energia de radiofrecvență. Fotopolimerizarea poate fi de asemenea, folosită pentru realizarea imaginilor [31].

Electrofotografierea utilizează forțele electrostatice și otoconductivitatea pentru obținerea imaginilor; nu au loc procese chimice ca în fotografierea obișnuită. Sistemele electrografice se împart în două categorii: (a) sisteme care obțin energia electrică de la o sursă externă și (b) sisteme în care energia electrică este înmagazinată în suprafața fotosensibilă înainte de

expunerea optică. Primele sisteme de electrografie care au apărut sînt cele cu cîmp electric extern. Ele utilizează o placă fotoconductoare în contact cu o hîrtie electrosensibilă [32]. Lumina cade pe fotoconductor, produce purtători de sarcină liberi care cu ajutorul unui cîmp exterior sînt transferați pe hîrtia (izolatoare) care vine în contact cu placa conductoare. Imaginea este dată de distribuția pe hîrtie a unor particule (pigmenți) de colorant electrosopic lichid. Alt sistem electrografic care folosește cîmp electric extern în timpul expunerii se bazează pe proprietățile de polarizare a anumitor materiale fotoconductoare. Particule fotoconductoare sînt îmbibate într-o matrice izolatoare. În timpul iluminării se aplică un cîmp electric care deplasează purtătorii generați către un capăt sau altul al particulelor. Dacă particulele fotoconductoare au o compoziție adecvată sarcina rămîne captată după iluminare și înlăturarea cîmpului extern, rezultînd o polarizare internă permanentă [33]. Cîmpul extern rezultat din această polarizare poate atrage particule de colorant pentru a da o imagine. Altă variantă constă în injecția particulelor de colorant în regiunea de cîmp electric dintre hîrtia izolatoare și placa fotoconductoare. Iluminarea plăcii face ca anumite porțiuni din ea să devină conductoare și liniile de cîmp electric se distorsionează. Cum particulele de colorant urmează liniile de cîmp ele se vor așeza cu precădere în regiunile rămase izolante, rezultînd astfel o imagine. Într-un alt sistem chiar particulele de colorant sînt fotoconductoare [34]. Cînd sînt iluminate în prezența unui cîmp electric, particulele schimbă sarcină cu un electrod. După ce se încarcă se deplasează sub influența cîmpului electric la electrodul opus. Dacă particulele sînt din coloranți care absorb selectiv lumina în spectrul vizibil atunci la iluminarea cu lumină monocromatică cu o anumită lungime de undă numai particulele cu absorbția spectrală specifică în acea regiune a spectrului se vor încărca și se va realiza o imagine reprezentînd culoarea luminii incidente. Un alt sistem cu cîmp electric extern se bazează pe efectul fotoelectric extern. Electronii emiși de pe suprafața plăcii sub acțiunea unui cîmp sînt colectați pe o suprafață izolatoare. Imaginea se face vizibilă cu particule aflate sub formă de pulbere uscată sau dispersate într-un lichid [35].

Electrofotografierea fără electrozi (fără cîmp extern) are mai multe variante. Varianta folosită cel mai mult constă în realizarea unei imagini electrostatice latente într-un fotoconductor izolator încărcat inițial cu sarcină. Cînd particule de colorant încărcate convenabil sînt aduse în contact cu imaginea electrostatică latentă, regiunile care nu au fost expuse la lumină sînt încărcate și atrag particulele iar regiunile care au fost expuse sînt descărcate și nu le atrag. Pentru a transfera imaginea de pe izolatorul fotoconductor pe hîrtie, se acoperă fotoconductorul direct cu hîrtia.

Acest procedeu de tipărire electrofotografică a fost numit mai tîrziu xerografie; noțiunea derivă de la cuvintele grecești „xeros” și „graphos” care înseamnă scriere uscată. S-a încercat să se facă o clasificare a proceselor electrografice [37]. În acord cu aceasta, xerograful este un sistem de obținere a imaginilor în care se folosește radiație electromagnetică vizibilă ori ultravioletă pentru a forma o imagine latentă sub forma unei distribuții de sarcină electrostatică. Distribuția de sarcină produce o variație de cîmpului electric care acționează asupra unor particule încărcate, făcînd imaginea vizibilă; acest ultim proces se numește dezvoltare.

6.6. Xerografia

Principalele etape ale xerografiei sînt reprezentate în figura 6.22 [36]. Se depune pe un substrat conductor (din aluminiu) un izolator fotoconductor cum ar fi seleniu amorf, As_2Se_3 , or un polimer sensibilizat. Primul proces care are loc este încărcarea cu sarcină a suprafeței stratului fotoconductor. Metoda de încărcare este de tip corona. Fire fine izolante fixate

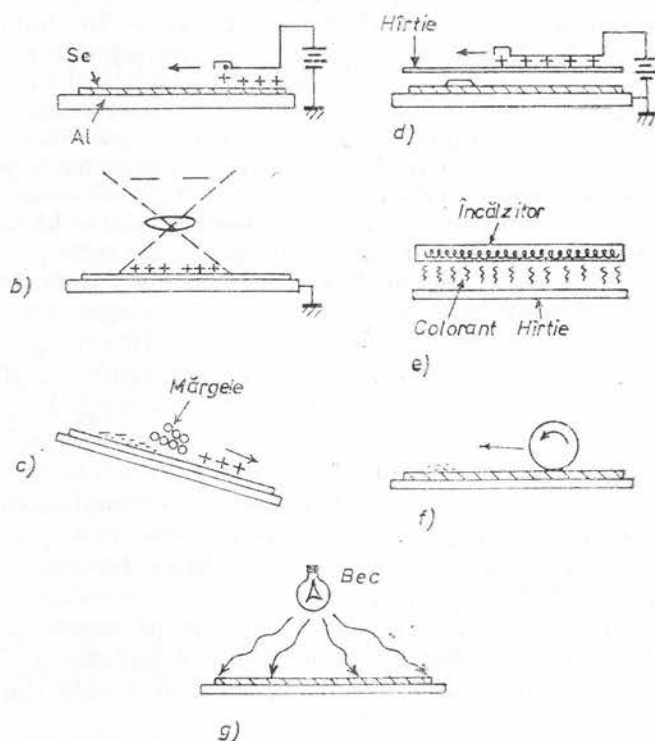


Fig. 6.22. — Treptele xerografiei : a — sensibilizarea ; b — expunerea ; c — pudrarea ; (developarea), d — transferul imaginii ; e — fixarea ; f — curățirea ; g — ștergerea imaginii.

într-un blindaj de metal sînt aduse foarte aproape de suprafața fotoconductoră. Se aplică pe fire o tensiune de 7 000 V. Pentru fire cu diametrul de 3 mm această tensiune este suficientă pentru a produce o descărcare luminescentă în regiunea de cîmp intens din jurul firelor. Compoziția în ioni a descărcării luminescente se studiază cu ajutorul unui spectrometru de masă. Majoritatea ionilor negativi sînt $(\text{CO}_3)^-$. După ce stratul a fost încărcat la întuneric este expus la imaginea optică a documentului de reprodus. De exemplu, pe fotoconductor cade lumina reflectată de documentul ce trebuie copiat. Pe suprafețele receptorului unde cade lumina se micșorează potențialul de suprafață datorită fotocurentului care curge normal pe suprafață. Ca urmare, distribuția potențialului de suprafață este replica regiunilor alb-negru ale documentului. Pentru ca relaxarea la întuneric a stării de încărcare să fie neglijabilă trebuie ca rezistența fotoconductorului

să fie mare. Prin expunere se formează imaginea electrostatică latentă a documentului. Expunerea poate fi făcută prin iluminarea unui original opac și cu ajutorul unor lentile imaginea este focalizată pe suprafața fotoconductorului. Aceasta este metoda folosită în mod obișnuit pentru copiere. De asemenea imaginea optică poate proveni de la filme sau microfilme transparente, de la tuburi de raze catodice și orice alt dispozitiv care formează o imagine când este iluminat. Sursa de lumină folosită pentru iluminare trebuie să aibă distribuția spectrală în domeniul de absorbție a fotoconductorului. Imaginea electrostatică latentă formată în fotoconductor (numit și fotoreceptor) poate fi făcută vizibilă (developată) depunând pe suprafața fotoconductorului particule de colorant (pigmenți). Particulele de culoare neagră (cu diametrul de aproximativ 10 μm) pot forma o pulbere uscată care este transportată pe suprafața fotoconductorului de către niște „mărgelile” (cu diametrul de aproximativ 100 μm) numite particule purtătoare. Se utilizează două tipuri de particule purtătoare: mărgelile de sticlă izolantă sau particule magnetice fine. Particulele de colorant care se încarcă prin triboelectricitate aderă la aria imaginii încărcate (desprinzându-se de particulele purtătoare), făcând vizibilă imaginea electrostatică latentă. Imaginea vizibilă formată de către particulele de colorant poate fi transferată pe hîrtie. Pentru aceasta se așează hîrtia peste imagine și se polarizează cu semn opus cu încărcarea particulelor, astfel că sub influența cîmpului electric particulele sînt transferate pe hîrtie. Pentru ca particulele de colorant să nu cadă de pe hîrtie atunci cînd o ridicăm, adică imaginea să rămînă fixată pe hîrtie, particulele se topesc pentru ca să adere la acestea. În acest scop fie se încălzește direct, fie se folosesc vapori de solvent. În procesul de transfer mai rămîn particule încărcate pe suprafața fotoconductorului, deoarece eficiența procesului este mai mică decît unitatea. Acestea sînt imediat îndepărtate prin curățire mecanică și atracție electrostatică. În final, pentru ca sistemul să se poată folosi din nou se șterge imaginea electrostatică latentă prin iluminarea uniformă și cu intensitate mare a întregului fotoreceptor, pentru ca suprafața acestuia să devină echipotențială. Există sisteme de electrografie în care radiația electromagnetică acționează asupra particulelor de colorant (pigmenților) și produce imaginea latentă direct în acești pigmenți sub forma variației sarcinii electrice, Q . La aplicarea unui cîmp electric constant particulele sînt sortate după sarcina lor și se vizualizează astfel imaginea latentă. Variația totală a forței $Q\mathcal{E}$ în planul imaginii se scrie

$$\delta(Q\mathcal{E}) = Q\delta\mathcal{E} + \mathcal{E}\delta Q. \quad (6.6)$$

Primul termen din partea dreaptă, $Q\delta\mathcal{E}$, corespunde sistemului xerografic iar al doilea termen $\mathcal{E}\delta Q$ corespunde ultimului sistem electrografic discutat.

6.7. Descrierea proceselor fizice care au loc în materialul electrofotografic

În cazul ideal se presupune că stratul electrofotografic fotoreceptor este un izolator fotoconductor perfect omogen. Încărcarea fotoreceptorului se poate face prin metoda corona descrisă în paragraful anterior sau prin

alte metode. Asemenea metode pot fi : (a) încărcarea cu ioni generați în aer de o sursă radioactivă ; (b) inducția sarcinii prin apropierea unui electrod încărcat de fotoreceptorul legat la masă și apoi îndepărtarea electrodului de fotoreceptor după ce în prealabil i s-a desfăcut legătura de la masă ; (c) încărcarea prin rulare pe suprafața fotoreceptorului a unui cilindru încărcat cu sarcină. În fotoreceptorul încărcat sarcina de un anumit semn este uniform distribuită pe suprafața sa liberă. O sarcină egală și de semn con-

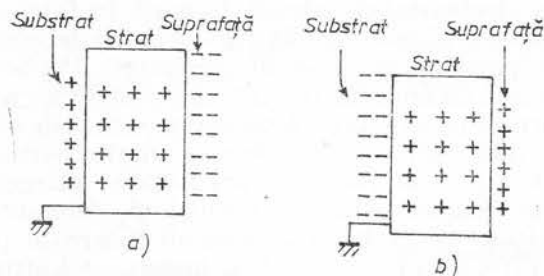


Fig. 6.23. — Stratul fotoreceptor încărcat cu sarcină negativă (a) și cu sarcină pozitivă (b), la suprafață.

trar apare în substratul conductor. Ideal, stratul fotoreceptor s-ar încărca ca un simplu capacitor, fără să apară sarcină în volumul stratului. În realitate apare sarcină spațială în volum, injecție la contacte și străpungeri locale prin ionizare în avalanșă. Să presupunem că stratul fotoreceptor este din material cu conducție de tip n și că se depune sarcină negativă pe suprafața acestuia prin metoda corona. În această situație din volumul stratului fotoreceptor se vor deplasa electronii către substrat și în strat va apare o sarcină pozitivă care, în funcție de mărimea sarcinii depuse pe suprafață și de concentrația electronilor din volum, va pătrunde și în substrat. Pentru distribuție uniformă a sarcinii din volum situația este reprezentată în figura 6.23 a. În cazul când stratul de tip n se încarcă la suprafață cu sarcină pozitivă, contactul cu substratul trebuie să blocheze electronii care ar intra din substrat în strat. În acest caz sarcinile pozitive de la suprafață atrag electronii din volumul stratului și ca atare în volum apare o sarcină de același semn cu sarcina de la suprafață (fig. 6.23b). Situația este similară când materialul fotoreceptor este de tip p . Când materialul fotoreceptor conține ambele tipuri de purtători de sarcină (electroni și goluri) aceștia se separă sub influența sarcinii cu care s-a încărcat suprafața și apare, de asemenea, o sarcină spațială. Densitatea de sarcină spațială care apare depinde de concentrația purtătorilor de sarcină liberi din strat, care se deplasează sub acțiunea câmpului electric. După încărcare, potențialul suprafeței stratului electrofotografic scade în timp la întuneric. În general potențialul scade cu rata de 1V/s. Relaxarea la întuneric a potențialului de suprafață poate avea mai multe cauze : injecția de sarcină de la suprafață sau din substrat sau apariția electronilor liberi proveniți de pe capcane prin excitare termică. Următoarea etapă este formarea imaginii latente în stratul fotoreceptor prin expunere la lumină reflectată de exemplu de la imaginea de copiat. Fotonii absorbiți de către fotoreceptor generează perechi electron-gol care se deplasează sub influența câmpului electric.

În exemplul reprezentat în figura 6.24 electronii se deplasează către suprafața iluminată, iar golurile către substrat unde recombine. Pentru un foton absorbit se generează o pereche electron-gol și dispăre o sarcină de la suprafață. Deoarece numărul purtătorilor generați depinde de intensitatea luminii incidente apare imaginea electrostatică latentă a imaginii de copiat. Dispariția sarcinii cu care a fost încărcat inițial fotoreceptorul datorită iluminării se numește descărcare. Notînd cu I_0 fluxul incident de fotoni pe unitatea de arie, rata de generare a perechilor electron-gol în unitatea de volum este dată de expresia

$$g(x, t) = \gamma \alpha I_0 (1 - R) e^{-\alpha x}, \quad (6.7)$$

unde γ este randamentul cuantic, α — coeficientul de absorbție a luminii, R — coeficientul de reflexie a luminii. Rata de relaxare (de descărcare) a potențialului de suprafață este

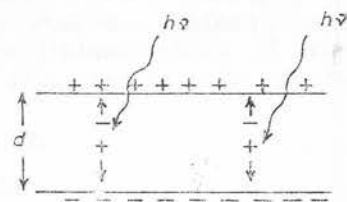


Fig. 6.24. — Generarea purtătorilor de sarcină de către fotoni și deplasarea lor.

$$\frac{dV}{dt} = -\frac{q}{\varepsilon} \int_0^d g(x, t) [\delta n(x) + \delta p(x)] dx, \quad (6.8)$$

unde d este grosimea și ε permitivitatea stratului fotoreceptor; $\delta p(x)$ este drumul parcurs de un gol iar $\delta n(x)$ drumul parcurs de electron

$$\delta p = l_p (1 - e^{-(d-x)/l_p}),$$

$$\delta n = l_n (1 - e^{-x/l_n}), \quad (6.9)$$

l_n^{-1} și l_p^{-1} sînt probabilitățile ca un electron și, respectiv, un gol să fie capturate de către o capcană pe unitatea de lungime, în direcția cîmpului. În funcție de cantitatea de sarcină generată de către lumină în timpul de tranzit caracteristicile de descărcare ale fotoreceptorului se pot împărți în două categorii. Notînd cu μ mobilitatea purtătorilor de sarcină, timpul lor de tranzit în cîmpul \mathcal{E} pentru δn , $\delta p \gg d$, este $\tau_t = d/\mu \mathcal{E}$. Numărul de perechi generate în timpul τ_t în unitatea de volum este $g \tau_t$. Numărul de purtători N pe unitatea de arie care ajung la suprafață în timpul τ_t este $\int_0^d g \tau_t dx$.

Dacă densitatea de sarcină la suprafață $N_s = \varepsilon \mathcal{E} / q$, este mult mai mare decît N , atunci este necesar un timp de iluminare mult mai mare decît τ_t pentru a descărca fotoreceptorul. Rata de descărcare este limitată de rata de generare și de transportul purtătorilor; de aceea ea se numește rată de descărcare limitată de generare. De exemplu în fotoreceptorul cu seleniu amorf cu $\mu = 0,1 \text{ cm}^2/\text{Vs}$, $d = 6 \cdot 10^{-3} \text{ cm}$ pentru un cîmp $\mathcal{E} = 1,5 \cdot 10^5 \text{ V/cm}$ și $\varepsilon = 6$, rezultă $\tau_t = 4 \cdot 10^{-7} \text{ s}$ și $N_s = 5 \cdot 10^{11} \text{ cm}^{-2}$. Pentru $I_0 = 4 \cdot 10^{14} \text{ fotoni/cm}^2\text{s}$, $\gamma = 1$ se obține $N = 4 \cdot 10^7 \text{ cm}^{-2}$. Prin urmare, pentru descărcare este necesar un timp de $10^4 \tau_t$ adică de patru mii de secundă. În fotoreceptorii din polimeri, unde mobilitatea purtătorilor de

sarcină este foarte mică, $\mu = 10^{-7} \text{ cm}^2/\text{Vs}$ pentru aceleași condiții ca mai sus, timpul de tranzit $\tau_t = 0,4\text{s}$ și în acest timp este suficient un flux $I_0 = 1,25 \cdot 10^{12} \text{ fotoni/cm}^2\text{s}$ pentru a anihila sarcina de suprafață. În acest caz în timpul descărcării există o cantitate mare de sarcină spațială și de aceea acesta se numește descărcare limitată (perturbată) de sarcina spațială. Un caz asemănător are loc când fotoreceptorul este expus la lumină de intensitate mare. Când descărcarea este limitată de generare, timpul de tranzit poate fi considerat instantaneu în comparație cu timpul de descărcare. În aceste condiții pentru $\alpha \gg d^{-1}$ (lumina este puternic absorbită) ecuația (6.8) se reduce la

$$\frac{dV}{dt} = -\frac{qd}{\epsilon}(1-R)\eta I_0, \quad (6.10)$$

η depinde de V , de λ și probabil de I_0 . Dependența lui η de V și deci de câmpul electric se poate explica pe baza efectului Poole-Frenkel [38]. Se consideră în ecuația (6.10) că η este independent de I_0 și depinde de V după relația

$$\eta = \eta_0(V/V_0)^p \quad (6.11)$$

Prin integrare se obține

$$\frac{V_0}{1-p} \left[1 - \left(\frac{V}{V_0} \right)^{1-p} \right] = \frac{q}{\epsilon} d(1-R)\eta_0 I_0 t,$$

sau

$$\frac{V}{V_0} = \left[1 - \frac{1-p}{V_0} d(1-R)\eta_0 I_0 t \right]^{1/(1-p)} \quad (6.12)$$

Ecuația (6.12) este valabilă pentru $p \neq 1$. Pentru $p = 1$ soluția este o simplă exponențială. Mărimea $X = I_0 t$ poartă numele de expunere. Curbă $V = f(X)$ poartă numele de curbă de descărcare indusă fotoelectric (CDIF); ea este o caracteristică a fotoreceptorului. CDIF pentru fotoreceptorul limitat de generare este reprezentată în figura 6.25 [39]. Potențialul este normat la $V_0 = 1$ iar expunerea este normată la $(q/\epsilon) d(1-R)\eta$. Sunt trasate curbe pentru mai multe valori ale lui p . Un rezultat pentru fotoreceptorul din seleniu amorf este reprezentat în figura 6.26 pentru $p = 0,5$ și $\mathcal{E}_0 = 2,4 \cdot 10^5 \text{ V/cm}$. În afară de noțiunea de expunere notată cu X se definește și densitatea de intrare

$$D_i = \log(I_a/I), \quad (6.13)$$

unde I este lumina reflectată de imagine iar I_a este intensitatea luminii reflectată de hîrtie albă standard, care cade pe fotoreceptor. Între expunere și densitatea de intrare există următoarea relație

$$\log X = \log X_m - D_i,$$

unde X este expunerea locală a fotoreceptorului, corespunzătoare densității D_i de intrare și X_m este expunerea maximă, datorită luminii reflectate de hîrtia albă standard. Cînd descărcarea este perturbată de sarcina

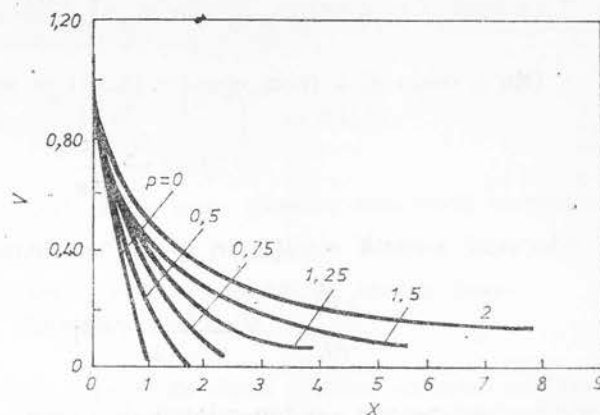
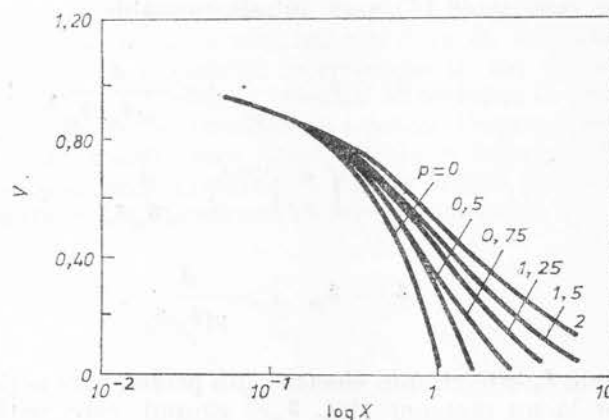


Fig. 6.25. — Potențialul de suprafață în funcție de expunere pentru descărcarea limitată de generare.



spațială sau limitată de fenomenul de transport, neglijînd captura purtătorilor pe capcane și presupunînd că durata de expunere este mică în comparație cu timpul de tranzit, numărul de purtători în mișcare este constant pînă ajung la suprafață. Scriem în acest caz ecuația de continuitate, ecuația Poisson, curentul electric și legea lui Kirchhoff :

$$\frac{\partial j(x, t)}{\partial x} = -q \frac{\partial n(x, t)}{\partial t},$$

$$\frac{\partial \mathcal{E}}{\partial x} = \frac{q}{\epsilon} n(x, t), \quad (6.14)$$

$$j(x, t) = qn(x, t) \mu(\mathcal{E}) \mathcal{E}(x, t),$$

$$\epsilon \frac{\partial \mathcal{E}(x, t)}{\partial t} + j(x, t) = 0.$$

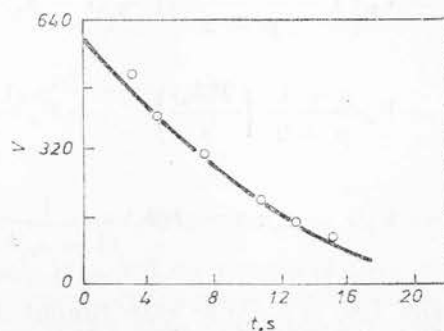


Fig. 6.26. — CDIF pentru seleniu amorf.

Integrând ultima ecuație pe grosimea fotoreceptorului se obține

$$\frac{dV}{dt} = - \frac{1}{\varepsilon} \int_0^d j \, dx. \quad (6.15)$$

Din a doua și a treia ecuație (6.14) se scrie

$$j = \mu \mathfrak{E} \frac{d\mathfrak{E}}{dx} \quad (6.16)$$

și înlocuind această ecuație în (6.15) se obține

$$\frac{dV}{dt} = - \frac{1}{p+2} [C\mathfrak{E}_1^{p+2} - C\mathfrak{E}_2^{p+2}], \quad (6.17)$$

unde s-a luat pentru μ o dependență de cîmpul electric de forma $\mu = C\mathfrak{E}^p$. În ecuația (6.17) s-au folosit notațiile :

$$\begin{aligned} \mathfrak{E}_1 = \mathfrak{E}_0 &= \frac{V_0}{d} \cdot t < \frac{d}{\mu(\mathfrak{E}_0)\mathfrak{E}_0}, \\ \mathfrak{E}_1 &= \left(\frac{d}{Ct}\right)^{1/p+1}, \quad \frac{d}{\mu(\mathfrak{E}_0)\mathfrak{E}_0} < t < \frac{d}{\mu(\mathfrak{E}_2)\mathfrak{E}_2}, \\ \mathfrak{E}_1 = \mathfrak{E}_2, \quad t &> \frac{d}{\mu(\mathfrak{E}_2)\mathfrak{E}_2}, \end{aligned}$$

unde \mathfrak{E}_1 este cîmpul electric, din probă, care acționează asupra purtătorilor la un moment dat, \mathfrak{E}_0 — cîmpul care acționează asupra primului purtător care traversează proba iar \mathfrak{E}_2 — cîmpul care acționează asupra ultimului purtător care traversează proba. \mathfrak{E}_1 variază de la valoarea maximă \mathfrak{E}_0 la valoarea minimă \mathfrak{E}_2 . Integrând (6.17) se obține

$$\begin{aligned} V &= V_0 \left[1 - \frac{1}{p+2} \{1 - (1 - \alpha_0)^{p+2}\} \frac{t}{T(\mathfrak{E}_0)} \right], \quad 0 < t < T(\mathfrak{E}_0), \\ V &= V_0 \frac{p+1}{p+2} \left(\frac{T(\mathfrak{E}_0)}{t} \right)^{1/p+1} + V_0 \frac{(1 - \alpha_0)^{p+2}}{p+2} \left(\frac{t}{T(\mathfrak{E}_0)} \right), \quad T(\mathfrak{E}_0) < t < T(\mathfrak{E}_2), \\ V &= V_0(1 - \alpha_0), \quad t > T(\mathfrak{E}_0) \frac{1}{(1 - \alpha_0)^{p+1}} = T(\mathfrak{E}_2), \end{aligned} \quad (6.18)$$

unde $T(\mathfrak{E}) = \mathfrak{E}_0 d / \mu_0 \mathfrak{E}^2$ este timpul de tranzit prin material iar α_0 este definit prin relația $\alpha_0 \mathfrak{E}_0 = qN$, unde qN este sarcina totală generată pe unitatea de arie. Să considerăm un fotoreceptor din As_2Se_3 amorf cu gro-

simea $d = 60 \mu\text{m}$, $\mu/\epsilon_0 = 2 \cdot 10^{-10} \text{cm}^3/\text{V}^2\text{s}$ și $\mu = \mu_0 \epsilon/\epsilon_0$. Dacă potențialul de suprafață are 900V la generarea fotoelectrică a purtătorilor, timpul T necesar pentru deplasarea purtătorilor prin probă este $1,33 \cdot 10^{-3}\text{s}$, pe cînd dacă la generarea purtătorilor potențialul de suprafață are valoarea de 73V, timpul de tranzit are valoarea de 0,2s. Dacă inițial proba este încărcată la 900V, din ecuația (6.18) se obține pentru $p = 1$ după un timp de descărcare $t = 2\text{s}$, un potențial de suprafață

$$V = 900 \cdot \frac{2}{3} \left(\frac{1,33 \cdot 10^{-3}}{0,2} \right)^{1/2} = 49 \text{ V}.$$

Aceasta este potențialul rezidual cu care rămîne încărcată suprafața.

6.8. Condiții de optimizare a procesului de xerografiere. Materiale utilizate

Caracteristicile xerografului depind de două mărimi externe variabile, care se pot ajusta pentru a obține rezultate optime. Acestea sînt expunerea maximă, X_m , și tensiunea V de polarizare. În afară de parametrii externi un rol esențial în copierea fidelă a unei imagini îl au de asemenea parametrii interni intrinseci ai materialului fotoreceptor și de vizualizare (developare) a imaginii latente. Procesele cele mai importante în xerografiere sînt obținerea imaginii latente și developarea acesteia. Fiecare proces este descris printr-o funcție de transfer care arată cantitativ influența lui asupra imaginii de ieșire (copia imaginii originale). Aceste funcții de transfer sînt reprezentate în figura 6.27. În cadranul I este reprezentată densi-

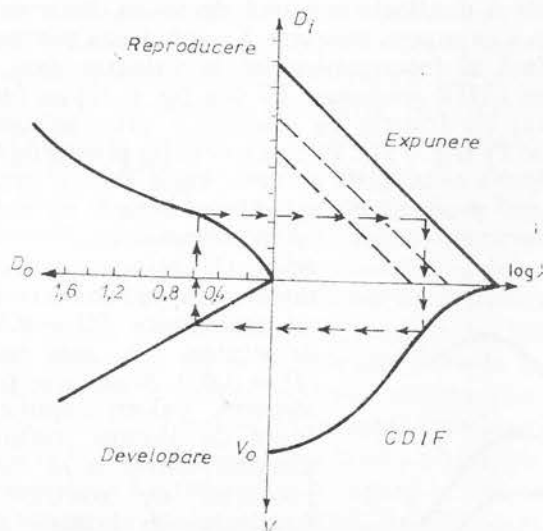


Fig. 6.27. — Funcțiile de transfer ale xerografului.

tatea de intrare în funcție de expunere, în acord cu relația (6.14); sînt reprezentate caracteristicile pentru o linie și pentru o arie (cînd imaginea este formată din linii). În cadranul IV (se reprezintă succesiunea proceselor

în sensul acelor de ceasornic) este reprezentată curba de descărcare a fotoreceptorului, adică potențialul de suprafață în funcție de expunere, așa cum am discutat în paragraful anterior. În cadranul III este reprezentată, densitatea de ieșire, D_0 , în funcție de potențialul de suprafață, corespunzătoare procesului de dezvoltare. Funcția de transfer de dezvoltare se scrie

$$D_0 = \beta_0(V - V_a), \quad (6.19)$$

unde β_0 este o constantă, V — potențialul de suprafață iar V_a — tensiunea electrodului de dezvoltare. Relația (6.19) este valabilă pentru $V > V_a$; pentru $V < V_a$, $D_0 = 0$. În figura 6.27 este reprezentat cazul $V_a = 0$. Densitatea D_i a unei linii este dată de expresia

$$D_i = \frac{1}{2} (\beta_1 + \beta_0) V_0 - \beta_0(V_a - V_m), \quad (6.20)$$

unde β_1 este o constantă, V_m — potențialul produs de lumina reflectată de hîrtia albă standard; $V_0 = V - V_m$ — potențialul de contrast care reprezintă diferența de potențial dat de linia de copiat să zicem de culoare neagră și fondul pe care se află, în acest caz de culoare albă standard. De fapt potențialul de contrast este diferența dintre potențialele de suprafață a două elemente de suprafață pe care cad intensități diferite de lumină în același interval de timp. În aplicațiile practice, în care se copiază litere de culoare neagră pe fond alb, raportul între intensitățile luminii reflectate de alb-negru este zece. În cadranul II din figura 6.27 este reprezentată densitatea de ieșire D_0 în funcție de densitatea de intrare, D_i . Potențialul de suprafață produs de densitatea de intrare D_i depinde de această densitate, de expunerea maximă, X_m , și de forma CDIF. Să considerăm că dorim să obținem o densitate maximă de ieșire. În acest scop trebuie să alegem o valoare a expunerii maxime X_m suficientă pentru a reduce potențialul de suprafață al fotoreceptorului la valoarea zero. Prin urmare se folosește întreaga CDIF (cadranul IV din fig. 6.27) ca funcție de transfer a fotoreceptorului iar funcția de transfer a expunerii este dată de linia plină din cadranul IV (fig. 6.27). Pentru a se evita pierderile tensiunea pe electrodul de dezvoltare se ia egală cu zero. Dacă sîntem interesați să copiem litere (linii) atunci procesul de optimizare constă nu numai în obținerea unei densități maxime de ieșire ci și în obținerea unui contrast cît mai bun,

adică să obținem pentru o densitate de intrare cît mai mică o densitate de ieșire cît mai mare ($D = 0,3$) în raport cu densitatea cea mai mică a fondului ($D = 0,03$). Aceasta se poate realiza prin alegerea valorii expunerii de fond X_f (dată de lumina reflectată de fondul imaginii) astfel ca să dea cel mai mare potențial de contrast (6.18) pentru densitatea de intrare egală cu 0,3. În figura 6.28 sînt reprezentate trei curbe ale potențialului de contrast în funcție de expunere, pentru trei valori ale densității de intrare: 0,3; 0,5; 1. Aceste curbe se determină direct din CDIF. De

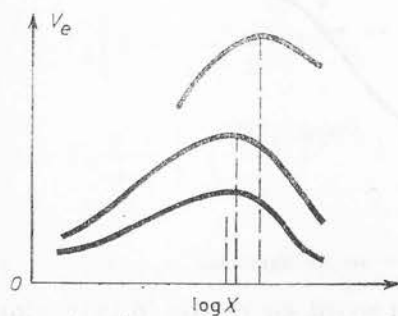


Fig. 6.28. — Potențialul de contrast în funcție de expunere.

exemplu, un punct de pe una din curbe se calculează astfel. Din potențialul de suprafață corespunzător densității de intrare considerate se scade potențialul de suprafață corespunzător unei expunerii de fond date. Curba corespunde la diverse valori ale expunerii de fond. Din astfel de curbe se determină valoarea expunerii de fond pentru care se obține valoarea maximă a potențialului de contrast. Fiecare curbă are un maxim al potențialului de contrast la o anumită valoare a expunerii de fond. Materialul fotoreceptor trebuie să îndeplinească următoarele condiții:

1). Să aibă rezistivitate mare astfel încât concentrația purtătorilor generați termic să fie neglijabilă în comparație cu concentrația purtătorilor generați la suprafață. Densitatea de sarcină la suprafață este dată de $\varepsilon \mathcal{E}_0$. Notînd cu g rata de generare termică și cu t timpul procesului de xerografier (de fapt pînă la dezvoltare, inclusiv), această condiție se scrie $\varepsilon \mathcal{E}_0 \gg qgt$.

2). Suprafața liberă a fotoreceptorului trebuie să conțină o densitate suficientă de capcane care să capteze sarcina generată prin efect corona.

3). Pentru fotoreceptorii bipolari, cum ar fi seleniu, substratul trebuie să formeze cu fotoreceptorul un contact de blocare pentru injecția din substrat a purtătorilor de semn opus sarcinii cu care s-a încărcat suprafața prin efect corona.

În cazul cînd substratul, de exemplu As_2Se_3 , prezintă conducție unipolară, contactul cu substratul nu prezintă importanță dacă purtătorii de sarcină opusă încărcării suprafeței au mobilitate neglijabilă în acest material. Materialul utilizat cel mai mult ca fotoreceptor în xerografie este seleniul amorf. Se folosesc de asemenea strate policristaline sau amorfice polimerice de trinitroflorură, TNF, or strate de poli-*N*-vinil-carbazol, PVK sau complexe PVK-TNF sensibilizate cu un strat subțire de seleniu depus peste aceste strate. În cazul cînd se folosește ca fotoreceptor seleniu, care este bun izolator și fotoconductor acesta se depune prin evaporare în vid (stratul are grosimea de aproximativ 25 μm) pe un substrat conductor. Substratul conductor poate fi din aluminiu. Pentru a realiza un contact de blocare pentru injecția purtătorilor din aluminiu este necesar ca înainte de depunerea seleniului să se formeze un strat de Al_2O_3 de grosime cel puțin 15 Å. Acest strat de oxid trebuie să fie, de asemenea, suficient de subțire pentru ca pe el să cadă o tensiune neglijabilă în comparație cu tensiunea de pe fotoconductor. Depunerea pe substrat a altor materiale înainte de depunerea seleniului are influență asupra injecției electronilor și golurilor la interfața substrat-fotoreceptor. Astfel, SeO_2 , Te, Ge și Se cristalin duce la creșterea injecției golurilor; As_2O_3 determină creșterea injecției electronilor și golurilor. În seleniu marginea de absorție optică este deplasată spre lungimi de undă mai mari decît marginea de absorție fotoelectrică; absorbtia luminii începe la 6 500 Å iar un efect fotoelectric măsurabil apare la 5 500 Å. Un fotoreceptor PVK-Seleniu amorf se realizează astfel. Inițial se depune un strat PVK de grosime aproximativ 20 μm , dintr-o soluție. Apoi solventul rezidual se îndepărtează (se evaporă) prin încălzire și peste stratul de PVK se depune prin evaporare în vid un strat de seleniu amorf (aproximativ 2 μm). În figura 6.29 este reprezentat potențialul de contrast în funcție de expunere pentru acest fotoreceptor [45].

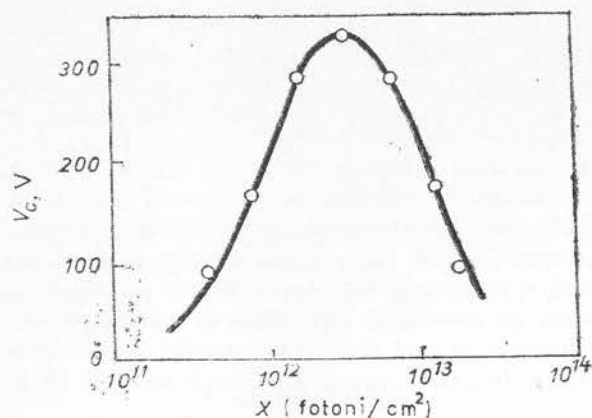


Fig. 6.29. — Potențialul de contrast în funcție de expunere pentru fotoreceptorul PVK Se amorf.

C. SENSORI DE IMAGINE CU DISPOZITIVE CUPLATE PRIN SARCINĂ

6.9. Sensori de imagine

Sensorul de imagine transformă variația spațială a imaginii optice incidente (de exemplu lumina reflectată de imaginea originală) într-un semnal video variabil în timp. În figura 6.30 este reprezentat acest proces într-un tub vidicon. Tubul vidicon conține o țintă dintr-un material fotoconductor (Sb_2S_3 , PbO, CdSe sau Se amorf) de rezistivitate mare depus pe un conductor transparent. Lumina sosită de la imaginea originală generează în fotoconductor purtători de sarcină liberi. Un fascicol de electroni, provenit de la un tun electronic, TE, cade pe fotoconductor și neutralizează sarcina generată prin efect fotoelectric dînd naștere în circuit unui semnal video care este transmis mai departe. Fascicolul electronic mătură (baleiază) întreaga suprafață într-o anumită perioadă de timp;

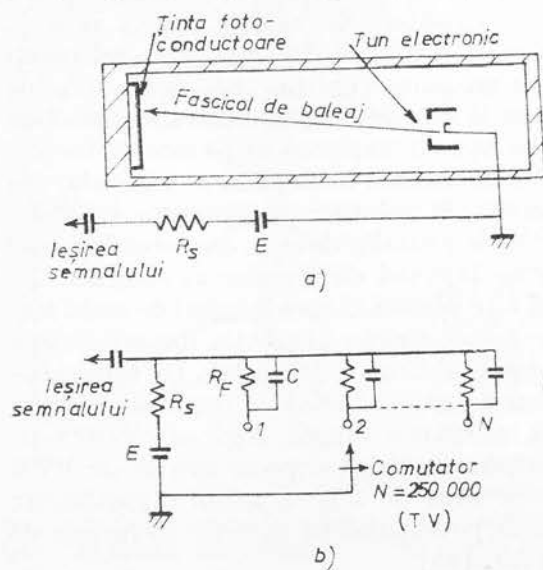


Fig. 6.30. — Vederea în secțiune a tubului Vidicon (a) și circuitul echivalent al țintei și fascicolului de baleaj (b).

de aceea i se spune fascicol de baleiaj. Stratul fotoconductor, continuu, se poate reprezenta ca o rețea de elemente fotoconductoare izolate, fiecare element fiind șuntat de o capacitate. Un sensor funcționează cu sensibilitate mare atunci când integrează fluxul total de lumină care cade pe fiecare element în întreaga perioadă de baleiaj. În acest scop trebuie ca constanta de timp RC a fiecărui element fotoconductor să depășească perioada de baleiaj [40]. Ulterior stratul fotoconductor a fost înlocuit cu o rețea de multe fotodiodă din siliciu realizate pe aceeași plachetă de siliciu [41]. Următorul pas important în evoluția sensorilor de imagine a fost înlocuirea fascicolului de electroni de baleiaj cu un tranzistor MOS [42]. În figura 6.31 este reprezentat un element sensor integrat alcătuit dintr-o fotodiodă și un tranzistor MOS. Acesta este un sensor cu stocare de sarcină cu autobaleiaj. Baleiajul se realizează prin aplicarea unor pulsuri (de baleiaj) pe poarta tranzistorului MOS care îl trece pe acesta din starea de conducție în starea de blocare și viceversa. Potențialul variază cu perioada T de baleiaj la fel ca în ciclul de încărcare-descărcare a suprafeței baleiate a tubului vidicon. Când tranzistorul se află în starea de blocare, sarcina creată de golurile generate prin efect fotoelectric, colectate de către fotodiodă se descarcă prin circuit prin comanda baleiajului. Următorul pas important în această direcție s-a făcut când s-a introdus transferul de sarcină ca mijloc de baleiaj [43, 44], utilizându-se proprietatea de detector a siliciului. Sensorii cu dispozitive cuplate prin sarcină utilizează faptul că dacă poarta tranzistorului MOS este polarizată astfel încât apare sub ea un strat de deflexie și acesta este iluminat, atunci la interfața semiconductor-izolator se acumulează purtători minoritari. Sarcina acumulată poate fi deplasată prin transfer de sarcină de la un electrod adiacent la altul (a se vedea paragraful următor) sau prin injecția sarcinii înapoi în semiconductor (vezi paragraful 6.12). Ca detector de imagine se utilizează cel mai mult siliciul care este sensibil în domeniul de lungimi de undă 400–1000 nm. Se folosesc, de asemenea, PbO , $CdSe$, Sb_2S_3 , CdS , PbS .

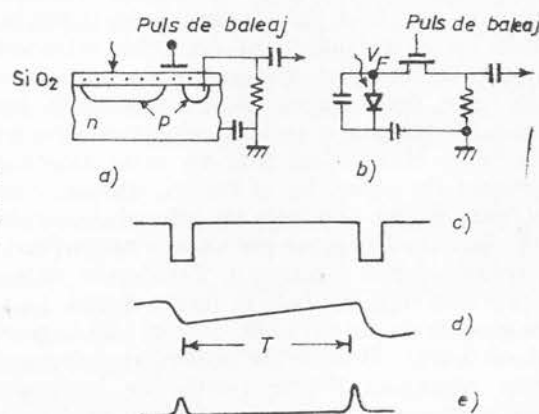


Fig. 6.31. — Elementul sensorului de imagine MOS-fotodiodă: a — structura; b — circuitul echivalent; c — pulsul de baleiaj; d — potențialul V_f al fotodiodei. e — curentul video de ieșire.

6.10. Dispozitive cuplate prin sarcină

Un dispozitiv cuplat prin sarcină este o structură MOS ca cea reprezentată în fig. 6.32 care poate colecta și stoca purtători de sarcină minoritari în gropi de potențial localizate la interfața Si-SiO₂ [44]. Sarcina

stocată se poate deplasa dintr-un loc în altul la intervale discrete de timp, prin deplasarea gropilor de potențial. Dispozitivul cu cuplaj prin sarcină este analog unui registru de deplasare care conține trei secțiuni: o secțiune de intrare, o secțiune de transfer și o secțiune de ieșire. Secțiunea de

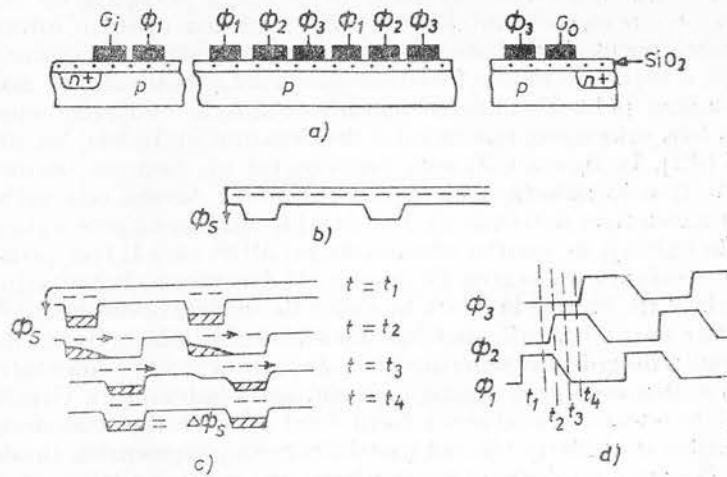


Fig. 6.32. — Dispozitivul cuplat prin sarcină: a — vedere în secțiune, care arată secțiunea de intrare cu poarta de intrare G_1 ; secțiunea de transfer și secțiunea de ieșire cu poarta G_0 ; b — profilul potențialului arătând gropile de potențial sub electrozii Φ_1 ; c — profilul potențialului, arătând transferul sarcinii într-o perioadă; d — unde de comandă (pulsurile de tact) utilizate pentru transferul sarcinii în DCS.

intrare este alcătuită dintr-o regiune difuzată, în cazul reprezentat în figură n^+ care este sursa de purtători minoritari și al cărei potențial poate fi controlat și o poartă de intrare care controlează transferul sarcinii în prima groapă de potențial. În afară de injecția în joncțiunea $p-n$, menționată, injecția purtătorilor minoritari în dispozitivul cuplat prin sarcină se mai poate realiza prin generarea de perechi electron-gol la absorbția luminii ori prin declanșarea străpungerii prin ionizare în avalanșă. Secțiunea de transfer conține o serie de electrozi care controlează potențialul la interfața $Si-SiO_2$. Manevrind într-un mod adecvat tensiunea pe acești electrozi, groapa de potențial și cu ea, sarcina stocată, se deplasează spre ieșirea structurii. Să urmărim transferul de sarcină pe figura 6.32. Semiconductorul este de tip p iar purtătorii minoritari care se vor deplasa de-a lungul suprafeței sînt electronii. Tensiunile de comandă aplicate pe cei trei electrozi sînt reprezentate în figura 6.32d. La $t = t_1$ toți electronii sînt localizați în gropile de potențial Φ_1 care se află la potențialul pozitiv cel mai mare față de substrat. Gropile de potențial sînt parțial umplute cu electroni ceea ce este reprezentat prin porțiunile hașurate. La $t = t_2$ potențialele pe Φ_2 ating valoarea maximă și se formează gropi de potențial sub electrozii Φ_2 . Sarcina se va deplasa din gropile Φ_1 în gropile Φ_2 . La $t = t_3$, potențialul pe electrozii Φ_1 se micșorează la valoarea minimă și sarcina rămasă în groapa Φ_1 va fi toată transferată în groapa Φ_2 . La $t = t_4$ transferul s-a făcut complet și sarcina care era inițial stocată în gropile Φ_1 este acum stocată în gropile Φ_2 . În acest timp potențialul pe Φ_3 a fost menținut la valoarea minimă pentru a împiedica deplasarea de sarcină spre stînga. Transferul de sarcină dintr-o groapă în groapa vecină s-a efectuat în trei faze. Sînt

structuri în care acest transfer are loc în două sau patru faze. Deoarece sarcina stocată urmărește groapa de potențial care este controlată cu ajutorul unei tensiuni externe, se poate realiza transferul în două dimensiuni. O problemă esențială o constituie pierderile de sarcină în procesul de transfer al acesteia. A treia secțiune a registrului de deplasare este cea de ieșire care este o joncțiune $p-n$ polarizată invers a cărei tensiune variază când sosește în ea sarcina ce a fost transferată din groapa de potențial adiacentă. Apoi, cu ajutorul unui comutator de revenire dioda se restabilește în condiția inițială pentru a i se putea transfera o altă sarcină. În figura 6.33 este re-

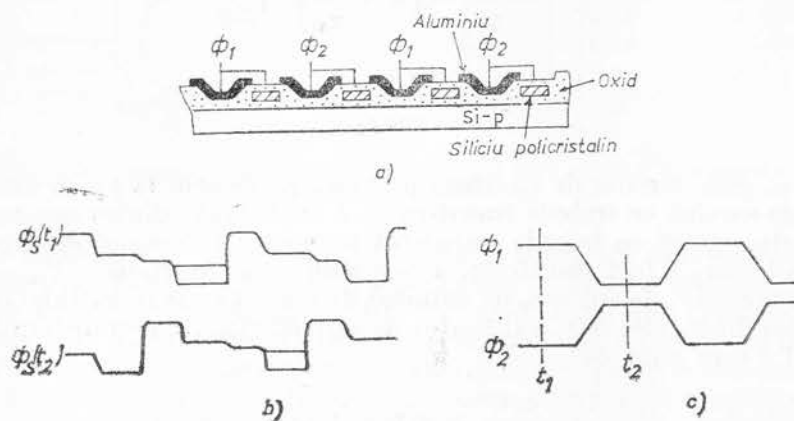


Fig. 6.33. — DCS cu trepte de oxid care funcționează cu două faze : a — secțiune prin structură ; b — profilul potențialului de suprafață indicând transferul de sarcină ; c — pulsurile care comandă transferul în DCS.

prezentat un dispozitiv cuplat prin sarcină (DCS) care poate face transferul de sarcină între doi electrozi vecini în două faze, nu în trei faze ca cel reprezentat în figura 6.32. Stratul de oxid crescut pe Si-p este de aproximativ 1 000 Å. Se depun apoi straturi separate (porți) de siliciu policristalin. Următorul strat de oxid este gros de 1 400 Å ; peste stratul de oxid sînt depuși electrozii de aluminiu. Stratul de oxid dintre electrodul de aluminiu și stratul de siliciu policristalin formează o barieră care împiedică deplasarea înapoi a purtătorilor transferați. Electrozii se conectează ca în figura 6.33a (poarta de aluminiu și poarta de siliciu se conectează împreună) și astfel DCS poate funcționa în două faze ; aceste conexiuni se fac în afara cipului. Profilul potențialului cînd are loc transferul de sarcină este reprezentat în figura 6.33b iar forma undelor de comandă a transferului este reprezentată în figura 6.33c. O altă metodă de a realiza structuri DCS care să lucreze în două faze este obținerea unui dopaj neuniform (prin metoda implantării de ioni). Dopajul neuniform duce la apariția unei bariere [46] care împiedică trecerea înapoi a purtătorilor transferați (fig. 6.34), funcție pe care

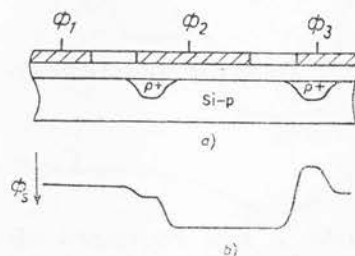


Fig. 6.34. — DCS cu două faze, cu bariera realizată prin implantare de ioni ; a — vedere în secțiune ; b — profilul potențialului de suprafață, care indică bariera datorată neuniformității dopajului

în sistemul cu trei faze o îndeplinea al treilea electrod. Transferul de sarcină de la un electrod la altul se face prin drift și difuzie. Driftul este determinat de doi factori: (1) repulsia electrostatică mutuală a sarcinilor (mai binezis câmpul creat de distribuția neuniformă a sarcinii între cei doi electrozi); acesta se numește drift autoindus; (2) câmpul datorat diferenței de potențial dintre electrozi. Cantitatea $\rho_r(t)$ de sarcină care rămîne netransferată după timpul t de transfer prin drift autoindus este dată de expresia [47]

$$\frac{\rho_r(t)}{\rho_0} = \left(1 + \frac{t}{\tau_{ai}}\right)^{-1},$$

$$\tau_{ai} = \frac{2L^2 C_{ef}}{\pi \mu q \rho_0},$$

unde ρ_0 este sarcina de electroni pe unitatea de arie la $t = 0$ din cantitatea de sarcină ce trebuie transferată, L — distanța dintre centrul volumului de sarcină ce trebuie transferat și centrul volumului de sarcină în poziția în care a fost transferat, μ — mobilitatea electronilor, C_{ef} — capacitatea efectivă, de stocare, pe unitatea de arie. În cazul driftului datorat câmpului dintre electrozi, cantitatea de sarcină rămasă netransferată după timpul t este dată de

$$\frac{\rho_r(t)}{\rho_0} \simeq \exp(-t/\tau_e),$$

$$\tau_e \leq \frac{L}{\mu \mathcal{E}_m}, \quad \mathcal{E}_m \simeq \frac{2}{3} \frac{\Delta V}{L^2} \frac{\pi \epsilon_s}{C_{ef}},$$

unde ΔV este diferența de potențial dintre electrozii între care are loc transferul și ϵ_s este constanta dielectrică a semiconductorului. Capacitatea efectivă pentru DCS cu canal de suprafață este dată de capacitatea oxidului

$$C_{ef} = C_0 = \frac{\epsilon_i}{d}. \quad (6.21)$$

În cazul cînd DCS are canal de adîncime (ascuns), atunci

$$C_{ef} = \left(\frac{d}{\epsilon_i} + \frac{l}{\epsilon_s} - l \frac{\rho/\rho_d}{2\epsilon_s} \right)^{-1}, \quad (6.22)$$

unde ϵ_i este constanta dielectrică a oxidului, d — grosimea stratului de oxid, ρ_d — concentrația donurilor din canalul ascuns și l — grosimea stratului de tip n . O comparație între diagrama de benzi a DCS cu canal de suprafață și cu canal de adîncime este reprezentată în figura 6.35. Dispozitivul cu canal de adîncime diferă de dispozitivul cu canal de suprafață prin aceea că sub stratul izolator se realizează în semiconductorul de tip p un strat cu conducție de tip n (prin implantare de ioni sau se depune epi-

taxial înaintea depunerii stratului de oxid). Stratul de tip n se polarizează pozitiv în raport cu substratul de tip p astfel încât sint îndepărtați toți electronii din el. Electrozii poartă se polarizează astfel încât minimum de poten-

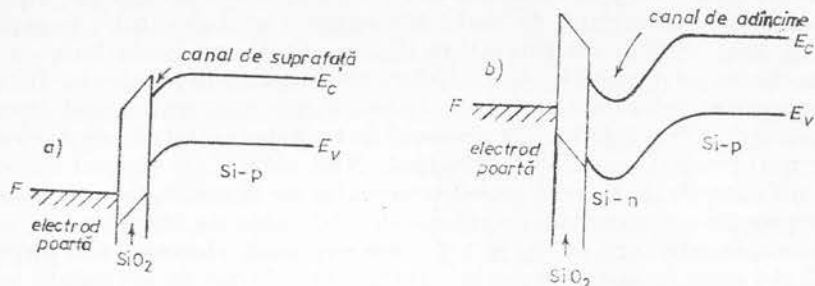


Fig. 6.35. — Diagrama de benzi de energie a unui DCS cu canal de suprafață (a) și cu canal de adâncime (b).

țial se realizează în stratul de tip n și nu la suprafața semiconductorului. Transferul de sarcină se face prin acest canal. Driftul autoindus este mecanismul dominant în partea inițială iar driftul datorat câmpului dintre electrozi este mecanismul dominant în partea finală a procesului de transfer. Prin urmare, în cazul DCS cu canal indus se poate considera $\rho = \rho_0$ în (6.22) și (6.19) și $\rho = 0$ în (6.22) și (6.20). Comparînd relațiile (6.19) și (6.20) pentru o adâncime a canalului ascuns de $0,5 \mu m$ și o grosime a stratului de oxid $d = 0,2 \mu m$ se observă că nu se obține o micșorare semnificativă a timpului de transfer în DCS cu canal de adâncime. În schimb pentru o adâncime mai mare ($5 \mu m$) a canalului ascuns timpul de transfer în DCS cu canal ascuns este mult mai mic decît timpul de transfer în DCS cu canal de suprafață. Aceasta se datorează micșorării lui C_{ef} și prin urmare creșterii câmpului de antrenare (drift) dintre electrozii între care are loc transferul. O diagramă energetică, pentru comparație, este reprezentată în figura 6.36. Deoarece canalul de suprafață este foarte apropiat de electrozii poartă, potențialul de suprafață sub un electrod dat este determinat aproape total de către potențialul acestui electrod. Minimum potențialului în canalul de adâncime este relativ departe de planul electrozilor, astfel că potențialul de sub un electrod este influențat și de potențialele electrozilor vecini. În dispozitivul cu canal de adâncime sub electrozii între care se face transferul profilul potențialului are o pantă mai mare și deci câmpul de drift este mai mare decît în cazul dispozitivului cu canalul de suprafață. Dispozitivul cu canal de adâncime poate funcționa cu o rată de transfer de 130 MHz. Eficiența transferului de sarcină este limitată de dinamica mișcării purtătorilor de sarcină liberi și în dispozitivele cu canal de suprafață, de captura purtătorilor de sarcină la interfața semiconductor-izo-

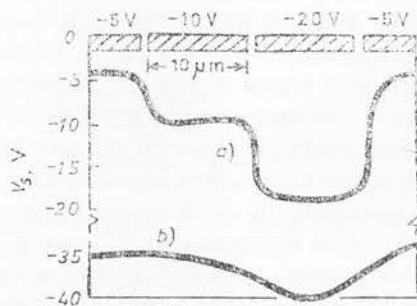


Fig. 6.36. — Profilul potențialului pentru un dispozitiv cu canal de suprafață (a) și pentru un dispozitiv cu canal ascuns (b).

lator. Timpul de emisie a electronilor de pe stările de interfață este proporțional cu $\exp(E_c - E_i)/kT$, unde E_c este marginea inferioară a benzii de conducție și E_i este nivelul capcanei. Contribuția stărilor de interfață la ineficiența procesului de transfer este determinată de raportul dintre τ_e și perioada $1/f_c$ a tensiunii de tact (de comandă a procesului); f_c este frecvența de tact. Stările cu timpul de emisie $\ll 1/f_c$ nu contribuie la micșorarea eficienței procesului de transfer; acestea sînt în particular stările de lângă marginea inferioară a benzii de conducție care emit rapid electronii captați imediat ce a fost inițiat procesul de transfer astfel că acești electroni se pot reuni rapid cu pulsul principal. Nici stările cu timpul de emisie $\gg 1/f_c$ nu contribuie la micșorarea procesului de transfer, deoarece sarcina rămîne practic permanent captată pe ele. Eficiența de transfer este micșorată de capcanele care au $\tau_e \simeq 1/f_c$ care captează electroni din pulsul de sarcină și-i emit în coada pulsului. Influența stărilor de suprafață asupra eficienței de transfer poate fi micșorată prin umplerea cu sarcină a fiecărei gropi cu o cantitate ce reprezintă 10—20% din valoarea de saturație [48]. În acest caz zero digital nu reprezintă o groapă goală ci una umplută pînă la 10—20%; acesta se numește în literatura străină „zero gras” căruia propunem să-i zicem „zero fals”. Condiția de zero fals face ca stările de interfață de sub porți să fie pline cu electroni și să nu capteze electroni din sarcina semnalului de lucru. Fiecare puls primește de la pulsul din față sa același număr de purtători cît lasă la pulsul următor. Ineficiența transferului este dată de relația

$$\delta\eta = \frac{1}{n + n_0} kT N_i \ln\left(1 + \frac{2f_c}{k_0 n_0}\right), \quad (6.23)$$

unde n_0 este numărul de electroni pe unitatea de arie în condiția de zero fals, n —numărul de electroni din semnal pe unitatea de arie, N_i —densitatea de stări de suprafață rapide în $\text{cm}^{-2} (\text{eV})^{-1}$, f_c —frecvența de tact și k_0 —o constantă care depinde de secțiunea de captură a capcanelor ($k_0 = 10^{-2} \text{ cm}^2/\text{s}$). Din ecuația (6.23) se observă că la frecvențe joase, este limitată de procesele de captură și este aproape independentă de f_c ; la frecvențe înalte $\delta\eta$ este limitată de mecanismul de transfer al sarcinii libere și crește rapid cu creșterea f_c . Studiem în continuare procesul de tact (comanda transferului de sarcină) în DCS cu patru faze și comparăm rezultatele cu procesul de tact în două faze și trei faze. O structură DCS cu patru faze este reprezentată în figura 6.37. O asemenea structură poate fi comandată în două moduri: (a) modul normal în patru faze (fig. 6.38a) și modul de comandă dublă (fig. 6.38 b). În modul normal de comandă, sarcina este stocată numai sub un electrod (fig. 6.38 c) în timp ce în modul de comandă dublă sarcina este stocată sub doi electrozi vecini (fig. 6.38 d). În tabela 6.1 sînt reprezentate caracteristicile DCS cu procesul de tact în două faze, în trei faze și în patru faze.

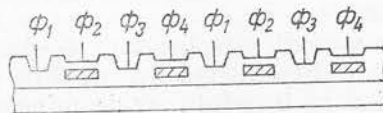


Fig. 6.37. — Vedere în secțiune a DCS cu patru faze.

Fig. 6.38. — Procesul de tact în patru faze :
a — forma pulsurilor de comandă a DCS cu patru faze ; *b* — forma pulsurilor în cazul comenzi duble ; *c* — lungimea gropilor de potențial în cazul comenzii normale ; *d* — lungimea gropilor de potențial în situația cu comandă dublă.

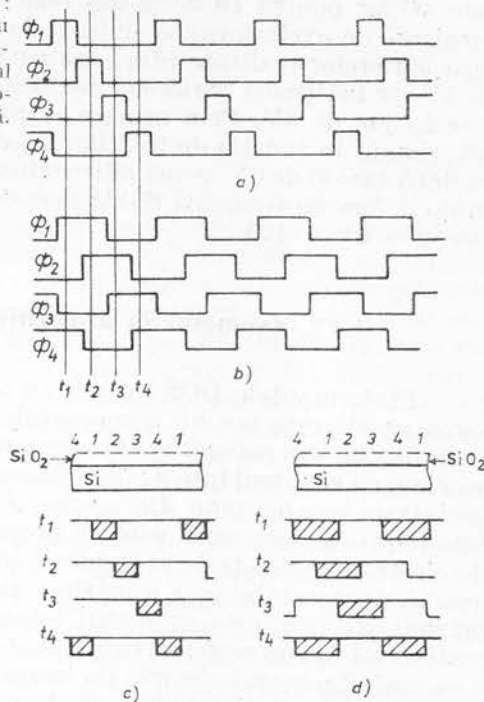


Tabela 6.1

Caracteristicile DCS

	2 faze	3 faze	4 faze
Lungimea canalului	$4L$	$3L$	$4L$
Puterea de excitație	$4CV^2f_c$	$3CV^2f_c$	$4CV^2f_c$
Sensibilitatea la forma pulsului de tact	nu	da	nu
Tensiune de susținere	$1 \times 4V$	$1 \times 6V$	$2 \times 6V$
Transferul pe bit	2	3	4

În acest tabel L este lungimea unui electrod astfel că lungimea unei celule sau a unui bit al DCS cu două sau patru faze este $4L$ iar lungimea unui bit cu trei faze este $3L$. În fiecare moment capacitatea C (corespunzătoare unui electrod de lungime L) se încarcă sau se descarcă, puterea furnizată de sursa de excitație (de tact) cu pulsuri rectangulare fiind $(1/2) CV^2$. Pentru a deplasa pulsul de sarcină de la o celulă la cea vecină în DCS cu două faze și patru faze electrozii trebuie încărcăți de 8 ori, per total, în f_c^{-1} secunde. Astfel, puterea furnizată de excitator este $8 \times (1/2) CV^2 f_{bit} = 4CV^2 f_c$. În DCS cu trei faze electrozii trebuie încărcăți și descărcați per total de 6 ori în f_c^{-1} secunde, pentru a deplasa pulsul de sarcină de la o celulă la cea vecină. Puterea furnizată în acest caz de excitator este $3CV^2 f_c$. Avînd în vedere că pentru DCS cu două și patru faze capacitatea celulei

este 4C iar pentru DCS cu trei faze este 3C expresia generală a puterii furnizate de excitatorul cu pulsuri de formă pătrată este $C_{ce} V^2 f_c$. Înălțimea barierelor realizate (din construcție) în DCS cu două faze este în jur de 4V iar înălțimea barierelor realizate prin controlul tensiunilor pe porți este în jur de 6V. Prin urmare, capacitatea de susținere a semnalului (exprimată în funcție de înălțimea barierelor) este 4V pentru dispozitivul cu două faze și de 6V pentru dispozitivul cu trei faze. Pentru dispozitivul cu două faze cu comandă dublă această tensiune de susținere a semnalului este $2 \times 6V = 12V$.

6.11. Zgomotul în dispozitivele cu cuplaj prin sarcină

Performanțele DCS folosite în rețelele de imagine depind de micșorarea pe cât este posibil a zgomotului. Zgomotele care apar în registrele DCS sînt de trei categorii: (1) cele asociate cu circuitul de intrare; (2) cele asociate cu registrul însuși; (3) cele asociate cu circuitul de ieșire. Zgomotul de intrare se compune din zgomotul fonic și zgomotul electric. Emisia fotonilor din orice sursă este un proces aleatoriu. Prin urmare și numărul de electroni generați de absorbția fotonilor și colectați în timpul Δt într-o groapă de potențial este o mărime aleatoare. Abaterea standard a acestei mărimi aleatorii este zgomotul fonic. Procesul de emisie are loc după statistica Poisson astfel că deviația standard este egală cu rădăcina pătrată a mediei. Zgomotul electric de intrare se datorează zgomotului termic al rezistenței circuitului de intrare. Numărul de electroni injectați de la sursă (secțiunea de intrare din fig. 6.32) într-o groapă de potențial este o mărime aleatoare a cărei abatere standard este zgomotul electric de intrare. Procesul poate fi considerat ca o încărcare a unei capacități printr-o rezistență R care are tensiunea spectrală de zgomot dată de relația Johnson-Nyquist, $V_z^2(f) = 4kTR$, V^2/Hz . Dacă sarcina Q a capacității C este aleatorie atunci variația lui Q este dată de $(kTC)^2$. Zgomotul, măsurat prin fluctuația n a concentrației electronilor este $(1/q)(kTC)^2$ (a se vedea demonstrația acestui rezultat în finalul acestui paragraf). Pentru $C = 0,1pF$, $n_z = 130$, electroni la temperatura camerei. Acesta este zgomotul electric introdus în pulsul de sarcină dintr-o groapă de potențial, de către circuitul de intrare.

Zgomotul din registrul însuși se împarte în zgomotul de transfer și zgomotul de stocare. Acesta se datorează stărilor de interfață rapide și lente precum și stărilor de volum și generării termice (curentul de întuneric). Captura și reemisia purtătorilor de către aceste stări sînt procese aleatorii. Abaterea standard a numărului de electroni transferați dintr-o groapă de potențial în cea vecină este zgomotul asociat cu stările de captură. Stările de suprafață rapide intervin în procesul de transfer, stările de suprafață lente intervin în procesul de stocare iar stările de volum intervin în DCS cu canal ascuns. Generarea termică a perechilor electron-gol într-un semiconductor este un proces aleatoriu care aduce o contribuție la sarcina dintr-o groapă de potențial a DCS. Numărul purtătorilor din pulsul de sarcină, generați termic, este o mărime aleatorie și abaterea standard este zgomotul curentului de întuneric. Ca și emisia fotonilor, generarea termică a purtătorilor de sarcină se supune statisticii Poisson și abaterea standard este egală cu rădăcina pătrată a mediei. Dacă se notează cu I curentul de întuneric (apro-

ximativ 10 nA/cm^2), cu A aria unui electrod poartă (aproximativ 10^{-6} cm^2), cu n numărul de faze (3) și cu t timpul total de întârziere a pulsului ($1/60 \text{ s}$), zgomotul curentului de întinerie se poate scrie

$$n_z = N^{1/2} = \left(\frac{I A n t}{q} \right)^{1/2}.$$

Pentru $I = 10 \text{ nA}$ rezultă din ecuația de mai sus că numărul de electroni acumulați într-un puls de sarcină în $1/60 \text{ s}$ este 3 125 iar zgomotul $n_z = 56$ electroni. Extracția semnalului dintr-un DCS implică încărcarea unei capacități prin intermediul unui comutator. Se utilizează în mod obișnuit două metode: (a) conectarea directă la dioda de ieșire a unui amplificator exterior sau (b) conectarea amplificatorului exterior la un tranzistor MOS (fixat pe cip) care este comandat de către o poartă plutitoare (realizată prin difuzie) localizată la marginea de la ieșirea registrului. Indiferent de modul de extracție a semnalului, potențialul diodei sau porții plutitoare de la ieșire se restabilește în fiecare perioadă de baleaj. Zgomotul din procesul de restabilire, care este zgomotul termic al circuitului de restabilire se reflectă în semnalul de ieșire. Zgomotul de ieșire este dat de aceeași expresie ca și zgomotul de intrare, $n_z = (1/q) (kTC)^{1/2}$. În cazul (a) capacitatea firului care face legătura cu amplificatorul exterior este mare și $n_z = 1\,300$, valoare comparabilă cu cea din tubul Vidicon convențional. În cazul (b) deoarece tranzistorul MOS conectat pe cip are o capacitate mică, zgomotul este mult mai mic, $n_z = 130$. Circuitul convențional de ieșire al unui DCS arată ca în figura 6.39a. Extracția semnalului o face astfel. Pe dioda de ieșire se stabilește o tensiune V_i mare prin intermediul comutatorului care este un tranzistor MOS ce se află în starea de conducție. Constanta de timp este $R_c C = (10^4 \Omega \cdot 10^{-13} \text{ F}) = 10^{-9} \text{ s}$. Apoi comutatorul trece în starea

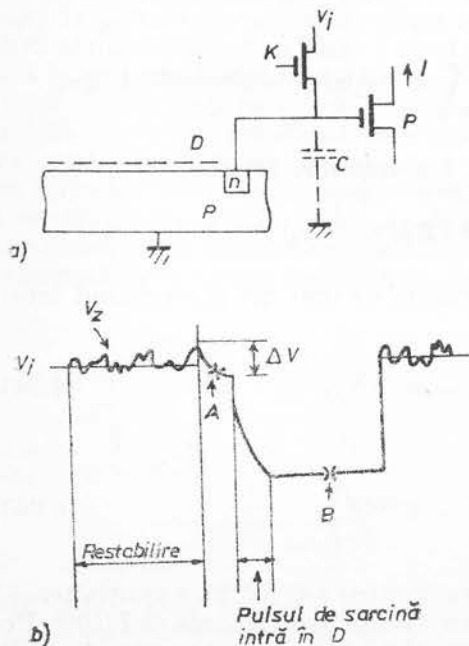


Fig. 6.39. — Circuitul de ieșire al unui DCS convențional (a): D este dioda de ieșire, K — comutator, P — preamplificator cu tranzistor MOS; b — tensiunea de ieșire

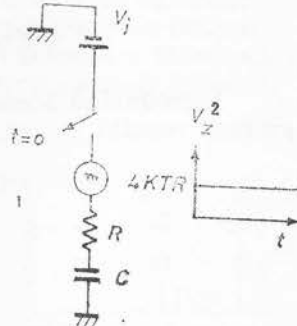


Fig. 6.40. — Circuitul echivalent de zgomot de încărcare a unei capacități prin intermediul unei rezistențe cu zgomot termic.

de blocare și constanta de timp este $R_b C = (10^{12} \Omega \cdot 10^{-13} \text{F}) = 10^{-1} \text{s}$. Atunci cînd comutatorul trece în starea de blocare are loc o scădere a tensiunii pe capacitatea C (notată cu ΔV pe fig. 6.39 *b*) datorită pulsului de alimentare pentru comutarea tranzistorului. În continuare, este introdus pulsul de sarcină (care conține informația) în dioda de ieșire micșorîndu-i tensiunea inversă de polarizare. Apoi ciclul se repetă: comutatorul trece în starea de conducție etc. Tensiunea de ieșire pe capacitatea C este reprezentată în figura 6.39 *b*. În mod obișnuit tensiunea se așantionează în B în raport cu o anumită valoare de referință fixată. Tensiunea de zgomot este în acest caz $(kT/C)^{1/2}$. Pentru a găsi această expresie să considerăm o capacitate C cu sarcina inițială Q_0 și tensiunea V_0 . La $t = 0$ se închide comutatorul ideal și prin intermediul rezistenței R capacitatea C se încarcă la tensiunea V_i (fig. 6.40). Notînd cu Q sarcina la un moment dat pe condensator și cu $v(t)$ tensiunea electromotoare din circuit (în cazul de față este sursa de zgomot) se scrie

$$\frac{dQ}{dt} + \frac{Q}{RC} = \frac{v(t)}{R},$$

care poate fi rescrisă

$$\frac{d}{dt} \left(Q e^{t/RC} \right) = \frac{1}{R} v(t) e^{t/RC}.$$

Se obține

$$Q(t) = \frac{1}{R} e^{-t/RC} \int_0^t v(\tau) e^{\tau/RC} d\tau,$$

iar

$$\overline{(Q(t) - \bar{Q}(t))^2} = \bar{Q}^2(t) = \frac{1}{R^2} e^{-t/2RC} \int_0^t \int_0^\tau \langle v(\tau_1) v(\tau_2) \rangle e^{(\tau_1 + \tau_2)/RC} d\tau_1 d\tau_2.$$

Dacă $v(t)$ este zgomotul termic din rezistor, atunci

$$\langle v(\tau_1) v(\tau_2) \rangle = 2kTR\delta(\tau_1 - \tau_2).$$

Introducînd această relație în ecuația de mai sus și efectuînd integrarea, rezultă

$$\bar{Q}^2(t) = kTC(1 - e^{-2t/RC}), \quad (6.24)$$

și

$$\bar{V}_z^2(t) = \frac{kT}{C} \left(1 - e^{-2t/RC} \right), \quad (6.25)$$

unde $(RC/2)$ se numește timp de corelare. Pentru $t \ll (RC/2)$, variația tensiunii pe capacitate este mică, iar pentru $t \gg RC$ are valoarea $(kT/C)^{1/2}$. Pe această bază se consideră două eșantionări reprezentate prin A și B

pe figura 6.39 *b*. *A* se ia imediat după restabilirea comutatorului în starea de blocare și *B* după ce pulsul de sarcină s-a introdus în dioda de ieșire. Dacă timpul între *A* și *B* este mult mai mic decât $R_b C/2$ (R_b este rezistența comutatorului în starea de blocare), atunci zgomotul în aceste eșantioane de timp se află în corelație de fază și poate fi eliminat prin scăderea lui V_A din V_B [50]. Practic aceasta se realizează prin inversia tensiunii de restabilire și extragerea (scăderea) ei din tensiunea de semnal. Prin această metodă de eșantionare dublă se înlătură din semnalul de ieșire zgomotul kTC . Ceea ce mai rămâne este zgomotul amplificatorului de la ieșire, care este zgomotul introdus de poarta preamplificatorului MOS (fig. 6.39 *a*).

6.12. Metode de baleiaj în sensorii de imagine

În afară de metoda de baleiaj cu fascicol de electroni folosită în tubul Vidicon (paragraful 6.9) există și alte metode de baleiaj în sensorii de imagine. Dintre acestea cele mai importante sînt metoda de baleiaj multiflex și metoda de baleiaj prin transfer de sarcină.

A. Metoda de baleiaj multiflex

Este analogă cu metode de baleiaj cu fascicol de electroni. Sarcina (care reprezintă imaginea de transmis) din fiecare element se descarcă prin intermediul unui comutator într-un electrod comun conectat la amplificatorul de ieșire. Sensorii de imagine pot funcționa pe o singură linie sau în rețele XY bidimensionale. Un sensor cu o singură linie cu baleiaj multiflex este reprezentat în figura 6.41 *a*; fiecare element al liniei este alcătuit dintr-o fotodiodă legată în serie cu un tranzistor MOS (fig. 6.31). Pentru baleiaj se folosește un generator cu registru de deplasare digital cu multe ieșiri în paralel fiecare ieșire fiind conectată la poarta unui tranzistor MOS al unui element de linie. Pulsul negativ de la generator se deplasează de-a lungul registrului comutînd pe rînd fiecare tranzistor în starea de conducție și, prin urmare, descărcînd în același conductor pe rînd sarcina acumulată în fiecare fotodiodă care este o reprezentare a imaginii reale de transmis. Curentul semnalului video din conductorul de ieșire intră într-un amplificator care este în mod obișnuit construit pe același cip cu sensorul și cu circuitul multiflex. Fiecare element al liniei constă dintr-un detector de lumină și un comutator. Ca fotodetector poate fi folosită o fotodiodă polarizată invers, ca în figurile 6.31 și 6.41 sau, purtătorii generați fotoelec-

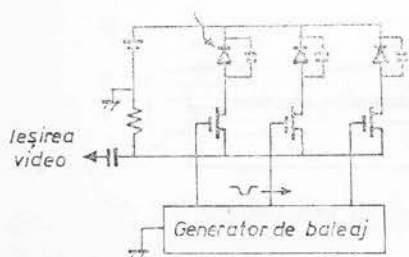


Fig. 6.41. — Linie de sensori de imagine fotodetector-MOS, cu baleiaj multiflex.

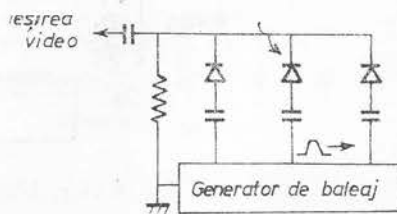


Fig. 6.42. — Linie de sensori fotodiode-capacități, baleiată multiflex.

trici pot fi colectați la interfața siliciu-izolator, fără a mai fi necesară fotodioda. Pentru comutare se poate folosi un tranzistor sau o diodă. De asemenea, fotodioda poate fi folosită alternativ ca detector la polarizare inversă și drept comutator pentru descărcare la polarizare directă. O asemenea linie de sensori este reprezentată în figura 6.42. Unul din dezavantajele baleiajului multiflex constă în faptul că linia conductoare

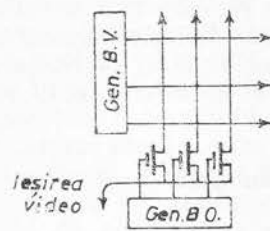


Fig. 6.43. — Sensori în care semnalul video se extrage de pe coloane.

în care intră semnalele video de la elementele succesive este destul de lungă și capacitatea între acest conductor și pământ poate depăși cu câteva ordine de mărime capacitatea unui element al rețelei, ceea ce duce la creșterea zgomotului de ieșire. Generatorul de baleiaj utilizat în mod obișnuit este un registru de deplasare digital (digital shift register) sau un numărător inelar (ring counter). Pentru fiecare element al liniei de sensori, generatorul conține $3 \div 8$ tranzistori MOS. Există și alte tipuri de generatoare de baleiaj. De exemplu cel cu registru „bucket brigade” conține un singur tranzistor pentru un element al liniei de sensori. Rețeaua bidimensională de senzori baleiată prin metoda multiflex conține două seturi de benzi de adresare X și Y perpendiculare între ele, conectate la fiecare element din rețea. Fiecare element al sensorului XY conține un fotodetector și unul sau mai mulți comutatori conectați la benzile de adresare. Baleiajul multiflex în senzorii XY se poate face extrăgând semnalul video de pe linii, de pe coloane sau de la un electrod comun cum ar fi substratul. Un exemplu este arătat în figura 6.43 unde semnalul video se extrage de pe coloane. Elementele din rețeaua de sensori pot fi fotoconductori cu straturi subțiri din CdS, foto-rezistori din siliciu, fotodiode din siliciu, etc. O rețea XY poate conține 100×100 elemente, 500×500 elemente etc.

B. Baleiajul prin transfer de sarcină

Dispozitivele cu baleiaj prin transfer de sarcină diferă de registrele cu deplasare digitală prin aceea că semnalul introdus se deplasează prin registru ca o succesiune spațială de pulsuri de sarcină. Deplasarea pulsurilor de sarcină de-a lungul suprafeței semiconductorului dintr-un loc în altul se realizează prin aplicarea pulsurilor de tact pe electrozii poartă. Vederea în secțiune a unei linii de sensori cuplați prin sarcină este repre-

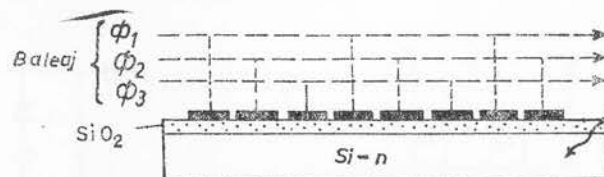


Fig. 6.44. — Linie de sensori cuplați prin sarcină.

zentată în figura 6.44. În linia reprezentată registrul se iluminează direct (pentru obținerea imaginii latente) timp în care tactul este oprit. Purtătorii de sarcină generați în semiconductor sînt colectați la suprafață în

gropile de potențial. Apoi se dă drumul la pulsurile de tact și se colectează semnalul video la ieșire. În alte rețele liniare senzorii sînt separați de registrul de extracție. Pentru o linie de senzori se pot folosi unul sau două registre de extracție. În acest caz registrele sînt ecranate față de lumină astfel că nu este necesar să fie oprit procesul de tact în timpul înregistrării imaginii ci numai în momentul cînd are loc transferul sarcinii din fotocelele în regis-

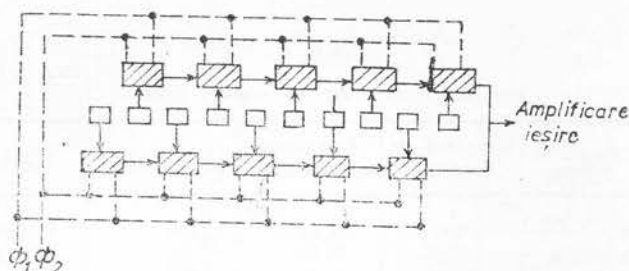


Fig. 6.45. — Rețea liniară de senzori cu fotoelemente de registre (în număr de două, care nu se iluminează).

tru. După ce se formează imaginea latentă, ea este transferată către registrul. Pentru ca transferul să se efectueze mai repede și fotocelele să fie dispuse cît mai aproape unele de altele se folosesc două registre de extracție fixate lateral de o parte și de alta a liniei de senzori. Un exemplu este arătat în figura 6.45. Se utilizează de asemenea rețele XY (bidimensionale) care au un registru pentru fiecare coloană sau linie de senzori. Exemple practice vor fi expuse în paragraful următor. În încheierea acestui paragraf menționăm că baleiajul prin transfer de sarcină are următoarele avantaje față de cel multiflex.

1) Raportul semnal/zgomot este mic datorită eliminării capacități mari a conductorului multiflexului (care are lungime mare).

2) Baleiajul este uniform, prin eliminarea numărului mare de comutatori (din cazul baleiajului multiflex) și neidentității pulsurilor de baleiaj. Menționăm că baleiajul prin transfer de sarcină se folosește în afară

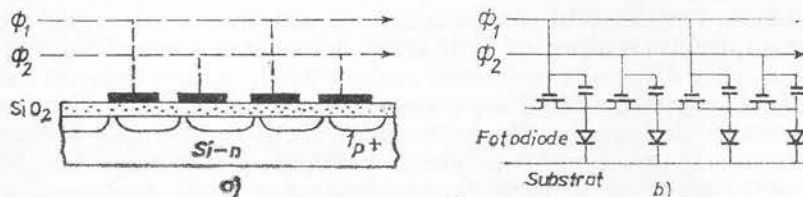


Fig. 6.46. — Linie de senzori cu fotodiode MOS: a — vedere în secțiune; b — circuitul corespunzător.

de cazul dispozitivelor cuplate prin sarcină și în senzorii alcătuiți din fotodiode MOS. Vederea în secțiune a unei linii de senzori este reprezentată în figura 6.46 a, iar circuitul corespunzător este reprezentat în figura 6.46 b.

6.13. Caracteristicile sensorilor de imagine cu dispozitive cuplate prin sarcină

Primele realizări au fost publicate în anul 1970 [51]. Se utilizează rețele liniare sau bidimensionale atât cu registrul iluminat cât și cu registrul neiluminat. Parametrii unui cip cu senzori de imagine liniari sînt dați în tabela 6.2.

Tabela 6.2

Parametrii unui cip cu senzori liniari

Firma	Numărul de elemente	Lungimea (celulei mils)	Tehnologia	Tipul
Bell	1 600	0,63	CS	S + 1R
Fairchild	1 728	0,53	CA	S + 2R
RCA	500	1,2	CS	RD
TI	500	1,2	CS	RD

CS = canal de suprafață, CA = canal ascuns S + 1R = senzori plus un registru de extracție, S + 2R = senzori + 2 registre de extracție; RD = registru de deplasare; 1 mils = 0,001 inch; 1 inch = 2,54 cm.

Liniile cu senzorii separați de registrele de extracție (care sînt ecranate față de lumină) au avantajul că baleiajul nu se întrerupe în timpul expunerii la lumină. Între fiecare element al sensorului și un etaj al registrului de extracție adiacent se află o poartă MOS. Cînd imaginea din sensor trebuie transferată în registru aceste porți se deschid simultan. Timpul de integrare (de formare a imaginii latente) a imaginii este de ordinul 500 μ s. Frecvența de repetiție a pulsurilor de tact este 1MHz. Pentru iluminarea obiectului se folosește o lampă cu filament de wolfram încălzit la 2 800K. O linie de senzori cu două registre de extracție este reprezentată în figura 6.47. Porțile sînt din siliciu policristalin dopat cu fosfor separate prin siliciu policristalin nedopat care formează un strat rezistiv. În final s-a depus peste registre un strat de aluminiu pentru a le ecrana față de lumină. În figura 6.48 este reprezentată o linie cu 1 728 elemente, realizată recent [52]. Ea utilizează un registru de deplasare DCS cu canal ascuns și funcționează în două faze. Dispozitivul este acoperit cu un strat de aluminiu opac, cu excepția suprafeței sensorului de imagine, Φ_f , pentru a ecrana registrul față de lumină. Prin difuzie se realizează regiuni de tip *p* care izolează între ele 1 728 canale (structuri MOS separate) care reprezintă cele 1 728 elemente ale sensorului de imagine (fig. 6.49). Distanța dintre centrele a două fotoelemente este 13 μ m. Lumina incidentă pătrunde prin poarta foto (Φ_f) din siliciu policristalin în substratul semiconductor, unde generează perechi electron-gol. Pe poarta foto se aplică o tensiune pozitivă, astfel că fotoelectronii sînt colectați în gropile ei de potențial. După ce fotoelectronii au fost colectați poarta de transfer Φ_x este adusă la un potențial mare pentru a transfera acești fotoelectroni sub formă de pulsuri de sarcină în registrul de deplasare DCS adiacent care lucrează cu două faze de transfer. La un moment dat numai una, de exemplu Φ_1 , din cele două faze se află la un potențial ridicat pentru a putea primi pulsurile de sarcină. Astfel fotoelectronii

din sensorii impari sint transferați în gropile de potențial corespunzătoare din registrul de deplasare figura 6.50, în timp ce fotoelectronii din sensorii notați cu numere pare rămân sub porțile foto. Apoi poarta Φ_x este adusă la potențial mic iar Φ_1 și Φ_2 sint baleiate pentru a transfera electronii din registrul în amplificatorul cu poartă plutitoare, APP (fig. 6.48). După ce au

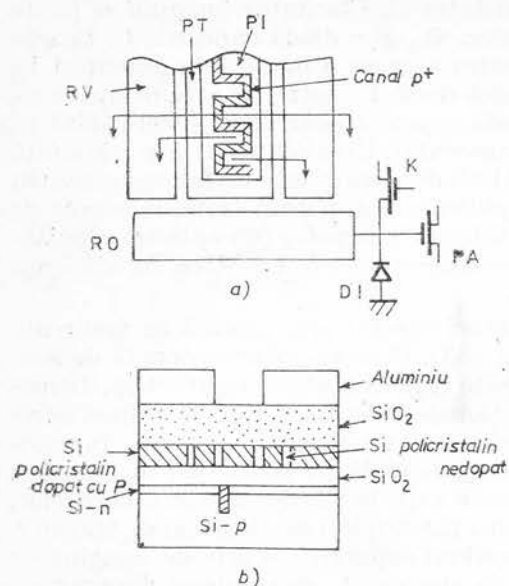


Fig. 6.47. — Linie DCS de senzori, cu două registre de extracție: PT — poarta de transfer, PI — poarta de imagine, RV — registru vertical, RO — registru orizontal, K — comutator, PA — preamplificator (a,b).

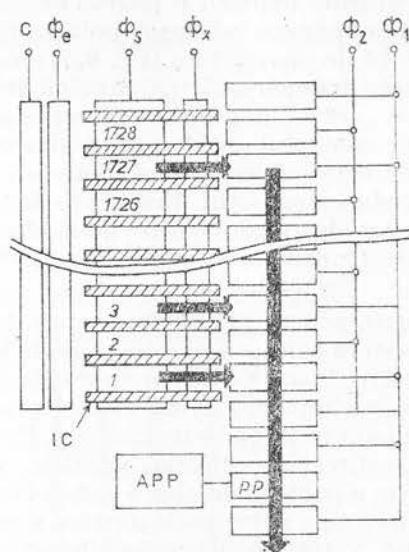


Fig. 6.48. — Schema bloc a unei linii de senzori de imagine cu 1728 elemente: C — capcană, IC — izolarea canalului, APP — amplificator cu poartă plutitoare, PP — poartă plutitoare.

fost detectați de către APP toți fotoelectronii de la sensorii impari, Φ_x este adusă din nou la potențial ridicat și, de asemenea, Φ_2 pentru a se extrage pulsurile de sarcină din elementele sensorului cu numere pare. Structura registrului DCS este reprezentată în figura 6.51. Conține două strate de siliciu policristalin. De asemenea, conține bariere B realizate prin implantare de ioni ce se folosesc pentru deplasarea unidirecțională a sarcinii în registrul cu două faze de transfer. Stratul de tip n obținut prin implantare

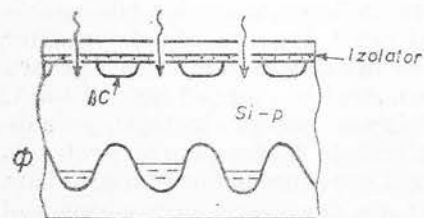


Fig. 6.49. — Sensorul de imagine, cu gropile Φ , de potențial de sub poarta foto, Φ_f .

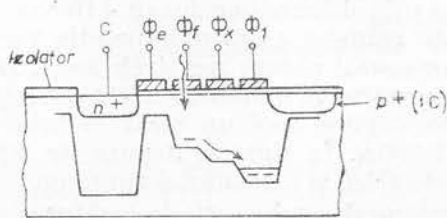


Fig. 6.50 — Profilul potențialului, ilustrând transferul electronilor din sensorul de imagine în registrul.

de ioni s-a introdus pentru a deplasa minimul de potențial departe de interfața izolator-semiconductor, așa cum se ilustrează în figura 6.52. În acest fel pulsările de sarcină sînt stocate și transferate în volumul semiconductorului, eliminîndu-se captura sarcinii de către stările de interfață. Dacă numărul de fotoelectroni depășește nivelul V_s de saturație, electronii în exces se „varsă” în gropile de potențial adiacente (fig. 6.53). Aceasta are ca efect dispersia imaginii și deci neclaritatea ei. Claritatea imaginii se poate controla folosind o poartă de expunere, Φ_e , și o diodă capcană, C . Poarta de expunere este ușor polarizată pentru a crea o barieră de potențial V_b față de poarta foto (fig. 6.54) mai mică decît V_s astfel că sarcina în exces este îndepărtată, pătrunzînd în dioda capcană polarizată invers, fără să se „verse” în gropile adiacente ale sensorului. Un alt avantaj, în plus față de controlul antidispersie, al acestei linii de sensori este că folosește pentru detecție în locul unei diode un amplificator cu poartă izolatoare ceea ce reduce zgomotul. Frecvența de tact folosită în registru (de aplicare a pulsurilor de tensiune între două elemente succesive) este 1,5 MHz, iar eficiența de transfer a sarcinii este 0,99995.

Rețelele bidimensionale cu sensori cuplați prin sarcină au fost realizate pentru prima dată în anul 1971 [53]. O rețea bidimensională de sensori în care se iluminează registrele este reprezentată în figura 6.55. Dispozitivul conține patru suprafețe funcționale diferite, cărora li se face adresarea separat, avînd fiecare cîte trei seturi de electrozi deoarece funcționează în trei faze de transfer. Rețeaua principală are 106 canale de transfer, în direcție verticală, paralele, separate prin benzi de izolare a canalelor. De o parte și de alta a canalelor există 128 tripleți de electrozi de transfer. Rețeaua principală conține două secțiuni separate: o arie de imagine cu 64×106 elemente (celule) și aria de stocare A_s de aceleași dimensiuni. La fiecare capăt al acestei rețele se află cîte un registru serie cu 106 elemente și o diodă de intrare și de ieșire. Există în plus cîteva electrozi de adresare independenți. Primul și ultimul rînd de electrozi din rețeaua principală pot servi ca porți separate (notate P_s și P_j) pentru delimitarea ariei de imagine sau pot fi alimentate cu pulsuri speciale de transfer pentru a controla conversia paralel/serie. De asemenea, cele două registre serie se termină cu porți separate (notate P_i și P_e) de adresare pentru a regla deplasarea sarcinii din dioda de intrare și, respectiv, către dioda de ieșire. Dispozitivul, cu aria de $4 \times 5 \text{ mm}^2$ s-a realizat pe o plăcuță de siliciu de tip p cu rezistivitatea de $20-40 \Omega \text{ cm}$. În plăcuță s-a difuzat fosfor pentru a se realiza diodele de intrare și de ieșire, precum și trecerile conexiunilor în cruce. (Deoarece s-a făcut o singură metalizare pentru obținerea electrozilor, trecerile în cruce pentru conexiuni s-au făcut în prealabil prin difuzie) a se vedea capitolul Circuitele integrate). Se realizează apoi o regiune de tip p prin difuzia borului ($2 \cdot 10^{14} \text{ cm}^{-3}$) pentru delimitarea celor 106 canale de transfer așezate în direcție verticală și celor două canale de transfer orizontal pentru registrele serie. După ce se înlătură oxizii folosiți pentru mascarea în timpul difuziei se crește termic un strat de oxid de $1300-1400 \text{ Å}$. Se depune apoi un strat metalic din Wolfram pentru electrozi, gros de 1500 Å . În final se depune un strat de sticlă de fosfor pentru protecția electrică și mecanică a suprafeței. Prin sticlă se realizează orificii prin care pătrund conductorii de legătură, care sînt din aur. Rețeaua funcționează astfel. Imaginea se proiectează în jumătatea superioară a rețelei principale. Lamina pătrunde în siliciu prin ferestrele dintre electrozii de transfer unde generează perechi electron-gol; electronii se acumulează în gropile de poten-

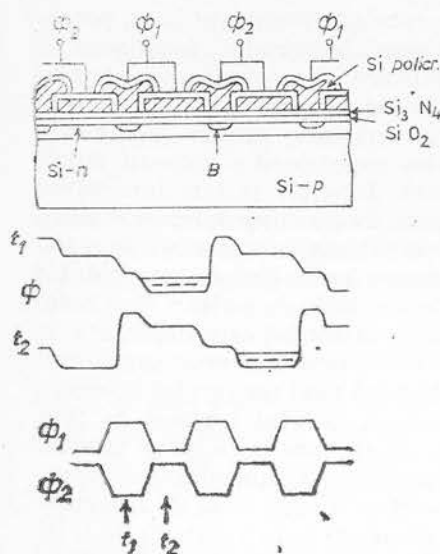


Fig. 6.51. — Registrul DCS cu canal ascuns care funcționează cu două faze ale procesului de tact.

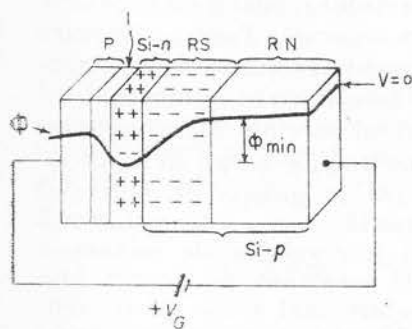


Fig. 6.52. — Formarea minimumului de potențial, Φ_{\min} , în DCS cu canal ascuns: P — electrodul poartă, I — izolator, RS — regiunea de sărăcire, RN — regiunea neutră.

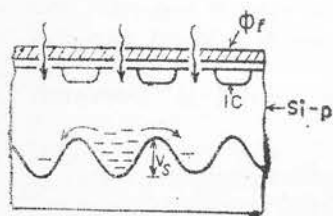


Fig. 6.53. — Când groapa de potențial se saturează, electronii se „varsă” în gropile adiacente.

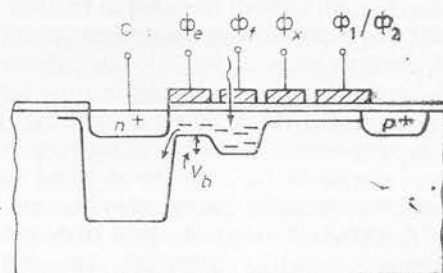


Fig. 6.54. — Funcționarea antidispersie.

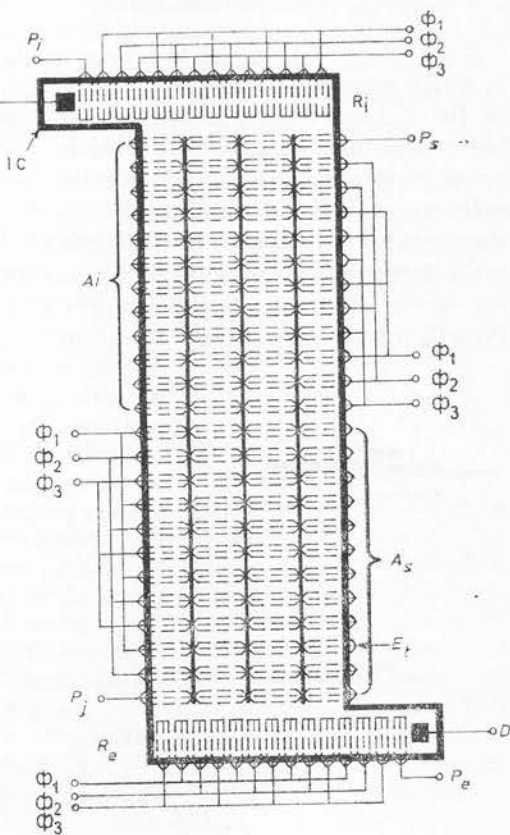


Fig. 6.55. — Rețea de imagine bidimensională: P_i — poartă de intrare, P_e — poartă de ieșire, D_i — dioda de intrare, D_e — dioda de ieșire, A_i — aria de imagine, A_s — aria de stocare, P_s — poarta de sus, P_j — poarta de jos, E_t — electrozi de transfer, IC — canal de izolare.

țial de dedesubtul fiecărei al treilea electrod, care este menținut la un potențial corespunzător. Distribuția sarcinii corespunde imaginii focalizate pe suprafața dispozitivului. Gropile de potențial care au o cantitate mai mare de sarcină reprezintă ariile mai luminate ale figurii proiectate. În timpul intervalului de reluare a ciclului de tact pe verticală, sarcina acumulată este deplasată rapid și la unison în jumătatea superioară a dispozitivului, care servește ca arie de stocare intermediară. Imediat se reia integrarea unei noi imagini (secvențe) în aria de imagine. Între timp sarcina stocată se deplasează în jos de pe o linie pe alta, de pe ultima linie trecind în registrul orizontal de extracție. Această deplasare are loc în timpul intervalului de reluare a ciclului de baleiaj orizontal. Fiecare linie de pulsuri (buchete) de sarcină transferată în registrul de extracție orizontal este deplasată în aceasta către dioda de ieșire unde semnalul video este convertit din forma în paralel în forma în serie. Procesul se repetă pînă cînd este golită întreaga arie stocată. În următorul interval de reluare a ciclului vertical de tact următoarea imagine este transferată în aria de stocare și ciclul se repetă. Rețeaua reprezentată în figura 6.55 poate funcționa și iluminîndu-se întregul registru. S-au realizat camere de televiziune cu corp solid de dimensiuni mai mari ca cea prezentată mai sus. De exemplu [54] o cameră de televiziune care funcționează în același mod cu cel descris aici, cu aria de $12,825 \times 9,672 \text{ mm}^2$ care conține 525 linii cu 476 elemente pe linie, a fost realizată de firma Bell. S-au realizat, de asemenea, de către firma Fairchild rețele bidimensionale în care fotocelulele sînt separate de registre, acestea din urmă fiind ecranate față de lumină [55]. Avantajul rețelelor cu registre neiluminate este că se elimină aria de stocare separată. Totuși, structura elementelor rețelei este mai complexă. Un element al rețelei este reprezentat în figura 6.56. În figura 6.56 *a* se reprezintă integrarea imaginii și baleiajul iar în figura 6.56 *b* se reprezintă transferul sarcinii către registru. Poarta foto transparentă se iluminează și electronii generați în semiconducător se acumulează în groapa de potențial de sub această poartă care este polarizată pozitiv. În timpul intervalului de reluare a tactului pe verticală tensiunea pe poarta foto se aduce la o valoare mai mică decît tensiunea pe poarta adiacentă a registrului, astfel că sarcina este transferată în registru. Porțile de baleiaj se proiectează astfel ca bariera formată să împiedice trecerea înapoi în sensor a sarcinii în timpul baleiajului registrului. De fapt, elementele rețelei XY sînt asemănătoare ca structură cu elementele rețelei liniare.

Se definesc următoarele mărimi caracteristice :

1. Responsivitatea cipului la frecvență spațială zero

$$R_c = \frac{I_s}{H},$$

unde I_s este valoarea maximă a curentului care iese din sensor și H intensitatea luminii care cade pe sensor, măsurată în W/m^2 .

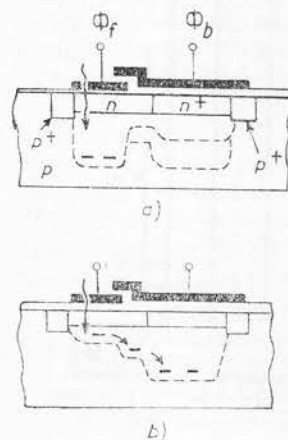


Fig. 6.56. — Sensorul de imagine în timpul integrării (a) și transferului de sarcină (b): Φ_f — poarta foto, Φ_b — poarta de tact.

2. Responsivitatea sistemului la frecvență spațială zero

$$R_s = \frac{I_s}{N},$$

unde N este intensitatea radiației pe unitatea de arie și pe steradian ($\text{W/m}^2 \cdot \text{st}$). Se definește această mărime deoarece în practică pentru focalizarea luminii care cade pe sensor se folosește o lentilă. Între N și H există relația

$$H = NT\pi/4F^2,$$

unde T este transmisia lentilei și F — raportul dintre distanța focală și apertură absolută a lentilei.

3. Răspunsul sistemului la frecvență spațială diferită de zero. Este egal cu răspunsul sistemului la frecvență spațială zero multiplicat cu funcția de modelare de transfer (FMT) a cipului și a lentilei. Funcția de modulare de transfer este compusă din trei factori care iau în considerare: (a) pierderea în răspunsul la frecvență datorită geometriei celulei de integrare; (b) pierderea în răspunsul la frecvență datorită ineficienței transferului; (c) pierderea în răspunsul la frecvență datorită difuziei sarcinii între momentul absorbției fotonilor și cel al colectării fotoelectronilor.

4. Răspunsul fotoelementului (R_e). Este determinat de eficiența cu care sînt absorbiți fotonii și cu care sînt colectați fotoelectronii. Micșorarea R_e se datorează în principal la următoarele patru mecanisme. (a) reflexia luminii la interfețele din fața suprafeței siliciului; (b) absorbția luminii în stratele de deasupra siliciului; (c) recombinarea purtătorilor la interfața Si-SiO₂ după ce a avut loc generarea; (d) absorbția luminii la distanță mare de gropile de potențial unde se colectează electronii.

6.14. Sensori cu dispozitive cu injecție de sarcină

Dispozitivul cu injecție de sarcină (DIS) este o structură MOS în care se realizează gropi de potențial prin aplicarea unei tensiuni externe pe o rețea de electrozi poartă [56]. Fotonii absorbiți generează perechi electron-gol și purtătorii minoritari sînt colectați în gropile de potențial (fig. 6.57). Procesul de integrare a imaginii în DIS este același ca în DCS. Pentru extracția semnalului video sarcina stocată în groapa de potențial este injectată în volum la sfîrșitul perioadei de integrare, prin îndepărtarea tensiunii de pe poartă (fig. 6.58). Acești purtători minoritari recombină la contactul cu substratul determinînd curgerea unui curent electric în circuitul exterior. Cînd se aplică pe poartă pulsul de tensiune se creează o regiune de deflexie (sărăcire) și purtătorii majoritari, în cazul de față electronii, se deplasează în substrat. Datorită cuplajului capacitiv, curentul I_s care curge prin substrat are forma din figura 6.59. În timpul integrării imaginii purtătorii minoritari (golurile în acest caz) generați prin absorbția fotonilor vor fi colectați și stocați în gropile de potențial de la suprafață (fig. 6.57) în timp ce electronii generați de fotoni se vor deplasa prin substrat dînd curentul reprezentat de aria hașurată din regiunea unde curentul are semn negativ (fig. 6.59). La sfîrșitul perioadei de integrare injecția sarcinii stocate va determina creșterea înălțimii pulsului pozitiv așa cum

se observă în al doilea puls pozitiv din figura 6.59. Integrarea acestor unde de curent dă semnalul net, care este proporțional cu sarcina video injectată. Tensiunea netă este apoi eşantionată. Pentru rețeaua DIS bidimensională sînt necesari doi electrozi metalici, separați, pe celula unitate în scopul baleierii elementelor rețelei în direcțiile x și y . Funcționarea rețelei bidimen-

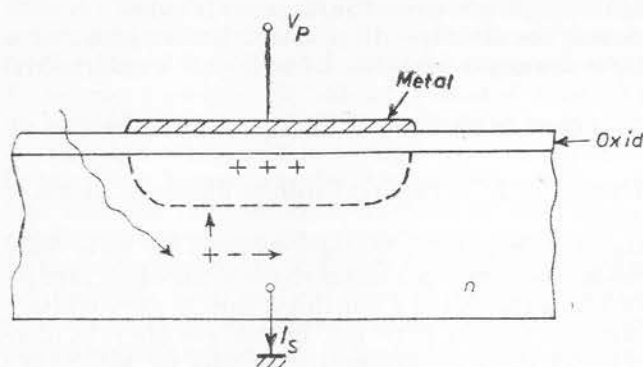


Fig. 6.57. — Integrarea imaginii în dispozitivul cu injecție de sarcină.

Fig. 6.58. — Injecția în substrat a sarcinii colectate la suprafață, prin îndreptarea gropii de potențial.

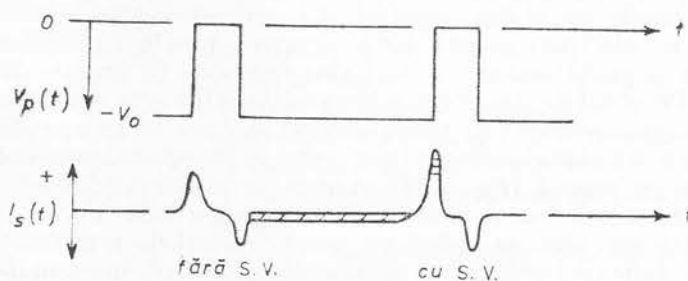
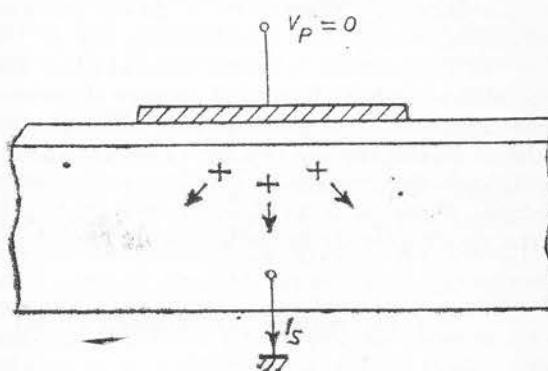


Fig. 6.59. — Curentul de ieșire în timpul integrării și injecției. Aria hașurată, din regiunea negativă a curentului = aria hașurată din regiunea pozitivă = semnalul video.

sionale este reprezentată în figura 6.60. Fiecare element al sensorului are doi electrozi separați, corespunzînd la doi capacitatori de stocare. Unul din electrozi este conectat la linia de acces orizontală iar celălalt la cea verticală. Stocarea de sarcină în groapa de potențial este reprezentată în figura 6.60 a.

În figura 6.60 *b* este reprezentat transferul de sarcină în groapa de potențial adiacentă, când tensiunea pe electrodul sub care a fost stocată sarcina este redusă la valoarea zero. Când este redusă la valoarea zero tensiunea pe ambii electrozi, are loc injecția sarcinii (fig. 6.60 *c*). Extracția semnalului din rețeaua bidimensională DIS se poate face în două moduri: (*a*) prin

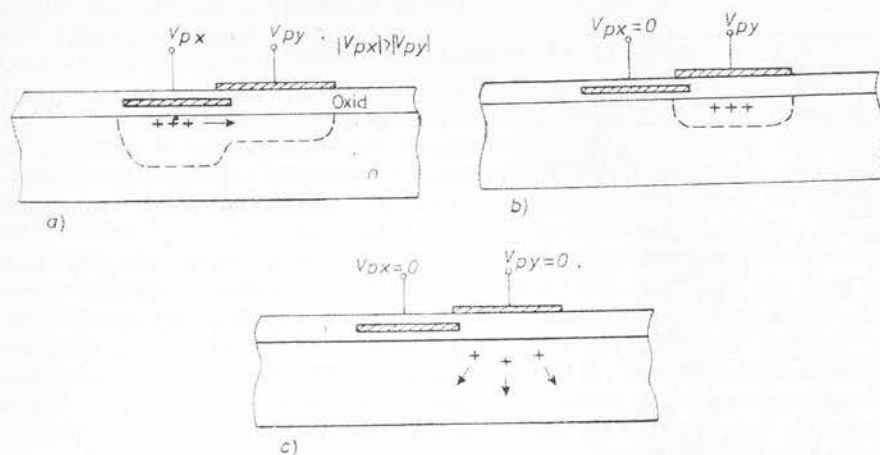


Fig. 6.60. — Celula de bază a unei rețele bidimensionale DIS: *a* — stocarea sarcinii; *b* — transferul sarcinii, *c* — injecția sarcinii.

injecția succesivă (serie) și (*b*) prin injecția în paralel. În citirea serie, sarcina stocată se injectează în substrat și se detectează curentul de deplasare rezultat. În figura 6.61 *a* este reprezentată o rețea 4×4 . Fiecare celulă unitate constă din doi capacitatori MOS așa cum am reprezentat în figura 6.60, cu regiunile de inversie de la suprafață cuplate astfel că sarcina poate fi ușor transferată între cele două regiuni de stocare [57]. Pe electrozii conectați la linii se aplică o tensiune mai mare decât pe electrozii conectați la

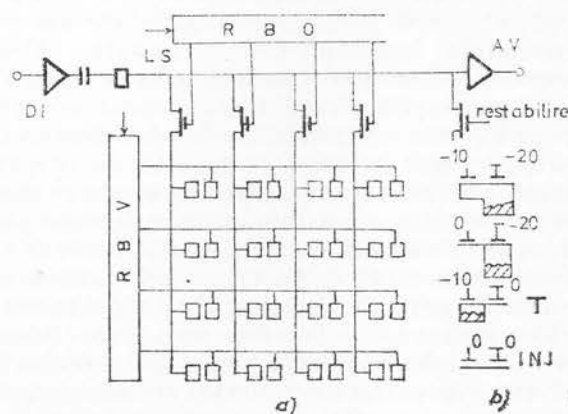


Fig. 6.61 — Diagrama unei rețele 4×4 (*a*); potențialul de suprafață și localizarea sarcinii (*b*); RBV — registru de baleiaj vertical, RBO — registru de baleiaj orizontal, DI — dispozitiv de injecție, LS — linia de semnal.

coloane, astfel că sarcina acumulată în sensor se stochează sub electrozii conectați la linii. În figura 6.61 *b* se reprezintă potențialul de suprafață al siliciului și localizarea sarcinii în diverse condiții de tensiune aplicată. O linie se selectează pentru extracție aducând tensiunea ei la zero prin inter-

mediul registrului de baleiaj vertical. Sarcina (stocată) din toate celulele acestei linii este transferată în capacitatori conectați la coloană, corespunzând condiției notată cu T în figura 6.61 *b*. Apoi, aducând succesiv la valoarea zero tensiunea pe fiecare coloană cu ajutorul registrului de baleiaj orizontal și liniei de semnal, sarcina se injectează în substrat. Sarcina din

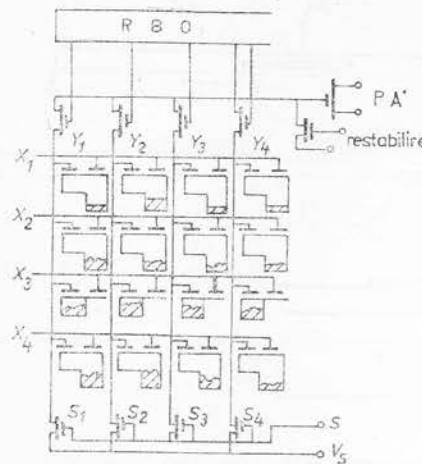


Fig. 6.62. — Diagrama unei rețele 4×4 cu injecție în paralel; PA — preamplificator.

liniile neselectate rămâne sub electrozii conectați la linii. Semnalul video este conținut în curentul de deplasare a purtătorilor majoritari care curge ca răspuns la injecția sarcinii stocate. Acest semnal poate fi detectat oriunde în circuitul alcătuit din substrat, linia de semnal și linia considerată a rețelei.

În tehnica extracției prin injecția paralelă, detecția sarcinii semnalului este separată de injecția acesteia. În timpul baleiajului unei linii semnalul din fiecare celulă se detectează prin transferul intercelulă, iar în intervalul de revenire a circuitului de baleiaj se injectează sarcina din toată linia selectată. Schema unei rețele 4×4 cu injecția paralelă este reprezentată în figura 6.62. Se reprezintă, de asemenea potențialul de suprafață al siliciului și localizarea sarcinii. Tensiunile aplicate pe electrozii de linie sînt mai mari decît cele aplicate pe electrozii de coloană. La începutul procesului de tact al unei linii, toate liniile au tensiune aplicată pe ele iar coloanele sînt reduse la tensiunea de referință V_5 prin intermediul comutatoarelor $S_1 - S_4$. Se îndepărtează tensiunea de pe linia selectată pentru extracție (linia X_3 în figura 6.62) ceea ce determină transferul de sarcină din toate celulele acestei linii sub electrozii conectați la coloane. În acest caz tensiunea pe fiecare coloană variază cu o valoare egală cu sarcina semnalului împărțită prin capacitatea coloanei. Registrul de baleiaj orizontal baleiază toate tensiunile de pe coloană și semnalul video este transferat preamplificatorului PA, care este construit pe cip. Tensiunea de intrare pe PA este readusă la nivelul de referință înaintea începerii fiecărui ciclu al registrului de baleiaj orizontal. La sfîrșitul baleiajului fiecărei coloane toată sarcina din linia selectată poate fi injectată simultan prin aducerea la zero a tuturor tensiunilor de pe coloană prin intermediul comutatoarelor $S_1 - S_4$. Pe de altă parte, injecția poate fi omisă și să se aplice din nou tensiune pe linii după citire, ceea ce va determina întoarcerea sarcinii video înapoi sub electrozii de linie. Aceasta înseamnă reținerea sarcinii video și deci avem de-a face cu o citire (extracție) nedestructivă. Spre deosebire de tehnica injecției succesive, tehnica injecției paralele permite viteză mare de extracție (citire) și s-a adoptat pentru camerele de televiziune. Ea oferă și posibilitatea extracției nedestructive. S-au realizat camere TV cu 244 linii și 248 elemente de imagine pe linie. Pentru funcționarea în televiziune timpul de tact al unei linii este de $63 \mu s$ (rata de 50 MHz pe element) iar rata de baleiaj vertical este de 60 transferări de cadre (imagine) pe secundă. În rețelele cu injecție paralelă extracția semnalului se face prin

măsurarea transferului de sarcină între doi condensatori de stocare aparținând unui element din rețea. Transferul se poate realiza în paralel în toate elementele dintr-o linie. În legătură cu senzorii de imagine DIS s-au făcut studii detaliate asupra electrozilor conductori din oxizi metalici transparenți (oxizi de indiu și de staniu) [58, 59].

6.15. Sensori de imagine în infraroșu

În domeniul infraroșu pot fi folosiți senzorii din siliciu până la lungime de undă de $1\text{ }\mu\text{m}$. Există un interes considerabil în obținerea senzorilor de imagine sensibili la lungimi de undă mai mari. Senzorii de imagine din domeniul $2-3\text{ }\mu\text{m}$ au aplicații în tehnica militară (rachete) iar dispozitivele sensibile la lungimi de undă mai mari de $4,5\text{ }\mu\text{m}$ pot realiza imaginea unei scene aflată la 300 K datorită radiației proprii a acesteia și au aplicații în industrie, medicină și tehnica militară [60]. O dificultate care apare la folosirea senzorilor termici este prezența unei radiații de fond de intensitate mare. O primă cerință a unui detector de imagine este să recunoască un obiect la $300, 1\text{ K}$ pe un fond uniform de 300 K . În acest caz „semnalul” este diferența dintre numărul de fotoni care sosesc de la obiectul mai cald și numărul de fotoni care sosesc de la fondul pe care se află obiectul, în același unghi solid. Acest semnal poate fi mai mic decât un procent din fond și pentru detecția lui sensorul trebuie să înregistreze întregul fond. Neuniformitățile fondului dau un semnal de zgomot care se suprapune peste semnalul cercetat. O altă cerință este ca detectorul să fie uniform, cerință care nu este stringentă pentru detectorii din vizibil deoarece în mod obișnuit există contrast mare în lumina vizibilă reflectată de o scenă. Din fericire, lipsa unei eficiențe cuantice mari poate fi suplinită prin mărirea ariei rețelei de senzori. Există mai multe tipuri de senzori în infraroșu cu circuite cuplate :

1) DCS sau DIS se realizează pe materialul detector (InAs , InSb sau HgCdTe) [61].

2) DCS se realizează pe siliciu iar detectorii de infraroșu care se fixează pe plăcuța de siliciu sînt separați de DCS. Ca detectori se folosesc diode Schottky și heterojuncțiuni.

3) Siliciul, extrinsec, se folosește și ca detector. În acest ultim caz este necesară răcirea dispozitivului în timpul funcționării pentru ca purtătorii de sarcină să se afle localizați pe nivele. Vom descrie în acest paragraf o rețea de imagine în infraroșu cu DCS, folosind ca detector dioda Schottky. Ca diodă Schottky s-a folosit paladiu depus pe siliciu de tip p . Răspunsul spectral se întinde în domeniul $0,8-3\text{ }\mu\text{m}$. Paladiul este unul din puținele metale care reacționează chimic cu siliciul, formînd o siliciură, care are proprietăți metalice. Bariera Schottky se formează între substratul de siliciu și stratul de siliciură de paladiu care se formează sub suprafața siliciului original. Avantajul acestei reacții este că oxizii de la suprafață și alte contaminări ale suprafeței nu influențează bariera Schottky cum se întîmplă în cazul cînd bariera s-ar realiza între siliciu și un metal care nu reacționează cu acesta. Alt avantaj este că paladiul în exces poate fi îndepărtat prin gravare și contactul pe dispozitiv se poate face cu un metal convențional cum ar fi aluminiu. Structura sensorului este reprezentată în figura 6.63 unde s-au utilizat următoarele notații: PS-poarta de încărcare cu sarcină; BS-bariera Schottky; PT-poarta de transfer;

PDCS-poarta DCS; LS-linia de sarcină; DS-regiunea difuzată, de încărcare; DT-regiunea, difuzată, de transfer; SO-semnal optic; SP-sarcină plutitoare; SF-sarcină de fond. Poarta de transfer (PT) se suprapune peste regiunile difuzate de transfer (DT) și le cuplează pe acestea, individual, la porțile cu faza 1 (ale DCS) care, din acest motiv, sînt mai mari decît

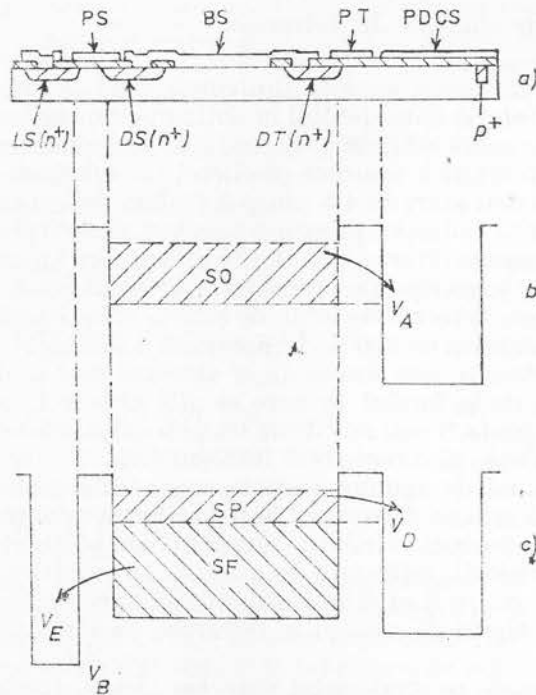


Fig. 6.63. — Sensor de infraroșu cu DCS : a — vedere în secțiunea; b — profilul potențialului în cazul funcționării în modul Vidicon; c — profilul potențialului în cazul funcționării în modul de imagine termică.

celelalte porți ale registrului de deplasare DCS (registrul de deplasare funcționează cu trei faze). Poarta de încărcare (PS) din stînga se suprapune peste regiunile de încărcare difuzate (DS) și le poate cupla pe toate odată la linia de sarcină (LS) difuzată. Pentru delimitarea canalelor în registrul de deplasare se folosesc regiuni difuzate, p^+ . Dispozitivul poate funcționa în două moduri : (1) modul vidicon ; (2) modul de extracție a fondului. Cînd funcționează în modul vidicon nu este necesar ca dispozitivul să aibă poarta de încărcare și regiunea de încărcare difuzată. Dacă structura posedă aceste elemente poarta de încărcare se polarizează negativ și nu se include în vreun circuit de lucru. Baleiajul tensiunii pe porțile registrului de deplasare se face în trei faze. La un moment dat din ciclu cînd porțile registrului cu faza 1 sînt în stare de conducție iar porțile corespunzătoare celorlalte faze sînt blocate se aplică un puls pozitiv pe poartă de transfer, astfel ca potențialul de sub ea să capete valoarea V_A (fig. 6.63 b). Potențialul regiunii de transfer (difuzate) se va stabili la valoarea V_A . Toată sarcina în exces se va deplasa prin canalul porții de transfer în groapa de potențial mai adîncă a DCS. La sfîrșitul pulsului de tensiune de transfer, registrul de deplasare baleiază pulsurile de sarcină. În ciclul următor și în fiecare din ciclurile succesive, se aplică pulsul de transfer, detectorii sînt readuși la același potențial V_A și sarcinile îndepărtate sînt stocate în gropile de

potențial cu faza 1 ale DCS. Aceste sarcini acumulate în detectori în timpul de integrare dau semnalul video când sînt extrase. Sensorul de imagine desemnat să funcționeze în acest mod trebuie proiectat astfel încît capacitatea de stocare a detectorului să fie aproximativ aceeași cu a gropii de potențial a registrului de deplasare (DCS). În cazul funcționării în modul vidicon atît semnalul de la detector cît și curentul de întuneric trec prin registrul de deplasare. De aceea acest mod de funcționare se utilizează în cazul imaginilor cu contrast puternic. În cazul imaginilor termice, cu contrast de numai cîteva procente trebuie să se utilizeze mai eficient regimul dinamic al registrului de deplasare avînd în vedere că numai o mică fracțiune din sarcină conține semnalul (partea modulată a sarcinii) și acesta este transferată de către DCS iar sarcina de fond care este constantă, în cantitate mare și nu conține informație, este îndepărtată prin intermediul unei drene auxiliare. Aceasta se poate realiza cu ajutorul unei linii de încărcare (LS) și a unei porți de încărcare (PS) arătate în figura 6.63. Pe linia de încărcare se aplică un potențial mare, V_B (fig. 6.63 c), care acționează ca o drenă auxiliară pentru sarcina, constantă, de fond. Se aplică un puls de baleiaj pe poarta de sarcină, aducînd potențialul de suprafață de sub aceasta la valoarea V_E . Aceasta, la rîndul său, aduce porțile barierei Schottky, regiunii de încărcare difuzate și regiunii de transfer difuzate la tensiunii V_E , deoarece toți electronii în exces stocați în acești conductori se vor revărsa prin canalul de sub poarta de încărcare în linia de încărcare și vor pătrunde din nou în substrat. Prin urmare, nivelul inițial al barierei Schottky este determinat de către amplitudinea pulsului de pe poarta de încărcare și nu de amplitudinea pulsului de pe poarta de transfer ca în modul de funcționare vidicon. La sfîrșitul perioadei de integrare (a imaginii) se aplică un puls de amplitudine mică pe poarta de transfer și potențialul de suprafață al acesteia capătă valoarea V_D (fig. 6.63 c). Deci numai sarcina de deasupra V_D va fi drenată în groapă de potențial a DCS și extrasă. V_D se fixează în prealabil la o asemenea valoare încît să fie extrasă toată sarcina care conține informație și numai o mică cantitate din sarcina constantă de fond. La scurt timp după extragerea sarcinii de semnal este îndepărtată sarcina de fond prin aplicarea pulsului pe poarta de sarcină și a unei tensiuni V_E pe bariera Schottky. Se presupune că prin întreruperea iluminării detectorului, acesta se descarcă sub valoarea V_D ; V_E se reglează astfel ca să poată fi îndeplinită această condiție. La sfîrșitul pulsului de tensiune de tact (transfer) sarcinile se deplasează de-a lungul registrului DCS și este extras semnalul video. Pentru ca răspunsul rețelei de sensori să fie uniform este necesar ca detectorii să fie uniformi (să aibă aceleași caracteristici) și curentul de întuneric să fie cît mai mic. Un curent mare de întuneric umple gropile de potențial ale registrului DCS ceea ce duce la „pierderea” semnalului video. Curentul de întuneric în detectorii cu diodă Schottky se datorează emisiei termoelectronice a electronilor din metal în semiconductor peste barieră. El este dat de expresia (vezi capitolul 4)

$$j = A T^2 \exp(-qV_b/kT),$$

unde $A = 100 \text{ A/cm}^2 \cdot \text{K}^2$ și înălțimea V_b a barierei siliciurii de paladiu-siliciu are valoarea $0,35 \text{ V}$ la 77 K . Densitatea de curent are valoarea $7,7 \cdot 10^{-8} \text{ A/cm}^2$ la 77 K și $11,9 \text{ A/cm}^2$ la 300 K . Să comparăm această valoare a curentului cu capacitatea de stocare a DCS. Aria porții barierei

Schottky este $2,8 \cdot 10^{-8} \text{cm}^2$ iar a porții DCS este $1,56 \cdot 10^{-5} \text{cm}^2$. Capacitatea porții DCS este $0,25 \cdot 10^{-12} \text{F}$. Pentru a modifica cu 1V potențialul sub această poartă este necesară o sarcină de $0,25 \cdot 10^{-12} \text{C}$. Dacă timpul de deplasare a cadrului (unei imagini) este $(1/30) \text{s}$ atunci, curentul de întineric al barierei Schottky necesar pentru a da această cantitate de sarcină este $7,5 \cdot 10^{-12} \text{A}$, ceea ce corespunde unei densități a curentului barierei Schottky de $2,7 \cdot 10^{-7} \text{A/cm}^2$. Dacă se ia 1V valoarea maximă tolerabilă a semnalului de întineric la interfața DCS, atunci valoarea maximă tolerabilă a curentului de întineric al diodei Schottky este $3 \mu\text{A/cm}^2$. Având în vedere că la 300K valoarea curentului de întineric al diodei Schottky este mult mai mare, dispozitivul descris nu poate funcționa la temperatura camerei. Însă, poate funcționa la 77K unde valoarea curentului de întineric este cu zece ordine de mărime mai mică decât valoarea maximă tolerabilă.

BIBLIOGRAFIE

1. R. W. Ahros, *Memory protecting circuits*, U. S. Patent 3562 555, Feb. 9, 1971.
2. D. Kahng, S. M. Sze, *Bell Syst. Tech. J.*, **46**, 1288 (1967).
3. R. B. Laibovitz, P. J. Stiles, *Appl. Phys. Lett.*, **18**, 267 (1971); A. Adam., I. Zolomy, *Phys. Stat. sol. (a)*, **57**, 113 (1980).
4. D. Frohman-Bentchkovsky, *Solid State Electron.*, **17**, 517 (1974).
5. E. H. Nicollian, A. Goetzberger, C. N. Berglund, *Appl. Phys. Lett.*, **15**, 174 (1969).
6. B. Agusta, J. J. Chang, U. S. Patent 3797 000, Mar., 12, 1974.
7. Y. Tarni, Y. Hayashi, K. Nagoi, *IEEE J. Solid State Circuits*, **SC-7**, 369 (1972).
8. Y. Tarni, Y. Hayashi, K. Nagoi, *Proc. 5 th Conf. Solid State Devices*, Tokyo, 1973, p. 348.
9. B. Agusta, J. J. Chang, N. A. Patrin, *IBM Tech. Disclosure Bull.*, **15**, 2821 (1973).
10. J. Chang, *Proc. IEEE*, **64**, 1039 (1976).
11. D. Kahng, W. J. Sundburg, D. M. Bourin, J. R. Licenza, *Bell Syst. Tech. J.*, **53**, 1741 (1974).
12. H. C. Card, *Electronics Letters*, **14**, 674 (1975); *Solid State Electron.*, **17**, 501 (1974).
13. E. C. Ross, J. T. Wallmark, *R. C. A. Rev.*, **30**, 367 (1969).
14. G. Dorda, M. Pulver, *Phys. Stat. Sol. (a)*, **1**, 71 (1970).
15. N. Gordon, W. C. Johnson, *IEE Trans. Electron Devices*, **ED-20**, 253 (1973).
16. I. Lundström, C. Svensson, *J. Appl. Phys.*, **43**, 5045 (1972).
17. T. N. Ning, H. N. Yu, *J. Appl. Phys.*, **45**, 5373 (1974).
18. Y. Uchida, N. Endo, S. Saito, M. Konaka, I. Nojima, Y. Nishi, K. Tamara, *ISSCC Digest of Tech. Papers*, 108 (1975).
19. B. H. Yun, *Appl. Phys. Lett.*, **23**, 152 (1973); **25**, 340 (1974).
20. P. C. Arnett, B. H. Yun, *Appl. Phys. Lett.*, **26**, 94 (1975).
21. P. J. Krick, *IEEE Trans. Electron Devices*, **ED-22**, 62 (1975).
22. P. Balk F. Stephany, *J. Electrochem. Soc.*, **118**, 1634 (1971).
23. F. A. Sewell, *IEEE Trans. Electron Devices*, **ED-20**, 563 (1973).
24. T. E. Luke, *J. Appl. Phys.*, **45**, 1610 (1974); M. Okuyama, K. Yokoyama, Y. Hamakawa, *Jap. J. Appl. Phys.*, **18**, 1111 (1979).
25. P. J. Krick, *IBM Tech. Disclosure Bull.*, **16**, 1723 (1973).
26. L. J. M. Daguerre, *The Daguerrotype*, *The Literary Gazette and Jour of the Belles Letters*, **1147**, 28 (1839).
27. W. N. F. Talbot, *Photogenic Drawing*, *The Atheneum*, **589**, 114 (1839).
28. A. Rott, *A new reversal principle. Reversal transference by diffusion*; *Sci. and Ind. Phot.*, **13**, 151 (1942).
29. E. H. Land, *A New One-Step Photographic Process*, *J. Opt. Soc. Amer.*, **37**, 61 (1947).
30. J. J. Robillard, *Phot. Sci. and Eng.*, **8**, 18 (1964).
31. A. B. Cohen, 2-nd Symp. on Unconvent. Phot. Systems, *Soc. Phot. Sci. and Eng.*, p. 122, 1967.
32. R. B. Comizzoli, G. S. Lozier, D. A. Ross, *Proc. IEEE*, **60**, 348 (1972).
33. H. Kallman, B. Rosenberg, *Phys. Rev.*, **97**, 1596 (1955).
34. V. Tulagin, *J. Opt. Soc. Amer.*, **59**, 328 (1969).
35. P. Selenyi, *Wireless Eng.*, **15**, 303 (1938).

36. J. Mort, I. Chen, *Physics of Xerographic photoreceptors*, in *Applied Solid State Science*, vol. 5, 1975, p. 69.
37. M. E. Scharfe, F. W. Schmidlin, *Charged Pigment Xerography*, in *Advances in Electronics and Electron Physics*, Academic Press, vol. 38, 1975, p. 83.
38. M. D. Tabak, P. J. Worter, Jr., *Phys. Rev.*, **173**, 899 (1968).
39. I. Chen, J. Mort, *J. Appl. Phys.*, **43**, 1164 (1972); **43**, 2285 (1972).
40. P. K. Weimer, S. V. Forgue, R. H. Goodrich, *Electronics*, **23**, 70 (1950).
41. M. H. Crowell et al, *Bell Syst. Tech. J.*, **46**, 491 (1967).
42. G. P. Weckler, *IEEE J. Solid-State Circuits*, **2**, 65 (1967).
43. F. L. J. Sangster, K. K. Teer, *IEEE Solid-State Circuits*, **4**, 131 (1969).
44. W. S. Bayle, G. E. Smith, *Bell Syst. Tech. J.*, **49**, 587 (1970).
45. J. Mort, I. Chen, R. L. Emerald, J. H. Sharp, *J. Appl. Phys.*, **43**, 2285 (1972).
46. D. F. Barbe, *Proc. IEEE*, **63**, 38 (1975).
47. M. G. Collet, L. J. M. Esser, *Advan. Solid State Phys.*, **13**, 337 (1973).
48. J. E. Carnes, W. F. Kasonocky, *Appl. Phys. Lett.*, **20**, 261 (1972).
49. J. E. Carnes, W. F. Kasonocky, *Solid-State Technol.*, **17**, 67 (1974).
50. M. H. White, D. R. Lampe, F. C. Blaha, I. A. Mack, *IEEE Trans. Solid-State Circuits*, **SC-9**, 1 (1974); R. M. Barsan, *IEEE Trans. on Electron Devices*, **ED-26**, 123 (1979).
51. M. F. Tompsett, G. F. Amelio, G. E. Smith, *Appl. Phys. Lett.*, **17**, 111 (1970).
52. D. D. Wen, C. Kim, F. G. Amelio, *Solid-State Technology*, **19**, 83 (1976).
53. W. J. Bertram, Jr., D. A. Sealer, C. H. Sequin, M. F. Tompsett, R. R. Buckley, *IEEE Intercon. Dig.*, 292 (1972).
54. C. H. Sequin, E. J. Zimany, Jr., M. F. Tompsett, E. N. Fuls, **ED-23**, 183 (1976).
55. L. Walsh, R. H. Dick, *CCD Appl., Conf. Proc.*, San Diego, Calif., **TD-274** (1973).
56. T. Okoshi, *Proc. IEEE*, **68**, 548 (1980).
57. H. K. Burke, G. J. Michon, **ED-23**, 189 (1976).
58. D. M. Brown, M. Ghezzi, M. Grofinckel, **ED-23**, 196 (1976).
59. M. J. Michon, H. K. Burke, D. M. Brown, in *Proc. Symp. Charge Coupled Device Technology for Scientific Imaging Applications*, 1975, p. 106.
60. * * * *Proc. IEEE*, **63**, 1-208, Jan. (1975).
61. A. J. Steckl, R. D. Nelson, B. T. French, R. A. Gudmunse, D. Schechton, *Proc. IEEE*, **63**, (1975).

CIRCUITE INTEGRATE

Un circuit integrat este o rețea de elemente de circuit active și pasive, interconectate, care constituie un circuit electronic complet realizat pe o bucată mică de material suport, numită cip. Suprafața unui cip este în mod obișnuit de $1,55 \text{ mm}^2$ iar grosimea sa este de $0,2 \text{ mm}$. Elementele de circuit sînt rezistențe, capacități, diode, tranzistori și rețele RC cu constante distribuite. Densitatea de elemente într-un circuit integrat este determinată de dimensiunile elementelor individuale și de puterea electrică necesară să se obțină de la circuit. Componentele circuitelor integrate bipolare ocupă în medie o suprafață de $0,012 \text{ mm}^2$ iar cele ale circuitelor integrate MOS ocupă o suprafață de aproximativ $0,002 \text{ mm}^2$. De exemplu, un cip cu circuit integrat MOS cu aria de 5 mm^2 conține peste 5 000 elemente MOS de circuit. Există trei clase de circuite integrate: (1) circuite monolitice, (2) circuite cu strate subțiri, (3) circuite hibride. Într-un circuit monolitic, elementele pasive și active sînt realizate pe același cip, de exemplu din siliciu, cu interconexiunile și terminalele din strate subțiri. În circuitele cu strate subțiri, elementele pasive și active, precum și interconexiunile sînt sub formă de strate subțiri. Circuitele hibride se realizează prin combinarea circuitelor integrate de mai sus sau a unui circuit integrat cu elemente discrete, unele elemente pasive realizîndu-se prin tehnologia stratelor subțiri sau stratelor groase.

7.1. Tehnici utilizate în fabricarea circuitelor integrate

Tehnologia circuitelor integrate se realizează prin procedee care utilizează proprietățile mecanice, termice, chimice, electrice și optice ale materialelor. Tehnicile folosite în mod obișnuite sînt: difuzia atomilor de impurități, creșterea epitaxială, implantarea de ioni (pentru realizarea semiconductorilor extrinseci), evaporarea, fotolitografia și decaparea chimică. Se cunoaște că atât în realizarea dispozitivelor bipolare cît și a tranzistoarelor MOS este necesară obținerea de regiuni semiconductoare cu conducție de tip n și regiuni semiconductoare cu conducție de tip p . Realizarea selectivă a acestor regiuni se poate face prin difuzie, implantare de ioni și creștere epitaxială. Difuzia termică a atomilor de impurități în semiconductoare se poate face din sursă infinită, cînd concentrația C_s , a atomilor de impurități la suprafața semiconductorului este constantă pe toată perioada procesului de difuzie, și din sursă finită (limitată). În primul caz, distribu-

ția impurităților în semiconductor este descrisă de funcția complementară a erorilor

$$C(x, t) = C_s \operatorname{erfc} \left(\frac{x}{2\sqrt{Dt}} \right),$$

$$\operatorname{erfc}(y) = \frac{2}{\sqrt{\pi}} \int_y^{\infty} e^{-z^2} dz.$$

Această distribuție este reprezentată în figura 7.1 *a* pentru două perioade de difuzie, diferite. Cu creșterea timpului, atomii de impurități se extind în volum și crește numărul atomilor difuzați.

În al doilea caz distribuția impurităților este de formă gaussiană

$$C(x, t) = C_s \exp \left(-\frac{x^2}{4Dt} \right)$$

$$C_s = \frac{C_t}{\sqrt{\pi Dt}},$$

unde C_t este cantitatea totală de impurități. O asemenea distribuție este reprezentată în figura 7.1 *b*. Cu creșterea timpului de difuzie impuritățile înaintază în volum, însă deoarece cantitatea totală de atomi de impuri-

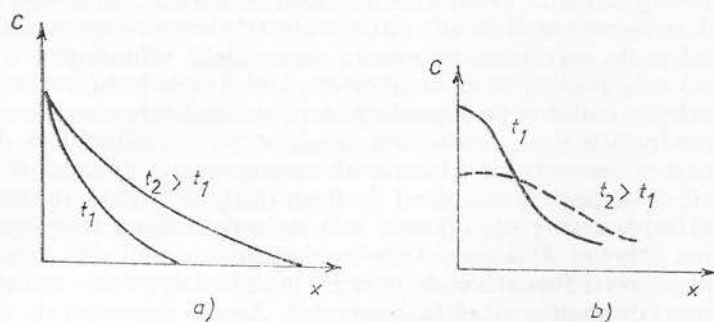


Fig. 7.1. — Distribuția spațială a impurităților difuzate în semiconductor din sursă infinită (*a*) și sursă limitată (*b*).

rități este constantă, concentrația acestora la suprafață scade. În ambele cazuri concentrația impurităților difuzate depinde de poziția sursei, de temperatură și de timpul cit are loc procesul de difuzie. La temperatura camerei profilul impurităților difuzate practic nu se mai modifică. Difuziile se fac în domeniul de temperatură 600—1200°C. De multe ori este nevoie să se realizeze pe aceeași plăcuță mai multe regiuni alternative de tip *n* și de tip *p*. În asemenea cazuri trebuie să se facă mai multe difuzii succesive. De exemplu, pornind de la un strat inițial de tip *n* realizat prin difuzie, trebuie difuzate impurități acceptoare pentru a obține o regiune de tip *p* la suprafață. La suprafață, concentrația impurităților acceptoare trebuie să fie mai mare decât a celor donoare, pentru compensarea acestora și

schimbarea tipului de conducție. Dacă dorim să realizăm acum în regiunea p o regiune de tip n trebuie să difuzăm impurități donoare a căror concentrație la suprafață trebuie să fie mai mare decât a impurităților acceptoare. Problema poate fi întrucâtva rezolvată mai ușor dacă difuzia impurităților acceptoare se face din sursă limitată. Impuritățile introduse modifică mobilitatea și timpul de viață a purtătorilor de sarcină, degradând caracteristicile acestora. Pentru a evita dificultățile legate de difuziile succesive, stratul extrinsec inițial se face fie prin ereștere (tragere) din topitură, în care substanța semiconductoare este impurificată, fie prin creștere epitaxială. Epitaxia este procesul de formare a unui cristal pe un alt cristal care joacă rol de suport; periodicitatea cristalină a cristalului depus continuă periodicitatea cristalină a substratului. Substanța care se depune epitaxial se poate găsi în stare lichidă sau gazoasă. Cea mai importantă este epitaxia din stare gazoasă. Impuritățile se introduc în atmosfera gazoasă în concentrația dorită. Totuși, este dificil să se crească cristale epitaxiale pe porțiuni selectate ale substratului cristalin.

Implantarea de ioni constă în implantarea directă în volumul semiconductorului a atomilor de impurități. În practică, fasciculul de ioni de energie mare (ionii sînt accelerați la o diferență de potențial de 100 kV) cade pe suprafața semiconductorului, menținut la temperatura camerei, și ionii pătrund în volumul materialului. Profilul și adîncimea de pătrundere depind de proprietățile materialului și de energia particulelor. După implantare, cristalul se încălzește (la o temperatură mai mică decât temperatura folosită într-un proces de difuzie) pentru ca impuritățile introduse să se așeze în poziții adecvate și să se reducă numărul de defecte apărute în timpul implantării. Pentru neutralizarea sarcinii apărute în cristal, substratul se conectează la un circuit electric care alimentează cristalul cu cantitatea de electroni necesară. Avantajele tehnologiei implantării de ioni: (a) este posibil să se implanteze ioni în semiconductorul care are un strat subțire izolator pe suprafața sa; (b) localizarea ionilor implantați poate fi controlată ușor, realizîndu-se un strat de adîncimea dorită; (c) prin măsurarea curentului electric de compensare a sarcinii introduse este posibil să se regleze numărul de impurități introdus în timpul procesului de implantare; (d) nu este atît de sensibilă cu temperatura cum este tehnica difuziei. Dezavantajele implantării de ioni sînt legate de dificultatea producerii fluxurilor de energie înaltă și densitate suficientă pentru ca timpul de expunere să fie rezonabil. Aceste dezavantaje sînt esențiale și cele mai multe circuite integrate se prepară actualmente folosind tehnologia difuziei. Alt proces utilizat în fabricarea circuitelor integrate este depunerea de strate subțiri din material aflat în starea de vapori. În circuitele integrate cu strate subțiri toate elementele se realizează în acest fel, prin depunerea de strate subțiri de metale, semiconductoare și izolatoare. În circuitele integrate monolitice se depun sub formă de strate subțiri metalele pentru realizarea interconexiunilor între elemente de circuit precum și dielectricii pentru realizarea izolării între acestea. Depunerea de strate subțiri se poate face prin evaporare în vid (caz în care adesea apar în stratul subțire impurități ale materialului din care este confecționat evaporatorul), prin pulverizare în gaz inert (sputtering) etc. Un sistem de depunere prin pulverizare în gaz inert este reprezentat în figura 7.2. Unul din electrozi, catodul, este construit din materialul pe care dorim să-l depunem sub formă de strat subțire și în timpul depunerii se conectează la un potențial de 2—5 kV, negativ în raport cu anodul.

Pe anod se așază substratul pe care se face depunerea stratului subțire. Se face vid în incintă și prin intermediul unui robinet se introduce gazul inert (argon) pînă cînd se atinge o presiune de 0,02—0,05 torr sub clopot.

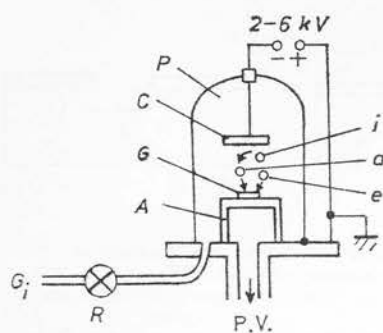


Fig. 7.2. — Sistemul de depunere în gaz inert: $p = 2 \cdot 10^{-2}$ torr, C = catod, S = substrat, A = anod, i = ion pozitiv de gaz, a = atom metalic (catod), e = electron (provenit de la atomul gazului ionizat), PV = pompa de vid, G_i — gaz inert, R — robinet.

Se aplică între electrozi o tensiune mare, atomii de argon se ionizează și ionii pozitivi sînt accelerați pînă la catod. Aceștia lovesc catodul, scot atomi din materialul catodic, care difuzează către anod prin spațiul dintre electrozi unde se depun pe substrat. Dacă în locul argonului se folosește oxigen, prin această metodă se pot depune straturi de oxid; ionii de oxigen formează oxid cu materialul catodic (cu atomii care sînt extrași din acesta). Oxizii se mai pot depune prin această metodă și în alt fel. Catodul este realizat din oxidul respectiv și se folosește argonul drept gaz inert. Însă în acest ultim caz nu este posibil să se folosească descărcarea la tensiune continuă deoarece se colectează pe catod o sarcină pozitivă care respinge la un moment dat ionii de argon. Se folosește tensiune de radiofrecvență care permite catodului să se descarce în una din semialternan-

te. Metoda de pulverizare în gaz inert reprezentată în figura 7.2 se numește metoda diodei. Există o metodă mai rafinată, în care substratul nu se găsește în direcția fluxului principal de descărcare. Aceasta este metoda tetrodei. Principiul de funcționare este asemănător cu cel descris mai sus. Formarea straturilor izolatoare prezintă mare importanță. În realizarea circuitelor integrate din siliciu există avantajul că bioxidul de siliciu este un foarte bun izolator. Bioxidul de siliciu se poate forma prin mai multe metode. O metodă este oxidarea termică, descrisă în capitolul 3. O altă metodă este oxidarea chimică. Aceasta constă în formarea unui strat subțire de SiO_2 pe suprafața unui cristal de siliciu introdus timp de un minut într-o soluție, încălzită, de acid azotic 10%. O altă metodă este oxidarea anodică a siliciului. Cristalul de siliciu se așază pe electrodul pozitiv (anodul), între anod și catod se aplică o tensiune de cîțiva kV, sistemul fiind introdus în apă deionizată. Disocierea moleculelor de apă duce la liberarea oxigenului care reacționează cu siliciu la anod, oxidînd suprafața acestuia. O altă metodă constă în oxidarea în descărcarea în plasmă. Siliciul se află la catod iar la anod se află semiconductorul pe care dorim să depunem SiO_2 . Cei doi electrozi sînt așezați într-o incintă la distanța de 10 cm. Oxidarea are loc în atmosferă de oxigen la presiunea de 10^{-2} mm Hg, diferența de potențial între cei doi electrozi fiind de 2kV. Atomii de siliciu, care se deplasează de la catod la anod se oxidează, pe drum, astfel că pe anod se depune un strat de SiO_2 .

Fabricarea unui circuit integrat necesită realizarea difuziei și depunerilor în regiuni mici selectate pe o plăcuță, de exemplu de siliciu. Pentru selectarea acestor regiuni se folosește fotolitografia și gravarea chimică. Coeficienții de difuzie ai diverselor impurități în SiO_2 au valori mult mai mici decît în siliciu. Procesul de realizare a difuziei selective decurge astfel. Se ia plăcuța de siliciu și se oxidează; stratul de oxid are grosimea de

1–2 μm . Peste stratul de SiO_2 se depune un strat subțire de fotorezist și plăcuța arată ca în figura 7.3 a. Regiunile unde dorim să difuzeze impuritățile se acoperă cu o mască (de exemplu, o plăcuță metalică) și se ilu-

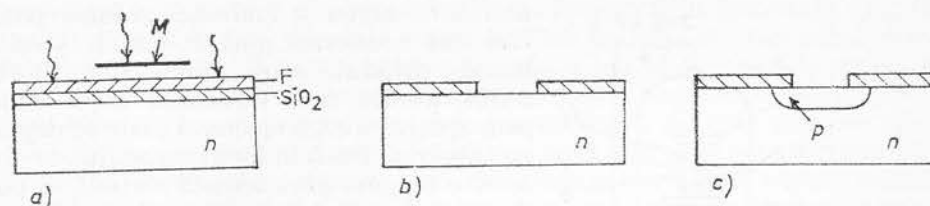


Fig. 7.3. — Treptele în procesul de difuzie selectivă folosind fotolitografia și gravarea chimică; M = masca.

minează suprafața plăcuței din partea de sus cu lumină ultravioletă. Masca se îndepărtează și se folosește un dezvoltant chimic care dizolvă fotorezistul neexpus la lumină, fotorezistul neexpus la lumină neputând fi atacat de acest solvent. Apoi se folosește un solvent pentru a îndepărta bioxidul de siliciu din regiunile neacoperite cu fotorezist. După aceea se aplică un alt agent chimic pentru a îndepărta fotorezistul expus la lumină, fără a ataca bioxidul de siliciu de sub el. În această etapă proba arată ca în figura 7.3 b. Urmează difuzia impurităților acceptoare în regiunea neacoperită cu bioxid de siliciu și se realizează regiunea p în plăcuța de tip n . Apoi se oxidează din nou întreaga suprafață a plăcuței și se trece la o nouă etapă în fabricarea circuitului. În mod similar se procedează la depunerea electrozilor metalici și interconexiunilor. În încheierea acestui paragraf ne oprim puțin asupra materialului fotorezist. Există mulți compuși organici a căror structură și solubilitate se schimbă după ce acestea au fost expuse la lumină, de exemplu, în domeniul ultraviolet. În general există două tipuri de fotorezist; ele diferă după răspunsul la lumină și după solubilitate. Materialul care devine insolubil după iluminare dă o replică negativă a măștii și se numește fotorezist negativ. Dimpotrivă fotorezistul pozitiv devine mai solubil după ce este expus la lumină și dă o imagine pozitivă a măștii. Se utilizează ambele tipuri de fotorezist, fiecare având avantaje și dezavantaje. În figura 7.4 se reprezintă rezultatul acțiunilor celor două tipuri de fotorezist. Fotorezist negativ este cel de tip Kodak. Soluția de fotorezist conține un polimer, un sensibilizator și un solvent. Polimerii au legături de carbon nesaturate care pot să fie completate în continuare, ceea ce conduce la formarea de molecule lungi sau ramificate. Această reacție poate fi stimulată de energia transferată de sensibilizatori. Intensitatea reacției și gradul de insolubilitate depind de expunerea la lumină a stratului de fotorezist. Polimerizarea rezistului cit timp nu este iluminat este neglijabil de slabă. Rezistul se păstrează timp îndelungat în sticle de culoare maron. Uneori, pentru stabilizarea soluției se adaugă cantități mici de compuși antioxidanți. Cel mai bun dintre produsele de fotorezist pozitiv este Az-1350 [1], pentru că se poate folosi pentru trasarea liniilor de gravură cele mai fine. Fotorezistul Az-340 are compoziția chimică similară, dar conține mai mult solid și se folosește pentru depunerea de strate mai groase necesare pentru gravare mai adâncă. Viscositatea scăzută a rezistului AZ-1350 [1] indică o greutate moleculară a rășinei, relativ mică (de aproximativ 1 000). Solubilitatea rășinei după evaporarea solventului

depinde foarte mult de grupele funcționale prezente în macromolecule. Aceste grupe sînt responsabile pentru insolubilitatea inițială a rășinei în developant, care este o soluție de hidroxid de sodiu. Cînd stratul de rezist

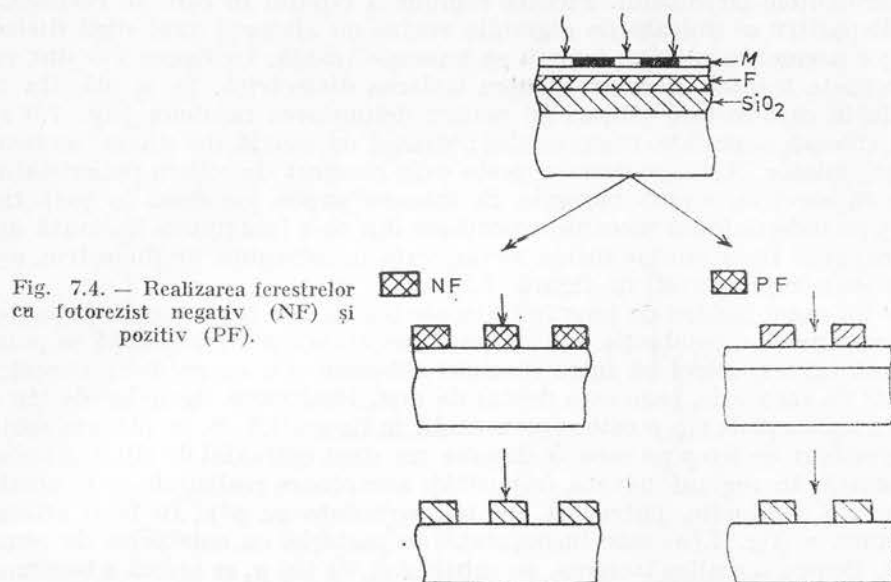


Fig. 7.4. — Realizarea ferestrelor cu fotorezist negativ (NF) și pozitiv (PF).

este iluminat sensibilizatorii transferă energia la grupurile funcționale (active) ale polimerului, care se modifică imediat și stratul de rezist devine solubil. Solubilitatea are loc în regiunea din imediata vecinătate a cromoforilor absorbânți ceea ce face ca fotorezistul pozitiv să aibă rezoluție bună chiar în cazul cînd este depus sub formă de strat gros. De exemplu, într-un strat gros de 6 μm pot fi dezvoltate linii de 5 μm lărgime. Îndepărtarea fotorezistului polimerizat este o problemă dificilă deoarece acești compuși sînt greu solubili. Gradul de dificultate depinde de natura stratului de fotorezist, de grosimea sa și de substratul pe care este depus. Tehnica îndepărtării fotorezistului se bazează pe folosirea hidrocarburilor clorate încălzite, care fac ca polimerul să capete cute în prezența acizilor și stratul de rezist să-și piardă aderența la substrat. Pentru descompunerea materialului organic se pot folosi agenți oxidanți, cum ar fi H_2SO_4 încălzit. Îndepărtarea fotorezistului se poate face și cu substanțe gazoase. Medii puternic reactive (ozon, radicali liberi, plasmă) pot descompune fotorezistul organic în CO_2 și H_2O . Procesul are loc la temperatura de 200°C și mediul de plasmă înconjurător poate crea sarcini la suprafață care micșorează performanțele circuitelor MOS [2]. Alte probleme importante sînt realizarea măștilor și gravarea.

7.2. Izolarea, interconectarea, pasivarea

A. Izolarea

Izolarea electrică a elementelor din circuitele integrate se poate realiza pe trei căi : (a) printr-un strat dielectric situat între regiunile active, (b) prin joncțiuni $p-n$ polarizate invers, (c) prin înlăturarea materialului

semiconductor al substratului (pe care este realizat circuitul integrat) dintre regiunile active și folosirea unui alt suport mecanic pentru circuit. Fiecare metodă are avantajele și dezavantajele ei în ceea ce privește tehnologia și performanțele circuitului. Fiecare regiune a cipului în care se realizează un dispozitiv se izolează de regiunile vecine cu ajutorul unui strat dielectric; o asemenea regiune izolată se numește insulă. În figura 7.5 sînt reprezentate treptele necesare pentru izolarea dielectrică. Se ia plăcuța de siliciu în care se taie șanțuri (s) pentru delimitarea insulelor (fig. 7.5 *b*). Se oxidează suprafața materialului; stratul de bioxid de siliciu servește drept izolator. Apoi, se depune peste oxid un strat de siliciu policristalin, care va servi ca suport mecanic. Se întoarce proba (cu susul în jos) (fig. 7.5 *e*), se îndepărtează mecanic o porțiune din Si- n (porțiunea hașurată din figură) și în final rămîne insula înconjurată în întregime de dielectric, așa cum este reprezentat în figura 7.5 *f*.

În cazul izolării cu joncțiuni fiecare insulă este înconjurată de material extrinsec cu conducție de tip opus. Joncțiunea p - n rezultantă se polarizează invers, astfel că între insulele adiacente nu curge decît curentul invers de saturație, care este destul de mic. Realizarea insulelor de tip n pe un substrat de tip p este reprezentată în figura 7.6. Se ia plăcuța semiconductoră de tip p pe care se depune un strat epitaxial de tip n . Apoi se difuzează, în regiuni înguste, impurități acceptoare realizîndu-se în aceste regiuni o conducție, puternică, de tip p (notate cu p^+). În felul acesta, regiunea n (fig. 7.6 *c*) este înconjurată de material cu conducție de semn opus. Pentru a realiza izolarea, pe substratul, de tip p , se aplică o tensiune negativă cît mai mare, însă sub valoarea limită pentru străpungerea joncțiunii. Calitatea izolării este limitată de caracteristicile joncțiunii p - n , polarizată invers. La frecvențe înalte capacitatea C_b a stratului de baraj reduce izolația, șuntînd rezistența, R_j , a joncțiunii. Aceasta se poate înțelege ușor dacă se reprezintă circuitul echivalent al joncțiunii care izolează două insule (fig. 7.7). Limitarea funcționării izolării cu joncțiuni la frecvențe înalte este un dezavantaj. De asemenea, un dezavantaj este și necesitatea alimentării cu tensiune a substratului. Izolarea dielectrică nu prezintă asemenea dezavantaje (ea funcționează la frecvențe mai înalte decît izolarea cu joncțiuni) însă procesul de realizare practică a izolării dielectrice este mai complicat. A treia metodă de izolare constă în următoarele. Se realizează elementele de circuit în regiunile respective din cip. Apoi cipul se răstoarnă așezîndu-se cu fața în sus pe un suport de sticlă sau de ceramică și se îndepărtează prin gravare porțiunile din substrat care separă elementele de circuit; rămîn insule, izolate între ele prin aer, ceea ce face ca acest mod de izolare electrică să aibă caracteristicile cele mai bune. Însă o astfel de izolare reduce rezistența mecanică a circuitului.

B. Interconectarea

Pentru interconectarea elementelor individuale ale circuitului se folosesc conductori metalici, de obicei din aluminiu. Aceștia se depun din stare de vapori, folosînd pentru alegerea regiunilor dorite tehnica mascării și gravării. O problemă delicată intervine la realizarea încrucișării a doi conductori, care nu trebuie să facă contact electric. Aceasta se poate realiza în două moduri. O cale este să se depună primul strat conductor, peste acesta se depune un strat izolator și apoi se depune al doilea strat conductor (fig. 7.8 *a*). Dificultatea care apare în acest caz este că depunerea stratului izolator necesită încălzirea sistemului la temperaturi înalte; aceste

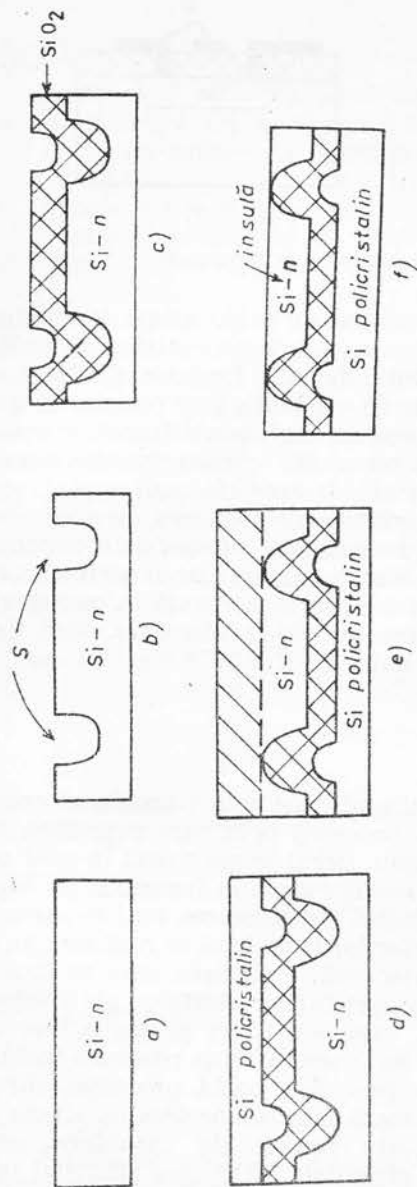


Fig. 7.5. — Etapele procesului de fabricare a insulelor izolate cu dielectric.

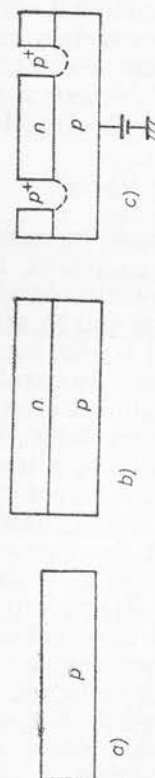


Fig. 7.6. — Etapele procesului de fabricare a insulelor izolate cu joncțiuni.

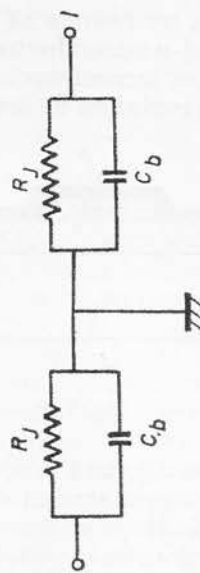


Fig. 7.7. — Circuitul echivalent al joncțiunii care izolează între ele două insule, I .

temperaturi nu trebuie să se afle deasupra temperaturii eutectice a sistemului metal-semiconductor. O altă metodă de izolare a conductorilor în locul unde se încrucișează constă în difuzia de impurități puțin adinci în substrat în regiunea de trecere (în fig. 7.8b se realizează o regiune de tip

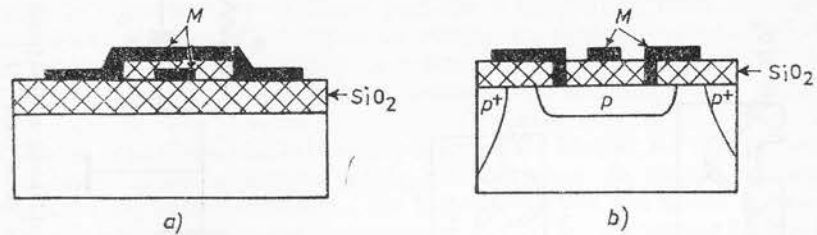


Fig. 7. 8. — Izolarea conductorilor la încrucișare.

p). Regiunea difuzată se acoperă cu un strat de oxid. O linie de conducție se completează prin stratul difuzat care constituie un rezistor. Cealaltă linie de conducție trece pe deasupra stratului de oxid. Rezistorul difuzat se proiectează conform cu necesitățile cerute de existența unui rezistor în circuitul respectiv, ori dacă acesta nu este necesar, regiunea difuzată se realizează cu rezistență foarte mică pentru a nu afecta caracteristicile circuitului. Izolarea la încrucișare conduce inevitabil la apariția unui cuplaj capacitiv între conductori. Acesta se poate reduce prin creșterea grosimii stratului izolator și prin micșorarea ariei la încrucișare, ultima cale conducând la creșterea rezistenței conductorului. Sînt cazuri în care o asemenea capacitate este necesară în circuit și atunci ea se proiectează la caracteristicile dorite. Pentru conductori se folosesc de obicei aluminiu, însă datorită temperaturii eutectice mici a sistemului Al-Si (577°C) se folosesc și alte materiale ca Cr-Ag, Mo-Au, Pt și Ti.

C. Pasivarea

Pasivarea suprafeței unui semiconductor este o problemă complexă. În chimie, pasivarea înseamnă procesul prin care suprafața se face inactivă la reacții chimice. De exemplu, fierul se pasivează în acid concentrat iar aluminiul în atmosferă. Procesul constă în formarea pe suprafața materialului a unui strat care împiedică desfășurarea mai departe a unei reacții chimice. În cazul semiconductorilor trebuie să se realizeze nu numai pasivarea chimică ci și pasivarea electrică. Pasivarea care se face inițial constă în controlul și stabilizarea proprietăților electrice ale semiconductorului. Urmează a doua pasivare, care constă în protecția sau stabilizarea mediului care a suferit prima pasivare. A doua pasivare include izolarea și protecția interconexiunilor precum și toată protecția chimică și mecanică. A doua pasivare se realizează prin acoperirea cu strate subțiri precum și prin procedeele aplicate inițial de închidere ermetică într-un container a cipului. Pentru circuitele MOS care sînt mai sensibile la sarcina de la suprafața oxidului, se recomandă depunerea unui strat dielectric protector peste stratul de SiO_2 și peste celelalte elemente ale circuitului [3]. Metoda cea mai obișnuită este acoperirea circuitelor integrate cu SiO_2 pulverizat și a componentelor discrete, cu sticlă topită. Se mai folosesc de asemenea, sticle silicați care conțin fosfor, aluminiu, plumb, nitrură de siliciu.

7.3. Circuite integrate, monolitice din siliciu

Circuitul integrat monolitic din siliciu este circuitul în care toate elementele sînt fabricate pe aceeași plăcuță de siliciu (cip) în insule izolate electric. Vom descrie pe rînd fabricarea diverselor elemente de circuit.

A. Tranzistoarele

Tranzistoarele MOS cu efect de cîmp, în formă integrată, arată în secțiune ca în figura 7.9. În figura 7.9a este reprezentat tranzistorul MOS cu canal indus cu izolare cu joncțiuni, iar în figura 7.9b este reprezentat tranzistorul MOS cu canal inițial. În figura 7.10a este reprezentat tranzistorul bipolar $n-p-n$ integrat, cu izolare cu joncțiuni, iar în figura 7.10b este reprezentat tranzistorul cu efect de cîmp cu joncțiuni. Tranzistorul $n-p-n$ din figura 7.10a se fabrică astfel. Se ia ca substrat siliciu de tip p și în acesta se difuzează un strat de tip n puternic dopat (n^+). Se crește apoi un strat epitaxial de tip n astfel că stratul n^+ rămîne îngropat (ascuns). Stratul n^+ servește la creșterea conductivității de volum a cipului. Se difuzează în stratul epitaxial impurități acceptoare, pentru realizarea stratului de tip p al bazei. Difuzia se face dintr-o sursă limitată. Se difuzează apoi regiunea n^+ puternic dopată, a emitorului, regiunile n^+ pentru comunicația cu colectorul și regiunile p^+ de izolare a insulei. Se crește în final un strat de oxid, se gravează selectiv și se atașează contactele de aluminiu pentru emitor, colector și bază. Dimensiunile tipice sînt următoarele: grosimea substratului = 200 μm , grosimea stratului epitaxial = 10 μm , grosimea bazei = 1 μm iar aria suprafeței insulei care conține un tranzistor bipolar este de 0,02 mm². În tranzistorul bipolar în formă integrată mișcarea purtătorilor de sarcină este bidimensională. Tranzistorul unipolar cu joncțiuni [4] reprezentat în figura 7.10b se numește dublu difuzat, cu canal de tip n , deoarece se prepară prin două difuzii într-un substrat semiconductor

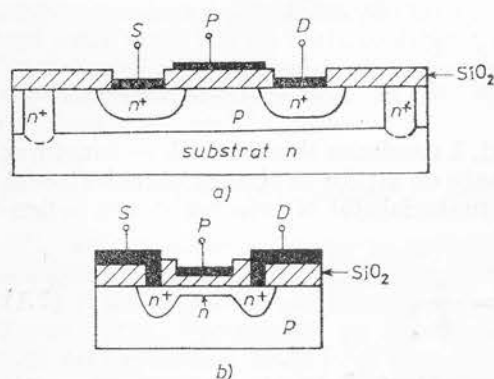


Fig. 7.9. — Tranzistorul MOS cu efect de cîmp în formă integrată: a — cu canal indus; b — cu canal inițial.

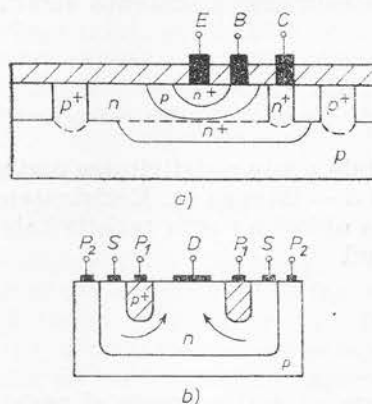


Fig. 7.10. — Tranzistorul cu joncțiuni, în formă integrată: (a) tranzistorul bipolar ($n-p-n$); (b) tranzistorul cu efect de cîmp.

de tip p și are un canal de tip n între contactele sursă și drenă. Sînt indicate cu săgeți sensurile de curgere a purtătorilor majoritari de la sursă la drenă pe sub poarta P_1 , care este o regiune p^+ difuzată. Substratul, de tip

p , acționează și el ca o poartă secundară (P_2). Joncțiunea substratului cu regiune n poate servi pentru izolare. La proiectare, trebuie avut în vedere ca regiune difuzată a porții să înconjoare complet suprafața regiunii sursă sau a regiunii drenă pentru ca curgerea curentului electric să fie controlată total de către poartă. Fabricarea circuitelor bipolare este mai complicată decât a circuitelor MOS unde sînt necesare mai puține trepte tehnologice. În plus, tranzistoarele MOS ocupă o suprafață mai mică și deci au densitate mare de împachetare.

B. Diodele

În circuitele integrate izolate cu joncțiuni diodele se realizează prin folosirea joncțiunii emitor-bază sau colector-bază, ale unui tranzistor cu joncțiuni; prin urmare, în cazul izolării cu joncțiuni, fabricarea diodelor înseamnă de fapt fabricarea tranzistorilor. Există mai multe posibilități de realizare a conexiunilor pentru a obține dintr-un tranzistor o diodă. Cinci asemenea posibilități sînt reprezentate în figura 7.11. Dacă se face izolarea cu dielectric dioda se poate fabrica ca o simplă joncțiune $p-n$. Un exemplu este reprezentat în figura 7.12. O asemenea structură simplă nu poate fi adaptată la circuitele integrate izolate cu joncțiuni, din două motive. Întîi, dacă substratul și regiunea care înconjoară insula sînt de tip p aceasta trebuie polarizată negativ față de regiune n a diodei, pentru a menține izolarea. Această polarizare poate să nu fie compatibilă cu polarizarea necesară în circuit a regiunii n a diodei. Al doilea motiv este că poate avea loc efectul de tranzistor între dioda polarizată direct și joncțiunea substratului polarizată invers.

C. Rezistorii

Cea mai simplă formă a unei rezistențe (rezistor) este un strat difuzat cu contacte la capete, figura 7.13. Izolarea se face cu joncțiuni polarizate invers. Rezistența stratului este dată de expresia

$$R = \frac{\rho}{h} \frac{L}{d},$$

unde ρ este rezistivitatea materialului, h grosimea stratului, L — lungimea și d — lățimea sa. Rezistențele realizate cu strate subțiri se caracterizează de obicei nu prin rezistivitatea ρ a materialului ci prin rezistența peliculară

$$R_s = \frac{\rho}{h}, \quad (7.1)$$

care se mai numește și rezistență pe pătrat. Într-adevăr, se poate scrie $R = R_s(L/d)$ și pentru $L = d$, adică atunci cînd suprafața rezistenței este un pătrat, rezultă $R = R_s$. Rezistența unui strat subțire de formă pătrată este determinată de rezistivitatea și grosimea peliculei, indiferent de mărimea suprafeței acesteia. Rezistența peliculară, R_s , care are dimensiunile Ω este uzual exprimată în Ω/\square (ohmi pe pătrat). O geometrie mai deosebită a unui rezistor difuzat este reprezentată în figura 7.13c. Pentru mărirea rezistenței rezistorului trebuie să se mărească lungimea sa ceea ce ocupă

o arie mai mare din suprafața cipului. Rezistențele difuzate au valori cuprinse între $50\ \Omega$ și $50\ \text{k}\Omega$. Eroarea în valorile realizate ale acestor rezistențe este de 20%, în funcție de controlul procesului de mascare și difuzie.

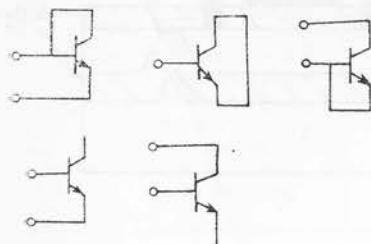


Fig. 7.11. — Moduri de obținere a unei diode dintr-un tranzistor.

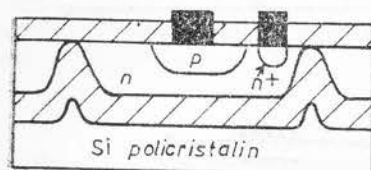


Fig. 7.12. — Dioda, izolată dielectric, într-un circuit integrat monolitic.

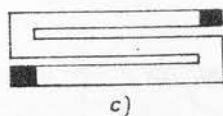
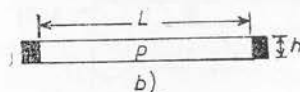
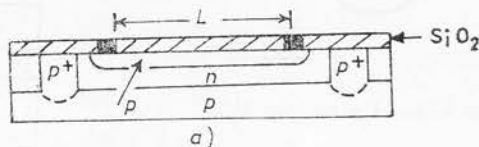


Fig. 7.13. — Rezistor din siliciu, difuzat.

Rezistențe mult mai mari și care să ocupe o arie mai mică pe cip se obțin folosind canalul indus al unui MOSFET care are dreană scurtcircuitată cu poarta (fig. 7.14). Valoarea dorită a rezistenței între sursă și drenă se obține prin variația lărgimii canalului de conducție. Un rezistor MOS are rezistența peliculară echivalentă ($20\ \text{k}\Omega/\square$) cu aproape două ordine de mărime mai mare decât a unui rezistor difuzat care ocupă aceeași arie a suprafeței. Dacă dorim să avem rezistențe mai mari de $50\ \text{k}\Omega$ utilizăm rezistențe MOS. Dezavantajul acestora este că nu sînt liniare pe un domeniu mare de tensiune.

D. Capacitorii și inductorii. Rețele cu constante distribuite

În circuitele integrate se utilizează capacitorii MOS sau joncțiunile $p-n$ polarizate invers. Un capacitor MOS integrat este reprezentat în figura 7.15a și un capacitor joncțiune $p-n$ polarizată invers este reprezentat în figura 7.15b. Capacitorii cu joncțiune $p-n$ au următoarele dezavantaje față de capacitorii MOS: (a) necesită tensiune de polarizare, (b) capacitatea este neliniară, (c) prezintă rezistență de scurgere. Inductorii cu valori ale inductanței mai mari de câțiva microhenri nu pot fi integrați practic într-un circuit monolitic integrat din siliciu. În acest caz se conectează din exterior inductori discreți. Astfel, în circuitul integrat se folosesc rețele active care simulează inductorul în domeniul de frecvențe dorit. Un circuit cu constante distribuite în formă integrată este reprezentat în figura 7.16. Sînt reprezentate, de asemenea, circuitul echivalent și simbolul circuitului.

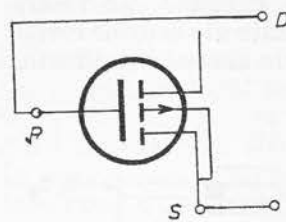
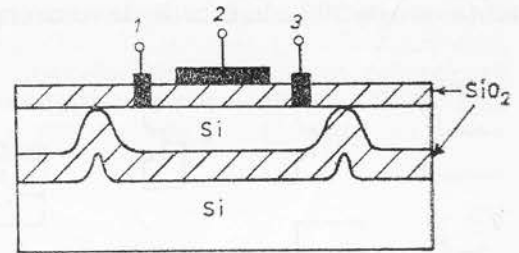
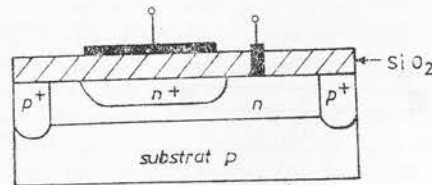


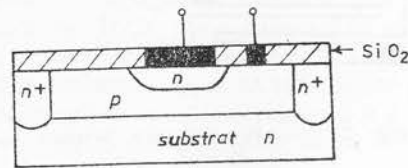
Fig. 7.14. — Un rezistor MOS.



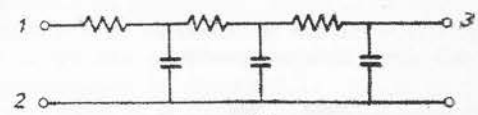
a)



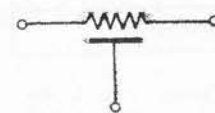
a)



b)



b)



c)

Fig. 7.15. — Capacitori integrați: a — MOS; b — jonctiune p-n polarizată invers.

Fig. 7.16. — Circuit RC cu constante distribuite: a — structura; b — circuitul echivalent; c — simbolul electric.

7.4. Circuite integrate cu strate subțiri

Toate elementele circuitului, pasive și active, sînt realizate din strate subțiri depuse pe un substrat izolator cum ar fi sticla sau ceramica.

A. Rezistorii cu strate subțiri

Se realizează prin depunerea pe suprafața substratului de strate subțiri rezistive. După cum s-a arătat în paragraful anterior, rezistența rezistorului depus sub formă de bandă este

$$R = R_s \cdot a,$$

unde R_s este rezistența peliculară, iar $a = (L/d)$ este raportul de formă. Pentru a mări valoarea rezistenței pentru un R_s dat trebuie să se mărească raportul de formă, a , ceea ce înseamnă creșterea lungimii rezistorului. Pentru rezistori cu valoare foarte mare este necesar să se utilizeze materiale cu rezistența peliculară mare. În tabela 7.1 sînt reprezentate caracteristicile citorva materiale care se utilizează.

Tabela 7.1

Materiale rezistive utilizate sub formă de strate subțiri

Materialul	$R_s, \Omega/\square$	γ	$\eta, \%$
Nicrom	10—400	—100 la +100	5
Oxid de staniu	25—1000	—500 la +500	15
Nitrură de tantal	50—500	—100 la +100	10
Siliciură de tantal și crom (cermet)	100—20000	—300 la +300	20

Valoarea rezistenței R_s se modifică prin modificarea grosimii stratului. În tabelă sînt date domeniile de variație a R_s . Este prezentată toleranța, η , la depunere precum și coeficientul, γ , de temperatură în părți pe milion pe grad Celsius. Rezistivitatea ρ a stratului subțire ascultă de legea lui Mathiessen

$$\rho = \rho(T) + \rho(i) + \rho(g),$$

unde $\rho(T)$ este partea dependentă de temperatură din rezistivitate, $\rho(i)$, — partea independentă de temperatură și $\rho(g)$ — partea dependentă de geometria rezistenței. Trebuie observat că deși toleranța η la depunere este mare ea poate fi ajustată după aceea prin decuparea de porțiuni din stratul depus. Disiparea de putere a rezistoarelor cu strate subțiri este de 2—3 W/cm². În scopul stabilizării în timp a rezistoarelor cu strate subțiri, stratul depus se încălzește un timp; prin oxidarea suprafeței sale se formează un strat de oxid protector. În figura 7.17 se prezintă o nomogramă din care se poate estima valorile lui R , R_s și a [5].

B. Capacitorii cu strate subțiri

Se realizează prin depunerea succesivă de strate subțiri metal-dielectric-metal. În tabela 7.2 sînt prezentați dielectricii care se utilizează. Capacitatea este dată pe mm² pentru o grosime a dielectricului de 1 000 Å; γ este coeficientul de temperatură exprimat în părți pe milion și pe °C. În afară de oxizi se folosesc și anumiți polimeri organici. Grosimea stratului de dielectric este limitată de străpungerea în avalanșă. De asemenea, din cauza efectului tunel nu se pot folosi grosimi mai mici de 200 Å.

Tabela 7.2

Caracteristicile unor substanțe dielectrice

Materialul	Constanta dielectrică	γ	C, pF
SiO	6	+150—250	531
SiO ₂	4	+200	354
Al ₂ O ₃	9	+300	790
HfO ₂	40—80	+125	3 500—7 000
Ta ₂ O ₅	20—25	+150—300	1 770—2 212

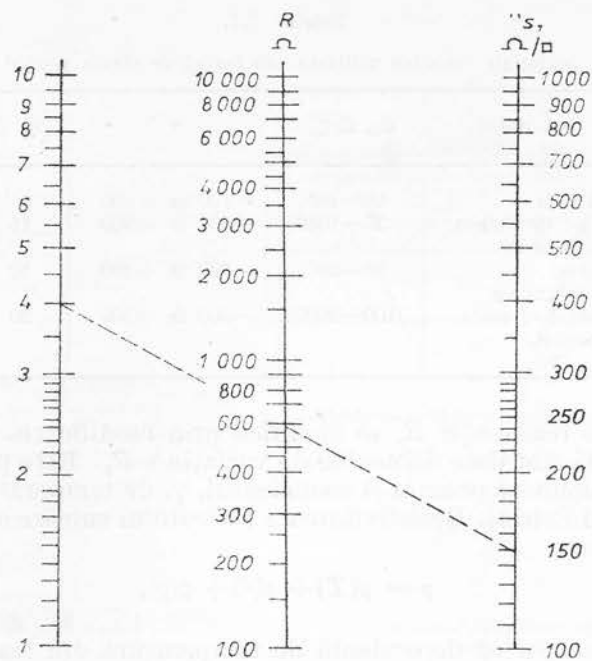


Fig. 7.17. — Nomograma pentru rezistorii cu strate subțiri.

C. Tranzistoarele cu strate subțiri

Tranzistorul cu strate subțiri este un tranzistor cu efect de cîmp cu poartă izolatoare în care semiconductorul (extrinsec) este depus sub formă de strat subțire. Ca poartă izolatoare se utilizează cel mai mult SiO_2 iar ca semiconductor, sulfura de cadmiu. Două configurații posibile sînt reprezentate în figura 7.18. Contactele pentru sursă, poartă și drenă se fac din aur, cupru sau aluminiu. Grosimile stratelor depuse sînt cuprinse între 0,1 și 0,2 μm , iar lungimea dispozitivului este cuprinsă în domeniul 5–10 μm . Tranzistoarele cu strate subțiri se pot proiecta cu canal inițial sau cu canal îndus.

7.5. Circuite integrate cu strate groase

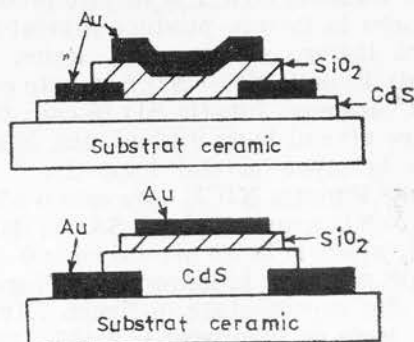
Stratele cu grosime mai mare de 10 μm se numesc în general strate groase. Limita grosimii lor superioară este 50 μm . Avînd în vedere că în unele aplicații nu este nevoie de strate subțiri, se folosesc circuite cu strate groase. Experimental circuitele cu strate groase se realizează mult mai simplu (economic) decît circuitele cu strate subțiri. De exemplu, materialele conductoare, semiconductoare și dielectrice se prepară sub formă de pudră (pastă) care se aplică pe suport.

7.6. Circuite hibride

Un circuit hibrid este o combinație dintre un circuit integrat monolitic și unele elemente discrete, ori elemente cu strate subțiri sau groase. Se realizează asemenea circuite în scopul folosirii celor mai bune caracteris-

tici ale componentelor. Se cunoaște, de exemplu că inductorii și capacitorii de valoare mare nu sînt practici în formă integrată și se atașează circuitului integrat ca elemente discrete. Un circuit hibrid se realizează de

Fig. 7.18. — Tranzistoare cu strate subțiri.



asemenea dintr-un circuit integrat monolitic cu un circuit integrat cu strate subțiri sau dintr-un circuit integrat cu strate subțiri și un circuit integrat cu strate groase. De exemplu, un amplificator care funcționează la 60MHz este constituit dintr-un circuit integrat monolitic din siliciu care conține toate elementele active iar rezistorii și capacitorii sînt realizați din strate subțiri. Ca rezistori se folosesc strate subțiri de nicrom cu $R_s = 300 \Omega/\square$. Nu se folosesc rezistori difuzați deoarece introduc capacități parazite. Capacitorii se folosesc sub formă de strate subțiri din motive de liniaritate și absența rezistenței de scurgere care este caracteristică capacitorilor difuzați (cu joncțiune *p-n* polarizată invers).

7.7. Aplicații

Circuitele integrate au devenit de multă vreme baza electronicii și au pătruns pretutindeni în viața modernă, complexă. În acest paragraf vom expune cîteva exemple de circuite integrate numerice și liniare [6, 7]. Circuitul integrat numeric este conceput pentru a prelucra informația numerică. Circuitul logic numeric funcționează după anumite reguli, denumite reguli logice. De exemplu, dacă circuitul are trei intrări și se obține o tensiune la ieșire numai dacă cele trei intrări sînt la același nivel de tensiune, circuitul se numește circuit logic ȘI. Circuitul logic binar este capabil să distingă numai între două nivele de tensiune specifice (de exemplu, una corespunzătoare stării de conducție și alta corespunzătoare stării de blocare): aceste nivele logice se notează cu „0” și „1”. Un circuit logic se mai numește și circuit poartă deoarece el ori lasă să treacă un semnal logic, ori îl blochează. Poarta logică binară este circuitul logic care are două sau mai multe intrări și o singură ieșire, fiecare din semnalele de intrare și semnalul de ieșire aflîndu-se în unul din cele două nivele logice posibile. Funcțiile logice folosite frecvent sînt următoarele:

a) Funcția ȘI (AND) în care toate intrările se află la nivelul logic 1 pentru a produce la ieșire un nivel logic 1 (dacă una din intrări se află la nivel logic zero, ieșirea se află la nivel logic 0).

b) Funcția SAU (OR) în care un nivel logic 1 la oricare din intrări produce un nivel logic 1 la ieșire (dacă toate intrările se află la nivel logic 0 produc la ieșire nivel logic 0).

c) Funcția NU (NOT), numită funcție de negație sau de inversie, în care un nivel logic 1 la intrare produce nivelul logic 0 la ieșire și nivelul logic zero la intrare produce nivelul logic 1 la ieșire; poarta NOT are o singură intrare și o singură ieșire.

d) Funcția ȘI — NU care este combinarea funcțiilor ȘI și NU (funcția NU urmează funcția ȘI) în care toate intrările la nivel logic 1 produc la ieșire nivelul logic 0 (dacă una din intrări se află la nivelul logic 0, se obține la ieșire nivelul logic 1).

e) Funcția NICI, care este o combinație între funcția SAU și funcția NU (NU urmează după SAU); dacă una din intrări se află la nivelul logic 1, apare la ieșire nivelul logic 0 (dacă toate intrările se află la nivelul logic 0, apare la ieșire nivelul logic 1). Simbolurile grafice ale porților logice sînt reprezentate în figura 7.19. În figura 7.20 este reprezentat un circuit logic cu tranzistor și diodă, DTL. Este un circuit ȘI-NU. Deciziile logice se iau cu ajutorul unui grup de diode de intrare, D_1, D_2, D_3 ; ieșirea diodelor alimentează un etaj inversor cu tranzistor, stabilind la ieșire nivelele de tensiune 1 logic și 0 logic. Nivelul de tensiune 1 logic este pozitiv în raport cu masa iar nivelul 0 logic este aproximativ la potențialul mesei. Presupunem că una din diodele de la intrare, fie aceasta D_2 , se află la nivelul logic 0. În acest caz dioda este polarizată direct și șuntează rezistența R_1 (fig. 7.20b). Pentru a fi siguri că curentul alege calea prin D_1 în continuarea emitorului tranzistorului T_1 se introduce o diodă D , care este totdeauna polarizată pozitiv. Deoarece la intrarea tranzistorului T_1 se află de fapt două diode în serie, dioda D și dioda sa emitor-bază, curentul va alege calea prin dioda D_2 cînd aceasta este polarizată pozitiv. (Notăm că aceasta se întîmplă deoarece potențialul punctului A care a polarizat direct dioda D_2 nu este suficient de mare pentru a deschide cele două diode serie ale intrării tranzistorului T_1). În această situație tranzistorul T_1 este blocat și nu curge niciun curent prin baza tranzistorului T_2 . Prin urmare, tensiunea de ieșire a tranzistorului T_2 crește pînă la valoarea pozitivă V_0 care este nivelul 1 logic. În figura 7.20c se reprezintă situația cînd toate intrările se află la nivelul 1 logic adică diodele de intrare sînt polarizate invers, ceea ce va

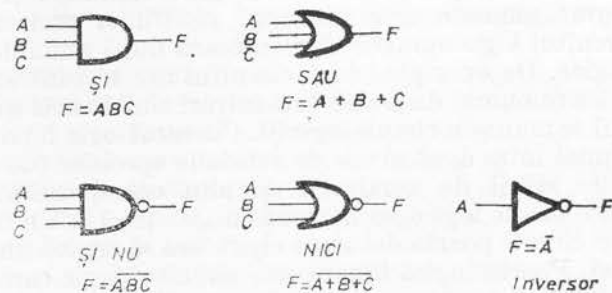


Fig. 7.19. — Simbolurile grafice ale porților logice.

determina curgerea curentului I prin baza tranzistorului T_1 . Tensiunea de ieșire scade la valoarea $V_0 - I_c R_s$, unde I_c este curentul care curge prin tranzistorul T_2 cînd acesta se află în starea de conducție. Se stabilește

astfel nivelul 0 logic la ieșire. Această comportare corespunde funcției ȘI-NU : toate intrările sînt la nivelul 1 logic și determină la ieșire nivelul 0 logic. Circuitul DTL se folosește în comutatorii de viteză medie,

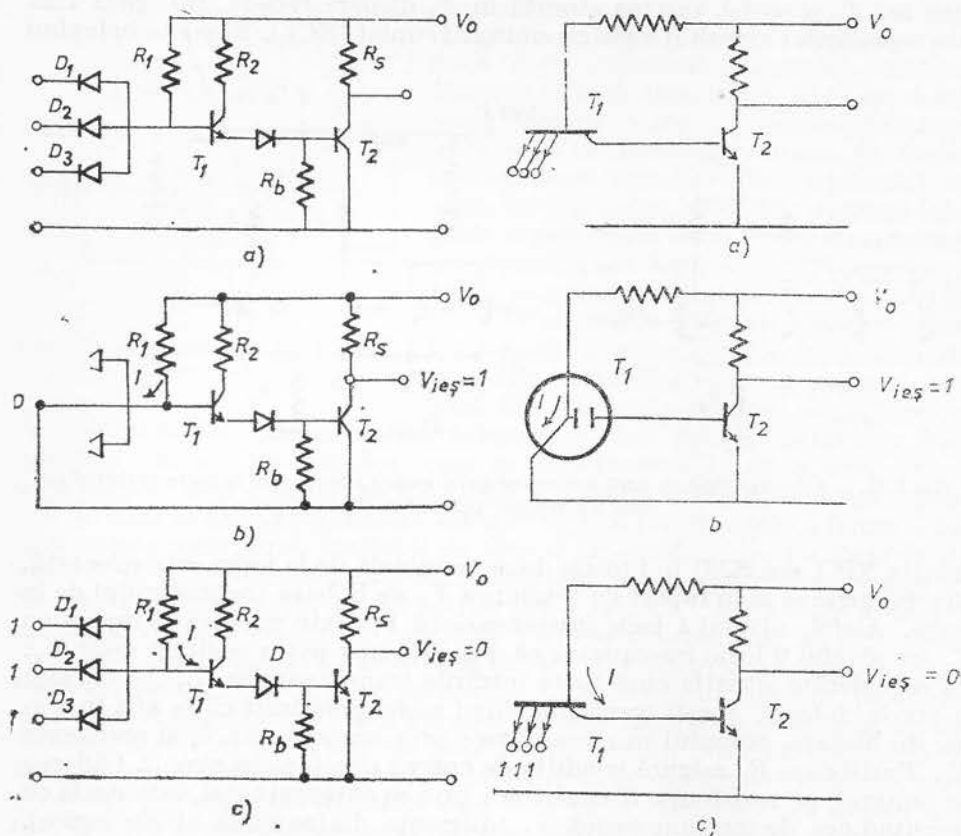


Fig. 7.20. — Circuitul logic DTL (a), în cazul cînd una din intrări se află la nivelul zero logic (b) și în starea cînd toate intrările se află la nivelul unu logic (c).

Fig. 7.21. — Circuit logic TTL (a), cînd una din intrări se află la nivelul zero logic (b) și cînd toate intrările se află la nivelul unu logic (c).

lucrează la semnal mare și are nivel mic de zgomot. În figura 7.21 se reprezintă circuitul tranzistor-tranzistor logic, TTL. În locul diodelor de intrare folosește un tranzistor cu emitor multiplu; joncțiunea bază-colector a tranzistorului servește drept diodă serie. În condiții staționare, adică atunci cînd nivelele de intrare și de ieșire sînt constante, joncțiunea bază-colector a lui T_1 este totdeauna polarizată direct. Dacă una din intrări se află la nivelul 0 logic, curentul trece prin emitorul respectiv și tensiunea pe baza lui T_1 fiind mică nu va trece curent prin T_2 care în acest fel rămîne blocat (fig. 7.21b). În consecință tensiunea de ieșire pe T_2 crește la valoarea V_o , adică la nivelul 1 logic. Dacă toate intrările sînt aduse la nivelul 1 logic, adică joncțiunile de intrare sînt polarizate invers, potențialul pe baza lui T_1 crește permițînd trecerea curentului prin joncțiunea sa bază-colector care este polarizată direct și prin baza lui T_2 care în acest fel comută în starea de conducție. Ieșirea scade la nivelul 0 logic (fig. 7.21c).

Circuitul TTL este mai rapid decât circuitul DTL. Aceasta se întâmplă deoarece în timpul perioadei de trecere în starea de blocare, joncțiunea bază-colector a lui T_1 devine invers polarizată și tranzistorul T_1 funcționează ca un tranzistor în starea de conducție normală, extrăgând sarcină din baza lui T_2 și astfel, sarcina stocată în T_2 dispare repede. În figura 7.22 este reprezentat circuitul logic cu emitorul cuplat (ECL). El poate îndeplini

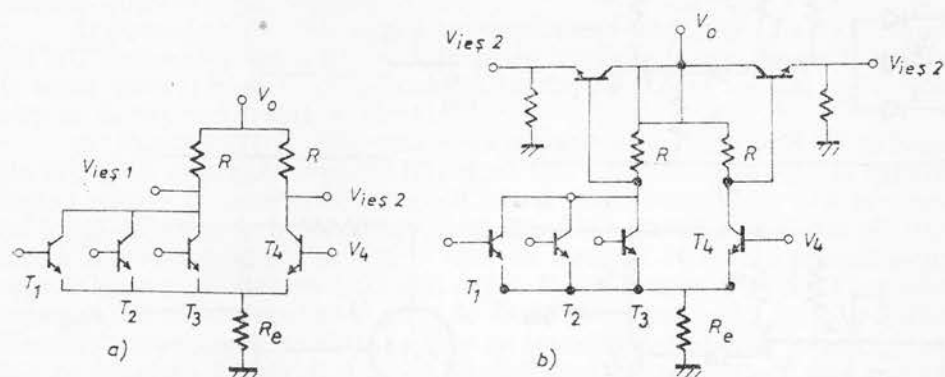


Fig. 7.22. — Circuitul logic cu emitorul cuplat (a) și același circuit cind la ieșire se introduce cîte un repetor pe emitor (b).

funcția NICI sau SAU în funcție de ce terminală de la ieșire este selectată. Nivelul logic se ia în raport cu tensiunea V_0 de la baza tranzistorului de la ieșire. Astfel, nivelul 1 logic înseamnă că V_{ies} este pozitivă în raport cu V_0 iar nivelul 0 logic înseamnă că V_{ies} este mai puțin pozitivă decât V_0 . Să considerăm situația cînd toate intrările tranzistoarelor T_1, T_2, T_3 sînt la nivelul 0 logic. Acești tranzistori fiind astfel polarizați că se află în starea de blocare, curentul în circuit trece prin tranzistorul T_4 și rezistența R_e . Rezistența R_e asigură condiția de curent constant în circuit. Căderea de tensiune pe rezistența R cînd trece prin ea curentul total, este egală cu amplitudinea de tensiune logică V_L (diferența dintre două nivele logice). În condițiile date tensiunea de ieșire pe colectorul lui T_4 va fi $V_0 - V_L$. Tensiunea de ieșire la cealaltă terminală este V_0 . Notăm nivelul de tensiune 1 logic cu $V(1)$ și nivelul de tensiune 0 logic cu $V(0)$; tensiunea de ieșire pe T_4 este $(V_0 - V(1)) + V(0)$, adică V_L s-a înlocuit cu $V(1) - V(0)$. Tensiunea de ieșire V_0 la cealaltă terminală de ieșire se scrie $(V_0 - V(1)) + V(1)$. Să considerăm acum că o intrare a unuia din tranzistorii T_1, T_2, T_3 devine 1 logic, crește curentul prin tranzistorul corespunzător, șuntînd tranzistorul T_4 . Aceasta face ca să se schimbe între ele valorile nivelelor tensiunii de ieșire la cele două terminale de la ieșire. Ieșirea pe T_4 (V_{ies2}) dă funcția SAU iar ieșirea pe nodul comun dă funcția NICI (V_{ies1}). În cazul montajului din figura 7.22a nivelele sînt deplasate cu $(V_0 - V(1))$. Circuitul cu emitor cuplat are cea mai mare viteză de comutare dintre circuitele prezentate; timpul de comutare este 1–2ns. Am prezentat pînă aici circuite cu tranzistoare cu joncțiuni. În figura 7.23 se reprezintă un circuit logic MOS care îndeplinește funcția NICI. Cînd toate intrările sînt la nivelul 0 logic, adică nu se aplică tensiune pe porțile tranzistoarelor T_1, T_2, T_3 , se obține la ieșire nivelul 1 logic. Cînd o intrare se află la nivelul 1 logic, adică prin aplicarea unei tensiuni pe poartă tranzistorul corespunzător este adus în starea de conducție, tensiunea de la ieșire scade

la nivelul 0 logic. Notăm că tranzistorul T_4 îndeplinește funcția de rezistor de sarcină și circuitul NICI poate fi considerat ca fiind constituit din trei inversoare MOS aflate în paralel, cu rezistența de sarcină comună. Dacă

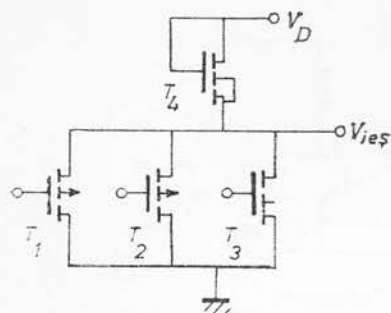


Fig. 7.23. — Circuit logic NICI cu tranzistoare MOS.

canalul este de tip p , tensiunea V_D este negativă în raport cu pământul. Circuitele integrate MOS au viteză de comutare mai mică decât circuitele integrate bipolare. Motivul este că structurile MOS au rezistență internă mare și transconductanță mică ceea ce limitează viteza de încărcare și descărcare a unei capacități de către un tranzistor MOS. În circuitele integrate logice există două nivele de tensiune, corespunzătoare lui 0 logic și, respectiv, 1 logic, care sînt aceleași în circuitul dat [4].

În circuitele integrate liniare semnalele constă de obicei din tensiuni continue variabile. Amplificatorul operațional este unul din circuitele cel mai mult folosite.

A fost denumit inițial astfel deoarece a fost folosit pentru a face anumite operații matematice, cum ar fi adunarea și integrarea. Baza unui amplificator operațional o constituie amplificatorul diferențial. Circuitul de bază al unui amplificator diferențial este reprezentat în figura 7.24. Elementele celor două jumătăți de circuit (tranzistoarele, rezistențele de sarcină R_e și rezistențele, R_b , de polarizare) sînt astfel realizate încît să fie identice. Rezistența, R_e , de emitor are o valoare mare pentru a realiza în circuit regimul de curent constant. Valorile rezistențelor R_b sînt astfel alese încît în absența semnalului de la intrare curenții prin cele două tranzistoare sînt egali; sînt egale, de asemenea, și tensiunile de colector. Se spune că circuitul este echilibrat. O variație a temperaturii sau tensiunii de alimentare afectează la fel ambele jumătăți de circuit, astfel că semnalele de ieșire rămîn nealterate și egale. Menționăm că în circuitele integrate, spre deosebire de circuitele discrete, este ușor să se mențină toți tranzistorii (din circuit) la aceeași temperatură, deoarece ei pot fi așezați pe cip foarte aproape unul de altul. Dacă se aplică la intrare un semnal pozitiv, crește curentul prin T_1 și, deoarece curentul total prin cele două tranzistoare se păstrează constant (de către R_e), curentul prin T_2 scade cu aceeași valoare cu care a crescut prin T_1 . Apar tensiuni de ieșire între cele două colectoare

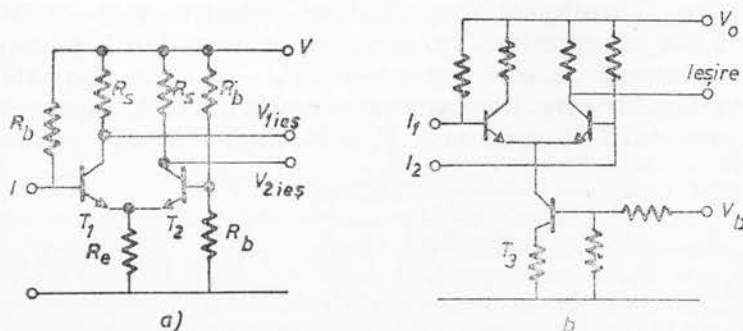


Fig. 7.24. — Amplificatoare diferențiale; I = intrare.

și între fiecare colector și masă. În circuitele integrate, rezistorul R_c se înlocuiește cu un tranzistor T_3 astfel polarizat încît să funcționeze pe porțiunea plată a caracteristicilor de colector (fig. 7.24b) pentru a obține regimul

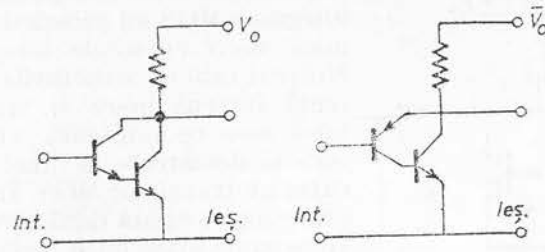


Fig. 7.25. — Circuit Darlington.

de curent constant ; aceasta este o soluție mai ieftină în circuitele integrate în comparație cu realizarea unei rezistențe mari. În practică, un amplificator complex constă dintr-un număr de etaje diferențiale cu sursele lor de curent constant, în unele cazuri incluzînd perechea de tranzistori numită circuit Darlington. Circuite Darlington sînt reprezentate în figura 7.25. Caracteristicile principale ale unui circuit Darlington sînt valorile mari ale impedanței de intrare și amplificării de curent și valoarea foarte mică a rezistenței de ieșire cînd este folosit ca un circuit cu repetor pe emitor. Amplificatorul diferențial din figura 7.24b are două intrări (I_1 și I_2) și o singură ieșire. Dacă se aplică un semnal pozitiv pe intrarea I_1 , crește curentul prin T_1 și scade curentul prin T_2 , iar la ieșire se obține un semnal (tensiune) pozitiv. Intrarea I_1 se numește intrare neinversoare. Dacă se aplică un semnal pozitiv la intrarea I_2 , crește curentul prin tranzistorul T_2 și scade tensiunea la ieșire. Intrarea I_2 se numește intrare inversoare, deoarece un semnal aplicat la intrare se obține la ieșire cu sens inversat. Amplificatoarele operaționale cu etaj diferențial la intrare, au două intrări cu terminale separate ; intrarea neinversoare se notează cu semnul (+) iar intrarea inversoare se notează cu semnul (-). Amplificatorul operațional produce o amplificare mare a semnalului ; el funcționează cu reacție negativă. Avînd coeficientul de amplificare mare, caracteristicile întregului sistem sînt determinate numai de circuitul de reacție. O valoare precisă pentru amplificarea se obține prin reacția rezistivă simplă. Folosind rețele de reacție rezistiv-capacitive se realizează amplificatoare selective față de frecvență. În figura 7.26a se reprezintă un amplificator operațional inversor. Dacă amplificarea internă, A , este foarte mare, $V_i = V_o/A$ și V_i poate fi presupus virtual egal cu zero. Presupunînd că rezistența de intrare are valoarea ei ideală, curentul I va curge prin R_1 și R_2 . Luînd $V_i = 0$ se observă că

$$\frac{V_1}{R_1} = - \frac{V_o}{R_2}, \quad (7.2)$$

de unde

$$A_v = \frac{V_o}{V_1} = - \frac{R_2}{R_1},$$

unde A_v este amplificarea externă de tensiune a circuitului din figura 7.26a. În figura 7.26b este reprezentat un circuit operațional neinvertor. Amplificarea de tensiune este dată de expresia

$$A_v = \frac{R_1 + R_2}{R_1}.$$

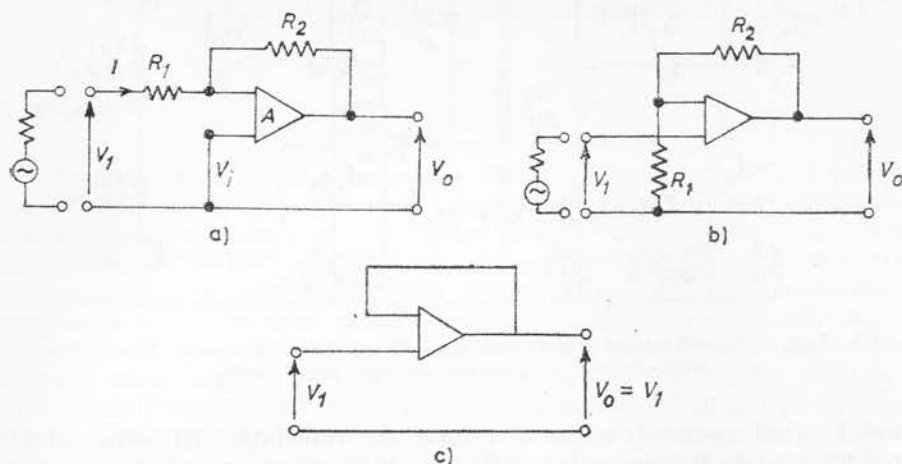


Fig. 7.26. — Amplificatorul operațional inversor (a), neinvertor (b); repetorul de tensiune (c).

În figura 7.26c este reprezentat un circuit repetor de tensiune. Circuitul se comportă ca un transformator ideal de impedanță; rezistența de intrare este aproape infinită iar rezistența de ieșire este aproape zero. Tensiunea V_0 de ieșire este egală cu tensiunea V_1 de intrare. În figura 7.27 este reprezentat un amplificator sumator de tensiune. Este un amplificator inversor (fig. 7.26a), în care curentul total I este dat de expresia

$$I = I_1 + I_2 + I_3 + \dots + I_n,$$

adică

$$-\frac{V_0}{R} = \frac{V_1}{R} + \frac{V_2}{R} + \frac{V_3}{R} + \dots + \frac{V_n}{R},$$

sau

$$-V_0 = V_1 + V_2 + V_3 + \dots + V_n.$$

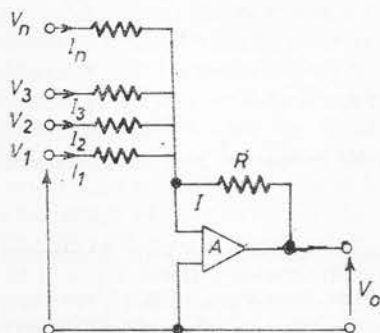


Fig. 7.27. — Amplificator, sumator de tensiune.

amplificarea de tensiune $A_v = 5 \cdot 10^4$ (valoarea ideală este infinită), produsul amplificare, lărgimea benzii de frecvență = 1MHz (valoarea ideală este infinită). În figura 7.28 este reprezentat amplificatorul

operațional $\mu A741$, fabricat la IPRS-Băneasa, cu indicativul $\beta A741$ [8,9], care are coeficientul minim de amplificare de tensiune de 25 000. Comparatorul de tensiune integrat este destinat să compare

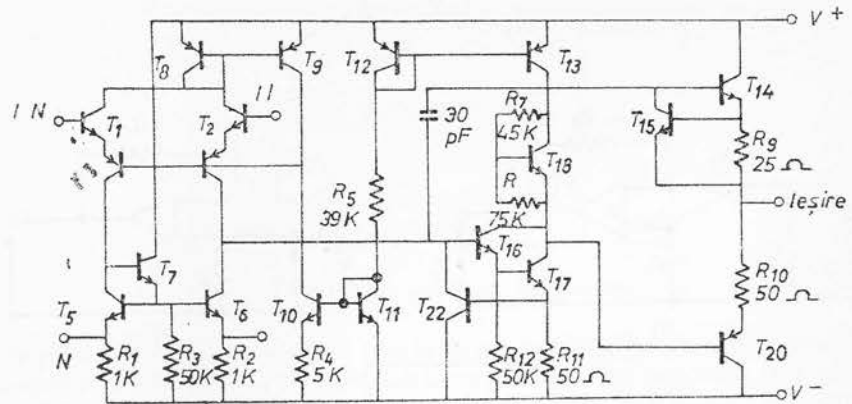


Fig. 7.28. — Amplificatorul $\beta A741$ ($\mu A741$); II = intrare inversoare, IN = intrare neinversoare, N = decalaj de nul (offset null).

nivelul unui semnal cu o tensiune de referință. El este alcătuit dintr-un etaj de intrare cu amplificator diferențial, urmat de un etaj de comandă și un etaj de ieșire proiectat de obicei să producă la ieșire nivele de tensiune comparabile cu nivelele 0 și 1 logic de la porțile logice. Aceasta, deoarece în majoritatea cazurilor practice, comparatoarele sînt urmate de circuite logice. Cele două tensiuni, de referință și de comparat, se conectează la cele două intrări ale amplificatorului. Dacă nivelul semnalului depășește tensiunea de referință, apare la ieșirea amplificatorului nivelul 1 logic, iar dacă semnalul este mai mic decît tensiunea de referință apare la ieșirea amplificatorului nivelul 0 logic. Tensiunea la ieșirea comparatorului pentru nivelul 1 logic este în jur de 4–5V, iar pentru nivelul 0 logic este în jur de zero volți.

BIBLIOGRAFIE

1. L. I. Maissel, R. Glang (Eds.), *Handbook of Thin Film Technology*, New York, McGraw-Hill, 1970 (capitolul 7).
2. L. V. Gregor, *Proc-of the IEEE*, **59**, 1390 (1971).
3. M. M. Schlechter et al, *IEEE*, **ED-17**, 1077 (1970).
4. V. Dolocan, *Fizica dispozitivelor cu corp solid*, Edit. Academiei, București 1978; *Electronica stării solide*, Universitatea din București, 1981 (Partea a II-a).
5. D. Roddy, *Introduction to Microelectronics*, Pergamon Press, New York, 1970.
6. A. Vătășescu, M. Ciobanu, T. Circu, I. Rateș, V. Gheorghiu, *Dispozitive semiconductoare*, Edit. tehnică, 1975.
7. I. Spinulescu, I. Dima, R. Pârvan, *Metode electronice în fizica experimentală*, Edit. didactică și pedagogică, București, 1975.
8. F. F. Driscoll, R. F. Coughlin, *Solid State Devices and Applications*, Prentice Hall, New Jersey, 1975;
- I. Dancea, *Microprocesoare*, Edit. Dacia, 1979.

Capitolul 8

EFECTE CUANTICE DE DIMENSIUNE

Efectele cuantice de dimensiune, ECD [1], sînt acele efecte particulare, determinate de structura de nivele discrete a energiei electronilor care apare în groapa de potențial a cărei lărgime, d , este comparabilă cu lungimea de undă de Broglie, λ , a purtătorilor de sarcină; energia mișcării transversale a electronilor este cuantificată. Spectrul de energie al unui asemenea sistem este descris de două numere cuantice continui și un număr cuantic discret (în afara numărului benzii) și prezintă o serie de subbenzi, fiecare subbandă corespunzînd la o valoare fixă a numărului cuantic discret. În aceste condiții energia minimă a purtătorilor de sarcină în groapa de potențial este diferită de zero și este funcție de dimensiunile gropii de potențial. Efecte cuantice de dimensiune s-au obținut în strate subțiri metalice și semiconductoare [1–5] și în stratele de inversie și de acumulare de la suprafața semiconductoarelor [6, 7]. Lungimea de undă de Broglie este dată de expresia

$$\lambda = 12,3 \text{ \AA} / \sqrt{\frac{m^*}{m_0} F},$$

unde F este energia Fermi măsurată de la marginea inferioară a benzii de conducție, m^* masa efectivă a electronului de conducție și m_0 masa electronului liber. În metalele normale, $m^*/m_0 = 1$ și $F = 4 \text{ eV}$ astfel că se obține $\lambda = 5 \text{ \AA}$. Practic, este dificil de realizat strate subțiri bune de asemenea dimensiuni. În metalele cu masă efectivă mică și concentrație mică a electronilor, $m^*/m_0 = 0,1$, $F = 0,1 \text{ eV}$ se obține $\lambda = 100 \text{ \AA}$, dimensiune la care se poate realiza ușor un strat subțire cu calități bune (uniformitate, omogenitate etc.). În bimetale, cum ar fi bismutul, $F = 0,01 \text{ eV}$, $m^*/m_0 = 0,01$, se obține $\lambda = 1000 \text{ \AA}$, ceea ce arată că efecte cuantice de dimensiune se pot obține în strate de bismut de grosime 10^3 \AA . Prezența unui număr cuantic discret în spectrul de energie conduce la o dependență nemonotonă de energie a densității de stări a electronilor ceea ce determină modificarea proprietăților de transport în asemenea caz față de cazul cînd nu sînt prezente efectele cuantice de dimensiune.

Efectele cuantice de dimensiune pot fi definite ca o manifestare a modificării componente normale a mișcării electronilor și a altor particule într-un strat subțire. Alte particule pot fi gaurile, magnonii plasmonii, excitonii, fotonii etc. Avînd în vedere tehnica recentă avansată de realizare a stratelor subțiri au putut fi observate efecte cuantice de dimensiune în fenomenele de transport electric în strate subțiri de bismut [8], absorbția optică în strate de GaAs [9], spectrul de infraroșu în strate subțiri de PbTe [10, 11] tunelarea în strate subțiri metalice [12], tunelarea în

strate subțiri de SnTe [13]. O clasă de dispozitive aparține o constituie super-rețelele [14] cărora le-am dedicat un capitol separat în primul nostru volum asupra dispozitivelor cu corp solid.

8.1. Considerații generale

Vom prezenta în acest paragraf spectrul discret de energie a electronilor situați în groapa de potențial rectangulară de adâncime infinită și de adâncime finită [15]. Considerăm la început groapa pătrată infinit de adâncă, reprezentată în figura 8.1. Mișcarea electronului este descrisă de ecuația Schrödinger care, neglijând energia potențială, este dată de expresia

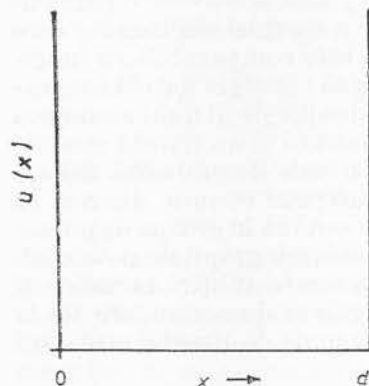


Fig. 8.1. — Groapa de energie potențială de adâncime infinită.

$$-\frac{\hbar^2}{2m} \frac{\partial^2 \psi_n}{\partial x^2} = \epsilon_n \psi_n, \quad (8.1)$$

unde ψ_n este funcția de undă și ϵ_n — energia electronului. Bariera de potențial fiind infinită la ambele margini, condițiile de margine sînt $\psi_n(0) = 0$, $\psi_n(d) = 0$, unde d este lărgimea gropii de potențial. Aceste condiții la limită sînt satisfăcute dacă funcția de undă este sinusoidală și între 0 și d există un număr întreg, n , de jumătăți de lungimi de undă :

$$\begin{aligned} \psi_n &= A \sin\left(\frac{2\pi}{\lambda_n} x\right), \quad d = n \left(\frac{1}{2} \lambda_n\right), \\ \psi_n &= A \sin\left(\frac{n\pi}{d} x\right), \quad n = 1, 2, 3 \dots \end{aligned} \quad (8.2)$$

Se obține pentru energie expresia

$$\epsilon_n = \frac{\hbar^2}{2m} \left(\frac{n\pi}{d}\right)^2. \quad (8.3)$$

Să considerăm acum groapa de potențial rectangulară de adâncime finită reprezentată în figura 8.2. Energia potențială $U(x)$ este definită astfel

$$U(x) = \begin{cases} U_1, & x < a, \\ 0, & a < x < b \\ U_2, & x > b. \end{cases}$$

În funcție de valoarea energiei ε a electronului în raport cu constantele U_1 și U_2 există următoarele situații:

- (1). $0 < \varepsilon < U_2$, spectru de energie discret și stări legate,
- (2). $U_2 < \varepsilon < U_1$, spectru continuu nedegenerat,
- (3). $\varepsilon > U_1$, spectru continuu, degenerat; reflexia și transmisia undelor.

Pentru scopul acestui capitol ne interesează numai primul caz, pe care-l vom prezenta în cele ce urmează. Ecuația Schrödinger în condiții staționare

$$\left(-\frac{\hbar^2}{2m} \frac{d^2}{dx^2} + U(x) \right) \psi = \varepsilon \psi, \quad (8.4)$$

are soluțiile

$$\psi(x) = \begin{cases} A_1 e^{\alpha_1 x}, & x < a, \\ A_2 \sin(k_2 x + \varphi), & a < x < b, \\ A_3 e^{-\alpha_3 x}, & x > b, \end{cases} \quad (8.5)$$

unde

$$\alpha_i = \sqrt{U_i - \varepsilon}; \quad k_i = \sqrt{\varepsilon - U_i}; \quad i = 1, 2, 3, \dots$$

Pentru a determina constantele A_1, A_2, A_3 , ne folosim de faptul că funcția de undă și prima ei derivată sînt continue în punctele de graniță. În loc de a scrie continuitatea funcției și a derivatei sale este mai comod să se scrie continuitatea funcției și a derivatei sale logaritmice. Continuitatea derivatei logaritmice fixează faza.

Condițiile de continuitate a derivatei logaritmice dau

$$k_2 \operatorname{ctg}(k_2 b + \varphi) = -\alpha_3; \quad k_2 \operatorname{ctg}(k_2 a + \varphi) = \alpha_1,$$

sau

$$\varphi = -k_2 b - \operatorname{tg}^{-1} \frac{k_2}{\alpha_3} + n\pi,$$

$$\varphi = -k_2 a + \operatorname{tg}^{-1} \frac{k_2}{\alpha_1}; \quad \operatorname{tg}^{-1} \equiv \operatorname{arc} \operatorname{tg}.$$

Punînd condiția $(k_2 a + \varphi)$ să se găsească în intervalul $(-\pi/2, +\pi/2)$ φ trebuie să fie determinat pînă la un multiplu al lui π . Rezultă egalitatea

$$n\pi - k_2 b - \operatorname{tg}^{-1} \frac{k_2}{\alpha_3} = -k_2 a + \operatorname{tg}^{-1} \frac{k_2}{\alpha_1},$$

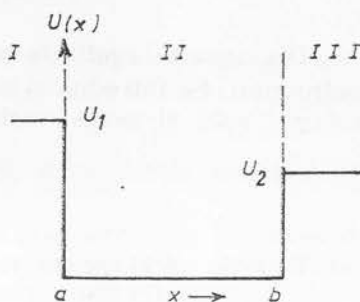


Fig. 8.2. — Groapa de energie potențială de dimensiuni finite.

care poate fi rescrisă

$$n\pi - k_2(b-a) = \operatorname{tg}^{-1} \frac{\alpha_2}{\alpha_1} + \operatorname{tg}^{-1} \frac{k_2}{\alpha_3}. \quad (8.6)$$

Din această egalitate se determină valorile proprii ε_n ale energiei electronului. Se introduc notațiile $d = b - a$; $\beta = \sqrt{U_3}$; $\cos \gamma = \sqrt{U_3/U_1}$ ($0 < \gamma < \pi/2$) și noua variabilă

$$\eta = \frac{k_2}{\beta} = \sqrt{\varepsilon/U_3}. \quad (8.7)$$

Ecuția (8.7) poate fi rescrisă

$$n\pi - \eta\beta d = \sin^{-1}\eta + \sin^{-1}(\eta\cos\gamma). \quad (8.8)$$

Rezolvarea ei grafică este prezentată în figura 8.3. Membrul stâng al ecuației (8.8) este reprezentat de segmentul de dreaptă D_n ($n = 1, 2, 3, \dots$); el descrește de la $n\pi$ la $n\pi - \beta d$. Când ε crește de la 0 la U_3 , variabila η crește de la 0 la 1 și membrul drept al ecuației (8.8) crește de la 0 la $\pi - \gamma$, după curba (E). Ecuația are soluție atunci când curba (E) întretaie segmentul de dreaptă (D_n). Pentru aceasta este necesar și suficient ca întregul n să fie suficient de mic

$$\beta d \geq (n-1)\pi + \gamma.$$

Pentru $\beta d < \gamma$ nu există valori proprii. Pentru $\gamma \leq \beta d \leq \pi + \gamma$ există o singură valoare proprie, ε_1 . Pentru $\pi + \gamma \leq \beta d \leq 2\pi + \gamma$ există două

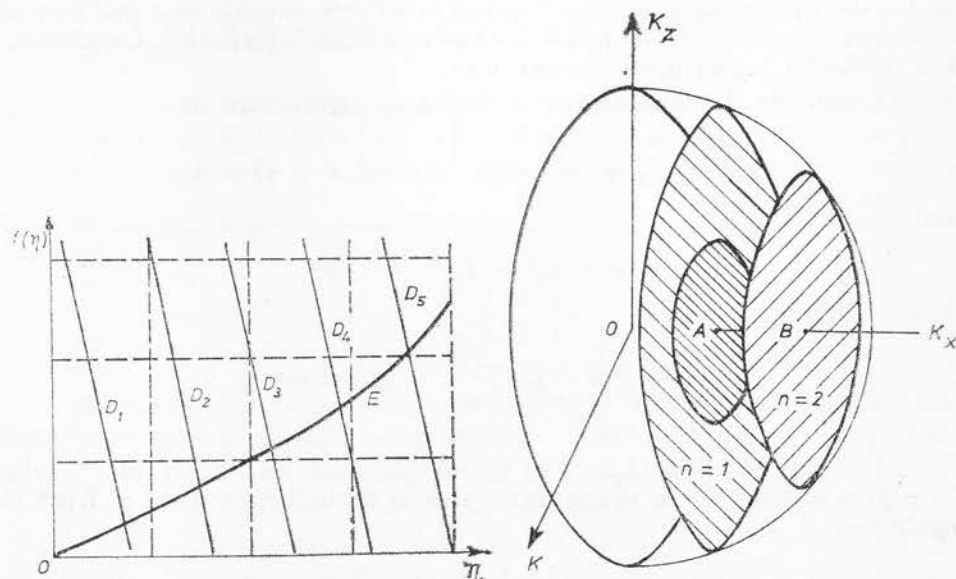


Fig. 8.3 a. — Găsirea grafică a valorilor proprii discrete ale energiei.

Fig. 8.3 b. — Stările de energie ale electronului într-un strat subțire.

valori proprii ε_1 și ε_2 . În reprezentarea grafică s-a considerat $\gamma = \pi/3$ și $\beta d/\pi = 5$. Prin urmare, din intersecția curbei (E) de ecuație

$$f(\eta) = [\sin^{-1}\eta + \sin^{-1}(\eta\cos\gamma)]/\pi$$

cu fiecare din dreptele (D_n) de ecuație $g(\eta) = n - (\beta d/\pi)\eta$ se găsesc valorile proprii ε_n ale energiei electronului, folosind relația (8.7).

8.2. Efecte cuantice de dimensiune în strate subțiri metalice

Presupunând un strat subțire, perfect geometric, cu grosimea d în direcția x , cu lucrul de ieșire infinit, într-un model simplu, dependența de x a funcției de undă $\psi = \Phi_n(x)\chi_{||}(y, z)$ a electronului este dată de [15, 16]

$$\Phi_n(x) = \left(\frac{1}{\sqrt{d}}\right) \sin(n\pi x/d), \quad n = \pm 1, \pm 2, \dots, \pm N$$

corespunzând unei valori discrete a vectorului de undă $k_x = n\pi/d$ și energiei cinetice

$$E_{nx} = \left(\frac{\hbar^2}{2m^*}\right)(n\pi/d)^2 = (0,0038\text{eV})\left(\frac{m_0}{m_x}\right)\left(\frac{100\text{\AA}}{d}\right)^2 n^2, \quad (8.9)$$

unde m_x este masa efectivă a electronului în direcția x . Energia totală a electronului se scrie

$$\bar{E} = E_{nx} + E_{||},$$

unde energia transversală $E_{||} = \hbar^2/2m^*(k_x^2 + k_y^2)$ poate lua orice valoare pozitivă; ea nu se cuantifică. Stările electronice se distribuie în strate (subbenzi) (fig. 8.3b), fiecărui strat corespunzându-i valori determinate (discrete) ale impulsului longitudinal și energiei longitudinale (în direcția grosimii stratului subțire). Pe măsura creșterii concentrației n_0 a electronilor crește numărul de strate ocupate cu electroni, deoarece ocuparea fiecărui strat începe de la axa k_x . De exemplu, ocuparea celui de-al doilea strat începe din punctul B, cu condiția ca energia transversală a electronilor în primul strat să atingă valoarea $E_{||} = 3\pi^2\hbar^2/2m^*d^2$, egală cu diferența dintre energiile longitudinale ale primului și celui de al doilea strat. Dacă folosim reprezentarea clasică și considerăm că fiecărei stări electronice în strat îi corespunde o celulă de volum $(2\pi\hbar)^2$ în spațiul fazelor, dacă $n_0 \leq 3\pi/2d^2$ atunci electronii nu ocupă decât stratul (subbanda) cores-

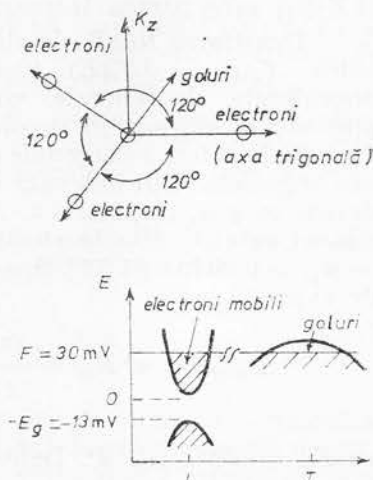


Fig. 8.4. — Structura de benzi de energie a bismutului.

punzătoare lui $n = 1$, celelalte subbenzi rămânând libere. Pentru $d = 100 \text{ \AA}$ această condiție dă $n_0 < 5 \cdot 10^{18} \text{ cm}^{-3}$, ceea ce corespunde concentrație electronilor din bismut (bimetal). În modelul parabolic elipsoidal banda de energie a electronilor în bismut conține șase jumătăți de elipsoizi de suprafață de energie constantă, fiecare fiind centrată la marginile fețelor pseudohexagonale ale zonei Brillouin (fig. 8.4). Aceste suprafețe de energie constantă au simetrie la inversie față de centrul zonei și de rotație de $\pm 120^\circ$ în jurul axei trigonale. Masele efective ale electronilor de-a lungul axelor principale ale unui elipsoid au valorile $m_{11} = 0,0115m_0$; $m_{2e} = 0,00709m_0$; $m_{3e} = 1,71 m_0$. Axa principală, indexată cu 1, este înclinată cu un unghi $\theta = 6^\circ$ față de axa trigonală. Energia, corespunzătoare unui elipsoid, raportată la axele cristalului este dată de expresia

$$E_{nkyk_z} = n^2 E_0 + \frac{\hbar^2}{2} \left(\frac{k_y^2}{m_{ye}} + \frac{k_z^2}{m_{ze}} \right); \quad n = \pm 1, \pm 2, \pm 3 \dots \quad (8.10)$$

unde $E_0 = \pi^2 \hbar^2 / 2m_{xe} d^2$, $k_z = k_z - qn$, q_n avînd o valoare fixă pentru un n dat și masele efective

$$m_{xe} = m_{1e} \cos^2 \theta + m_{3e} \sin^2 \theta,$$

$$m_{ye} = m_{2e}; \quad m_{ze} = m_{1e} m_{3e} / (m_{1e} \cos^2 \theta + m_{3e} \sin^2 \theta),$$

unde θ este unghiul de înclinare a axei principale a elipsoidului de referință în raport cu axa trigonală. Ceilalți doi elipsoizi de referință sînt descriși tot de ecuația (8.10) rotită cu $\pm 120^\circ$ în planul k_y, k_z . Pentru oricare din cei trei elipsoizi densitatea de stări electronice este

$$N'_e(E) = [(m_{ye} m_{ze})^{1/2} / \pi \hbar^2 d] [\sqrt{E/E_0}], \quad (8.11)$$

$[\sqrt{E/E_0}]$ este partea întregă a $\sqrt{E/E_0}$.

Densitatea totală de stări este egală cu de trei ori această valoare, adică $N_e(E) = 3N'_e(E)$ (deoarece sînt șase jumătăți de elipsoizi). Suprafețele de energie constantă pentru banda de valență sînt jumătăți de elipsoizi de revoluție în jurul axei trigonale centrate la fiecare din cele două fețe hexagonale ale marginii zonei Brillouin. În cele ce urmează axa trigonală va fi indexată cu x iar axele binară și bisectrix vor fi indexate cu y și, respectiv, z . Axa trigonală se consideră perpendiculară pe stratul subțire. Masele efective ale golurilor sînt $m_{xh} = 0,758m_0$, $m_{yh} = m_{zh} = 0,0676m_0$ [1,17]. Spectrul energetic pentru stările de goluri este dat de expresia

$$E_{nkyk_z} = n^2 E_{0h} + \frac{\hbar^2}{2} \frac{k_y^2 + k_z^2}{m_{yh}}, \quad n = \pm 1, \pm 2, \pm 3, \dots \quad (8.12)$$

cu $E_{0h} = \pi^2 \hbar^2 / 2m_{xh} d^2$. Densitatea de stări de goluri este

$$N_h(E) = [(m_{yh} m_{zh}) / \pi \hbar^2 d] [\sqrt{E/E_{0h}}]. \quad (8.13)$$

Nivelul Fermi, F , în semimetal se determină din condiția de neutralitate a sarcinii

$$\int_0^\infty N_e(E) (1 + e^{(E-F)/kT})^{-1} dE = \int_0^\infty N_h(E) (1 + e^{(E-\Delta+F)/kT})^{-1} dE, \quad (8.14)$$

unde Δ este suprapunerea benzilor (de conducție și de valență) și energiile sînt măsurate de la marginile benzilor din cristalul masiv. Deoarece densitățile de stări depind de grosimea stratului subțire și nivelul Fermi va depinde de grosimea stratului subțire. Considerăm componentele tensorului conductivității $\sigma_{\alpha\beta}$ în planul stratului subțire. Pentru un elipsoid de referință expresia conductivității este

$$\sigma_{\alpha\beta} = -\frac{q^2}{m\hbar^2 a} \left(\frac{m_y m_z}{m_\alpha m_\beta} \right) \sum_n \int_{n^2 E_0}^\infty dE \frac{\partial f_0}{\partial E} (E^2 - n^2 E_0) \tau_n(E). \quad (8.15)$$

În această expresie axele principale coincid cu axele cristalului y și z și $\tau_n(E)$ este timpul de relaxare mediat după unghiuri, pe o elipsă notată cu n . Pentru banda de valență, $m_\alpha = m_\beta = m_y = m_z$ și contribuția golurilor la conductivitate este dată de expresia de mai sus. Pentru banda de conducție este convenabil să se folosească

$$\sigma = \sigma_e + \sigma_h,$$

$$\sigma_h = -\frac{q^2}{\pi\hbar d} \sum_n \int_{n^2 E_{0h}}^\infty dE \frac{\partial f_{0h}}{\partial E} (E - n^2 E_{0h}) \tau_{nh}(E), \quad (8.16)$$

$$\sigma_e = -\frac{3q^2}{2\pi\hbar^3 d} \frac{m_y + m_z}{(m_y m_z)^{1/2}} \sum_n \int_{n^2 E_{0e}}^\infty dE \frac{\partial f_0}{\partial E} (E^2 - n^2 E_{0e}) \tau_n(E).$$

Pentru timpul de relaxare se consideră două posibilități: (a) $\tau_n(E) = \tau_{n0} = \text{constant}$ și (b) $\tau_n(E)$ este invers proporțional cu densitatea de stări, $\tau_n(E) \sim a(m_y m_z)^{-1/2} \sqrt{(E/E_0)}$. Cazul (a) simplifică calculele și nu conduce la efecte cuantice de dimensiune. Al doilea caz este mai realist: pentru o valoare mai mare a densității de stări un purtător într-o stare dată are la dispoziție mai multe stări disponibile pentru împrăștiere și timp de relaxare mai mic.

Considerăm un strat subțire cu suprafața pătrată ($L_y = L_z = L$). Curentul dat de purtătorii care se deplasează în direcția z este

$$I = -2q \sum_\alpha \langle v_z \rangle_\alpha [f(\alpha) - f_0(\alpha)], \quad (8.17)$$

unde factorul 2 se introduce datorită degenerării de spin, iar α specifică starea particulei cu componenta $\langle v_z \rangle_\alpha$ a vitezei de grup. Funcția de distribuție $f(\alpha)$ diferă de funcția de distribuție $f_0(\alpha)$ datorită cîmpului electric și mecanismelor de împrăștiere. Pentru stratul subțire izolat starea indexată cu α coincide cu starea (n, k_y, k_z) și conductanța pentru curentul

paralel cu direcția z (colinear cu gradientul de potențial) este dată de

$$\Sigma_{zz} = -\frac{q^2 L}{\pi \hbar^2} \left(\frac{m_y}{m_z} \right)^{1/2} \sum_n \int_{n^2 E_0}^{\infty} dE \frac{\partial f_0}{\partial E} (E - n^2 E_0) \tau_n(E). \quad (8.18)$$

Considerăm că se aplică un câmp electric static perpendicular pe stratul subțire. Câmpul este ecranat de către sarcina din strat care se redistribuie. Ecuația (8.17) pentru curentul în planul stratului subțire nu se schimbă ca formă. Totuși, stările particulelor sînt modificate de către câmp prin ecranarea interiorului stratului subțire. Starea indexată cu α nu mai coincide cu starea (n, k_y, k_z) . Pentru calculul efectului ecranării asupra stărilor electronice se folosește aproximația Thomas-Fermi. Câmpul electrostatic duce la curbarea benzilor de energie. Conductivitatea variază datorită distorsiunii locale a nivelelor de energie. Aproximația Thomas-Fermi este locală și în folosirea acestei aproximații se introduce noțiunea de conductivitate locală. Corespunzător câmpului \mathcal{E} de încărcare, relativ slab, care se aplică perpendicular pe stratul subțire, există un potențial electrostatic care modifică local energia stării E_{nkykz}

$$E'_{nkykz} = E_{nkykz} - qV(x), \quad (8.19)$$

unde $V(x)$ este potențialul selfconsistent care apare datorită câmpului electric aplicat și se determină rezolvînd ecuația Poisson

$$\frac{d^2 V}{dx^2} = -\frac{\rho(x)}{\epsilon}, \quad (8.20)$$

unde $\rho(x)$ este densitatea de sarcină spațială indusă de către câmp. Ea se exprimă în funcție de densitatea de stări de energie a electronilor și golurilor, prin relația

$$\rho(x) = -q \left\{ \frac{3(m_{ye} m_{ze})^{1/2}}{\pi \hbar^2 d} \int_{-qV(x)}^{\infty} dE \left[\frac{E + qV(x)}{E_{0e}} \right]^{1/2} (1 + e^{(E-F)/kT})^{-1} - \right. \\ \left. - \frac{(m_{yh} m_{zh})^{1/2}}{\pi \hbar^2 d} \int_{qV(x)}^{\infty} dE \left[\frac{E - qV(x)}{E_{0h}} \right]^{1/2} (1 + e^{(E-\Delta+F)/kT})^{-1} \right\}.$$

Astfel, ecuația Poisson devine neliniară și poate fi rezolvată numeric pentru $V(x)$ corespunzător unui câmp electric aplicat de intensitate \mathcal{E} la $x = 0$. Conductivitatea poate fi evaluată local în fiecare punct al stratului subțire, expresiile (8.16) fiind modificate cu potențialul astfel determinat. Ele devin

$$\sigma_h(x) = -\frac{q^2}{\pi \hbar^2 d} \sum_n \int_{n^2 E_{0h} + qV(x)}^{\infty} dE \frac{\partial f_{0h}}{\partial E} [E - qV(x) - n^2 E_{0h}] \tau_{nh} [E - qV(x)], \\ \sigma_e(x) = -\frac{3q^2}{2\pi \hbar^2 d} \frac{m_y + m_z}{(m_y m_z)^{1/2}} \sum_n \int_{n^2 E_{0e} - qV(x)}^{\infty} dE \frac{\partial f_{0e}}{\partial E} [E + qV(x) - \\ - n^2 E_{0e}] \tau_{ne} [E + qV(x)]. \quad (8.21)$$

Pentru $L_y = L_z$ conductivitatea stratului este dată de

$$G = \int_0^d [\sigma_s(x) + \sigma_n(x)] dx. \quad (8.22)$$

Această integrală se poate evalua numeric.

Prezența efectelor cuantice de dimensiune poate fi înțeleasă calitativ astfel: pentru o grosime a stratului subțire judicios aleasă și $T=0$, nivelul Fermi se află în vecinătatea apropiată a unei trepte în densitatea de stări electronice (se neglijează efectul golurilor). Prin aplicarea unui câmp electric, treapta în densitatea de stări se deplasează, în scara energiei, sub nivelul Fermi. Timpul de relaxare

$$\tau_n \sim \frac{1}{[(F - qV)/E_{0e}]^{1/2}}$$

se micșorează semnificativ și se micșorează și conductivitatea, în această regiune, a stratului. Creșterea în continuare a câmpului electric conduce la micșorarea în continuare a conductanței. Ne putem aștepta la o descreștere abruptă a conductanței peste care se suprapune efectul liniar al câmpului. Rezultatele s-au obținut calculând numeric [2] ecuațiile (8.20) — (8.22), nivelul Fermi determinându-se din condiția de neutralitate. Calculele au fost făcute la 0K. Efectele cuantice de dimensiune asupra efectului câmpului electric se pot discerne pentru acele grosimi ale stratului subțire pentru care nivelul Fermi se află în apropierea treptei densității electronice de stări. Aceste regiuni se pot localiza din cunoașterea dependenței de grosime a conductanței la $T=0$ K, în absența unui câmp electric transversal. Această dependență este reprezentată în figura 8.5; rezultatele au fost obținute presupunând că timpul de relaxare este invers proporțional cu densitatea de stări. La acele valori ale grosimii stratului pentru care conductanța este discontinuă, nivelul Fermi coincide cu o treaptă în densitatea de stări electronice. În graficul prezentat aceste valori sînt de 44,67 și 90 nm. Pentru grosimi ale stratului depărtate de aceste valori de treaptă, efectul câmpului asupra lui G este liniar. În figura 8.6 sînt reprezentate efectele cuantice de dimensiune pentru o probă cu grosimea de 66 nm. Linia

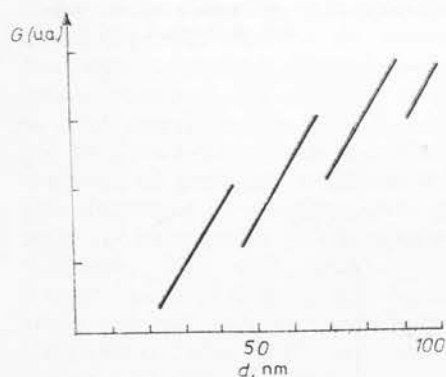


Fig. 8.5. — Conductanța stratului subțire în unități arbitrare în funcție de grosimea acestuia la $T=0$ K.

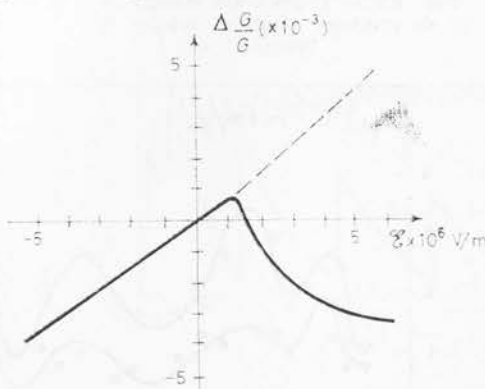


Fig. 8.6. — Variația fracționară a conductanței stratului subțire pentru o probă cu $d=66$ nm.

întreruptă reprezintă cazul cînd timpul de relaxare se presupune constant; în această situație efectul cîmpului este liniar. Curba plină reprezintă cazul cînd timpul de relaxare este invers proporțional cu densitatea de stări. Se observă o abatere abruptă de la liniaritate ceea ce confirmă presupunerile de mai sus. Pentru această valoare a lui d , 66nm, panta $G_0^{-1} dG/d\phi$ la $\phi = 0$ este pozitivă. Calculele pentru $d = 67$ nm au dat această pantă negativă. Din calcule a reieșit că efectele cuantice de dimensiune asupra cîmpului electric dispar la 77K. Am descris pînă aici din punct de vedere teoretic efectele cuantice de dimensiune asupra efectului cîmpului static perpendicular pe stratul subțire. Menționăm că un asemenea efect nu a fost pus încă în evidență experimental [18]. Însă, în bismut au fost puse în evidență efectele cuantice de dimensiune asupra rezistivității, magnetorezistenței și coeficientului Hall [19]. În figurile 8.7–8.9 se reprezintă dependența de grosimea stratului de bismut a rezistivității, magnetorezistenței și coeficientului Hall.

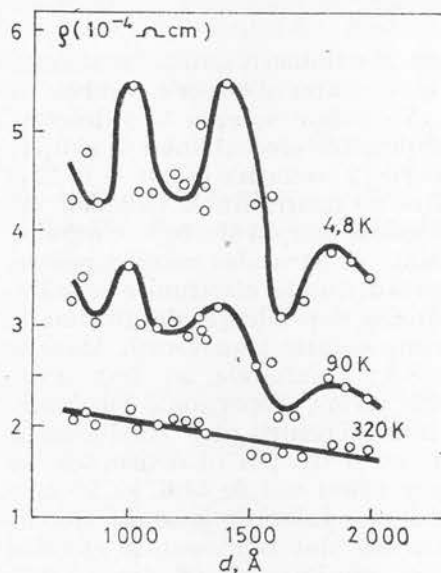


Fig. 8.7. — Dependența rezistivității de grosimea stratului subțire de bismut.

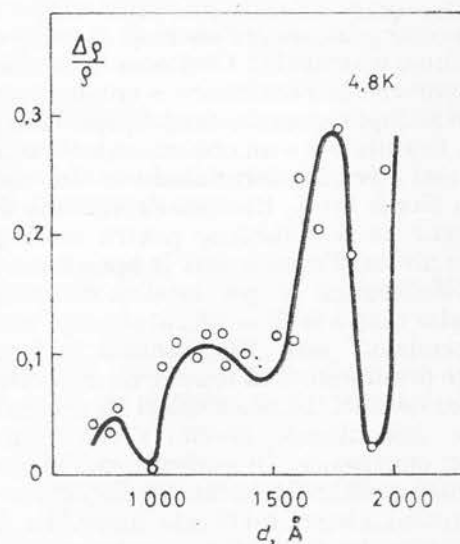


Fig. 8.8. — Dependența magnetorezistenței de grosimea stratului subțire de bismut.

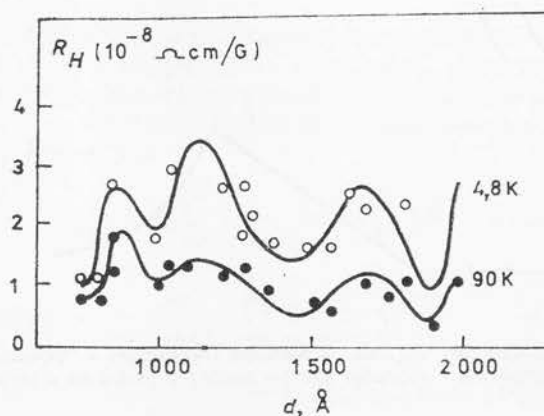


Fig. 8.9. — Dependența constantei Hall de grosimea stratului subțire de bismut.

tenței și, respectiv, constantei Hall. În aceste experiențe stratele subțiri de bismut au fost crescute epitaxial pe un substrat de mică încălzit, prin evaporare într-un sistem cu vid ultrînalt realizat cu ajutorul unei pompe ionice. Substratele de mică au fost clivate în apă deionizată, apoi, înainte de a fi montate în sistemul de evaporare picăturile de apă se îndepărtează de pe ele cu ajutorul unui jet de azot gazos. Puriitatea bismutului folosit a fost de 99,9999%. În timpul evaporării presiunea a fost de $(1-5) \cdot 10^{-8}$ torr, temperatura substratului a fost în jur de 110°C și rata de evaporare în jur de $1\text{\AA}/\text{s}$. Rata de evaporare și grosimea substratului au fost urmărite în timpul evaporării cu ajutorul unui monitor de grosime cu oscilator de cuarț; grosimea stratelor a fost verificată apoi cu ajutorul unui interferometru optic. Studiile de raze X și de difracție de electroni au arătat că stratele de bismut au structură policristalină, cu cristalitele (de dimensiuni de $1\mu\text{m}$) orientate la fel, cu axa trigonală a bismutului perpendiculară pe suprafața substratului. Valorile lui ρ , R_H și $\Delta\rho/\rho$ s-au măsurat într-un criostat la temperaturi între $4,8$ și 320K . Curentul electric utilizat a fost de $100\mu\text{A}$, iar cîmpul magnetic în cazul măsurării lui R_H și $\Delta\rho/\rho$ a fost de 1 kG și, respectiv, 3 kG . Asemenea măsurători au fost făcute „in situ”, adică realizarea și măsurarea stratelor s-a făcut în aceeași incintă, fără să se deplaseze proba din locul unde a fost preparată. În experiențele prezentate în figurile 8.7–8.9, stratele au fost scoase din incinta de evaporare pentru a se efectua pe ele măsurătorile. Se observă că ρ , $\Delta\rho/\rho$ și R_H oscilează cu variația grosimii stratelor, cu perioada 400\AA . Oscilațiile lui ρ și $\Delta\rho/\rho$ sînt în opoziție de fază deoarece aceste mărimi au dependență inversă de mobilități. În forma cea mai simplă se scrie

$$\rho = \frac{1}{nq(\mu_n + \mu_p)}; \quad \frac{\Delta\rho}{\rho} = (\mu_n\mu_p)B^2, \quad R_H = -\frac{\mu_n - \mu_p}{nq(\mu_n + \mu_p)}$$

relații ce pot fi utilizate pentru o discuție calitativă deoarece bismutul nu este un material izotrop. μ_n și μ_p sînt mobilitățile electronilor și, respectiv, golurilor. Amplitudinea oscilațiilor descrește cu creșterea temperaturii și la 300K rezistivitatea devine funcție monotonă de grosime. Comportarea oscilatorie la temperaturi joase a coeficienților de transport se datorează efectelor cuantice de dimensiune și în special oscilației mobilității purtătorilor de sarcină cu variația grosimii stratului. Așa cum se observă din ecuațiile (8.11) și (8.13) densitatea de stări de energie în apropierea nivelului Fermi oscilează cu grosimea stratului subțire deoarece, cu creșterea grosimii acestuia subbenzile de energie traversează, una cîte una, nivelul Fermi. Această dependență oscilatorie a densităților de stări de grosimea stratului este reprezentată în figura 8.10 [20]. Deoarece timpul de relaxare depinde de densitatea de stări și mobilitatea purtătorilor

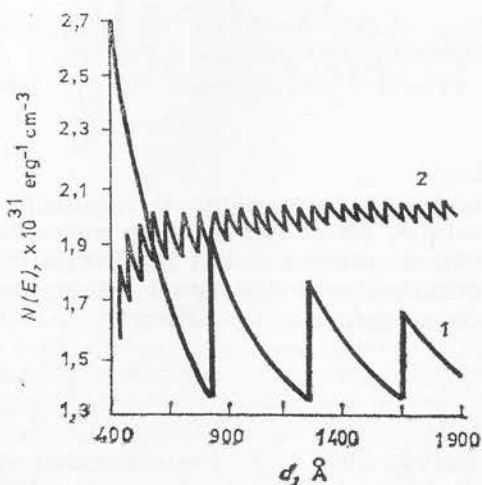


Fig. 8.10. — Dependența densității de stări electronice (1) și de goluri (2) de grosimea stratului subțire.

de sarcină depinde de timpul de relaxare, aceasta oscilează cu grosimea stratului subțire, și prin urmare, și coeficienții de transport au o asemenea comportare. Un rezultat teoretic pentru conductanță a fost reprezentat în figura 8.5.

8.3. Fenomene de cuantificare în cîmp magnetic

Cînd se combină cuantificarea de dimensiune cu cuantificarea în cîmp magnetic apar efecte calitativ noi. Cele două cuantificări considerate separat sînt reprezentate în figurile 8.11. *a* și *b*. Pentru un strat subțire

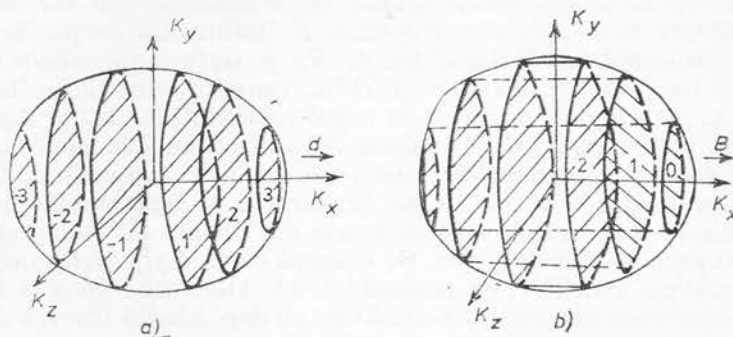


Fig. 8.11. Cuantificarea energiei electronilor în spațiul vectorului de undă: *a* — de către dimensiune; *b* — de către cîmpul magnetic.

cu grosimea d în direcția x energia cuantificată este dată de expresia (8.10). Pentru un cristal situat într-un cîmp magnetic intens de inducție B în direcția x , energia cuantificată este dată de expresia

$$E_{sk_x} = \left(s + \frac{1}{2} \right) \hbar \omega_c + \frac{\hbar^2 k_x^2}{2m_x}; \quad s = 0, 1, 2, \dots \quad (8.23)$$

$$\omega_c = \frac{qB}{m_t}; \quad m_y = m_z = m_t,$$

unde ω_c este frecvența de rezonanță ciclotron. Considerăm acum un strat subțire, plasat într-un cîmp magnetic puternic, orientat perpendicular pe planul stratului (adică în direcția k_x). În acest caz spectrul de energie a purtătorilor devine complet discret, adică energia E devine funcție numai de numere cuantice discrete,

$$E = \hbar \omega_c \left(s + \frac{1}{2} \right) + \frac{\pi^2 \hbar^2}{2m_x d^2} n^2, \quad (8.24)$$

unde $s = 0, 1, 2, 3, \dots$ este numărul cuantic magnetic (numărul benzii Landau) iar $n = \pm 1, \pm 2, \pm 3, \dots$ — numărul cuantic de dimensiune. În coordonate $k_x = (\pi/d)n$, spectrul de energie $E(k_x)$ apare ca un număr de puncte separate aranjate de-a lungul benzii Landau corespunzătoare (Fig. 8.12). Combinarea cuantificării de dimensiune cu cuantificarea în cîmp magnetic dă noi posi-

bilități de cercetare a structurii spectrului de energie a electronilor. De exemplu, datorită spectrului de energie discret, spectrul de absorbție optică se prezintă sub formă de linii. Măsurarea pozițiilor liniilor de absorbție permite în principiu să se reconstruiască forma benzilor Landau corespunzătoare diverselor valori ale numărului cuantic magnetic. Pentru analiza spectrului de absorbție este necesar să se ia în considerare regulile de selecție. Pentru un model de strat subțire semiconductor cu o schemă de benzi standard, plasat într-un câmp magnetic, regulile de selecție pentru tranziții optice între benzi sunt: $s^{(1)} = s^{(2)}$, $n^{(1)} = n^{(2)}$, $k_y^{(1)} = k_y^{(2)}$, unde indicele 1 se referă la banda de valență și indicele 2 la banda de conducție, k_y este componenta vectorului de undă al electronului în direcția y . Potențialul vector al câmpului magnetic H se presupune că are valorile $A_x = A_z = 0$, $A_y = -Hx$. De asemenea, este interesant studiul efectelor de oscilație. Se cunoaște că într-o probă masivă, perioada oscilațiilor mărimilor termodinamice ale unui gaz Fermi degenerat situat în câmp magnetic este determinată de aria secțiunilor transversale externe ale suprafeței Fermi. Secțiunile neexterne sunt legate de partea monotonă a potențialului termodinamic și ariile acestor secțiuni transversale nu pot fi determinate studiind efecte de tipul efectului de Haas-Van Alphen. Într-un strat subțire situația este cu totul alta. Numărul de secțiuni ale suprafeței Fermi permis prin cuantificarea de dimensiune este mic (fig. 8.11 a). În acest caz fiecare din secțiunile permise acționează ca o secțiune externă, adică aduce o contribuție la partea oscilatorie a potențialului termodinamic a cărei frecvență este determinată de aria secțiunii transversale luată în considerare. Relația dintre perioada de oscilație și aria secțiunii transversale a secțiunii (neexterne) corespunzătoare poate fi determinată după cum urmează. Potențialul termodinamic Ω al unui strat subțire plasat într-un câmp magnetic normal pe acesta este

$$\Omega = -kT \frac{L_y L_z}{\pi \hbar} qB \sum_s \sum_n \ln \left(1 + \exp \frac{F - E_{s,n}}{kT} \right), \quad (8.25)$$

unde L_y și L_z sînt dimensiunile probei în planul stratului. Aria în spațiul k , $A(E, k_x)$ a secțiunii transversale a suprafeței izoenergetice intersectată de planul $k_x = (\pi/d)$ pentru un strat subțire considerat ca o groapă de potențial cu pereții înființi este

$$A(E, k_x) = (s + \gamma) \frac{2\pi qB}{\hbar c} \quad (8.26)$$

unde γ este un număr care variază între 0 și 1; se presupune că planul de simetrie a suprafeței Fermi este paralel cu planul stratului subțire. Pentru valori mari ale lui s , condiția de cuantificare stabilită nu impune limitări asupra numărului cuantic n de dimensiune. Folosind valori mici ale lui n este posibil să determinăm ariile secțiunilor neexterne. Efectuind sumarea după s în relația (8.25) cu ajutorul formulei Poisson și luînd în considerare numai prima armonică se obține perioada oscilațiilor valorilor termodinamice pentru o secțiune permisă pentru o grosime dată a stratului subțire și câmp magnetic variabil

$$\Delta \left(\frac{1}{B} \right)_n = \frac{2\pi q}{\hbar c A_n(F)}, \quad (8.27)$$

unde $A_n(E)$ este aria unei secțiuni transversale permise a suprafeței Fermi corespunzătoare numărului cuantic n . Procedind în același mod se poate găsi o expresie pentru perioada de oscilație a mărimilor termodinamice pentru câmp magnetic constant și grosime variabilă a stratului. În acest caz sumarea în relația (8.25) se face după indicele n . Valorile minime posibile ale lui n sunt determinate de condițiile de aplicabilitate ale formulei Poisson. Perioada Δd_s este

$$\Delta d_s = \frac{\pi}{k_x(s)},$$

unde $k_x(s)$ este componenta vectorului de undă Fermi după direcția x , corespunzătoare unei subbenzi magnetice cu numărul cuantic s (jumătatea din dreapta a cilindrului din fig. 8.11b). Prin urmare, măsurarea caracteristicilor oscilațiilor în fiecare caz considerat (grosime fixă sau câmp magnetic constant) și combinarea lor dă în principiu posibilitatea reconstruirii suprafeței Fermi.

8.4. Studiul efectelor cuantice de dimensiune în strate subțiri cu ajutorul efectului tunel

Pentru studiul efectelor cuantice de dimensiune cu ajutorul efectului tunel s-au realizat structuri metal-oxid-metal în care unul din electrozi este un strat subțire metalic (Au, Ag, Pb, Mg, etc) care îndeplinește condițiile pentru manifestarea efectelor cuantice de dimensiune [11]. Stratele de oxid au fost preparate de asemenea dimensiuni ca să poată susține potențiale de polarizare de câțiva volți fără să se străpungă. Rezultatele experimentale asupra caracteristicilor curent-tensiune precum și asupra caracteristicilor dI/dV și d^2I/dV^2 în domeniul $4 \div 77$ K au pus în evidență cuantificarea de dimensiune a energiei electronilor. În asemenea experiențe intervin așa-numitele „nivele comensurate de energie“. În acest paragraf vom prezenta mai întâi unele rezultate teoretice despre efectul tunel în asemenea structuri, vom vorbi despre nivelele comensurabile și apoi vom prezenta detalii asupra experiențelor și rezultatelor acestora. Curentul tunel la $T = 0$ în starea cuantică n , pe direcția x , se obține folosind expresia standard (vezi capitolul 4) în care se introduce o funcție δ care leagă energia totală de energia transversală

$$j_n(V) = \frac{2q}{h} \int_{E-qV}^E dE \int_0^E \rho_{\perp}(E_{\perp}) T(E, E_{\perp}) \delta(E - E_{\perp} - E_{nx}) dE, \quad (8.28)$$

unde energia E se măsoară de la marginea inferioară a benzii de conducție a electrodului subțire, $\rho_{\perp}(E_{\perp})$ este densitatea de stări pe unitatea de energie pentru mișcarea perpendiculară pe direcția de tunelare, T este probabilitatea de tunelare. Rezumându-ne la cazul electronilor liberi, $\rho_{\perp}(E_{\perp})$ (în spațiul cu două dimensiuni) are valoare constantă pentru $E > E_{nx}$ și $T(E, E_{\perp})$ devine funcția $T(E - E_{\perp})$ care depinde numai de componenta longitudinală a energiei în direcția de tunelare, $E_{nx} = E - E_{\perp}$ și, prin urmare, este constantă pentru un număr cuantic, n , dat : poate exista o dependență slabă de tensiune V de polarizare, pe care o neglijăm. Datorită naturii bidi-

mensionale a stării finale exprimată de relația $E = E_{\perp} + E_{nx}$ integrarea pe energia perpendiculară este limitată la o valoare, $E_{\perp} = E - E_{nx}$. Astfel,

$$j_n(V) = \frac{2q}{h} T(E_{nx}) \int_{F-qV}^F \rho_{\perp}(E - E_{nx}) dE. \quad (8.29)$$

Pentru tensiune V , pozitivă, aplicată la electrodul subțire, conductanța are valorile

$$\frac{dj_n}{dV} = \begin{cases} \frac{2q}{h} T(E_{nx}) \rho_{\perp}, & qV \geq E_{nx} - F, \\ 0, & qV < E_{nx} - F. \end{cases} \quad (8.30)$$

Conductanța este compusă din trepte egal spațiate, așa cum se reprezintă în figura 8.13 (curba plină). În realitate este de așteptat o caracteristică cu virfuri, așa cum este reprezentat cu linie întreruptă pe figură. Aceasta s-ar datora structurii granulare a stratului subțire care conține granule (de dimensiuni mici) adiacente, diferite ca mărime precum și variației rapide a vitezei de grup $(1/h) \partial E_{\perp} / \partial k$ pentru mișcarea perpendiculară pe direcția de tunelare; E_{\perp} este luată la marginea inferioară a benzii considerate. O problemă care apare în asemenea studii este cea a neuniformității suprafeței stratului subțire. O variație Δd a grosimii stratului dă o deplasare ΔE_n a nivelelor energetice

$$\Delta E_n = -2(\Delta d/d) E_n. \quad (8.31)$$

Distanța dintre două nivele pentru n mare este

$$\delta E_n = (2/n) E_n. \quad (8.32)$$

Pentru a observa aceste nivele trebuie îndeplinită condiția

$$\frac{1}{2} \delta E_n > \Delta E_n,$$

sau

$$\frac{\Delta d}{d} < \frac{1}{2n}. \quad (8.33)$$

Pentru $n = 100$ această condiție corespunde la o abatere de 1% a grosimii suprafeței de la valoarea ei medie ceea ce corespunde, în situațiile practice, unui strat atomic. Aceasta este o cerință greu de satisfăcut. Variațiile grosimii stratului cristalin nu sînt continui ci trebuie să corespundă la un număr întreg de constante ale rețelei. Stratele subțiri [22] sînt compuse dintr-o rețea de granule individuale, fiecare granulă fiind orientată cu aceeași axă cristalină perpendiculară pe substrat. Grosimea variază puțin de la o granulă la alta și nu este exclusă nici posibilitatea de variație a grosimii unei granule. Fiecare secțiune a stratului are o grosime $d = Na$, unde a este constanta rețelei și N — numărul de strate atomice ale secțiunii. Stratul subțire este un ansamblu de secțiuni cu valori diferite ale lui N

și numărul nivelelor de energie este egal cu suma tuturor nivelelor secțiunilor existente. Se presupune că dimensiunile laterale ale fiecărei secțiuni sunt suficient de mari, astfel ca să poată fi aplicată descrierea unidi-

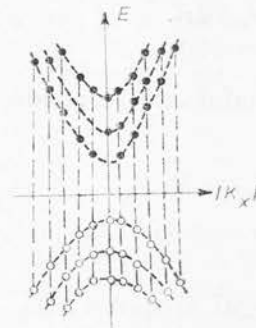


Fig. 8.12 — Spectrul de energie discret al purtătorilor într-un strat subțire situat într-un cimp magnetic cuantificator.

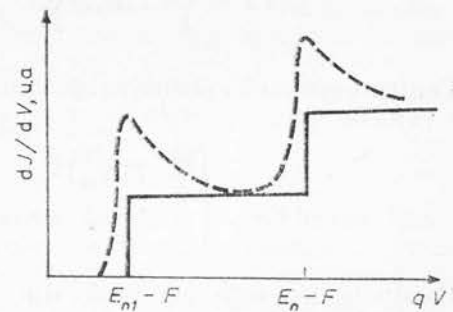


Fig. 8.13. — Conductanța tunel, dJ/dV , pentru cazul prezentei a două nivele cuantice vecine.

mensională. În ciuda neuniformității stratului există stări de energie corespunzătoare unui anumit vector de undă, dar corespunzătoare la diverse valori ale lui n , a căror nivele de energie coincid. Acestea se numesc stări comensurabile și sînt stările pentru care lungimea de undă a electronului este comensurabilă cu constanta rețelei cristaline. Deducerea teoretică a densității nivelelor comensurabile se face astfel. Se presupune, ca și mai înainte, că groapa de potențial este suficient de adîncă astfel că funcțiile de undă se anulează la pereții (marginile) acesteia. Pentru fiecare secțiune (regiune) a stratului subțire nivelele de energie sînt determinate de condiția $k_x = n(\pi/d)$, $n = 1, 2, 3, \dots$ însă de astă dată $d = Na$, $N = 1, 2, 3, \dots$ și prin urmare,

$$E_n(N) = \frac{\hbar^2}{2m_x} \left(\frac{n\pi}{Na} \right)^2. \quad (8.34)$$

Dacă există un ansamblu de un număr mare de secțiuni cu N diferit între ele este necesar să facem o medie peste ele folosind o funcție de distribuție, $P(N)$, a grosimilor secțiunilor stratului subțire. Fiecare secțiune (regiune) a stratului se presupune perfect netedă. În experiențele efectuate s-a considerat o abatere de $\pm 5\%$ în jurul valorii 100 a lui N mediu. Se presupune că $P(N)$ este o funcție gaussiană

$$P(N) = P_0 e^{-\alpha(\bar{N}-N)^2}, \quad (8.35)$$

unde $(\alpha)^{-1/2}$ este parametrul de lărgime a distribuției, care se determină experimental și \bar{N} este numărul mediu de strate atomice din stratul subțire. Este necesar, de asemenea, să considerăm că nivelele nu sînt distribuite după o funcție δ ci, datorită efectului timpului de viață, un nivel are o lărgime, \hbar/τ , finită. Distribuția după energie a nivelelor este dată de formula lui Lorentz

$$\rho(E - E_{n,N}) = \frac{2}{\pi} \frac{\tau/\hbar}{1 + (E - E_{n,N})^2 \tau^2/\hbar^2}, \quad (8.36)$$

unde τ este timpul de viață al unei stări individuale, presupus independent de n , și $\int_{-\infty}^{\infty} \rho dE = 1$. Timpul de viață este timpul necesar ca un electron să tuneleze înapoi prin stratul de oxid, la electrodul opus. Pentru fiecare valoare a lui N , va exista o serie de astfel de stări și distribuția R a stărilor pentru întreg ansamblul de secțiuni poate fi definită de expresia

$$\mathfrak{D}(E) = \sum_N \sum_n \rho(E - E_{n,N}) P(N), \quad (8.37)$$

unde $P(N)$ definită de ecuația (8.35), descrie neuniformitatea stratului. Acest procedeu este echivalent cu a suprapune un număr mare de serii de nivele energetice care au aproximativ aceeași distanță între nivele (o serie de nivele corespunde unei secțiuni a stratului). Se vor selecta acele stări, numite stări comensurabile, pentru care seriile individuale de nivele se vor alinia la aproximativ același nivel energetic; densitatea acestor stări fiind mare, ele vor putea fi puse în evidență experimental. Analizând ecuația (8.37) în cazul modelului electronilor liberi, ne concentrăm asupra stărilor al căror vector de undă în zona redusă este $k = (S/Q)(\pi/a)$, unde $(S/Q) = n/N$ este un număr rațional ireductibil. Cel mai ușor se observă valorile cele mai mici ale lui Q , dar au fost observate în unele cazuri și valori pentru $Q > 5$. În figura 8.14 este reprezentată o schemă simplă a zonei reduse a unui metal cu câteva puncte comensurabile notate prin valorile lui S/Q . Așa cum este reprezentat, $Q =$

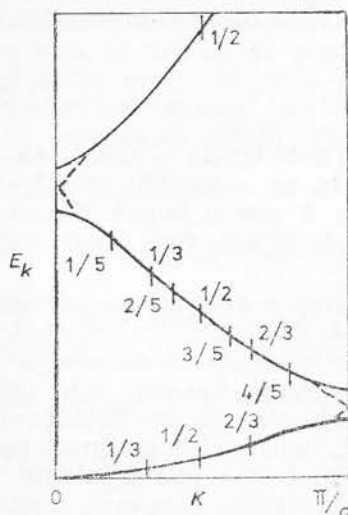


Fig. 8.14. — Energia în funcție de vectorul de undă pentru o direcție într-un metal simplu unde sînt indicate prin valorile lor S/Q cîteva puncte comensurabile.

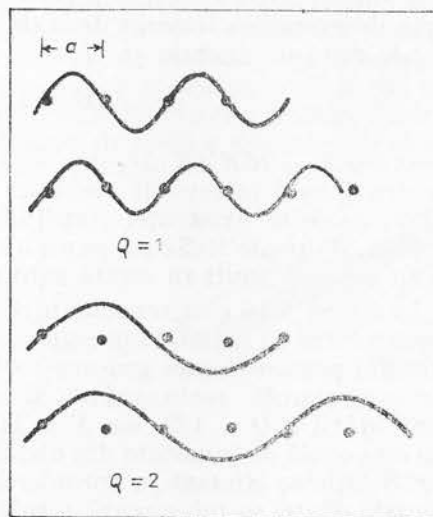


Fig. 8.15. — Funcțiile de undă staționare ale electronilor într-un metal pentru $Q = 1$ și $Q = 2$.

$= 1$ corespunde stărilor de la marginea benzii iar $Q = 2$ corespunde stărilor de la jumătatea zonei. Semnificația fizică a stărilor comensurabile se poate înțelege urmărind figura 8.15, unde este reprezentată funcția de

undă a electronilor pentru $Q = 1$ și $Q = 2$. Pentru electronii cu vectorul de undă în apropierea punctului $Q = 1$, $\lambda = 2a$, și adăugarea a încă unui strat atomic dă aceeași stare energetică. Pentru electronii cu vectorul de undă în apropierea punctului $Q = 2$, $\lambda = 4a$ și adăugarea a două straturi atomice dă aceeași stare energetică. Acesta este mecanismul de bază care duce la gruparea stărilor energetice în jurul unor stări comensurabile. Starea $Q = 1$ poate satisface întotdeauna condiția de margine indiferent de valoarea lui N ; există totdeauna o stare de această energie, indiferent de grosimea cristalinului. Starea $Q = 2$ satisface totdeauna condiția de margine pentru N par. În punctul $k_x = (1/2)(\pi/a)$ toate secțiunile cu N par vor avea stări cu acest vector de undă, iar toate secțiunile cu N impar vor da o pereche de stări. Pentru un ansamblu de secțiuni ale cristalinului starea comensurabilă $E(\pi/2d)$ va avea o energie fixă. Pentru valori mai mari ale lui Q stările vecine se vor îngrămădi din ce în ce mai mult și nu vor mai putea fi selectate experimental. Pentru ușurința analizei densitatea de stări pe un ansamblu de secțiuni se calculează în regiunea lui E în funcție de k din apropierea unei stări comensurabile date; în această regiune curba poate fi aproximată cu 0, parabolă sau o linie dreaptă. De exemplu, la marginea benzii $Q = 1$ și distanța dintre nivelele de energie pentru o secțiune cu grosimea Na va fi

$$\Delta E = \left(\frac{\hbar^2}{2m_x} \right) n'(\pi/Na), \quad n' = 1, 2, 3, \dots \quad (8.38)$$

unde n' specifică distanța măsurată de la marginea benzii. Pe de altă parte, departe de marginea benzii viteza de grup v_g va fi aproape constantă pe intervale mici de energie și

$$\Delta E = \hbar v_g(\pi/Na). \quad (8.39)$$

În acest caz $E = (dE/dK)\Delta k$, și $v_g = (1/\hbar)dE/dk$ iar $\Delta k = \pi/d$. Reamintim că pentru $Q = 2$ intervalul observat pentru un ansamblu este $\Delta E(\text{eV}) = \Delta E/2$, datorită existenței secțiunilor cu N par și impar. Sumarea în ecuația (8.37) poate fi făcută pe un ansamblu cu valoarea N care se întâlnește în mod obișnuit în straturi subțiri.

În figura 8.16 este reprezentată sumarea pentru un strat subțire cu N cuprins între 95 și 105, în presupunerea că stratul conține un număr egal de secțiuni pentru fiecare grosime; aceasta înseamnă că distribuția secțiunilor este simplă, rectangulară, și nu gaussiană. Spectrul este calculat în jurul stării $S/Q = 1/2$, iar $N = 100,5$. Se observă că distanța dintre nivele este egală cu jumătate din distanța dintre nivelele pentru N par sau impar. Stările se aliniază în apropierea stării de $k = \pi/2a$ și cu depărtarea de această stare se micșorează rezoluția spectrului energetic. Realizarea experimentală a joncțiunilor $\text{Al}-\text{Al}_2\text{O}_3-\text{Pb,Mg}-\text{MgO}-\text{Sn,Al}-\text{Al}_2\text{O}_3-\text{Au}$, $\text{Al}-\text{Al}_2\text{O}_3-\text{Ag}$ pentru a se pune în evidență efectele cuantice de dimensiune în Pb, Mg, Au și, respectiv, Ag este descrisă în [24]. Fabricarea unei joncțiuni tunel începe cu depunerea în vid a unei fișii de Al cu lățimea de 2mm pe un substrat de ceramică cu dimensiunile $1 \times 1,5$ inch (1 inch = 2,54 cm). Grosimea stratului de Al este de 400 Å; o grosime mai mare nu conduce la realizarea unei structuri netede. Urmează apoi anodizarea gazoasă [1] pentru a se depune stratul izolator. Anodizarea se face timp de 45–75 minute la o presiune de 0,1 torr de O_2 la o tensiune de 500V și un curent de

descărcare de 10 mA. Când metalul care urmează a se depune este Pb se folosește O_2 pur pentru anodizare iar când metalul care urmează a se depune este Au, Ag sau Mg se introduce la început în incinta de anodizare vapori de apă la presiunea de 0,05 torr și apoi se introduce O_2 . Tratamentul cu H_2O produce diode cu caracteristici stabile. Depunerea electrodului de deasupra s-a făcut prin evaporarea materialului respectiv, de puritate 99,999% dintr-o băreută încălzită, la presiunea de 10^{-7} torr. Rata de depunere a fost de câteva sute de Å pe minut și a fost controlată cu o microbalanță cu cristal de cuarț. Substratul a fost răcit în timpul depunerii prin ansamblarea sa mecanică pe un bloc de cupru răcit cu azot lichid. Temperaturile optime ale substratului pentru Pb și Mg sînt în jur de 150K iar pentru Au și Ag, în jur de 90K. În acest fel se obțin strate subțiri netede care se stabilizează prin încălzire în vid timp de o jumătate de oră pînă la temperatura camerei. Stratele produse în acest mod se numesc texturate. Texturarea, sau gradul de aliniere a granulelor, s-a verificat prin difracție cu raze X. Pentru Pb, Ag și Au s-a observat texturarea după [111] iar pentru Mg s-a observat texturarea după [001]. Diodele au avut rezistențele în jur de 1–10 Ω care în câteva zile au crescut gradat pînă la câteva sute de Ω . Peste dioda tunel (mai binezis peste stratul subțire care dă efectele cuantice de dimensiune) s-a depus un strat de monoxid de siliciu gros de 1000Å și peste el s-a depus al treilea electrod, din Pb. Acesta este electrodul de cîmp de modulare. Structura astfel realizată este reprezentată în figura 8.17. Ea arată ca o triodă. Între electrodul de cîmp și suprafața din afară a stratului metalic subțire se aplică o diferență de potențial V_E . Stratul izolator, din SiO_2 , este suficient de gros, astfel ca să nu treacă prin el curent electric, însă și suficient de subțire, astfel ca pe suprafața stratului metalic subțire cîmpul electric aplicat să fie de ordinul 10^6 V/cm. Acest cîmp duce la deplasarea nivelelor energetice în raport cu nivelul Fermi. Deplasarea are loc datorită perturbației nivelelor energetice ale electronilor în stratul subțire, sub acțiunea cîmpului electric aplicat. Efectul are loc în vecinătatea metalului unde funcția de undă a electronului se extinde

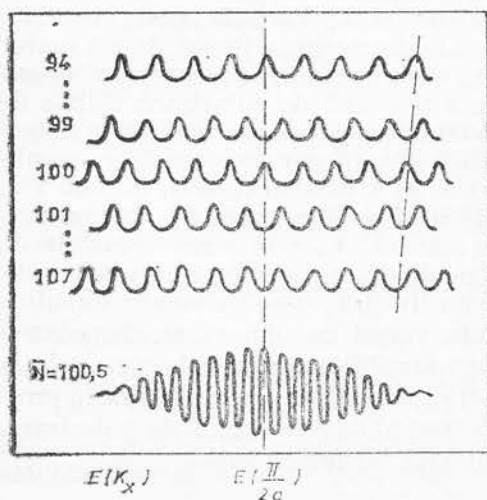


Fig. 8.16. — Distribuția stărilor de energie în apropierea vectorului de undă $k_x = \pi/2a$.

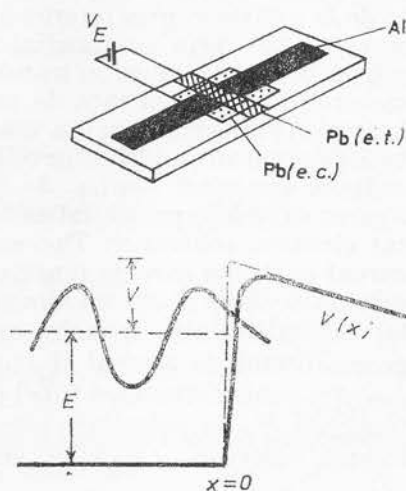


Fig. 8.17. — Tehnica modulării cu efect de cîmp: e. t. = electrod de tunelare, e. c. = electrod de cîmp.

în regiunea potențialului imagine și scade exponențial în barieră. Nu a fost încă elaborată până acum o teorie corectă a acestui fenomen. Totuși, se poate estima influența asupra efectelor cuantice de dimensiune prin tratarea perturbației produsă de câmpul electric ca o variație efectivă a dimensiunilor stratului subțire cu valoarea

$$\Delta d = \frac{1}{16} C^2 q^3 E / U_0^3,$$

unde U_0 este energia electronului măsurată de la marginea de sus a barierii (fig. 8.17), E — câmpul electric aplicat, $C = 1/4\pi\epsilon_r\epsilon_0$ și se presupune că energia electronului în vecinătatea metalului este dată de $U(x) = -q\mathcal{E}x - Cq/4x$. Pentru valorile tipice $U_0 = 3\text{ eV}$, $\epsilon_r = 4$, $\mathcal{E} = 3 \cdot 10^6 \text{ V/cm}$ se obține o deplasare de câteva sute de μV . În afara metodei de modulare în câmp electric pentru deplasarea nivelelor energetice în raport cu nivelul Fermi se mai pot folosi și alte metode dintre care cităm metoda tensiunilor mecanice și metoda dopării metalului cu un alt metal care are mai mulți electroni de valență pe atom. Ultima metodă implică deplasarea însăși a nivelului Fermi; de exemplu, în acest scop, în Pb care are 4 electroni pe atom se introduc atomi de bismut, care au 5 electroni de valență pe atom. Proprietățile electrice ale diodelor tunel au fost măsurate prin tehnica diferențială folosind detecția armonicilor. S-au măsurat conductanța $G = dI/dV$ și derivata a doua, $d^2 I/dV^2$, în funcție de tensiune. Circuitul general de măsură este reprezentat în figura 8.18 [25]. Un semnal mic pe frecvența de 500 Hz se aplică pe dioda tunel de la un generator, G , de semnal audio prin intermediul unui transformator de adaptare și a unei impedanțe R_2 . S-au folosit semnale cu amplitudinea de 0,5 mV. Rezistențele R_2 , R_3 , R_4 și R_i (impedanța de intrare a amplificatorului selectiv, A , și a voltmetrului, V) se iau mult mai mari decât rezistența diferențială R_d a structurii. Deoarece circuitul are impedanță mare, nu se pot măsura cu el diode tunel cu rezistență negativă. Tensiunea V pe dioda de măsurat se ia de la o sursă S prin intermediul rezistenței R_5 . Variația acestei tensiuni se poate face prin intermediul unui potențiomtru acționat de un motor sau cu o bază de timp cu tranzistor cu efect de câmp. În primul caz, viteza motorului determină rata de variație a tensiunii de polarizare. O linie de lungime egală cu 25 cm s-a trasat în 60 s. Tensiunea pe diodă este detectată de către un amplificator selectiv de frecvență care poate măsura amplitudinea armonicii a-ntia, de 1 000 Hz, și a fundamentalei, de 500 Hz. Pentru a înțelege principiul metodei de măsură în figura 8.18 este reprezentat circuitul echivalent Thevenin de măsură. V_B este sursa variabilă de curent continuu care dă tensiunea V pe diodă, v_g este tensiunea generatorului care dă pe diodă un semnal alternativ și R_e este rezistența circuitului echivalent care include impedanța sursei de alimentare, impedanța generatorului de semnal și impedanța amplificatorului selectiv. Relația $i = f(v)$ pentru structura tunel poate fi exprimată ca o serie Taylor în jurul tensiunii, V , de polarizare căreia îi corespunde curentul I de polarizare. Pentru valori $(v - V)$ mici, curentul prin structură este

$$i(v) = I + (v - V) \left(\frac{di}{dv} \right)_V + \frac{(v - V)^2}{2} \left(\frac{d^2 i}{dv^2} \right)_V.$$

Legea lui Kirchhoff aplicată circuitului din figura 8.18 *b* dă

$$V_B + v_g = R_e i + v,$$

care în absența semnalului alternativ devine

$$V_B = R_e i + V.$$

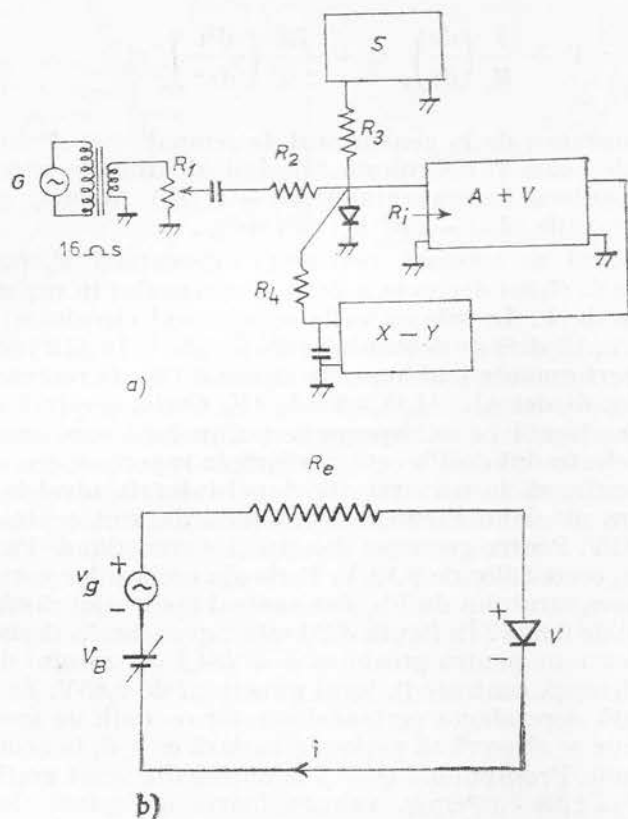


Fig. 8.18. — Circuitul de măsură (a), circuitul de măsură simplu (b) echivalent, Thevenin.

Notînd $(dv/di)_V = R_d =$ rezistența diferențială și $(d^2i/dv^2)_V = K$, se obține

$$v_g = [(R_e/R_d) + 1](v - V) + (R_e K/2)(v - V)^2,$$

care are soluția

$$v - V = (c_2/2c_1) \{-1 + [1 + (4c_1/c_2^2)v_g]^{1/2}\},$$

unde $c_1 = R_e K/2$ și $c_2 = (R_e/R_d) + 1$. Deoarece raportul $4c_1/c_2^2$ este mic, rădăcina pătrată se poate dezvolta în serie, astfel că

$$v = V + \left(\frac{1}{c_2} v_g\right) - \left(\frac{c_1}{c_2^3}\right) v_g^2 + \left(\frac{2c_1^2}{c_2^5}\right) v_g^3 + \dots$$

sau

$$v = V + \left\{ \frac{R_d}{R_e + R_d} \right\} v_g - \left\{ \frac{KR_e R_d^3}{2(R_e + R_d)^3} \right\} v_g^2 + \left\{ \frac{K^2 R_e^2 R_d^5}{2(R_e + R_d)^2} \right\} v_g^3 + \dots$$

Presupunind $R_e \gg R_d$, rezultă

$$v = V + \frac{1}{R_e} \left(\frac{dv}{di} \right)_V v_g - \frac{R_d^2}{2R_e^2} \left(\frac{d^2i}{dv^2} \right)_V v_g^2 + \dots$$

unde v_g este tensiunea de la generatorul de semnal $v_g = A \sin \omega t$, astfel că ultima relație poate fi dezvoltată folosind identitățile trigonometrice. Rezultă amplitudinea fundamentalei (ω) $\sim (1/R_e) (dv/di)_V$ și amplitudinea armoniceii întâia (2ω) $\sim (R_d^2/R_e^2) (d^2i/dv^2)_V$.

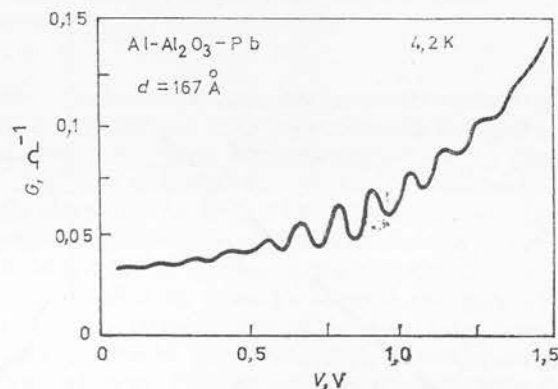
Experimental se măsoară rezistența diferențială R_d (sau conductanța diferențială, G_d) și derivata a doua a curentului în raport cu tensiunea în funcție de V . În măsurătorile cu ajutorul circuitului din figura 8.18 în locul lui (d^2i/dv^2) se determină $(d^2i/dv^2)/G_d^3$. În [12] se utilizează o variantă cu performanțe mai bune. În figura 8.19 este reprezentată conductanța tunel a diodei Al—Al₂O₃—Pb la 4K. Curba prezintă o structură oscilatorie proeminentă ce se suprapune pe un fond care crește gradat. Polaritatea la electrodul de Pb este pozitivă în raport cu cea de la electrodul de Al, astfel că în măsurătorile tunel intervin nivelele energetice situate deasupra nivelului Fermi în Pb. Oscilațiile sînt centrate în jurul tensiunii de 0,85V. Pentru grosimea $d = 167\text{\AA}$ a stratului de Pb, s-a măsurat o perioadă a oscilațiilor de 0,12 V. Perioada oscilațiilor variază dacă se modifică grosimea stratului de Pb, dar centrul spectrului rămîne în apropierea tensiunii de 0,85V. În figura 8.20 este reprezentată derivata a doua în funcție de tensiune pentru grosimea $d = 234\text{\AA}$ a stratului de Pb. Apar franje de interferență centrate în jurul punctului de 0,85V. În figura 8.21 este reprezentată dependența perioadei acestor oscilații de grosimea stratului de Pb, unde se observă că perioada variază cu $1/d$, în acord cu teoria simplă prezentată. Presupunind $Q = 2$ se obține din acest grafic viteza de grup în Pb, $v_g = 1,93 \cdot 10^8 \text{cm/s}$, valoare foarte apropiată de cea calculată teoretic. Cu creșterea temperaturii se observă o deplasare ușoară a centrului spectrului și o reducere considerabilă a amplitudinii oscilațiilor (fig. 8.22). În [12] sînt prezentate rezultatele experimentale privitoare la efectele cuantice de dimensiune pentru Mg, Au și Ag. Vitezele de grup determinate experimental coincid cu cele calculate teoretic.

8.5. Efecte cuantice de dimensiune în structuri cu mai multe bariere Trioda tunel

În acest paragraf vom studia efectele cuantice de dimensiune în structuri cu două bariere și în structuri cu trei bariere. Datorită tunelării rezonante s-a observat rezistență negativă în caracteristica curent-tensiune a structurilor cu două bariere din materiale semiconductoare cum ar fi GaAs—AlGaAs [5] și Si—SiO₂ [26]. Aceste probleme (structuri cu două bariere cu semiconductoare) le-am tratat pe larg într-un volum apărut anterior [1]. În structurile cu două bariere din metal și izolator este dificil

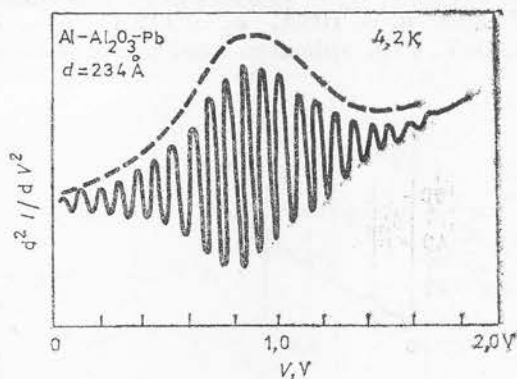
să se observe rezistență negativă în caracteristica $I-V$, datorită valorii mari a energiei Fermi în metal [28]. S-a sugerat că se poate obține rezistență negativă folosind o structură cu trei bariere [29]. În figura 8.23 este re-

Fig. 8.19. — Conductanța $G = dI/dV$ în funcție de tensiune pentru dioda $Al-Al_2O_3-Pb$ la 4,2 K.



prezentat un rezultat experimental pentru o structură cu trei bariere din $Al-Al_2O_3$ [30–31]. Se observă că apar virfuri ale curentului la tensiunile $V_1 = 0,18 V$, $V_2 = 0,48 V$ și $V_3 = 0,68 V$. Diagrama de benzi de energie a unei secțiuni din structură este reprezentată în figura 8.24. Stratul de oxid este compus din trei regiuni: regiunea propriuzisă și două regiuni de tranziție, de o parte și de alta, cu caracter semiconductor. Aceste regiuni se datorează penetrației atomilor de Al din electrodul metalic în stratul de oxid [32]. Grosimea și înălțimea, U_0 , ale barierei pot fi estimate din rezultatele experimentale de efect tunel printr-o structură cu o singură barieră considerind formula teoretică obținută în aproximația WKB. Valorile tipice obținute sînt $d = 17 \text{ Å}$, $U_0 = F + 2,6 eV$ ($F = 11,7 eV$ este

Fig. 8.20. — Derivata a doua în funcție de tensiune pentru o diodă $Al-Al_2O_3-Pb$.



energia Fermi în Al). Lărgimile L_s și L_a ale regiunilor de tranziție sînt 30–40% din grosimea oxidului iar barierele regiunilor de tranziție sînt U_s și U_a și au valori de cîteva zeci de meV. Diagrama energetică a structurii cu trei bariere este reprezentată în figura 8.25. Așa cum reiese din figură există nivele energetice cvasistaționare în ambele gropi de potențial. Curentul curge atunci cînd nivelul de energie E_i din groapa de potențial din stînga

coincide cu nivelul de energie E'_i din groapa de potențial din dreapta, cu condiția ca E_i să fie sub energia Fermi F din electrodul 1 și E'_i să fie deasupra energiei Fermi F din electrodul 2. În fiecare groapă de potențial

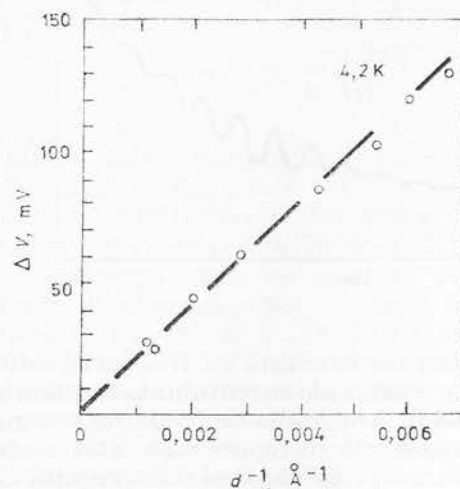


Fig. 8.21.— Perioada spectrului de tunelare în funcție de $1/d$, pentru starea $Q=2$ a plumbului.

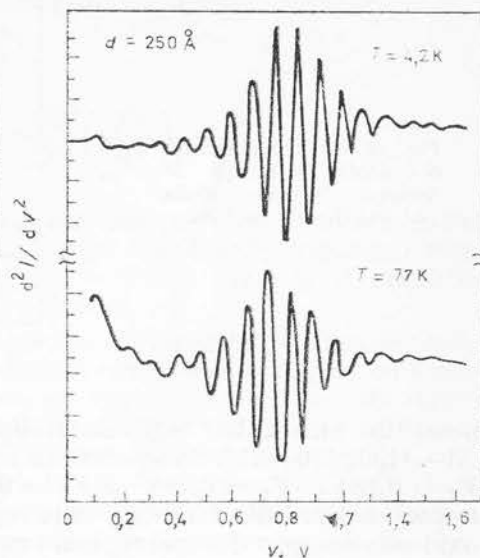


Fig. 8.22.— Derivata a doua în funcție de tensiune la 4 și 77 K. Amplitudinea oscilațiilor la 77 K este mărită de 10 ori.

sînt trei nivele de energie, care se determină teoretic așa cum se arată în paragraful 1 : $E_1 = 11,38\text{eV}$, $E_2 = 11,72\text{eV}$, $E_3 = 11,87\text{eV}$ și, respectiv, $E'_1 = 11,55\text{eV}$, $E'_2 = 11,78\text{eV}$ și $E'_3 = 11,95\text{eV}$. Ceilalți parametri ai structurii sînt $d_1 = 108\text{\AA}$, $d_2 = 112\text{\AA}$, $L_s = 7\text{\AA}$, $L_d = 5\text{\AA}$, $U_s = 0$, $U_d = 0,05\text{eV}$. Prin aplicarea unei tensiuni de polarizare pe structură primul

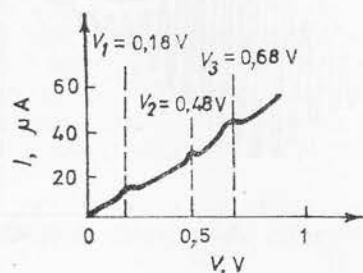


Fig. 8.23.— Caracteristica $I-V$ a unei structuri cu barieră triplă din $\text{Al}-\text{Al}_2\text{O}_3$ la 77 K.

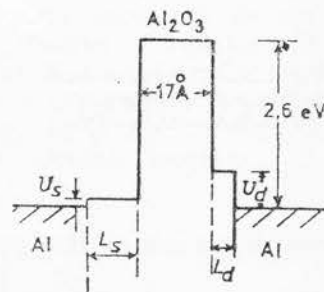


Fig. 8.24.— Diagrama energetică a barierei de potențial $\text{Al}-\text{Al}_2\text{O}_3-\text{Al}$.

maxim al curentului are loc cînd E_2 coincide cu E'_2 ($E'_2 - E_2 = V_1/3$), al doilea maxim are loc cînd E_1 coincide cu E'_1 ($E'_1 - E_1 = V_2/3$) și al treilea maxim are loc cînd E_2 coincide cu E'_3 ($E'_3 - E_2 = V_3/3$). Tensiunile V_1 ,

V_2 , V_3 sînt valorile la care apar maximele în curent în figura 8.23 [23]. Deoarece cele trei bariere au aceeași structură pe fiecare barieră cade o treime din tensiunea aplicată pe întreaga structură. Rezultatele experimentale se pot explica pe baza teoriei tunelării rezonante [1,33].

Tranzistorul tunel

Descriem în continuare trioda tunel (sau tranzistorul tunel) [6] cu semiconductoare. Diagrama sa energetică este reprezentată în figura 8.26. Este o structură $p-n-p$ care constă din două heterojuncțiuni și s-a preparat prin metoda epitaxiei cu fascicule moleculare. Golurile tunelează prin barieră în regiunea n așa cum se indică pe figură cu linie întreruptă. Timpul caracteristic pentru tunelare fiind scurt, recombinarea cu electronii care sînt confinați în regiunea n (datorită profilului potențialului acestei regiuni) este redusă. Prezența electronilor în această regiune dă posibilitatea unei conducții laterale (un curent de recombinație ca în baza unui tranzistor obișnuit) care se modifică prin variația profilului potențialului structurii la aplicarea unei tensiuni din exterior. Pentru ca o asemenea structură să îndeplinească funcțiile unei triode trebuie să îndeplinească următoarele trei condiții fundamentale. Prima condiție cere ca discontinuitățile ΔE_c și ΔE_v în benzile de energie [1] să fie în același sens pe scara energiei, așa cum se reprezintă în figura 8.26, în scopul de a se realiza confinarea electronilor și, respectiv, barieră pentru goluri. A doua condiție este ca în toate condițiile de lucru regiunea n să nu fie sărăcită în purtători liberi iar a treia condiție cere ca grosimea regiunii n și profilul energetic al structurii să fie așa fel încît componenta tunel a curentului electric să fie dominantă. Prima condiție poate fi îndeplinită prin alegerea corespunzătoare a compușilor semiconductori. Dintre aceștia corespund printre alții, $\text{In}_{1-x}\text{Ga}_x\text{As}$ și $\text{GaSb}_{1-y}\text{As}_y$. A doua condiție se poate îndeplini dopînd regiune n mai puternic decît regiunile p . Aceasta duce la „ecranarea” între ele a celor două regiuni p , astfel ca tensiunile de pe ele să nu interacționeze între ele, iar pe de altă parte potențialul total de difuzie se află în regiunile p ,

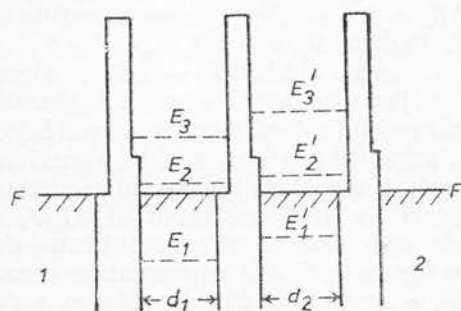


Fig. 8.25. — Diagrama de benzi de energie a unei structuri $\text{Al}-\text{Al}_2\text{O}_3$ cu trei bariere.

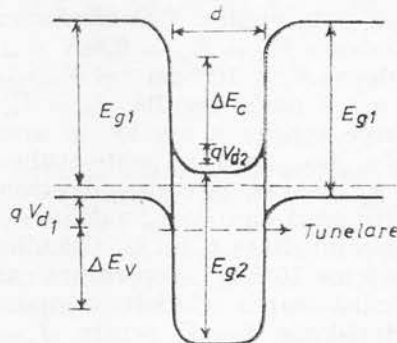


Fig. 8.26. — Diagrama de benzi de energie a tranzistorului tunel cu configurația $p-n-p$.

adică $V_d = V_{d1} + V_{d2} \approx V_{d1}$. În această presupunere, în insertul din figura 8.27 sînt reprezentate componentele majore ale curentului electric folosind notațiile și polaritățile obișnuite pentru tranzistoare. Pentru a

discuta a treia condiție exprimăm contribuția diverselor componente ale curentului prin expresia $J = qnv \exp(-q(V_a - V_{be})/kT) \exp(-\alpha)$, unde n este concentrația purtătorilor de sarcină, v — viteza acestora iar α — un

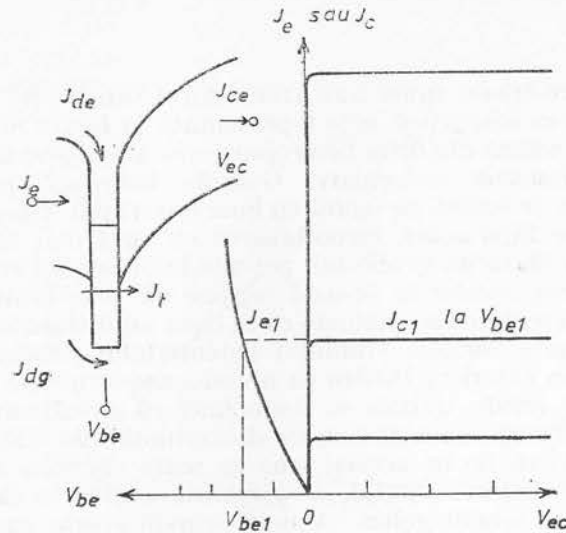


Fig. 8.27. — Curentul de emitor și curentul de colector în tranzistorul tunel. Este inserată (în stînga) diagrama de benzi de energie și componentele curentului electric în condiții de polarizare date.

parametru care depinde de natura curentului electric. Pentru curentul tunel, în expresia de mai sus, $n = N_A$ (concentrația acceptorilor în emitor), v este viteza medie termică dată de $(kT/2\pi m)^{1/2}$ și $\alpha = 2dk_0$, k_0 fiind vectorul de undă imaginar în regiunea de tunelare. Pentru curentul de injecție a golurilor, j_{ag} , $n = N_A$, $v = D_p/d$ și $\alpha = \Delta E_v/kT$, unde D_p este coeficientul de difuzie a golurilor; lungimea de difuzie, L_p , a golurilor este mult mai mare decât grosimea, d , a bazei. Pentru curentul de difuzie a electronilor, J_{ae} , se ia $n = N_D$ (concentrația donatorilor din bază), $v = D_n/L_n$ și $\alpha = \Delta E_c/kT$, unde parametrii D_n și L_n se referă la difuzia electronilor în emitor. Considerăm ca emitor $\text{GaSb}_{0.5}\text{As}_{0.5}$ și ca bază $\text{In}_{0.5}\text{Ga}_{0.5}\text{As}$ în care $E_{g1} = E_{g2} = 0,8\text{eV}$ și $\Delta E_c = \Delta E_v = 0,5\text{eV}$ [34] cu concentrațiile de dopaj $N_a \leq 10^{16}\text{cm}^{-3}$ și $N_D \geq 10^{19}\text{cm}^{-3}$. Pentru $D_p/d = (D_n/L_n)(N_D/N_A) \approx 10^7\text{cm/s}$, rezultă $J_{ag} = J_{ae}$ și $J_{ag}/J_t = \exp((\Delta E_v/kT) - 2dk_0)$. Deoarece tunelarea are loc în apropierea mijlocului benzii semiconductorului $\text{In}_{0.5}\text{Ga}_{0.5}\text{As}$, k_0 se poate evalua folosind modelul a două benzi $k_0 = (m_i \Delta E_v)^{1/2}/\hbar$, unde m_i este masa electronilor sau a golurilor ușoare și este aproximativ egală cu $0,05m_0$, valoare obținută prin interpolare liniară între valoarea din InAs și GaAs . Calculînd cu datele de mai sus raportul J_{ag}/J_t se obține 10^{-6} la temperatura camerei, de unde rezultă că curentul tunel domină asupra celorlalte componente. În figura 8.27 sînt reprezentate caracteristicile $I - V$ pentru $J_e = J_c = J_t \sim \exp(qV_{be}/kT)$. Egalitatea aproximativă a lui J_c cu J_e implică în sensul tranzistorului convențional, coeficientul de amplificare în montajul cu baza comună egal cu unitatea. Pentru a exprima posibilitatea de funcționare la înaltă frecvență considerăm trei contribuții majore la timpul de întârziere a purtătorilor care se deplasează de la emitor la colector. Timpul, τ_{ec} , de întârziere de la emitor la colector se scrie $\tau_{ec} \approx \tau_e + \tau_b + \tau_c$, unde τ_e este timpul de încărcare a emitorului și este dat de produsul dintre rezistența r_e a emitorului și

capacitatea sa C_e , τ_b este timpul de tranzit prin bază și τ_e este timpul de întârziere în regiunea stratului de baraj al colectorului. Comparînd cu un tranzistor convențional, $r_e = kT/qJ_e$, păstrează aceeași valoare pentru funcționarea tranzistorului la același nivel de curent dar C_e fiind proporțional cu $N_A^{1/2}$ poate fi redus cu cel puțin un ordin de mărime în tranzistorul tunel. Datorită timpului scurt de tunelare, τ_b poate fi considerat neglijabil. τ_e rămîne de aceeași valoare cu cea din tranzistorul convențional. Frecvența limită de funcționare $f_t = (2\pi\tau_{ec})^{-1}$ poate fi mărită de 3 ori față de cea din tranzistorul convențional. Frecvența maximă de oscilație $f_{\max} = (f_t/8\pi r_b C_e)^{1/2}$, unde r_b este rezistența bazei și C_e , capacitatea colectorului, este de aproximativ 4 ori mai mare decît în tranzistorul convențional. Menționăm că în tranzistorul tunel prezentat nu intervin efecte cuantice de dimensiune.

8.6. Efectele cuantice de dimensiune în stratul de acumulare sau de inversiune la suprafața unui semiconductor

Cînd cîmpul electric este suficient de intens în stratul de acumulare sau de inversiune la suprafața unui semiconductor, energia mișcării purtătorilor normală pe suprafață este cuantificată în nivele discrete. Deoarece nu este afectată mișcarea paralelă cu suprafața a purtătorilor de sarcină, banda de energie se divide într-o serie de subbenzi bidimensionale [6,35—38]. Cuantificarea energiei purtătorilor de sarcină la suprafața semiconductorului introduce efecte noi în proprietățile electice. Un strat de acumulare de tip n apare atunci cînd benzile de energie la suprafața unui semiconductor de tip n se înclină în jos și formează o groapă de potențial unidimensională, $U(x)$. Această înclinare a benzilor rezultă din redistribuirea electronilor în apropierea suprafeței pentru a o ecrana față de cîmpul electric extern. În cazul unei structuri metal-oxid-semiconductor (fig. 8.28) cîmpul electric extern se poate datora diferenței dintre lucrurile de ieșire din metal și din semiconductor, sarcinilor din oxid sau unei tensiuni V aplicată pe structură. Energia potențială $U(x)$ se determină din ecuația Poisson

$$\frac{d^2U}{dx^2} = -\frac{4\pi q}{\epsilon} \rho(x),$$

unde $\rho(x)$ este densitatea de sarcină spațială dată de electronii de conducție din volum, electronii din subbenzile de la suprafață și donorii ionizați, cu următoarele condiții de margine

$$U(x = \infty) = 0,$$

$$-\left. \frac{dU}{dx} \right|_{x=0} = q\mathcal{E}_s,$$

unde \mathcal{E}_s este cîmpul electric la suprafața semiconductorului și este legat de sarcina de ecranare Q din semiconductor prin relația

$$Q = \int_0^\infty \rho(x) dx = \frac{\epsilon}{4\pi} \mathcal{E}_s.$$

Pentru a calcula $U(x)$ trebuie cunoscute stările electronice. De asemenea trebuie cunoscut $U(x)$ pentru a calcula stările electronice. Aceasta este o problemă de selfconsistență care trebuie rezolvată. Un prim calcul

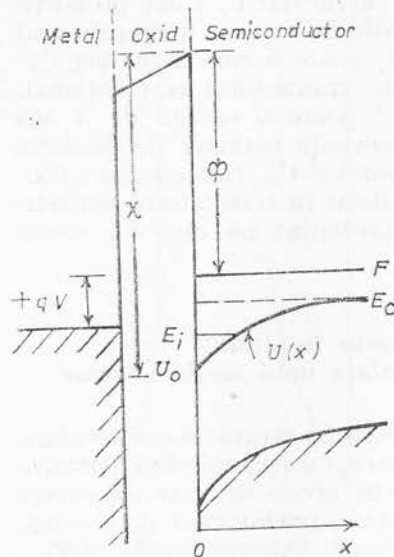


Fig. 8.28. — Diagrama de benzi de energie a structurii metal-oxid-semiconductor cu reprezentarea nivelului de energie E_i , discret, în stratul de acumulare al semiconductorului de tip n degenerat.

al nivelelor cuantificate în stratul de acumulare a fost făcut presupunându-se o dependență exponențială de distanță a energiei potențiale în stratul de acumulare. Cei doi parametri din funcția de distribuție considerată se determină folosind condiția pentru câmpul electric la suprafață și condiția pentru sarcina totală Q , scrise mai sus. Un calcul de selfconsistență a fost făcut în [39] presupunând benzile de energie parabolice și folosind aproximația masei efective pentru determinarea stărilor electronice. În [37] s-a presupus că energia potențială variază după legea

$$U(x) = q\phi_s x_0 e^{-x/x_0},$$

unde x este distanța măsurată de la suprafață și x_0 un parametru care caracterizează adâncimea de penetrație a câmpului. Energia electronului asociată cu componenta x a mișcării sale este cuantificată dacă este îndeplinită condiția (paragraful 8.1)

$$(8mqZ_0^3\phi_s)^{1/2}/\hbar > 2,4.$$

Funcția de undă, soluție a ecuației Schrödinger, este exprimată printr-o funcție Bessel și energia stării cuantificate este dată de

$$E_i = \hbar^2 r^2 / 8m x_0^2,$$

unde r se determină din condiția pentru funcția Bessel, $J_r(\gamma) = 0$ și $\gamma = (8mqZ_0^3\phi_s)^{1/2}/\hbar$. Energia electronului într-o subbandă este dată de expresia

$$E = E_i + E_{\perp},$$

unde E_{\perp} este energia mișcării perpendiculare pe normala la suprafață. În stratul de acumulare se presupune că adâncimea de penetrație x_0 este egală cu lungimea de ecranare Debye din semiconductor, adică

$$Z_0 = \begin{cases} (kT/4\pi q^2 p)^{1/2}, & kT \gg F, \\ (F/6\pi q^2 p)^{1/2}, & F \gg kT, \end{cases}$$

unde p este concentrația purtătorilor de sarcină majoritari din semiconductor. În telur de tip p cu concentrația gurilor $p = 4 \cdot 10^{18} \text{ cm}^{-3}$, $F = 43 \text{ meV}$ și $x_0 = 6 \text{ \AA}$, ϕ_s rezultat din condiția de mai sus pentru a obține cuantificare are valoarea $2 \cdot 10^7 \text{ V/cm}$, valoare considerată imposibilă.

bil de realizat într-un strat de acumulare. În schimb, pentru $p = 10^{14} \text{ cm}^{-3}$, $x_0 = 140 \text{ Å}$ (la 4,2K), $\mathcal{E}_s = 3 \cdot 10^4 \text{ V/cm}$ și $E_i = 28 \text{ meV}$. Înclinarea $U_0 = = q\mathcal{E}_s x_0$ a benzii de energie este 70 meV. Aceste valori sînt în concordanță cu datele experimentale obținute. Cuantificarea nivelelor de energie în stratul de acumulare la suprafața telurului de tip p a fost studiată în structuri Te- TeO_2 -Pb. Cuantificarea nivelelor de energie în stratul de acumulare în semiconductoarele de tip $n\text{InAs}$ și PbTe au fost studiate în structurile Pb-oxid-InAs și, respectiv, Pb-oxid-PbTe. Se folosește ca metal Pb deoarece lucrul de ieșire din Pb este mai mic decît afinitatea electronică din semiconductorii uzuali. Această diferență duce la apariția unui strat de acumulare la interfața semiconductor-oxid a structurii metal-oxid-semiconductor. Caracteristici asemănătoare cu Pb mai au Sn și In. În practică toți oxizii conțin defecte încărcate și cei mai mulți semiconductori au un strat de sarcină spațială (de deflexie) la interfața oxid-semiconductor. Un strat de inversie apare la interfața oxid-semiconductor atunci cînd benzile de energie sînt înclinate astfel încît purtătorii majoritari în stratul semiconductor de la interfață au semn opus cu purtătorii majoritari din volum. Stratul de inversie, care are grosimea de 10–100 Å este separat de regiunea neutră printr-un strat de deflexie de conductivitate mai mică (capitolul 5). Pentru stratul de inversie de tip n densitatea de sarcină în ecuația Poisson s-a luat de forma

$$\rho(x) = q(N_d^+ - N_a^-) - q \sum_i n_i |\psi_i(x)|^2,$$

unde n_i este concentrația electronilor în subbanda i iar $\psi_i(x)$ — funcția de undă, care satisface ecuația Schrödinger

$$\frac{d^2\psi_i}{dx^2} = (2m_x/\hbar^2) [U(x) - E_i] \psi_i(x).$$

Calcul teoretice și rezultate experimentale au fost obținute pentru sistemul Si— SiO_2 . În figura 8.29 este reprezentat rezultatul calculului pentru suprafața (111) a semiconductorului de tip p cu concentrația netă de acceptori egală cu 10^{15} cm^{-3} și cu 10^{13} electroni/ cm^2 în stratul de inversie. Cînd se aplică pe structura tunel o tensiune V (cu semnul plus la metal), conductanța dI/dV datorată electronilor din subbandă este direct proporțională cu densitatea de stări, $\rho_{||}$, din subbandă la energia distanțată cu qV de nivelul Fermi, F , adică

$$\frac{dI}{dV} \sim \rho_{||}(F - V).$$

Deoarece pentru banda de energie bidimensională $\rho_{||}$ este o funcție cu discontinuitate la marginea benzii este de așteptat o descreștere a lui dI/dV în funcție de V cînd qV coincide cu nivelul cuantificat, măsurat de la F . Acest efect subbandă-marginea benzii apare ca o adîncitură în curba d^2I/dV^2 în funcție de V . Din valoarea tensiunii V_i la care apare adîncitura se poate determina poziția nivelului cuantificat E_i adică

$$qV_i = \mu + E_i, \quad (8.40)$$

$\mu = F - E_c$; E_i și $U(x)$ se măsoară de la E_c . Un exemplu este reprezentat în figura 8.30 pentru structura PbTe-oxid-Pb la 4,2K și $H = 2,5\text{kG}$. Proba de PbTe are concentrația electronilor $n = 1,2 \cdot 10^{18}\text{cm}^{-3}$. Cîmpul

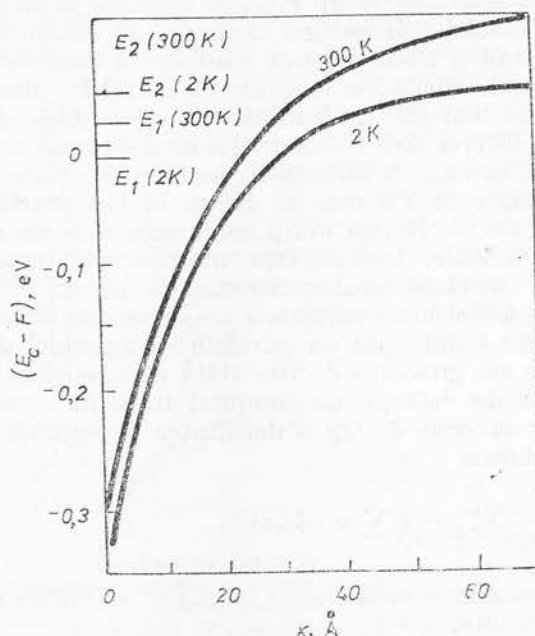


Fig. 8.29. — Stratul de inversie lângă suprafața semiconductorului de tip p .

magnetic de 2,5kG se aplică pentru a distruge supraconductibilitatea Pb la 4,2K[1]. Structurile proeminente în figura 8.30 sînt notate cu 1, 2, 3. Ele corespund descreșterii conductanței la $V_1 = 78\text{mV}$, $V_2 = 55\text{mV}$, $V_3 = 42\text{mV}$ și corespund nivelelor cuantice din groapa de potențial a stratului de acumulare de la suprafața PbTe. Pentru $\mu = 36\text{meV}$ se obțin din relația de mai sus $E_1 = 42\text{meV}$, $E_2 = 19\text{meV}$, $E_3 = 6\text{meV}$. Prin urmare, în groapa de potențial a stratului de acumulare de la suprafața PbTe de tip n apar trei nivele cuantice discrete. Menționăm că structurile de pe curbe pentru $|V| < 20\text{mV}$ se datorează contribuției fononilor din Pb și din PbTe.

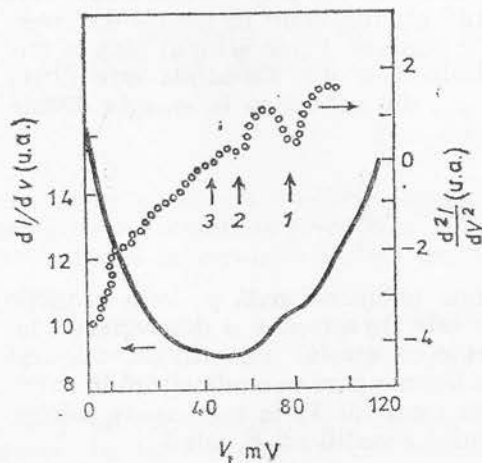
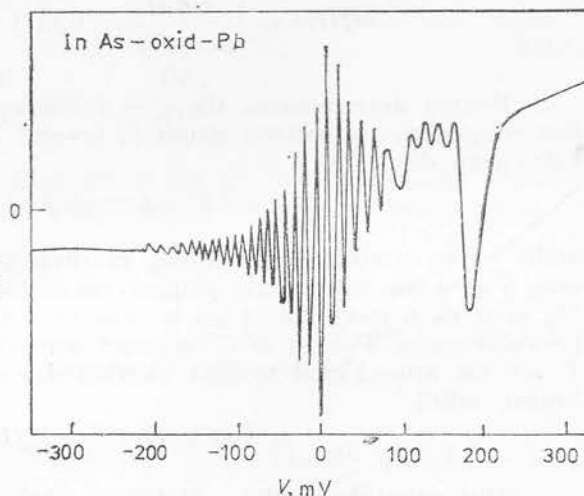


Fig. 8.30. — dI/dV și d^2I/dV^2 în funcție de V în structura PbTe-oxid-Pb la 4,2 K.

În prezența unui cîmp magnetic cuantificator, caracteristicile tunel au o comportare oscilatorie. În figura 8.31 este reprezentată caracteristica d^2I/dV^2 în funcție de V pentru structura InAs-oxid-Pb situată într-un cîmp magnetic perpendicular de 35kG. Stratul de acumulare din InAs cu $n = 5,5 \cdot$

$\cdot 10^{17} \text{cm}^{-3}$ are un nivel cuantic discret situat la $V_i = 183 \text{ meV}$ iar $\mu = 98 \text{ meV}$. În curba din figură se observă trei categorii de oscilații. Oscilațiile pentru $V < 100 \text{ mV}$ se datorează nivelelor Landau ale stărilor

Fig. 8.31. — d^2I/dV^2 în funcție de V în structura InAs—oxid-Pb la 4.2 K în cîmp magnetic perpendicular de intensitate $H = 35 \text{ kG}$.



de conducție din volum. Oscilațiile, cu perioadă de asemenea mică, observabile pentru $V \lesssim 180 \text{ mV}$ se datorează nivelelor Landau ale subbenzilor de la suprafață. Oscilațiile cu perioadă mare, care apar la tensiune mare, se datorează oscilațiilor potențialului selfconsistent atunci cînd un nivel Landau din subbandă trece peste nivelul Fermi F cînd se variază V . Din studiul oscilațiilor datorate nivelelor Landau din subbenzi se deduce masa efectivă ciclotron a electronilor. Un cîmp magnetic perpendicular pe suprafață cuantifică benzile în nivele discrete și despică $\rho_{||}$ într-o serie de virfuri, funcții δ (dacă se neglijează fenomenele de împrăștiere). Caracteristicile dI/dV în funcție de V care reflectă direct $\rho_{||}$, va prezenta oscilațiile care reflectă structura energetică a nivelelor Landau. Virfurile în dI/dV apar la valori ale tensiunii aplicate care satisfac relația

$$qV = \mu + E_i(V) - E_n(H),$$

unde $E_n(H)$ este energia nivelului Landau n , măsurată de la $E_i(V)$ și pentru benzi parabolice $E_n(H) = (q\hbar H/mc)(n + 1/2)$. Pentru domeniul de tensiune care interesează se poate presupune o dependență liniară a lui E_i de V , adică

$$E_i(V) = E_i(V_i) + q\gamma(V - V_i). \quad (8.41)$$

Din ultimele trei ecuații se obține tensiunea V_n la care apare virful în conductanță (în funcție de V) corespunzînd nivelului Landau, n , din subbandă

$$V = V_i - E_n(H)/(1 - \gamma)q.$$

Masa efectivă ciclotron definită de relația

$$m_n^*(H) = \frac{\hbar q H}{c} [E_{n+1}(H) - E_n(H)]^{-1}$$

se poate determina măsurind diferența de tensiune dintre două virfuri succesive ale conductanței, folosind relația

$$m_n^*(H) = \frac{\hbar q H}{(1 - \gamma)c} [V_n(H) - V_{n+1}(H)]^{-1}.$$

Pentru determinarea lui γ se folosesc oscilațiile de perioadă mare. Bariera pentru un electron situat la nivelul Fermi în semiconductor (fig. 8.28) este dată de

$$\varphi(V) = \chi - [U_0(V) + \mu],$$

unde χ este afinitatea electronică la suprafața semiconductorului. Deoarece χ și μ au valori fixe, magnetooscilațiile în potențialul de suprafață U_0 apar ca o modulare a lui φ ceea ce determină un set de oscilații de perioadă mare. Pentru $H = \text{constant}$ un minim în d^2I/dV^2 în funcție de V are loc atunci când nivelul Landau din subbandă coincide cu nivelul Fermi, adică

$$\mu + E_i(V) = E_n(H). \quad (8.42)$$

Din ecuațiile (8.40) — (8.42) se obține că adăncitura în d^2I/dV^2 , atunci când nivelul Landau, n , intersectează nivelul Fermi apare la tensiunea

$$V_n(H) = V_i + [E_n(H) - qV_i]/\gamma q.$$

Curbele $V_n = f(H)$ converg toate pentru $H \rightarrow 0$ în punctul $V_n(0) = V_i(1 - 1/\gamma)$ de unde se poate determina γ . Capacitatea de suprafață C_s a stratului de acumulare, dată de

$$C_s = dQ/dU_0 = \frac{\varepsilon}{4\pi} \frac{dU_0}{d\mathcal{E}_s}$$

măsoară rata de variație a lui U_0 în raport cu \mathcal{E}_s . În practică, în structura metal-oxid-semiconductor, C_s este în serie cu capacitatea stratului de oxid și ceea ce se măsoară este rezultanta lor. Pentru a face măsurători corecte ale lui C_s , C_0 trebuie să fie comparabilă cu ea ca mărime și trebuie să fie cunoscută. Prima cerință necesită un strat de oxid gros de câteva sute de Å.

Măsurarea lui C și dC/dV în funcție de V și de H se face prin metoda standard a modulării tensiunii electrice. Această metodă constă în modu-

larea tensiunii pe capacitor și detectarea curentului care curge prin el cu ajutorul unui detector sensibil la fază. Circuitul folosit în acest scop este reprezentat în figura 8.32. Capacitatea totală a sistemului este

$$C = \frac{dQ}{dV}; \quad \frac{1}{C} = \frac{1}{C_0} + \frac{1}{C_s},$$

unde

$$C_s = q \frac{dQ}{dU_0}$$

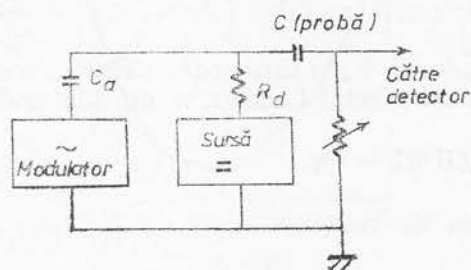


Fig. 8.32. — Reprezentarea schematică a circuitului de bază pentru măsurarea C și dC/dV .

și rezultă

$$C = C_0 \left(1 - \frac{1}{q} \frac{dU_0}{dV} \right), \quad (8.43)$$

$$\frac{dC}{dV} = - \frac{C_0}{q} \frac{d^2 U_0}{dV^2}.$$

Este evident că magnetooscilațiile lui U_0 vor determina oscilații ale capacității joncțiunii. Dacă tensiunea aplicată pe capacitor este

$$V = V_0 + V_1 \sin \omega t,$$

unde V_0 este tensiunea constantă și V_1 amplitudinea semnalului de modulare pe frecvența $\omega/2\pi$. Sarcina stocată pe capacitor este

$$Q(V) = Q(V_0) + \frac{dQ}{dV} \Big|_{V_0} V_1 \sin \omega t + \frac{1}{2} \frac{d^2 Q}{dV^2} \Big|_{V_0} (V_1 \sin \omega t)^2 + \dots$$

Curentul electric are valoarea

$$I = \frac{dQ}{dt} = C(V_0) \omega V_1 \cos \omega t + \frac{dC}{dV} \Big|_{V_0} \cdot \frac{1}{2} V_1^2 \omega \sin 2\omega t.$$

Rezistorul R_s , are valoare neglijabilă în comparație cu impedanța capacitorului. C se măsoară direct prin detecția semnalului alternativ pe rezistența R_s pe frecvența fundamentală $\omega/2\pi$ defazat cu 90° față de semnalul de modulare aplicat. Semnalul pe a doua armonică, ce este în fază cu semnalul de modulare aplicat, dă pe dC/dV . Dacă capacitorul C este șuntat de un rezistor R , așa cum se întâmplă în realitate în structura metal-oxid-semiconductor, măsurătorile sînt corecte dacă șuntul are conductanță neglijabilă în comparație cu conductanța capacitivă. Această condiție, împreună cu condiția ca R_s să fie mic se exprimă prin relația

$$(\omega C R_s)^2 \ll 1 \ll (\omega C R)^2$$

care poate fi îndeplinită prin alegerea corespunzătoare a lui C și R_s . Pe structura Pb-oxid-InAs măsurătorile au fost făcute în condițiile $\omega C R \gtrsim 100$ și $\omega C R_s \lesssim 0,01$. În figura 8.33 este reprezentată caracteristica $C(V)$ și în figura 8.34 caracteristica dC/dV în funcție de V pentru o structură InAs-oxid-Pb la 4,2K și frecvența de 500Hz. Aria joncțiunii este de $5,34 \cdot 10^{-2} \text{ cm}^2$. Câmpul magnetic H se aplică perpendicular pe structură. Grosimea oxidului se alege suficient de mare pentru ca în domeniul de tensiune de lucru să nu aibă loc efectul tunel. Curba plină din figura 8.33 prezintă oscilații ca și curbele din figura 8.34. Maximele în capacitanță (fig. 8.33) au loc ori de cîte ori un nivel Landau traversează nivelul Fermi, așa cum reiese și din ecuația (8.43). Perioada ΔV a acestor oscilații este variația tensiunii necesară pentru a deplasa subbanda cu cantitatea ΔE , în raport

cu F , care este diferența de energie între două nivele Landau vecine ale subbenzii. Deoarece variația Q a sarcinii de ecranare este dată de

$$\Delta Q = \int C(V) dV$$

se poate considera ΔV ca o măsură a pantei lui E_i în funcție de Q pentru o subbandă.

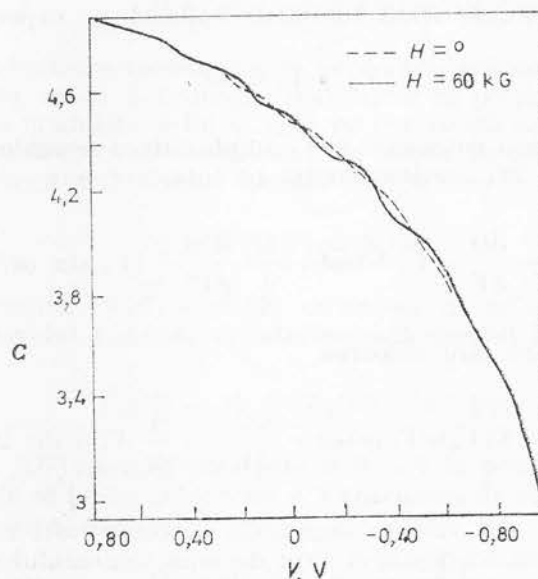


Fig. 8.33. — Caracteristica $C-V$ a structurii InAs-oxid-Pb.

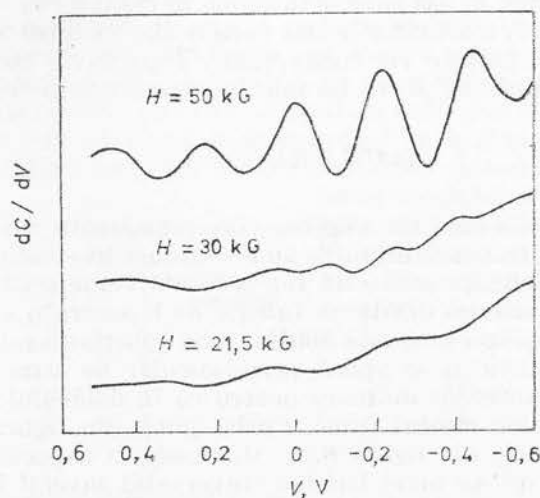


Fig. — 8.34. dC/dV în funcție de V pentru structura InAs-oxid-Pb.

BIBLIOGRAFIE

1. V. Dolocan, *Fizica dispozitivelor cu corp solid*, Edit. Academiei, București, 1978.
2. W. L. Freeman, W. E. Gettys, Phys. Rev., **B17**, 529 (1978).
3. R. C. Jaklevic, J. Lambe, M. Mikkor, W. C. Vassel, Phys. Rev. Lett., **26**, 88 (1971).
4. L. L. Chang, L. Esaki, R. Tsu, Appl. Phys. Lett., **24**, 593 (1974).
5. R. C. Jaklevic, et al, Solid State Comm., **10**, 199 (1972).
6. L. L. Chang, L. Esaki, Appl. Phys. Lett., **31**, 687 (1977).
7. F. Stern., J. Vac. Sci. Technol., **9**, 752 (1972).
8. D. C. Tsui, Phys. Rev., **B8**, 2567 (1973).
9. Yu. F. Ogrin et al., Radio Eng. Electron. Phys., **12**, 699 (1967).
10. R. Dingle, W. Wiegmann, C. H. Henry, Phys. Rev. Lett., **33**, 827 (1971).
11. N. N. Salashchenko et al. F. T. T., **17**, 2367 (1975).
12. R. C. Jaklevic, J. Lambe, Phys. Rev., **B12**, 4146 (1975), A. A. Cottey, Phys. Stat. Sol.(b), **102**, 577 (1980).
13. M. Altwein, H. Finkenrath, Phys. Stat. Sol., (b), **72**, 413 (1975).
14. L. Esaki, L. L. Chang, Thin Solid Films, **36**, 285 (1976).
15. A. Messiah, *Mecanica cuantică*, vol. 1, Edit. științifică, 1973.
16. V. B. Sandomirskii, JETP, **52**, 158 (1967).
17. N. Garcia, Y. H. Kav, M. Strongin, Phys. Rev. **B5**, 2029 (1972).
18. H. Kao, Phys. Rev., **120**, 1122 (1963).
19. J. P. Garmon, M. D. Sherrill, Bull. Am. Soc., **21**, 229 (1976).
20. H. Asahi, T. Humoto, A. Kawazu, Phys. Rev., **B9**, 3347 (1975).
21. I. Goldfarb, B. Tavger., FTT, **11**, 1517 (1969).
22. E. L. Wolf, Phys. Rev., **B10**, 784 (1974).
23. E. Bauer, *Single Crystal Films*, New York, 1964, p. 43.
24. B. J. Ben Daniel, C. B. Duke, Phys. Rev., **169**, 679 (1967).
25. J. Lambe, R. C. Jaklevic, Phys. Rev. **165**, 821 (1968) L. D. Flesner, A. H. Silver, Rev. Sci. Instrum., **51**, 1411 (1980).
26. W. R. Patterson, J. Shewchun, Rev. Sci. Instrum., **35**, 1704 (1964).
27. M. Hirose et al, *Proc. 8th Conf. Solid State Devices*, Tokio, 1976, p. 561.
28. D. N. Korner, V. N. Lutski, M. I. Elson, FTT, **12**, 1333 (1970).
29. L. V. Iogansen, JETP, **47**, 27 0 (1964); UFN, **36**, 175 (1965).
30. S. Takabe, K. Yasui, S. Kaneda, Appl. Phys. Lett., **31**, 636 (1977); Int. J. Electron., **45**, 257 (1978).
31. V. Dolocan, *Colocviul Național de Fizica Materialelor Cristaline și Amorfe*, Iași, 1980, pag. 99; Stud. Cerc. Fiz., **9**, 861 (1981).
32. S. R. Pollack, C. E. Morris, J. Appl. Phys. **35**, 1503 (1964).
33. G. Döhler, Phys. Rev. **B12**, 680(1975).
34. G. A. Sai-Halasz, R. Tsu, L. Esaki, Appl. Phys. Lett., **30**, 651 (1977).
35. J. R. Schrieffer, in *Semiconductor Surface Physics*, Ed. R. A. Kingston, Univ. of Penn. Press, Philadelphia, 1957.
36. D. C. Tsui, Phys. Rev., **B8**, 2657 (1973).
37. T. Hagiwara, O. Mizuno, S. Tanaka, J. Phys. Soc. Jap., **34**, 973 (1973).
38. D. C. Tsui, G. Kaminsky, P. H. Schmidt, Phys. Rev., **B8**, 3524 (1974).
39. G. A. Baraff, J. A. Appelbaum, Phys. Rev., **B5**, 475 (1972).

CONSTANTE FIZICE

Denumire	Simbol	Valoare	Dimensiuni
Numărul lui Avogadro	N_0	$6,0249 \cdot 10^{23}$	molecule/mol
Constanta lui Boltzmann	k	$1,3804 \cdot 10^{-23}$ $1,3804 \cdot 10^{-16}$	joule/grad K erg/grad K
Sarcina electronului	e	$-1,6018 \cdot 10^{-19}$ $-4,8029 \cdot 10^{-10}$ $-1,6018 \cdot 10^{-20}$	Coulomb u. e. s. u. e. m.
Masa (de repaus) a electronului	m_0	$9,1083 \cdot 10^{-31}$	kg
Permitivitatea spațiului liber	ϵ_0	$9,1083 \cdot 10^{-28}$ $8,8541 \cdot 10^{-12}$ 1	g farad/m u.e.s
Permeabilitatea spațiului liber	μ_0	$1,1126 \cdot 10^{-21}$ $4\pi 10^{-7}$ $1,1126 \cdot 10^{-21}$ 1	u.e.m. henry/m u.e.s. u.e.m.
Constanta lui Planck	h	$6,6252 \cdot 10^{-34}$ $6,6252 \cdot 10^{-27}$	joule · s erg · s
Produsul dintre lungimea de undă a fotonului și energie	λE	1,2398	$\mu\text{m} \cdot \text{eV}$
Viteza luminii în vid	c	$2,9979 \cdot 10^8$ $2,9979 \cdot 10^{10}$	m/s cm/s

Voicu Dolocan

**FIZICA JONCTIUNILOR CU SEMICONDUCTOARE
(PHYSICS OF SEMICONDUCTOR JUNCTIONS)**

EDITURA ACADEMIEI REPUBLICII SOCIALISTE ROMANIA, BUCURESTI, 1982, p. 310

ABSTRACT

This book has developed from a course of lectures delivered to the students of the Faculty of Physics in the University of Bucharest. The book is composed of eight chapters.

The first chapter is devoted to the study of optical and infrared detectors. The second chapter of the book refers to the main properties and applications of semiconductor lasers. Chapter 3 presents in detail the properties of surface states. Chapters 4, 5 and 6 offer a detailed treatment of metal-semiconductor contact, negative electron affinity structures, MOS capacitors and transistors, electrophotography, semiconductor memory and charge-coupled devices with application to imaging sensors. Technology and applications of integrated circuits is the subject of chapter 7. Quantum size effects at semiconductor surfaces and in many potential barrier structures are presented in chapter 8.

The book is written for applied physicists and electrical engineers who will have to transpose basic knowledge to the new discoveries of physical phenomena, to technological advances.

CONTENTS

Chapter 1. RADIATION DETECTORS	13
1.1. General considerations	13
1.2. Figures of merit	15
1.3. Noise	17
1.4. Performance limiting	19
1.5. Measurements	21
1.6. Photoconductors	24
1.7. Photodiodes	28
1.8. Avalanche photodiodes	31
1.9. Phototransistors	33
1.10. Thermistors	35
1.11. Pyroelectric detectors	36
References	39
Chapter 2. SEMICONDUCTOR LASERS	41
2.1. Introduction	41
2.2. Stimulated emission. Laser effect	42
2.3. Population inversion in semiconductors	46
2.4. Materials used in semiconductor lasers	48
2.5. Preparation methods	51
2.6. Heterostructure junction lasers	55
2.7. Delay and internal Q-switching effects in semiconductor lasers	72
2.8. Oscillation. Modulation	80
2.9. Distributed feedback lasers	82
2.10. Holography	83
References	85
Chapter 3. SURFACE STATES	88
3.1. Theoretical considerations	88
3.2. Surface states distribution	91
3.3. Real surfaces	96
3.4. Experimental methods for surface states studying	97
3.5. Surface recombination	103
References	108
Chapter 4. METAL-SEMICONDUCTOR CONTACT	109
4.1. Work function	109
4.2. Energy band diagram of the metal-semiconductor contact	113
4.3. Schottky diodes	119
4.4. Schottky diode with guard ring	125
4.5. Experimental determination of the potential barrier height	127
4.6. Negative electron affinity structures	130
4.7. Photocathodes using negative electron affinity	134
4.8. Secondary emission	138
4.9. Cooled cathodes	142
4.10. Ohmic contacts	143
References	144
Chapter 5. METAL-INSULATOR-SEMICONDUCTOR STRUCTURES	145
5.1. Ideal MOS structure	145

5.2.	Effect of the difference between work functions on the properties of MOS structures. Energy band diagram for the metal-SiO ₂ -Si structures	151
5.3.	Influence of fixed charge and interface traps on device characteristics	154
5.4.	Effect of ions, of lateral nonuniformities and ionized traps on the characteristics of MOS structures	168
5.5.	Inversion layer. Effect of temperature and of light on the inversion layer characteristics. Channel conductance	171
5.6.	Effect of radiation	174
5.7.	Current-voltage characteristics of MOS transistors	174
5.8.	Saturation region	178
5.9.	Equivalent circuit of the MOS transistor. Amplification transistor at high frequencies	182
5.10.	Transistor connection	186
5.11.	Influence of temperature on the electrical characteristics	188
5.12.	Other insulated-gate field effect transistors	192
5.13.	Metal-insulator-metal structures	193
5.14.	Tunnel effect in MOS structures	198
5.15.	Hot electron transistors	200
	References	202
Chapter 6.	MEMORY AND IMAGING DEVICES. XEROGRAPHY	203
6.1.	Floating-gate devices	204
6.2.	Charge-trapped devices	209
6.3.	Ferroelectric field-effect-transistor	214
6.4.	Memory array	215
6.5.	Imaging reproduction	218
6.6.	Xerography	220
6.7.	Description of physical processes in an electrophotographic material	221
6.8.	Materials used in xerography	227
6.9.	Image sensors	230
6.10.	Charge-coupled devices	231
6.11.	The noise in charge-coupled devices	238
6.12.	Principles of scanning in image sensors	241
6.13.	Characteristics of charge-coupled image sensors	244
6.14.	Injection-charge image sensors	249
6.15.	Infrared image sensors	253
	References	256
Chapter 7.	INTEGRATED CIRCUITS	258
7.1.	Technology of integrated circuits	258
7.2.	Isolation. Interconnection, Passivation	263
7.3.	Monolithic silicon integrated circuits	267
7.4.	Thin-film integrated circuits	270
7.5.	Thick-film integrated circuits	272
7.6.	Hybrid integrated circuits	272
7.7.	Applications	273
	References	280
Chapter 8.	QUANTUM SIZE EFFECTS	281
8.1.	General considerations	282
8.2.	Quantum size effects in thin film metallic layers	285
8.3.	Quantum effects in magnetic field	292
8.4.	The study of quantum size effect by tunneling	294
8.5.	Quantum size effect in many potential-barrier structures	302
8.6.	Quantum size effects in a semiconductor surface layer	307
	References	315